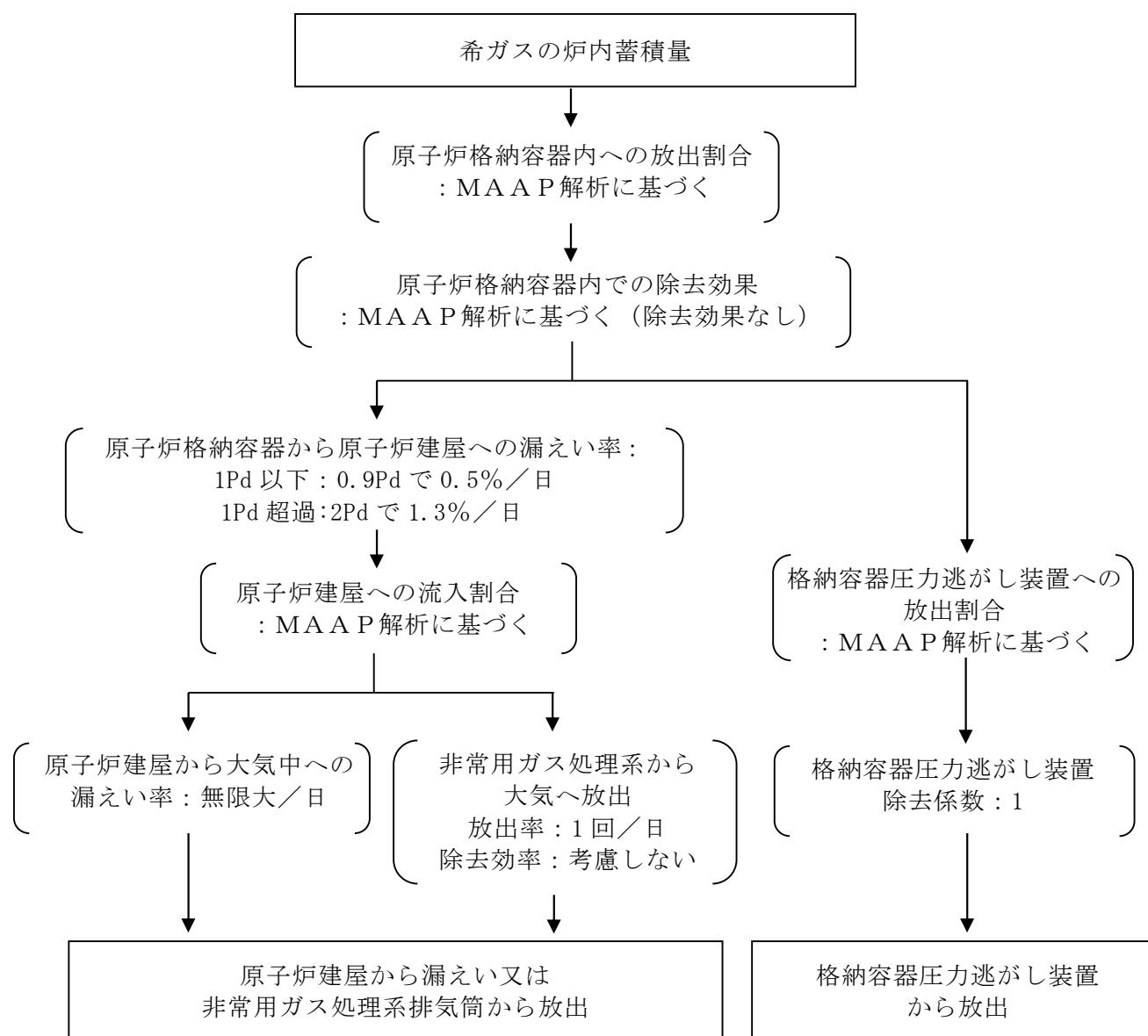
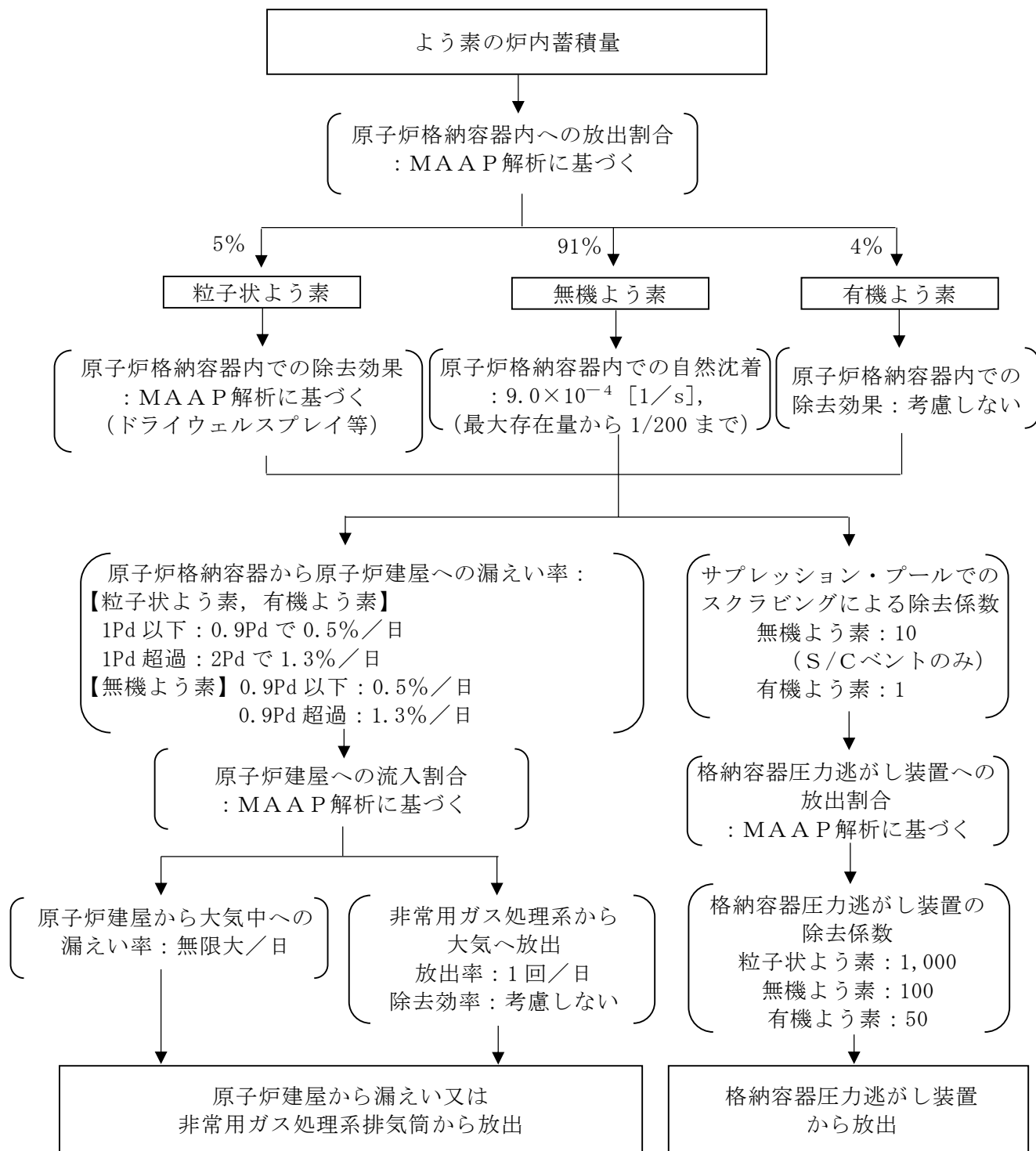


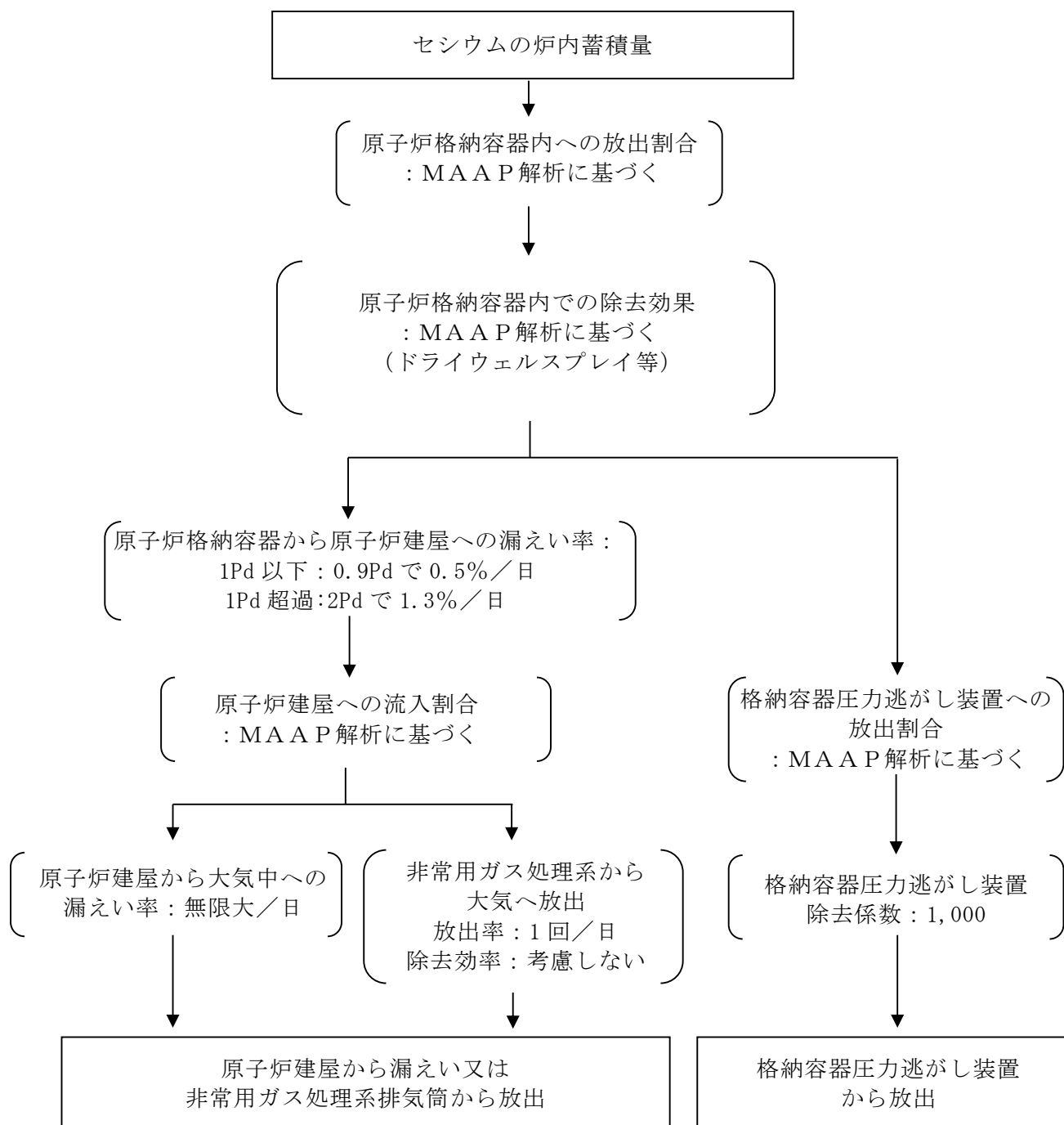
- ※1 Regulatory Guide 1.195, “Methods and Assumptions for Evaluating Radiological Consequences of Design Basis Accidents at Light-Water Nuclear Power Reactors” ,May 2003
- ※2 Standard Review Plan6.5.2, “Containment Spray as a Fission Product Cleanup System” ,December 2005
- ※3 Standard Review Plan6.5.5, “Pressure Suppression Pool as a Fission Product Cleanup System” ,March 2007
- ※4 NUREG-1465, “Accident Source Terms for Light-Water Nuclear Power Plants” ,1995



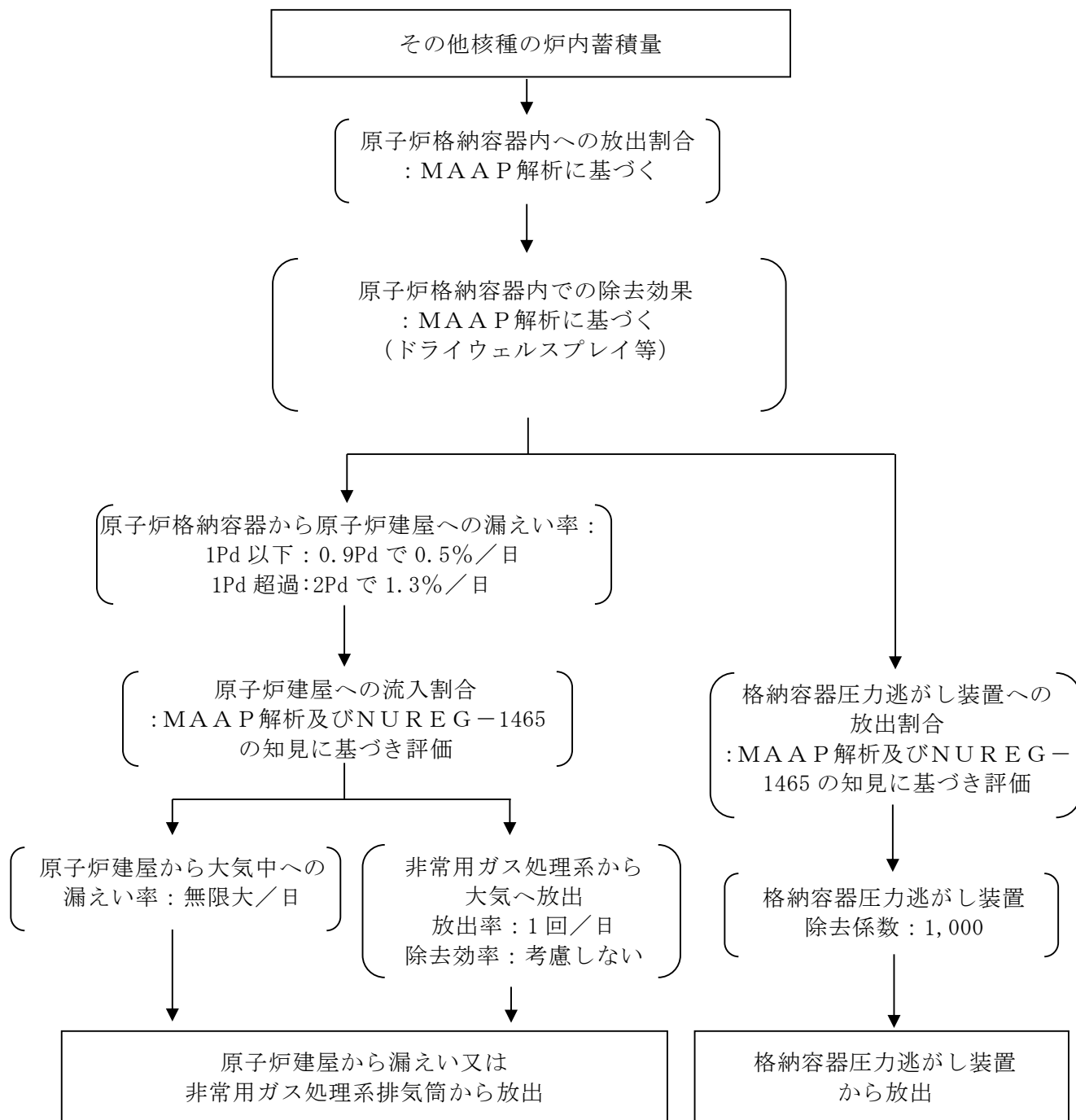
第 1 図 希ガスの大気放出過程



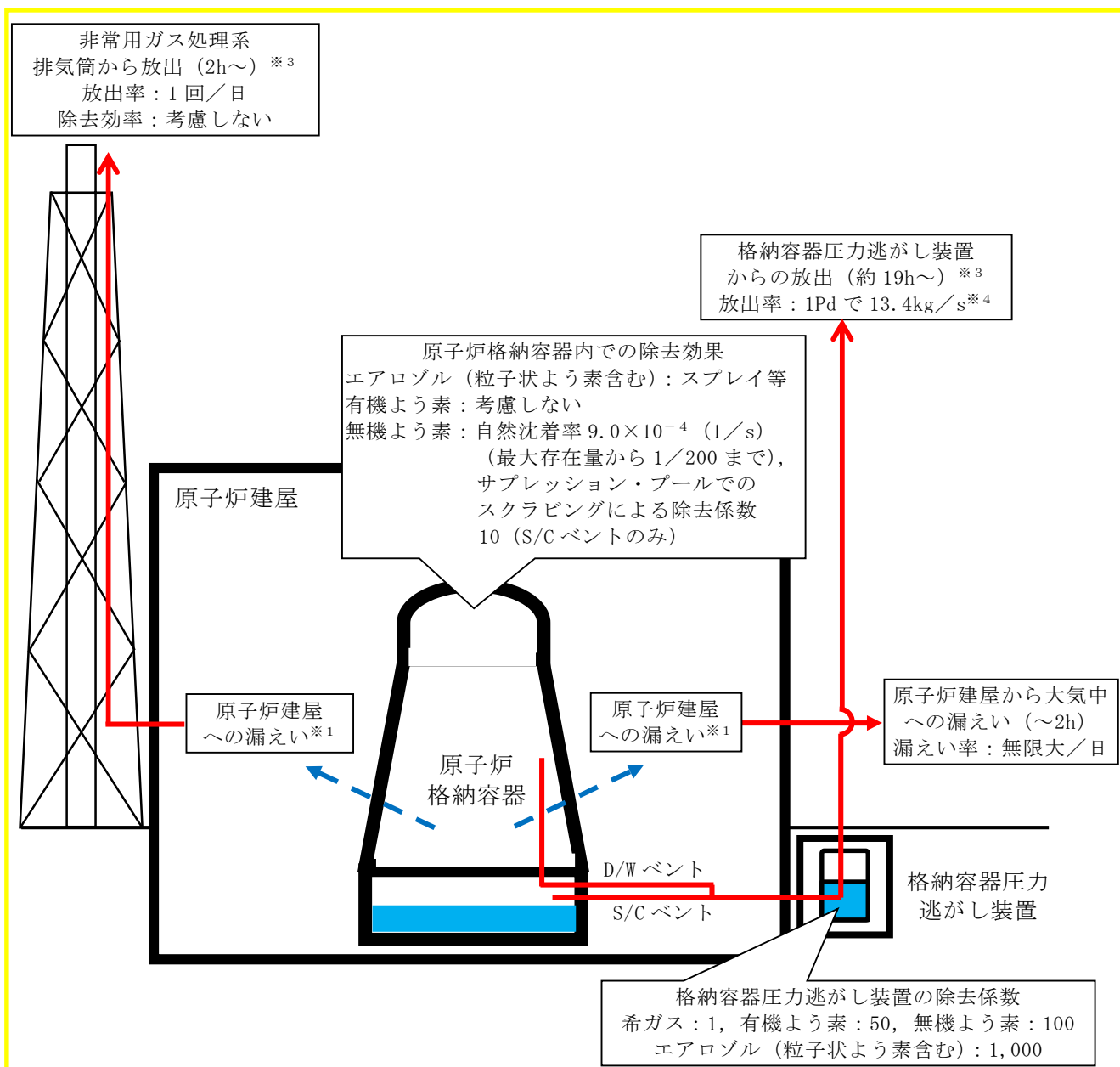
第 2 図 よう素の大気放出過程



第 3 図 セシウムの大気放出過程



第 4 図 その他核種の大気放出過程



※1 原子炉格納容器から原子炉建屋への漏えい率

【希ガス, エアロゾル (粒子状よう素含む), 有機よう素】

1Pd以下：0.9Pdで0.5%/日, 1Pd超過：2Pdで1.3%/日

【無機よう素】

0.9Pd以下：0.5%/日, 0.9Pd超過：1.3%/日

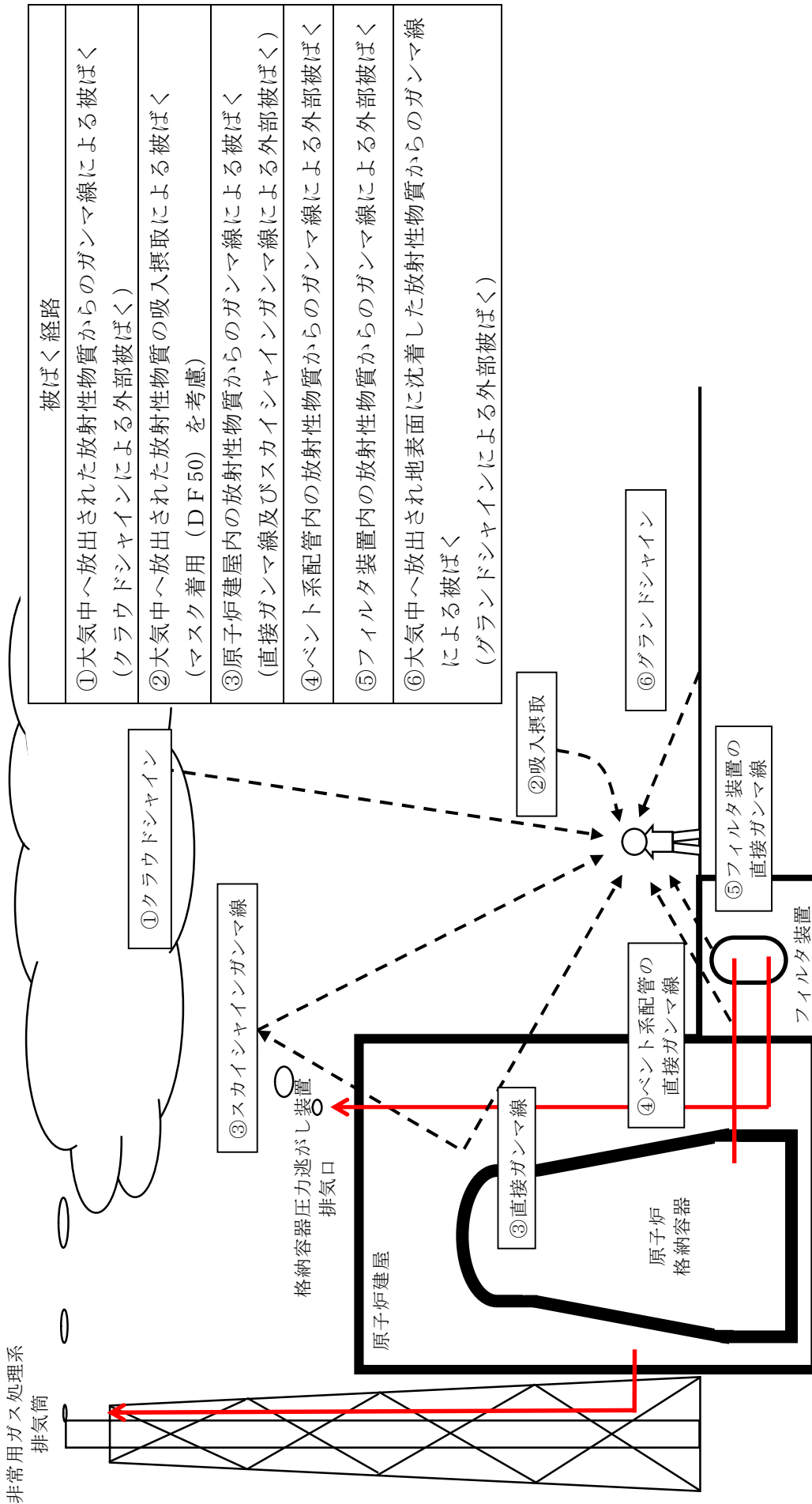
大気への放出経路	0h	▼2h※2	▼19h※3	168h▼
原子炉建屋から大気中への漏えい	■			
非常用ガス処理系排気筒から放出		■	■	■
格納容器圧力逃がし装置からの放出			■	■

※2 非常用ガス処理系の起動により原子炉建屋原子炉棟内は負圧となるため、事象発生2h以降は原子炉建屋から大気中への漏えいはなくなる。

※3 事象発生後19h以降は、「非常用ガス処理系排気筒から放出」及び「格納容器圧力逃がし装置からの放出」の両経路から放射性物質を放出する。

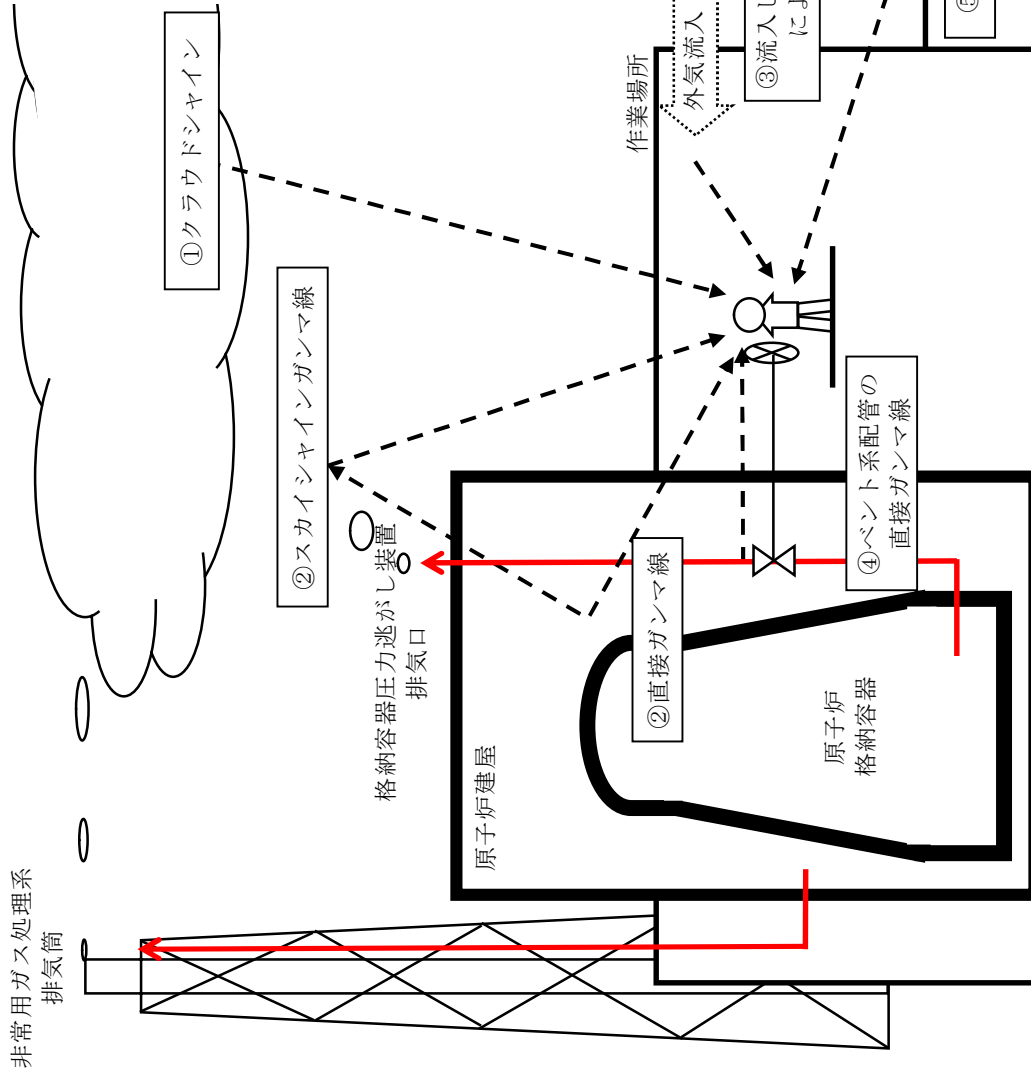
※4 D/Wベントの場合は1Pdで8.1kg/s

第5図 大気放出過程概略図 (イメージ)

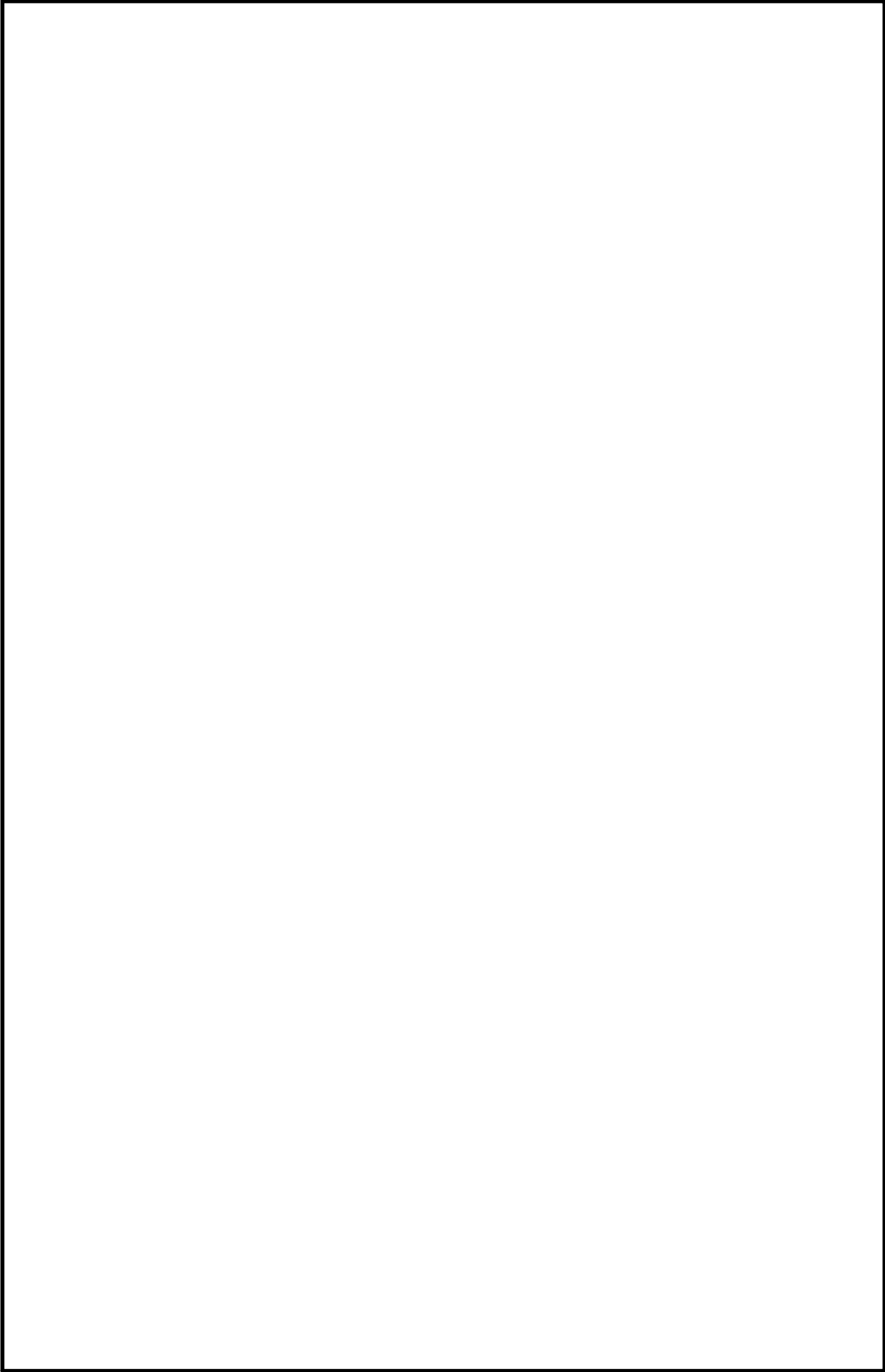


第 6 図 ベント操作に係る作業時の被ばく評価経路イメージ (屋外移動時)

被ばく経路	
①	大気中へ放出された放射性物質からのガンマ線による被ばく（クラウドシヤインによる外部被ばく）
②	原子炉建屋内の放射性物質からのガンマ線による被ばく（直接ガンマ線及びスカイシヤインガンマ線による外部被ばく）
③	外気から作業場所に流入した放射性物質による被ばく（作業場所内に浮遊している放射性物質による外部被ばく）
④	ベント系配管内の放射性物質からのガンマ線による外部被ばく
⑤	大気中へ放出され地表面に沈着した放射性物質からのガンマ線による被ばく（グランドシヤインによる外部被ばく）



第7図 ベント操作に係る作業時の被ばく評価経路イメージ（屋内移動時及び第一弁開操作時）



第 8 図 ベント操作に係る作業時の被ばく評価経路イメージ（第二弁開操作時）

第 2 表 大気拡散評価条件

項目	評価条件	選定理由
大気拡散評価モデル	ガウスプルームモデル	発電用原子炉施設の安全解析に関する気象指針（以下「気象指針」という。）に基づき評価
気象資料	東海第二発電所における 1 年間の気象資料（2005 年 4 月～2006 年 3 月） 地上風：地上 10m 排気筒風：地上 140m	格納容器圧力逃がし装置排気口及び原子炉建屋からの放出は地上風（地上 10m）の気象データを使用 非常用ガス処理系排気筒からの放出は排気筒風（地上 140m）の気象データを使用（補足 11 参照）
放出源及び放出源高さ（有効高さ）	原子炉建屋漏えい：地上 0m 格納容器圧力逃がし装置排気口からの放出：地上 57m 非常用ガス処理系排気筒からの放出：地上 95m	格納容器圧力逃がし装置排気口からの放出は建屋影響を考慮し原子炉建屋屋上からの放出と想定し設定 非常用ガス処理系排気筒からの放出は方位ごとの風洞実験結果のうち保守的に最低の方位の有効高さを設定
実効放出継続時間	1時間	保守的に最も短い実効放出継続時間を設定（補足 9 参照）
累積出現頻度	小さい方から 97%	気象指針に基づき設定
建屋の影響	考慮する	格納容器圧力逃がし装置排気口放出及び原子炉建屋漏えいにおいては放出源から近距離の原子炉建屋の影響を受けるため、建屋による巻き込み現象を考慮
巻き込みを生じる代表建屋	原子炉建屋	放出源から最も近く、巻き込みの影響が最も大きい建屋として選定
大気拡散評価点	第 17 図参照	屋外移動時は敷地内の最大濃度点で設定 屋内移動時は原子炉建屋付近の最大濃度点で設定 作業時は作業地点のある原子炉建屋外壁で設定
着目方位	非常用ガス処理系排気筒：1 方位 原子炉建屋及び格納容器圧力逃がし装置排気口：9 方位	非常用ガス処理系排気筒（排気筒放出）については評価点の方位とし、原子炉建屋漏えい及び格納容器圧力逃がし装置排気口については放出源が評価点に近いことから、180 度をカバーする方位を対象とする。
建屋影響	3,000m ²	原子炉建屋の最小投影断面積を設定
形状係数	0.5	気象指針に基づき設定

第 3 表 評価に使用する相対濃度 (χ/Q) 及び相対線量 (D/Q)

作業内容		放出箇所	χ/Q 及び D/Q	
第一弁 開操作	屋内移動時	原子炉建屋漏えい (地上放出)	χ/Q (s/m^3)	約 8.2×10^{-4}
		非常用ガス処理系排気筒 (排気筒放出)	χ/Q (s/m^3)	約 3.0×10^{-6}
	屋外移動時	原子炉建屋漏えい (地上放出)	χ/Q (s/m^3)	約 8.3×10^{-4}
		非常用ガス処理系排気筒 (排気筒放出)	χ/Q (s/m^3)	約 3.0×10^{-6}
	D/Q (Gy/Bq)		約 1.2×10^{-19}	
	作業時	原子炉建屋漏えい (地上放出)	χ/Q (s/m^3)	約 7.4×10^{-4}
非常用ガス処理系排気筒 (排気筒放出)		χ/Q (s/m^3)	約 2.1×10^{-6}	
第二弁 開操作	屋外移動時	原子炉建屋漏えい (地上放出)	χ/Q (s/m^3)	約 8.3×10^{-4}
		格納容器圧力逃がし装置 排気口 (建屋屋上放出)	χ/Q (s/m^3)	約 4.2×10^{-4}
			D/Q (Gy/Bq)	約 8.8×10^{-19}
		非常用ガス処理系排気筒 (排気筒放出)	χ/Q (s/m^3)	約 3.0×10^{-6}
	D/Q (Gy/Bq)		約 1.2×10^{-19}	
	屋内移動時	原子炉建屋漏えい (地上放出)	χ/Q (s/m^3)	約 8.2×10^{-4}
		格納容器圧力逃がし装置 排気口 (建屋屋上放出)	χ/Q (s/m^3)	約 4.1×10^{-4}
		非常用ガス処理系排気筒 (排気筒放出)	χ/Q (s/m^3)	約 3.0×10^{-6}
	作業時	原子炉建屋漏えい (地上放出)	χ/Q (s/m^3)	約 8.2×10^{-4}
		格納容器圧力逃がし装置 排気口 (建屋屋上放出)	χ/Q (s/m^3)	約 4.1×10^{-4}
		非常用ガス処理系排気筒 (排気筒放出)	χ/Q (s/m^3)	約 3.0×10^{-6}

第 4 表 建屋内に流入した放射性物質による外部被ばく評価条件

項目	評価条件	選定理由
サブマージョンモデル (評価式)	$D = 6.2 \times 10^{-14} \cdot Q_{\gamma} \cdot \chi / Q \cdot E_{\gamma} \cdot (1 - e^{-\mu \cdot R}) \cdot 3600$ <p> D : 放射線量率 (Sv/h) Q_{γ} : 大気に放出された放射性物質放出率 (Bq/s) (0.5MeV 換算値) E_{γ} : ガンマ線エネルギー (0.5MeV/dis) μ : 空気に対するガンマ線エネルギー吸収係数 ($3.9 \times 10^{-3} / \text{m}$) R : 作業エリア等の空間体積と等価な半球の半径 (m) $R = \sqrt[3]{\frac{3 \cdot V_R}{2 \cdot \pi}}$ V_R : 作業エリア等の空間体積 (m^3) </p>	—
作業場所等の空間体積 (V_R)	<ul style="list-style-type: none"> ・ 第一弁 <ul style="list-style-type: none"> 操作場所 : 2,430m^3 屋内移動アクセスルート : 2,430m^3 ・ 第二弁 <ul style="list-style-type: none"> 操作場所 : 1,620m^3 屋内移動アクセスルート : 1,620m^3 	アクセスルートとなる建屋内の区画で最も線量率が高くなる区画の空間体積で設定 操作エリアは作業区画の空間体積で設定
屋内作業場所流入率の考慮	考慮しない	保守的に外気濃度と同一濃度とする。
待避室の遮蔽及び空気ボンベ加圧考慮(第二弁操作場所のみ)	待避室の遮蔽厚 : 空気ボンベによる加圧時間 : ベント実施から 3 時間	第二弁操作場所にベント後 3 時間滞在する。

第 5 表 線量換算係数, 呼吸率等

項 目	評価条件	選定理由
線量換算係数	成人実効線量換算係数を使用 (主な核種を以下に示す) I - 131 : 2.0×10^{-8} Sv/Bq I - 132 : 3.1×10^{-10} Sv/Bq I - 133 : 4.0×10^{-9} Sv/Bq I - 134 : 1.5×10^{-10} Sv/Bq I - 135 : 9.2×10^{-10} Sv/Bq C s - 134 : 2.0×10^{-8} Sv/Bq C s - 136 : 2.8×10^{-9} Sv/Bq C s - 137 : 3.9×10^{-8} Sv/Bq 上記以外の核種は ICRP Pub. 71 等に基づく	ICRP Publication 71 に基づき設定
呼吸率	1.2m ³ /h	成人活動時の呼吸率 を設定
マスクの 除染係数	D F 50	性能上期待できる値 から設定
地表面への 沈着速度	粒子状物質 : 0.5 cm/s 無機よう素 : 0.5 cm/s 有機よう素 : 1.7×10^{-3} cm/s	東海第二発電所の実 気象から求めた沈着 速度から保守的に設 定 (補足 6~補足 8 参照)

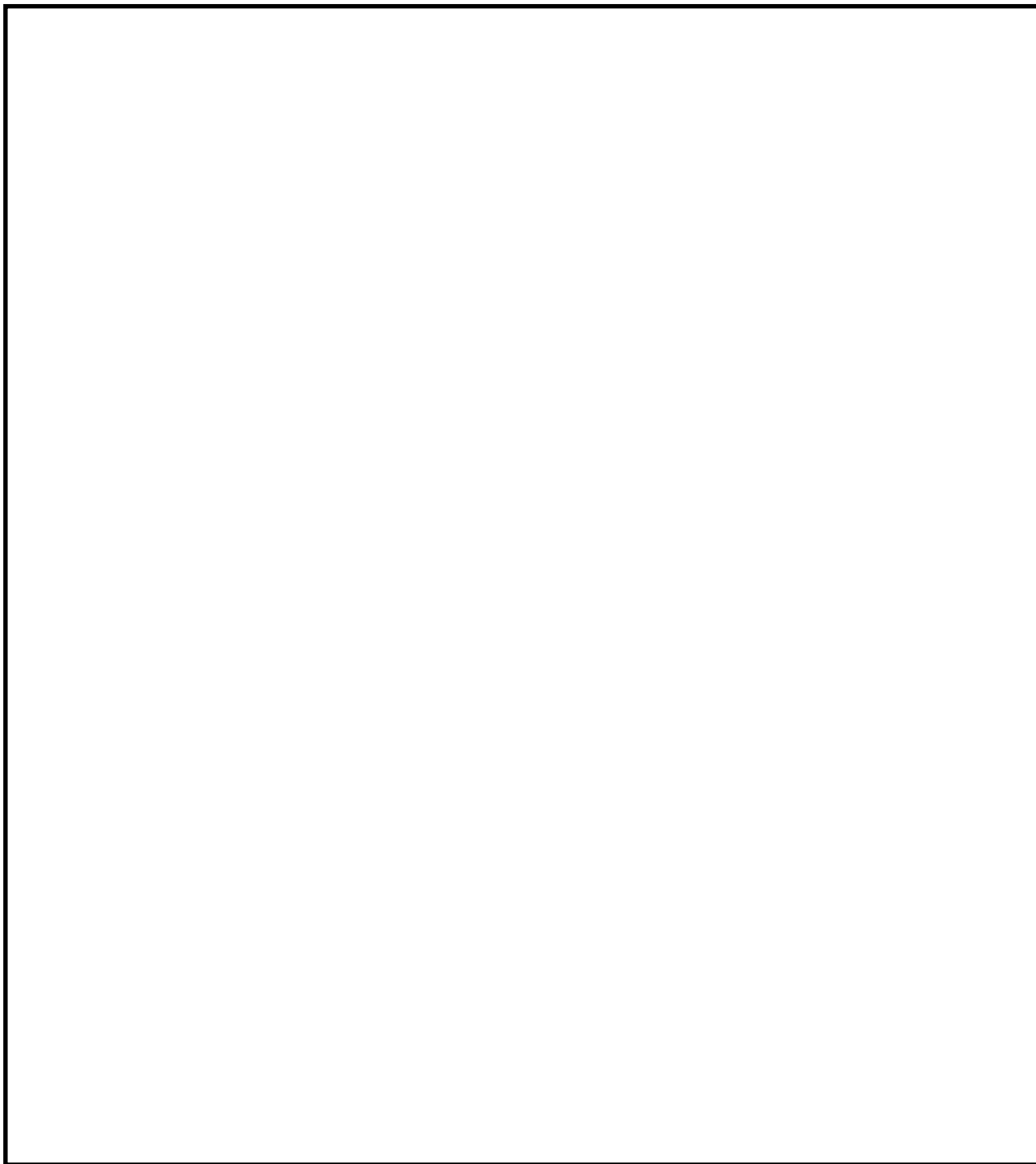
第 6 表 格納容器圧力逃がし装置配管及びフィルタ装置からの直接ガンマ線

項 目		評価条件		選定理由
配管に対する 遮蔽厚さ※1	第一弁	作業場所		ベント操作エリアにおける 原子炉建屋壁等を考慮（第 9 図～第 16 図参照）
		移動ルート		
	第二弁	作業場所		
		移動ルート		
フィルタ装置 に対する遮蔽 厚さ※1	第二弁	作業場所		
		移動ルート		
配管表面から 評価点までの 距離	第一弁	作業場所		—
		移動ルート		
	第二弁	作業場所		
		移動ルート		
フィルタ装置 表面から評価 点までの距離	第二弁	作業場所		
		移動ルート		

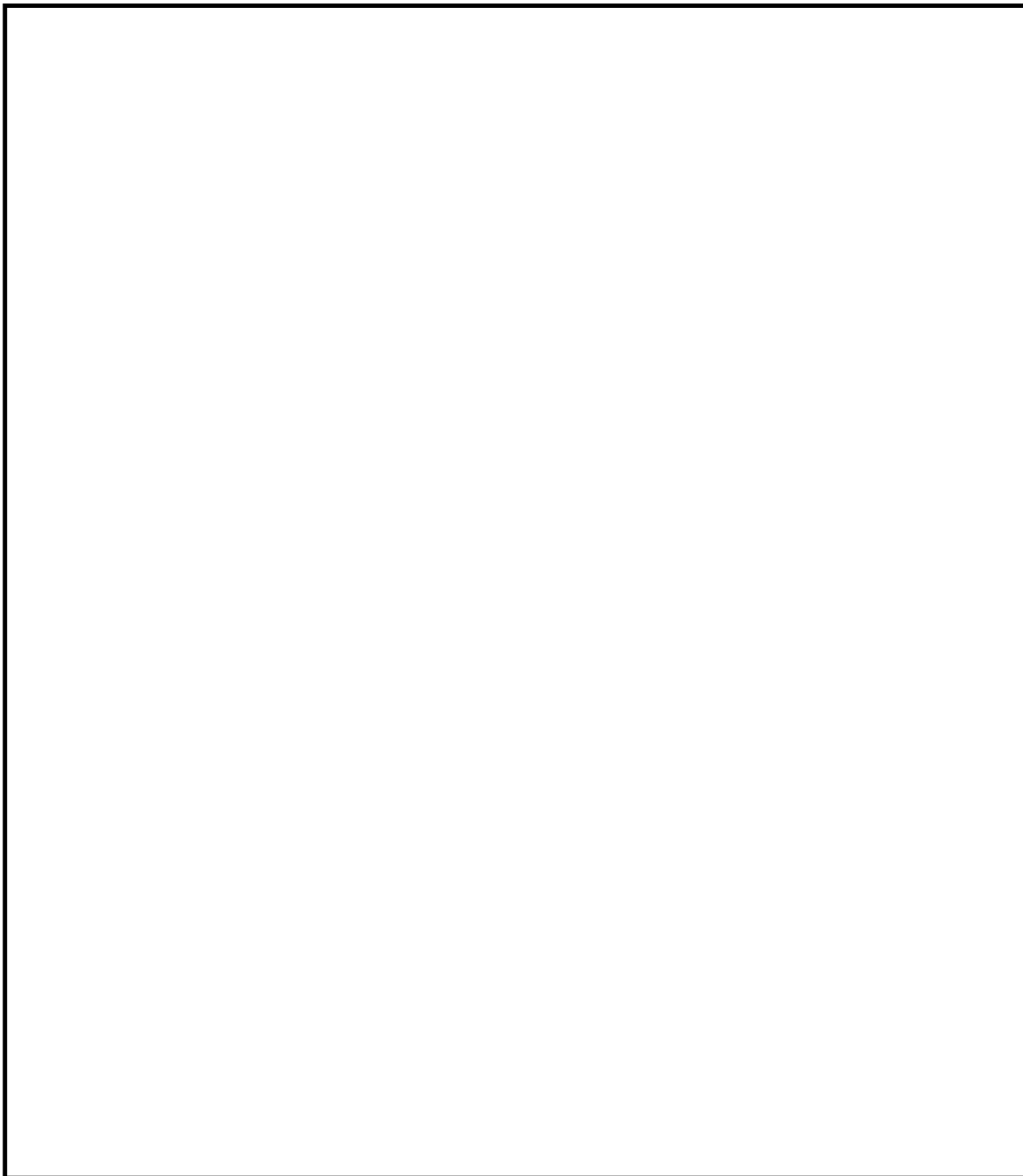
※1 遮蔽厚は の厚さとする。

第 7 表 原子炉建屋からの直接ガンマ線及びスカイシャインガンマ線

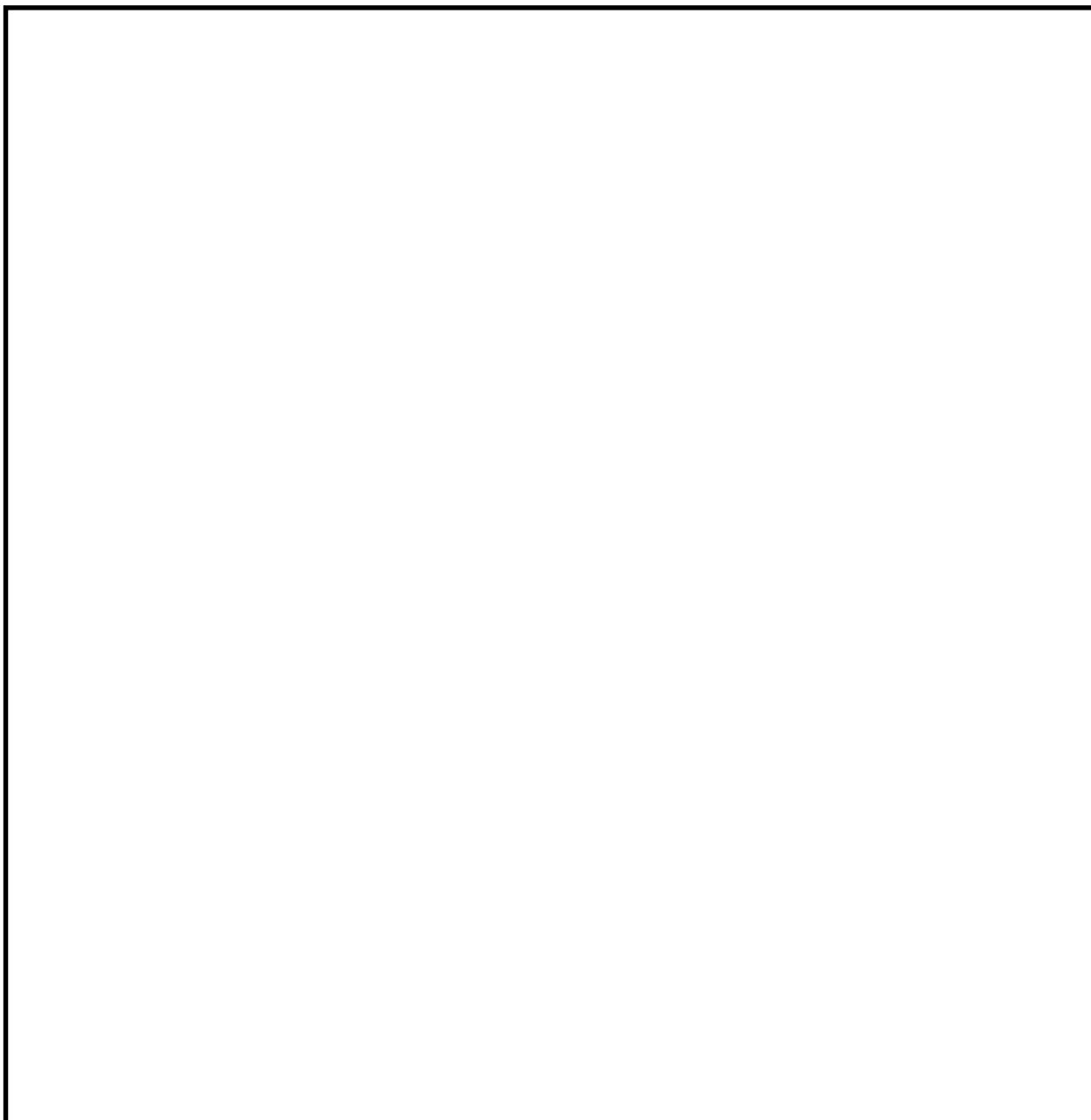
項 目	評価条件	選定理由
原子炉建屋内線源強度分布	原子炉建屋内に放出された放射性物質が均一に分布	審査ガイドに示されたとおり設定
原子炉建屋のモデル	原子炉建屋の幾何形状をモデル化	建屋外壁を遮蔽体として考慮
直接ガンマ線・スカイシャインガンマ線評価コード	直接ガンマ線評価： QAD-CGGP2R スカイシャインガンマ線評価： ANISN G33-GP2R	現行許認可（添十）に同じ



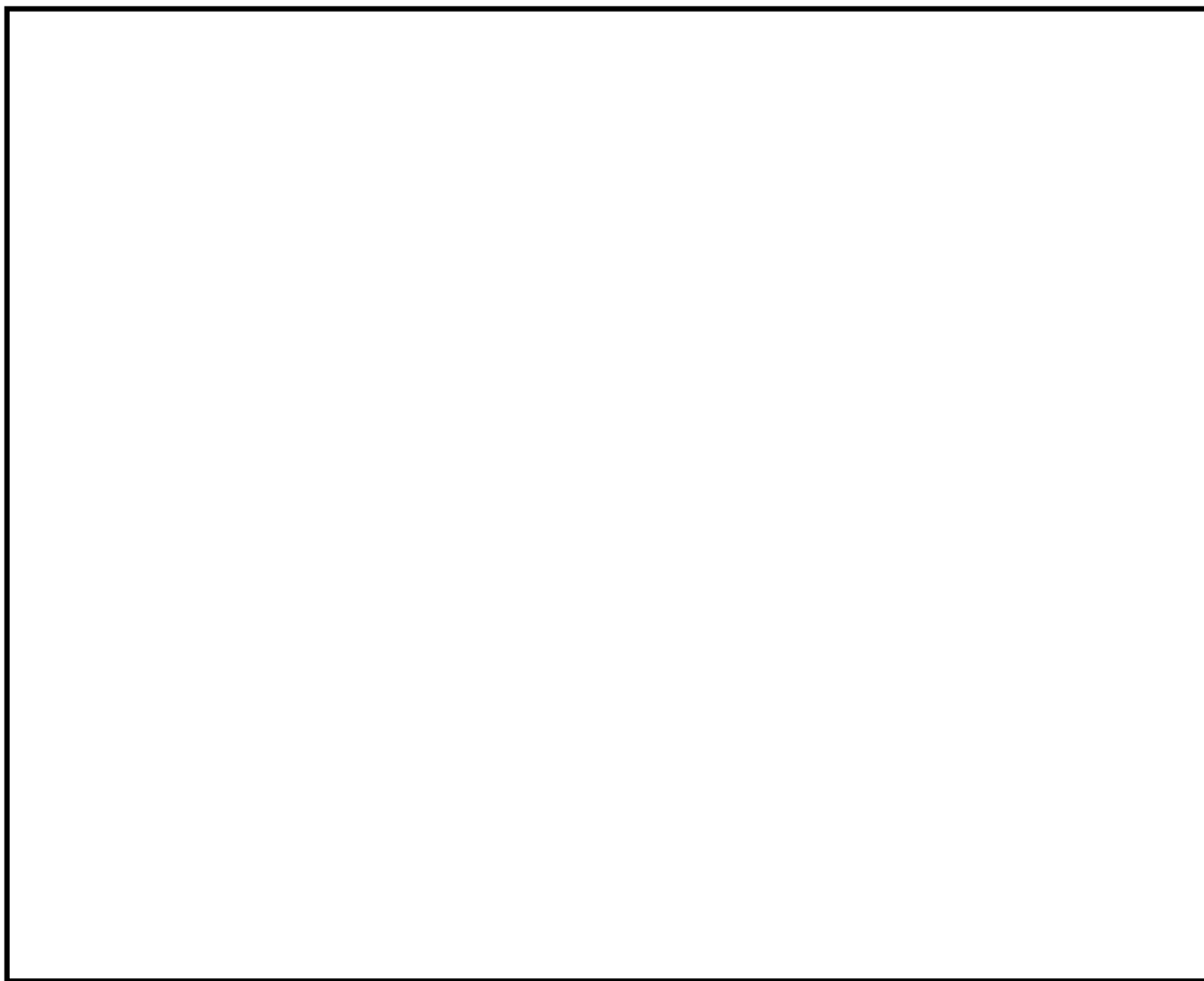
第9図 フィルタ装置入口第一弁操作場所及びアクセスルート



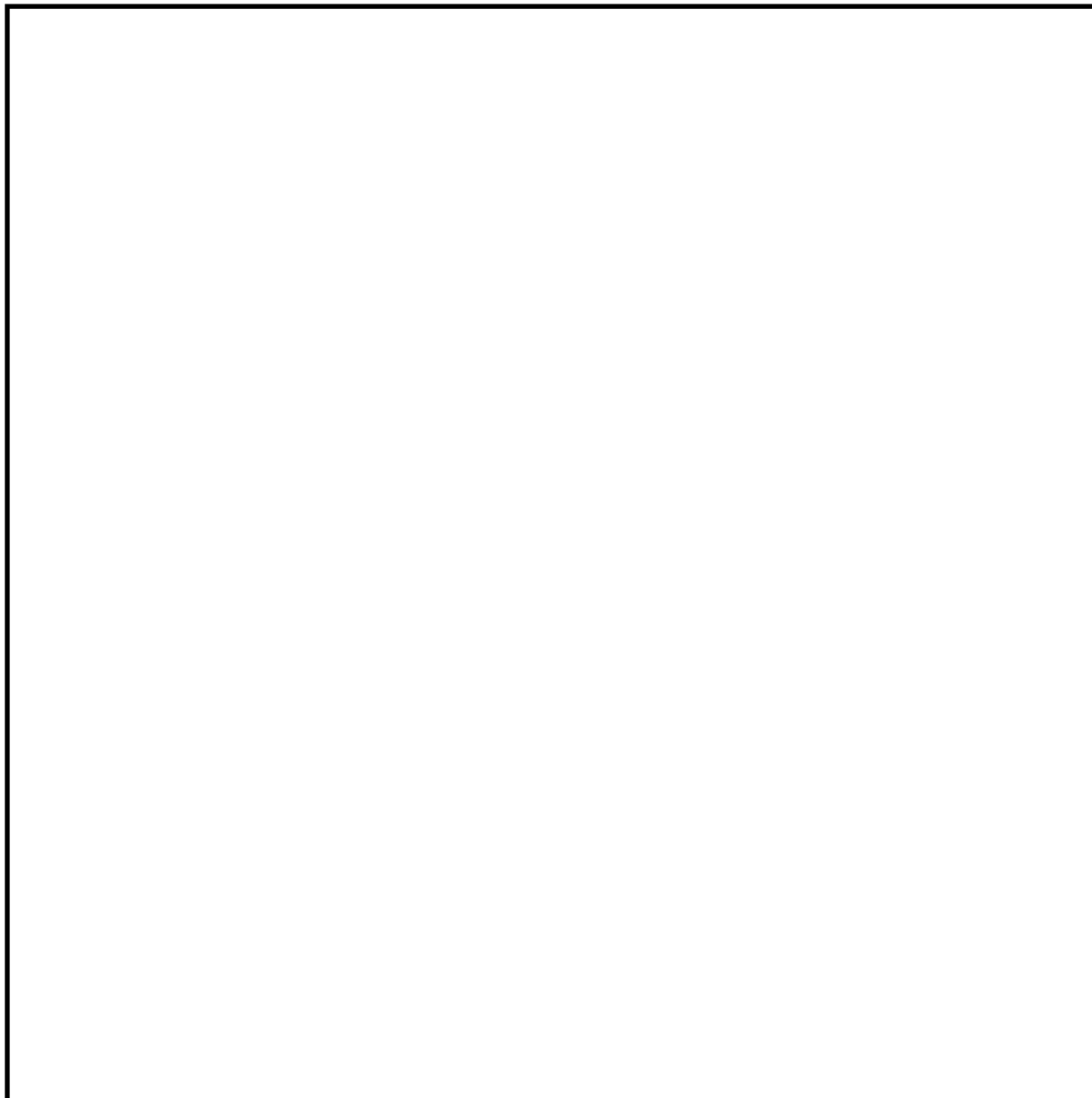
第10図 フィルタ装置入口第一弁操作場所及びアクセスルート



第11図 フィルタ装置入口第一弁操作場所及びアクセスルート

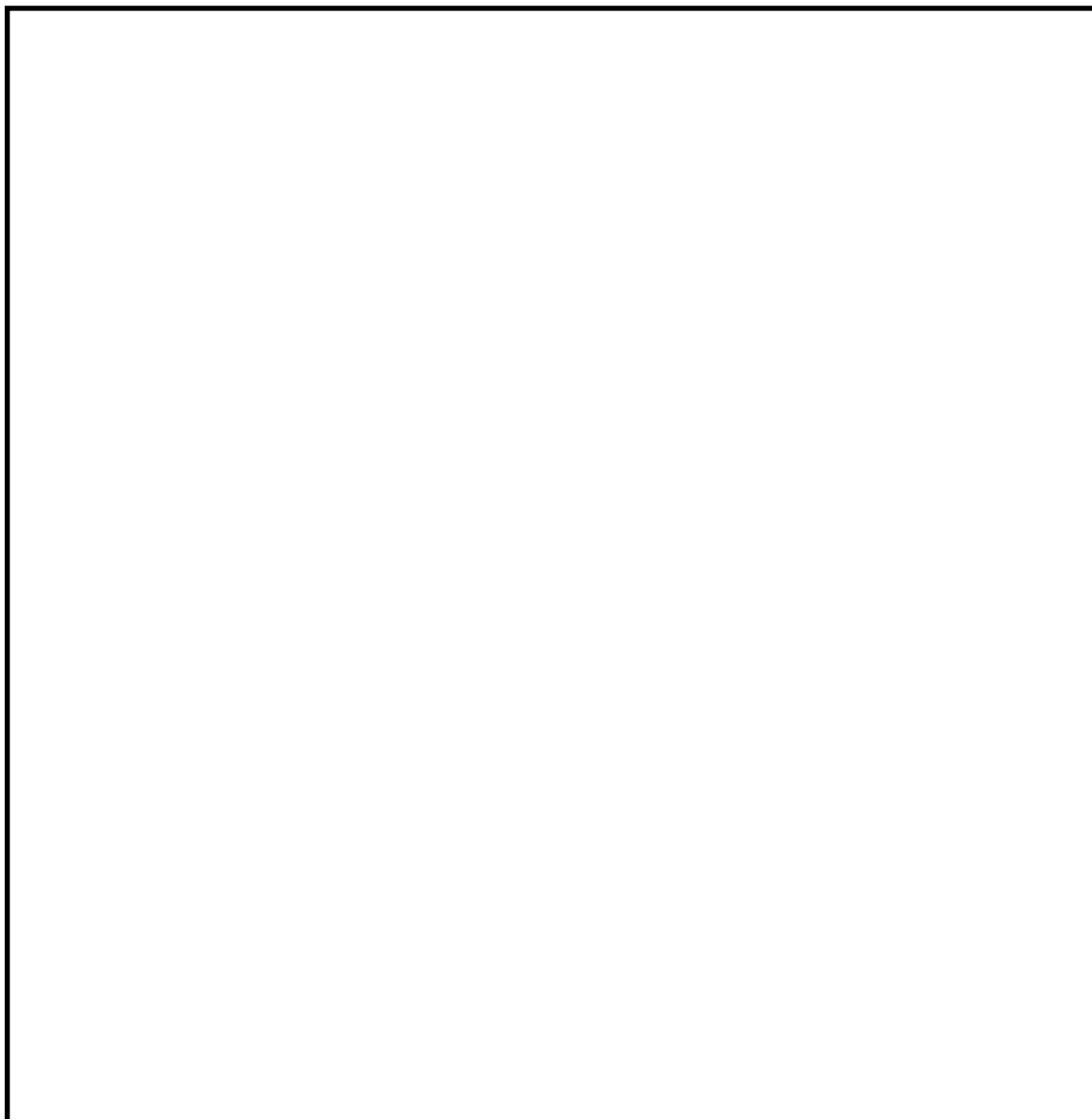


第12図 屋外移動時のアクセスルート

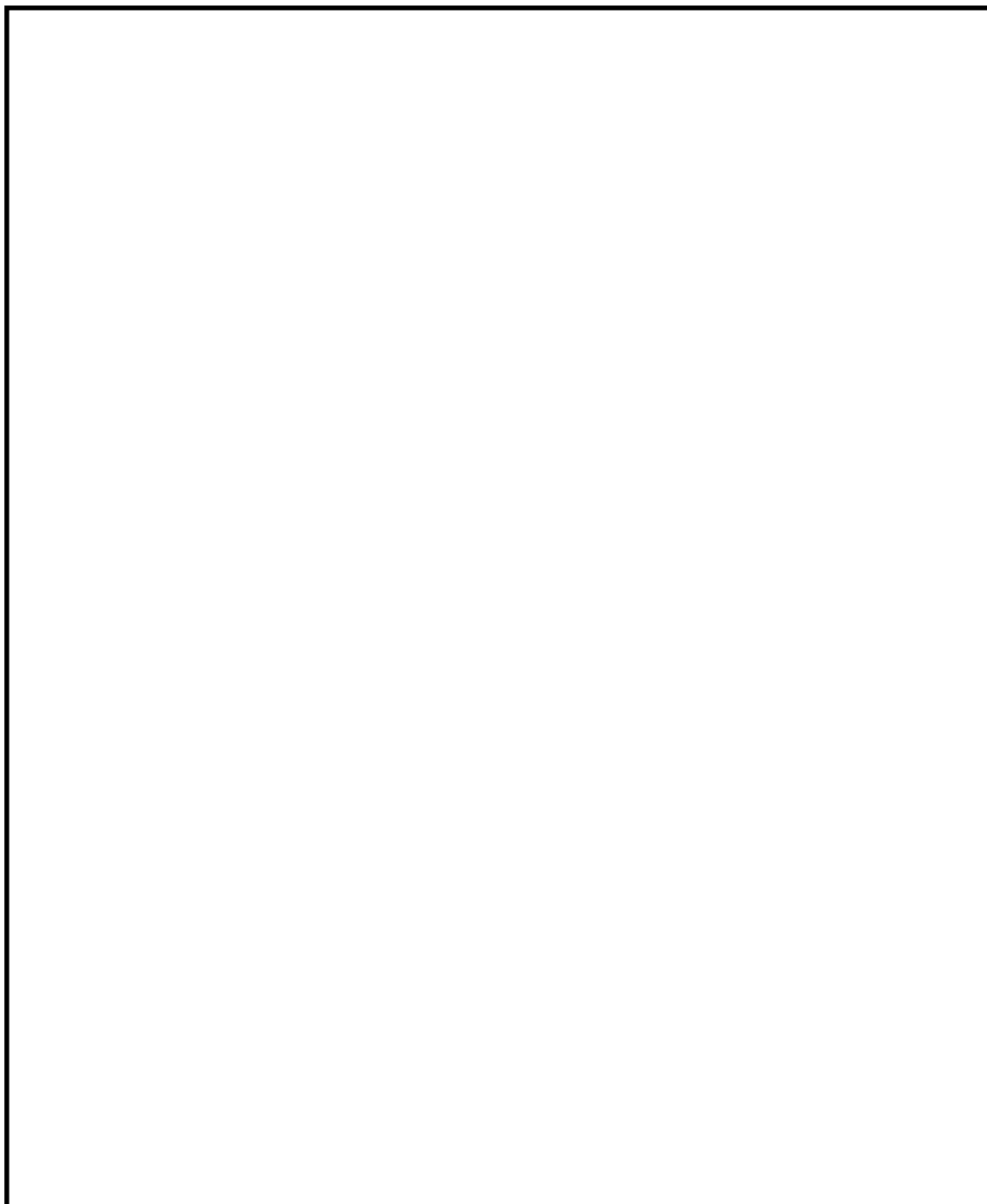




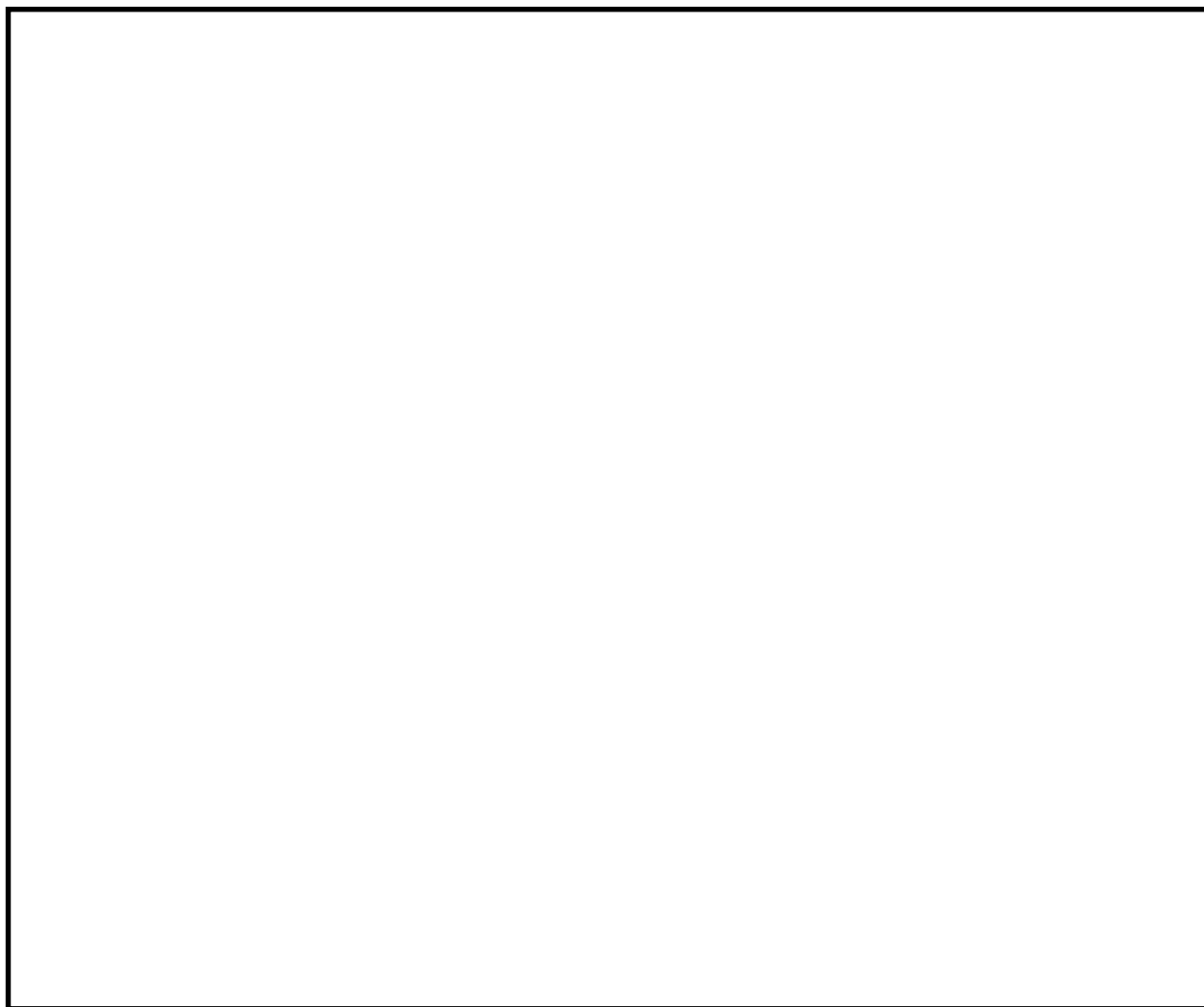
第14図 フィルタ装置入口第二弁操作場所及びアクセスルート



第15図 フィルタ装置入口第二弁操作場所及びアクセスルート



第16図 フィルタ装置入口第二弁操作場所及びアクセスルート



第 17 図 大気中に放出された放射性物質の濃度評価点

第 8 表 フィルタ装置入口第一弁開操作に伴う移動時及び作業時の線量

(単位：mSv/h)

被ばく経路	フィルタ装置入口第一弁 (S/C側) 開操作※1				フィルタ装置入口第一弁 (D/W側) 開操作※1			
	ベント操作時	屋内移動時 (中央制御室 ⇒作業場所)	屋内移動時 (作業場所⇒ 付属棟入口)	屋外移動時 (付属棟入口⇒ 緊急時対策所)	ベント操作時	屋内移動時 (中央制御室⇒ 作業場所)	屋内移動時 (作業場所⇒付 属棟入口)	屋外移動時 (付属棟入口⇒ 緊急時対策所)
原子炉建屋内の放射性物質からの ガンマ線による外部被ばく	約6.2×10 ⁻¹	約3.1×10 ⁰	約3.1×10 ⁰	約3.1×10 ⁰	約6.6×10 ⁻¹	約3.2×10 ⁰	約3.2×10 ⁰	約3.2×10 ⁰
大気中へ放出された 放射性物質による被ばく	外部 被ばく	屋内に流入する放射性物質の 影響に包絡される			屋内に流入する放射性物質の 影響に包絡される			
	内部 被ばく	自給式呼吸用保護具着用のため内部被ばくは考慮しない			自給式呼吸用保護具着用のため内部被ばくは考慮しない			
外気から作業場所内へ流入 した放射性物質による被ばく	外部 被ばく	1.0×10 ⁻² 以下	1.0×10 ⁻² 以下	1.0×10 ⁻² 以下	1.0×10 ⁻² 以下	1.0×10 ⁻² 以下	1.0×10 ⁻² 以下	1.0×10 ⁻² 以下
	内部 被ばく	自給式呼吸用保護具着用のため内部被ばくは考慮しない			自給式呼吸用保護具着用のため内部被ばくは考慮しない			
ベント系配管内の放射性物質からの ガンマ線による外部被ばく※2	約1.1×10 ⁻²	約1.1×10 ⁻²	約6.4×10 ⁻¹	1.0×10 ⁻² 以下	約1.1×10 ⁻²	約1.1×10 ⁻²	約1.4×10 ⁻¹	1.0×10 ⁻² 以下
大気中へ放出され地表面に沈着した 放射性物質からのガンマ線による被ばく	約1.1×10 ¹	約1.2×10 ¹	約1.2×10 ¹	約1.2×10 ¹	約1.1×10 ¹	約1.2×10 ¹	約1.2×10 ¹	約1.2×10 ¹
作業線量率	約1.1×10 ¹	約1.5×10 ¹	約1.6×10 ¹	約1.5×10 ¹	約1.1×10 ¹	約1.5×10 ¹	約1.5×10 ¹	約1.5×10 ¹
作業時間及び移動時間	90分	□ (往路)	□ (復路)	□ (復路)	90分	□ (往路)	□ (復路)	□ (復路)
作業員の実効線量 (作業時及び移動時)	約1.7×10 ¹ mSv	約1.3×10 ¹ mSv	約4.2×10 ⁰ mSv	約4.8×10 ⁰ mSv	約1.7×10 ¹ mSv	約1.3×10 ¹ mSv	約4.1×10 ⁰ mSv	約4.9×10 ⁰ mSv
作業員の実効線量 (合計)	約3.9×10 ¹ mSv				約3.9×10 ¹ mSv			

※1 フィルタ装置入口第一弁開操作はベント実施前に行う。

※2 フィルタ装置入口第一弁開操作前は、フィルタ装置入口第一弁までのベント系配管内に浮遊した放射性物質を考慮する。

第9表 フィルタ装置入口第二弁開操作に伴う移動時及び作業時の線量 (S/Cからのベント操作の場合)

(単位: mSv/h)

被ばく経路	フィルタ装置入口第二弁開操作時 (ベント実施時)		待機時	屋内移動時 (緊急時対策所⇄入口)	
	ベント開始～ 1時間	1時間～ 2時間		2時間～ 3時間	ベント 実施前
原子炉建屋内の放射性物質からの ガンマ線による外部被ばく	約2.1×10 ⁻²	約2.1×10 ⁻²	約2.1×10 ⁻²	約1.9×10 ⁰	約1.9×10 ⁰
大気中へ放出された放 射性物質による被ばく	屋内に流入する放射性物質の 影響に包絡される		屋内に流入する放射性物質の 影響に包絡される		
	外部被ばく			約4.8×10 ⁻²	約1.1×10 ⁻¹
外気から作業場所内へ 流入した放射性物質 による被ばく	約2.8×10 ⁰	約3.5×10 ⁻²	1.0×10 ⁻² 以下	1.0×10 ⁻² 以下	約2.7×10 ⁻²
	内部被ばく			1.0×10 ⁻² 以下	1.0×10 ⁻² 以下
ベント系配管内の放射性物質からの ガンマ線による外部被ばく	1.0×10 ⁻² 以下	1.0×10 ⁻² 以下	1.0×10 ⁻² 以下	1.0×10 ⁻² 以下	1.0×10 ⁻² 以下
	約1.3×10 ⁻²	約1.3×10 ⁻²	ベント実施前のため対象外	約1.3×10 ⁻²	約1.3×10 ⁻²
大気中へ放出され地表面に沈着した 放射性物質からのガンマ線による被ばく	約1.8×10 ⁻²	約1.8×10 ⁻²	約1.8×10 ⁻²	約1.4×10 ¹	約1.2×10 ¹
	約2.8×10 ⁰	約9.1×10 ⁻²	約5.1×10 ⁻²	約1.6×10 ¹	約1.4×10 ¹
作業線量率	60分	60分	約235分	(往路)	(復路)
作業員の実効線量 (作業時及び移動時)	約2.8×10 ⁰ mSv	約9.1×10 ⁻² mSv	約1.9×10 ⁻¹ mSv	約2.9×10 ⁰ mSv	約3.3×10 ⁰ mSv
作業員の実効線量 (合計)	約1.8×10 ¹ mSv				

※1 屋外移動時は、アクセスルートからベント系配管及びフィルタ装置の距離が離れているため、評価対象外とする。

第 10 表 フィルタ装置入口第二弁開操作に伴う移動時及び作業時の線量 (D/Wからのベント操作の場合)

(単位: mSv/h)

被ばく経路	第二弁開操作時 (ベント実施時)			待機時	屋内移動時 入口 ⇒作業場所		屋外移動時 屋入口 ⇒緊急時対策所	
	ベント開始～ 1時間	1時間～ 2時間	2時間～ 3時間		ベント 実施前	ベント 実施後	ベント 実施前	ベント 実施後
原子炉建屋内の放射性物質からの ガンマ線による外部被ばく	約2.0×10 ⁻²	約2.0×10 ⁻²	約2.0×10 ⁻²	ベント 実施前 約2.0×10 ⁻²	ベント 実施後 約1.9×10 ⁰	ベント 実施前 約1.9×10 ⁰	ベント 実施後 約1.9×10 ⁰	
大気中へ放出された放 射性物質による被ばく	屋内に流入する放射性物質の 影響に包絡される			屋内に流入する放射性物質の 影響に包絡される				
	外部被ばく							
外気から作業場所内へ 流入した放射性物質 による被ばく	約1.3×10 ⁰	約2.2×10 ⁻¹	約6.3×10 ⁻²	1.0×10 ⁻² 以下	1.0×10 ⁻² 以下	1.0×10 ⁻² 以下	約1.2×10 ¹	
	内部被ばく	正圧化により流入なし			1.0×10 ⁻² 以下	1.0×10 ⁻² 以下	1.0×10 ⁻² 以下	約2.1×10 ⁰
ベント系配管内の放射性物質からの ガンマ線による外部被ばく フィルタ装置内の放射性物質からの ガンマ線による外部被ばく 大気中へ放出され地表面に沈着した 放射性物質からのガンマ線による被ばく	1.0×10 ⁻² 以下	1.0×10 ⁻² 以下	1.0×10 ⁻² 以下	1.0×10 ⁻² 以下	1.0×10 ⁻² 以下	1.0×10 ⁻² 以下	1.0×10 ⁻² 以下	
	約1.3×10 ⁻²	約1.3×10 ⁻²	約1.3×10 ⁻²	ベント実施前のため対象外	約1.3×10 ⁻²	約1.3×10 ⁻²	約1.3×10 ⁻²	
	約2.3×10 ⁻²	約2.3×10 ⁻²	約2.3×10 ⁻²	約2.3×10 ⁻²	約2.3×10 ⁻²	約1.4×10 ¹	約1.9×10 ¹	
作業線量率	約1.4×10 ⁰	約2.9×10 ⁻¹	約1.2×10 ⁻¹	約5.3×10 ⁻²	約1.6×10 ¹	約1.6×10 ¹	約4.4×10 ¹	
作業時間及び移動時間	60分	60分	60分	約235分	約2.7×10 ⁰ mSv (往路)	約2.7×10 ⁰ mSv (復路)	約2.7×10 ⁰ mSv (復路)	
作業員の実効線量 (作業時及び移動時)	約1.4×10 ⁰ mSv	約2.9×10 ⁻¹ mSv	約1.2×10 ⁻¹ mSv	約2.1×10 ⁻¹ mSv	約6.4×10 ⁰ mSv	約5.9×10 ⁰ mSv	約1.0×10 ¹ mSv	
作業員の実効線量 (合計)	約2.7×10 ¹ mSv							

※1 屋外移動時は、アクセスルートからベント系配管及びフィルタ装置の距離が離れているため、評価対象外とする。

補足 1 格納容器漏えい率の設定について

原子炉格納容器からの原子炉建屋への漏えい率は、MAAP内で模擬した漏えい孔の等価漏えい面積及び原子炉格納容器の圧力に応じて設定している。

模擬する漏えい孔の等価漏えい面積は、以下に示す格納容器圧力が最高使用圧力である 310kPa [gage] (1Pd) 以下の場合と最高使用圧力を超過した後の場合の 2 種類を設定する。

ただし、MAAP解析においては、よう素の化学組成について考慮されておらず、全て粒子状よう素として扱われることから、無機よう素及び有機よう素の格納容器漏えい率は別途設定する。

1. 格納容器圧力が最高使用圧力以下の場合

格納容器圧力が最高使用圧力以下の場合、設計漏えい率 (0.9Pd で 0.5%/日) を基に算出した等価漏えい面積 (約 $3 \times 10^{-6} \text{m}^2$) を設定し、MAAP内で圧力に応じた漏えい量を評価している。

2. 格納容器圧力が最高使用圧力を超過した場合

格納容器圧力が最高使用圧力を超過した場合、2Pd で漏えい率 1.3%/日となる等価漏えい面積 (約 $7 \times 10^{-6} \text{m}^2$) を設定し、1.と同様にMAAP内で圧力に応じた漏えい量を評価している。

2Pdにおける漏えい率 1.3%/日は、以下のAECの評価式、GEの評価式及び定常流の式によって評価した漏えい率の結果を包絡する値として設定した。これらの式は、設計基準事故の原子炉冷却材喪失時の評価において格納容器漏えい率の評価に用いている理論式^{*1}である。格納容器圧力が最高使用圧力の 2 倍である 620kPa [gage] (2Pd) 及び格納容器雰囲気温度 200°C までは、

事故後 7 日間に渡り、格納容器本体並びに開口部及び貫通部の健全性が確保されていることを確認していることから、これらの理論式を用いて格納容器圧力 2Pd 及び雰囲気温度 200℃における漏えい率を設定することは可能と判断した。

○A E C の評価式

$$L = L_0 \sqrt{\frac{(P_t - P_a) \times R_t \times T_t}{(P_d - P_a) \times R_d \times T_d}}$$

L	： 事故時の格納容器漏えい率 (2Pd)	【約 1.28%/日】
L ₀	： 設計漏えい率 (0.9Pd)	【0.5%/日】
P _t	： 事故時の格納容器内圧力 (2Pd)	【721.325kPa [abs]】
P _d	： 設計圧力 (0.9Pd)	【380.325kPa [abs]】
P _a	： 格納容器外の圧力 (大気圧)	【101.325kPa [abs]】
R _t	： 事故時の気体定数 ^{※2}	【523.7J/Kg・K】
R _d	： 空気の気体定数	【287J/Kg・K】
T _t	： 事故時の格納容器雰囲気温度 (200℃)	【473.15K】
T _d	： 格納容器雰囲気温度 (20℃)	【293.15K】

○GE の評価式 (General Electric 社の漏えいモデル式)

$$L = L_0 \sqrt{\frac{1 - \left(\frac{P_a}{P_t}\right)^2}{1 - \left(\frac{P_a}{P_d}\right)^2}}$$

L	事故時の格納容器漏えい率 (2Pd)	【約 0.51%/日】
L_0	設計漏えい率 (0.9Pd)	【0.5%/日】
P_t	事故時の格納容器内圧力 (2Pd)	【721.325kPa [abs]】
P_d	設計圧力 (0.9Pd)	【380.325kPa [abs]】
P_a	格納容器外の圧力 (大気圧)	【101.325kPa [abs]】

○定常流の式

$$L = L_0 \sqrt{\frac{\rho_d(P_t - P_a)}{\rho_t(P_d - P_a)}}$$

L	事故時の格納容器漏えい率 (2Pd)	【約 0.93%/日】
L_0	設計漏えい率 (0.9Pd)	【0.5%/日】
ρ_t	事故時の格納容器内気体の平均密度 ^{※3}	【2.9kg/m ³ 】
ρ_d	設計温度・圧力における格納容器内気体の平均密度 ^{※4}	【4.5kg/m ³ 】
P_t	事故時の格納容器内圧力 (2Pd)	【721.325kPa [abs]】
P_d	設計圧力 (0.9Pd)	【380.325kPa [abs]】
P_a	格納容器外の圧力 (大気圧)	【101.325kPa [abs]】

※1 「沸騰水型原子力発電所 事故時の被ばく評価手法について (平成 16 年 1 月)」(株式会社 日立製作所)

※2 事故時の気体定数 R_t は、以下の式により算出した。

$$R_t \text{ [J/kg}\cdot\text{K]} = \text{モル気体定数約 } 8.314 \text{ [J/K}\cdot\text{mol]} \text{ / 平均分子量M [kg/mol]}$$

A E C の評価式より、事故時の気体定数が大きくなるほど漏えい率は高くなる。また、上記計算式より、事故時の気体定数は、平均分子量が小さくなるほど大きくなる。事故時の原子炉格納容器内は水素、窒素及び水蒸気で構成されるため、分子量の小さい水素の割合が増加するほど平均分子量は小さくなり、結果として事故時の気体定数は大きくなる。平均分子量の設定に当たり、水素、窒素及び水蒸気のガス組成を 34% : 33% : 33% とし、水素の割合 (34%) は、有効性評価 (「雰囲気圧力・温度による静的負荷 (格納容器過圧・過温破損) 」) における水素発生量 (約 700kg (内訳: ジルコニウム-水反応 約 325kg, アルミニウム/亜鉛の反応 約 246kg, 水の放射線分解 約 115kg)) を包含した値であることから、保守的な設定であると考え。

※3 事故時の格納容器内気体の平均密度 ρ_t は、以下の式により算出した。

$$\rho_t \text{ [kg/m}^3\text{]} = \text{平均分子量M [kg/mol]} \times \text{物質質量n [mol]} \text{ / 格納容器体積V [m}^3\text{]}$$

定常流の式より、事故時の原子炉格納容器内気体の平均密度が小さくなるほど漏えい率は大きくなる。また、上記計算式より、事故時の原子炉格納容器内気体の平均密度は、平均分子量が小さくなるほど小さくなる。平均分子量は※2 と同じであり、保守的な設定であると考え。

※4 原子炉格納容器内気体の平均密度 ρ_d は、以下の式により算出した。

$$\rho_d \text{ [kg/m}^3\text{]} = 1.205 \text{ [kg/m}^3\text{]} \times (P_d \text{ [Pa]} \text{ / } P_a \text{ [Pa])}$$

1.205 [kg/m³] : 乾燥空気密度 (20°C)

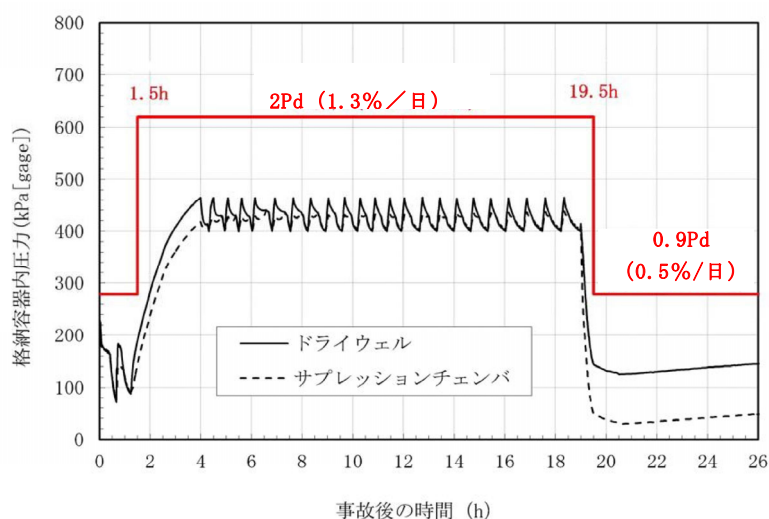
3. 無機よう素及び有機よう素の格納容器漏えい率

(1) 無機よう素

他の核種と同様に格納容器圧力に応じて漏えい率が変動すると考えるが、MAAP解析において無機よう素を模擬していないため、MAAP解析結果による格納容器圧力を基に漏えい率を設定する。

漏えい率の設定に当たっては、第1図のとおりMAAP解析結果による格納容器圧力を包絡した格納容器圧力を設定し、その格納容器圧力に対する漏えい率を設定している。

このように設定した漏えい率は、0.9Pd以下で0.5%/日、0.9Pd超過で1.3%/日を一律に与えるものであり、MAAP解析における漏えい率を包絡した保守的な設定であると考えられる。



第1図 格納容器圧力と漏えい率の時間変化
(無機よう素の格納容器漏えい率の設定)

(2) 有機よう素

有機よう素についても，無機よう素と同様の漏えい率の設定が可能であるが，有機よう素がガス状として振る舞うこと及び原子炉格納容器内での除去効果を受けない点で希ガスに類似していることから，MAAP解析における希ガスと同じ挙動を示すものとし，1.及び2.に基づき漏えい率を設定する。

補足 2 原子炉格納容器内での除去効果について

MAAPにおけるエアロゾルに対する原子炉格納容器内の除去効果として、沈着、サプレッション・プールでのスクラビング及びドライウェルスプレイを考慮している。また、沈着については、重力沈降、拡散泳動、熱泳動、慣性衝突、核分裂生成物（以下「FP」という。）ガス凝縮/再蒸発で構成される。（「重大事故等対策の有効性評価に係るシビアアクシデント解析コードについて」の「第5部 MAAP」（抜粋）参照）

「重大事故等対策の有効性評価に係るシビアアクシデント解析コードについて」
の「第5部 MAAP」（抜粋）

(2) FPの状態変化・輸送モデル

高温燃料から出た希ガス以外のFPは雰囲気温度に依存して凝固し、エアロゾルへ変化する。気相及び液相中のFPの輸送においては、熱水力計算から求まる体積流量からFP輸送量を計算する。FPがガス状とエアロゾル状の場合は、気体の流れに乗って、原子炉圧力容器内と原子炉格納容器内の各部に輸送される。水プール上に沈着したFPの場合は、区画内の水の領域間の移動に伴って輸送される。また、炉心あるいは溶融炉心中のFPの場合は、溶融炉心の移動量に基づいて輸送される。

FPの輸送モデルは上述の仮定に基づいており、炉心燃料から放出されてから原子炉格納容器に到達する経路としては、次のとおりである。燃料から原子炉圧力容器内に放出されたFPは、原子炉圧力容器破損前にはLOCA破損口あるいは逃がし安全弁から原子炉格納容器へ放出される。また、原子炉圧力容器破損後には原子炉圧力容器破損口若しくは格納容器下部に落下した溶融炉心からFPが原子炉格納容器へ放出される。逃がし安全弁を通じて放出されたFPはスクラビングによってサプレッション・チェンバ液相部へ移行する。原子炉格納容器の気相部へ放出されたFPは、気体の流れに伴って原子炉格納容器内を移行する。

原子炉圧力容器及び原子炉格納容器内の気体、エアロゾル及び構造物表面上（沈着）の状態間の遷移を模擬している。原子炉格納容器内のF P輸送モデル概要を図3.3-15に示す。

エアロゾルの沈着の種類としては、重力沈降、拡散泳動、熱泳動、慣性衝突、F Pガス凝縮、F Pガス再蒸発を模擬している。なお、沈着したエアロゾルの再浮遊は考慮していない。

重力沈降は、Stokesの重力沈降式とSmoluchowski方程式（エアロゾルの粒径分布に対する保存式）の解から得られる無次元相関式を用いて、浮遊するエアロゾル質量濃度から沈着率を求める。なお、Smoluchowski方程式を無次元相関式としているのは解析時間短縮のためであり、この相関式を使用したMAAPのモデルは様々な実験データと比較して検証が行われている。

拡散泳動による沈着は、水蒸気凝縮により生じるStefan流（壁面へ向かう流体力学的気流）のみを考慮して沈着率を求める。

熱泳動による沈着は、Epsteinのモデルを用い、沈着面での温度勾配による沈着速度及び沈着率を求める。

慣性衝突による沈着は、原子炉格納容器内でのみ考慮され、流れの中にある構造物に、流線から外れたエアロゾルが衝突するものと仮定し、沈着率は重力沈降の場合と同様にSmoluchowski方程式の解から得られる無次元相関式を用いて求める。

F Pガスの凝縮は、F Pガスの構造物表面への凝縮であり、雰囲気中の気体状F P圧力がF P飽和蒸気圧を超えると構造物表面への凝縮を計算する。

5-66

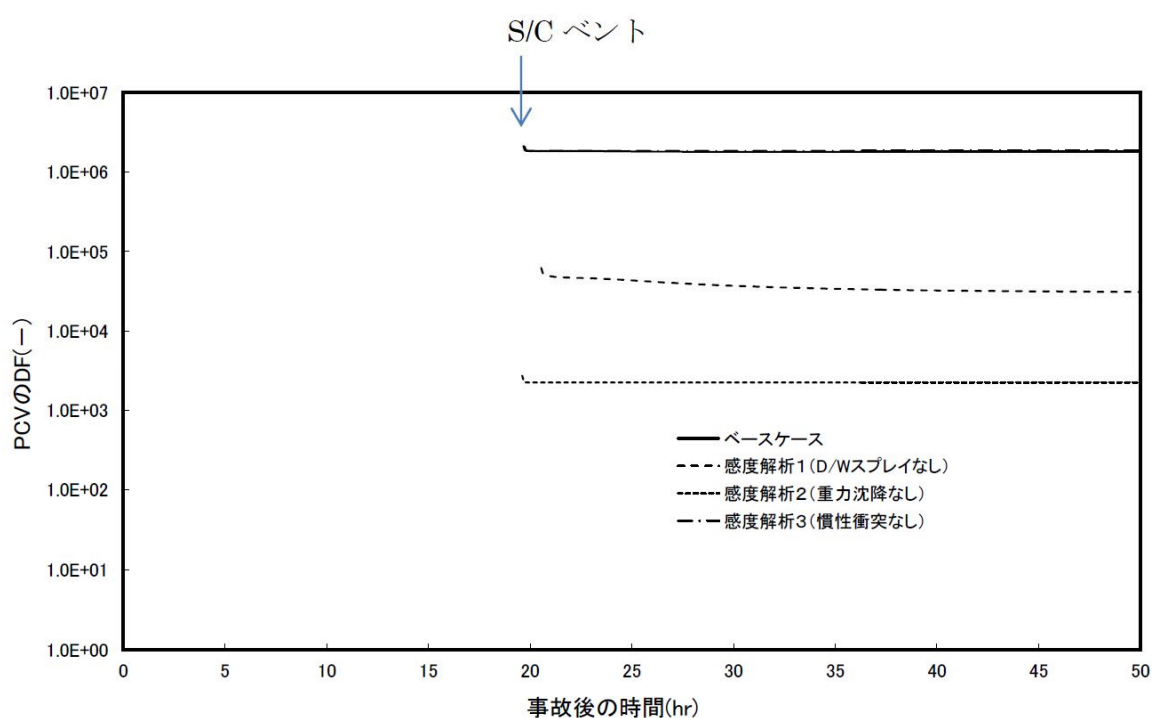
F Pガスの再蒸発は、凝縮と逆であり、気体状F Pの圧力がF Pの飽和蒸気圧を下回ると、蒸発が起こると仮定している。

エアロゾルのプール水によるスクラビング現象による除去効果の取り扱いに関しては、スクラビングによる除染係数(D F)を設定し、エアロゾル除去効果が計算される。D Fの値は、クエンチャ、垂直ベント、水平ベントの3つの種類のスクラビング機器に対し、詳細コード SUPRA^[9]を用いて、圧力、プール水深、キャリアガス中の水蒸気質量割合、プール水のサブクール度及びエアロゾル粒子径をパラメータとして評価した結果を内蔵しており、これらのデータから求める。

また、格納容器スプレーによるF P除去も模擬しており、スプレー液滴とエアロゾルとの衝突による除去率を衝突効率、スプレーの液滴径、流量及び落下高さから計算する。

1. 沈着及びドライウェルスプレイによる除去効果

沈着及びドライウェルスプレイによる除去効果を確認するため、感度解析を行った。感度解析結果を第1図に示す。なお、感度解析では、以下の式により原子炉格納容器内の除去効果を算出している。

$$\text{原子炉格納容器内 DF} = \text{原子炉格納容器内への CsI 放出割合} / \text{ベントラインから大気への CsI 放出割合}$$


第1図 エアロゾルに対する原子炉格納容器内の除去効果（感度解析結果）

第1図より、全除去効果を考慮したベースケースにおけるDF（ 10^6 オーダー）との比較から、重力沈降のDFは 10^3 程度、ドライウェルスプレイのDFは $10 \sim 10^2$ 程度であることがわかる。これより、重力沈降及びドライウェルスプレイ両方によるDFは $10^4 \sim 10^5$ 程度となるため、エアロゾルに対する原子炉格納容器内の除去効果は重力沈降及びドライウェルスプレイの影響が大きいと考える。

2. サプレッション・プールでのスクラビングによる除去効果

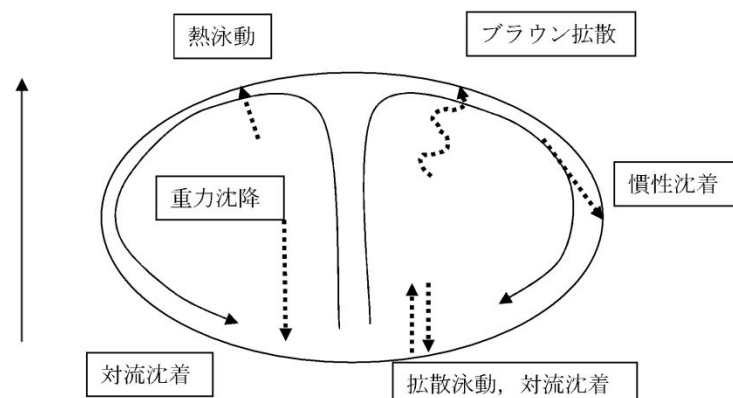
(1) スクラビング効果について

スクラビングは、エアロゾルを含む気体がプール内に移行する場合、気泡が分裂しながら上昇していく過程においてエアロゾルが気泡界面に到達した時点で水に溶解して気体から除去される現象である。スクラビングにおけるエアロゾル除去のメカニズムは、プールへの注入時の水との衝突や気泡がプール水中を上昇していく過程における慣性衝突等が考えられる。

(2) M A A P 解析上の扱いについて

スクラビングによる除去効果について、M A A P 解析ではスクラビング計算プログラム（S U P R A コード）により計算された D F 値のデータテーブルに、プール水深、エアロゾルの粒子径、キャリアガス中の水蒸気割合、格納容器圧力及びサプレッション・プールのサブクール度の条件を補間して求めている。

S U P R A コードでは、スクラビングに伴う初期気泡生成時及び気泡上昇時のエアロゾルの除去効果をモデル化しており、気泡挙動（気泡サイズ及び気泡上昇速度）、初期気泡生成時の D F、気泡上昇時の D F を評価式により与えている。第 2 図に、気泡中のエアロゾルが気泡界面に到達するまでの過程を示す。気泡上昇時における各過程の除去速度を評価することでエアロゾルの D F を与えている。



第 2 図 スクラビングによるエアロゾル捕集効果

(3) SUPRAコードによる計算結果と実験結果の比較について

SUPRAコードによる計算結果については、電力共同研究^{*1}にて実験結果との比較検討が行われている。試験条件及び試験装置の概要を第 1 表及び第 3 図に示す。また、試験結果を第 4 図から第 10 図に示す。

試験結果より、SUPRAコードによる計算結果と実験結果について、キャリアガス流量等のパラメータ値の増減によるDF値の傾向は概ね一致していることを確認した。

また、粒径 μm までの粒子について、SUPRAコードによる計算結果が実験結果より小さいDF値を示しており、保守的な評価であることを確認した。

一方、粒径 μm の粒子について、SUPRAコードによる計算結果が実験結果より大きいDF値を示しているが、これは実験とSUPRAコードで用いている粒子の違い（実験：LATEX粒子（密度 g/cm^3 ）、SUPRAコード：CsOH（密度 g/cm^3 ）が影響しているためである。SUPRAコードの計算結果を密度補正^{*2}した第 7 図及び第 9 図では、SUPRAコードによる計算結果は実験結果より概ね小さいDF値を示すことが確認できる。

以上より、SUPRAコードにより計算されたDF値を用いることは妥当と考える。

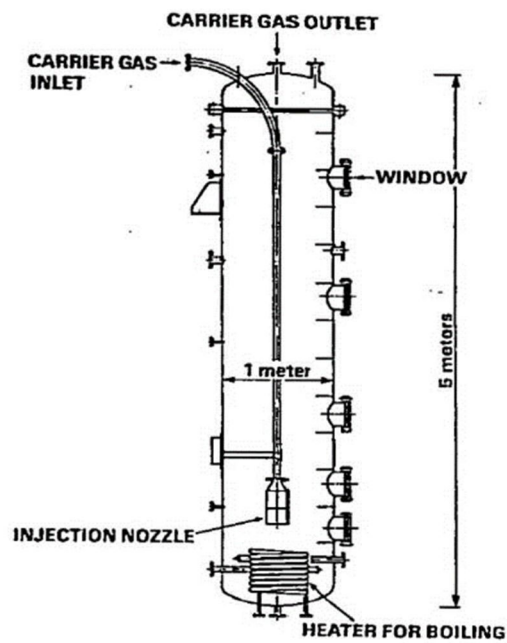
※1 共同研究報告書「放射能放出低減装置に関する開発研究」(PHASE 2) 最終報告書 平成5年3月

※2 実験ではLATEX粒子を用いているため、その粒径は []
[]

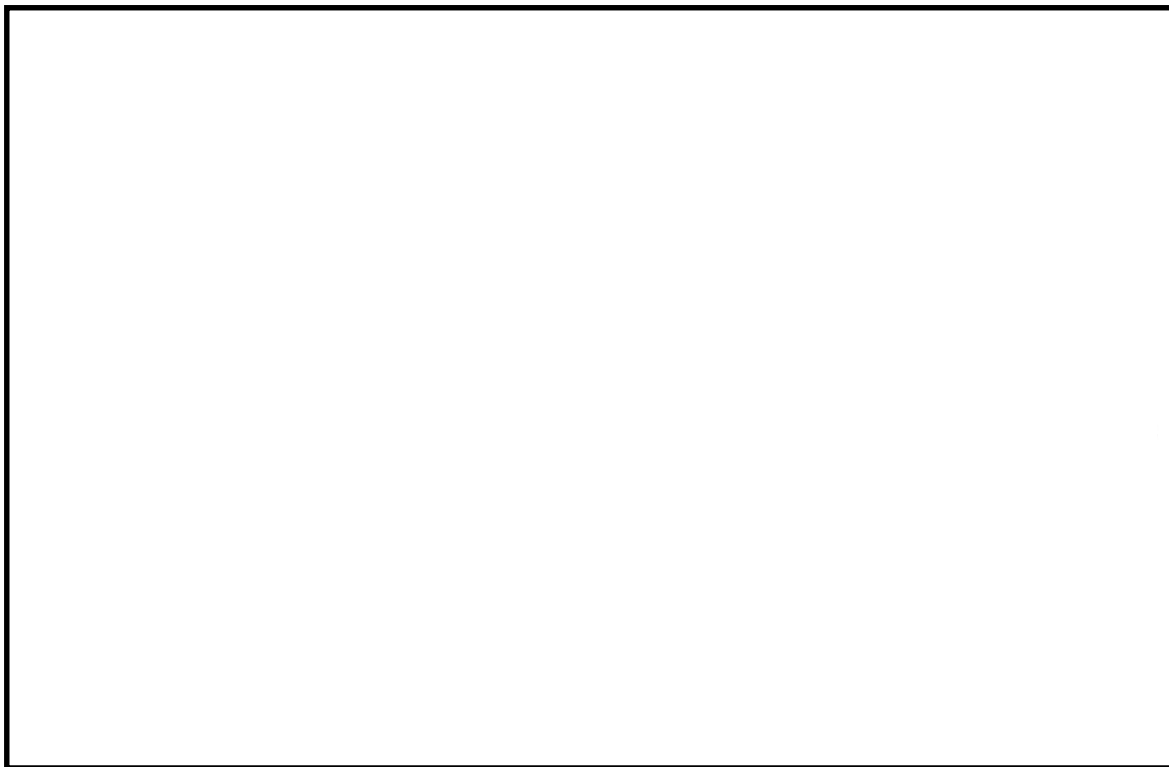
となる。一方、SUPRAコードではCsOHの粒径を基にしているため、粒径に粒子密度 [] g/cm³) の平方根を乗じることにより [] に換算する。

第 1 表 試験条件

Parameter		Standard Value	Range
Geometric property	injection nozzle diameter (cm)	15	1~15
	scrubbing depth (meters)	2.7	0~3.8
Hydraulic property	pool water temperature (°C)	80	20~110
	carrier gas temperature (°C)	150	20~300
	steam fraction (vol. %)	50	0~80
	carrier gas flow rate (L/min)	500	300~2000
Aerosol property	particle diameter (μm)	0.21~1.1	0.1~1.9
	material	LATEX	LATEX, CsI



第 3 図 試験装置の概要



第 4 図 キャリアガス流量に対する D F の比較



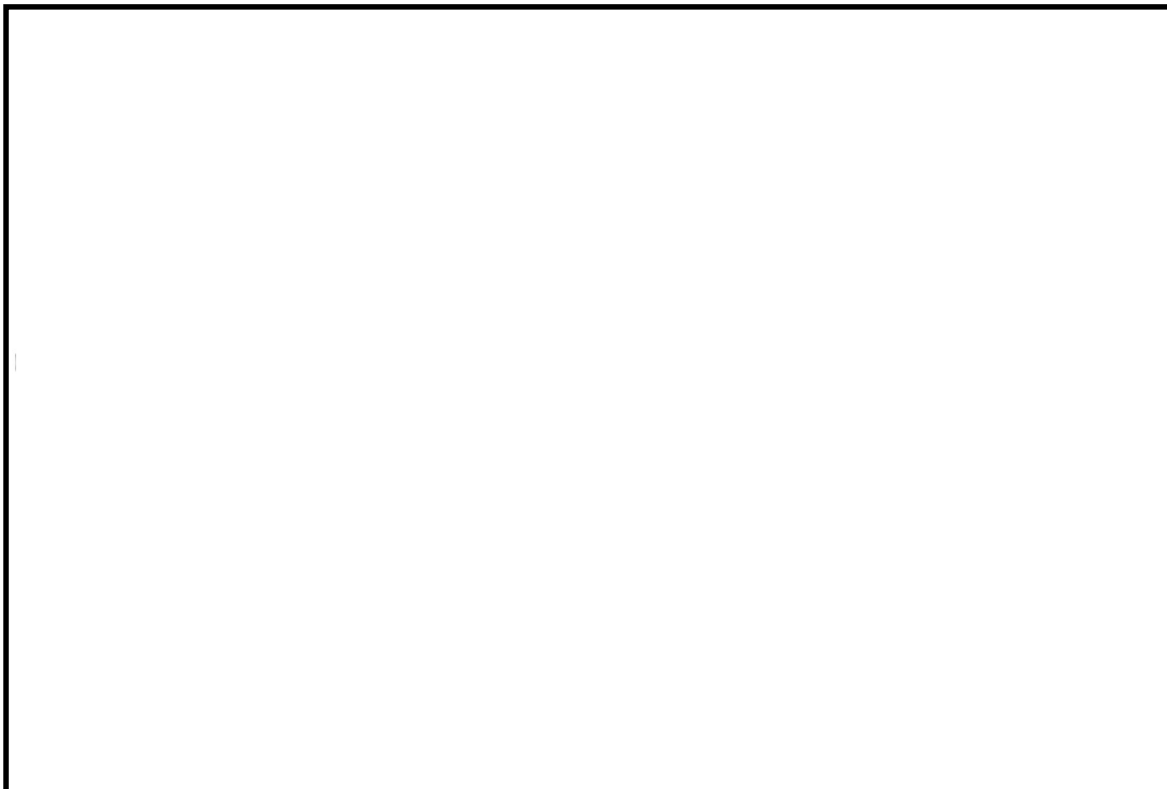
第 5 図 プール水温に対する D F の比較



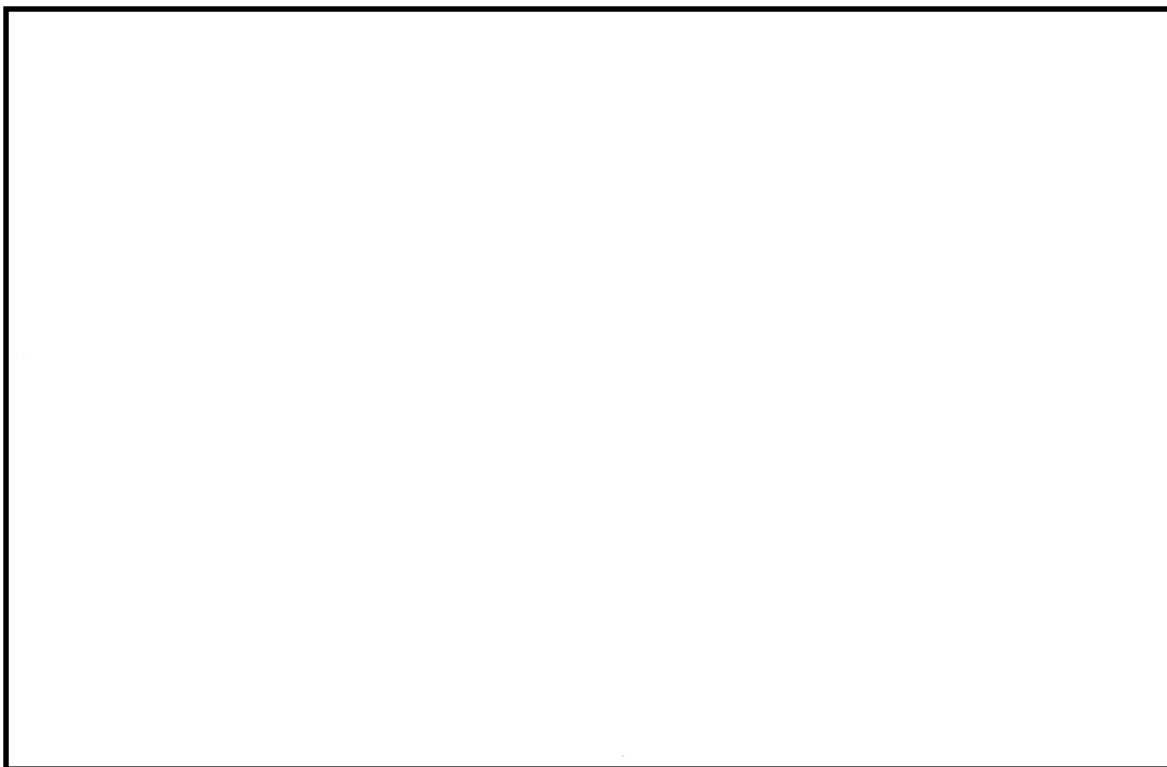
第 6 図 水蒸気割合に対する D F の比較



第 7 図 水蒸気割合に対する D F の比較 (密度補正)



第 8 図 スクラビング水深に対する D F の比較



第 9 図 スクラビング水深に対する D F の比較 (密度補正)



第 10 図 ガス温度に対する D F の比較

(4) 沸騰による除去効果への影響について

「雰囲気圧力・温度による静的負荷（格納容器過圧・過温破損）」の代替循環冷却系を使用できない場合における事故シーケンスでは、第 11 図のとおり、格納容器圧力逃がし装置による格納容器減圧及び除熱の実施に伴いサプレッション・プールは飽和状態（沸騰状態）になるため、サプレッション・プールの沸騰による除去効果への影響を確認した。M A A P 解析条件及び評価結果を第 2 表及び第 3 表に示す。なお、エアロゾルの粒径については、スクラビング前後でそれぞれ最も割合の多い粒径について除去効果への影響を確認した。その結果、第 3 表のとおり沸騰時の除去効果は非沸騰時に比べて小さいことを確認した。

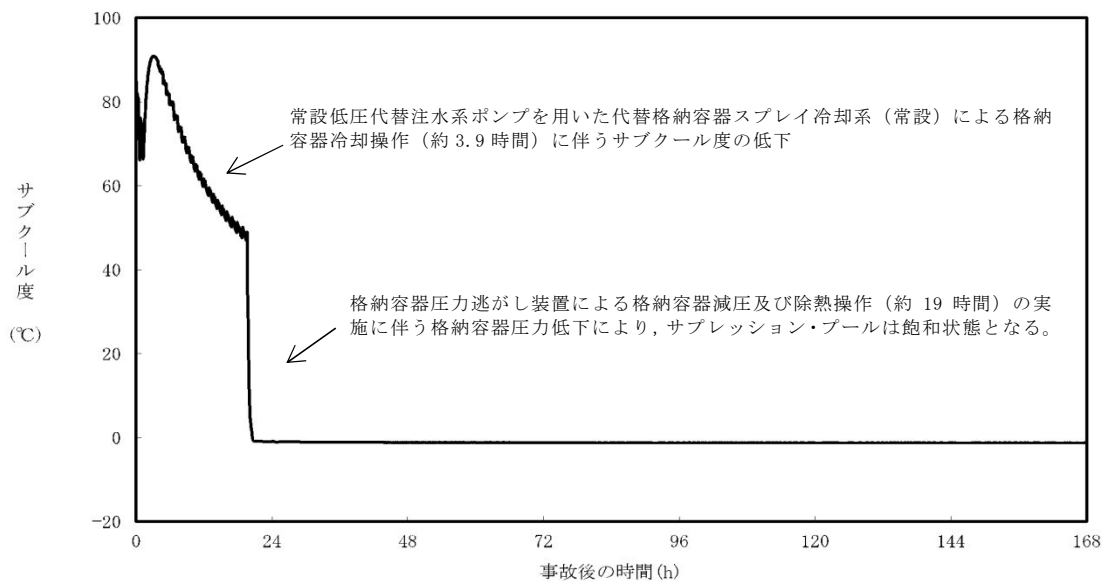
ただし、「雰囲気圧力・温度による静的負荷（格納容器過圧・過温破損）」の代替循環冷却系を使用できない場合における事故シーケンスでは、第 12

図のとおり、原子炉压力容器内のCs-137は、大破断LOCAにより生じた破断口より格納容器内気相部へ移行し、その後重力沈降等により、事象発生5時間程度で大部分が原子炉格納容器内液相部へ移行するため、本評価においてサプレッション・プールの沸騰による除去効果の減少の影響はほとんどないと考える。

なお、CsI、CsOHの沸点はそれぞれ1,280°C、272.3°C以上^{※2}であり、シビアアクシデント時に原子炉格納容器内でCsI、CsOHが揮発することは考えにくい。サプレッション・プールの沸騰に伴い液相部中のCsI、CsOHの一部が気相部へ移行する可能性がある。ただし、その場合でも、ドライウェルから格納容器圧力逃がし装置を介した場合のCs-137放出量（事象発生7日間で約18TBq）に包絡されると考えられる。

※2 化合物の辞典 高本 進・稲本直樹・中原勝儼・山崎 昶[編集] 1997

年 11 月 20 日



第 11 図 サプレッション・プールのサブクール度の推移

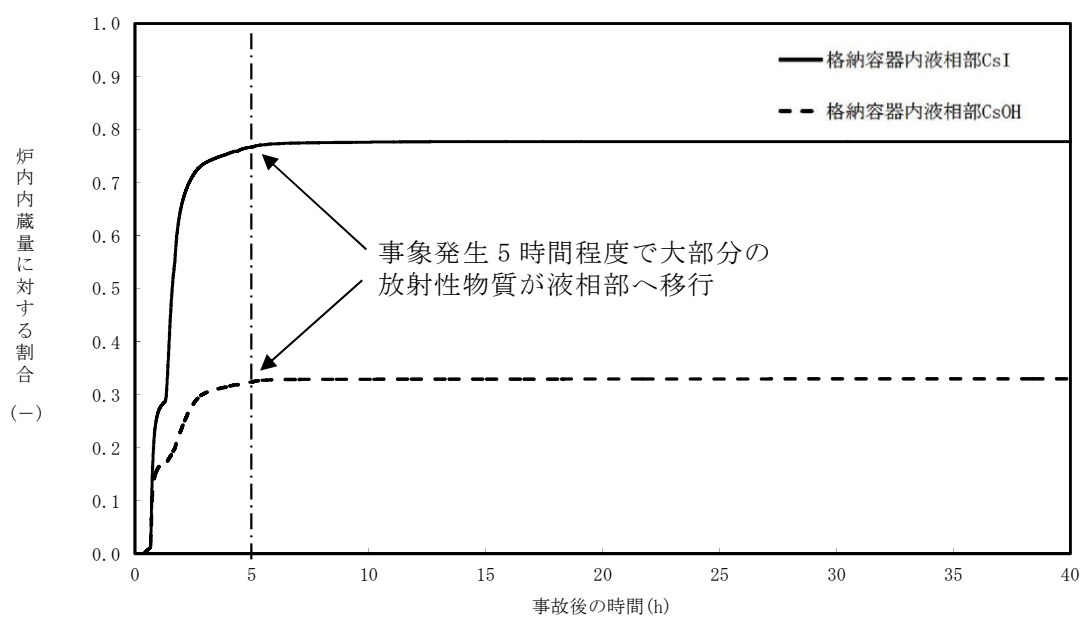
第 2 表 評価条件

項目	評価条件※	選定理由
蒸気割合	□ %	格納容器ベント実施前のドライウエルにおける蒸気割合（約 55%）相当
格納容器圧力	□ kPa [gage]	格納容器ベント実施前の格納容器圧力（400～465kPa [gage]）相当
サブプレッション・プール水深	□ m	実機では水深 3m 以上のため，設定上限値を採用
サブクール度	□ °C	未飽和状態として設定（設定上限値）
	□ °C	飽和状態として設定（設定下限値）
エアロゾルの粒径（半径）	□ μm	スクラビング前において，最も割合が多い粒径
	□ μm	スクラビング後において，最も割合が多い粒径

※ SUPRAコードにより計算されたデータテーブルの設定値を採用

第 3 表 評価結果

粒径 (半径)	D F	
	未飽和状態 (サブクール度 <input type="text"/> C)	飽和状態 (サブクール度 <input type="text"/> C)
<input type="text"/> μm	<input type="text"/>	
<input type="text"/> μm		



第 12 図 原子炉格納容器内液相部中の存在割合

補足 3 原子炉格納容器内における無機よう素の自然沈着効果について

1. 無機よう素の自然沈着率の設定

原子炉格納容器内での無機よう素の除去効果として、自然沈着率 9.0×10^{-4} (1/s) (原子炉格納容器内の最大存在量から 1/200 まで) を用いている。以下に、自然沈着率の算出に関する概要を示す。

原子炉格納容器内における無機よう素の自然沈着について、財団法人原子力発電技術機構 (以下「NUPEC」という。) による検討「平成 9 年度 NUREG-1465 のソースタームを用いた放射性物質放出量の評価に関する報告書 (平成 10 年 3 月)」において、CSE (Containment Systems Experiment) A6 実験に基づく値が示されている。

原子炉格納容器内での無機よう素の自然沈着率を λ_d ($\mu\text{g}/\text{m}^3$) とすると、原子炉格納容器内における無機よう素濃度 ρ の濃度変化 (1/s) は式 1 で表され、自然沈着率 λ_d は時刻 t_0 における無機よう素濃度 ρ_0 と時刻 t_1 における無機よう素濃度 ρ_1 を用いて式 2 のとおりとなる。

$$\frac{d\rho}{dt} = -\lambda_d \rho \quad (\text{式 1})$$

$$\lambda_d = -\frac{1}{t_1 - t_0} \log \left(\frac{\rho_1}{\rho_0} \right) \quad (\text{式 2})$$

なお、NUPEC の報告書では、Nuclear Technology “Removal of Iodine and Particles by Sprays in the Containment Systems Experiment” の記載 (CSE A6 実験) より、時刻 0 分における無機よう素の気相濃度 $10^5 \mu\text{g}/\text{m}^3$ 及び時刻 30 分における無機よう素の気相濃度 $1.995 \times 10^4 \mu\text{g}/\text{m}^3$ を上式に代入することで、式 3 のとおり、無機よう素の自然沈着率 9.0×10^{-4} (1/s) を算出したとしている。

$$\lambda_d = -\frac{1}{30 \times 60 - 0} \log \left(\frac{1.995 \times 10^4}{10^5} \right) \approx 9.0 \times 10^{-4} \quad (\text{式 3})$$

この自然沈着率は, B N W L - 1244, “Removal of Iodine and Particles from Containment Atmospheres by Spray-Containment Systems Experiment Interim Report” の C S E A 6 実験による無機よう素の気相部濃度の時間変化を表す図に基づくものである。時刻 0 分~30 分の濃度変化は, よう素の浮遊量が多く, 格納容器スプレイを考慮していない事故初期の状態を模擬していると考えられる。(第 1 図参照)

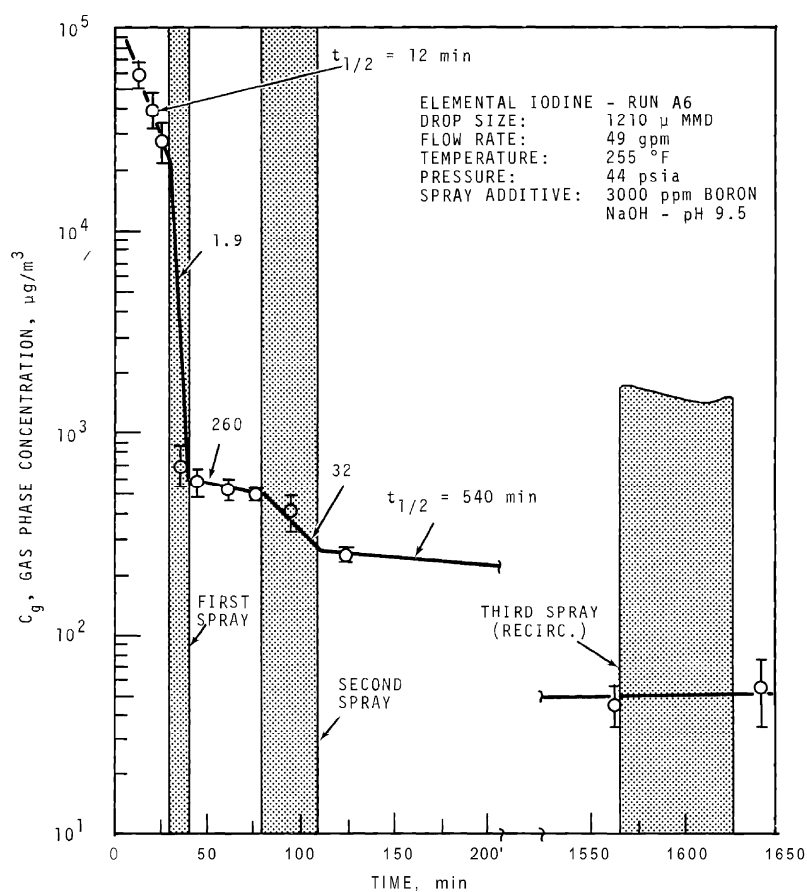


FIGURE 9. Concentration of Elemental Iodine in the Main Room, Run A6

第 1 図 CSE A6 実験による無機よう素の濃度変化図

2. C S E 実験の適用について

C S E 実験条件と東海第二発電所の評価条件の比較を第 1 表に示す。

第 1 表 C S E 実験と東海第二発電所の評価条件の比較

	C S E 実験の Run No.			東海第二発電所
	A 6 ^{※1, ※2}	A 5 ^{※3}	A 1 1 ^{※3}	
雰囲気	蒸気+空気	同左	同左	同左
雰囲気圧力 (MPa[gage])	約 0.20	約 0.22	約 0.24	約 0.47 以下 ^{※4}
雰囲気温度 (°C)	約 120	約 120	約 120	約 200 以下 ^{※4}
格納容器 スプレイ	間欠 ^{※5}	なし	なし	間欠 ^{※6}

- ※1 R. K. Hilliard et. al, “Removal of iodine and particles by sprays in the containment systems experiment”, Nucl. Technol. Vol 10 pp499-519, 1971
- ※2 R. K. Hilliard et. al, “Removal of iodine and particles from containment atmospheres by sprays”, BNWL-1244
- ※3 R. K. Hilliard and L. F. Coleman, “Natural transport effects on fission product behavior in the containment systems experiment”, BNWL-1457
- ※4 評価事故シーケンスにおける格納容器圧力及び雰囲気温度の M A A P 解析結果より記載
- ※5 A6 実験はスプレイを伴う実験だが、自然沈着率の算出には 1 回目のスプレイ実施前における原子炉格納容器内の濃度変化より設定している
- ※6 格納容器スプレイを実施するが、評価上は無機よう素の除去効果に対しては自然沈着のみ考慮し、格納容器スプレイによる除去効果は考慮しない

スプレイを使用していない A 5 及び A 1 1 における無機よう素の原子炉格納容器内気相部濃度の時間変化を第 2 図に示す。初期の沈着については A6 と同様の傾向を示すとともに、初期濃度より数百分の 1 程度まで低下した後は緩やかとなる傾向が見られる。また、米国 SRP6. 5. 2 では、原子炉格納容器内の無機よう素濃度が 1/200 になるまでは無機よう素の除去が見込まれるとしている。

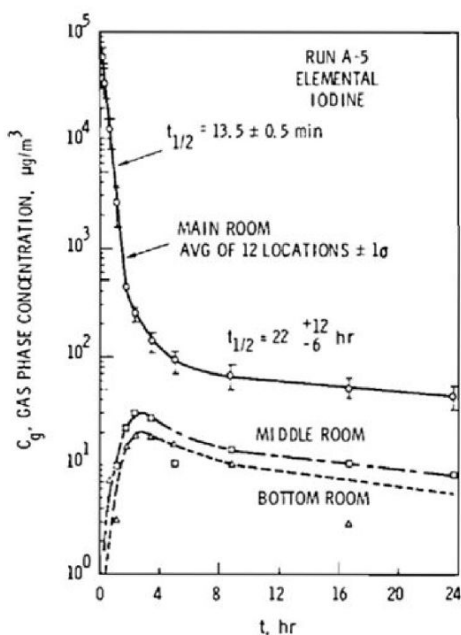


FIGURE B-5.
Concentration of Elemental Iodine in Gas Space, Run A-5

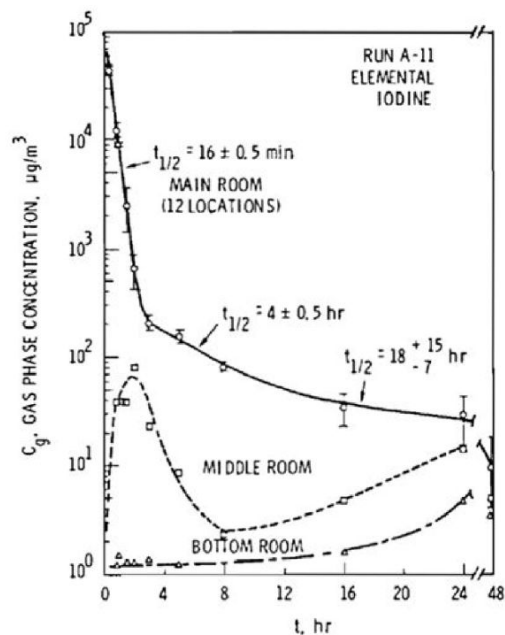


FIGURE B-6.
Concentration of Elemental Iodine in Gas Space, Run A-11

第 2 図 C S E A 5 及び A 1 1 実験における無機よう素の
原子炉格納容器内気相部濃度の時間変化

自然沈着率は、評価する体系の体積と内表面積の比である比表面積の影響を受け、比表面積が大きいほど自然沈着率は大きくなると考えられるため、C S E 実験における体系と東海第二発電所の比表面積について第 2 表に示す。表から C S E 実験と東海第二発電所の比表面積は同程度となっていることが確認できる。

第 2 表 C S E 実験と東海第二発電所の比表面積の比較

	C S E 実験体系	東海第二発電所
体積 (m ³)	約 600	約 5,700
表面積 (m ²)	約 570	約 5,900
比表面積 (1/m)	約 0.96	約 1.04

補足 4 サプレッション・プールでのスクラビングによる除去効果（無機よう素）

サプレッション・プールでのスクラビングによる無機よう素の除去効果（以下「DF」という。）として、Standard Review Plan 6.5.5に基づきDF10を設定している。これはStandard Review Plan 6.5.5において、「無機よう素のスクラビングによる除去効果として、Mark - II及びMark - IIIに対してDF10以下、Mark - Iに対してDF5以下を主張する場合は、特に計算を必要とせず容認しても良い」との記載に基づくものであり（抜粋参照）、東海第二発電所はMark - II型原子炉格納容器を採用していることから、サプレッション・プールの沸騰の有無に関わらず、DF10を適用することとしている。

なお、有機よう素についてはガス状の性質であることから、本DFの効果には期待していない。粒子状よう素のDFについては、MAAP解析のスクラビング計算プログラム（SUPRAコード）にて評価している。

「Standard Review Plan 6.5.5」（抜粋）

1. **Pool Decontamination Factor.** The decontamination factor (DF) of the pool is defined as the ratio of the amount of a contaminant entering the pool to the amount leaving. Decontamination factors for each fission product form as functions of time can be calculated by the SPARC code. An applicant may use the SPARC code or other methods to calculate the retention of fission products within the pool, provided that these methods are described in the SAR adequately to permit review. If the time-integrated DF values claimed by the applicant for removal of particulates and elemental iodine are 10 or less for a Mark II or a Mark III containment, or are 5 or less for a Mark I containment, the applicant's values may be accepted without any need to perform calculations. A DF value of one (no retention) should be used for noble gases and for organic iodides. The applicant should provide justification for any DF values greater than those given above.

The reviewer has an option to perform an independent confirmatory calculation of the DF. If the SPARC code is used for a confirmatory calculation of fission product decontamination, the review should take care in proper establishment of the input parameters for the calculations.

サプレッション・プールでのスクラビングによる
無機よう素の除去効果に関する他の知見について

サプレッション・プールでのスクラビングによる無機よう素の除去効果に関する他の知見として、SPARCコードによる計算結果並びにUKAEA及びPOSEIDONにて行われた実験がある。

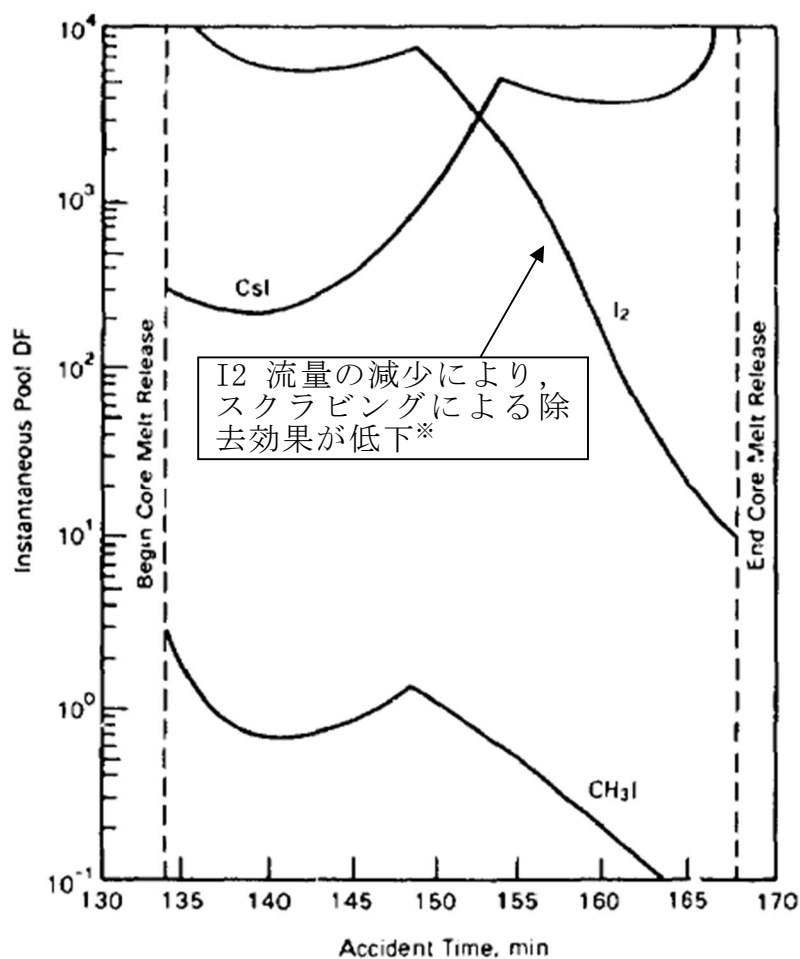
1. SPARCコードによる計算結果

Standard Review Plan 6.5.5の引用文献^{※1}において、SPARCコードを用いたよう素のスクラビングによる除去効果を計算している。当該文献では、Mark-I型原子炉格納容器を対象として無機よう素 (I_2)、粒子状よう素 (CS_2) 及び有機よう素 (CH_3I) に対するスクラビングによる除去効果を計算している。計算結果は第1図のとおりであり、無機よう素に対するDFは最小で10程度である。

なお、選定した事故シーケンスは、原子炉停止機能喪失であり、以下の事故進展を想定している。

- ・ 過渡時において制御棒の挿入不良が発生
- ・ 緊急炉心冷却システムは作動するが、原子炉出力レベルはサプレッション・プールの冷却能力を超過
- ・ 原子炉圧力容器の過圧破損の発生により冷却材が喪失した結果、炉心損傷が発生

※1 P. C. Owczarski and W. K. Winegarder, "Capture of Iodine in Suppression Pools", 19th DOE/NRC Nuclear Air Cleaning Conference.



第 1 図 SPARC 計算結果 (瞬時値 DF)

※文献中の記載 (抜粋)

“Here the I_2 flow rate is fairly high until 148.5min, then the rate (and incoming I_2 concentration) decreases. These decreases cause the pool scrubbing to become less effective at the iodine concentrations of pool.”

2. UKAEA 及び POSEIDON にて行われた実験

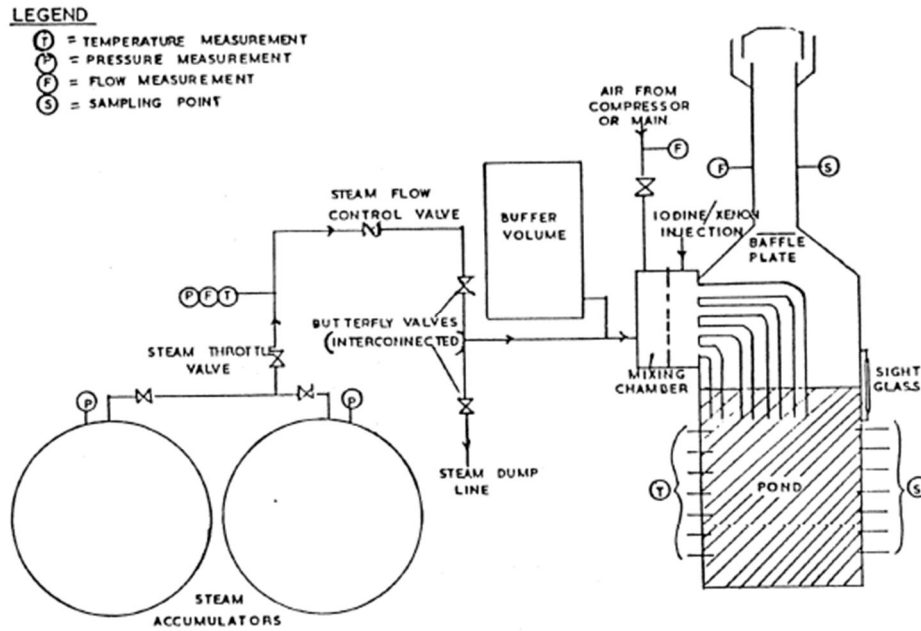
無機よう素に対するスクラビングによる除去効果について、UKAEA^{※2} 及び POSEIDON^{※3} において実験が行われている。実験体系を第 2 図及び第 3 図、実験条件及び実験結果を第 1 表及び第 2 表に示す^{※4}。第 2 表のとおり、無機よう素の DF は最小で 14 である。

※2 イギリスのウィンフリス (重水減速沸騰軽水冷却炉 (SGHWR)) の蒸気抑制システムにおける核分裂生成物の保持を調べるための実験

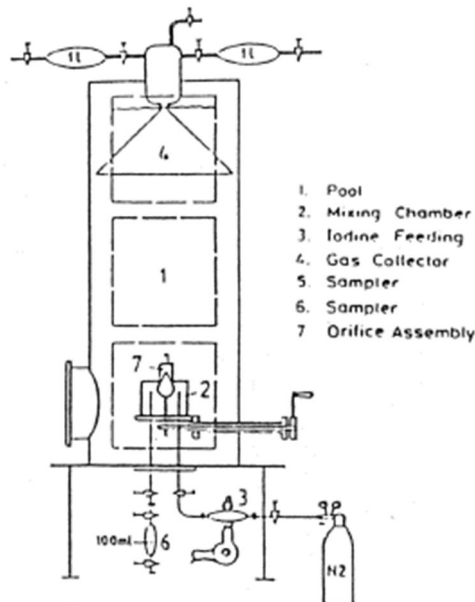
※3 スイスのポール・シェラー研究所で行われた水中へのガス状よう素のス

クラビングに関する実験

- ※4 “State-of-the-art review on fission products aerosol pool scrubbing under severe accident conditions”, 1995



第 2 図 UKAEA 実験体系



第 3 図 POSEIDON 実験体系

第 1 表 実験条件

Program	Aerosol	Aerosol size, μm	Carrier fluid	Steam mass fraction	Water temp., $^{\circ}\text{C}$	Pool pressure	Injector
ACE	CsI CsOH MnO	1.7 - 2.7 1.6 - 2.8 1.7 - 2.3	N_2 + steam	0.008 - 0.31	25 83	ambient	sparger
EPRI	CsI TeO_2 Sn	0.2 - 3.0 0.4 - 2.7 2.7	air, N_2 or He + steam	0 - 0.95	- ambient - near saturated	ambient	single orifice
EPSI	CsI CsOH	~ 4.5 (radius)	steam	1	273 (initially)	1.1 MPa 3.1 MPa 6.1 MPa	single orifice
GE	Eu_2O_3 CsI	0.1 - 40.0 < 0.3	air	0	ambient	ambient	single orifice
JAERI	DOP	0.3 - 10.0	air	0	ambient	ambient	single orifice
LACE - España	CsI	1.7 - 7.2	N_2 + steam	0.07 - 0.85	110	3 bar (abs.)	-single orifice -multior.
SPARTA	CsI	0.7	air + N_2	0	close to saturation	ambient	2 orifices
UKAEA	Cr/Ni	0.06	air + steam	0.25 - 0.96	ambient	ambient	4 orifices (downcomers)
UKAEA	I_2 vapour	-	air and/or steam	0 - 1	ambient	ambient	4 orifices (downcomers)
POSEI- DON	I_2 vapour	-	N_2	0	ambient	ambient	-single orifice - multior.

第 2 表 実験結果

Experiments	Species tested	DF range
ACE	Cs Mn I DOP	145 - 3000 11 - 260 47 - 1500 6 - 12
EPRI	CsI, TeO ₂ Sn	1.4 - 1600 110 - 6800
EPSI	CsI	2100 - 3300
GE	Eu ₂ O ₃ CsI	68 - 2900 7 - 10
JAERI	DOP	10 - 150
LACE-España	CsI	16 - 3000
SPARTA	CsI	7 *
UKAEA	Ni/Cr I ₂	15 - 1680 14 - 240
POSEIDON	I ₂	20 - 300 000

* Only one test performed.

補足 5 原子炉格納容器外への核分裂生成物の放出割合の設定について

大気への放出量は、炉内蓄積量に原子炉格納容器外への放出割合を乗じることで算出する。(参考 1 参照)

原子炉格納容器外への放出割合の評価に当たっては、想定事故シナリオ「大破断 L O C A + 高圧炉心冷却失敗 + 低圧炉心冷却失敗」(全交流動力電源喪失の重畳を考慮)において原子炉圧力容器が健全な状態で事故収束するため、そのプラント状態を模擬可能な M A A P コードを用いることとするが、以下の考察から、N U R E G - 1465 の知見を用いて一部補正する。M A A P 解析結果を第 1 表、N U R E G - 1465 の知見を用いて一部補正した結果を第 2 表に示す。

第 1 表 放出割合の評価結果 (M A A P 解析)

核種 グループ	原子炉格納容器から原子炉建屋 への漏えい割合※1		格納容器圧力逃がし装置への 放出割合※1	
	S/Cベント	D/Wベント	S/Cベント	D/Wベント
希ガス類	約 4.3×10^{-3}	約 4.9×10^{-3}	約 9.5×10^{-1}	約 9.4×10^{-1}
C s I 類	約 6.2×10^{-5}	約 6.2×10^{-5}	約 1.0×10^{-6}	約 2.3×10^{-3}
C s O H 類	約 3.1×10^{-5}	約 3.0×10^{-5}	約 4.0×10^{-7}	約 1.5×10^{-3}
S b 類	約 7.6×10^{-5}	約 8.0×10^{-5}	約 2.7×10^{-6}	約 1.4×10^{-2}
T e O ₂ 類	約 4.4×10^{-5}	約 4.3×10^{-5}	約 3.8×10^{-7}	約 4.6×10^{-4}
S r O 類	約 8.6×10^{-5}	約 7.6×10^{-5}	約 2.6×10^{-5}	約 1.5×10^{-1}
B a O 類	約 9.1×10^{-5}	約 8.9×10^{-5}	約 1.5×10^{-5}	約 9.5×10^{-2}
M o O ₂ 類	約 9.1×10^{-5}	約 9.7×10^{-5}	約 3.5×10^{-6}	約 2.6×10^{-2}
C e O ₂ 類	約 1.6×10^{-5}	約 9.9×10^{-6}	約 1.1×10^{-5}	約 5.3×10^{-2}
L a ₂ O ₃ 類	約 1.6×10^{-5}	約 9.9×10^{-6}	約 1.1×10^{-5}	約 5.3×10^{-2}

※1 小数点第 2 位を四捨五入

第 2 表 放出割合の評価結果（中・低揮発性の核種グループに対する補正後）

核種 グループ	原子炉格納容器から原子炉建屋 への漏えい割合※ ¹		格納容器圧力逃がし装置への 放出割合※ ¹	
	S/Cベント	D/Wベント	S/Cベント	D/Wベント
希ガス類	約 4.3×10^{-3}	約 4.9×10^{-3}	約 9.5×10^{-1}	約 9.4×10^{-1}
CsI類	約 6.2×10^{-5}	約 6.2×10^{-5}	約 1.0×10^{-6}	約 2.3×10^{-3}
CsOH類	約 3.1×10^{-5}	約 3.0×10^{-5}	約 4.0×10^{-7}	約 1.5×10^{-3}
Cs類※ ²	約 3.4×10^{-5}	約 3.3×10^{-5}	約 4.5×10^{-7}	約 1.6×10^{-3}
Sb類	約 6.7×10^{-6}	約 6.6×10^{-6}	約 8.9×10^{-8}	約 3.2×10^{-4}
TeO ₂ 類	約 6.7×10^{-6}	約 6.6×10^{-6}	約 8.9×10^{-8}	約 3.2×10^{-4}
SrO類	約 2.7×10^{-6}	約 2.6×10^{-6}	約 3.6×10^{-8}	約 1.3×10^{-4}
BaO類	約 2.7×10^{-6}	約 2.6×10^{-6}	約 3.6×10^{-8}	約 1.3×10^{-4}
MoO ₂ 類	約 3.4×10^{-7}	約 3.3×10^{-7}	約 4.5×10^{-9}	約 1.6×10^{-5}
CeO ₂ 類	約 6.7×10^{-8}	約 6.6×10^{-8}	約 8.9×10^{-10}	約 3.2×10^{-6}
La ₂ O ₃ 類	約 2.7×10^{-8}	約 2.6×10^{-8}	約 3.6×10^{-10}	約 1.3×10^{-6}

※¹ 小数点第 2 位を四捨五入

※² CsI 類及び CsOH 類の値から評価（評価式は式 1）

① TMI や福島第一原子力発電所事故での観測事実について

第 1 表によると、高揮発性核種（CsI、CsOH）の格納容器圧力逃がし装置からの放出割合（ $10^{-6} \sim 10^{-7}$ オーダー）と比べ、中・低揮発性核種の放出割合の方が大きい（ 10^{-5} オーダー）という結果になっている。

一方、TMI や福島第一原子力発電所事故での観測事実から、事故が発生した場合に最も多く放出される粒子状物質は、よう素やセシウム等の高揮発性の物質であり、中・低揮発性の物質の放出量は高揮発性の物質と比べて少量であることがわかっている。

第 3 表は、TMI 事故後に評価された放射性核種の場所ごとの存在量であるが、希ガスや高揮発性核種（セシウムやよう素）が原子炉圧力容器外に炉内蓄積量の半分程度放出される一方で、中・低揮発性核種はほぼ全量が原子炉圧力容器に保持されているという評価となっている。

第 3 表 TMI 事故後に評価された放射性核種の場所ごとの存在割合※3

(単位: %)

核種	低揮発性			中揮発性			高揮発性		
	¹⁴⁴ Ce	¹⁵⁴ Eu	¹⁵⁵ Eu	⁹⁰ Sr	¹⁰⁶ Ru	¹²⁵ Sb	¹³⁷ Cs	¹²⁹ I	⁸⁵ Kr
原子炉建屋									
原子炉容器	105.4	122.7	109.5	89.7	93.2	117.2	40.1	42	30
原子炉冷却系	-	-	-	1	-	0.2	3	1	-
地階水、気相タンク類	0.01	-	-	2.1	0.5	0.7	47	(47) [†]	54
補助建屋	-	-	-	0.1	-	0.7	5	7	-
合計	105	122	110	93	94	119	95	97	85

† 広範囲のI濃度測定値と多量のデブリ(おもに地下水沈殿物)のため、ここでの保持量は炉心インベントリーを大きく上回る分析結果となってしまった。したがって、ここに保持されたIのインベントリーはCsと同等であると考え。

※3 存在割合=サンプル試料の分析結果/ORIGEN2コード解析結果

出典:「TMI-2号機の調査研究成果(渡会 慎祐, 井上康, 榎田 藤夫 日本原子力学会誌 Vol. 32, No. 4 (1990))」

また、第 4 表は、福島第一原子力発電所事故後に実施された発電所敷地内の土壤中放射性核種のサンプリング結果であるが、最も多く検出されているのは高揮発性核種(セシウムやよう素)であり、多くの中・低揮発性核種は不検出(ND)という結果となっている。

第 4 表 福島第一原子力発電所事故後に検出された土壤中の放射性核種

試料採取場所	【定点①】*1 ランド (西北西約500m)*2			【定点②】*1 野島の森 (西約500m)*2			【定点③】*1 産廃処分場近傍 (南南西約500m)*2		④5.6号機リ-ビス ビル前 (北約1000m)*2	⑤固体廃棄物貯 蔵庫1.2棟近傍 (北約500m)*2	⑥南南西 約900m*2	⑦南南西 約750m*2	⑧南南西 約1,000m*2
	試料採取日	3/21	3/25	3/28	3/25	3/28	3/25	3/28	3/25	3/22	3/22	3/22	3/22
分析機関	JAEA	JAEA	日本分析 センター*3	JAEA	日本分析 センター*3	JAEA	日本分析 センター*3	JAEA	JAEA	JAEA	JAEA	JAEA	JAEA
測定日	3/24	3/28	3/30	3/28	3/30	3/28	3/30	3/28	3/25	3/25	3/24	3/25	
核種	I-131(約8日)	5.8E+06	5.7E+06	3.8E+06	3.0E+06	3.9E+04	1.2E+07	2.6E+06	4.6E+05	3.1E+06	7.9E+05	2.2E+06	5.4E+06
I-132(約2時間)	*4	*4	2.3E+05	*4	1.3E+02	*4	1.5E+05	*4	*4	*4	*4	*4	*4
Cs-134(約2年)	3.4E+05	4.9E+05	5.3E+05	7.7E+04	3.2E+02	3.5E+06	9.7E+05	6.8E+04	9.5E+05	8.7E+03	1.7E+04	1.6E+05	
Cs-136(約13日)	7.2E+04	6.1E+04	3.3E+04	1.0E+04	2.8E+01	4.6E+05	6.9E+04	8.6E+03	1.1E+05	1.9E+03	2.2E+03	2.5E+04	
Cs-137(約30年)	3.4E+05	4.8E+05	5.1E+05	7.6E+04	3.2E+02	3.5E+06	9.3E+05	6.7E+04	1.0E+06	2.0E+04	1.6E+04	1.6E+05	
Te-129m(約34日)	2.5E+05	2.9E+05	8.5E+05	5.3E+04	ND	2.7E+06	6.0E+05	2.8E+04	8.9E+05	9.5E+03	1.9E+04	1.7E+05	
Te-132(約3日)	6.1E+05	3.4E+05	3.0E+05	6.5E+04	1.4E+02	3.1E+06	2.0E+05	3.2E+04	1.9E+06	2.1E+04	3.9E+04	3.8E+05	
Ba-140(約13日)	1.3E+04	1.5E+04	ND	2.5E+03	ND	ND	ND	ND	8.0E+04	ND	ND	ND	
Nb-95(約35日)	1.7E+03	2.4E+03	ND	ND	ND	5.3E+03	ND	ND	8.1E+03	ND	ND	7.9E+02	
Ru-106(約370日)	5.3E+04	ND	ND	6.4E+03	ND	2.7E+05	ND	ND	6.8E+04	1.9E+03	ND	3.2E+04	
Mo-99(約66時間)	2.1E+04	ND	ND	ND	ND	6.6E+04	ND	ND	ND	ND	ND	ND	
Tc-99m(約6時間)	2.3E+04	2.0E+04	ND	ND	ND	4.5E+04	ND	1.8E+03	2.3E+04	ND	ND	8.3E+03	
La-140(約2日)	3.3E+04	3.7E+04	ND	2.3E+03	ND	9.7E+04	ND	2.5E+03	2.1E+05	4.2E+02	6.2E+02	7.8E+03	
Be-7(約53日)	ND	ND	ND	ND	ND	ND	ND	ND	3.2E+04	ND	ND	ND	
Ag-110m(約250日)	1.1E+03	2.6E+03	ND	ND	ND	ND	ND	1.7E+02	1.8E+04	ND	ND	ND	

出典: 東京電力株式会社 HP (<http://www.tepco.co.jp/cc/press/11040609-j.html>)

②各元素の放出挙動について

燃料からの核分裂生成物の放出及び移行挙動に関する研究結果より、各元素の放出挙動は以下のように整理されており^{※4}、高揮発性核種が高温でほぼ全量放出されるのに対し、中・低揮発性核種は雰囲気条件に大きく左右される。

希ガス：高温にてほぼ全量放出される。

I, C s : 高温にてほぼ全量放出される。放出速度は希ガスと同等。

S b, T e : 被覆管と反応した後、被覆管の酸化に伴い放出される。

S r, M o, R u, R h, B a : 雰囲気条件（酸化条件 or 還元条件）に大きな影響を受ける。

C e, N p, P u, Y, Z r, N b : 高温状態でも放出速度は低い。

※4 「化学形に着目した破損燃料からの核分裂生成物及びアクチニドの放出挙動評価のための研究（JAEA-Review 2013-034, 2013年12月）」

③補正について

①及び②より、第1表の中・低揮発性核種の放出割合が高揮発性核種よりも大きいという結果は実態に即しておらず、これは、MAAP解析において、中・低揮発性核種の放出割合が過度に大きく評価されたためと考えられ、要因としては、熔融燃料が再冠水し熔融燃料の外周部が固化した後でも、燃料デブリ表面からの放射性物質の放出評価において熔融燃料の平均温度を参照して放出量を評価していることや、熔融燃料上部の水によるスクラビング効果を考慮していないことが挙げられる。なお、MAAPコードの開発元であるEPRIからも、以下の報告がなされている。

- ・炉心が再冠水した場合の低揮発性核種（R u及びM o）の放出について、低温の熔融燃料表面付近ではなく、熔融燃料の平均温度を基に放出速度を算出しているため、MAAP解析が保守的な結果を与える場合がある。

・M o の放出量評価について、N U R E G - 1465 よりもM A A P の方が放出量を多く評価する。

したがって、T M I 事故や福島第一原子力発電所事故の実態により見合った、環境中への放出量を評価するため、中・低揮発性核種の放出割合を補正することとした。補正するに当たり、T M I 事故を契機として行われたシビアアクシデントに係るソースターム研究を踏まえ、被覆管材であるジルコニウムの酸化量の違い等により核分裂生成物の放出量や放出タイミングに相違が生じることを考慮し、B W R 及びP W R それぞれに対して放出割合を設定する等、より現実的なソースタームの設定を目的として制定されたN U R E G - 1465 の知見を利用する。事象発生後、炉心損傷が開始し、原子炉圧力容器が破損するまでのM A A P 解析とN U R E G - 1465 の想定と比較は第 5 表のとおりであり、想定事故シーケンスでは重大事故等対処設備による原子炉注水により原子炉圧力容器破損には至らないが、N U R E G - 1465 の想定とM A A P 解析の事象進展に大きな差はなく、本評価においてN U R E G - 1465 の知見は利用可能と判断している。

第 5 表 M A A P 事象進展とN U R E G - 1465 の想定と比較

	燃料被覆管損傷が開始し、ギャップから放射性物質が放出される期間	炉心溶融が開始し、溶融燃料が原子炉圧力容器破損するまでの期間
M A A P	約 4 分～約 27 分 ^{※5}	約 27 分～約 3.3 時間 ^{※6}
N U R E G - 1465	～30 分	30 分～2 時間

※5 炉心損傷開始（燃料被覆管 1,000K）～燃料溶融開始（燃料温度 2,500K）

※6 原子炉注水をしない場合における原子炉圧力容器破損時間（本評価においては原子炉注水により原子炉圧力容器破損には至らない）

以下、各核種グループにおける放出割合の具体的な評価手法を示す。

(1) 希ガスグループ，C s I グループ，C s OH グループ

希ガスを含めた高揮発性の核種グループについては，MAAP 解析結果から得られた放出割合を採用する。

なお，C s の放出割合については，C s I グループ及びC s OH グループの放出割合，I 元素とC s 元素の原子炉停止直後の炉内蓄積重量より，式 1 を用いて評価する。(式 1 の導出過程は，参考 2 参照)

$$F_{Cs}(T) = F_{CsOH}(T) + \frac{M_I}{M_{Cs}} \times \frac{W_{Cs}}{W_I} \times (F_{CsI}(T) - F_{CsOH}(T)) \quad (\text{式 1})$$

$F_{Cs}(T)$: 時刻 T における C s の放出割合

$F_{CsOH}(T)$: 時刻 T における C s OH グループの放出割合

$F_{CsI}(T)$: 時刻 T における C s I グループの放出割合

M_I : 停止直後の I の炉内蓄積重量

M_{Cs} : 停止直後の C s の炉内蓄積重量

W_I : I の分子量

W_{Cs} : C s の分子量

(2) 中・低揮発性の核種グループ

中・低揮発性の核種グループについては，MAAP 解析から得られた放出割合は採用せず，MAAP 解析の結果から得られた C s の放出割合，希ガスグループの放出割合及び NUREG-1465 の知見を利用して放出割合を評価する。

ここで，中・低揮発性の核種における放出割合の経時的な振る舞いは，格納容器圧力逃がし装置への放出については希ガス，原子炉建屋への漏えいについては C s と同一になるものとし^{*7}，事象発生から 168 時間経過時

点における C_s の放出割合に対する当該核種グループの放出割合の比率は NUREG-1465 で得られた比率に等しいとして、式 2 及び式 3 に基づき評価する。また、第 6 表に、NUREG-1465 で評価された格納容器内への放出割合を示す。

【格納容器圧力逃がし装置への放出】

$$F_i(T) = F_{Cs}(168h) \times \frac{\gamma_i}{\gamma_{Cs}} \times \frac{F_{NG}(T)}{F_{NG}(168h)} \quad (\text{式 2})$$

【原子炉格納容器から原子炉建屋への漏えい】

$$F_i(T) = F_{Cs}(T) \times \frac{\gamma_i}{\gamma_{Cs}} \quad (\text{式 3})$$

$F_i(T)$: 時刻 T における i 番目の MAA P 核種グループの放出割合

$F_{NG}(T)$: 時刻 T における希ガスグループの放出割合

$F_{Cs}(T)$: 時刻 T における C_s の放出割合

γ_i : NUREG-1465 における i 番目の MAA P 核種グループに相当する核種グループの原子炉格納容器への放出割合

γ_{Cs} : NUREG-1465 における C_s に相当する核種グループの原子炉格納容器への放出割合

※7 格納容器内に放出された中・低揮発性の核種グループは、粒子状として振る舞い、沈着やドライウェルスプレイ等による除去効果を受けると考えられる。したがって、中・低揮発性の核種グループの原子炉建屋への漏えいについては、沈着等による除去効果を受ける C_s の振る舞いに近いと考えられる。

また、中・低揮発性の核種グループは、 C_s に比べて原子炉格納容器内に放出される量が少なく、壁面等への付着量も少ない。したがって、格納容器圧力逃がし装置への放出については、格納容器ベントに伴い大気に放出された後も、壁面等に付着した放射性物質の

再浮遊に伴い大気への放出が生じるC sではなく、原子炉格納容器気相部に浮遊し、壁面等からの追加放出がない希ガスの放出割合の振る舞いに近いと考えられる。

以上のことから、中・低揮発性の核種グループの「各時刻における放出割合」は、「各時刻における希ガスグループ又はC sの放出割合」に比例するものとする。

第6表 NUREG-1465での原子炉格納容器内への放出割合

核種グループ	原子炉格納容器への放出割合 ^{※8}
C s	0.25
T e O ₂ , S b	0.05
S r O, B a O	0.02
M o O ₂	0.0025
C e O ₂	0.0005
L a ₂ O ₃	0.0002

※8 NUREG-1465のTable3.12「Gap Release」及び「Early In-Vessel」の値の和（NUREG-1465では、「Gap Release」、「Early In-Vessel」、「Ex-Vessel」及び「Late In-Vessel」の各事象進展フェーズに対して原子炉格納容器内への放出割合を与えている。本評価事象は原子炉圧力容器が健全な状態で事故収束するため、原子炉圧力容器損傷前までの炉心からの放出を想定する「Gap Release」及び「Early In-Vessel」の値を用いる。）

参考1 大気への放出量評価過程について

大気への放出量は、「核種ごとに評価した炉内蓄積量」に「MAAPにより評価した核種グループごとの格納容器外への放出割合」を乗じることで算出する。本評価において考慮したMAAPにおける核種グループと各グループの核種を第7表に示す。なお、MAAPにおける核種グループとNUREG-1465における核種グループの比較は第1図のとおりであり、分類数に違いはあるが、取り扱っている核種は同等である。

第7表 MAAPにおける核種グループと各グループの核種

核種グループ	核種 ^{※9}
希ガス類	K r, X e
C s I類	I
C s OH類	C s, R b
S b類	S b
T e O ₂ 類	T e
S r O類	S r
B a O類	B a
M o O ₂ 類	M o, C o, T c, R u, R h
C e O ₂ 類	C e, N p, P u
L a ₂ O ₃ 類	L a, Y, Z r, N b, P r, N d, A m, C m

※9 本評価において「T e₂類」及び「U O₂類」の核種グループに対するMAAP解析結果がゼロのため、対象外とした。

[FP の核種グループ]

(NUREG-1465)

(MAAP)

グループ	核種	グループ	核種
1	希ガス/Xe, Kr	1	希ガス
2	ハロゲン/I, Br	2	CsI
3	アルカリ金属/Cs, Rb	3	TeO ₂
4	テルルグループ/ Te, Sb, Se	4	SrO
5	バリウム・ストロンチウム/ Ba, Sr	5	MoO ₂
6	貴金属/ Ru, Rh, Pd, Mo, Tc, Co	6	CsOH
7	ランタノイド/ La, Zr, Nd, Eu, Nb, Pm, Pr, Sm, Y, Cm, Am	7	BaO
8	セリウムグループ/ Ce, Pu, Np	8	La ₂ O ₃
		9	CeO ₂
		10	Sb
		11	Te ₂
		12	UO ₂

第 1 図 MAAP 及び NUREG-1465 における核種グループの比較（「重大事故等対策の有効性評価に係るシビアアクシデント解析コードについて」の「第 5 部 MAAP」(抜粋)）

参考2 Csの放出割合の評価式について

Csの放出割合については、CsIグループ及びCsOHグループの放出割合、I及びCsの原子炉停止直後の炉内蓄積重量並びにI及びCsの分子量を用いて、下記の式1により評価している。ここでは、式1の導出過程について示す。

$$F_{Cs}(T) = F_{CsOH}(T) + \frac{M_I}{M_{Cs}} \times \frac{W_{Cs}}{W_I} \times (F_{CsI}(T) - F_{CsOH}(T)) \quad (\text{式1})$$

$F_{Cs}(T)$: 時刻TにおけるCsの放出割合

$F_{CsOH}(T)$: 時刻TにおけるCsOHグループの放出割合

$F_{CsI}(T)$: 時刻TにおけるCsIグループの放出割合

M_I : 停止直後のIの炉内蓄積重量

M_{Cs} : 停止直後のCsの炉内蓄積重量

W_I : Iの分子量

W_{Cs} : Csの分子量

1. CsIに含まれるCs

Iは全てCsIとして存在しているため、CsI中に含まれるCsは、CsI中に含まれるIの重量にI及びCsの分子量の比を乗ずることで算出する。

$$M_{Cs(CsI)}(T) = M_I \times \frac{W_{Cs}}{W_I} \times F_{CsI}(T)$$

$M_{Cs(CsI)}(T)$: 時刻TにおけるCsI中に含まれるCsの放出量

2. C s OHに含まれるC s

C s はC s I 又はC s OHのいずれかの形態で存在しているため、C s OH 中に含まれるC s は、1. で算出したC s I 中に含まれるC s を差引くことで算出する。

$$M_{Cs(CsOH)}(T) = (M_{Cs} - M_I \times \frac{W_{Cs}}{W_I}) \times F_{CsOH}(T)$$

$M_{Cs(OH)}(T)$: 時刻 T におけるC s OH中に含まれるC s の放出量

3. C s の放出割合

1. 及び2. で得られたC s の放出量をC s の炉内蓄積重量で除することで、C s の放出割合を算出する。

$$\begin{aligned} F_{Cs}(T) &= \frac{M_{Cs(CsI)}(T) + M_{Cs(CsOH)}(T)}{M_{Cs}} \\ &= \frac{M_I \times \frac{W_{Cs}}{W_I} \times F_{CsI}(T) + (M_{Cs} - M_{Cs(CsI)}) \times F_{CsOH}(T)}{M_{Cs}} \\ &= \frac{M_I \times \frac{W_{Cs}}{W_I} \times F_{CsI}(T) + (M_{Cs} - M_I \times \frac{W_{Cs}}{W_I}) \times F_{CsOH}(T)}{M_{Cs}} \\ &= F_{CsOH}(T) + \frac{M_I}{M_{Cs}} \times \frac{W_{Cs}}{W_I} \times (F_{CsI}(T) - F_{CsOH}(T)) \end{aligned}$$

参考3 MAA P解析結果及びNUREG-1465の放出割合について

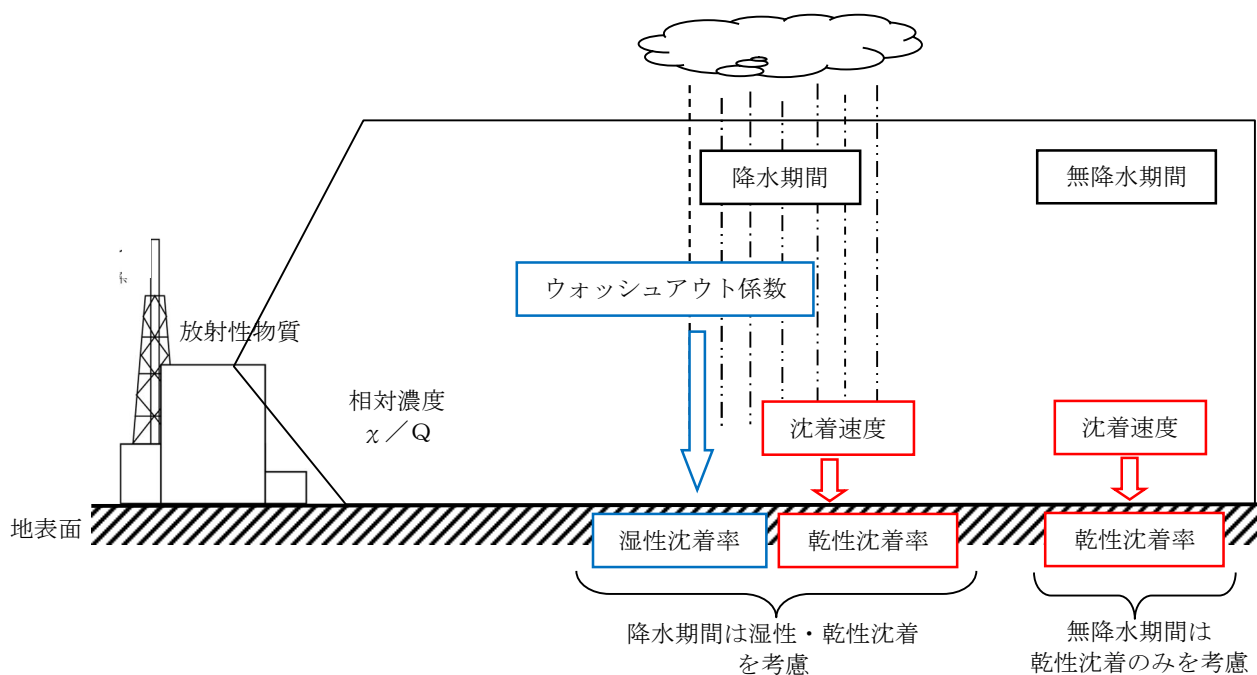
被ばく評価への寄与が大きい核種に対するMAAP解析結果及びNUREG-1465の放出割合を第8表に示す。第8表のとおり、Cs及びIについてはMAAP解析結果の方が大きい。また、希ガスについては、NUREG-1465の放出割合の方が大きい。これは東海第二の想定事故シナリオでは、原子炉注水により炉心が再冠水することで炉心内に健全な状態の燃料が一部存在するためと考える。

第8表 MAA P解析結果及びNUREG-1465の放出割合

	MAAP	NUREG-1465
希ガス	約 0.95	1
I	約 0.78	0.30
Cs	約 0.37	0.25

補足 6 地表面への沈着速度の設定について

地表面への放射性物質の沈着は、第 1 図に示すように乾性沈着と湿性沈着によって発生する。乾性沈着は地上近くの放射性物質が、地面状態等によって決まる沈着割合（沈着速度）に応じて地表面に沈着する現象であり、放射性物質の地表面濃度に沈着速度をかけることで計算される。湿性沈着は降水によって放射性物質が雨水に取り込まれ、地表面に落下・沈着する現象であり、大気中の放射性物質の濃度分布と降水強度及び沈着の割合を示すウォッシュアウト係数によって計算される。



第 1 図 地表面沈着のイメージ

現場作業の線量影響評価においては、地表面の放射性物質の沈着速度として、乾性沈着及び降雨による湿性沈着を考慮した地表面沈着速度として 0.5cm/s を用いる。

以下では、無機よう素の湿性沈着を考慮した地表面沈着速度として 0.5cm/s

※¹を用いることの適用性について確認した。

※¹ 有機よう素の地表面への沈着速度としては $1.7 \times 10^{-3}\text{cm/s}$

1. 評価手法

湿性沈着を考慮した地表面沈着速度（0.5cm/s）の適用性は、乾性沈着率と湿性沈着率を合計した沈着率の累積出現頻度 97% 値を求め、乾性沈着率の累積出現頻度 97% 値との比を求める。その比と乾性沈着速度（0.3cm/s、補足 8 参照）の積が 0.5cm/s を超えていないことを確認する。乾性沈着率及び湿性沈着率は以下のように定義される。

(1) 乾性沈着率

乾性沈着率は、「日本原子力学会標準 原子力発電所の確率論的安全評価に関する実施基準（レベル 3PSA 編）：2008」（社団法人 日本原子力学会）（以下「学会標準」という。）解説 4.7 を参考に評価した。学会標準解説 4.7 では、使用する相対濃度は地表面高さ付近としているが、ここでは「原子力発電所中央制御室の居住性に係る被ばく評価手法について（内規）」【解説 5.3】(1) に従い、放出経路ごとの相対濃度を用いて評価した。

$$(\chi/Q)_D(x,y,z)_i = V_d \cdot \chi/Q(x,y,z)_i \quad \dots \dots \textcircled{1}$$

$(\chi/Q)_D(x,y,z)_i$: 時刻 i での乾性沈着率 [$1/m^2$]

$\chi/Q(x,y,z)_i$: 時刻 i での相対濃度 [s/m^3]

V_d : 沈着速度 [m/s] (0.003 NUREG/CR-4551 Vol.2 より)

(2) 湿性沈着率

降雨時には、評価点上空の放射性核種の地表への沈着は、降雨による影響を受ける。湿性沈着率 $(\chi/Q)_w(x,y)_i$ は学会標準解説 4.11 より以下のように表される。

$$(\chi/Q)_w(x,y)_i = \Lambda \cdot \int_0^{\infty} \chi/Q(x,y,z)_i dz = \chi/Q(x,y,0)_i \Lambda_i \sqrt{\frac{\pi}{2}} \Sigma_{zi} \exp\left[\frac{h^2}{2\Sigma_{zi}}\right] \dots \dots \dots \textcircled{2}$$

$(\chi/Q)_w(x,y)_i$: 時刻 i での湿性沈着率 [1/m²]

$\chi/Q(x,y,0)_i$: 時刻 i での地表面高さでの相対濃度 [s/m³]

Λ_i : 時刻 i でのウォッシュアウト係数 [1/s]

(= $9.5 \times 10^{-5} \times Pr_i^{0.8}$ 学会標準より)

Pr_i : 時刻 i での降水強度 [mm/h]

Σ_{zi} : 時刻 i での建屋影響を考慮した放射性雲の鉛直方向の拡散幅 [m]

h : 放出高さ [m]

乾性沈着率と湿性沈着率を合計した沈着率の累積出現頻度 97%値と、乾性沈着率の累積出現頻度 97%値の比は以下で定義される。

乾性沈着率と湿性沈着率を合計した沈着率の累積出現頻度 97%値 (①+②)

乾性沈着率の累積出現頻度 97%値 (①)

$$= \frac{\left(V_d \cdot \chi/Q(x,y,z)_i + \chi/Q(x,y,0)_i \Lambda_i \sqrt{\frac{\pi}{2}} \Sigma_{zi} \exp\left[\frac{h^2}{2\Sigma_{zi}}\right] \right)_{97\%}}{\left(V_d \cdot \chi/Q(x,y,z)_i \right)_{97\%}} \dots \dots \dots \textcircled{3}$$

2. 地表面沈着率の累積出現頻度 97%値の求め方

地表面沈着率の累積出現頻度は、気象指針に記載されている χ/Q の累積出現頻度 97%値の求め方^{*2}に基づいて計算した。具体的には以下の手順で計算を行った (第 2 図参照)。

(1) 各時刻における気象条件から、式①及び式②を用いて χ/Q 、乾性沈着

率，湿性沈着率を1時間ごとに算出する。なお，評価対象方位以外に風が吹いた時刻については，評価対象方位における χ/Q がゼロとなるため，地表面沈着率（乾性沈着率+湿性沈着率）もゼロとなる。

第2図の例は，評価対象方位をSWとした場合であり， χ/Q による乾性沈着率及び降水による湿性沈着率から地表面沈着率を算出する。評価対象方位SW以外の方位に風が吹いた時刻については，地表面沈着率はゼロとなる。

(2) 上記(1)で求めた1時間ごとの地表面沈着率を値の大きさ順に並びかえ，小さい方から数えて累積出現頻度が97%値を超えたところの沈着率を，地表面沈着率の97%値とする（地表面沈着率の累積出現頻度であるため， χ/Q の累積出現頻度と異なる）。

※2（気象指針解説抜粋）

VI. 想定事故時等の大気拡散の解析方法

1. 線量計算に用いる相対濃度

(2) 着目地点の相対濃度は，毎時刻の相対濃度を年間について小さい方から累積した場合，その累積出現頻度が97%に当たる相対濃度とする。

降水がない時刻は、
湿性沈着率はゼロ

日時	方位 (風向)	風速 (m/s)	大気 安定度	χ/Q (s/m ³)	乾性沈着率 (1/m ²) (①)	降水量 (mm/hr)	湿性沈着率 (1/m ²) (②)	地表面沈着率 (①+②)
4/1 1:00	SW (NE)	4.3	F	0×10^{-6}	0×10^{-9}	0	0	0×10^{-9}
4/1 2:00	SW (NE)	4.5	E	0×10^{-6}	0×10^{-9}	1.0	0×10^{-8}	0×10^{-8}
4/1 3:00	S (N)	1.4	F	0×10^{-6}	0×10^{-9}	1.5	0×10^{-8}	0×10^{-8}
...
3/31 24:00	SW (NE)	5.5	D	0×10^{-7}	0×10^{-10}	0	0	0×10^{-10}

評価対象方位の時刻のみ χ/Q
及び乾性沈着率が発生

評価対象方位を SW とし、
地表面沈着率の出現頻度を昇順に並び替え

評価対象方位以外の χ/Q は
ゼロとなるため、地表面沈着率は
ゼロとなる。

地表面沈着率の
累積出現頻度 97% 値

地表面沈着率の並び替えであり、気象条件
によって χ/Q は必ずしも昇順に並ぶとは
限らない。
(従来の χ/Q 計算とは順番が異なる。)

No	出現頻度 (%)	χ/Q (s/m ³)	地表面沈着率 (①+②)
1	0.000	0	0
2	0.003	0	0
...
〇〇	97.004	0×10^{-6}	0×10^{-9}
〇〇	97.010	0×10^{-6}	0×10^{-9}
...
×××	100.000	0×10^{-5}	0×10^{-8}

第 2 図 地表面沈着率の累積出現頻度 97% 値の求め方

(評価対象方位が SW の場合)

3. 評価結果

各放出点の地表面沈着率の評価結果を第1表、地表面沈着率の累積出現頻度97%値付近の値を第2表～第4表に示す。

気象指針では、大気拡散評価においてめったに遭遇しないと思われる厳しい気象条件として累積出現頻度97%値を採用^{※3}している。このことから、地表面沈着率の評価においても同様に、実際の降雨を考慮してめったに遭遇しないと思われる気象条件として累積出現頻度97%値を評価した。その結果、各地表面沈着率（乾性+湿性）は乾性沈着率の約1.22倍～1.34倍程度となった。なお、風速、風向、大気安定度、降雨状況等様々な条件から計算を行うため、厳しい気象条件として選定される地表面沈着率の累積出現頻度97%値は、必ずしも降雨があるとは限らない。

以上より、無機よう素の湿性沈着を考慮した沈着速度として、乾性沈着速度(0.3cm/s)の1.34倍(約0.4cm/s)から保守的に0.5cm/sと設定することは適切であると考えられる。また、有機よう素の湿性沈着を考慮した沈着速度は、NRPB-B322レポートから乾性沈着速度 10^{-3} (cm/s)を引用(補足7参照)し、乾性沈着速度(10^{-3} cm/s)に対して上記と同じ倍率(=0.5/0.3)から 1.7×10^{-3} cm/sを採用した。

なお、中央制御室の居住性評価及び緊急時対策所の居住性評価においては、更に保守性を持たせ、沈着速度として1.2cm/sを採用している。

※3 (気象指針解説抜粋)

I. 指針作成の考え方

想定事故時における安全解析は、想定事故期間中の線量を評価するものであるため、この場合には、想定事故が任意の時刻に起こること及び実効的な放出継続時間が短いことを考慮して、平均的な気象条件よりもむしろ出現頻

度からみてめったに遭遇しないと思われる厳しい気象条件を用いる必要がある。このため、指針では、気象観測資料を基に出現確率的観点から想定事故期間中の相対濃度を解析し、その出現頻度が極めて小さいものを選ぶことによって、放射性物質の濃度が厳しい気象条件に相当するものとなるように考慮することとした。

VI. 想定事故時の大気拡散の解析方法

1. 相対濃度

指針では、想定事故時においてめったに遭遇しない気象条件下の濃度を導くため、相対濃度の出現確率は過去の経験に照らして 97% を採用して解析することとした。

第 1 表 沈着率評価結果

放出点	相対濃度 (s/m^3)	乾性沈着率 (①) ($1/m^2$)	地表面沈着率 (①+②) ($1/m^2$)	③比 ((①+②) /①)	湿性沈着を考慮 した沈着速度 (cm/s)
原子炉建屋	約 8.3×10^{-4}	約 2.5×10^{-6}	約 3.0×10^{-6}	約 1.22	約 0.36
原子炉 建屋屋上	約 4.2×10^{-4}	約 1.2×10^{-6}	約 1.5×10^{-6}	約 1.22	約 0.36
排気筒	約 3.0×10^{-6}	約 8.9×10^{-9}	約 1.2×10^{-8}	約 1.34	約 0.40

第 2 表 東海第二発電所における地表面沈着率 (放出点：原子炉建屋)

No	方位 ^{※4} (風向)	降水量 (mm/hr)	χ/Q (s/m ³)	地表面沈着率 (1/m ²) (①+②)	乾性沈着率の累積出現 頻度 97%値との比率 (③)	累積出現頻度 (%)
...
8497	SW (NE)	14.0	約 6.4×10 ⁻⁵	約 2.9×10 ⁻⁶	約 1.22	96.990
8498	SW (NE)	5.0	約 1.4×10⁻⁴	約 3.0×10⁻⁶	約 1.22	97.001
8499	SW (NE)	3.0	約 2.0×10 ⁻⁴	約 3.0×10 ⁻⁶	約 1.22	97.013
...

※4 評価対象方位 (E, ESE, SE, SSE, S, SSW, SW, WSW, W)

第 3 表 東海第二発電所における地表面沈着率 (放出点：原子炉建屋屋上)

No	方位 ^{※5} (風向)	降水量 (mm/hr)	χ/Q (s/m ³)	地表面沈着率 (1/m ²) (①+②)	乾性沈着率の累積出現 頻度 97%値との比率 (③)	累積出現頻度 (%)
...
8497	SW (NE)	14.0	約 3.2×10 ⁻⁵	約 1.5×10 ⁻⁶	約 1.22	96.990
8498	SW (NE)	5.0	約 7.0×10⁻⁵	約 1.5×10⁻⁶	約 1.22	97.001
8499	SW (NE)	3.0	約 1.0×10 ⁻⁴	約 1.5×10 ⁻⁶	約 1.22	97.013
...

※5 評価対象方位 (E, ESE, SE, SSE, S, SSW, SW, WSW, W)

第 4 表 東海第二発電所における地表面沈着率 (放出点：排気筒)

No	方位 ^{※6} (風向)	降水量 (mm/hr)	χ/Q (s/m ³)	地表面沈着率 (1/m ²) (①+②)	乾性沈着率の累積出現 頻度 97%値との比率 (③)	累積出現頻度 (%)
...
8497	SW (NE)	0.5	約 7.1×10 ⁻⁷	約 1.2×10 ⁻⁸	約 1.33	96.983
8498	SW (NE)	0	約 4.0×10⁻⁶	約 1.2×10⁻⁸	約 1.34	97.006
8499	SW (NE)	0	約 4.0×10 ⁻⁶	約 1.2×10 ⁻⁸	約 1.34	97.018
...

※6 評価対象方位 (SW)

4. 降雨時における被ばく低減について

事故発生後は、原子炉建屋を取り囲むようにモニタリング・ポスト又は可搬型モニタリング・ポストを設置し、敷地内の放射線環境状況を監視するとともに、作業の際は個人線量計を着用し、作業員の被ばく線量を管理することとしている。

降雨時においては、屋外の移動又は作業をする場合には、現場作業員はアノラック、ゴム手袋及び長靴を着用することにより、体表面の汚染を防止する。

また、実際には、事故時の降雨や風向といった気象条件によって、敷地内の放射性物質の沈着の濃淡ができると考えられることから、モニタリング・ポスト等の測定値より著しい線量率の上昇がある方位や作業時及び移動時に携行するサーベイ・メータ等により高線量となる場所を把握し、著しく線量率が高くなると想定されるルート等を避けて移動することやルート上の高線量物の移動などの運用により、被ばく低減を図ることが可能である。

補足 7 有機よう素の乾性沈着速度について

原子炉建屋から放出されるよう素のうち、無機よう素はエアロゾルと同じ沈着速度を用いる。有機よう素についてはエアロゾルと別に設定した。以下にその根拠を示す。

(1) 英国放射線防護庁 (NRPB) による報告

英国放射線防護庁 大気拡散委員会による年次レポート (NRPB-R322^{*1}) に沈着速度に関する報告がなされている。本レポートでは、有機よう素について、植物に対する沈着速度に関する知見が整理されており、以下のとおり報告されている。

- ・植物に対する沈着速度の “best judgement” として 10^{-5} m/s (10^{-3} cm/s) を推奨

(2) 日本原子力学会による報告

日本原子力学会標準レベル 3PSA 解説 4.8 に沈着速度に関する以下の報告がなされている。

- ・ヨウ化メチルは非反応性の化合物であり、沈着速度が小さく、実験で $10^{-4} \text{ cm/s} \sim 10^{-2} \text{ cm/s}$ の範囲である。
- ・ヨウ化メチルの沈着は、公衆のリスクに対し僅かな寄与をするだけであり、事故影響評価においてはその沈着は無視できる。

以上のことから、有機よう素の乾性沈着速度はエアロゾルの乾性沈着速度 0.3 cm/s に比べて小さいことがいえる。

また、原子力発電所内は、コンクリート、道路、芝生及び木々で構成されて

いるがエアロゾルへの沈着速度の実験結果 (NUREG/CR-4551) によると, 沈着速度が大きいのは芝生や木々であり, 植物に対する沈着速度が大きくなる傾向であった。

したがって, 有機よう素の乾性沈着速度として, NRPB-R322 の植物に対する沈着速度である 10^{-3} cm/s を用いるのは妥当と判断した。

※1 NRPB-R322-Atmospheric Dispersion Modelling Liaison Committee Annual Report, 1998-99

NRPB-R322 ANNEX-A 「2.2 Iodine」の抜粋

2.2.2

Methyl iodide

There are fewer data for methyl iodide than for elemental iodine, but all the data indicate that it is poorly absorbed by vegetation, such that surface resistance is by far the dominant resistance component. The early data have been reviewed elsewhere (Underwood, 1988; Harper *et al*, 1994) and no substantial body of new data is available. The measured values range between 10^{-6} and 10^{-4} m s^{-1} approximately. Again, there are no strong reasons for taking r_s to be a function of windspeed, so it is recommended that v_d is taken to be a constant. Based on the limited data available, the 'best judgement' value of v_d is taken as [redacted] and the 'conservative' value as 10^{-4} m s^{-1} . Where there is uncertainty as to the chemical species of the iodine, it is clearly safest to assume that it is all in elemental form from the viewpoint of making a conservative estimate of deposition flux.

2.2.3 Urban

Methyl iodide

There appear to be no data for the deposition of methyl iodide to building surfaces: the deposition velocity will be limited by adsorption processes and chemical reactions (if any) at the surface, for which specific data are required. No recommendations are given in this case. For vegetation within the urban area (lawns and parks etc), it is recommended that the values for extended grass surfaces be used.

補足 8 エアロゾルの乾性沈着速度について

現場作業の線量影響評価では、地表面への放射性物質の沈着速度として乾性沈着及び降水による湿性沈着を考慮した沈着速度（ 0.5cm/s ，補足 6 参照）を用いており，沈着速度の評価に当たっては，乾性沈着速度として 0.3cm/s を用いている。以下に，乾性沈着速度の設定の考え方を示す。

エアロゾルの乾性沈着速度は，NUREG/CR-4551^{*1}に基づき 0.3cm/s と設定した。NUREG/CR-4551 では郊外を対象としており，郊外とは道路，芝生及び木々で構成されるとしている。原子力発電所内も同様の構成であるため，この沈着速度が適用できると考えられる。また，NUREG/CR-4551 では $0.5\mu\text{m}\sim 5\mu\text{m}$ の粒径に対して検討されているが，格納容器内の除去過程で，相対的に粒子径の大きなエアロゾルは格納容器内に十分捕集されるため，粒径の大きなエアロゾルの放出はされにくいと考えられる。

また，W. G. N. Slinn の検討^{*2}によると，草や水，小石といった様々な材質に対する粒径に応じた乾性の沈着速度を整理しており，これによると $0.1\mu\text{m}\sim 5\mu\text{m}$ の粒径では沈着速度は 0.3cm/s 程度（第 1 図）である。以上のことから，現場作業の線量影響評価におけるエアロゾルの乾性の沈着速度として 0.3cm/s を適用できると判断した。

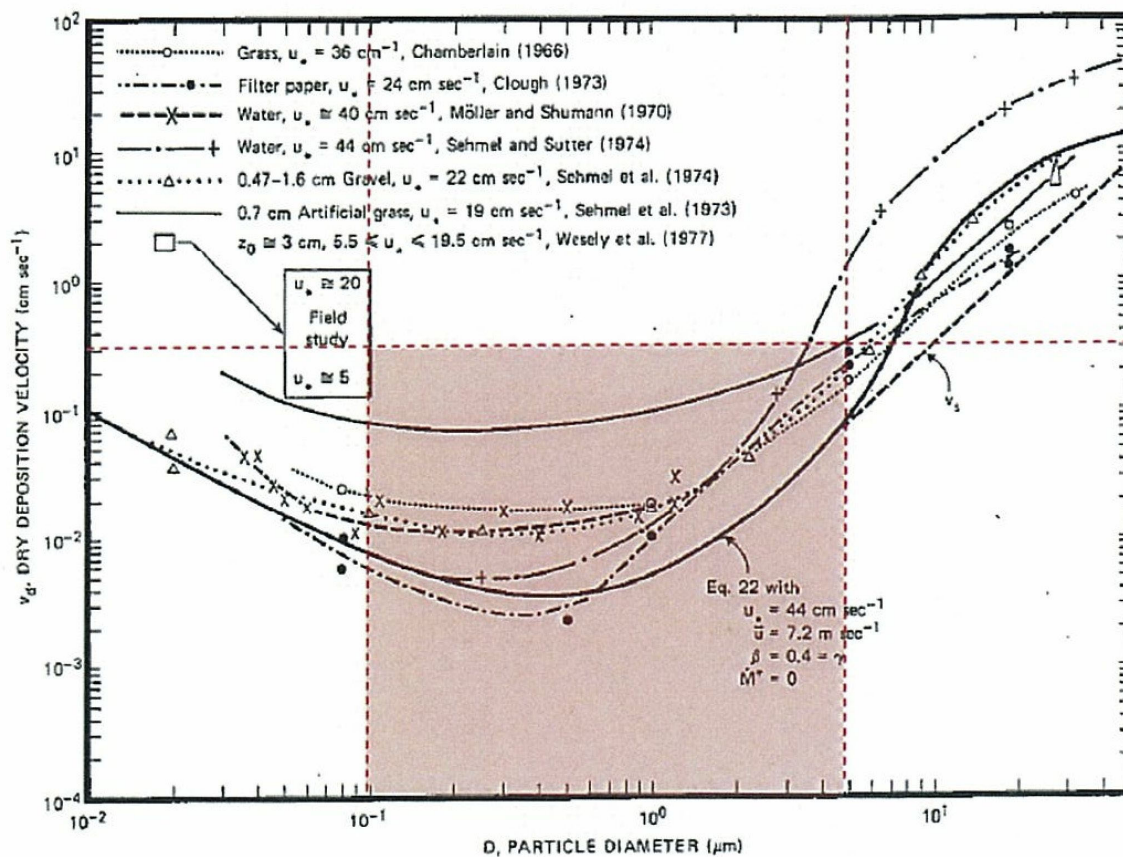


Fig. 4 Dry deposition velocity as a function of particle size. Data were obtained from a number of publications.^{1, 5-12} The theoretical curve appropriate for a smooth surface is shown for comparison. Note that the theoretical curve is strongly dependent on the value for u_* and that Eq. 22 does not contain a parameterization for surface roughness. For a preliminary study of the effect of surface roughness and other factors, see Ref. 5.

第 1 図 様々な粒径における地表沈着速度 (Nuclear Safety Vol. 19^{*2})

- ※1 J.L. Sprung 等 : Evaluation of severe accident risk : quantification of major input parameters, NUREG/CR-4451 Vol. 2 Rev. 1 Part 7, 1990
- ※2 W.G.N. Slinn : Environmental Effects, Parameterizations for Resuspension and for Wet and Dry Deposition of Particles and Gases for Use in Radiation Dose. Calculations, Nuclear Safety Vol. 19 No. 2, 1978

(参考) シビアアクシデント時のエアロゾルの粒径について

シビアアクシデント時に格納容器内で発生する放射性物質を含むエアロゾル粒径分布として「 $0.1\mu\text{m}\sim 5\mu\text{m}$ 」の範囲であることは、粒径分布に関して実施されている研究を基に設定している。

シビアアクシデント時には格納容器内にスプレー等による注水が実施されることから、シビアアクシデント時の粒径分布を想定し、「格納容器内でのエアロゾルの挙動」及び「格納容器内の水の存在の考慮」といった観点で実施された第1表の②、⑤に示す試験等を調査した。さらに、シビアアクシデント時のエアロゾルの粒径に対する共通的な知見とされている情報を得るために、海外の規制機関（NRC等）や各国の合同で実施されているシビアアクシデント時のエアロゾルの挙動の試験等（第1表の①、③、④）を調査した。以上の調査結果を第1表に示す。

この表で整理した試験等は、想定するエアロゾル発生源、挙動範囲（格納容器、原子炉冷却材配管等）、水の存在等に違いがあるが、エアロゾル粒径の範囲に大きな違いはなく、格納容器内環境でのエアロゾル粒径はこれらのエアロゾル粒径と同等な分布範囲を持つものと推定できる。

したがって、過去の種々の調査・研究により示されている範囲をカバーする値として、 $0.1\mu\text{m}\sim 5\mu\text{m}$ のエアロゾルを想定することは妥当である。

第 1 表 シビアアクシデント時のエアロゾル粒径についての文献調査結果

番号	試験名又は 報告書名等	エアロゾル粒径 (μm)	備考
①	LACE LA2 ^{※1}	約0.5~5 (第1図参照)	シビアアクシデント時の評価に使用されるコードでの格納容器閉じ込め機能喪失を想定した条件とした比較試験
②	NUREG/CR-5901 ^{※2}	0.25~2.5 (参考1-1)	格納容器内に水が存在し、熔融炉心を覆っている場合のスクラビング効果のモデル化を紹介したレポート
③	AECLが実施した試験 ^{※3}	0.1~3.0 (参考1-2)	シビアアクシデント時の炉心損傷を考慮した1次系内のエアロゾル挙動に着目した実験
④	PBF-SFD ^{※3}	0.29~0.56 (参考1-2)	シビアアクシデント時の炉心損傷を考慮した1次系内のエアロゾル挙動に着目した実験
⑤	PHEBUS-FP ^{※3}	0.5~0.65 (参考1-2)	シビアアクシデント時のFP挙動の実験 (左記のエアロゾル粒径はPHEBUS FP実験の格納容器内のエアロゾル挙動に着目した実験の結果)

- ※1 J. H. Wilson and P. C. Arwood, Summary of Pretest Aerosol Code Calculations for LWR Aerosol Containment Experiments (LACE) LA2, ORNL A. L. Wright, J. H. Wilson and P. C. Arwood, PRETEST AEROSOL CODE COMPARISONS FOR LWR AEROSOL CONTAINMENT TESTS LA1 AND LA2
- ※2 D. A. Powers and J. L. Sprung, NUREG/CR-5901, A Simplified Model of Aerosol Scrubbing by a Water Pool Overlying Core Debris Interacting With Concrete
- ※3 STATE-OF-THE-ART REPORT ON NUCLEAR AEROSOLS, NEA/CSNI/R (2009)

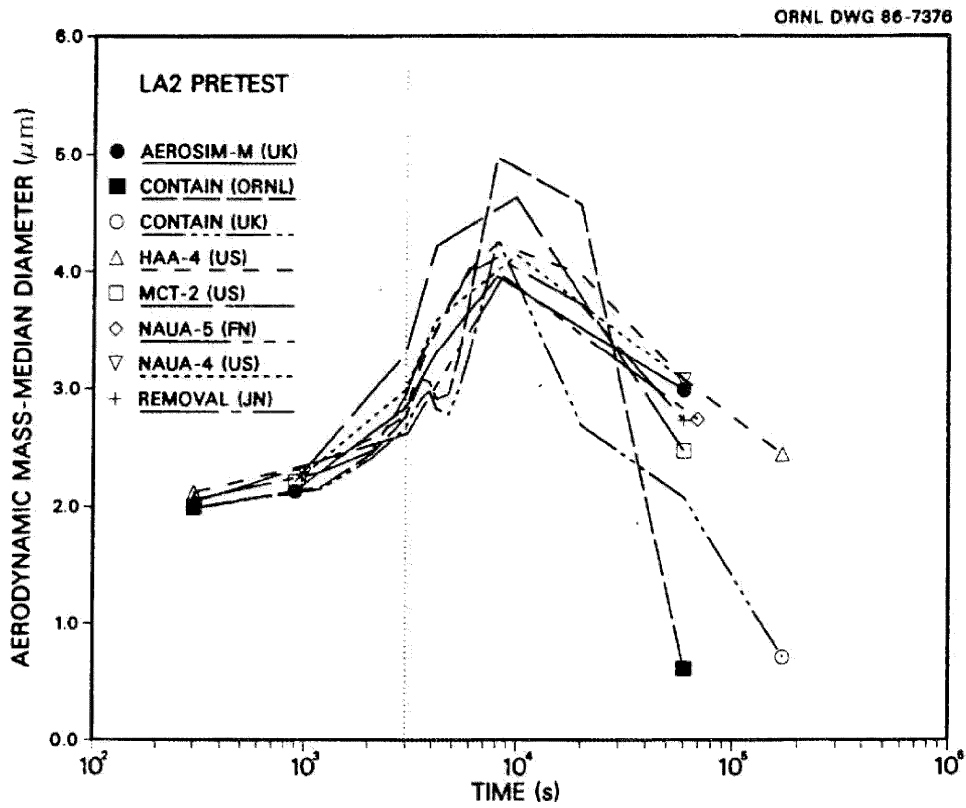


Fig. 11. LA2 pretest calculations — aerodynamic mass median diameter vs time.

第1図 LACE LA2でのコード比較試験で得られたエアロゾル粒径の時間変化
 グラフ

so-called "quench" temperature. At temperatures below this quench temperature the kinetics of gas phase reactions among CO, CO₂, H₂, and H₂O are too slow to maintain chemical equilibrium on useful time scales. In the sharp temperature drop created by the water pool, very hot gases produced by the core debris are suddenly cooled to temperatures such that the gas composition is effectively "frozen" at the equilibrium composition for the "quench" temperature. Experimental evidence suggest that the "quench" temperature is 1300 to 1000 K. The value of the quench temperature was assumed to be uniformly distributed over this temperature range for the calculations done here.

(6) Solute Mass. The mass of solutes in water pools overlying core debris attacking concrete has not been examined carefully in the experiments done to date. It is assumed here that the logarithm of the solute mass is uniformly distributed over the range of $\ln(0.05 \text{ g/kilogram H}_2\text{O}) = -3.00$ to $\ln(100 \text{ g/kilogram H}_2\text{O}) = 4.61$.

(7) Volume Fraction Suspended Solids. The volume fraction of suspended solids in the water pool will increase with time. Depending on the available facilities for replenishing the water, this volume fraction could become quite large. Models available for this study are, however, limited to volume fractions of 0.1. Consequently, the volume fraction of suspended solids is taken to be uniformly distributed over the range of 0 to 0.1.

(8) Density of Suspended Solids. Among the materials that are expected to make up the suspended solids are Ca(OH)₂ ($\rho = 2.2 \text{ g/cm}^3$) or SiO₂ ($\rho = 2.2 \text{ g/cm}^3$) from the concrete and UO₂ ($\rho = 10 \text{ g/cm}^3$) or ZrO₂ ($\rho = 5.9 \text{ g/cm}^3$) from the core debris or any of a variety of aerosol materials. It is assumed here that the material density of the suspended solids is uniformly distributed over the range of 2 to 6 g/cm³. The upper limit is chosen based on the assumption that suspended UO₂ will hydrate, thus reducing its effective density. Otherwise, gas sparging will not keep such a dense material suspended.

(9) Surface Tension of Water. The surface tension of the water can be increased or decreased by dissolved materials. The magnitude of the change is taken here to be $S\sigma(w)$ where S is the weight fraction of dissolved solids. The sign of the change is taken to be minus or plus depending on whether a random variable ϵ is less than 0.5 or greater than or equal to 0.5. Thus, the surface tension of the liquid is:

$$\sigma_1 = \left\{ \begin{array}{ll} \sigma(w) (1-S) & \text{for } \epsilon < 0.5 \\ \sigma(w) (1+S) & \text{for } \epsilon \geq 0.5 \end{array} \right\}$$

where $\sigma(w)$ is the surface tension of pure water.

(10) Mean Aerosol Particle Size. The mass mean particle size for aerosols produced during melt/concrete interactions is known only for situations in which no water is present. There is reason to believe smaller particles will be produced if a water pool is present. Examination of aerosols produced during melt/concrete interactions shows that the primary particles are about 0.1 μm in diameter. Even with a water pool present, smaller particles would not be expected.

Consequently, the natural logarithm of the mean particle size is taken here to be uniformly distributed over the range from $\ln(0.25 \mu\text{m}) = -1.39$ to $\ln(2.5 \mu\text{m}) = 0.92$.

(11) Geometric Standard Deviation of the Particle Size Distribution. The aerosols produced during core debris-concrete interactions are assumed to have lognormal size distributions. Experimentally determined geometric standard deviations for the distributions in cases with no water present vary between 1.6 and 3.2. An argument can be made that the geometric standard deviation is positively correlated with the mean size of the aerosol. Proof of this correlation is difficult to marshal because of the sparse data base. It can also be argued that smaller geometric standard deviations will be produced in situations with water present. It is unlikely that data will ever be available to demonstrate this contention. The geometric standard deviation of the size distribution is assumed to be uniformly distributed over the range of 1.6 to 3.2. Any correlation of the geometric standard deviation with the mean size of the aerosol is neglected.

(12) Aerosol Material Density. Early in the course of core debris interactions with concrete, UO_2 with a solid density of around 10 g/cm^3 is the predominant aerosol material. As the interaction progresses, oxides of iron, manganese and chromium with densities of about 5.5 g/cm^3 and condensed products of concrete decomposition such as Na_2O , K_2O , Al_2O_3 , SiO_2 , and CaO with densities of 1.3 to 4 g/cm^3 become the dominant aerosol species. Condensation and reaction of water with the species may alter the apparent material densities. Coagglomeration of aerosolized materials also complicates the prediction of the densities of materials that make up the aerosol. As a result the material density of the aerosol is considered uncertain. The material density used in the calculation of aerosol trapping is taken to be an uncertain parameter uniformly distributed over the range of 1.5 to 10.0 g/cm^3 .

Note that the mean aerosol particle size predicted by the VANESA code [6] is correlated with the particle material density to the $-1/3$ power. This correlation of aerosol particle size with particle material density was taken to be too weak and insufficiently supported by experimental evidence to be considered in the uncertainty analyses done here.

(13) Initial Bubble Size. The initial bubble size is calculated from the Davidson-Schular equation:

$$D_b = \epsilon \left(\frac{6}{\pi} \right)^{1/3} \frac{V_s^{0.4}}{g^{0.2}} \text{ cm}$$

where ϵ is assumed to be uniformly distributed over the range of 1 to 1.54. The minimum bubble size is limited by the Fritz formula to be:

$$D_b = 0.0105 \Psi[\sigma_t / g(\rho_l - \rho_g)]^{1/2}$$

where the contact angle is assumed to be uniformly distributed over the range of 20 to 120° . The maximum bubble size is limited by the Taylor instability model to be:

参考1-2 STATE-OF-THE-ART REPORT ON NUCLEAR AEROSOLS,
NEA/CSNI/R(2009)5の抜粋及び試験の概要

9.2.1 Aerosols in the RCS

9.2.1.1 AECL

The experimenters conclude that spherical particles of around 0.1 to 0.3 μm formed (though their composition was not established) then these agglomerated giving rise to a mixture of compact particles between 0.1 and 3.0 μm in size at the point of measurement. The composition of the particles was found to be dominated by Cs, Sn and U: while the Cs and Sn mass contributions remained constant and very similar in mass, U was relatively minor in the first hour at 1860 K evolving to be the main contributor in the third (very approximately: 42 % U, 26 % Sn, 33 % Cs). Neither break down of composition by particle size nor statistical size information was measured.

9.2.1.2 PBF-SFD

Further interesting measurements for purposes here were six isokinetic, sequential, filtered samples located about 13 m from the bundle outlet. These were used to follow the evolution of the aerosol composition and to examine particle size (SEM). Based on these analyses the authors state that particle geometrical-mean diameter varied over the range 0.29-0.56 μm (elimination of the first filter due to it being early with respect to the main transient gives the range 0.32-0.56 μm) while standard deviation fluctuated between 1.6 and 2.06. In the images of filter deposits needle-like forms are seen. Turning to composition, if the first filter sample is eliminated and "below detection limit" is taken as zero, for the structural components and volatile fission products we have in terms of percentages the values given in Table 9.2-1.

9.2.2 Aerosols in the containment

9.2.2.1 PHEBUS FP

The aerosol size distributions were fairly lognormal with an average size (AMMD) in FPT0 of 2.4 μm at the end of the 5-hour bundle-degradation phase growing to 3.5 μm before stabilizing at 3.35 μm ; aerosol size in FPT1 was slightly larger at between 3.5 and 4.0 μm . Geometric-mean diameter (d_{50}) of particles in FPT1 was seen to be between 0.5 and 0.65 μm ; a SEM image of a deposit is shown in Fig. 9.2-2. In both tests the geometric standard deviation of the lognormal distribution was fairly constant at a value of around 2.0. There was clear evidence that aerosol composition varied very little as a function of particle size except for the late settling phase of the FPT1 test: during this period, the smallest particles were found to be cesium-rich. In terms of chemical speciation, X-ray techniques were used on some deposits and there also exist many data on the solubilities of the different elements in numerous deposits giving a clue as to the potential forms of some of the elements. However, post-test oxidation of samples cannot be excluded since storage times were long (months) and the value of speculating on potential speciation on the basis of the available information is debatable. Nevertheless, there is clear evidence that some elements reached higher states of oxidation in the containment when compared to their chemical form in the circuit.

試験名又は報告書名等	試験の概要
AFCLが実施した実験	CANDUのジルカロイ被覆管燃料を使用した、1次系でも核分裂生成物の挙動についての試験
PBF-SFD	米国アイダホ国立工学環境研究所で実施された炉心損傷状態での燃料棒及び炉心のふるまい並びに核分裂生成物及び水素の放出についての試験
PHEBUS FP	フランスカダラッシュ研究所のPHEBUS研究炉で実施された、シビアアクシデント条件下での炉心燃料から1次系を経て格納容器に至るまでの核分裂生成物の挙動を調べる実機燃料を用いた総合試験

補足 9 実効放出継続時間の設定について

大気拡散評価に用いる実効放出継続時間は、「発電用原子炉施設の安全解析に関する気象指針」^{*1}に従い、事故期間中の放射性物質の全放出量を1時間当たりの最大放出量で除した値として計算する。実効放出継続時間は、大気拡散評価で放出継続時間を考慮した単位時間当たりの拡散係数を求めるために設定するものであり、被ばく評価においては、評価対象期間の放出率に拡散係数を乗じることにより大気拡散を考慮した評価を行う。

実効放出継続時間は放出経路ごとに設定しており、原子炉建屋、非常用ガス処理系排気筒及び格納容器圧力逃がし装置排気口のそれぞれの放出経路について実効放出継続時間を計算した結果を第1表～第2表に示す。

原子炉建屋及び格納容器圧力逃がし装置からの放出の実効放出継続時間は1時間程度であり、非常用ガス処理系排気筒からの放出の実効放出継続時間は20時間～30時間程度となっている。

大気拡散評価に用いる風速、風向などの気象データは、1時間ごとのデータとして整理されており、実効放出継続時間として設定できる最小単位は1時間である。

また、実効放出継続時間を2時間以上で設定した場合、その期間に同一風向の風が吹き続けることを想定し、その期間の拡散係数の平均を単位時間当たりの拡散係数としている。なお、平均する期間に異なる風向が含まれる場合は、拡散係数を0として平均を計算する。このため、実効放出継続時間が長くなるほど平均される期間が長くなり拡散係数は小さい傾向となる。

このことから、ベント実施に伴う被ばく評価では、保守的に被ばく評価上の影響が大きい原子炉建屋及び格納容器圧力逃がし装置からの放出における実効放出継続時間である1時間を適用し大気拡散評価を行った。

なお、参考として実効放出継続時間の違いによる拡散係数（相対濃度，相対線量）の変化について第 3 表に示す。

また、評価対象期間の放出率及び拡散係数（相対線量）から行う被ばく評価の例として、第二弁開操作後（S/Cからベントを行う場合）に大気中へ放出された放射性物質による屋外移動時の外部被ばく評価結果について第 4 表に示す。

※1 （気象指針解説抜粋）

- (3) 実効放出継続時間（T）は、想定事故の種類によって放出率に変化があるので、放出モードを考慮して適切に定めなければならないが、事故期間中の放射性物質の全放出量を 1 時間当たりの最大放出量で除した値を用いることもひとつの方法である。

第 1 表 S / C からベントを行う場合の実効放出継続時間

放出経路	① 放出量 (Bq)			② 最大放出率 (Bq/h)			①÷② 実効放出継続時間 (h)		
	原子炉建屋放出分	非常用ガス処理系排気筒放出分	ベント放出分	原子炉建屋放出分	非常用ガス処理系排気筒放出分	ベント放出分	原子炉建屋放出分	非常用ガス処理系排気筒放出分	ベント放出分
希ガス	約 4.6×10^{15}	約 3.1×10^{16}	約 8.9×10^{18}	約 3.1×10^{15}	約 1.2×10^{15}	約 8.7×10^{18}	約 1.5	約 25.1	約 1.0
希ガス以外	約 1.3×10^{15}	約 1.6×10^{15}	約 7.2×10^{15}	約 9.2×10^{14}	約 6.2×10^{13}	約 7.1×10^{15}	約 1.4	約 26.3	約 1.0

第 2 表 D / W からベントを行う場合の実効放出継続時間

放出経路	① 放出量 (Bq)			② 最大放出率 (Bq/h)			①÷② 実効放出継続時間 (h)		
	原子炉建屋放出分	非常用ガス処理系排気筒放出分	ベント放出分	原子炉建屋放出分	非常用ガス処理系排気筒放出分	ベント放出分	原子炉建屋放出分	非常用ガス処理系排気筒放出分	ベント放出分
希ガス	約 4.7×10^{15}	約 3.5×10^{16}	約 8.5×10^{18}	約 3.2×10^{15}	約 1.4×10^{15}	約 5.6×10^{18}	約 1.5	約 25.7	約 1.5
希ガス以外	約 1.3×10^{15}	約 1.8×10^{15}	約 7.2×10^{15}	約 9.1×10^{14}	約 6.6×10^{13}	約 4.9×10^{15}	約 1.4	約 26.8	約 1.5

第 3 表 実効放出継続時間の違いによる拡散係数の変更

	相対濃度 (s/m^3)	相対線量 (Gy/Bq)
1 時間	約 3.0×10^{-6}	約 1.2×10^{-19}
5 時間	約 2.9×10^{-6}	約 8.8×10^{-20}
10 時間	約 1.7×10^{-6}	約 7.5×10^{-20}
20 時間	約 1.2×10^{-6}	約 6.2×10^{-20}

第 4 表 第二弁開操作後（S/Cからベントを行う場合）に大気に放出された放射性物質による屋外移動時の外部被ばく評価結果

項 目	ベント実施後に大気中へ放出された放射性物質による屋外移動時の外部被ばく評価		備 考
放出経路	非常用ガス処理系 排気筒	格納容器圧力逃がし装置 排気口	ベント実施後の放出経路
放出率 (Bq/h)	約 3.3×10^{14}	約 8.3×10^{13}	(①) 事故後約 22 時間～約 23 時間の放出率
相対線量 (Gy/Bq)	約 1.2×10^{-19}	約 8.8×10^{-19}	(②) 実効放出継続時間 1 時間の相対線量 (拡散係数)
線量率 ^{※1} (mSv/h)	約 3.8×10^{-2}	約 7.3×10^{-2}	(①×②× 10^3) 評価対象期間の線量率
屋外移動時 線量率 (mSv/h)	約 1.1×10^{-1}		

※1 事故時においては換算係数を $1Sv/Gy$ として計算

補足 10 ベント実施に伴うベント操作時の作業員の被ばく評価で
考慮している線源の選定について

ベント実施に伴うベント操作時の作業員の被ばく評価では、放出される放射性物質による被ばく経路として以下の被ばく経路を考慮している。

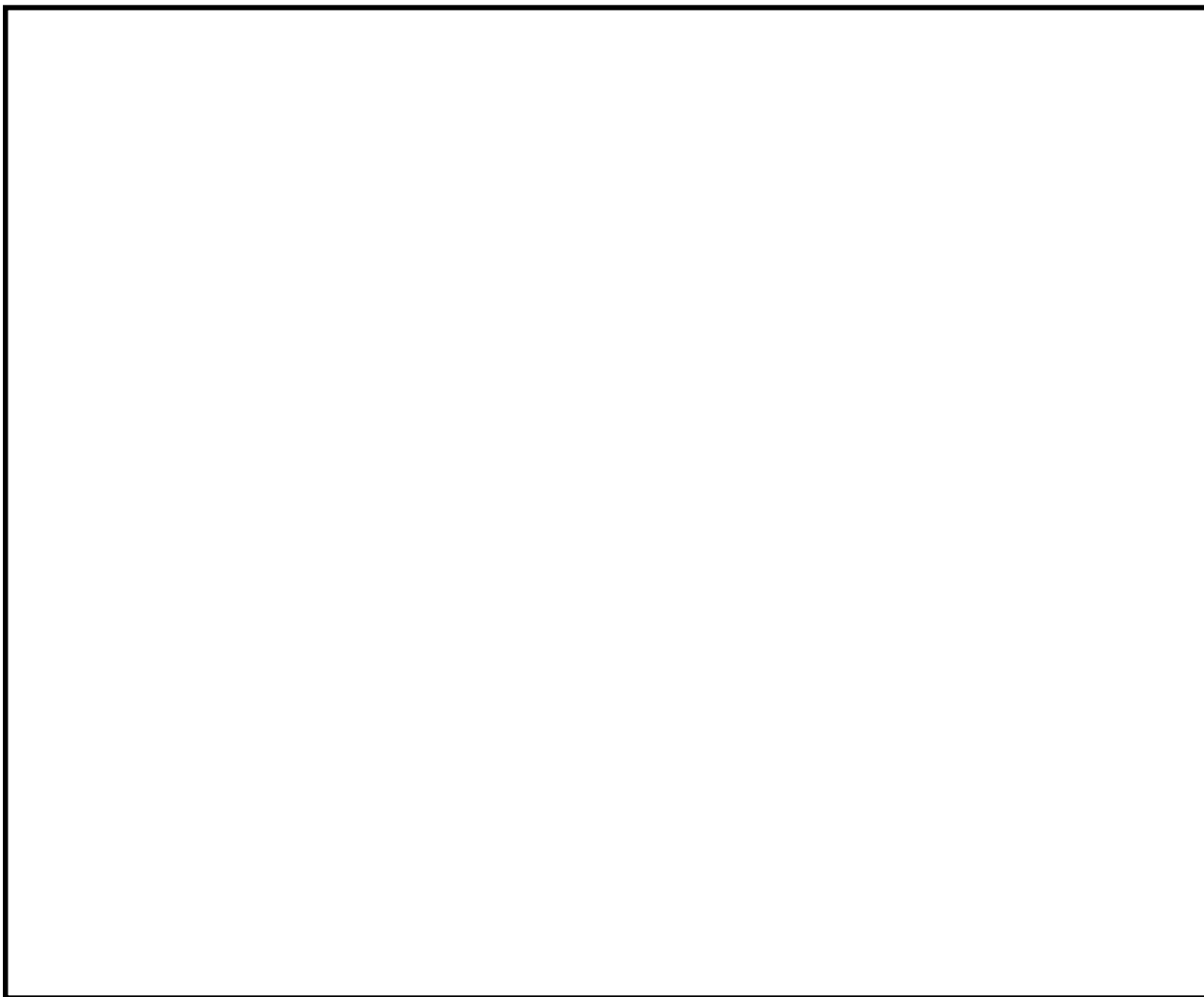
- ・ 大気中へ放出された放射性物質からのガンマ線による被ばく
- ・ 原子炉建屋内の放射性物質からのガンマ線による被ばく
- ・ 外気から作業場所に流入した放射性物質による被ばく
- ・ ベント系配管内の放射性物質からのガンマ線による外部被ばく
- ・ フィルタ装置内の放射性物質からのガンマ線による外部被ばく
- ・ 地表面に沈着した放射性物質からのガンマ線による被ばく

上記の被ばく経路以外にアクセスルート等には、第 1 表に示すとおり、線源となる換気系フィルタがあるが、線源からアクセスルート等が十分に離れていること、線源とアクセスルートの間の壁に十分な遮蔽効果が得られること、移動時間を考慮すると設備からの影響は短時間であることなどから、被ばく評価への影響が小さいため評価上考慮していない。線源とアクセスルート等の関係を第 1 図～第 11 図に示す。

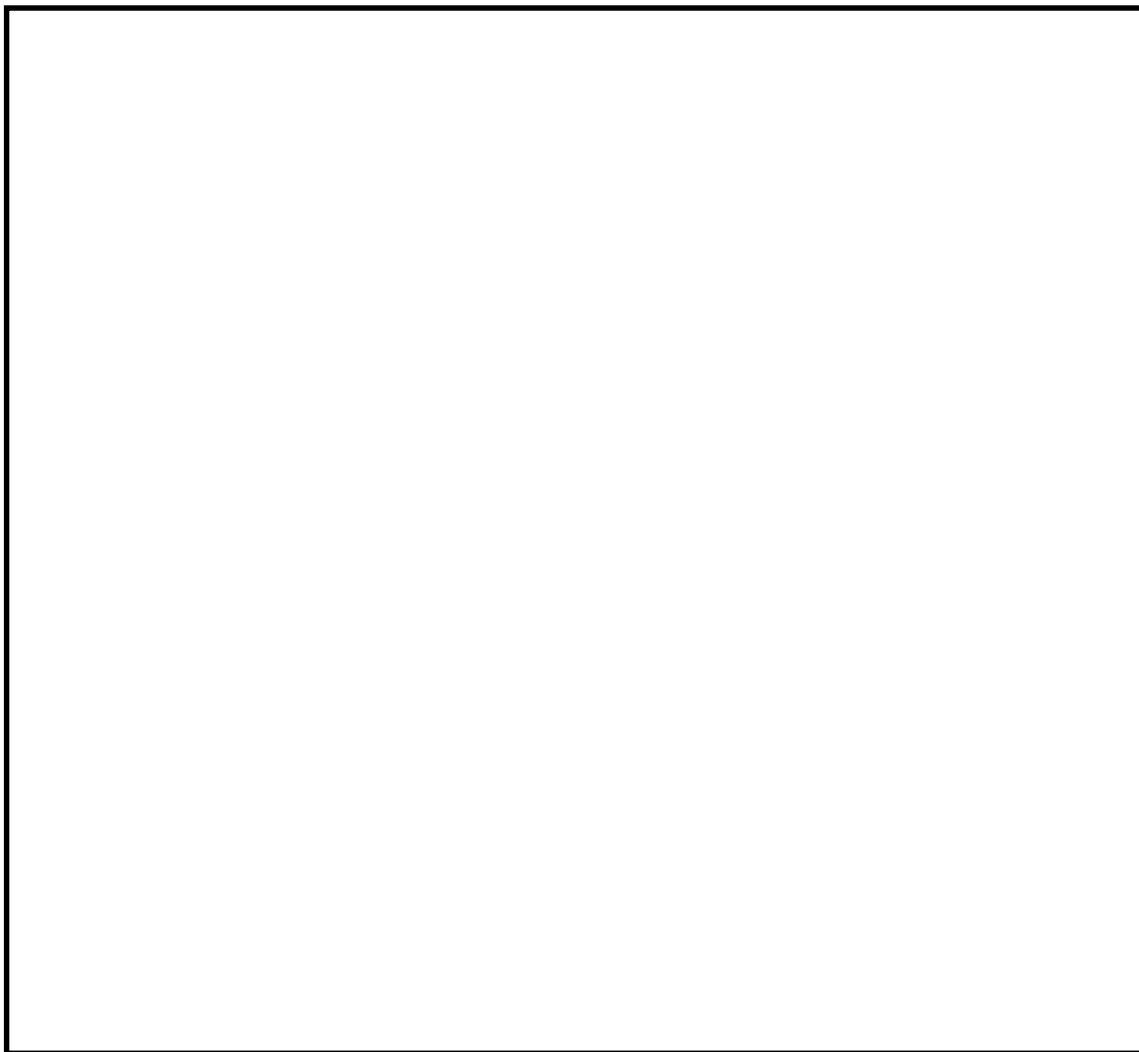
第 1 表 線源となる設備とアクセスルート等への影響について

設 備※1	考慮していない理由	隔離距離, 遮蔽厚等	アクセスルート等 における線量率	設備位置
非常用ガス処理系フィルタ, 非常用ガス再循環系フィルタ	原子炉建屋原子炉棟 5F の設備であり, アクセスルート等から十分離れており, 設備とアクセスルートの間には原子炉建屋原子炉棟の壁, 床があり十分な遮蔽効果に期待でき, 被ばく評価への影響は小さいため。	遮蔽厚 (床, 壁) : 約 100 cm 距離: 10m 以上	10^{-1} mSv/h 以下	① (第 6 図)
中央制御室換気系フィルタ	アクセスルートから十分に離れており, 移動時における影響は短時間であり被ばく評価への影響は小さいため。	遮蔽厚: なし 距離: 10m 以上	0.5mSv/h 以下	② (第 4 図)

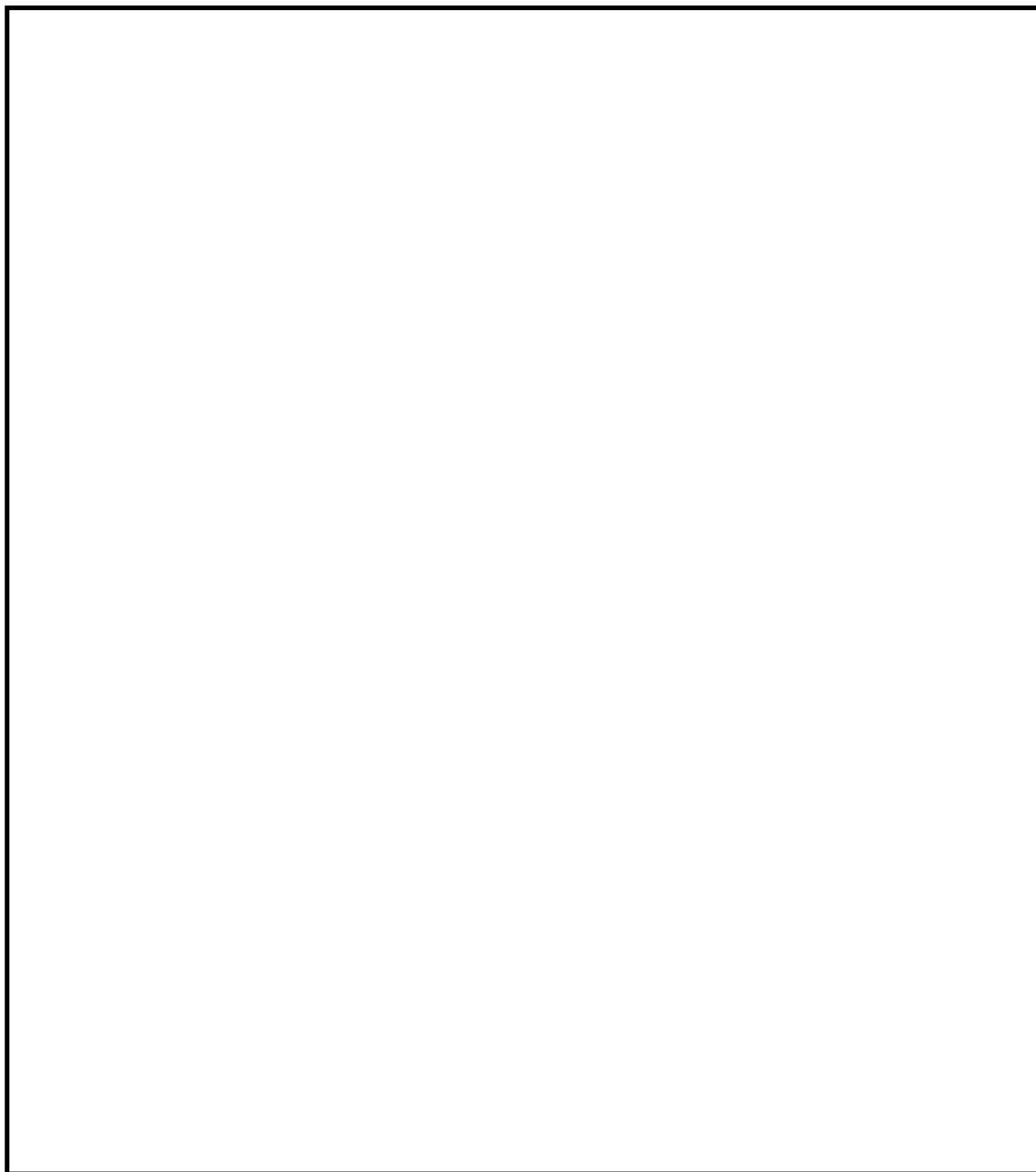
※1 表の設備以外にも貯蔵タンク等があるが, 管理区域の区域区分 I 又は II (0.1mSv/h 未満) にある設備であり, 被ばく評価上影響は小さい。



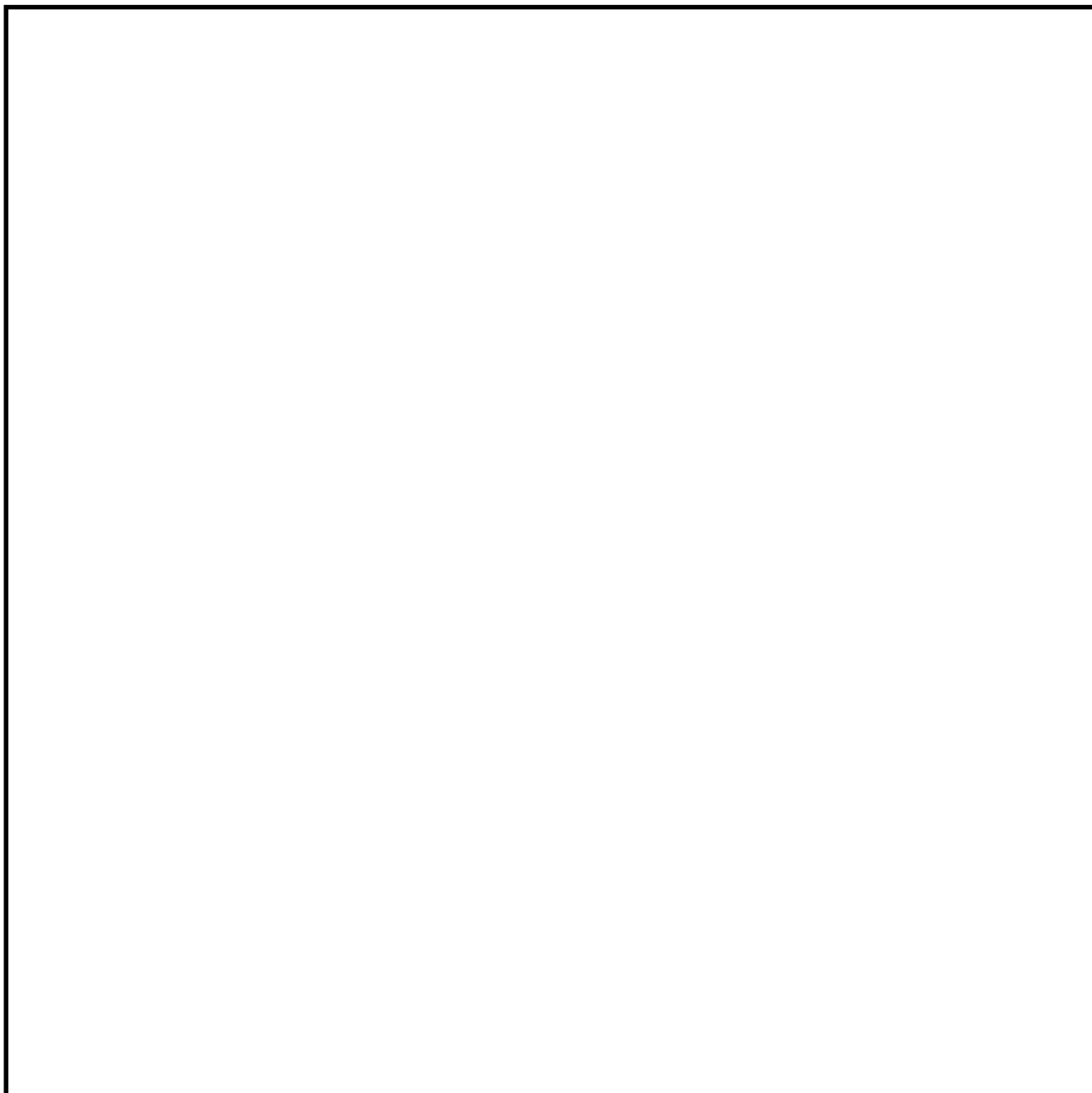
第 1 図 屋外アクセスルート



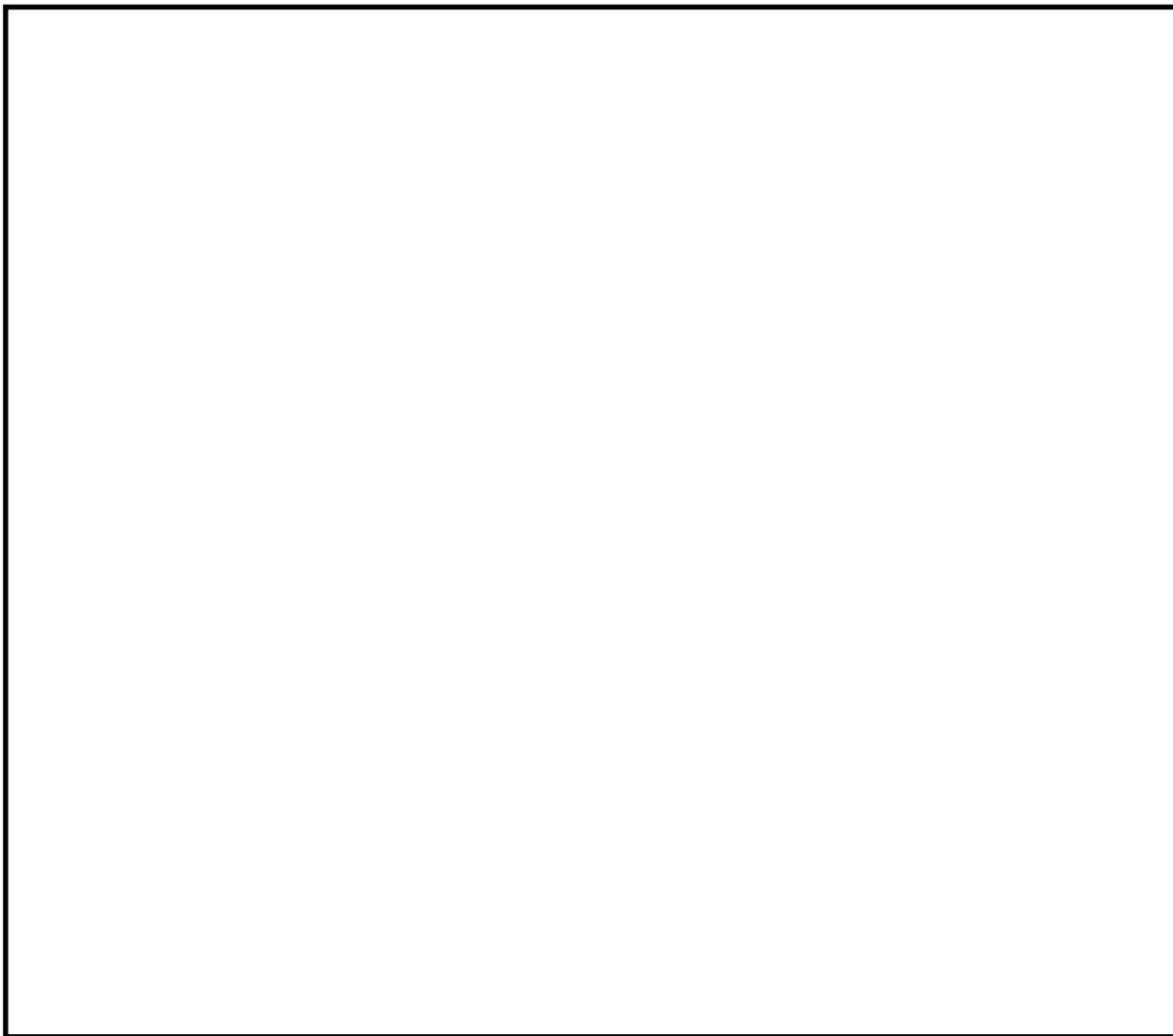
第 2 図 原子炉建屋 1 階の操作場所及びアクセスルート



第 3 図 原子炉建屋 2 階のアクセスルート



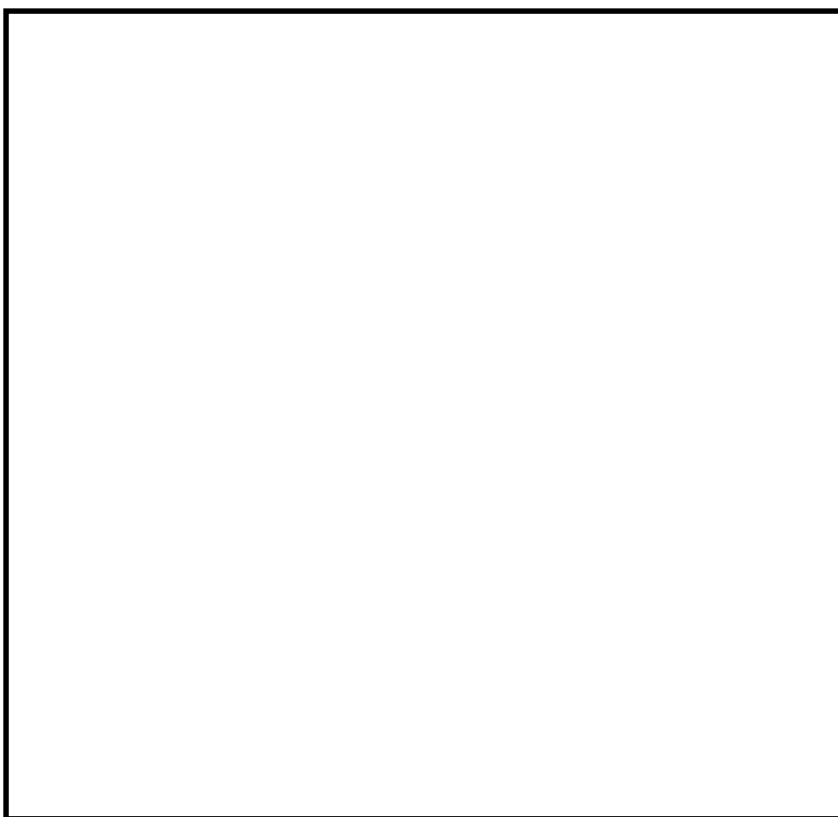
第 4 図 原子炉建屋 3 階及び原子炉建屋付属棟 4 階の
アクセスルート



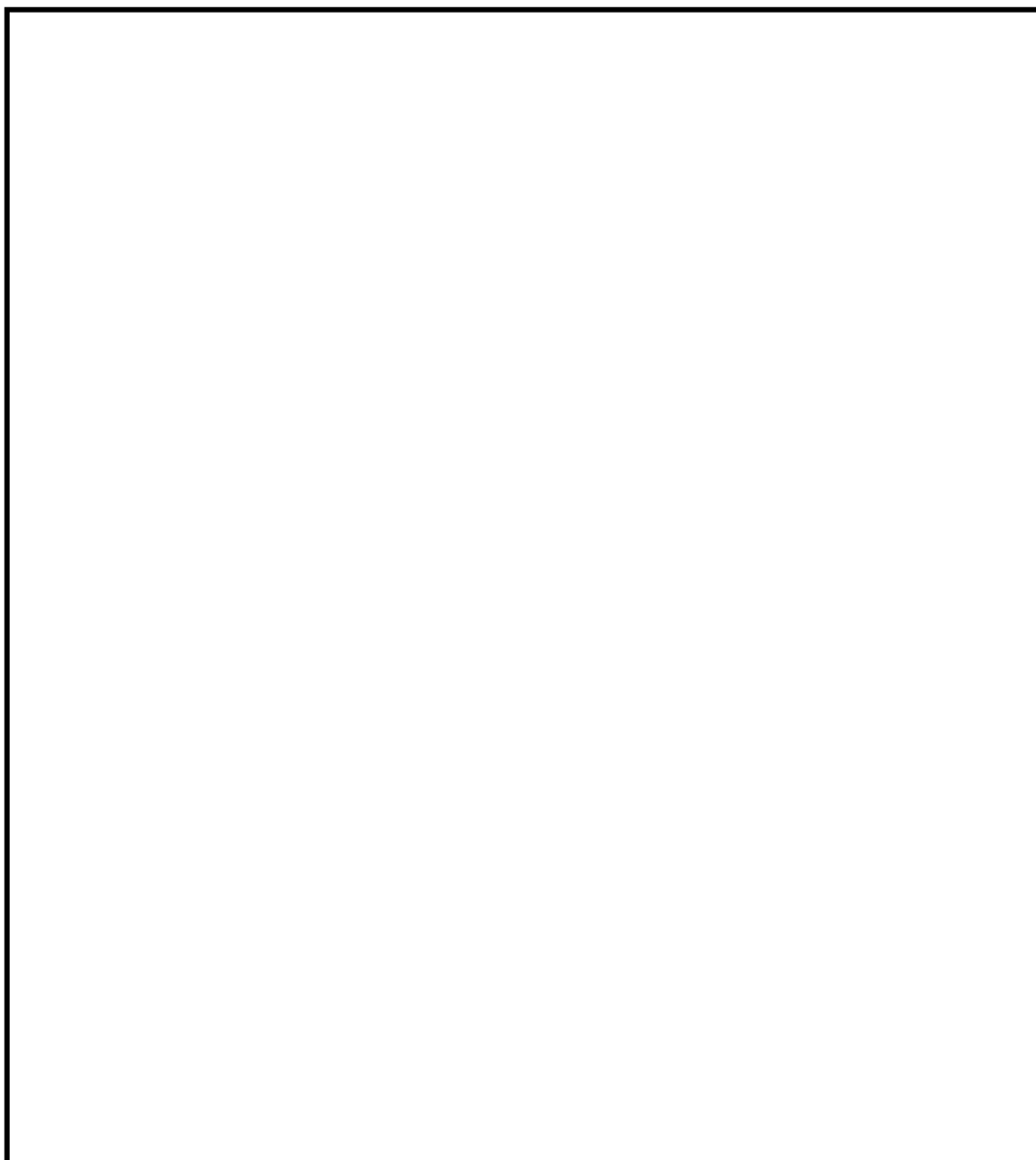
第 5 図 原子炉建屋 4 階

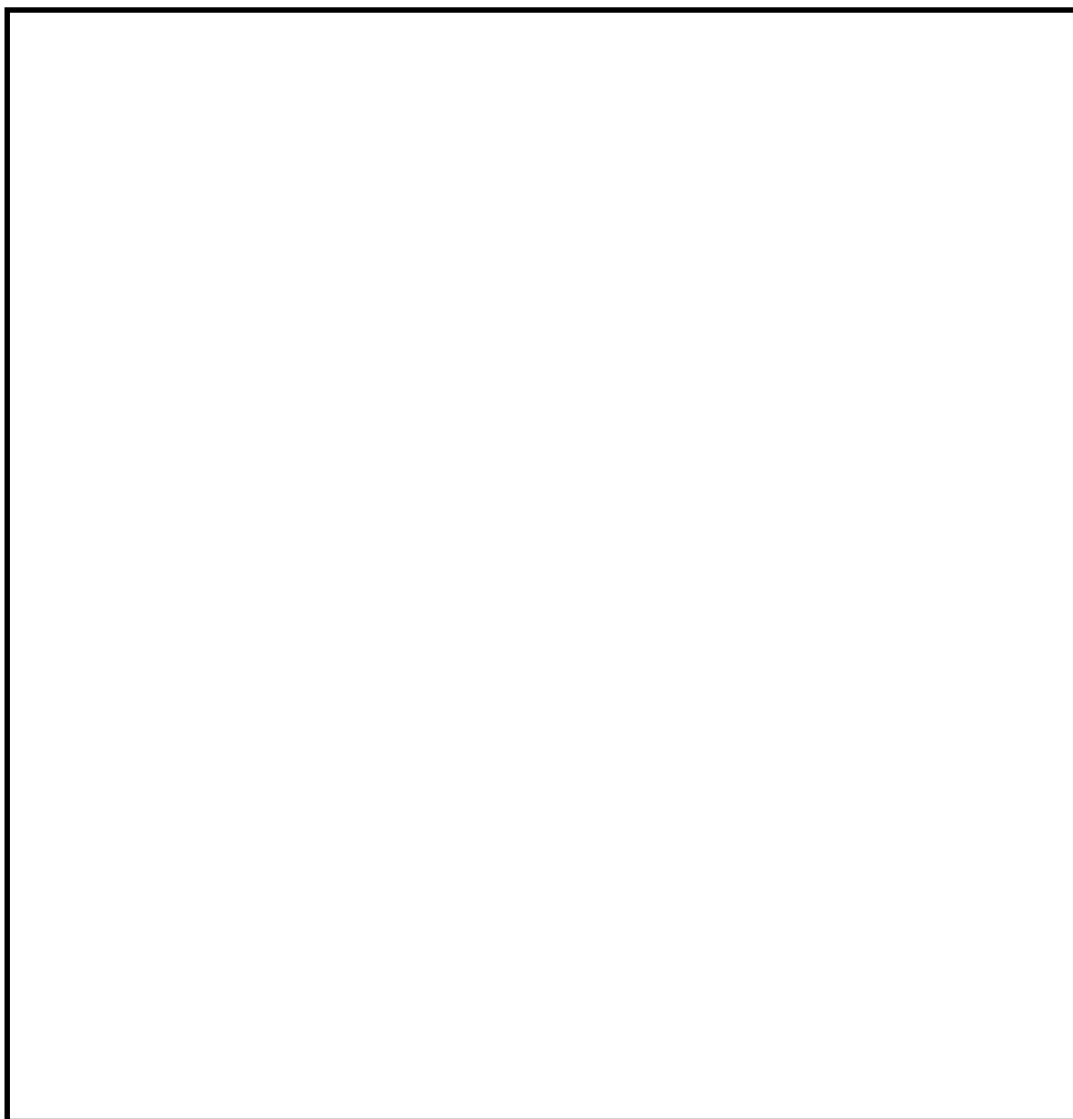


第 6 図 原子炉建屋 5 階



第 7 図 原子炉建屋 6 階

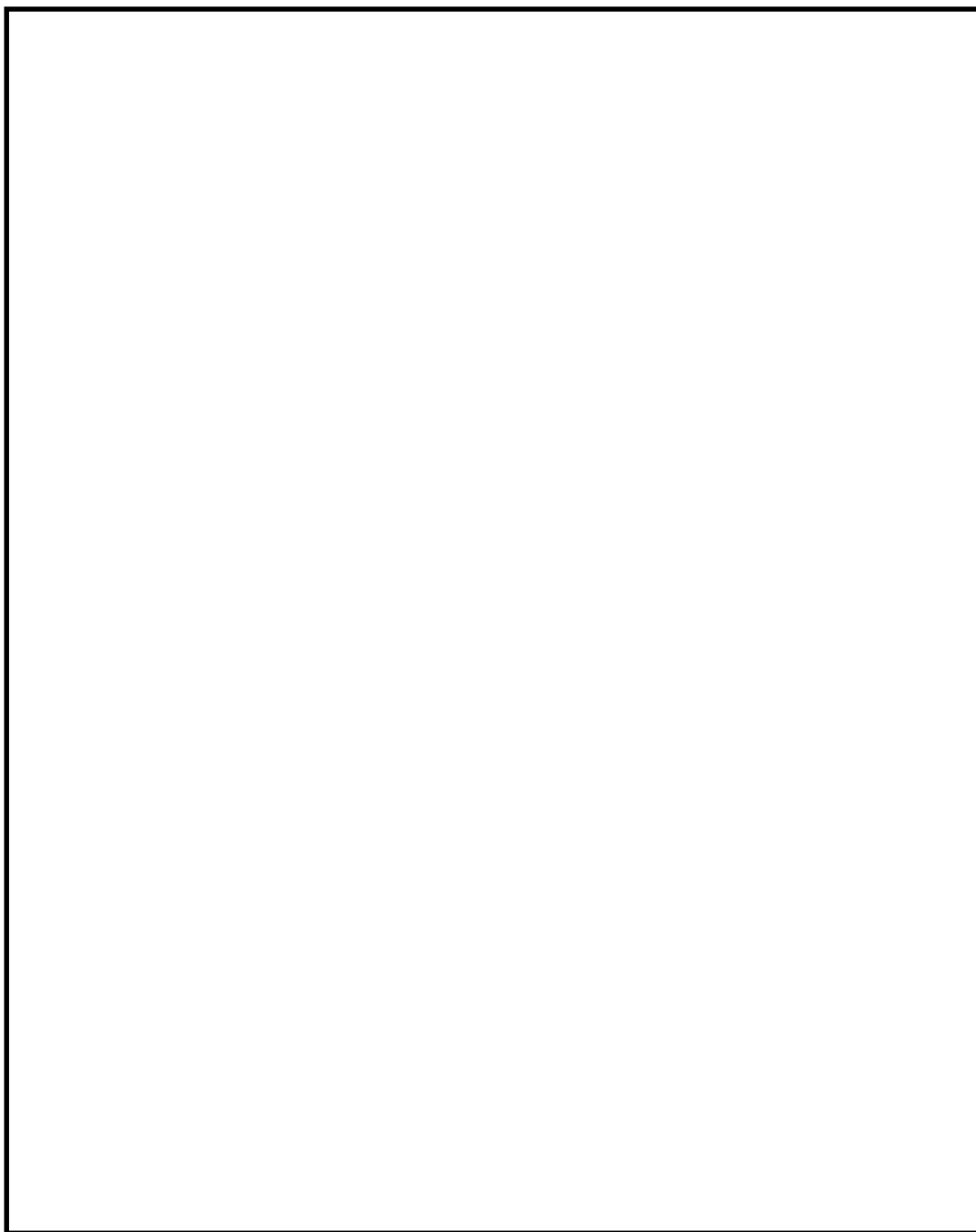




第 9 図 地下 1 階のアクセスルート



第 10 図 地下 2 階のアクセスルート



第 11 図 地下 2 階のアクセスルート

補足 11 線量評価に用いた気象データについて

1. はじめに

新規制基準適合性に係る設置変更許可申請に当たっては、東海第二発電所敷地内で 2005 年度に観測された風向、風速等を用いて線量評価を行っている。本補足資料では、2005 年度の気象データを用いて線量評価することの妥当性について説明する。

2. 設置変更許可申請において 2005 年度の気象データを用いた理由

新規制基準適合性に係る設置変更許可申請に当り、添付書類十に新たに追加された炉心損傷防止対策の有効性評価で、格納容器圧力逃がし装置を使用する場合の敷地境界における実効線量の評価が必要となった。その際、添付書類六に記載している 1981 年度の気象データの代表性について、申請準備時点の最新気象データを用いて確認したところ、代表性が確認できなかった。このため、平常時線量評価用の風洞実験結果（原子炉熱出力向上の検討の一環で準備）※が整備されている 2005 年度の気象データについて、申請時点での最新気象データにて代表性を確認した上で、安全解析に用いる気象条件として適用することにした。これに伴い、添付書類九（通常運転時の線量評価）、添付書類十（設計基準事故時の線量評価）の安全解析にも適用し、評価を見直すこととした（参考 1 参照）。

※：線量評価には「発電用原子炉施設の安全解析に関する気象指針」（以下、気象指針という。）に基づき統計処理された気象データを用いる。また、気象データのほかに放射性物質の放出量、排気筒高さ等のプラントデータ、評価点までの距離、排気筒有効高さ（風洞実験結果）等のデータが必要となる。

風洞実験は平常時、事故時の放出源高さで平地実験、模型実験を行い排気筒の有効高さを求めている。平常時の放出源高さの設定に当たっては、吹上げ高さを考慮しており、吹上げ高さの計算に 2005 年度の気象データ（風向別風速逆数の平均）を用いている。

これは、2011 年 3 月以前、東海第二発電所において、次のように 2005 年度の気象データを用いて原子炉熱出力の向上について検討していたことによる。

原子炉熱出力向上に伴い添付書類九の通常運転時の線量評価条件が変更になること（主蒸気流量の 5% 増による冷却材中のよう素濃度減少により、換気系からの気体状よう素放出量の減少等、参考 2 参照）、また、南南東方向（常陸那珂火力発電所方向）、北東方向（海岸方向）の線量評価地点の追加も必要であったことから、中立の大気安定度の気流条件での風洞実験を新たに規定した「(社) 日本原子力学会標準 発電用原子炉施設の安全解析における放出源の有効高さを求めるための風洞実験実施基準：2003」に基づき、使用済燃料乾式貯蔵建屋、固体廃棄物作業建屋等の当初の風洞実験（1982 年）以降に増設された建屋も反映し、2005 年度の気象データを用いて風洞実験（参考 3 参照）を実施した。

東海第二発電所の添付書類九では、廃止措置中の東海発電所についても通常運転状態を仮定した線量評価を行っている。この評価においては、1981 年度と 2005 年度の気象データから吹上げ高さを加えて評価した放出源高さの差異が、人の居住を考慮した線量評価点のうち線量が最大となる評価点に向かう風向を含む主要風向において僅かであったため、従来の風洞実験（1982 年）の結果による有効高さをを用いることにした（参考 4 参照）。

3. 2005 年度の気象データを用いて線量評価することの妥当性

線量評価に用いる気象データについては、気象指針に従い統計処理された 1 年間の気象データを使用している。気象指針（参考参照）では、その年の気象がとくに異常であるか否かを最寄の気象官署の気象資料を用いて調査することが望ましいとしている。

以上のことから、2005 年度の気象データを用いることの妥当性を最新の気象データと比較し、以下について確認する。

- ・ 想定事故時の線量計算に用いる相対濃度
- ・ 異常年検定

4. 想定事故時の線量計算に用いる相対濃度と異常年検定の評価結果

(1) 想定事故時の線量計算に用いる相対濃度の最新の気象との比較

想定事故時の線量計算に用いる相対濃度について、線量評価に用いる気象（2005 年度）と最新の気象（2015 年度）との比較を行った。その結果、2005 年度気象での相対濃度^{※2}は $2.01 \times 10^{-6} \text{ s/m}^3$ 、2015 年度気象では $2.04 \times 10^{-6} \text{ s/m}^3$ である。2005 年度に対し 2015 年度の相対濃度は約 1% の増加（気象指針に記載の相対濃度の年変動の範囲 30% 以内）であり、2005 年度の気象データに特異性はない。

※2 排気筒放出における各方位の 1 時間ごとの気象データを用いた年間の相対濃度を小さい方から累積し、その累積頻度が 97% に当たる相対濃度を算出し、各方位の最大値を比較

(2) 異常年検定

a. 検定に用いた観測記録

検定に用いた観測記録は第 1 表のとおりである。

なお、参考として、最寄の気象官署（水戸地方気象台、小名浜特別地域

気象観測所) の観測記録についても使用した。

第 1 表 検定に用いた観測記録

検定年	統計年 ^{※3}	観測地点 ^{※4}
2005 年度： 2005 年 4 月 ～ 2006 年 3 月	① 2001 年 4 月～2013 年 3 月 (申請時最新 10 年の気象データ)	・敷地内観測地点 (地上高 10m, 81m, 140m)
	② 2004 年 4 月～2016 年 3 月 (最新 10 年の気象データ)	・敷地内観測地点 (地上高 10m, 81m, 140m) <参考> ・水戸地方気象台 ・小名浜特別地域気象観測所

※3 2006 年度は気象データの欠測率が高いため統計年から除外

※4 敷地内観測地点地上 81m は東海発電所の排気筒付近のデータであるが、気象の特異性を確認するため評価

b. 検定方法

不良標本の棄却検定に関する F 分布検定の手順により異常年検定を行った (参考 5 参照)。

c. 検定結果 (①～⑯ 棄却検定表参照)

検定結果は第 2 表のとおりであり、最新の気象データ (2004 年 4 月～2016 年 3 月) を用いた場合でも、有意水準 (危険率) 5% での棄却数は少なく、有意な増加はない。また、最寄の気象官署の気象データにおいても、有意水準 (危険率) 5% での棄却数は少なく、2005 年度の気象データは異常年とは判断されない。

第 2 表 検定結果

検定年	統計年 ^{※5}	棄却数				
		敷地内観測地点			参 考	
		地上高 10m	地上高 81m ^{※6}	地上高 140m	水戸地方 気象台	小名浜特 別地域気 象観測所
2005 年度	①	1 個	0 個	3 個	—	—
	②	3 個	1 個	4 個	1 個	3 個

※5 ①：2001 年 4 月～2013 年 3 月（申請時最新 10 年の気象データ）

②：2004 年 4 月～2016 年 3 月（最新 10 年の気象データ）

2006 年度は気象データの欠測率が高いため統計年から除外

※6 敷地内観測地点地上 81m は東海発電所の排気筒付近のデータであるが、気象の特異性を確認するため評価

5. 異常年検定による棄却項目の線量評価に与える影響

異常年検定については、風向別出現頻度 17 項目、風速階級別出現頻度 10 項目についてそれぞれ検定を行っている。

線量評価に用いる気象(2005 年度)を最新の気象データ(2004 年 4 月～2016 年 3 月)にて検定した結果、最大の棄却数は地上高 140m の観測地点で 27 項目中 4 個であった。棄却された項目について着目すると、棄却された項目は全て風向別出現頻度であり、その方位は ENE, E, ESE, SSW である。

ここで、最新の気象データを用いた場合の線量評価への影響を確認するため、棄却された各風向の相対濃度について、2005 年度と 2015 年度を第 3 表のとおり比較した。

E N E, E, E S Eについては2005年度に対し2015年度は0.5倍～0.9倍程度の相対濃度となり、2005年度での評価は保守的な評価となっており、線量評価結果への影響を与えない。なお、S S Wについては2005年度に対し2015年度は約1.1倍の相対濃度とほぼ同等であり、また、S S Wは頻度が比較的low相対濃度の最大方位とはならないため線量評価への影響はない。

第3表 棄却された各風向の相対濃度の比較結果

風向	相対濃度 ^{※7} (s/m ³)		比 (B/A)
	(2005年度) : A	(2015年度) : B	
E N E	1.456×10^{-6}	1.258×10^{-6}	0.864
E	1.982×10^{-6}	1.010×10^{-6}	0.510
E S E	1.810×10^{-6}	1.062×10^{-6}	0.587
S S W	1.265×10^{-6}	1.421×10^{-6}	1.123

※7 燃料集合体落下事故を想定した排気筒放出における、各方位の1時間ごとの気象データを用いた年間の相対濃度を小さい方から累積し、その累積頻度が97%に当たる相対濃度を算出

6. 結 論

2005年度の気象データを用いることの妥当性を最新の気象データとの比較により評価した結果は以下のとおり。

- (1) 想定事故時の線量計算に用いる相対濃度について、線量評価に用いる気象(2005年度)と最新の気象(2015年度)での計算結果について比較を行った結果、気象指針に記載されている相対濃度の年変動(30%以内)の範囲に収まり、2005年度の気象データに特異性はない。
- (2) 2005年度の気象データについて申請時の最新気象データ(2001年4月～

2013年3月)及び最新気象データ(2004年4月～2016年3月)で異常年検定を行った結果、棄却数は少なく、有意な増加はない。また、気象指針にて調査することが推奨されている最寄の気象官署の気象データにおいても、2005年度の気象データは棄却数は少なく、異常年とは判断されない。

(3) 異常年検定にて棄却された風向の相対濃度については、最新気象データと比べて保守的、あるいは、ほぼ同等となっており、線量評価結果への影響を与えない。

以上より、2005年度の気象データを線量評価に用いることは妥当である。

① 棄却検定表 (風向) (標高148m)

観測場所：敷地内A地点 (標高148m, 地上高140m) (%)

統計年 風向	2001	2002	2003	2004	2007	2008	2009	2010	2011	2012	平均値	検定年 2005	棄却限界(5%)		判定 ○採択 ×棄却
													上限	下限	
N	3.96	5.85	3.78	3.40	5.01	4.27	4.11	4.62	4.43	4.50	4.39	3.52	6.02	2.77	○
NNE	8.89	8.15	6.91	6.22	11.41	13.51	18.30	14.74	15.31	14.20	11.76	6.67	21.42	2.11	○
NE	19.71	24.49	23.29	18.45	18.06	20.80	16.75	14.99	14.71	13.60	18.49	18.41	27.13	9.84	○
ENE	8.31	8.38	10.04	8.97	7.09	6.97	5.51	5.25	5.40	4.10	7.00	9.80	11.55	2.46	○
E	4.39	3.76	4.56	4.42	4.59	4.14	3.49	3.17	3.13	1.70	3.74	5.55	5.88	1.59	○
ESE	2.79	2.86	2.93	2.99	2.32	2.85	2.26	2.26	2.22	2.20	2.57	3.66	3.37	1.76	×
SE	2.90	2.61	2.95	2.66	2.15	2.85	2.59	2.74	2.82	3.00	2.73	3.09	3.31	2.14	○
SSE	3.35	3.34	3.74	3.54	3.69	3.73	4.18	4.89	4.68	5.50	4.06	3.32	5.80	2.33	○
S	5.00	4.13	5.02	6.63	6.33	5.38	5.19	6.03	5.83	7.00	5.65	4.99	7.72	3.59	○
SSW	3.79	3.56	4.35	5.02	4.54	4.55	4.43	5.35	4.76	5.70	4.61	3.13	6.15	3.06	○
SW	4.32	4.90	4.93	5.16	3.92	3.40	4.53	5.16	5.76	5.40	4.75	3.67	6.44	3.06	○
WSW	4.38	4.09	3.53	4.31	4.66	3.29	4.11	4.67	4.07	4.70	4.18	4.25	5.31	3.05	○
W	5.44	4.16	4.23	4.65	3.89	3.81	4.47	5.55	4.26	4.40	4.49	5.13	5.88	3.09	○
WNW	5.95	5.05	6.19	6.71	5.87	6.13	6.26	6.05	6.37	6.30	6.09	7.65	7.12	5.06	×
NW	7.95	7.42	7.60	9.12	9.02	8.06	7.95	7.99	8.94	10.10	8.42	9.54	10.41	6.42	○
NNW	7.63	6.60	5.19	6.97	7.03	5.86	4.90	5.27	5.98	6.60	6.20	6.53	8.35	4.05	○
CALM	1.24	0.65	0.75	0.76	0.42	0.39	0.98	1.26	1.32	1.2	0.90	1.10	1.73	0.06	○

注1) 2006年度は標高148mのデータにノイズの影響があったため除外し、2001年度を追加した。

② 棄却検定表 (風速) (標高148m)

観測場所：敷地内A地点 (標高148m, 地上高140m) (%)

統計年 風速(m/s)	2001	2002	2003	2004	2007	2008	2009	2010	2011	2012	平均値	検定年 2005	棄却限界(5%)		判定 ○採択 ×棄却
													上限	下限	
0.0~0.4	1.24	0.65	0.75	0.76	0.42	0.39	0.98	1.26	1.32	1.20	0.90	1.10	1.73	0.06	○
0.5~1.4	6.70	5.19	5.56	6.43	5.00	4.91	6.14	6.91	6.97	7.40	6.12	6.99	8.26	3.98	○
1.5~2.4	10.58	8.92	9.61	11.42	8.63	9.44	10.82	11.16	10.43	11.00	10.20	11.28	12.53	7.87	○
2.5~3.4	12.17	11.15	12.55	13.72	11.36	12.24	11.61	12.66	12.49	12.40	12.24	14.10	13.99	10.48	×
3.5~4.4	12.57	12.25	12.80	13.58	12.63	13.41	13.26	12.52	12.24	12.10	12.74	13.85	13.97	11.51	○
4.5~5.4	11.54	10.97	11.30	12.07	13.08	12.09	12.67	13.40	12.60	11.00	12.07	12.03	14.11	10.03	○
5.5~6.4	10.66	9.62	10.10	9.68	11.98	10.33	10.78	10.64	10.24	10.00	10.40	9.92	12.02	8.79	○
6.5~7.4	7.67	8.18	8.82	7.95	8.74	8.28	8.19	8.89	8.08	8.60	8.34	7.40	9.30	7.38	○
7.5~8.4	6.17	7.68	7.35	5.34	6.97	7.05	5.91	6.39	6.28	7.30	6.64	5.51	8.40	4.89	○
8.5~9.4	5.14	6.84	6.01	5.03	5.60	4.77	5.03	4.82	5.52	6.00	5.48	4.82	7.03	3.92	○
9.5以上	15.56	18.54	15.15	14.02	15.61	17.08	14.61	11.35	13.84	13.00	14.88	13.00	19.70	10.05	○

注1) 2006年度は標高148mのデータにノイズの影響があったため除外し、2001年度を追加した。

③ 棄却検定表（風向）（標高89m）

観測場所：敷地内A地点（標高 89m，地上高 81m）（%）

統計年 風向	2001	2002	2003	2004	2007	2008	2009	2010	2011	2012	平均値	検定年 2005	棄却限界(5%)		判定 ○採択 ×棄却
	上限		下限												
N	4.09	4.59	3.42	3.25	4.84	4.64	4.84	5.88	5.68	5.5	4.67	3.79	6.79	2.56	○
NNE	8.41	7.81	7.03	6.03	10.15	12.15	17.45	14.51	16.54	14.50	11.46	6.60	21.28	1.64	○
NE	17.97	21.91	21.50	17.51	16.08	19.04	16.64	13.25	12.20	11.40	16.75	17.88	25.36	8.14	○
ENE	7.76	8.22	9.86	7.84	6.78	7.22	5.33	4.72	3.74	3.30	6.48	8.95	11.52	1.44	○
E	3.34	3.80	4.30	4.02	4.35	4.18	3.00	2.48	2.26	1.80	3.35	4.32	5.55	1.16	○
ESE	2.40	2.79	2.47	2.75	2.29	2.79	2.30	2.05	1.83	1.70	2.34	2.77	3.26	1.42	○
SE	2.74	2.86	2.96	2.80	2.21	2.96	2.89	2.53	2.99	3.20	2.81	2.75	3.47	2.16	○
SSE	3.78	3.48	3.96	3.77	3.74	3.90	4.83	5.80	4.88	6.10	4.42	4.16	6.63	2.22	○
S	4.77	3.66	4.43	6.82	5.76	4.74	4.64	5.94	5.42	5.70	5.19	4.88	7.35	3.03	○
SSW	2.86	2.56	3.20	3.86	3.40	3.06	3.59	4.46	4.16	4.30	3.55	2.43	5.07	2.02	○
SW	3.26	3.62	3.42	3.63	3.07	2.30	2.96	3.33	4.04	4.10	3.37	2.64	4.63	2.11	○
WSW	3.32	3.33	3.11	3.09	3.28	2.75	3.08	3.37	3.10	3.80	3.22	3.08	3.87	2.58	○
W	4.53	4.08	4.57	4.17	4.04	3.59	4.13	5.19	4.29	4.40	4.30	4.58	5.30	3.30	○
WNW	8.29	7.52	8.02	9.03	7.66	7.81	8.17	8.29	8.59	8.70	8.21	9.14	9.34	7.08	○
NW	15.13	13.32	12.41	15.17	15.33	12.82	10.66	11.34	13.08	14.10	13.34	15.31	17.17	9.50	○
NNW	6.67	5.88	4.76	5.67	6.32	5.42	4.60	5.65	6.05	6.30	5.73	6.03	7.32	4.15	○
CALM	0.65	0.58	0.59	0.61	0.68	0.65	0.90	1.21	1.14	1.10	0.81	0.69	1.41	0.21	○

注1) 2006年度は標高148mのデータにノイズの影響があったため除外し，2001年度を追加した。

④ 棄却検定表（風速）（標高89m）

観測場所：敷地内A地点（標高 89m，地上高 81m）（%）

統計年 風速(m/s)	2001	2002	2003	2004	2007	2008	2009	2010	2011	2012	平均値	検定年 2005	棄却限界(5%)		判定 ○採択 ×棄却
	上限		下限												
0.0~0.4	0.65	0.58	0.59	0.61	0.68	0.65	0.90	1.21	1.14	1.10	0.81	0.69	1.41	0.21	○
0.5~1.4	4.92	4.95	5.23	5.62	4.89	5.08	6.94	7.56	7.82	7.80	6.08	5.79	9.13	3.03	○
1.5~2.4	10.06	10.15	10.09	11.31	9.38	10.83	12.09	12.36	12.35	12.90	11.15	10.58	14.05	8.25	○
2.5~3.4	13.91	14.28	14.41	14.52	13.35	14.11	14.46	16.20	14.86	14.10	14.42	15.24	16.19	12.65	○
3.5~4.4	15.55	14.93	14.78	16.34	14.98	15.93	15.47	15.05	15.26	14.60	15.29	16.48	16.57	14.01	○
4.5~5.4	13.97	12.98	12.75	13.85	14.76	13.52	13.42	13.75	12.61	12.80	13.44	13.66	15.04	11.84	○
5.5~6.4	11.36	10.40	11.85	10.73	11.54	10.67	10.40	10.51	9.52	10.40	10.74	11.14	12.35	9.13	○
6.5~7.4	8.16	8.38	8.75	7.90	8.66	7.72	7.14	7.22	7.49	8.10	7.95	8.04	9.29	6.62	○
7.5~8.4	6.41	6.50	6.98	5.44	6.25	5.74	5.23	5.40	6.17	6.10	6.02	5.64	7.35	4.70	○
8.5~9.4	4.97	5.31	4.65	4.10	4.85	4.30	4.12	3.20	4.43	4.40	4.43	4.02	5.81	3.06	○
9.5以上	10.04	11.52	9.92	9.58	10.65	11.45	9.84	7.54	8.37	7.80	9.67	8.74	12.98	6.36	○

注1) 2006年度は標高148mのデータにノイズの影響があったため除外し，2001年度を追加した。

⑤ 棄却検定表（風向）（標高18m）

観測場所：敷地内A地点（標高 18m, 地上高 10m）（%）

統計年 風向	2001	2002	2003	2004	2007	2008	2009	2010	2011	2012	平均値	検定年 2005	棄却限界(5%)		判定 ○採択 ×棄却
													上限	下限	
N	3.29	3.24	2.85	2.50	2.57	2.17	2.52	2.81	2.62	2.40	2.70	2.15	3.54	1.85	○
NNE	12.39	12.29	12.11	10.30	7.29	9.57	11.21	9.18	11.62	8.50	10.45	9.93	14.64	6.26	○
NE	12.70	15.12	17.57	13.28	15.17	17.51	16.15	12.25	12.18	11.60	14.35	15.15	19.68	9.02	○
ENE	3.27	3.57	3.90	3.74	5.42	6.41	5.52	5.07	4.14	6.40	4.74	4.49	7.52	1.97	○
E	2.51	2.86	2.84	2.62	3.05	2.44	2.85	2.19	1.78	1.80	2.49	2.60	3.55	1.43	○
ESE	3.04	3.68	3.30	3.81	3.44	3.44	3.98	3.36	3.25	2.30	3.36	3.49	4.46	2.26	○
SE	5.14	5.79	5.80	5.63	4.29	4.37	4.59	5.21	4.53	4.60	5.00	5.73	6.40	3.59	○
SSE	4.00	3.66	3.99	5.62	5.03	4.47	4.63	6.32	5.73	6.00	4.95	4.59	7.16	2.73	○
S	2.41	2.22	2.63	3.85	3.68	3.79	3.25	4.55	3.54	4.20	3.41	2.31	5.25	1.57	○
SSW	3.52	3.26	3.07	3.20	3.19	2.35	3.28	3.64	3.38	3.40	3.23	2.36	4.06	2.40	×
SW	1.37	0.79	1.35	1.08	1.53	1.09	1.06	1.00	1.12	1.30	1.17	1.22	1.68	0.66	○
WSW	2.94	2.70	2.48	2.15	1.44	1.25	2.47	2.66	2.34	1.90	2.23	2.40	3.54	0.92	○
W	12.93	11.05	10.01	11.71	4.73	4.55	6.91	6.99	7.88	6.30	8.31	10.13	15.30	1.31	○
WNW	19.82	18.95	18.46	19.53	24.91	22.81	21.72	22.62	22.60	22.90	21.43	21.68	26.45	16.42	○
NW	6.86	6.86	6.03	6.52	9.65	8.87	6.09	7.67	8.35	10.90	7.78	7.42	11.65	3.91	○
NNW	2.97	2.92	2.33	2.61	3.51	3.10	2.43	2.87	3.04	3.50	2.93	2.65	3.87	1.99	○
CALM	0.82	1.03	1.29	1.85	1.11	1.82	1.35	1.6	1.9	2.00	1.48	1.69	2.46	0.49	○

注1) 2006年度は標高148mのデータにノイズの影響があったため除外し、2001年度を追加した。

⑥ 棄却検定表（風速）（標高18m）

観測場所：敷地内A地点（標高 18m, 地上高 10m）（%）

統計年 風速(m/s)	2001	2002	2003	2004	2007	2008	2009	2010	2011	2012	平均値	検定年 2005	棄却限界(5%)		判定 ○採択 ×棄却
													上限	下限	
0.0~0.4	0.82	1.03	1.29	1.85	1.11	1.82	1.35	1.60	1.90	2.00	1.48	1.69	2.46	0.49	○
0.5~1.4	12.24	12.79	13.24	14.96	14.40	15.93	13.88	15.83	15.92	16.70	14.59	15.14	18.20	10.98	○
1.5~2.4	30.43	30.39	28.56	31.22	32.03	33.39	32.69	32.91	33.15	31.40	31.62	32.77	35.24	28.00	○
2.5~3.4	22.23	21.48	21.80	22.97	21.70	21.95	23.48	23.08	23.60	21.90	22.42	20.88	24.29	20.55	○
3.5~4.4	10.85	10.91	11.31	9.77	10.95	10.88	10.69	11.19	10.19	10.70	10.74	10.16	11.83	9.66	○
4.5~5.4	7.69	8.16	9.27	6.25	6.89	6.66	7.22	6.75	6.01	7.10	7.20	7.09	9.49	4.91	○
5.5~6.4	5.21	6.40	6.23	4.34	4.69	4.15	3.91	3.58	4.17	4.50	4.72	4.79	6.97	2.46	○
6.5~7.4	4.20	4.07	3.92	3.30	3.31	2.25	2.60	2.02	2.44	2.60	3.07	3.01	4.96	1.18	○
7.5~8.4	2.84	2.51	2.18	2.34	2.24	1.20	1.70	1.39	1.25	1.60	1.93	2.29	3.28	0.57	○
8.5~9.4	1.77	1.12	1.07	1.33	1.24	0.86	1.20	0.72	0.60	0.70	1.06	1.09	1.90	0.22	○
9.5以上	1.70	1.13	1.13	1.67	1.45	0.90	1.30	0.94	0.75	0.80	1.18	1.10	1.99	0.36	○

注1) 2006年度は標高148mのデータにノイズの影響があったため除外し、2001年度を追加した。

⑦ 棄却検定表（風向）（標高148m）

観測場所：敷地内A地点（標高148m，地上高140m）（%）

統計年 風向	2004	2007	2008	2009	2010	2011	2012	2013	2014	2015	平均値	検定年 2005	棄却限界(5%)		判定 ○採択 ×棄却
	上限		下限												
N	3.40	5.01	4.27	4.11	4.62	4.43	4.50	4.48	4.38	5.20	4.44	3.52	5.60	3.28	○
NNE	6.22	11.41	13.51	18.30	14.74	15.31	14.10	11.42	14.59	20.56	14.02	6.67	23.32	4.72	○
NE	18.45	18.06	20.80	16.75	14.99	14.71	13.66	15.68	13.11	13.60	15.98	18.41	21.91	10.05	○
ENE	8.97	7.09	6.97	5.51	5.25	5.40	4.16	5.74	5.59	4.95	5.96	9.80	9.21	2.72	×
E	4.42	4.59	4.14	3.49	3.17	3.13	1.65	3.02	3.06	3.04	3.37	5.55	5.40	1.34	×
ESE	2.99	2.32	2.85	2.26	2.26	2.22	2.17	2.00	2.36	2.20	2.36	3.66	3.10	1.62	×
SE	2.66	2.15	2.85	2.59	2.74	2.82	2.98	2.99	2.79	2.26	2.69	3.09	3.36	2.01	○
SSE	3.54	3.69	3.73	4.18	4.89	4.68	5.52	4.76	5.29	5.12	4.54	3.32	6.23	2.85	○
S	6.63	6.33	5.38	5.19	6.03	5.83	6.96	6.48	5.87	5.76	6.04	4.99	7.36	4.73	○
SSW	5.02	4.54	4.55	4.43	5.35	4.76	5.68	6.07	4.89	5.45	5.08	3.13	6.37	3.78	×
SW	5.16	3.92	3.40	4.53	5.16	5.76	5.38	4.94	4.64	5.05	4.79	3.67	6.46	3.13	○
WSW	4.31	4.66	3.29	4.11	4.67	4.07	4.63	4.81	5.16	4.10	4.38	4.25	5.62	3.14	○
W	4.65	3.89	3.81	4.47	5.55	4.26	4.40	4.64	5.07	4.24	4.50	5.13	5.74	3.26	○
WNW	6.71	5.87	6.13	6.26	6.05	6.37	6.29	6.75	7.56	5.62	6.36	7.65	7.65	5.07	○
NW	9.12	9.02	8.06	7.95	7.99	8.94	10.14	8.95	9.69	6.99	8.68	9.54	10.90	6.47	○
NNW	6.97	7.03	5.86	4.90	5.27	5.98	6.57	6.52	5.08	4.81	5.90	6.53	7.92	3.88	○
CALM	0.76	0.42	0.39	0.98	1.26	1.32	1.21	0.75	0.88	1.04	0.90	1.10	1.68	0.12	○

注1) 2006年度は標高148mのデータにノイズの影響があったため除外し，2004年度を追加した。

⑧ 棄却検定表（風速）（標高148m）

観測場所：敷地内A地点（標高148m，地上高140m）（%）

統計年 風速(m/s)	2004	2007	2008	2009	2010	2011	2012	2013	2014	2015	平均値	検定年 2005	棄却限界(5%)		判定 ○採択 ×棄却
	上限		下限												
0.0~0.4	0.76	0.42	0.39	0.98	1.26	1.32	1.21	0.75	0.88	1.04	0.90	1.10	1.68	0.12	○
0.5~1.4	6.43	5.00	4.91	6.14	6.91	6.97	7.32	5.92	6.20	6.78	6.26	6.99	8.18	4.33	○
1.5~2.4	11.42	8.63	9.44	10.82	11.16	10.43	10.94	10.58	9.76	10.98	10.42	11.28	12.50	8.33	○
2.5~3.4	13.72	11.36	12.24	11.61	12.66	12.49	12.38	12.89	12.13	13.45	12.49	14.10	14.24	10.75	○
3.5~4.4	13.58	12.63	13.41	13.26	12.52	12.24	12.12	14.22	13.05	13.51	13.05	13.85	14.64	11.47	○
4.5~5.4	12.07	13.08	12.09	12.67	13.40	12.60	11.01	12.52	12.25	11.78	12.35	12.03	13.95	10.75	○
5.5~6.4	9.68	11.98	10.33	10.78	10.64	10.24	10.01	10.35	11.29	9.51	10.48	9.92	12.23	8.73	○
6.5~7.4	7.95	8.74	8.28	8.19	8.89	8.08	8.62	8.57	9.22	7.47	8.40	7.40	9.61	7.19	○
7.5~8.4	5.34	6.97	7.05	5.91	6.39	6.28	7.32	7.01	6.63	5.89	6.48	5.51	7.98	4.98	○
8.5~9.4	5.03	5.60	4.77	5.03	4.82	5.52	6.08	5.01	5.14	4.97	5.20	4.82	6.17	4.22	○
9.5以上	14.02	15.61	17.08	14.61	11.35	13.84	12.98	12.18	13.45	14.63	13.97	13.00	17.90	10.05	○

注1) 2006年度は標高148mのデータにノイズの影響があったため除外し，2004年度を追加した。

⑨ 棄却検定表（風向）（標高89m）

観測場所：敷地内A地点（標高 89m，地上高 81m）（%）

統計年 風向	2004	2007	2008	2009	2010	2011	2012	2013	2014	2015	平均値	検定年 2005	棄却限界(5%)		判定 ○採択 ×棄却
													上限	下限	
N	3.25	4.84	4.64	4.84	5.88	5.68	5.50	5.04	5.05	6.22	5.09	3.79	7.05	3.14	○
NNE	6.03	10.15	12.15	17.45	14.51	16.54	14.50	11.55	14.10	19.46	13.64	6.60	22.84	4.45	○
NE	17.51	16.08	19.04	16.64	13.25	12.20	11.40	14.95	13.31	12.28	14.67	17.88	20.77	8.56	○
ENE	7.84	6.78	7.22	5.33	4.72	3.74	3.30	5.73	4.21	4.52	5.34	8.95	8.97	1.71	○
E	4.02	4.35	4.18	3.00	2.48	2.26	1.80	2.89	2.33	2.47	2.98	4.32	5.11	0.85	○
ESE	2.75	2.29	2.79	2.30	2.05	1.83	1.70	2.17	2.07	1.91	2.19	2.77	3.04	1.33	○
SE	2.80	2.21	2.96	2.89	2.53	2.99	3.20	2.56	3.40	2.60	2.81	2.75	3.64	1.98	○
SSE	3.77	3.74	3.90	4.83	5.80	4.88	6.10	4.79	5.78	5.58	4.92	4.16	7.03	2.81	○
S	6.82	5.76	4.74	4.64	5.94	5.42	5.70	5.01	4.67	4.87	5.36	4.88	7.03	3.68	○
SSW	3.86	3.40	3.06	3.59	4.46	4.16	4.30	4.07	3.53	4.25	3.87	2.43	4.95	2.79	×
SW	3.63	3.07	2.30	2.96	3.33	4.04	4.10	3.45	3.38	3.56	3.38	2.64	4.63	2.13	○
WSW	3.09	3.28	2.75	3.08	3.37	3.10	3.80	3.50	4.06	3.23	3.33	3.08	4.23	2.42	○
W	4.17	4.04	3.59	4.13	5.19	4.29	4.40	4.66	4.76	4.26	4.35	4.58	5.39	3.31	○
WNW	9.03	7.66	7.81	8.17	8.29	8.59	8.70	9.54	10.05	7.43	8.53	9.14	10.51	6.54	○
NW	15.17	15.33	12.82	10.66	11.34	13.08	14.10	13.28	12.90	10.98	12.97	15.31	16.82	9.11	○
NNW	5.67	6.32	5.42	4.60	5.65	6.05	6.30	5.80	5.54	5.08	5.64	6.03	6.90	4.38	○
CALM	0.61	0.68	0.65	0.90	1.21	1.14	1.10	1.01	0.86	1.29	0.95	0.69	1.53	0.37	○

注1) 2006年度は標高148mのデータにノイズの影響があったため除外し，2004年度を追加した。

⑩ 棄却検定表（風速）（標高89m）

観測場所：敷地内A地点（標高 89m，地上高 81m）（%）

統計年 風速(m/s)	2004	2007	2008	2009	2010	2011	2012	2013	2014	2015	平均値	検定年 2005	棄却限界(5%)		判定 ○採択 ×棄却
													上限	下限	
0.0~0.4	0.61	0.68	0.65	0.90	1.21	1.14	1.10	1.01	0.86	1.29	0.95	0.69	1.53	0.37	○
0.5~1.4	5.62	4.89	5.08	6.94	7.56	7.82	7.80	7.41	6.47	7.60	6.72	5.79	9.42	4.01	○
1.5~2.4	11.31	9.38	10.83	12.09	12.36	12.35	12.90	12.41	11.84	13.06	11.85	10.58	14.46	9.24	○
2.5~3.4	14.52	13.35	14.11	14.46	16.20	14.86	14.10	15.47	15.34	15.31	14.77	15.24	16.74	12.80	○
3.5~4.4	16.34	14.98	15.93	15.47	15.05	15.26	14.60	15.94	15.26	14.65	15.35	16.48	16.71	13.98	○
4.5~5.4	13.85	14.76	13.52	13.42	13.75	12.61	12.80	12.85	13.64	12.56	13.38	13.66	15.00	11.75	○
5.5~6.4	10.73	11.54	10.67	10.40	10.51	9.52	10.40	10.94	10.49	9.78	10.50	11.14	11.84	9.16	○
6.5~7.4	7.90	8.66	7.72	7.14	7.22	7.49	8.10	7.38	8.49	7.34	7.74	8.04	9.01	6.48	○
7.5~8.4	5.44	6.25	5.74	5.23	5.40	6.17	6.10	4.94	5.67	5.51	5.64	5.64	6.66	4.63	○
8.5~9.4	4.10	4.85	4.30	4.12	3.20	4.43	4.40	4.20	3.89	4.42	4.19	4.02	5.22	3.16	○
9.5以上	9.58	10.65	11.45	9.84	7.54	8.37	7.80	7.44	8.05	8.47	8.92	8.74	12.21	5.63	○

注1) 2006年度は標高148mのデータにノイズの影響があったため除外し，2004年度を追加した。

⑪ 棄却検定表（風向）（標高18m）

観測場所：敷地内A地点（標高 18m, 地上高 10m）（%）

統計年 風向	2004	2007	2008	2009	2010	2011	2012	2013	2014	2015	平均値	検定年 2005	棄却限界(5%)		判定 ○採択 ×棄却
	上限		下限												
N	2.50	2.57	2.17	2.52	2.81	2.62	2.39	2.26	2.16	2.70	2.47	2.15	2.99	1.95	○
NNE	10.30	7.29	9.57	11.21	9.18	11.62	8.49	8.24	8.84	11.06	9.58	9.93	12.98	6.18	○
NE	13.28	15.17	17.51	16.15	12.25	12.18	11.58	12.60	12.33	13.45	13.65	15.15	18.32	8.98	○
ENE	3.74	5.42	6.41	5.52	5.07	4.14	6.39	7.34	6.61	7.12	5.78	4.49	8.65	2.90	○
E	2.62	3.05	2.44	2.85	2.19	1.78	1.78	2.84	2.14	3.40	2.51	2.60	3.79	1.23	○
ESE	3.81	3.44	3.44	3.98	3.36	3.25	2.38	3.01	3.47	2.82	3.30	3.49	4.40	2.19	○
SE	5.63	4.29	4.37	4.59	5.21	4.53	4.58	4.04	4.56	4.03	4.58	5.73	5.76	3.40	○
SSE	5.62	5.03	4.47	4.63	6.32	5.73	6.01	4.96	4.74	5.63	5.31	4.59	6.81	3.82	○
S	3.85	3.68	3.79	3.25	4.55	3.54	4.20	3.69	3.42	3.50	3.75	2.31	4.66	2.84	×
SSW	3.20	3.19	2.35	3.28	3.64	3.38	3.39	3.47	3.14	3.32	3.23	2.36	4.05	2.42	×
SW	1.08	1.53	1.09	1.06	1.00	1.12	1.27	1.47	1.34	1.78	1.27	1.22	1.88	0.67	○
WSW	2.15	1.44	1.25	2.47	2.66	2.34	1.91	1.97	2.52	1.97	2.07	2.40	3.16	0.97	○
W	11.71	4.73	4.55	6.91	6.99	7.88	6.34	5.87	6.41	5.74	6.71	10.13	11.52	1.91	○
WNW	19.53	24.91	22.81	21.72	22.62	22.60	22.88	22.63	24.11	20.77	22.46	21.68	26.09	18.83	○
NW	6.52	9.65	8.87	6.09	7.67	8.35	10.93	9.78	9.37	7.93	8.51	7.42	12.10	4.93	○
NNW	2.61	3.51	3.10	2.43	2.87	3.04	3.49	4.17	3.20	3.09	3.15	2.65	4.32	1.98	○
CALM	1.85	1.11	1.82	1.35	1.60	1.90	2.00	1.68	1.64	1.70	1.66	1.69	2.30	1.03	○

注1) 2006年度は標高148mのデータにノイズの影響があったため除外し、2004年度を追加した。

⑫ 棄却検定表（風速）（標高18m）

観測場所：敷地内A地点（標高 18m, 地上高 10m）（%）

統計年 風速(m/s)	2004	2007	2008	2009	2010	2011	2012	2013	2014	2015	平均値	検定年 2005	棄却限界(5%)		判定 ○採択 ×棄却
	上限		下限												
0.0~0.4	1.85	1.11	1.82	1.35	1.60	1.90	2.00	1.68	1.64	1.70	1.66	1.69	2.30	1.03	○
0.5~1.4	14.96	14.40	15.93	13.88	15.83	15.92	16.73	15.60	15.63	16.08	15.50	15.14	17.51	13.48	○
1.5~2.4	31.22	32.03	33.39	32.69	32.91	33.15	31.38	32.64	33.04	31.24	32.37	32.77	34.35	30.39	○
2.5~3.4	22.97	21.70	21.95	23.48	23.08	23.60	21.94	22.79	24.23	23.94	22.97	20.88	25.05	20.88	×
3.5~4.4	9.77	10.95	10.88	10.69	11.19	10.19	10.67	11.34	11.65	11.54	10.89	10.16	12.28	9.49	○
4.5~5.4	6.25	6.89	6.66	7.22	6.75	6.01	7.06	7.04	6.89	7.48	6.83	7.09	7.87	5.79	○
5.5~6.4	4.34	4.69	4.15	3.91	3.58	4.17	4.48	3.78	3.36	4.17	4.06	4.79	5.04	3.09	○
6.5~7.4	3.30	3.31	2.25	2.60	2.02	2.44	2.63	2.19	1.59	1.93	2.43	3.01	3.75	1.10	○
7.5~8.4	2.34	2.24	1.20	1.70	1.39	1.25	1.55	1.37	0.94	1.05	1.50	2.29	2.62	0.39	○
8.5~9.4	1.33	1.24	0.86	1.20	0.72	0.60	0.72	0.71	0.47	0.49	0.83	1.09	1.58	0.09	○
9.5以上	1.67	1.45	0.90	1.30	0.94	0.75	0.84	0.86	0.56	0.37	0.96	1.10	1.91	0.01	○

注1) 2006年度は標高148mのデータにノイズの影響があったため除外し、2004年度を追加した。

⑬ 棄却検定表（風向）（水戸地方気象台）

観測場所：水戸地方気象台(%)

統計年 風向	2004	2007	2008	2009	2010	2011	2012	2013	2014	2015	平均値	検定年 2005	棄却限界(5%)		判定 ○採択 ×棄却
	上限		下限												
N	15.34	17.09	18.48	14.84	16.36	17.58	14.82	13.31	12.53	11.75	15.21	13.38	20.47	9.95	○
NNE	6.78	6.87	8.19	7.57	7.63	7.52	7.05	7.07	6.68	7.83	7.32	6.68	8.51	6.13	○
NE	6.22	6.14	8.14	9.37	6.51	7.25	6.82	6.01	6.65	8.23	7.13	7.36	9.76	4.51	○
ENE	8.70	8.79	9.94	10.20	7.40	7.33	7.71	9.20	8.31	8.81	8.64	9.50	10.97	6.30	○
E	9.92	9.38	10.94	9.26	8.55	7.28	6.49	9.98	8.95	8.87	8.96	10.92	12.05	5.87	○
ESE	4.37	3.22	5.08	3.38	4.19	3.72	4.02	3.43	3.79	3.81	3.90	4.41	5.21	2.60	○
SE	3.11	3.02	3.38	3.05	2.99	3.05	3.74	2.82	2.95	3.07	3.12	2.91	3.74	2.50	○
SSE	1.30	1.50	1.12	1.15	1.29	1.47	1.36	1.10	1.28	1.17	1.27	1.43	1.61	0.94	○
S	2.99	2.43	1.56	2.49	2.82	2.74	2.98	2.96	2.17	2.47	2.56	1.96	3.62	1.50	○
SSW	5.32	5.83	4.64	5.28	6.78	6.32	6.22	5.78	5.79	6.40	5.84	4.24	7.34	4.33	×
SW	5.47	4.84	3.40	3.77	4.86	5.08	4.00	4.01	3.92	3.97	4.33	4.20	5.93	2.73	○
WSW	2.97	3.28	2.61	2.74	3.62	2.91	3.41	3.21	3.66	3.56	3.20	3.26	4.09	2.31	○
W	3.18	2.86	2.83	2.84	3.49	3.07	3.70	3.27	4.34	2.82	3.24	3.81	4.40	2.08	○
WNW	2.75	2.57	2.17	1.72	1.84	2.24	2.89	2.56	2.54	1.59	2.29	3.17	3.35	1.22	○
NW	6.63	5.69	3.15	4.59	4.86	4.11	6.10	6.47	7.06	5.48	5.41	7.67	8.34	2.49	○
NNW	13.20	14.77	12.63	16.29	15.44	16.86	17.84	17.99	18.01	19.29	16.23	13.36	21.45	11.01	○
CALM	1.75	1.73	1.74	1.45	1.36	1.47	0.83	0.85	1.38	0.87	1.34	1.74	2.22	0.46	○

注1) 2006年度は標高148mのデータにノイズの影響があったため除外し、2004年度を追加した。

⑭ 棄却検定表（風速）（水戸地方気象台）

観測場所：水戸地方気象台(%)

統計年 風速(m/s)	2004	2007	2008	2009	2010	2011	2012	2013	2014	2015	平均値	検定年 2005	棄却限界(5%)		判定 ○採択 ×棄却
	上限		下限												
0.0~0.4	1.75	1.73	1.74	1.45	1.36	1.47	0.83	0.85	1.38	0.87	1.34	1.74	2.22	0.46	○
0.5~1.4	33.41	35.08	36.96	37.22	32.05	33.83	31.50	32.61	32.82	26.35	33.18	35.02	40.51	25.85	○
1.5~2.4	29.63	29.88	30.31	28.20	30.41	29.79	31.92	31.80	30.66	35.10	30.77	29.14	35.18	26.36	○
2.5~3.4	16.75	17.72	16.28	15.96	17.80	16.66	16.03	16.83	16.86	17.36	16.83	16.52	18.36	15.29	○
3.5~4.4	9.81	9.42	8.08	8.85	9.43	9.50	9.63	9.81	10.24	11.26	9.60	10.01	11.57	7.63	○
4.5~5.4	4.93	3.73	3.76	4.08	4.11	4.18	5.29	4.44	4.23	4.93	4.37	4.93	5.61	3.13	○
5.5~6.4	2.05	1.30	1.53	2.14	2.59	2.17	2.47	1.80	1.97	2.78	2.08	1.84	3.18	0.98	○
6.5~7.4	0.96	0.63	0.51	1.14	1.19	1.13	1.25	0.82	1.14	0.98	0.98	0.46	1.57	0.38	○
7.5~8.4	0.41	0.26	0.31	0.46	0.53	0.56	0.67	0.39	0.43	0.20	0.42	0.19	0.76	0.08	○
8.5~9.4	0.18	0.15	0.18	0.21	0.29	0.37	0.24	0.21	0.18	0.08	0.21	0.09	0.40	0.02	○
9.5以上	0.11	0.11	0.34	0.30	0.25	0.34	0.16	0.43	0.08	0.09	0.22	0.06	0.52	0.00	○

注1) 2006年度は標高148mのデータにノイズの影響があったため除外し、2004年度を追加した。

⑮ 棄却検定表（風向）（小名浜気象観測所）

観測場所：小名浜気象観測所（%）

統計年 風向	2004	2007	2008	2009	2010	2011	2012	2013	2014	2015	平均値	検定年 2005	棄却限界（5%）		判定 ○採択 ×棄却
													上限	下限	
N	15.61	18.08	19.49	16.90	17.05	16.58	16.86	16.92	16.52	18.76	17.28	14.97	20.03	14.53	○
NNE	9.51	9.46	11.94	13.36	9.44	11.36	9.70	10.37	9.91	12.46	10.75	9.71	14.14	7.36	○
NE	5.07	5.21	5.40	6.15	5.19	4.83	5.89	5.79	5.13	5.70	5.44	4.45	6.44	4.43	○
ENE	1.70	2.19	2.22	2.20	2.22	1.88	2.00	2.43	2.69	2.79	2.23	1.89	3.03	1.43	○
E	2.15	2.92	2.36	2.48	2.38	2.37	1.90	2.42	2.68	2.52	2.42	2.17	3.07	1.76	○
ESE	1.32	1.95	2.02	1.75	1.78	1.60	1.68	2.15	2.14	1.88	1.83	1.77	2.44	1.22	○
SE	2.96	2.68	2.94	2.19	2.64	2.86	2.81	2.98	2.96	2.60	2.76	3.36	3.35	2.18	×
SSE	5.80	4.93	4.51	4.91	5.09	5.79	5.05	4.80	4.77	4.66	5.03	6.02	6.07	3.99	○
S	11.32	9.73	8.58	9.45	11.91	10.63	10.26	8.92	9.93	12.47	10.32	10.33	13.33	7.31	○
SSW	7.56	5.71	5.88	6.43	7.42	6.79	7.04	7.74	6.28	7.56	6.84	4.77	8.59	5.09	×
SW	2.13	1.79	1.58	2.68	2.70	2.29	2.70	2.79	3.04	1.79	2.35	1.69	3.55	1.15	○
WSW	0.95	0.82	1.05	1.13	0.97	0.97	1.18	1.11	1.07	1.15	1.04	0.95	1.30	0.78	○
W	1.80	1.70	1.58	1.70	1.44	1.71	1.50	1.42	1.75	1.46	1.61	1.89	1.94	1.27	○
WNW	4.70	4.69	3.84	3.98	3.98	4.36	4.28	4.43	4.94	2.88	4.21	6.05	5.60	2.82	×
NW	9.27	8.70	7.85	7.77	7.62	8.06	10.22	9.14	9.83	6.42	8.49	10.63	11.23	5.75	○
NNW	15.51	17.31	16.04	14.80	15.83	15.60	16.16	16.05	15.40	13.91	15.66	16.88	17.78	13.54	○
CALM	2.64	2.15	2.73	2.11	2.33	2.34	0.80	0.56	0.94	1.00	1.76	2.47	3.74	0.00	○

注1) 2006年度は標高148mのデータにノイズの影響があったため除外し，2004年度を追加した。

⑯ 棄却検定表（風速）（小名浜気象観測所）

観測場所：小名浜気象観測所（%）

統計年 風速(m/s)	2004	2007	2008	2009	2010	2011	2012	2013	2014	2015	平均値	検定年 2005	棄却限界（5%）		判定 ○採択 ×棄却
													上限	下限	
0.0～0.4	2.64	2.15	2.73	2.11	2.33	2.34	0.80	0.56	0.94	1.00	1.76	2.47	3.74	0.00	○
0.5～1.4	21.92	21.13	22.45	22.79	22.30	22.11	16.85	18.40	18.83	18.49	20.53	20.97	25.64	15.41	○
1.5～2.4	28.61	30.72	31.17	29.65	30.58	28.79	30.61	29.38	32.17	31.56	30.32	30.33	33.13	27.52	○
2.5～3.4	17.92	18.99	17.19	18.04	20.06	19.71	21.00	20.11	20.21	20.27	19.35	18.36	22.32	16.38	○
3.5～4.4	11.69	11.62	10.66	12.27	11.79	12.18	12.28	13.73	12.06	12.35	12.06	10.84	13.89	10.23	○
4.5～5.4	7.47	7.33	6.90	7.80	7.11	6.84	7.96	7.82	7.11	7.86	7.42	7.32	8.42	6.42	○
5.5～6.4	5.06	3.87	4.62	3.81	3.73	3.96	5.41	5.02	3.85	4.28	4.36	4.91	5.83	2.89	○
6.5～7.4	2.45	2.43	2.27	1.93	1.32	2.23	2.79	2.55	2.47	2.17	2.26	2.56	3.22	1.30	○
7.5～8.4	1.11	1.08	0.99	0.96	0.48	1.03	1.21	1.45	1.37	1.05	1.07	1.14	1.70	0.45	○
8.5～9.4	0.75	0.34	0.70	0.43	0.15	0.50	0.59	0.45	0.63	0.60	0.51	0.72	0.94	0.09	○
9.5以上	0.39	0.34	0.32	0.21	0.15	0.31	0.50	0.54	0.37	0.36	0.35	0.39	0.63	0.07	○

注1) 2006年度は標高148mのデータにノイズの影響があったため除外し，2004年度を追加した。

「発電用原子炉施設の安全解析に関する気象指針」の解説 X. での記載

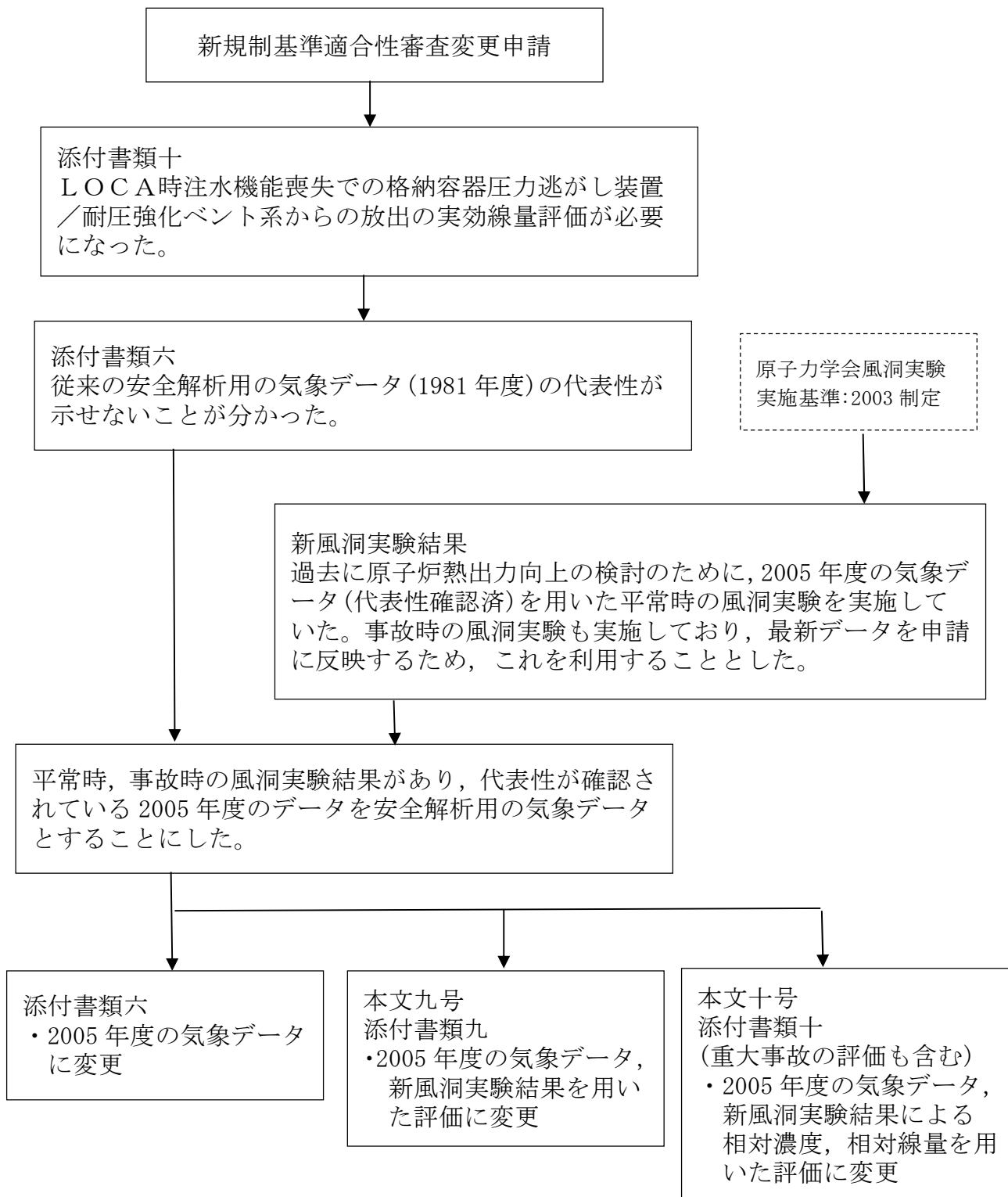
1. 気象現象の年変動

気象現象は、ほぼ1年周期でくり返されているが、年による変動も存在する。このため、想定事故時の線量計算に用いる相対濃度についてその年変動を比較的長期にわたって調査してみると、相対濃度の平均値に対する各年の相対濃度の偏差の比は、30%以内であった。

このことから、1年間の気象資料にもとづく解析結果は、気象現象の年変動に伴って変動するものの、その程度はさほど大きくないので、まず、1年間の気象資料を用いて解析することとした。

その場合には、その年がとくに異常な年であるか否かを最寄の気象官署の気象資料を用いて調査することが望ましい。また、2年以上の気象資料が存在する場合には、これを有効に利用することが望ましい。

安全解析用気象データ及び風洞実験結果変更経緯について



平常時の気体状よう素放出量について

平常時の気体状よう素放出量の主要な放出経路である換気系からの放射性よう素放出量は、「発電用軽水型原子炉施設周辺の線量目標値に対する評価指針」に基づき、換気系の漏えい係数に冷却材中の放射性よう素濃度を乗じて求めている。

一方、冷却材中の放射性よう素濃度は、次式により求めている。例えば、ここで主蒸気流量 $F S$ が増加した場合 γ が増加するため、放射性よう素濃度は減少する。

$$I_i = 2.47 \cdot f \cdot Y_i \cdot \lambda_i^{0.5}$$

$$A_i = \frac{I_i}{M(\lambda_i + \beta + \gamma)}$$

I_i : 核種 i の炉心燃料からの漏えい率 (Bq/s)

f : 全希ガス漏えい率 (1.11×10^{10})

Y_i : 核種 i の核分裂収率 (%)

λ_i : 核種 i の崩壊定数 (s^{-1})

A_i : 核種 i の冷却材中濃度 (Bq/g)

M : 冷却材保有量 (g)

β : 原子炉冷却材浄化系のよう素除去率 (s^{-1})

$$\beta = \left(1 - \frac{1}{DF}\right) \cdot \frac{FC}{M}$$

DF : 原子炉冷却材浄化系の除染係数

FC : 原子炉冷却材浄化系流量 (g/s)

γ : よう素の主蒸気への移行率 (s^{-1})

$$\gamma = CF \cdot \frac{FS}{M}$$

CF : よう素の主蒸気中への移行割合

FS : 主蒸気流量 (g/s)

前述の換気系の漏えい係数は変わらないため、放射性よう素濃度の減少に伴い気体状よう素放出量は減少する。

東海第二発電所風洞実験結果の概要について

風洞実験結果は、参考文献「東海第二発電所大気拡散風洞実験報告書」（平成 25 年 12 月，三菱重工業株式会社）で公開している。風洞実験結果の概要を以下に示す。

なお，風洞実験は「（社）日本原子力学会標準 発電用原子炉施設の安全解析における放出源の有効高さを求めるための風洞実験実施基準」（2003 年 6 月，社団法人 日本原子力学会）に基づき実施している。

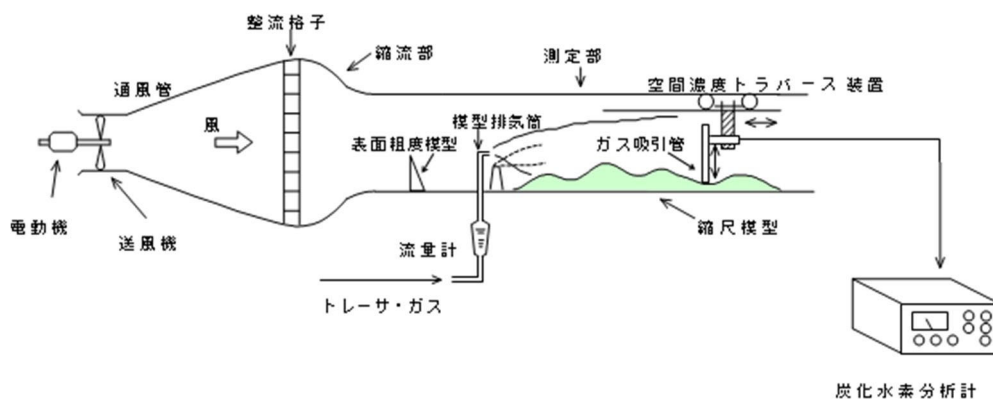
その後，風洞実験実施基準:2003 は改訂され風洞実験実施基準:2009 が発刊されているが，実験の要求事項は変更されておらず，複雑地形の発電所で風洞実験で求めた有効高さをを用いて大気拡散評価を行う際の留意点，野外拡散実験結果と野外拡散条件を模擬した風洞実験結果を用いて平地用の基本拡散式（ガウスプルーム拡散式）で評価した結果の比較等の参考事項が追加されたもので，2005 年に実施した風洞実験結果は風洞実験実施基準:2009 も満足している。

1. 実験手順

- (1) 大気安定度で中立（C～D）^{注）}に相当する条件になるように風洞実験装置（第 1 図参照）内の気流（風速分布，乱流強度分布）を調整する（第 2 図参照）。
- (2) 排気筒有効高さを決定するスケールを作成するため，風洞実験装置内に縮尺模型を入れないで高度を変えて模型排気筒からトレーサガス（ CH_4 ）を放出し，地表濃度を測定する平地実験を実施する（第 3 図参照）。
- (3) 風洞実験装置内に縮尺模型（1/2,000，風下 10Km）を入れ，所定の高度の模型排気筒からトレーサガスを放出し，地表濃度を測定する模型実験

を行い平地実験結果と照合し、排気筒有効高さを求める（第4図参照）。

これにより、建屋、地形の大気拡散に及ぼす影響を把握する。



第1図 風洞実験装置

注) 風洞実験の気流条件を大気安定度で中立相当にする効果について

風洞実験装置内の気流は、風洞測定部入口付近に設置した表面粗度模型で調整している。初期の風洞実験では、アングル鋼等を用いて気流の乱れを与えており、中立よりも安定側の気流状態になっていたが、風洞実験の知見が蓄積されるに従い専用の表面粗度模型（スパイア）が製作、採用されるようになり、風洞実験実施基準を制定した時期には中立相当の気流状態に調整できるようになった。

このため、放出源高さが同じ事故時の排気筒有効高さを比較すると、1982年の風洞実験の80～110mに対し、今回は95～115mと高く評価されている。今回の風洞実験では中立の大気安定度（C～D）を再現したため、建屋模型がない平地の気流の乱れが大きくなり、建屋模型の追加により生じる気流の乱れの影響が相対的に小さく、見掛け上の放出源高さの減少が小さくなったためと推定される。前回は、D～Eの大気安定度に相当する気流の乱れであり、建屋模型の追加で生じる気流の乱れが大きく作用して、見掛け上の放出源高さの減少が大きくなったと考えられる。

一方、平常時の排気筒有効高さを比較すると、1982年の風洞実験の120～180mに対し、今回は150～220mと高く評価されている。これは、上記の気流の調整方法の違いによる影響に加え、気象データの変更及び吹出し速度の増加（14m/sから16m/sに増加）により模型実験時の放出源高さが大きくなった影響によると推定される。

図5及び図6に1987年の平地実験の結果、模型実験結果の一例を示す。

2. 放出源高さ

放出源高さは、事故時は通常の換気系は運転されないと想定し、排気筒実高 $H_{01}=H_s$ 、平常時は換気系の運転による吹上げ効果を考慮し、次式のように排気筒実高に吹上げ高さを加えた放出高さ H_{02} とする。ここで、 $1/U$ には、2005年度の気象データを用いた。第1表に風洞実験の放出源高さを示す。

$$H_{02} = H_s + \Delta H$$

$$\Delta H = 3 \frac{W}{U} D$$

- H_s : 排気筒実高 (m)
 D : 排気筒出口の内径 (m)
 W : 吹出し速度 (m/s)
 $1/U$: 風速逆数の平均 (s/m)

第1表 放出源高さ

風向	着目方位	風速逆数の平均 (s/m)	吹上げ高さ(m)	放出源高さ (GL m)	
				事故時	平常時
N	S	0.42	90.7	140	231
NNE	SSW	0.32	69.1	140	209
NE	SW	0.21	45.4	140	185
ENE	WSW	0.30	64.8	140	205
E	W	0.40	86.4	140	226
ESE	WNW	0.47	101.5	140	242
SE	NW	0.49	105.8	140	246
SSE	NNW	0.36	77.8	140	218
S	N	0.31	67.0	140	207
SSW	NNE	0.40	86.4	140	226
SW	NE	0.35	75.6	—	216
WSW	ENE	—	—	—	—
W	E	—	—	—	—
WNW	ESE	—	—	—	—
NW	SE	0.27	58.3	—	198
NNW	SSE	0.29	62.6	140	203
排気筒出口の内径 (m)				4.5	
吹出し速度 (m/s)				16.0	
排気筒高さ (GL) (m)				140.0	

*1 風速逆数の平均 (2005年4月～2006年3月)

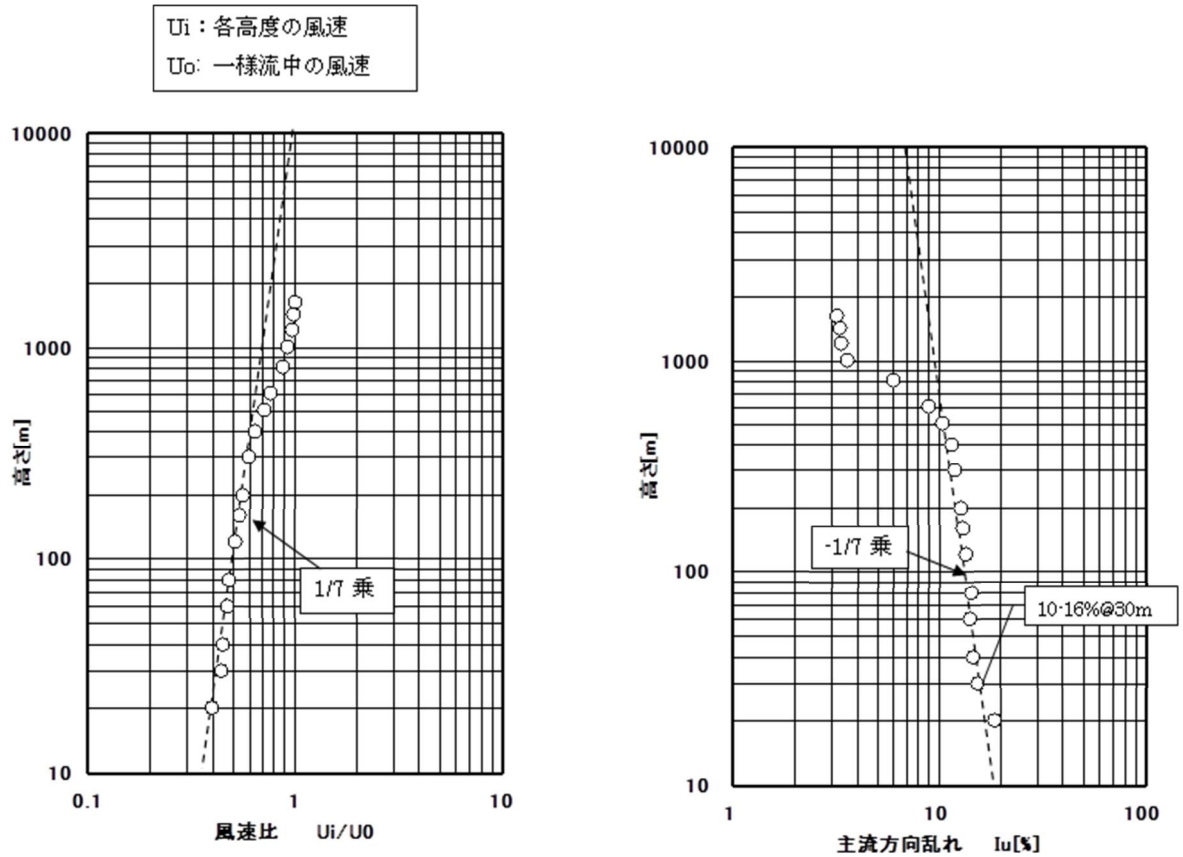
*2 排気筒設置位置標高: EL 8m

3. 排気筒有効高さ

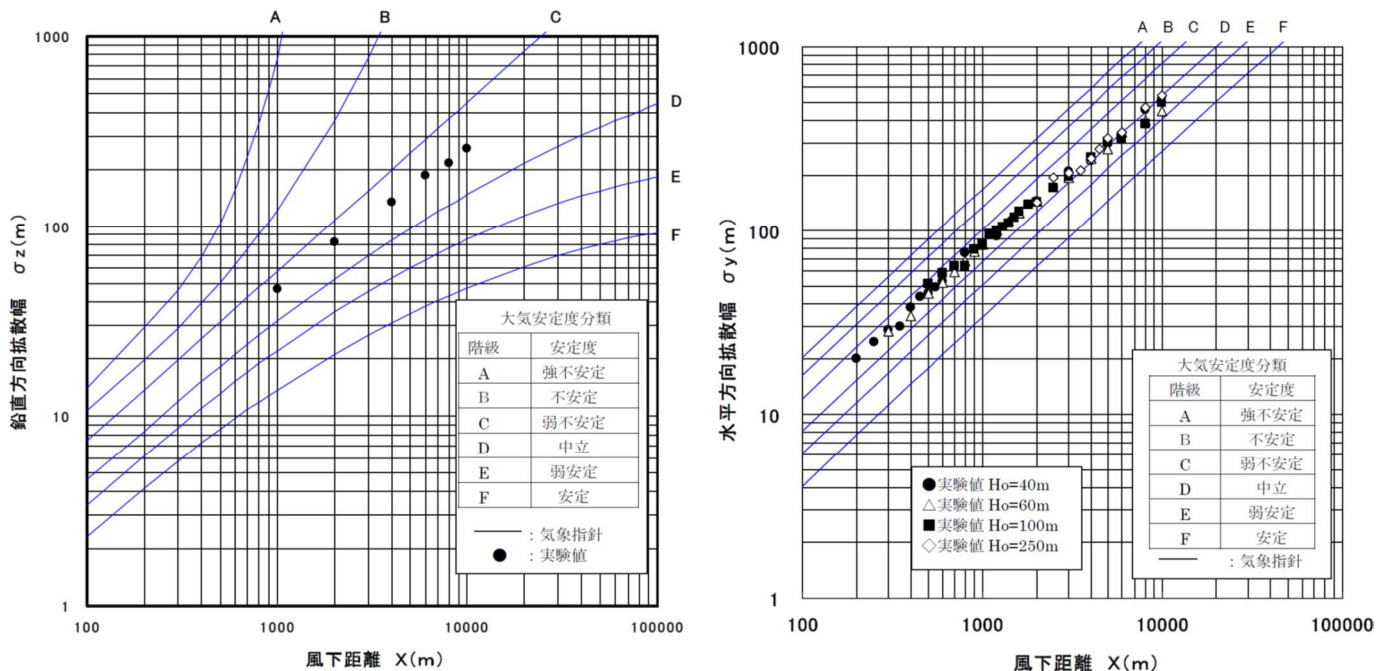
縮尺模型を入れない平地実験と縮尺模型を入れた模型実験（平常時及び事故時）の結果から、第4図のように求めた排気筒有効高さを第2表に示す。

第2表 排気筒有効高さ

風 向	着目方位	平常時			事故時		
		評価地点 (m)	放出源高さ (m)	有効高さ (m)	評価地点 (m)	放出源高さ (m)	有効高さ (m)
N	S	330	231	210	1870	140	105
NNE	SSW	350	209	180	1690	140	100
NE	SW	460	185	150	1300	140	110
ENE	WSW	640	205	195	930	140	110
E	W	530	226	205	530	140	115
ESE	WNW	600	242	205	600	140	105
SE	NW	660	246	220	660	140	105
SSE	NNW	890	218	200	890	140	105
S	N	850	207	190	850	140	105
SSW	NNE	600	226	200	600	140	95
SW	NE	360	216	195	—	—	—
WSW	ENE	—	—	—	—	—	—
W	E	—	—	—	—	—	—
WNW	ESE	—	—	—	—	—	—
NW	SE	290	198	170	—	—	—
NNW	SSE	350	203	185	2900	140	115



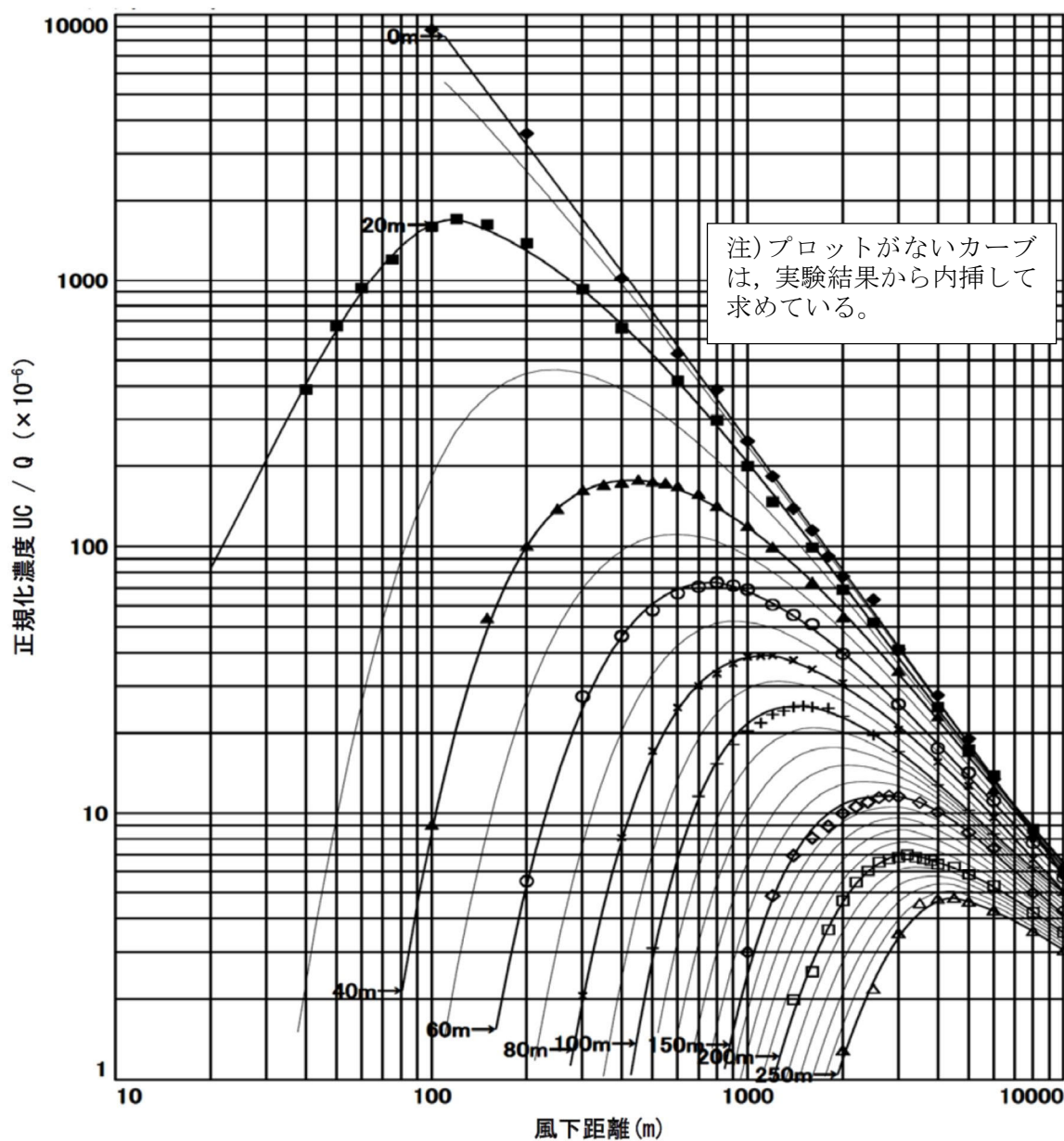
注) 野外の相当高さで 400m までは風速分布, 乱れ分布を再現する。



注) 鉛直方向拡散幅は大気安定度が中立に相当する値(C~D)になっている。水平方向拡散幅もほぼ大気安定度が中立に相当する値(C~D)になっている。

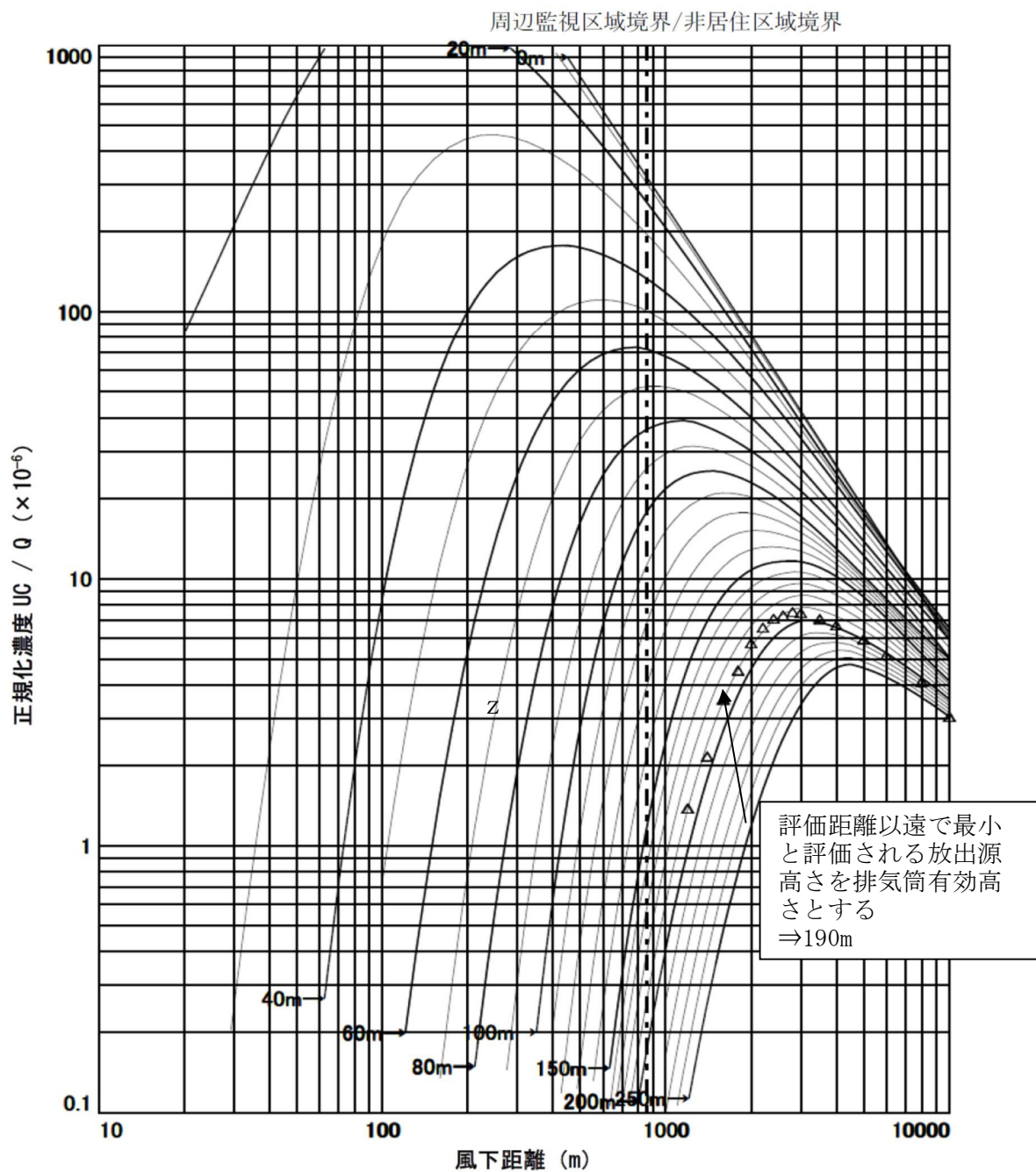
第 2 図 気流条件調整結果

記号	Ho(m)	記号	Ho(m)
◆	0	+	100
■	20	◇	150
▲	40	□	200
○	60	△	250
×	80		

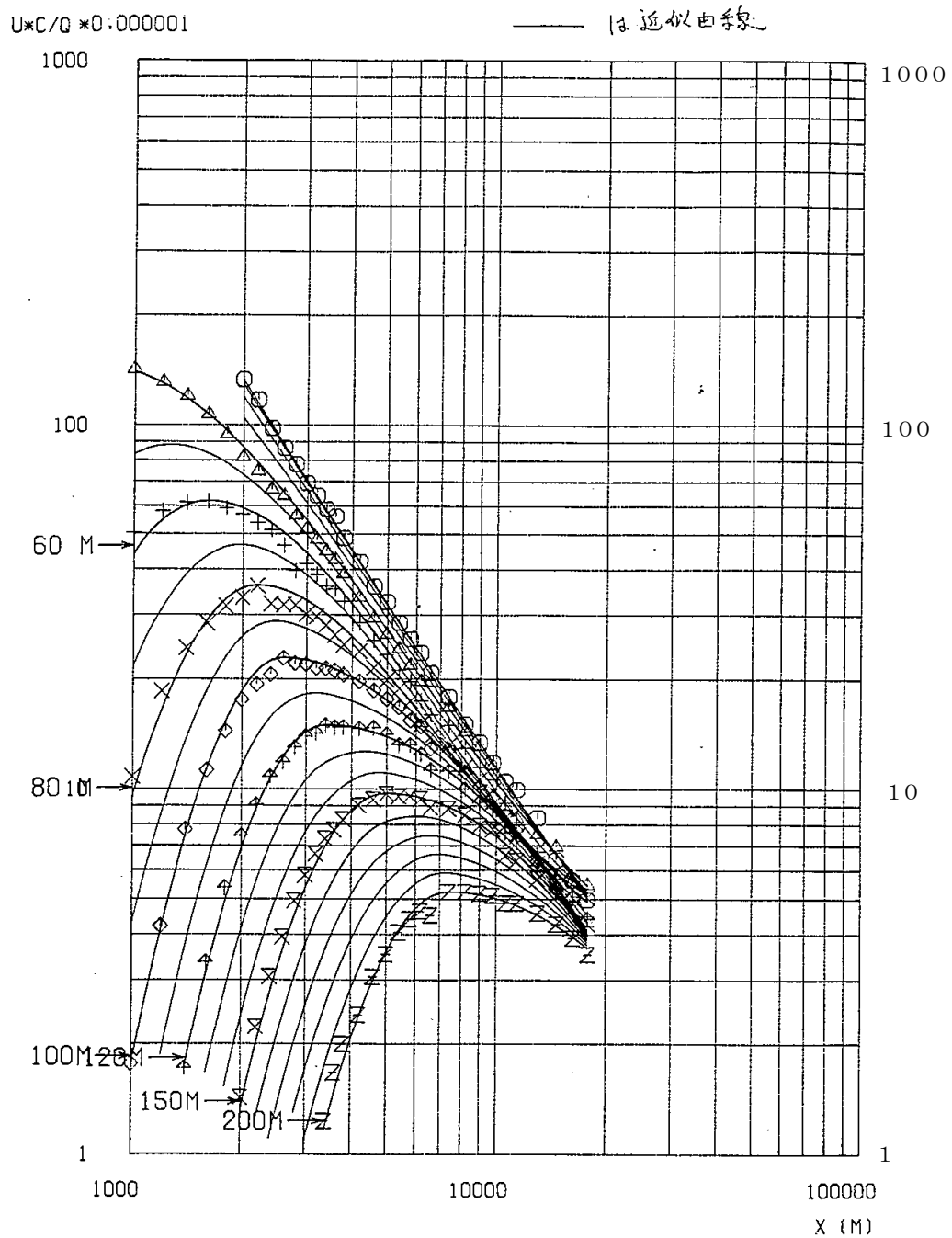


第 3 図 平地実験結果

風向	S
△	平常時 Ho=207m
—	平地
評価距離	850m



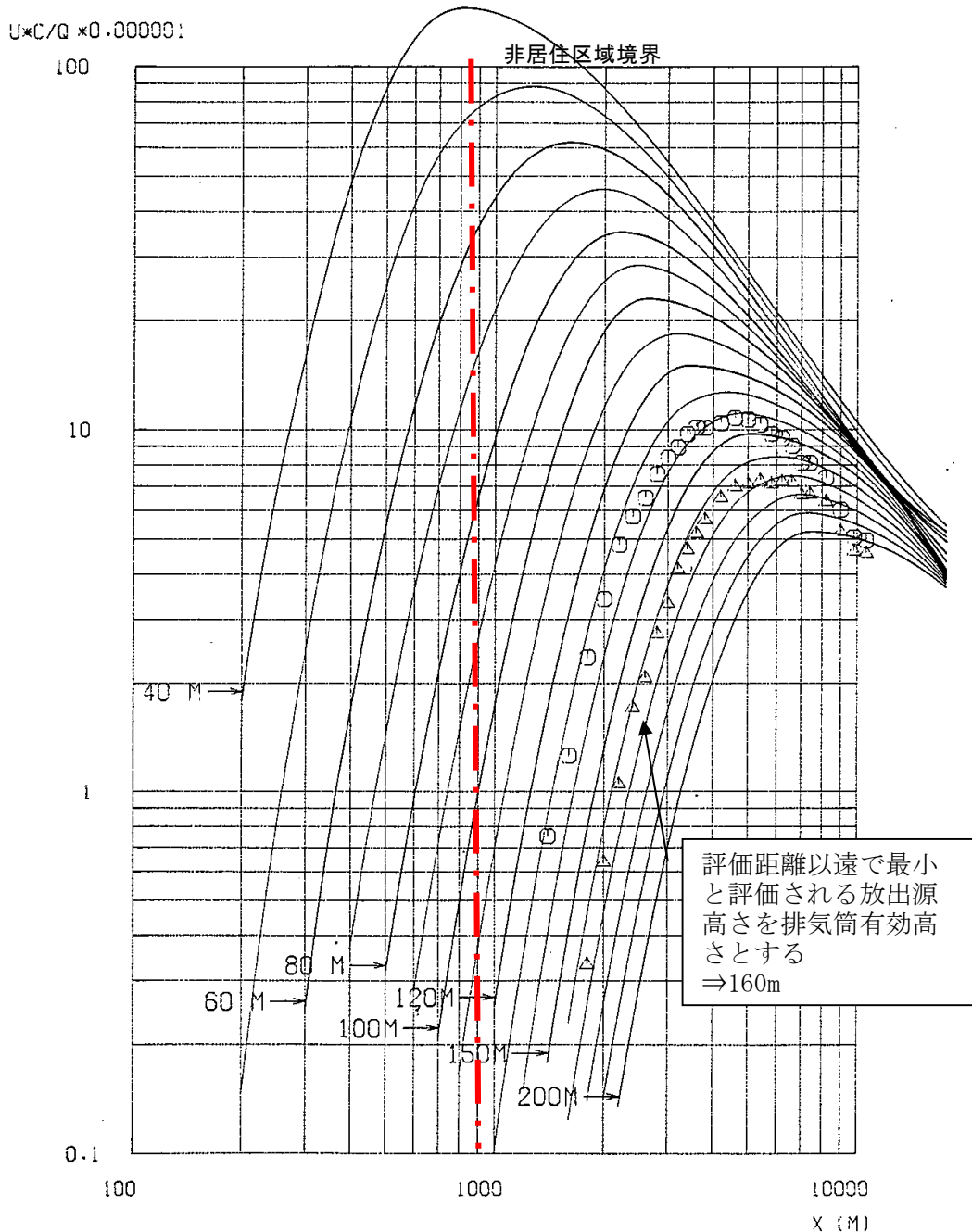
第4図 排気筒有効高さの求め方 (風向：S，平常時の例)



- GENDEN-6△10-HEI-0(1)
- △ GENDEN-HEI-40(3)
- + GENDEN-HEI-60(1)
- × GENDEN-D-HEI-80(1)
- ◇ GENDEN-D-HEI-100(1)
- ▲ GENDEN-D-HEI-120(1)
- × GENDEN-D-HEI-150(1)
- ⊠ GENDEN-D-HEI-200(1)

第 5 図 1982 年風洞実験の平地実験結果

風下 方位	風向	放出高度 H _o m	有効高さ H _e m	評価地点 X _p Km	符号
N	S	166	135~135	0.86	○
		191	160		△



注) ○は参考評価

第 6 図 1982 年風洞実験の模型実験結果の一例 (風向: S, 平常時の例)

東海発電所の排気筒有効高さについて

東海第二発電所の添付書類九では、廃止措置中の東海発電所についても通常運転状態を仮定した線量評価を行っている。ここでは、排気筒有効高さは1982年に実施した風洞実験結果を使用している。

風洞実験実施基準:2003 の解説「2. 原子炉増設の際の実験の必要性について」^{※1}では、建屋配置から増設建屋の影響が大きいと考えられる、既設・増設建屋の並びに直角な風向と、既設排気筒と増設建屋を結ぶ風向で風洞実験を行い、有効高さの変動が10%以内であれば従来の風洞実験結果を継続使用できるとしている。これを参考に、平常時の線量評価にあたり人の居住を考慮した希ガスによる線量評価点のうち線量が最大となる評価点(SW方向)に向かう風の風向を含む主要風向において、風洞実験で用いる放出源高さを1981年度と2005年度気象データから求め比較した結果+5～-3%と変動が10%以内であった。放出源高さとは有効高さはほぼ比例である^{※2}ため有効高さの変動も10%以内に収まると推定されることから、1982年に実施した風洞実験結果を用いることにした。これに対し、東海第二発電所は+6～+14%と10%を超えていた(下図参照)。

風向	着目方位	1981年度データ (1982年風洞実験)		2005年度データ		放出高さ 変動割合 (%)	風向頻度(%) (2005年度)
		吹上げ高さ (m)	放出高さ (m)	吹上げ高さ (m)	放出高さ (m)		
N	S	45	126	51	132	5	3.79
NNE	SSW	30	111	35	116	5	6.60
NE	SW	26	107	25	106	-1	17.88
ENE	WSW	40	121	36	117	-3	8.95
E	W	51	132	48	129	-2	4.32
ESE	WNW	66	147	60	141	-4	2.77
SE	NW	49	130	56	137	5	2.75
SSE	NNW	34	115	47	128	11	4.16
S	N	35	116	40	121	4	4.88
SSW	NNE	36	117	52	133	13	2.43
排気筒直径(m)		2.7		←			
吹出し速度(m/s)		16		←			
排気筒高さ(m)		81		←			

(参考)

東海第二発電所

風向	着目方位	1981年度データ (1982年風洞実験)		2005年度データ (2007年風洞実験)		放出高さ 変動割合 (%)	風向頻度(%) (2005年度)
		吹上げ高さ (m)	放出高さ (m)	吹上げ高さ (m)	放出高さ (m)		
N	S	73	213	91	231	8	3.52
NNE	SSW	43	183	69	209	14	6.67
NE	SW	34	174	45	185	6	18.41
ENE	WSW	51	191	65	205	7	9.80
E	W	69	209	86	226	8	5.55
ESE	WNW	81	221	102	242	10	3.66
SE	NW	56	196	106	246	26	3.09
SSE	NNW	44	184	78	218	18	3.32
S	N	51	191	67	207	8	4.99
SSW	NNE	47	187	86	226	21	3.13
排気筒直径(m)		4.5		←			
吹出し速度(m/s)		14		16			
排気筒高さ(m)		140		←			

※1 風洞実験実施基準:2003 解説抜粋

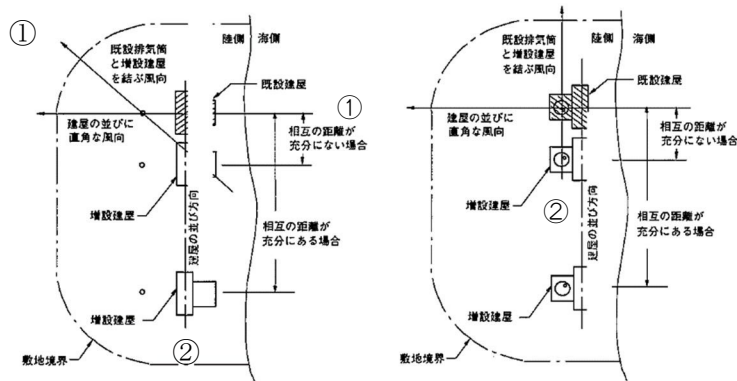
2. 原子炉増設の際の実験の必要性について

a) 本体の「既設排気筒に対する増設建屋の影響が著しくないと予想される場合」とは、放出源近傍の地形が増設により極端に変化しない場合であって、かつ、既設排気筒高さが増設建屋の高さの2.5倍以上ある場合、または相互の距離が十分ある場合をいう。

ただし、このうち増設建屋の影響については、上記の条件が満たされない場合でも、次のように取り扱うことができる。

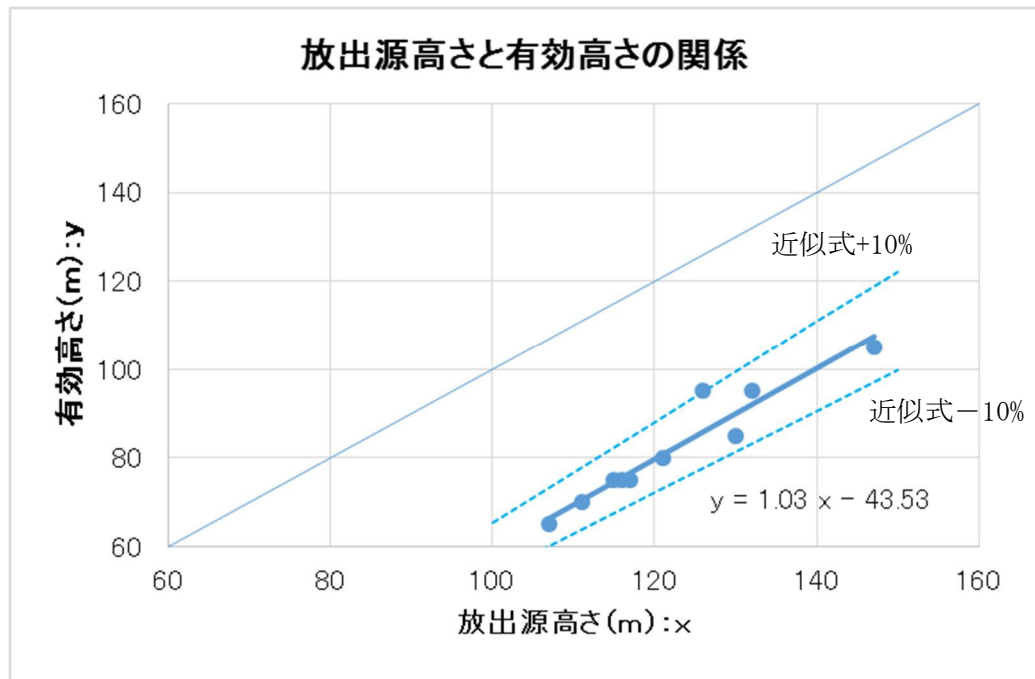
1) 既設、増設建屋配置により、①建屋の並びに直角な風向、②既設排気筒と増設建屋を結ぶ風向を求め、既設建屋のみで実施した既存の実験風向のうち、最も①、②に近い2風向を選定して増設建屋を加えた実験を行い、その結果が既存の実験結果と比較してあまり変わらない場合*は、既存の実験結果をそのまま使用できる(解説図 2-1 参照)。

* ここで、あまり変わらない場合とは、有効高さの変化が10%以内であり、かつ、線量目標値、めやす線量等を下回ることが明らかな場合である。



※2 1982年東海発電所風洞実験時の放出源高さとう効高さの関係

平常時風洞実験時の放出源高さとう効高さは、下図のようにほぼ比例関係にあると認められる。これから、放出源高さが10%変動したとしても、有効高さの変動は10%以内に収まると推定される。



異常年検定法の概要について

F 分布検定の手順により異常年検定を行った。

この検定方法は、正規分布をなす母集団から取り出した標本のうち、不良標本と見られるものを X_0 (検定年)、その他のものを $X_1, X_2, X_3, \dots, X_i, \dots, X_n$ (比較年) とした場合、 X_0 を除く他の n 個の標本の平均を $\bar{X} = \sum_{i=1}^n X_i/n$ とし、標本の分散から見て X_0 と \bar{X} との差が有意ならば X_0 を棄却とする方法である。検定手順を以下に示す。

- (1) 仮説: 不良標本 X_0 と他の標本 (その平均値) \bar{X} との間に有意な差はないとする。

$$H_0: X_0 = \bar{X} \left(\bar{X} = \sum_{i=1}^n X_i/n \right)$$

- (2) 分散比 F_0 を計算する。

$$F_0 = \frac{(n-1)(X_0 - \bar{X})^2}{(n+1)S^2}$$

$$S^2 = \sum_{i=1}^n (X_i - \bar{X})^2/n$$

- (3) 検定年は 1 年、比較年は 10 年、有意水準 (危険率) は 5% とし、F 分布表の F 境界値 ($F_9^1(0.05) = 5.12$) を求める。
- (4) F_0 と F 境界値を比較して、 $F_0 < F$ 境界値であれば仮説は採択する。具体的には、次のように棄却限界の上限値と下限値を求め、その範囲に検定年 X_0 が収まっているかを確認して検定している。

$$\bar{X} - S \sqrt{\frac{(n+1)}{(n-1)} F \text{境界値}} < X_0 < \bar{X} + S \sqrt{\frac{(n+1)}{(n-1)} F \text{境界値}}$$

補足 12 コンクリート密度の根拠について

1. はじめに

日本建築学会 建築工事標準仕様書・同解説「原子力発電所施設における鉄筋コンクリート工事（以下、JASS 5N）」に基づき、コンクリート密度を乾燥単位容積質量として計算を実施した。

2. 乾燥単位容積質量の推定方法

JASS 5N に記載されている予測式（解 3.6）を用いて、以下の手順で推定した。

- ① 骨材（砂，砂利）試験記録より絶乾比重最小値と表乾比重最大値の割合を求め、調合表上の骨材重量を表乾から絶乾に変換
- ② JASS 5N の予測式（解 3.6）により、含水率を 0 とした場合の乾燥単位容積質量 ρ_p を算出
- ③ コンクリートのばらつきを考慮して、 ρ_p から $3\sigma_d$ を差し引く。（解説図 3.10）

標準偏差 σ_d は JASS 5N に記載されている既往の原子力発電所工事の品質管理試験の結果から 0.024t/m^3 （最大値）を採用

$$\rho_p = G_0 + S_0 + 1.2C_0 + w \quad (\text{解 3.6 より})$$

ρ_p : 乾燥単位容積質量 (kg/m^3)

G_0 : 調合計画における粗骨材量（絶乾）(kg/m^3) ※参考参照

S_0 : 調合計画における細骨材量（絶乾）(kg/m^3) ※参考参照

C_0 : 調合計画におけるセメント量 (kg/m^3) ※参考参照

w : コンクリート中の含水量 (kg/m^3) ※安全側に 0 とする。

3. 推定乾燥単位容積質量について (参考参照)

推定乾燥単位容積質量の最小値は $2.016\text{g}/\text{cm}^3$ となり, 遮蔽計算に使用する
コンクリート密度はこれを包絡する $2.00\text{ g}/\text{cm}^3$ とする。

コンクリート調合（東海第二発電所建設記録より）からの推定乾燥容積質量

No.	打設場所	重量調合 [kg/m ³]					砂 (絶乾)	砂利 (絶乾)	σ d = (JASS 5Nより)	
		水	セメント	砂(表乾)	砂利(表乾)	混和材			ρ p	ρ p-3σ d
1	一次遮蔽壁							2.209	2.137	
2								2.218	2.146	
3								2.217	2.145	
4								2.201	2.129	
5								2.207	2.135	
6								2.229	2.157	
7	二次遮蔽壁 原子炉建屋原子炉棟 原子炉建屋付属棟 タービン建屋							2.155	2.083	
8								2.164	2.092	
9								2.156	2.084	
10								2.165	2.093	
11								2.162	2.090	
12								2.173	2.101	
13								2.165	2.093	
14								2.177	2.105	
15								2.155	2.083	
16								2.162	2.090	
17								2.159	2.087	
18								2.203	2.131	
19								2.197	2.125	
20								2.192	2.120	
21								2.202	2.130	
22								2.183	2.111	
23								2.155	2.083	
24								2.164	2.092	
25								2.164	2.092	
26								2.175	2.103	
27								2.149	2.077	
28								2.156	2.084	
29								2.162	2.090	
30								2.165	2.093	
31								2.154	2.082	
32								2.143	2.071	
33								2.168	2.096	
34								2.168	2.096	
35								2.172	2.100	
36								2.154	2.082	
37								2.168	2.096	
38								2.133	2.061	
39								2.137	2.065	
40								2.152	2.080	
41								2.118	2.046	
42								2.137	2.065	
43								2.117	2.045	
44								2.132	2.060	
45								2.157	2.085	
46								2.117	2.045	
47								2.148	2.076	
48								2.126	2.054	
49								2.155	2.083	
50								2.112	2.040	
51								2.088	2.016	
52								2.189	2.117	
53								2.175	2.103	
54								2.181	2.109	
55								2.157	2.085	
56								2.161	2.089	
57								2.163	2.091	
58								2.137	2.065	
59								2.155	2.083	
60								2.141	2.069	
61								2.166	2.094	
62								2.205	2.133	
63								2.170	2.098	
64								2.251	2.179	
65								2.172	2.100	
66								2.169	2.097	
67								2.189	2.117	
68								2.178	2.106	
69								2.195	2.123	
70								2.182	2.110	
71								2.164	2.092	
72								2.174	2.102	
73								2.176	2.104	
74								2.183	2.111	
								ρ p = G0 + S0 + 1.2C0		
								最小値	2.016	

スクラビング水補給及び窒素供給作業の作業員の被ばく評価

格納容器圧力逃がし装置格納槽へのスクラビング水の補給及び原子炉建屋系統内への窒素ガスの供給作業における作業員の被ばく評価を以下のとおり行った。なお、評価に当たっては、サブプレッション・チェンバ（S/C）からのベントを行う場合及びドライウェル（D/W）からのベントを行う場合のそれぞれについて評価を行った。

(1) 評価条件

a. 放出量評価条件

想定事象として格納容器破損モード「雰囲気圧力・温度による静的負荷（格納容器過圧・過温破損）」で想定される事故シーケンスにおいて、代替循環冷却系を使用できない場合を想定した事故シナリオを選定する。また、放出量評価条件を第 1 表、大気中への放出過程及び概略図を第 1 図～第 5 図に示す。

b. 被ばく評価条件

被ばく経路は、第 6 図に示すとおり、大気中へ放出される放射性物質による外部被ばく及び内部被ばく、地表面に沈着した放射性物質からのガンマ線、原子炉建屋からの直接ガンマ線等による外部被ばくを考慮した。

大気中へ放出される放射性物質による外部被ばく及び内部被ばく、地表面に沈着した放射性物質からのガンマ線による外部被ばくについては、第 2 表～第 4 表に示すとおり拡散効果等を考慮し、作業場所における相対線量（D/Q）及び相対濃度（ χ /Q）から被ばく評価を行った。なお、内部被ばくについてはマスク等の放射線防護効果を考慮し評価を行った。

原子炉建屋、格納容器圧力逃がし装置**吸気**配管及びフィルタ装置からの

直接ガンマ線等による外部被ばくについては、第 5 表及び第 6 表に示すとおり原子炉建屋の外壁、格納容器圧力逃がし装置吸気配管及びフィルタ装置の遮蔽壁の遮蔽効果を考慮し評価を行った。

c. 評価地点

評価地点は、第 7 図に示すとおりとした。

d. 作業開始時間

スクラビング水の補給及び窒素ガスの供給は事象発生から 7 日後に実施することを想定し評価した。

(2) 評価結果

スクラビング水の補給及び窒素ガスの供給作業場所の線量率は、第 7 表及び第 8 表に示すとおり、サプレッション・チェンバ (S/C) からのベントを行う場合、約 3.3mSv/h となり、ドライウエル (D/W) からのベントを行う場合、約 4.5mSv/h となり、スクラビング水の補給及び窒素ガスの供給作業を行うことができる放射線環境であることを確認した。

なお、スクラビング水の補給作業及び窒素ガスの供給作業の作業時間は、移動及び補給等の準備を含めても 2 時間～3 時間であり、作業が可能である。

第 1 表 放出量評価条件 (1/3)

項 目	評価条件	選定理由
評価事象	「大破断 L O C A + 高圧炉心冷却失敗 + 低圧炉心冷却失敗」 (代替循環冷却系を使用できない場合) (全交流動力電源喪失の重畳を考慮)	格納容器破損防止対策の有効性評価で想定する格納容器破損モードのうち, 中央制御室の運転員又は対策要員の被ばくの観点から結果が最も厳しくなる事故収束に成功した事故シーケンスを選定
炉心熱出力	3, 293MW	定格熱出力
運転時間	1 サイクル当たり 10, 000 時間 (約 416 日)	1 サイクル 13 ヶ月 (395 日) を考慮して 設定
取替炉心の 燃料装荷割合	1 サイクル : 0. 229 2 サイクル : 0. 229 3 サイクル : 0. 229 4 サイクル : 0. 229 5 サイクル : 0. 084	取替炉心の燃料装荷割合に基づき設定
炉内蓄積量	希ガス類 : 約 $2. 2 \times 10^{19}$ Bq よう素類 : 約 $2. 8 \times 10^{19}$ Bq C s O H 類 : 約 $1. 1 \times 10^{18}$ Bq S b 類 : 約 $1. 3 \times 10^{18}$ Bq T e O ₂ 類 : 約 $6. 7 \times 10^{18}$ Bq S r O 類 : 約 $1. 2 \times 10^{19}$ Bq B a O 類 : 約 $1. 2 \times 10^{19}$ Bq M o O ₂ 類 : 約 $2. 4 \times 10^{19}$ Bq C e O ₂ 類 : 約 $7. 4 \times 10^{19}$ Bq L a ₂ O ₃ 類 : 約 $5. 5 \times 10^{19}$ Bq (核種ごとの炉内蓄積量を核種グループごとに集約して記載)	「単位熱出力当たりの炉内蓄積量 (Bq/MW)」 × 「3, 293MW (定格熱出力)」 (単位熱出力当たりの炉内蓄積量 (Bq/MW) は, BWR 共通条件として, 東海第二と同じ装荷燃料 (9 × 9 燃料 (A 型)), 運転時間 (10, 000 時間) で算出した A B W R のサイクル末期の値を使用)
放出開始時間	格納容器漏えい : 事象発生直後 格納容器圧力逃がし装置による格納容器減圧及び除熱 : 事象発生から約 19h 後	M A A P 解析結果に基づく
原子炉格納容器内 p H 制御の効果	考慮しない	サプレッション・プール内 p H 制御設備は, 重大事故等対処設備と位置付けていないため, 保守的に設定
よう素の形態	粒子状よう素 : 5% 無機よう素 : 91% 有機よう素 : 4%	R . G . 1. 195 ^{*1} に基づき設定

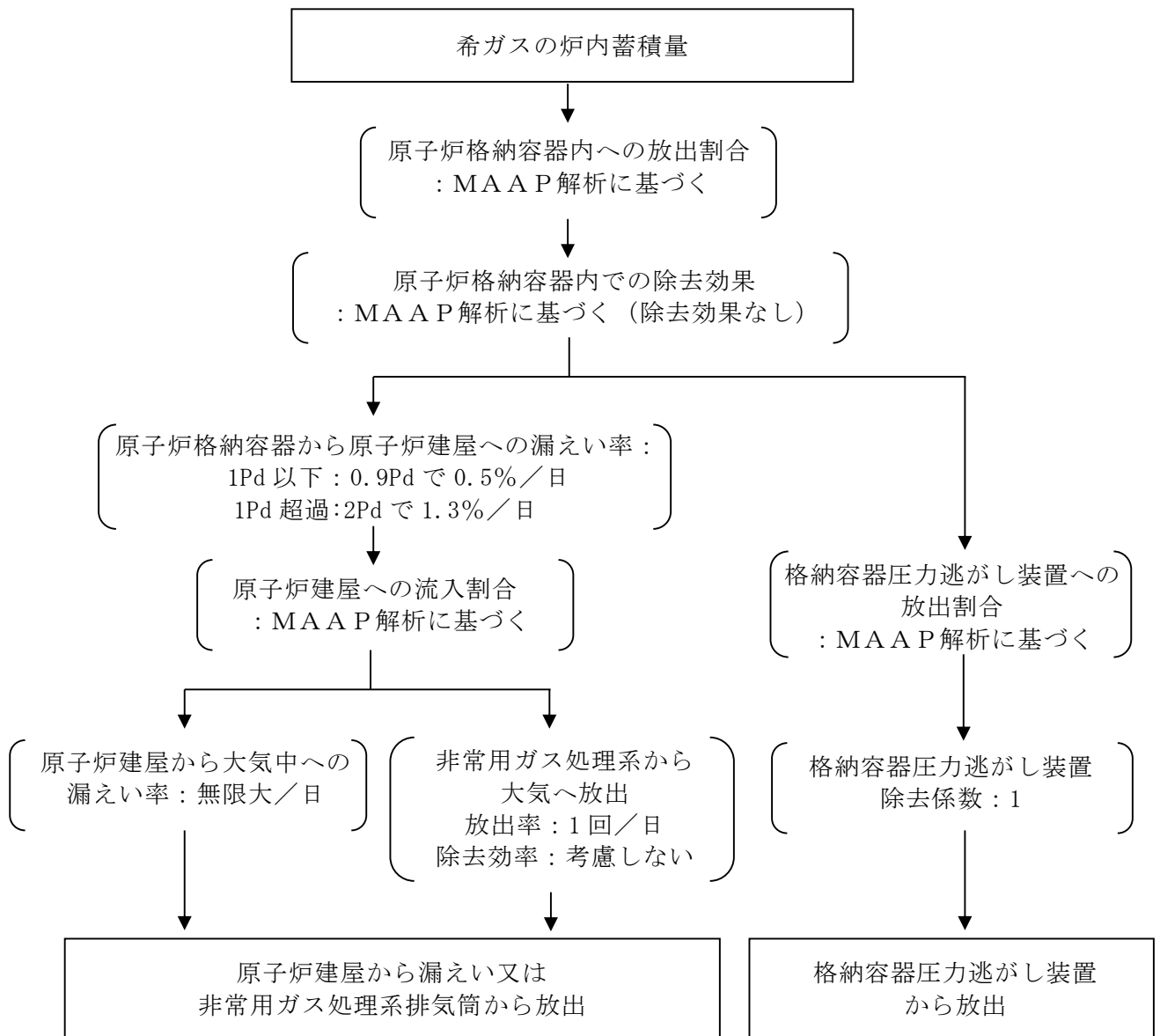
第 1 表 放出量評価条件 (2/3)

項目	評価条件			選定理由
原子炉格納容器から原子炉建屋への漏えい率 (希ガス, エアロゾル及び有機よう素)	1Pd以下: 0.9Pdで0.5%/日 1Pd超過: 2Pdで1.3%/日			MAAP解析にて原子炉格納容器の開口面積を設定し格納容器圧力に応じ漏えい率が変化するものとし, 原子炉格納容器の設計漏えい率 (0.9Pd で 0.5%/日) 及びAECの式等に基づき設定 (別紙 17 補足 1 参照)
原子炉格納容器から原子炉建屋への漏えい率 (無機よう素)	0.9Pd以下: 0.5%/日 0.9Pd超過: 1.3%/日			原子炉格納容器の設計漏えい率 (0.5%/日) 及びAECの式等に基づき設定 (格納容器圧力が0.9Pdを超える期間を包絡するように 1.3%/日の漏えい率を設定) (別紙17補足1参照)
原子炉格納容器の漏えい孔における捕集効果	考慮しない			保守的に設定
原子炉格納容器内での除去効果 (エアロゾル)	MAAP解析に基づく (沈着, サプレッション・プールでのスクラビング及びドライウェルスプレイ)			MAAPのFP挙動モデル (別紙17補足2参照)
原子炉格納容器内での除去効果 (有機よう素)	考慮しない			保守的に設定
原子炉格納容器内での除去効果 (無機よう素)	自然沈着率: 9.0×10^{-4} (1/s) (原子炉格納容器内の最大存在量から1/200まで)			CSE実験及び Standard Review Plan 6.5.2 ^{*2} に基づき設定 (別紙17補足3参照)
	サプレッション・プールでのスクラビングによる除去効果: 10 (S/Cベントのみ)			Standard Review Plan6.5.5 ^{*3} に基づき設定 (別紙 17 補足 4 参照)
原子炉格納容器から原子炉建屋への漏えい割合	希ガス類	S/Cベント : 約 4.3×10^{-3}	D/Wベント : 約 4.9×10^{-3}	MAAP解析結果及び NUREG-1465 ^{*4} に基づき設定 (別紙 17 補足 5 参照)
	CsI類	: 約 6.2×10^{-5}	: 約 6.2×10^{-5}	
	CsOH類	: 約 3.1×10^{-5}	: 約 3.0×10^{-5}	
	Sb類	: 約 6.7×10^{-6}	: 約 6.6×10^{-6}	
	TeO ₂ 類	: 約 6.7×10^{-6}	: 約 6.6×10^{-6}	
	SrO類	: 約 2.7×10^{-6}	: 約 2.6×10^{-6}	
	BaO類	: 約 2.7×10^{-6}	: 約 2.6×10^{-6}	
	MoO ₂ 類	: 約 3.4×10^{-7}	: 約 3.3×10^{-7}	
	CeO ₂ 類	: 約 6.7×10^{-8}	: 約 6.6×10^{-8}	
	La ₂ O ₃ 類	: 約 2.7×10^{-8}	: 約 2.6×10^{-8}	

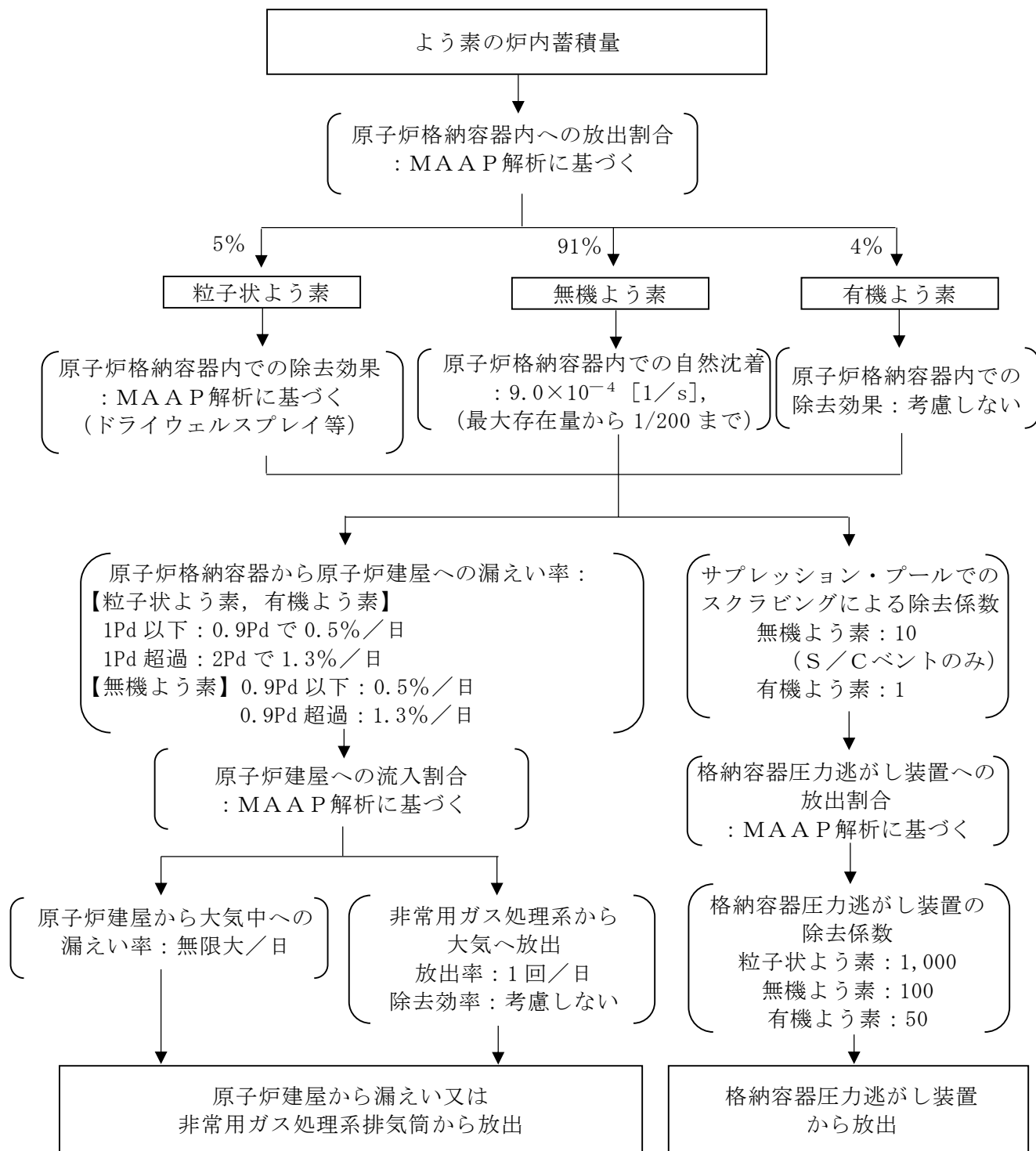
第 1 表 放出量評価条件 (3/3)

項目	評価条件		選定理由
原子炉建屋から大気への漏えい率（非常用ガス処理系及び非常用ガス再循環系の起動前）	無限大／日（地上放出） （原子炉格納容器から原子炉建屋へ漏えいした放射性物質は、即座に大気へ漏えいするものとして評価）		保守的に設定
非常用ガス処理系から大気への放出率（非常用ガス処理系及び非常用ガス再循環系の起動後）	1 回／日（排気筒放出）		設計値に基づき設定 （非常用ガス処理系のファン容量）
非常用ガス処理系及び非常用ガス再循環系の起動時間	事象発生から2時間後		起動操作時間（115分）＋負圧達成時間（5分）（起動に伴い原子炉建屋原子炉棟内は負圧になるが、保守的に負圧達成時間として5分を想定）
非常用ガス処理系及び非常用ガス再循環系のフィルタ除去効率	考慮しない		保守的に設定
原子炉建屋外側ブローアウトパネルの開閉状態	閉状態		原子炉建屋原子炉棟内の急激な圧力上昇等による原子炉建屋外側ブローアウトパネルの開放がないため
格納容器圧力逃がし装置への放出割合	S／Cベント 希ガス類 : 約 9.5×10^{-1} CsI類 : 約 1.0×10^{-6} CsOH類 : 約 4.0×10^{-7} Sb類 : 約 8.9×10^{-8} TeO ₂ 類 : 約 8.9×10^{-8} SrO類 : 約 3.6×10^{-8} BaO類 : 約 3.6×10^{-8} MoO ₂ 類 : 約 4.5×10^{-9} CeO ₂ 類 : 約 8.9×10^{-10} La ₂ O ₃ 類 : 約 3.6×10^{-10}	D／Wベント : 約 9.4×10^{-1} : 約 2.3×10^{-3} : 約 1.5×10^{-3} : 約 3.2×10^{-4} : 約 3.2×10^{-4} : 約 1.3×10^{-4} : 約 1.3×10^{-4} : 約 1.6×10^{-5} : 約 3.2×10^{-6} : 約 1.3×10^{-6}	MAAP解析結果及びNUREG-1465に基づき設定 （別紙 17 補足 5 参照）
格納容器圧力逃がし装置の除去係数	希ガス : 1 有機よう素 : 50 無機よう素 : 100 エアロゾル（粒子状よう素含む） : 1,000		設計値に基づき設定

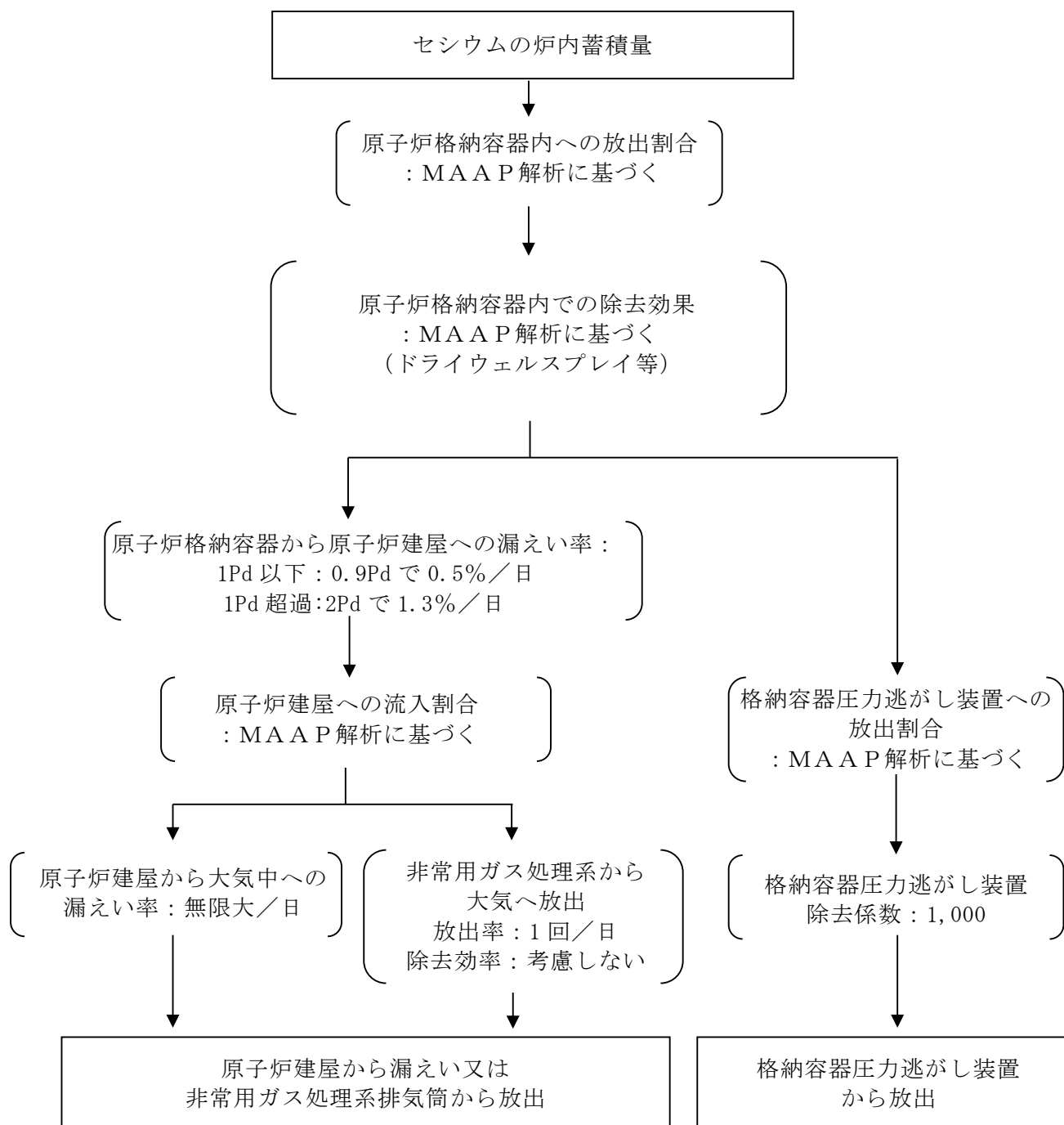
- ※1 Regulatory Guide 1.195, “Methods and Assumptions for Evaluating Radiological Consequences of Design Basis Accidents at Light-Water Nuclear Power Reactors” ,May 2003
- ※2 Standard Review Plan6.5.2, “Containment Spray as a Fission Product Cleanup System” ,December 2005
- ※3 Standard Review Plan6.5.5, “Pressure Suppression Pool as a Fission Product Cleanup System” ,March 2007
- ※4 NUREG-1465, “Accident Source Terms for Light-Water Nuclear Power Plants” ,1995



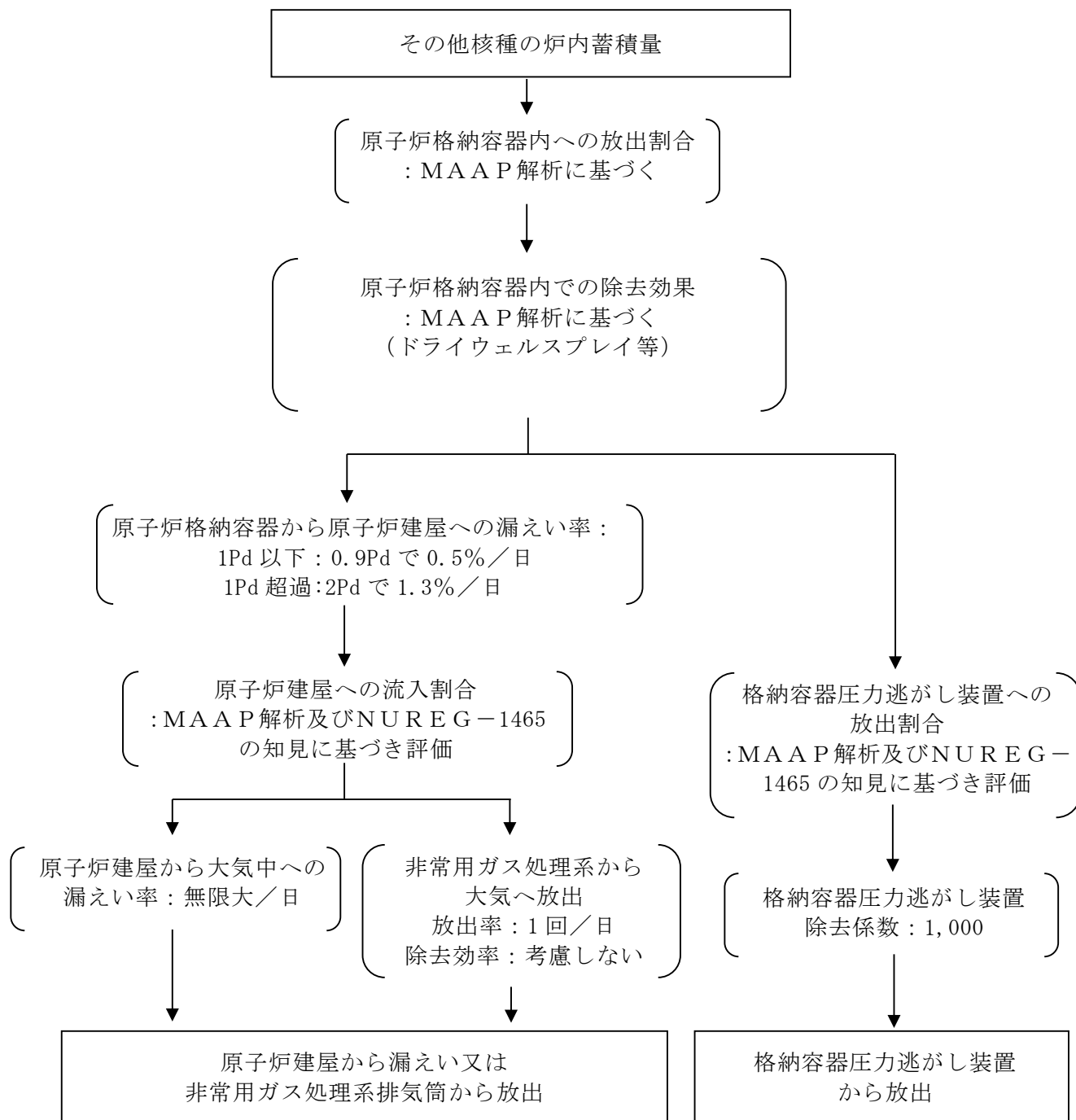
第 1 図 希ガスの大気放出過程



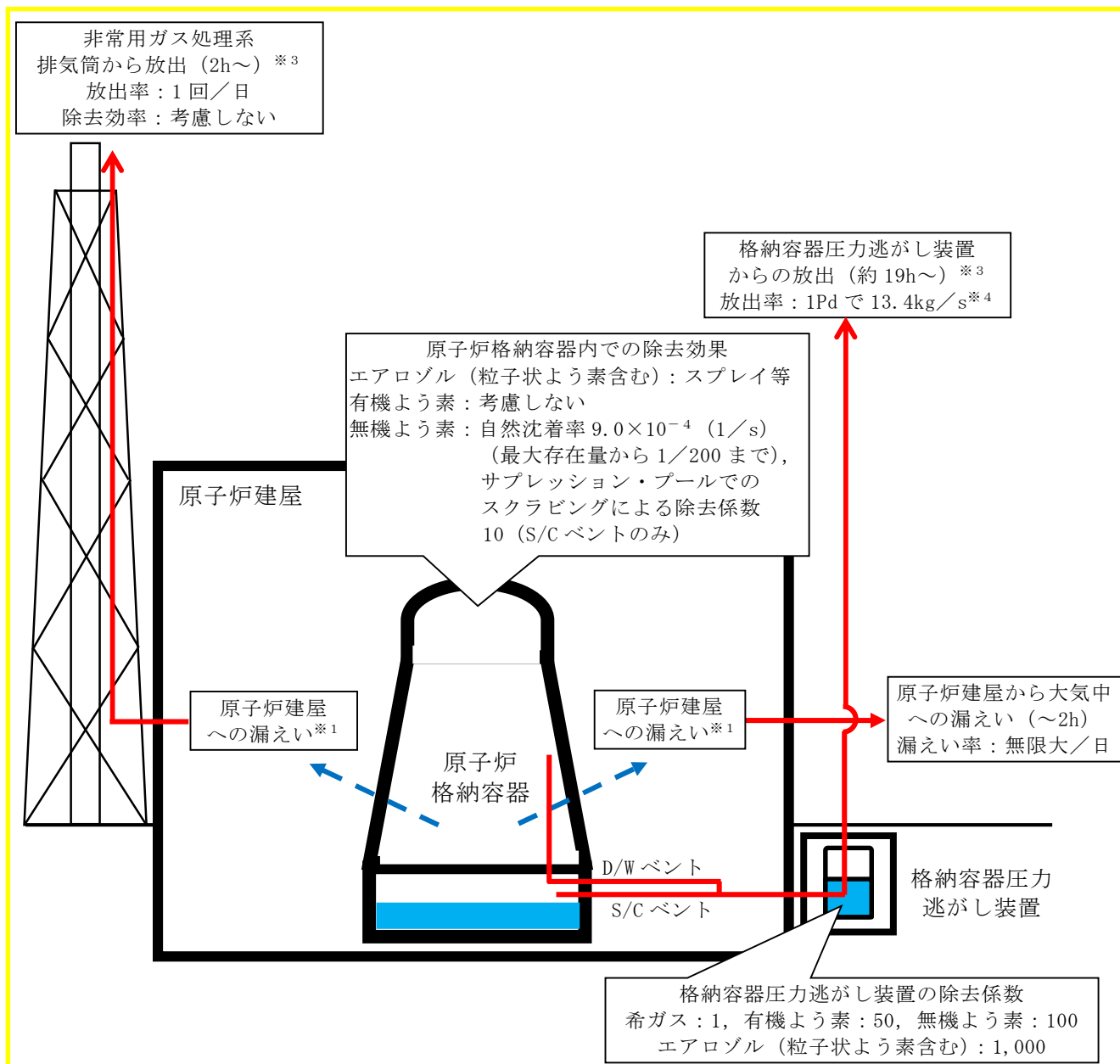
第 2 図 よう素の大気放出過程



第 3 図 セシウムの大気放出過程



第4図 其他核種の大気放出過程



※1 原子炉格納容器から原子炉建屋への漏えい率

【希ガス, エアロゾル (粒子状よう素含む), 有機よう素】
 1Pd以下: 0.9Pdで0.5%/日, 1Pd超過:2Pdで1.3%/日

【無機よう素】
 0.9Pd以下: 0.5%/日, 0.9Pd超過: 1.3%/日

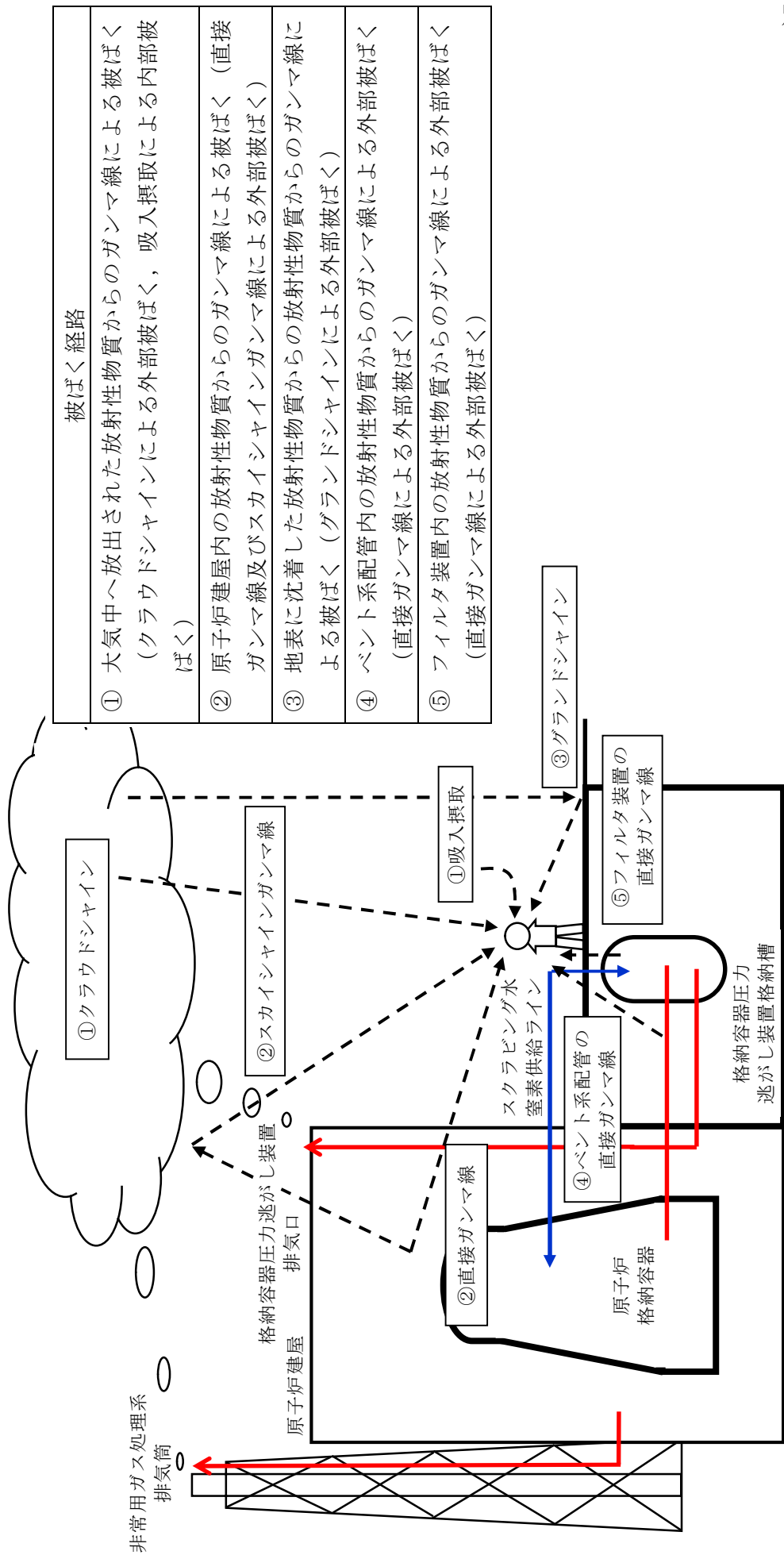
大気への放出経路	0h	▼2h※ ²	▼19h※ ³	168h▼
原子炉建屋から大気中への漏えい				
非常用ガス処理系排気筒から放出				
格納容器圧力逃がし装置からの放出				

※2 非常用ガス処理系の起動により原子炉建屋原子炉棟内は負圧となるため, 事象発生2h以降は原子炉建屋から大気中への漏えいはなくなる。

※3 事象発生後19h以降は, 「非常用ガス処理系排気筒から放出」及び「格納容器圧力逃がし装置からの放出」の両経路から放射性物質を放出する。

※4 D/Wベントの場合は1Pdで8.1kg/s

第5図 大気放出過程概略図 (イメージ)



第 6 図 スクラビン格納槽水補給作業時及び窒素供給作業時の作業員の被ばく評価経路イメージ

第 2 表 大気拡散評価条件

項目	評価条件	選定理由
大気拡散評価モデル	ガウスプルームモデル	発電用原子炉施設の安全解析に関する気象指針（以下「気象指針」という）に基づき評価
気象資料	東海第二発電所における 1 年間の気象資料（2005 年 4 月～2006 年 3 月） 地上風：地上 10m 排気筒風：地上 140m	格納容器圧力逃がし装置排気口及び原子炉建屋からの放出は地上風（地上高 10m）の気象データを使用 非常用ガス処理系排気筒からの放出は排気筒風（地上高 140m）の気象データを使用（別紙 17 補足 11 参照）
放出源及び放出源高さ（有効高さ）	原子炉建屋漏えい：地上 0m 格納容器圧力逃がし装置排気口からの放出：地上 57m 非常用ガス処理系排気筒からの放出：地上 95m	格納容器圧力逃がし装置排気口からの放出は建屋影響を考慮し建屋屋上からの放出と想定し設定 非常用ガス処理系排気筒からの放出は方位ごとの風洞実験結果のうち保守的に最低の方位の有効高さを設定
実効放出継続時間	1時間	保守的に最も短い実効放出継続時間を設定（別紙 17 補足 9 参照）
累積出現頻度	小さい方から 97%	気象指針に基づき設定
建屋の影響	考慮する	格納容器圧力逃がし装置排気口放出及び原子炉建屋漏えいにおいては放出源から近距離の原子炉建屋の影響を受けるため、建屋による巻き込み現象を考慮
巻き込みを生じる代表建屋	原子炉建屋	放出源から最も近く、巻き込みの影響が最も大きい建屋として選定
大気拡散評価点	第 7 図参照	屋外移動時は敷地内の最大濃度点で設定 作業時は作業地点のある原子炉建屋外壁で設定
着目方位	非常用ガス処理系排気筒：1 方位 原子炉建屋及び格納容器圧力逃がし装置排気口：9 方位	非常用ガス処理系排気筒（排気筒放出）については評価点の方位とし、建屋放出及び格納容器圧力逃がし装置排気口については放出源が評価点に近いことから、180 度をカバーする方位を対象とする。
建屋影響	3,000m ²	原子炉建屋の最小投影断面積を設定
形状係数	0.5	気象指針に基づき設定

第 3 表 評価に使用する相対濃度 (χ/Q) 及び相対線量 (D/Q)

作業内容		放出箇所	χ/Q 及び D/Q	
スクラビング 水補給及び窒 素供給作業	屋外移動時	原子炉建屋漏えい (地上放出)	χ/Q (s/m^3)	約 8.3×10^{-4}
		格納容器圧力逃がし装置 排気口 (建屋屋上放出)	χ/Q (s/m^3)	約 4.2×10^{-4}
			D/Q (Gy/Bq)	約 8.8×10^{-19}
		非常用ガス処理系排気筒 (排気筒放出)	χ/Q (s/m^3)	約 3.0×10^{-6}
			D/Q (Gy/Bq)	約 1.2×10^{-19}
		作業時	原子炉建屋漏えい (地上放出)	χ/Q (s/m^3)
	格納容器圧力逃がし装置 排気口 (建屋屋上放出)		χ/Q (s/m^3)	約 4.1×10^{-4}
			D/Q (Gy/Bq)	約 7.4×10^{-19}
	非常用ガス処理系排気筒 (排気筒放出)		χ/Q (s/m^3)	約 3.0×10^{-6}
			D/Q (Gy/Bq)	約 1.2×10^{-19}

第 4 表 線量換算係数, 呼吸率等

項 目	評価条件	選定理由
線量換算係数	成人実効線量換算係数を使用 (主な核種を以下に示す) I-131 : 2.0×10^{-8} Sv/Bq I-132 : 3.1×10^{-10} Sv/Bq I-133 : 4.0×10^{-9} Sv/Bq I-134 : 1.5×10^{-10} Sv/Bq I-135 : 9.2×10^{-10} Sv/Bq Cs-134 : 2.0×10^{-8} Sv/Bq Cs-136 : 2.8×10^{-9} Sv/Bq Cs-137 : 3.9×10^{-8} Sv/Bq 上記以外の核種は ICRP Pub. 71 等に基づく	ICRP Publication 71 に基づき設定
呼吸率	1.2m ³ /h	成人活動時の呼吸率を設定 ICRP Publication 71 に基づき設定
マスクの除染係数	D F 50	性能上期待できる値から設定
地表面への沈着速度	粒子状物質 : 0.5cm/s 無機よう素 : 0.5cm/s 有機よう素 : 1.7×10^{-3} cm/s	東海第二発電所の実気象から求めた沈着速度から保守的に設定 (別紙 17 補足 6~補足 8 参照)

第 5 表 原子炉建屋からの直接ガンマ線及びスカイシャインガンマ線

項目	評価条件	選定理由
原子炉建屋内線源強度分布	原子炉建屋内に放出された放射性物質が均一に分布	審査ガイドに示されたとおり設定
原子炉建屋のモデル	原子炉建屋の幾何形状をモデル化	建屋外壁を遮蔽体として考慮
直接ガンマ線・スカイシャインガンマ線評価コード	直接ガンマ線評価： QAD-CGGP2R スカイシャインガンマ線評価： ANISN G33-GP2R	現行許認可（添十）に同じ
許容差	評価で考慮するコンクリート遮蔽は、公称値からマイナス側許容差（-5mm）を引いた値を適用	建築工事標準仕様書 JASS 5N・同解説（原子力発電所施設における鉄筋コンクリート工事，日本建築学会）に基づき設定
コンクリート密度	2.00g/cm ³	建築工事標準仕様書 JASS 5N・同解説（原子力発電所施設における鉄筋コンクリート工事，日本建築学会）を基に算出した値を設定

第 6 表 格納容器圧力逃がし装置配管及びフィルタ装置からの直接ガンマ線

項目	評価条件	選定理由
配管に対する遮蔽厚		作業場所における遮蔽厚さを考慮
フィルタ装置に対する遮蔽厚		作業場所における遮蔽厚さを考慮



第 7 図 大気中に放出された放射性物質の濃度評価点

第 7 表 スクラビング水補給作業及び窒素供給作業における被ばく評価 (S/Cからのベント操作の場合)

(単位 : mSv/h)

被ばく経路	スクラビング水補給及び窒素供給作業	
	補給作業時	屋外移動時
原子炉建屋内の放射性物質からの ガンマ線による外部被ばく	1.0×10 ⁻² 以下	1.0×10 ⁻² 以下
大気中へ放出された 放射性物質による被ばく	外部被ばく	1.0×10 ⁻² 以下
	内部被ばく	1.0×10 ⁻² 以下
大気中へ放出され地表面に沈着した 放射性物質からのガンマ線による被ばく	約3.3×10 ⁰	約3.3×10 ⁰
ベント系配管からの ガンマ線による外部被ばく	1.0×10 ⁻² 以下	1.0×10 ⁻² 以下
フィルタ装置からのガンマ線による 外部被ばく	約1.3×10 ⁻²	約1.3×10 ⁻²
作業線量率	約3.3×10 ⁰	約3.3×10 ⁰

第 8 表 スクラビング水補給作業及び窒素供給作業における被ばく評価 (D/Wからのベント操作の場合)

(単位 : mSv/h)

被ばく経路	スクラビング水補給及び窒素供給作業	
	補給作業時	屋外移動時
原子炉建屋内の放射性物質からの ガンマ線による外部被ばく	1.0×10 ⁻² 以下	1.0×10 ⁻² 以下
大気中へ放出された 放射性物質による被ばく	外部被ばく	1.0×10 ⁻² 以下
	内部被ばく	1.0×10 ⁻² 以下
大気中へ放出され地表面に沈着した 放射性物質からのガンマ線による被ばく	約4.5×10 ⁰	約4.5×10 ⁰
ベント系配管からの ガンマ線による外部被ばく	1.0×10 ⁻² 以下	1.0×10 ⁻² 以下
フィルタ装置からのガンマ線による 外部被ばく	約1.3×10 ⁻²	約1.3×10 ⁻²
作業線量率	約4.5×10 ⁰	約4.5×10 ⁰

格納容器内の圧力が計測できない場合の運用について

格納容器内の圧力が計測できない場合には、格納容器雰囲気温度を計測し、飽和圧力に換算することにより操作判断を行うこととする。このため、第 1 表及び第 1 図に示すような飽和温度と飽和圧力の換算表等を手順書類に記載する。

具体的には、重大事故等発生時に格納容器への注水等が十分である場合においては、格納容器雰囲気は飽和状態に近い状態であることから、第 2 図に示す格納容器雰囲気温度計のうち、より飽和状態に近いと考えられるサプレッション・チェンバ空間部に設置した格納容器雰囲気温度計（第 2 図の⑨及び⑩）の計測値を飽和圧力に換算し、ベントの実施を判断する。

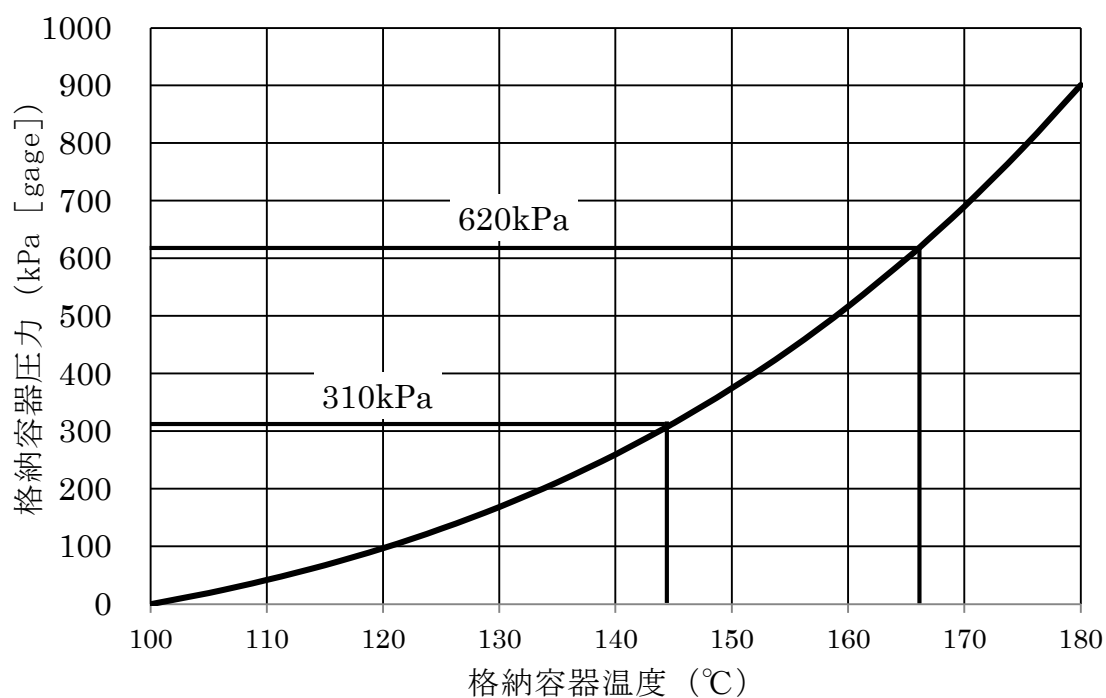
ただし、有効性評価で想定する範囲を超える場合ではあるが、重大事故等発生時に格納容器への注水等が不十分な場合は、格納容器雰囲気温度が格納容器圧力に対する飽和温度以上になるとともに、熔融炉心からの輻射熱等によって局所的に格納容器雰囲気温度が大きく上昇する可能性がある。

このような場合は、全ての格納容器雰囲気温度計の最大値を圧力換算し、ベントの実施を判断する。この運用により、格納容器雰囲気温度に対する圧力換算値は実際の格納容器圧力と同等又はそれ以上となることから、格納容器の限界圧力を下回る最高使用圧力の 2 倍（620kPa [gage]）に到達する前のベントが可能であると考ええる。

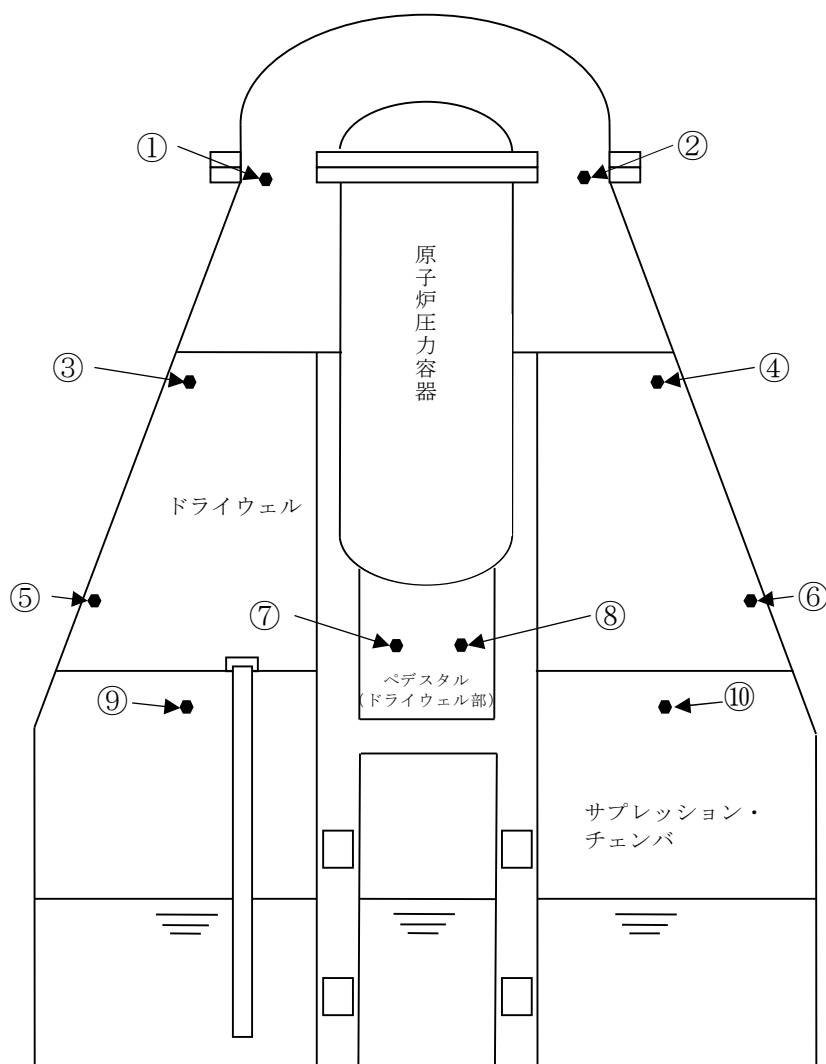
第 1 表 飽和温度と飽和圧力の換算表

飽和温度 [°C]	飽和圧力 [kPa]	
	絶対圧力	ゲージ圧力
100	101	0
105	121	20
110	143	42
115	169	68
120	199	97
125	232	131
130	270	169
135	313	212
140	362	260
144.6	411	310 (1Pd)
145	416	314
150	476	375
155	543	442
160	618	517
165	701	599
166.2	721	620 (2Pd)
170	792	691
175	892	791
180	1003	901

参考：日本機械学会蒸気表 [1999年]



第 1 図 飽和温度と飽和圧力の換算グラフ



番号	名称	設置場所	測定範囲
①, ②	ドライウエル雰囲気温度 (上部)	フランジ高さ	0℃～300℃
③, ④	ドライウエル雰囲気温度 (中部)	燃料有効長頂部高さ	0℃～300℃
⑤, ⑥	ドライウエル雰囲気温度 (下部)	機器ハッチ高さ	0℃～300℃
⑦, ⑧	ドライウエル雰囲気温度 (ペDESTAL部)	ドライウエル床面高さ	0℃～300℃
⑨, ⑩	サブプレッション・チェンバ雰囲気温度	サブプレッション・チェンバ上部	0℃～200℃

第 2 図 格納容器雰囲気温度計の計測点

ベント停止手順について

(1) 格納容器圧力逃がし装置によるベント停止の判断について

格納容器圧力逃がし装置によるベントを停止した後は、以下の機能が必要となるため、以下の機能が全て使用可能と判断した場合にベント停止の判断を実施する。

a. 格納容器の除熱機能（残留熱除去系等）

- ・ 格納容器内に残存する核分裂生成物から発生する崩壊熱を除去し、最終的な熱の逃がし場へ熱を輸送するため

b. 格納容器への窒素供給機能（窒素供給設備）

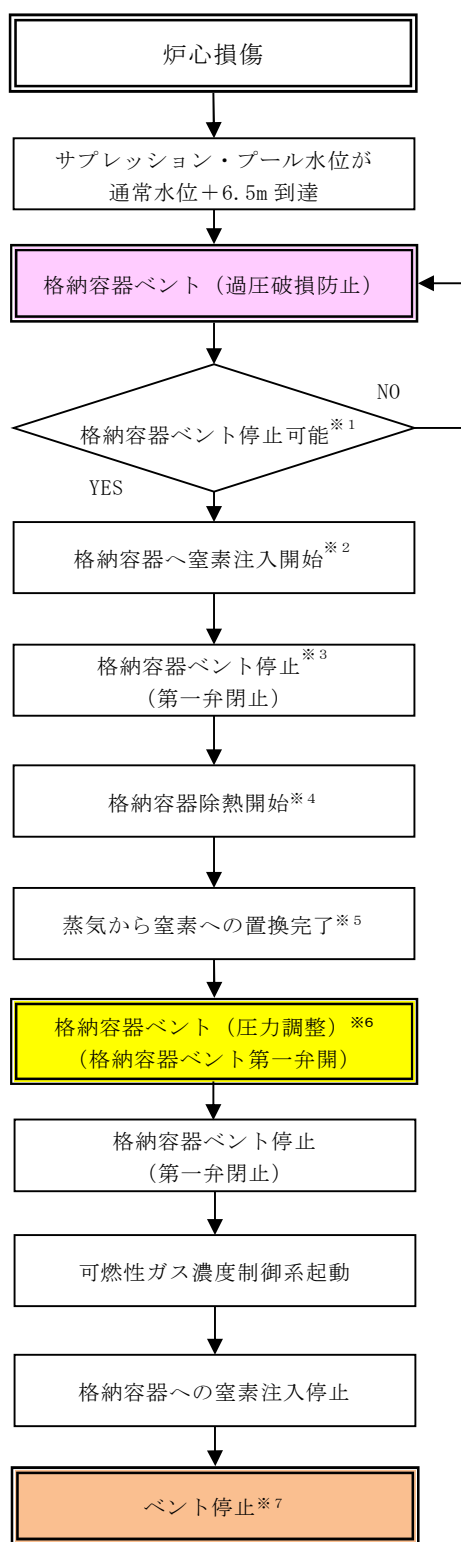
- ・ 残留熱除去系の運転に伴う蒸気凝縮により、格納容器内が負圧になることを防止するため
- ・ 水の放射線分解によって発生する水素及び酸素の濃度が可燃限界濃度に到達することを防止するため

c. 格納容器内の可燃性ガス濃度制御機能（可燃性ガス濃度制御系）

- ・ 水の放射線分解によって発生する水素及び酸素の濃度が可燃限界濃度に到達することを防止するため

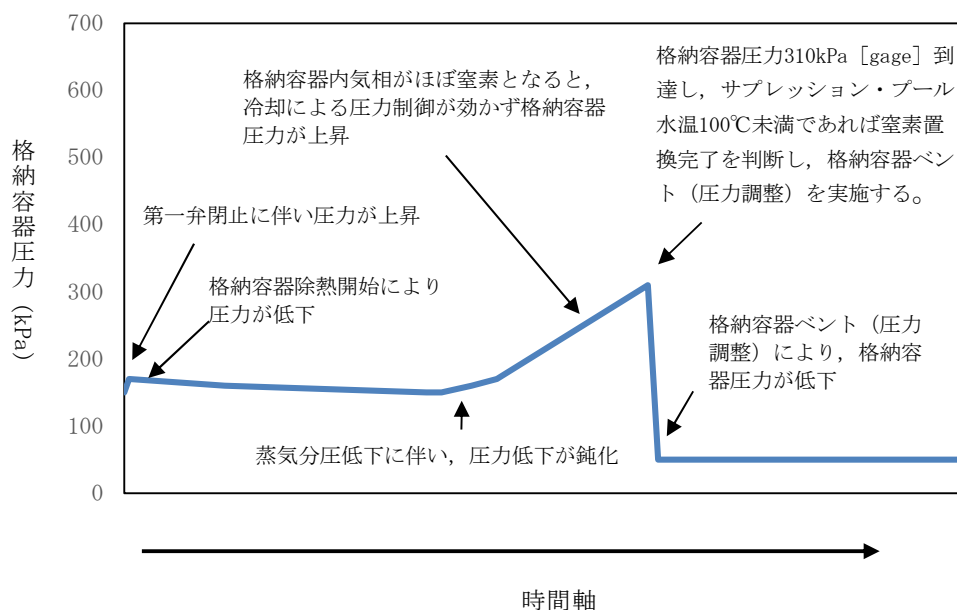
(2) ベント停止手順について

ベント停止フローを第1図に示す。また、第2図に格納容器圧力挙動のイメージ、第3図に格納容器温度挙動のイメージ及び第4図に格納容器内気相挙動のイメージを示す。

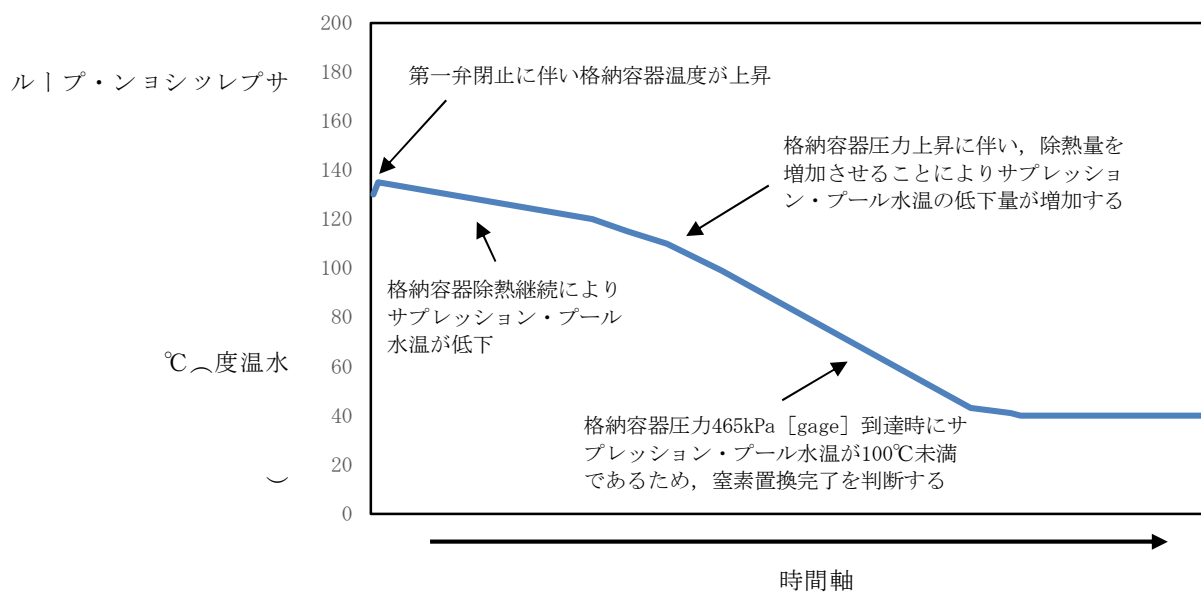


- ※ 1 : 格納容器の除熱機能, 格納容器への窒素供給機能及び可燃性ガス濃度制御機能を使用可能であると判断した場合, 格納容器ベント停止の判断を実施する。
- ※ 2 : 格納容器除熱時に格納容器内が負圧に至ることを防止する観点から, ドライウエル及びサブプレッション・チェンバの両方に窒素を供給する。
- ※ 3 : 第一弁閉後は, 第一弁と第二弁の間に水素が滞留するおそれがあるため, 第一弁の下流から窒素を供給する。このため, 第一弁でベントを停止する (第二弁は開状態を維持する)。
- ※ 4 : ベント弁を閉止後, 残留熱除去系又は代替循環冷却系を起動し, 外部水源による注水を停止する。また, 格納容器内気相はほぼ蒸気であるため, 除熱による蒸気凝縮量が窒素供給量を上回った場合, 格納容器圧力が負圧となる可能性があるため, 格納容器圧力 13.7kPa [gage] - 310kPa [gage] の間となるように熱交換器への通水量を調整することで格納容器圧力が負圧になることを防止しながら窒素置換を実施する。また, 格納容器圧力が 13.7kPa [gage] まで低下した場合には, 負圧を防止するため格納容器除熱を停止し, 外部水源による注水を実施する。負圧防止圧力の設定に当たっては, 格納容器の設計負圧である -13.7 kPa [gage] に対する 2 倍の余裕を考慮して設定とした。
- ※ 5 : サブプレッション・プール水温が 100℃未滿となり, 除熱量を調整しても格納容器圧力が 310kPa [gage] に到達する場合には, 蒸気分圧がほとんど失われ, 窒素によって格納容器圧力が上昇している状況であると判断する。
- ※ 6 : 可燃性ガス濃度制御系を起動可能な圧力まで格納容器圧力を低下させることを目的として, 残留熱除去系又は代替循環冷却系による格納容器除熱及び格納容器への窒素供給を継続しながら第一弁を再度開として, 格納容器内ベント (圧力調整) する。
- ※ 7 : 格納容器の状態は, 窒素置換されていることによって負圧のおそれはなく, 水の放射線分解によって発生する水素及び酸素は可燃性ガス濃度制御系によって処理され, 残留熱除去系又は代替循環冷却系による格納容器除熱が継続されている状態である。

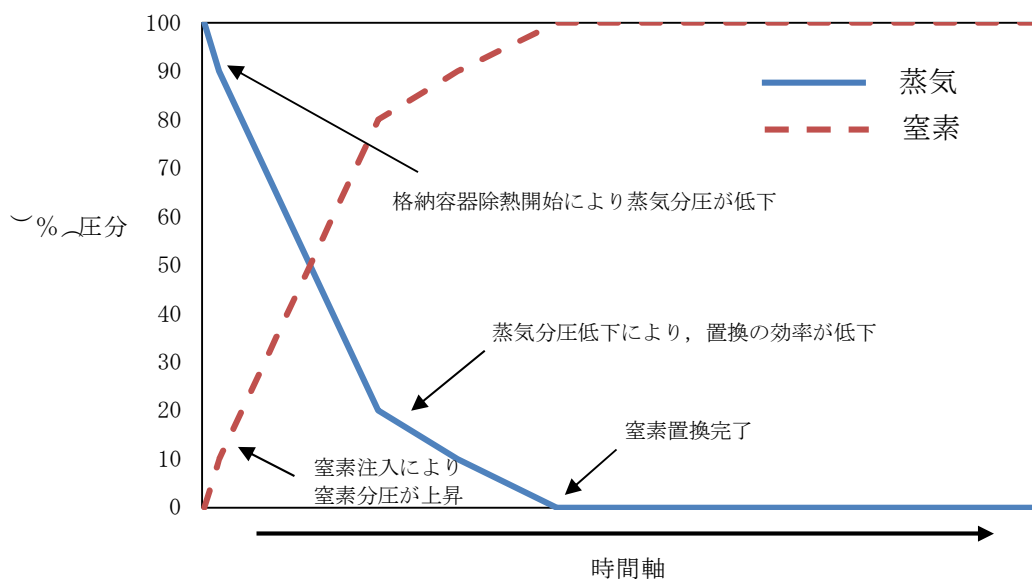
第1図 格納容器ベント停止フロー



第 2 図 格納容器ベント停止後の窒素置換実施時における格納容器圧力挙動イメージ



第 3 図 格納容器ベント停止後の窒素置換実施時における格納容器温度挙動イメージ



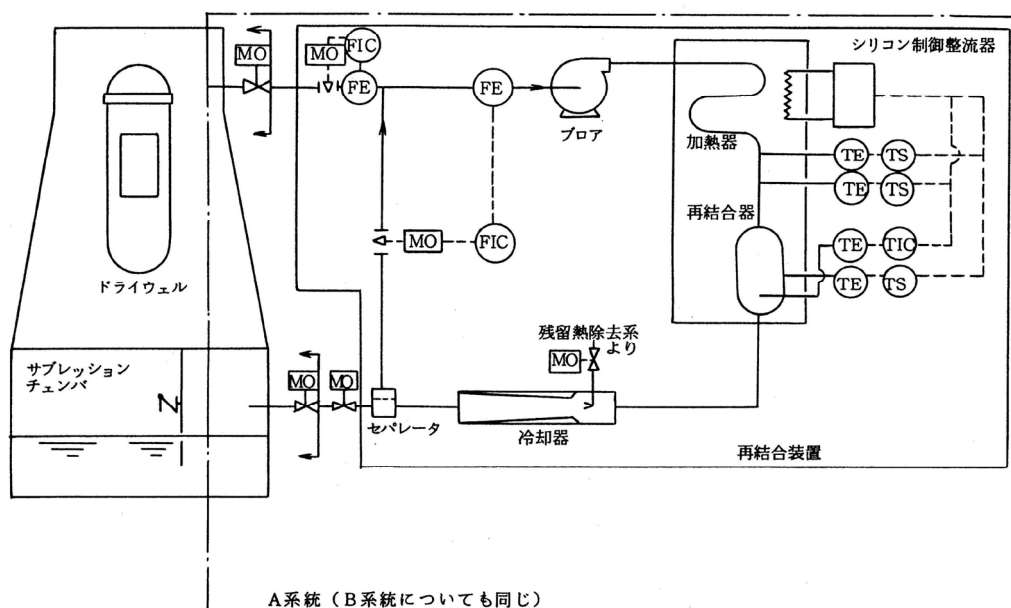
第 4 図 格納容器ベント停止後の窒素置換実施時における
格納容器内気相の挙動イメージ

(3) 可燃性ガス濃度制御系について

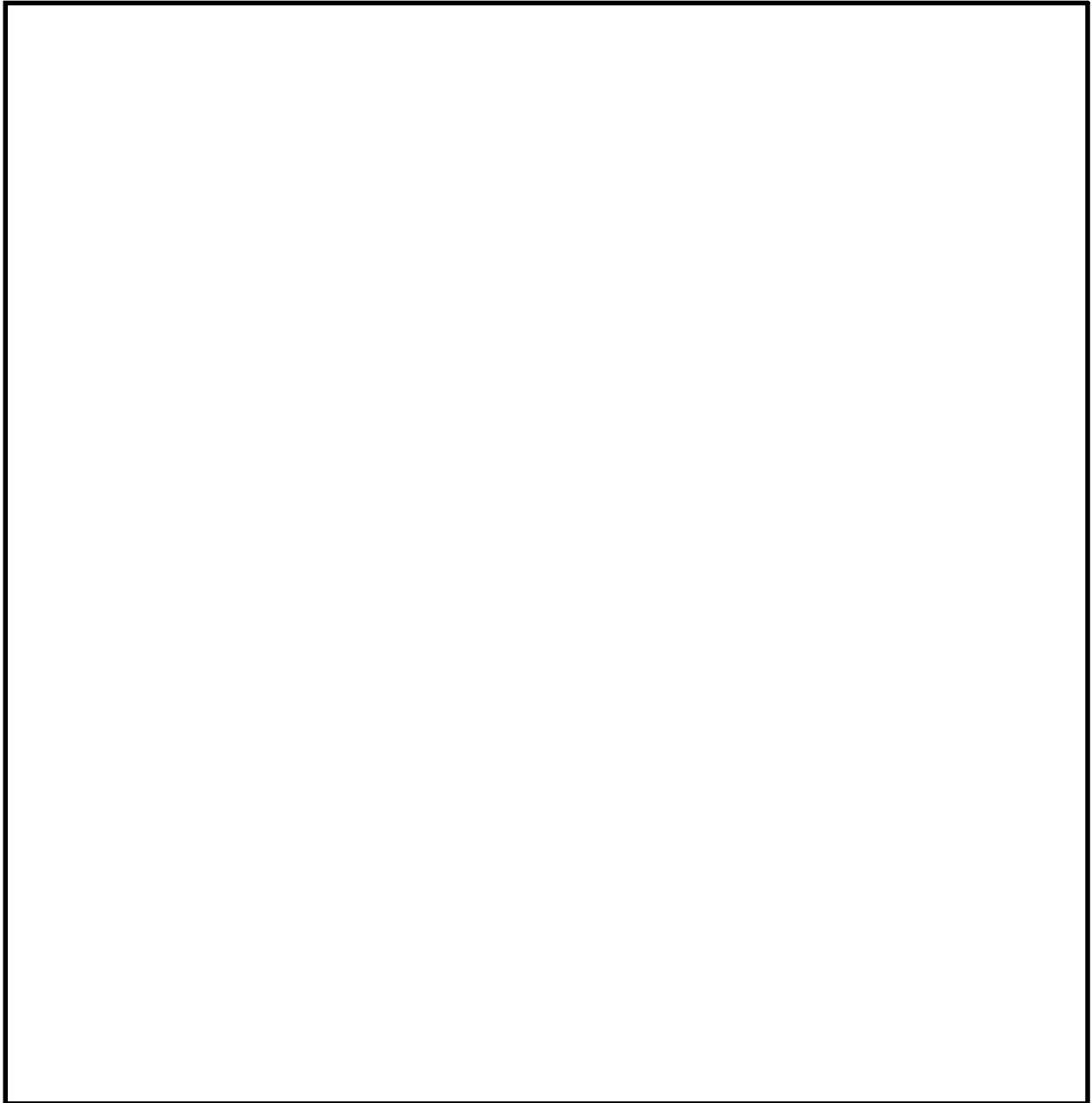
可燃性ガス濃度制御系については，設計基準事故対処設備として位置付けており，重大事故等発生時の格納容器雰囲気における耐性を有さないものである。可燃性ガス濃度制御系の仕様を第 1 表に，系統概略図を第 5 図に，設置場所を第 6 図に示す。

第 1 表 可燃性ガス濃度制御系の主な仕様

項目	設計	備考	
耐震クラス	Sクラス		
入口ガス条件	運転温度	<121℃	運転許可インターロック設定値
	運転圧力	<147kPa	運転許可インターロック設定値
	水素濃度	<4.0vol%	
	酸素濃度	<5.0vol%	
再結合効率	95%	水素濃度 2.0vol%時	



第 5 図 可燃性ガス濃度制御系の系統概略図



第 6 図 可燃性ガス濃度制御系の設置場所

- (4) ベント実施中及びベント停止後の格納容器負圧防止対策について
- a. ベント実施中における格納容器負圧防止対策について

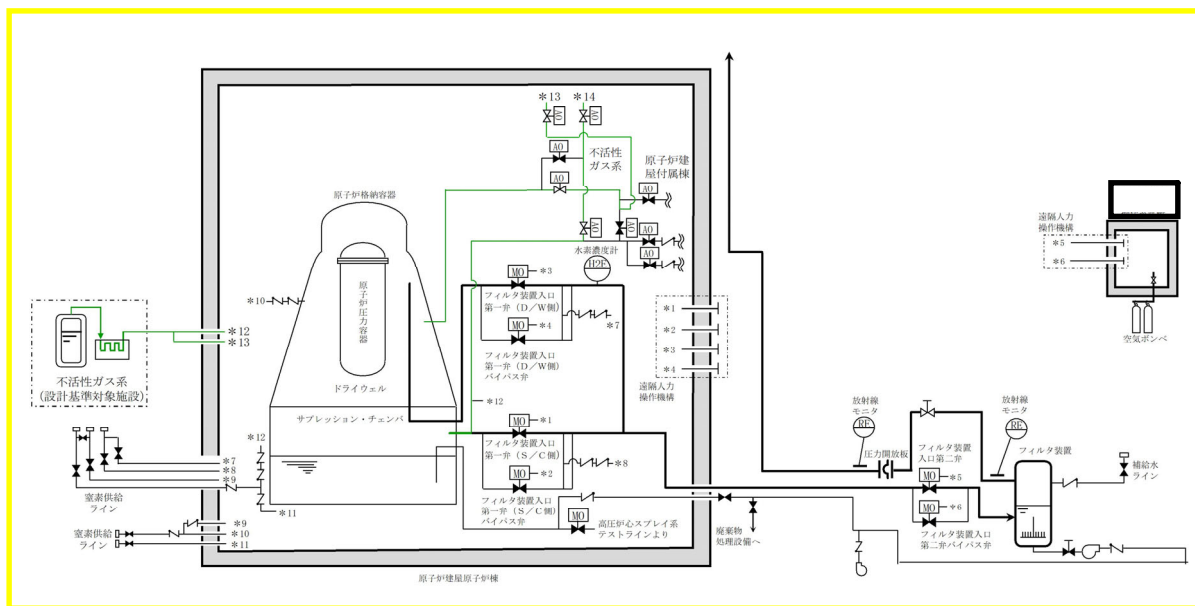
通常運転中は格納容器内に窒素を封入しているが、ベント実施中は窒素を含む格納容器内の非凝縮性ガスが排出され、格納容器内は崩壊熱により発生する蒸気で満たされた状態となる。その状態で代替格納容器スプレイ系（常設）による格納容器スプレイを実施すると、蒸気の凝縮に

より格納容器圧力が負圧になるおそれがあるが、ベント実施前に代替格納容器スプレイ系（常設）を停止する運用としているため、ベント実施中に格納容器圧力が負圧になることはない。

b. ベント停止後における格納容器負圧防止対策について

ベント停止時は、最初に可搬型窒素供給装置により格納容器内に窒素注入を開始し、その後、残留熱除去系又は代替循環冷却系を用いた格納容器除熱を開始する。除熱による蒸気凝縮量が窒素供給量を上回った場合、格納容器圧力が負圧に至る可能性があるため、除熱量（熱交換器のバイパス流量）を調整し格納容器圧力を13.7kPa [gage] – 310kPa [gage] の間でコントロールすることで格納容器圧力を正圧に維持しつつ、格納容器気相部を蒸気雰囲気から窒素雰囲気へ置換する。また、格納容器圧力が13.7kPa [gage] まで低下した場合には、負圧を防止するため格納容器除熱を停止し、外部水源による注水を実施する。格納容器内気相部が窒素雰囲気へ置換された以降は、格納容器が負圧となることはない。

また、窒素供給装置以外の手段として、設計基準対象施設ではあるが、不活性ガス系による格納容器への窒素供給が可能である。格納容器への窒素供給手段の概略図を第7図に示す。



第 7 図 格納容器への窒素供給手段の概略図

格納容器雰囲気温度によるベントの運用について

(1) 格納容器雰囲気温度の監視について

格納容器雰囲気温度計は、ドライウエルに36点、サプレッション・チェンバに4点の計40点を設置しており、各所に分散して配置することにより格納容器全体の雰囲気温度を監視することができる。このうち、重大事故等発生時における監視を確実なものとするため、重大事故等発生時の格納容器内の環境条件においても計測可能な温度計を、ドライウエルに8点、サプレッション・チェンバに2点に分散し、格納容器内の雰囲気温度を一様に計測することとしている。

重大事故等発生時の格納容器内の環境条件においても計測可能な温度計の計測点を第1図に示す。

(2) 局所的な温度上昇について

格納容器雰囲気温度が局所的に大きく上昇する要因としては、原子炉圧力容器が高圧状態で破損する際に熔融炉心が飛散し、格納容器内に熔融炉心が付着することなどが考えられるが、原子炉圧力容器破損前に原子炉圧力容器を減圧することにより、このような状況に至る可能性を低減する。また、原子炉圧力容器が破損した場合には、熔融炉心がペDESTAL部に落下するが、ペDESTAL（ドライウエル部）はドライウエル床面より掘り下げられた構造となっているため、熔融炉心はペDESTAL(ドライウエル部)に保持され、ドライウエル床面に流出することはない。さらに、格納容器スプレイ実施時には格納容器雰囲気が冷却されること及び格納容器への注水等による熔融炉心の冷却に伴い発生する蒸気により格納容器内では自然対流が起きていることを踏まえると、熔融炉心からの輻射熱等により格納容器雰囲気温度が局所的に大きく上昇する可能性は低い。また、格納容器圧力限界圧力を下回る最高使用圧力の2倍（620kPa [gage]）到達までに

ベントを実施することとしているが、620kPa [gage] に対する飽和温度が約 166℃であることを踏まえると、過温破損に至ることはないと考えられる。

なお、格納容器圧力が計測できない場合は、「別紙 19. 格納容器内の圧力が計測できない場合の運用について」に記載のとおり、格納容器雰囲気温度によりベントを判断することとしている。

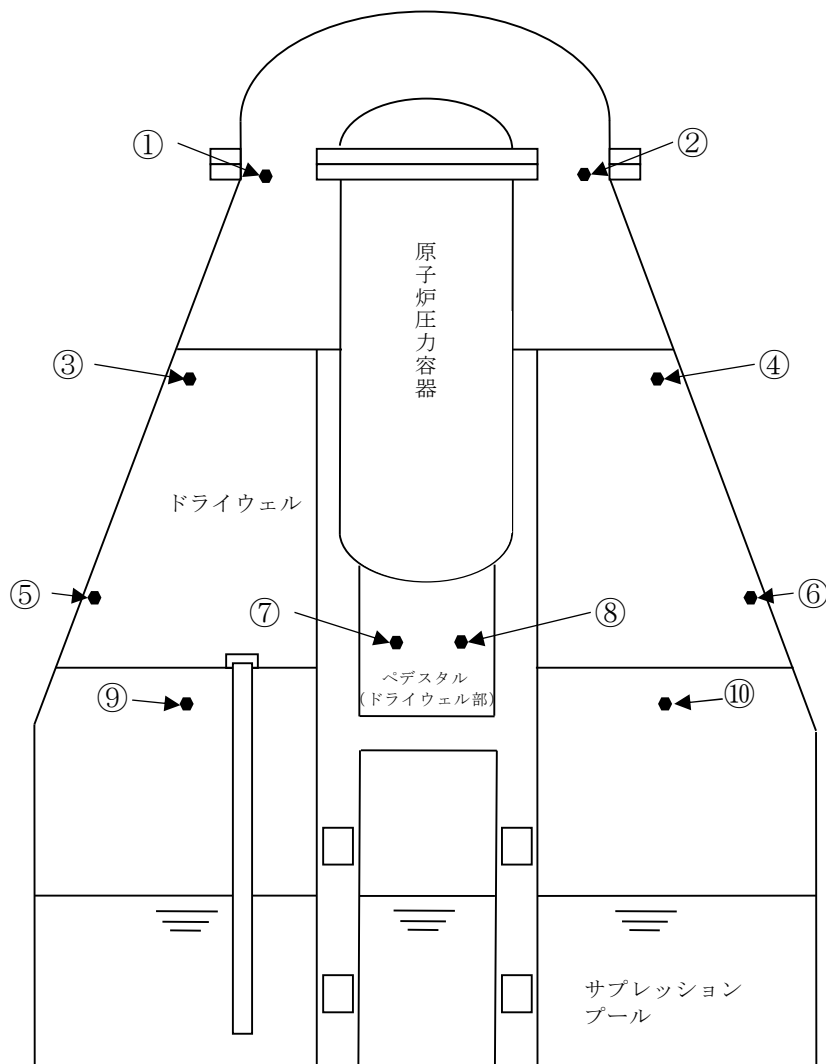
(3) 格納容器破損のおそれがある場合の影響緩和のためのベント実施について

炉心部の燃料、ペDESTAL（ドライウェル部）に落下した燃料デブリ及び格納容器内を冷却するため、格納容器への注水等に期待するが、十分な注水等ができない場合には、格納容器雰囲気が過熱状態になり、格納容器雰囲気温度が格納容器圧力に対する飽和温度以上になるとともに、熔融炉心からの輻射熱等により格納容器雰囲気温度が局所的に大きく上昇し、格納容器が過温破損に至るおそれがある。このように、重大事故等対処設備が健全に機能せず、格納容器の健全性が脅かされる可能性が高い状況では、格納容器圧力逃がし装置からのベントを実施し、フィルタ装置を介した放射性物質の放出経路を形成することで、格納容器の過温破損時に大気へ放出される放射性物質の総量を低減させる運用とする。

ベントの実施は過圧破損防止の観点では有効な手段であるが、格納容器雰囲気の過熱状態による温度上昇に対しては一定の抑制効果はあるものの過温破損そのものを防止できる手段ではない。したがって、格納容器温度上昇に対するベントにおいて、過温破損の観点では可能な限り格納容器内に存在する希ガスの減衰に期待するため、格納容器の限界温度に到達するおそれのある「格納容器温度 200℃以上において温度上昇が継続している場合」をベント実施判断基準として設定した。格納容器温度の上昇継続を

判断基準として設定した理由は、200℃以上にて温度上昇が継続する場合には、格納容器過温破損に至る可能性があり、事前に環境緩和のための格納容器ベントを実施するためである。

なお、格納容器が過温破損するような状況では、格納容器温度が全体的に上昇することが考えられること及び計器故障等による誤ベントを防止する観点から、第1図に示すドライウェルに設置した温度計の指示値のうち2点が200℃以上にて温度上昇が継続する場合において、格納容器圧力逃がし装置からのベントを実施することとする。



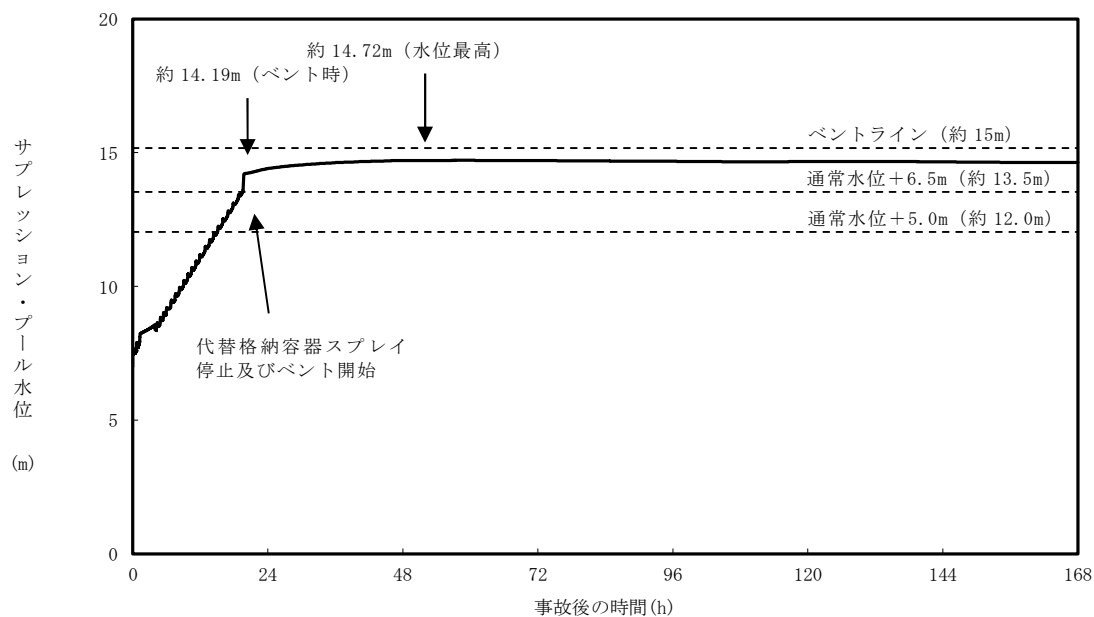
番号	名称	設置場所	測定範囲
①, ②	ドライウエル雰囲気温度 (上部)	フランジ高さ	0℃～300℃
③, ④	ドライウエル雰囲気温度 (中部)	燃料有効長頂部高さ	0℃～300℃
⑤, ⑥	ドライウエル雰囲気温度 (下部)	機器ハッチ高さ	0℃～300℃
⑦, ⑧	ドライウエル雰囲気温度 (ペDESTアル部)	ドライウエル床面高さ	0℃～300℃
⑨, ⑩	サプレッション・チェンバ温度	サプレッション・チェンバ上部	0℃～200℃

第 1 図 格納容器雰囲気温度計の計測点

格納容器減圧に伴うベント管からサブプレッション・チェンバへの冷却水の流入について

代替格納容器スプレイ冷却系（常設）等による代替格納容器スプレイを実施する場合、外部水源の持ち込みによるサブプレッション・プール水位の上昇により、ベントラインが水没するおそれがある。サブプレッション・プールの水位は、ベント時のサブプレッション・チェンバ圧力低下に伴う体積膨張及びベント管からの水の流入によっても上昇するため、これらを考慮してもベント実施後にベントラインが水没しないよう代替格納容器スプレイを停止する必要がある。

原子炉注水した冷却材が破断口からサブプレッション・チェンバに移行し、サブプレッション・プール水位の上昇が最も厳しいシーケンスとなる「雰囲気圧力・温度による静的負荷（格納容器過圧・過温破損）」におけるサブプレッション・プール水位の挙動を第 1 図に示す。格納容器スプレイ停止後、ドライウエル圧力が上昇することでベント管内の冷却材の一部が押し出されサブプレッション・プール水位が上昇する。ベントを開始すると、サブプレッション・チェンバの圧力が低下し、ベント管内に残存する冷却材がサブプレッション・プールに押し出されることでさらに水位が上昇する。その後は、破断口から流出する冷却材の流入等による水位上昇効果と、ベント時の圧力低下やサブプレッション・プール内の核分裂生成物からの崩壊熱によるサブプレッション・プール水の蒸発による水位低下効果のバランスによりサブプレッション・プール水位が変動するが、ベントライン下端まで到達しない。また、ベント実施時の減圧沸騰によるサブプレッション・プールの水位上昇を考慮してもベントライン下端まで到達しない。



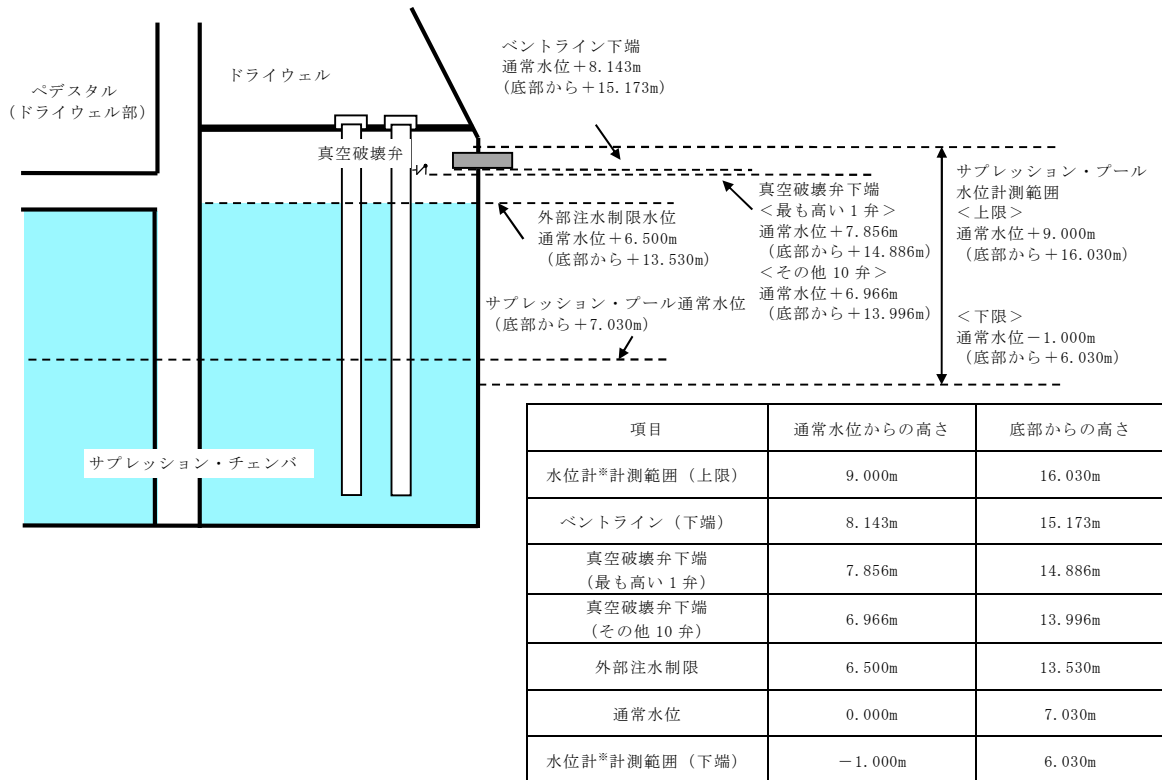
第 1 図 雰囲気圧力・温度による静的負荷（格納容器過圧・過温破損）
におけるサプレッション・プール水位の挙動

格納容器圧力逃がし装置によるサプレッション・チェンバからのベント実施時には、ベント管内に残存する冷却材がサプレッション・チェンバに流入することで、サプレッション・プール水位が最大約 14.72m まで上昇するものの、ベントライン下端高さである約 15.17m に対して余裕がある（第 2 図）。また、ベント管に設置されている真空破壊弁（第 3 図）11 弁のうち 10 弁については、下端高さが約 13.99m であることから、この水位上昇によって機能喪失するおそれがあるが、最も高い位置に設置されている残り 1 弁の真空破壊弁下端高さは約 14.88m であるため、水没しない。なお、真空破壊弁設置の目的はドライウエルの負圧防止であるが、ベント実施時においてはドライウエルが負圧に至る状況にないため、真空破壊弁が水没することに対する影響はないと考えられる。

また、減圧沸騰が発生すると考えられるベント実施時（サプレッション・プール水位：約 14.19m）について、減圧沸騰を考慮した場合の水位を評価した結果、水位上昇幅は約 0.85m となり、サプレッション・プール水位は約 15.04m

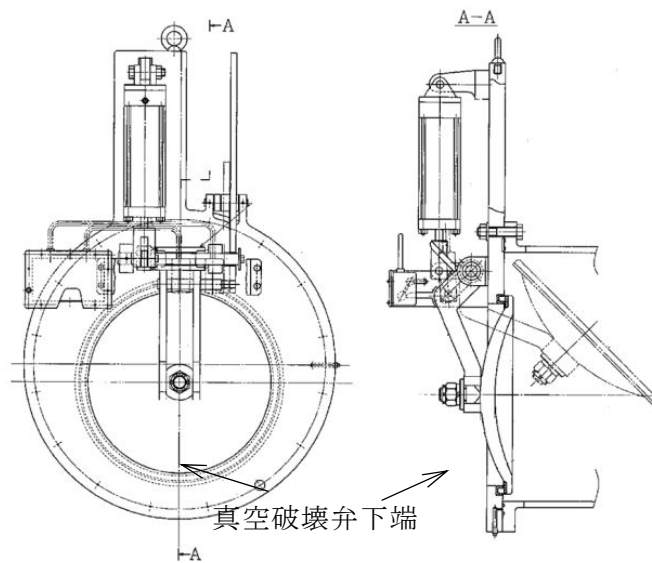
に到達するが、ベントライン下端高さである約 15.17m に対して余裕があるため、減圧沸騰の影響によってベントが妨げられることはない。また、最も高い位置に設置されている真空破壊弁の下端高さが約 14.88m であることから、一時的に最も高い位置に設置されている真空破壊弁の下端以上となるが、減圧沸騰が収束することで再度真空破壊弁は露出する。さらに、真空破壊弁が水没した場合、サプレッション・チェンバの圧力が上昇することが考えられるが、サプレッション・チェンバの圧力が上昇すれば減圧沸騰が抑制され、再度真空破壊弁が露出することとなることから、減圧沸騰によって一時的に最も高い位置に設置されている真空破壊弁が水没することによる影響はほとんどないと考えられる。

なお、以上の減圧沸騰による水位上昇評価は、サプレッション・プールの圧力がサプレッション・チェンバ圧力に等しいと仮定して評価しているが、現実的にはサプレッション・プールの下部には水頭圧がかかることにより、プール全体が減圧沸騰することはないため、水位は約 15.04m より低くなると考えられる。



※重大事故等対処設備として設置するもの

第2図 サプレッション・プール水位に係る位置関係概要図



第3図 真空破壊弁概略図

(1) ベント実施時の減圧沸騰による水位上昇評価

①評価条件

- ・ サプレッション・プール水位 : 約 14.2m
- ・ サプレッション・プール水面表面積 : 約 474m²
- ・ ベント実施直後のサプレッション・チェンバ圧力 : 約 330kPa [gage]
- ・ ベント実施直後のベント流量 : 約 16.0kg/s

②評価方法

減圧沸騰時のボイド率からサプレッション・プール水位の上昇分を求める。サプレッション・プール水中で一様な蒸気発生がある場合の平均ボイド率は、ドリフトフラックスモデルから以下の式 (1) により求める。

$$\alpha = \frac{jg}{Vg + jgCo} \quad \dots \dots \dots (1)$$

ここで、 jg はサプレッション・プール表面での見かけ蒸気速度であり、蒸気流量 (Wg)、サプレッション・プール表面積 (Ap) 及び蒸気密度 (ρg) を用いて、以下の式 (2) により求める。

$$jg = \frac{Wg}{Ap \rho g} \quad \dots \dots \dots (2)$$

また、 Vg はドリフト速度 (局所的な気液管速度差) であり、以下の計算式 (3) により求める。

$$Vg = 1.53 \left(\frac{\sigma \cdot g \cdot (\rho w - \rho g)}{\rho w^2} \right)^{\frac{1}{4}} \quad \dots \dots \dots (3)$$

ここで、

σ : 水の表面張力 (0.049N/m^{**})

g : 重力加速度 (9.81m/s²)

ρw : 水の密度 (920.14kg/m^{3**})

ρg : 蒸気の密度 (2.32kg/m^{3**})

C o : 分布定数 (1.0)

※サプレッション・チェンバ圧力 330kPa [gage] 時における値
として、平均ボイド率 α を求めると約 0.0592 となる。

③評価結果

サプレッション・プール水位は減圧沸騰により約 5.92%体積膨張する。
その結果、ベント時のサプレッション・プール水位約 14.19m に対して、減
圧沸騰により水位は約 0.85m 上昇し、約 15.04m となる。

有効性評価における炉心損傷の判断根拠について

炉心損傷の判断基準は、設計基準事故の状態を有意に超えるとともに、炉心損傷の判断が遅くならないよう、追加放出量の 10 倍に相当する F P が燃料から放出された状態を設定しており、以下の理由から妥当と考えている。

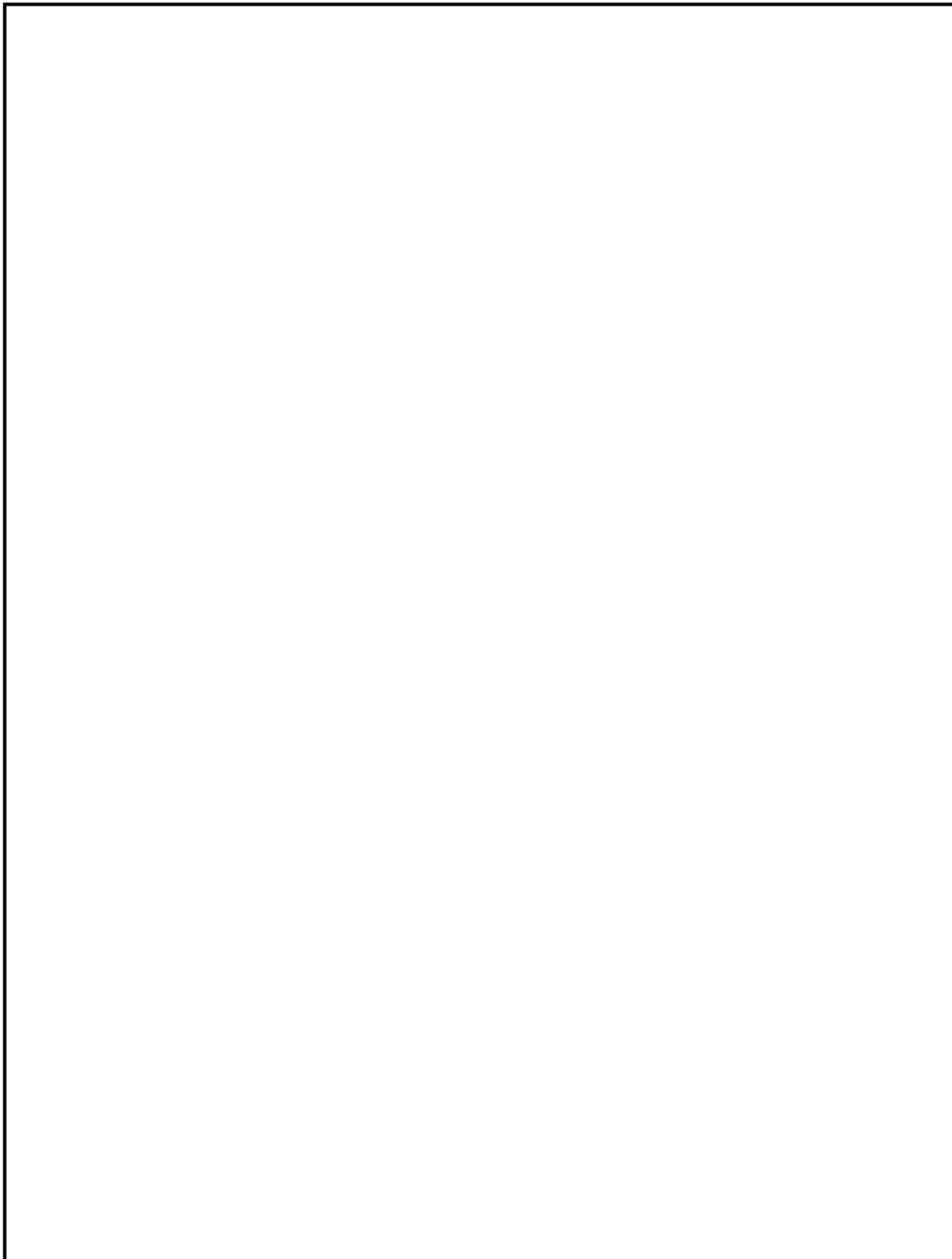
- ① 東海第二発電所では、設計基準事故における原子炉冷却材喪失時の評価では燃料棒の破裂は発生していない。そのため、設計基準事故時の追加放出量を超える放出量を確認した場合には、設計基準事故を超える状態と判断されること。
- ② 炉心冷却が不十分な事象において、格納容器雰囲気モニタのガンマ線線量率が追加放出量の 10 倍に相当する値に至る場合には、その後、ごく短時間で 10 倍に相当する値を大きく上回る線量率に至っていること。また、これは、大量の F P が格納容器内に放出されたことを意味しており、これ以降、格納容器の健全性を確保することが極めて重要となること（第 1 図の線量率の上昇を参考^{※2}）。
- ③ 追加放出量の 10 倍の F P が放出された時点では、有効性評価における評価項目（燃料被覆管最高温度 1,200℃以下、酸化量 15%以下）に至っていない可能性もあるが、上記②のとおり、炉心冷却が不十分な事象において、追加放出量の 10 倍に相当する F P が放出された以降の事象進展は非常に早く、有効性評価において炉心損傷と判断する時間との差異が小さいと考えられること。

なお、「炉心損傷」と判断した場合は、格納容器内に放出される希ガスの影響を考慮し、格納容器スプレイ及びベントの運用を変更することとしている。

（第 1 表）

第 1 表 炉心損傷の有無による格納容器スプレイ及びベント運用

炉心損傷の有無	格納容器スプレイ実施基準	ベント実施基準
炉心損傷がない場合	格納容器圧力 217kPa [gage] ~ 279kPa [gage]	格納容器圧力 310kPa [gage] 到達
炉心損傷を判断した場合	格納容器圧力 400kPa [gage] ~ 465kPa [gage]	サプレッション・プール 通常水位 + 6.5m 到達



第 1 図 炉心損傷判定図

格納容器からの異常漏えい時における対応について

(1) 格納容器からの異常漏えい時における対応方針

事故時に炉心損傷を判断した際は、格納容器の過圧破損の防止又は格納容器内での水素燃焼をするため、サプレッション・プール水位が通常水位+6.5m 到達した場合又は格納容器酸素濃度がドライ条件で4.3vol%に到達した場合は、格納容器圧力逃がし装置におけるベントを実施することとしている。

一方、万が一、ベントを実施する前に、格納容器からの異常な漏えいにより、原子炉建屋原子炉棟（以下「R/B」という。）内に放射性物質が放出されるような状況になれば、大気へ放出される放射性物質の総量を可能な限り防止する対応として、格納容器圧力逃がし装置によるベントを実施することとしている。この対応により、フィルタ装置を介した放射性物質の放出経路を形成することで、大気へ放出される放射性物質の総量を低減し、公衆への影響を緩和する運用とする。

また、異常な漏えい発生時において、格納容器から漏えいする水素により、R/B水素濃度が上昇する場合には、原子炉建屋水素爆発を防止する観点から、格納容器圧力逃がし装置によるベントを実施し、格納容器内の水素を排出することによって水素漏えいを抑制し、水素爆発防止を図る運用とする。

(2) 格納容器の異常漏えい時における運用方法

可搬型モニタリング・ポスト及び原子炉建屋内放射線モニタの指示値が急激な上昇が発生した場合又は原子炉建屋水素濃度計指示値が2.0vol%に到達した場合には、格納容器からの異常な漏えいが発生していると判断し、格納容器圧力逃がし装置によるベントを実施する。

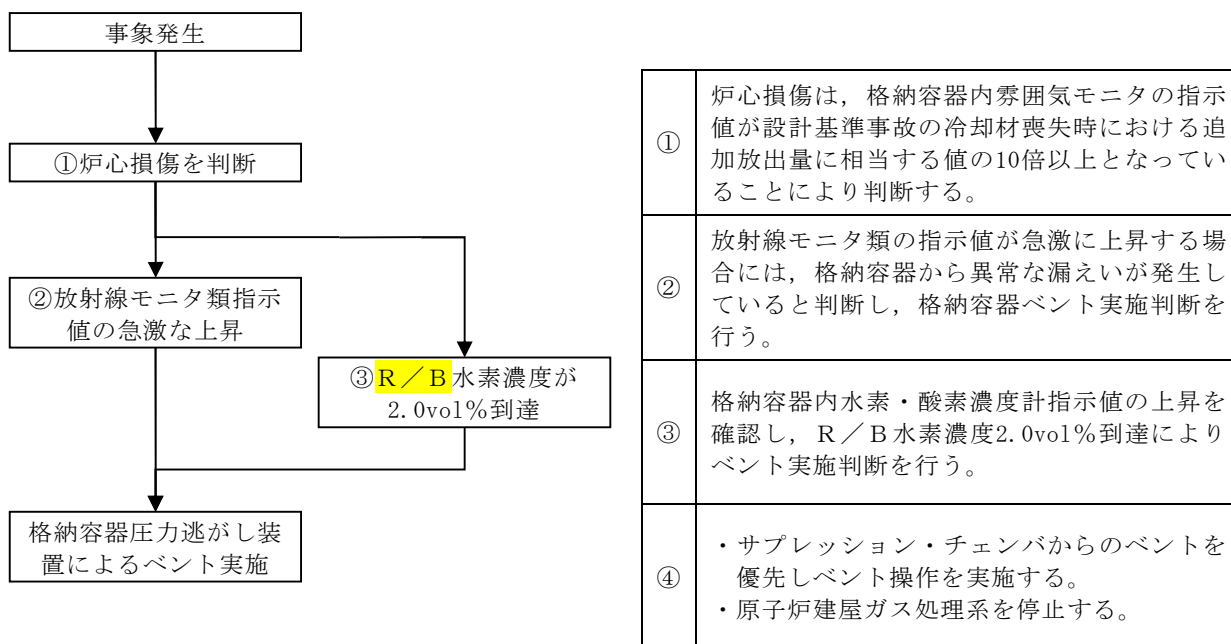
ベントについては、ドライウェル内に存在する粒子状物質のサプレッシ

ョン・プール水でのスクラビングによる捕集効果に期待するため、サプレッション・チェンバ側からのベントを実施する。仮に格納容器からの漏えい発生個所がドライウェル側であっても、サプレッション・チェンバからのベントによりドライウェル圧力を低下させることで、格納容器からの漏えいを抑制することが可能である。

また、原子炉建屋ガス処理系については、当該系統内での水素爆発発生防止の観点から、R/B水素濃度計指示値が2.0vol%に到達した時点で停止する。

(3) ベント実施基準設定の考え方

可搬型モニタリング・ポスト及び原子炉建屋内放射線モニタの指示値が急激に上昇する場合には、格納容器から異常な漏えいが発生していると判断する。また、R/B水素爆発防止の観点からは、PAR動作開始水素濃度(1.5vol%)、R/B水素濃度計の誤差(±0.25vol%)及び評価の不確かさを踏まえ、R/B水素濃度計指示値が2.0vol%に到達した時点でベント実施を判断する。



第1図 格納容器の異常な漏えいによるベント実施フロー

格納容器スプレイが実施できない場合のベント運用について

(1) 格納容器スプレイが実施できない場合における対応について

炉心損傷を判断した場合、格納容器圧力が 465kPa [gage] (1.5Pd) に到達した時点で代替格納容器スプレイを実施することで、格納容器圧力の上昇を抑制し、ベント実施するまでの格納容器内に存在する希ガスの減衰期間を確保することとしている。

ただし、万が一、何らかの要因により格納容器スプレイが実施できない場合には、希ガスの減衰時間が十分に確保されていない場合においても、格納容器破損の緩和のため、ベント操作に移行する。

(2) 格納容器スプレイが実施できない場合のベント判断基準

格納容器スプレイの手段として、重大事故等対処設備である、残留熱除去系、代替格納容器スプレイ系（常設）、代替循環冷却系及び代替格納容器スプレイ系（可搬型）があるが、これら全ての機能喪失を確認した時点でベント実施を判断し、速やかにベント操作を開始するため、第一弁及び第二弁の開操作を実施する。なお、格納容器スプレイの失敗については、系統流量が必要流量以上流れないこと又は必要流量以上流れていた場合においても格納容器の圧力抑制ができない場合に判断する。

ベント準備操作開始タイミングについて

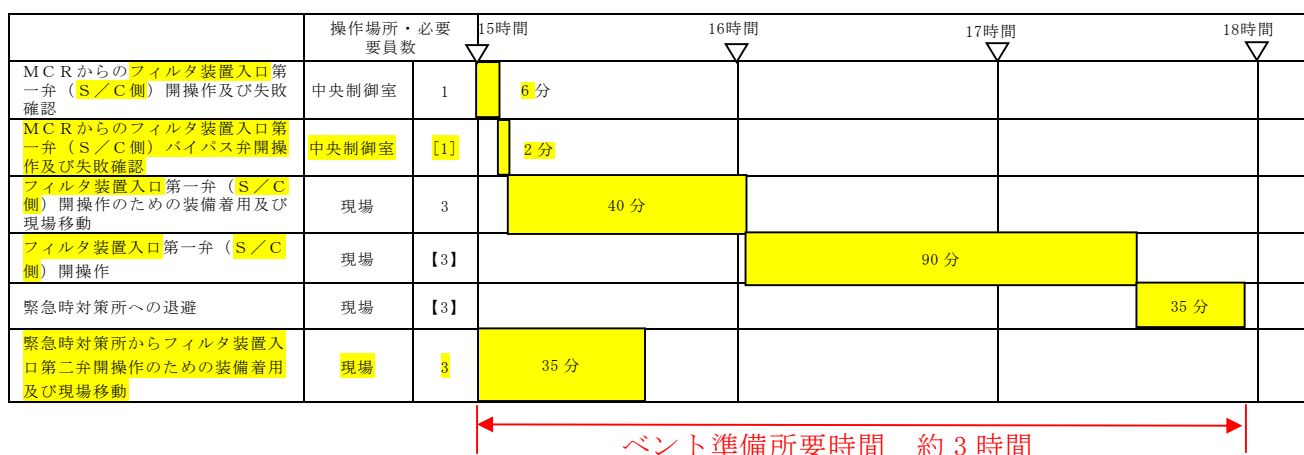
(1) ベント準備操作について

東海第二発電所では、ベント実施時の作業時間短縮を目的として、他系統との隔離確認、ベント実施に必要な隔離弁の健全性確認、第一弁の開操作をベント準備と位置付けて、ベント実施操作判断基準到達までに実施し、その他のベント実施に関連する作業をベント実施操作判断基準到達後に実施することとしている。

ベント準備操作は、サプレッション・プール水位が通常水位+5.0m に到達したことを起点として開始する。これは、仮に第一弁の中央制御室からの遠隔操作失敗を想定しても、ベント実施操作判断基準到達までにベント準備が完了する基準として設定している。

(2) ベント準備操作判断基準の考え方

フィルタ装置入口第一弁の中央制御室からの遠隔操作失敗を想定したタイムチャートを第1図に示す。所要時間は約3時間である。



※D/Wベントの操作時間もS/C側ベントと同様

第1図 ベント準備所要時間タイムチャート

また、ベント準備操作判断基準であるサプレッション・プール水位通常水位+5.0m 近辺の水位から、サプレッション・プール通常水位+6.5m（外部水源による格納容器スプレイ停止基準）までの水量及び到達時間を第 1 表に示す。

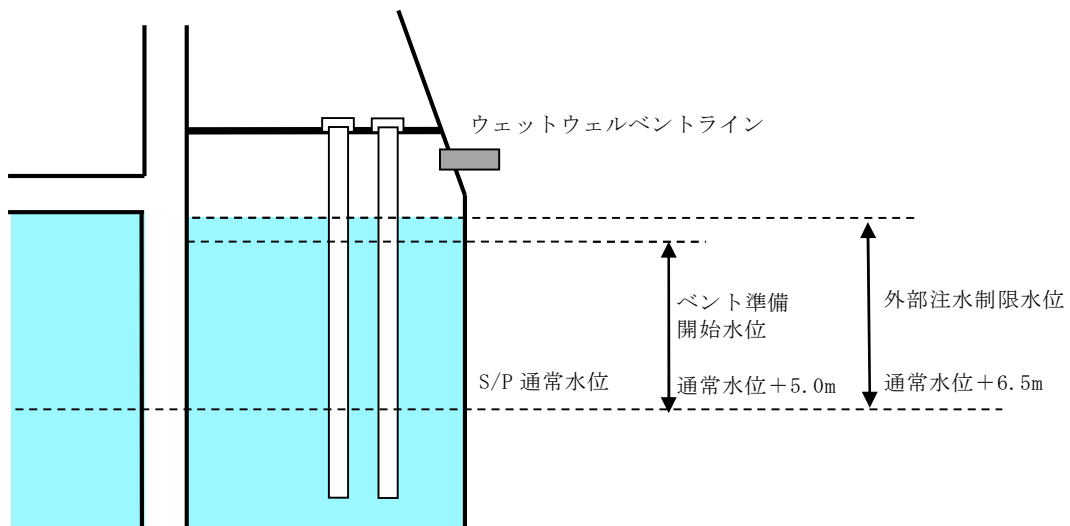
ベント準備操作所要時間が約 3 時間であること及びスプレイ停止基準であるサプレッション・プール通常水位+6.5m 到達時間の関係から、ベント準備操作の開始タイミングとしてはサプレッション・プール通常水位+5.0m 到達を基準とすることが妥当と考える。

サプレッション・プール水位とベント実施に係る操作タイミングを第 2 図に示す。

第 1 表 スプレイ停止基準までの水量

サプレッション・プール水位	サプレッション・プール水位通常水位+6.5m までの水量	サプレッション・プール水位通常水位+6.5m 到達時間 ^{※1}
通常水位+6.0m	約 230m ³	約 1 時間 40 分
通常水位+5.5m	約 450m ³	約 3 時間 20 分
通常水位+5.0m	約 680m ³	約 4 時間 30 分

※1 外部水源を用いた代替格納容器スプレイ流量を 130m³/h で連続して格納容器スプレイした場合。実際には、代替格納容器スプレイは 130m³/h よりも少ない流量でスプレイを実施することとしており、実運用上は表中の到達時間よりも長くなる。



第2図 サプレッション・プール水位と各操作タイミングについて

格納容器圧力逃がし装置の計装設備の網羅性について

格納容器圧力逃がし装置の計装設備については、以下の考えに基づき網羅性を有する設計としている。

- ①格納容器圧力逃がし装置の待機時，運転時，事故収束時の各状態で，系統の要求上確認すべき項目の全てが監視可能であること。
- ②上記の各状態において，管理すべき値を網羅した計測範囲であること。

(1) 確認すべき項目について

格納容器圧力逃がし装置の待機時，運転時，事故収束時の各状態で確認すべき項目を下記 a～e に抽出し，各確認すべき項目に対する計装設備が設置されていることを第 1 表に示す。（「2.4.1 計装設備」の記載内容の一部再掲）

a. 系統待機時の状態

待機時の状態が，以下のとおり把握可能である。

(a) フィルタ装置の性能に影響するパラメータの確認

フィルタ装置水位計にて，スクラビング水の水位が，待機時の設定範囲内 にあることを監視することで，要求される放射性物質の除去性能が発揮できることを確認することで把握できる。

系統待機時における水位の範囲は，ベント時のスクラビング水の水位変動を考慮しても放射性物質の除去性能を維持し，ベント開始後 7 日間は水補給が不要となるよう設定している。（別紙 12）

また，フィルタ装置スクラビング水 pH 計にて，pH がアルカリ性の状態（pH13 以上）であることを監視することで，フィルタ装置の性能維持に影響がないことを確認することで把握できる。（別紙 41）

(b) 系統不活性状態の確認

フィルタ装置排気ライン圧力計及びフィルタ装置圧力計にて、封入した窒素圧力 を継続監視することによって、系統内の不活性状態を確認することで把握できる。

b. 系統運転時の状態

運転時の状態が、以下のとおり把握可能である。

(a) 格納容器内の雰囲気ガスがフィルタ装置へ導かれていることの確認

フィルタ装置圧力計にて、ベント開始により圧力が上昇し、ベント継続により格納容器の圧力に追従して圧力が低下傾向を示すことで、格納容器内の雰囲気ガスがフィルタ装置に導かれていることを確認することで把握できる。

また、フィルタ装置スクラビング水温度計にて、ベント開始によりスクラビング水が待機状態から飽和温度まで上昇することを監視することで、格納容器のガスがフィルタ装置に導かれていることを確認することで把握できる。さらに、フィルタ装置出口放射線モニタが初期値から上昇することを計測することによりガスが通気されていることを把握できる。

(b) フィルタ装置の性能に影響するパラメータの確認

フィルタ装置水位計にて、スクラビング水の水位が、ベント後の下限水位から上限水位の範囲内 にあることを監視することで、要求される放射性物質の除去性能が維持できることを確認することで把握できる。

ベント後における下限水位については、ベンチュリノズルが水没していることを確認するため、上限水位については、金属フィルタの性

能に影響がないことを確認するためにそれぞれ設定する。(別紙 12)

(c) ベントガスが放出されていることの確認

フィルタ装置出口放射線モニタにて、フィルタ装置出口を通過するガスに含まれる放射性物質からの γ 線強度を計測することで、フィルタ装置出口配管よりベントガスが放出されていることを確認することで把握できる。

c. 事故収束時の状態

事故収束時の状態が、以下のとおり把握可能である。

(a) 系統内に水素が滞留していないことの確認

フィルタ装置入口水素濃度計にて、窒素供給による系統パージ停止後において、水素が長期的に系統内に滞留していないことを確認することで把握できる。

(b) フィルタ装置の状態確認

フィルタ装置に異常がないことを確認するため、フィルタ装置水位計にて、スクラビング水の水位が確保されていること(フィルタ装置のスクラビング水の移送後を除く)、フィルタ装置スクラビング水温度計にて温度の異常な上昇がないこと及びフィルタ装置出口放射線モニタの指示値が上昇傾向にないことを確認する。(別紙 39)

d. フィルタ装置の水位調整時の確認

格納容器圧力逃がし装置の待機時、運転時、事故収束時に、フィルタ装置の水位調整を以下のとおり把握可能である。

(a) フィルタ装置の水位調整の確認

フィルタ装置水位計にて、フィルタ装置の排出又は水張りを実施する際に、フィルタ装置の水位を把握できる。

(b) フィルタ装置スクラビング水の水質管理

フィルタ装置水位計にて、フィルタ装置の排出又は水張りを実施する際に、フィルタ装置の水位を把握できるとともに、必要な追加薬液量の把握ができる。

また、フィルタ装置スクラビング水 pH 計にて、フィルタ装置へ薬液を補給する際に、スクラビング水の pH を把握できる。

e. 想定される機能障害の把握

格納容器圧力逃がし装置の運転時に、想定される機能障害を以下のとおり把握可能である。

(a) フィルタ装置の閉塞

- ・フィルタ装置圧力計にて、ベント実施により待機圧力から上昇した圧力が、低下傾向を示さないことを確認することで、フィルタ装置が閉塞していることを把握できる。
- ・フィルタ装置スクラビング水温度計にて、ベント開始により待機状態から温度が上昇することを監視することで、格納容器のガスがフィルタ装置に導かれていることを確認することにより把握できる。
- ・フィルタ装置出口放射線モニタが初期値から上昇しないことを確認することにより把握できる。

(b) 金属フィルタの閉塞

- ・フィルタ装置出口放射線モニタにて、ベント実施により待機状態から上昇した放射線量率が、低下傾向を示さないこと及びフィルタ装

置圧力計が上昇傾向を示すことを確認することで、金属フィルタの閉塞を把握できる。

(c) フィルタ装置入口配管の破断

- ・フィルタ装置圧力計にて、ベント実施により待機圧力から上昇した圧力が低下傾向を示すが、フィルタ装置出口放射線量率が初期値から上昇しないことを確認することにより把握できる。

(d) フィルタ装置スクラビング水の漏えい

- ・フィルタ装置水位計にて、タンクからのスクラビング水漏えいによるフィルタ装置の水位低下を確認することで把握できる。
- ・格納槽漏えい検知器により、に漏えいしたスクラビング水を検知することで把握できる。(別紙 47)

(2) 計測範囲について

格納容器圧力逃がし装置の待機時、運転時、事故収束時の各状態で確認すべき項目について、管理すべき値を網羅した計測範囲であることを第 2 表に示す。

第 1 表 格納容器圧力逃がし装置 計装設備の網羅性について

フィルタ装置の状態	確認すべき項目	計装設備	多重性又は多様性
a. 系統待機時	(a) フィルタ装置の性能に影響するパラメータの確認	① フィルタ装置水位 ② フィルタ装置スクラビング水 pH	①②で多様性あり ①は多重性あり
	(b) 系統不活性状態の確認	① フィルタ装置排気ライン圧力 ② フィルタ装置圧力	①②で多様性あり
b. 系統運転時	(a) 格納容器内の雰囲気ガスがフィルタ装置に導かれていることの確認	① フィルタ装置圧力 ② フィルタ装置スクラビング水温度 ③ フィルタ装置出口放射線モニタ	①②③で多様性あり
	(b) フィルタ装置の性能に影響するパラメータの確認	① フィルタ装置水位	①は多重性あり
	(c) ベントガスが放出されていることの確認	① フィルタ装置出口放射線モニタ ② フィルタ装置圧力	①②で多様性あり
c. 事故収束時	(a) 系統内に水素が滞留していないことの確認	① フィルタ装置入口水素濃度	①は多重性あり
	(b) フィルタ装置の状態確認	① フィルタ装置水位 ② フィルタ装置スクラビング水温度 ③ フィルタ装置出口放射線モニタ	①②③で多様性あり ①は多重性あり
d. フィルタ装置の水位調整時	(a) フィルタ装置の水位調整の確認	① フィルタ装置水位	①は多重性あり
	(b) フィルタ装置スクラビング水の水質管理	① フィルタ装置水位 ② フィルタ装置スクラビング pH	①②で多様性あり ①は多重性あり
e. 想定される機能障害	(a) フィルタ装置の閉塞	① フィルタ装置圧力 ② フィルタ装置スクラビング水温度 ③ フィルタ装置出口放射線モニタ	①②③で多様性あり
	(b) 金属フィルタの閉塞	① フィルタ装置圧力 ② フィルタ装置出口放射線モニタ	①②で多様性あり
	(c) フィルタ装置入口配管の破断	① フィルタ装置圧力 ② フィルタ装置出口放射線モニタ	①②で多様性あり
	(d) フィルタ装置スクラビング水の漏えい	① フィルタ装置水位 ② 格納槽漏えい検知器	①②で多様性あり ①は多重性あり

第2表 格納容器圧力逃がし装置 計装設備の計測範囲の網羅性について

監視パラメータ※1	計測範囲	計測範囲の根拠
①フィルタ装置水位	180mm～5,500mm	系統待機時における水位の範囲 [] 及び系統運転時の下限水位から上限水位の範囲 [] を計測可能な範囲とする。
②フィルタ装置圧力	0～1MPa [gage]	系統運転時に、格納容器圧力逃がし装置の最高圧力 (0.62MPa [gage]) が監視可能。また、系統待機時に、窒素置換 [] が維持されていることを計測可能な範囲とする。
③フィルタ装置スクラビング水温度	0℃～300℃	系統の最高使用温度 (200℃) を計測可能な範囲とする。
④フィルタ装置排気ライン圧力	0～100kPa [gage]	系統待機時に、窒素置換 [] が維持されていることを計測可能な範囲とする。
⑤フィルタ装置出口放射線モニタ (高レンジ・低レンジ)	10 ⁻² Sv/h～10 ⁵ Sv/h	系統運転時 (炉心損傷している場合) に、想定されるフィルタ装置出口の最大線量当量率 (約 5×10 ¹ Sv/h) を計測可能な範囲とする。
	10 ⁻³ mSv/h～10 ⁴ mSv/h	系統運転時 (炉心損傷していない場合) に、想定されるフィルタ装置出口の最大線量当量率 (約 7×10 ⁰ mSv/h) を計測可能な範囲とする。
⑥フィルタ装置入口水素濃度	0～100vol%	事故収束時に、窒素供給による系統パージ停止後において、フィルタ装置の配管内に滞留する水素濃度が可燃限界濃度 (4vol%) 以下であることを計測可能な範囲とする。
⑦フィルタ装置スクラビング水 pH	pH0～14	系統待機時に、フィルタ装置スクラビング水の pH (pH0～pH14) を計測可能な範囲とする。

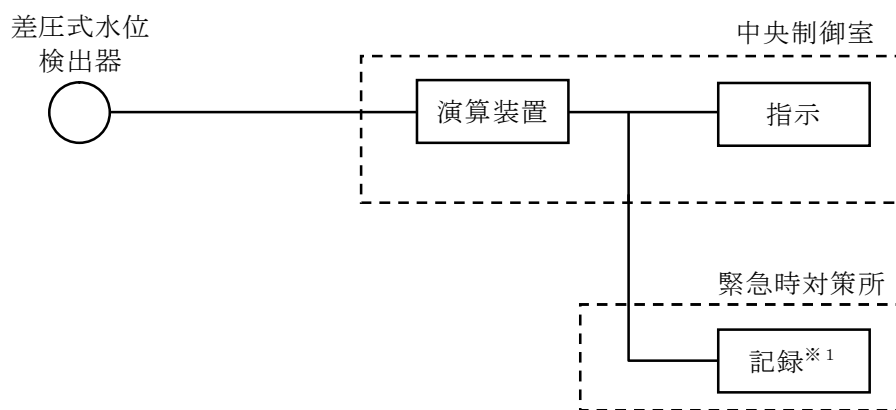
※1 監視パラメータの数字は第2.4.1-2図の○数字に対応する。

格納容器圧力逃がし装置の計装設備の概略構成図

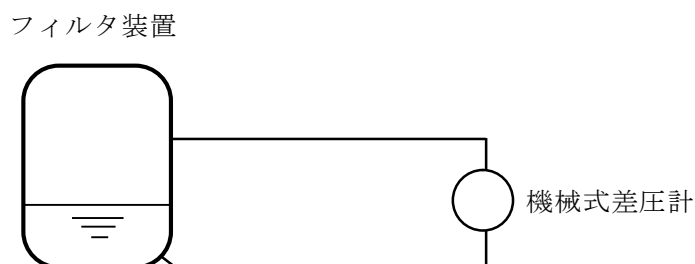
格納容器圧力逃がし装置の計装設備について記載する。

(1) フィルタ装置水位

フィルタ装置水位は、重大事故等対処設備の機能を有しており、フィルタ装置水位の検出信号は、差圧式水位検出器にて差圧を検出し、演算装置にて電気信号へ変換する処理を行った後、フィルタ装置水位を中央制御室に指示し、記録する。また、機械式差圧計（自主対策設備）を用いて現場 内)にて監視可能な設計としている。（第1図「フィルタ装置水位の概略構成図」参照。）



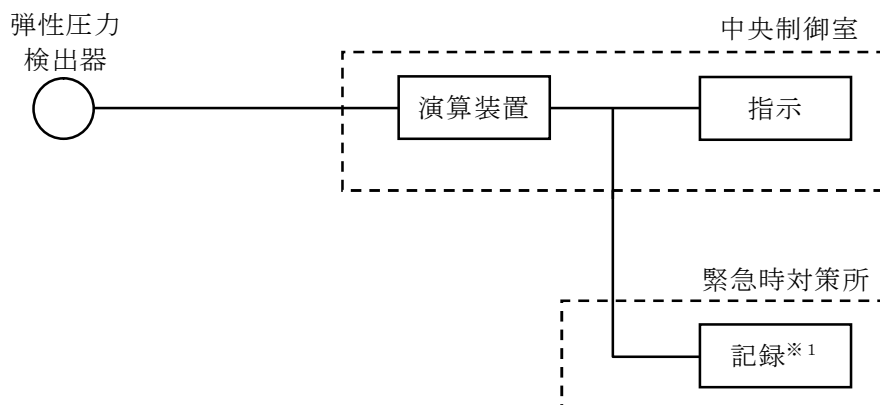
※1 緊急時対策支援システム伝送装置



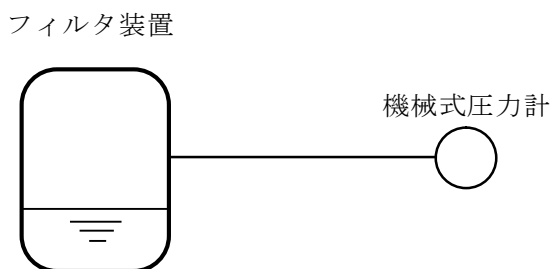
第1図 フィルタ装置水位の概略構成図

(2) フィルタ装置圧力

フィルタ装置圧力は、重大事故等対処設備の機能を有しており、フィルタ装置圧力の検出信号は、弾性圧力検出器にて圧力を検出し、演算装置にて電気信号へ変換する処理を行った後、フィルタ装置圧力を中央制御室に指示し、記録する。また、機械式圧力計（自主対策設備）を用いて現場（ 内）にて監視可能な設計としている。（第 2 図「フィルタ装置圧力の概略構成図」参照。）



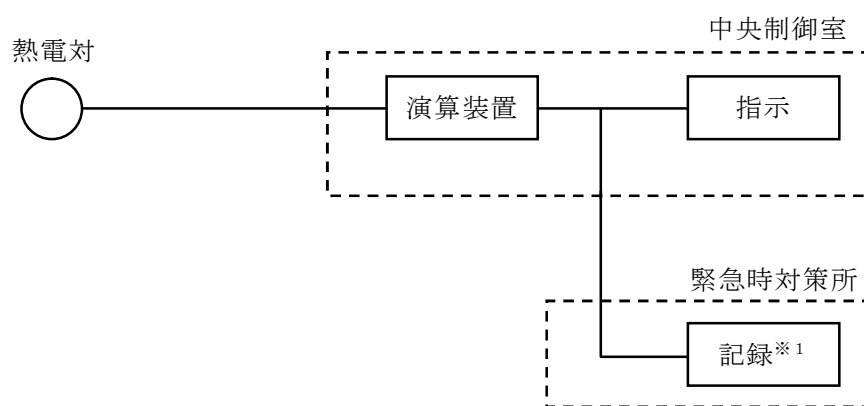
※1 緊急時対策支援システム伝送装置



第 2 図 フィルタ装置圧力の概略構成図

(3) フィルタ装置スクラビング水温度

フィルタ装置スクラビング水温度は、重大事故等対処設備の機能を有しており、フィルタ装置スクラビング水温度の検出信号は、熱電対にて温度を電気信号に変換した後、フィルタ装置スクラビング水温度を中央制御室に指示し、記録する。（第3図「フィルタ装置スクラビング水温度の概略構成図」参照。）

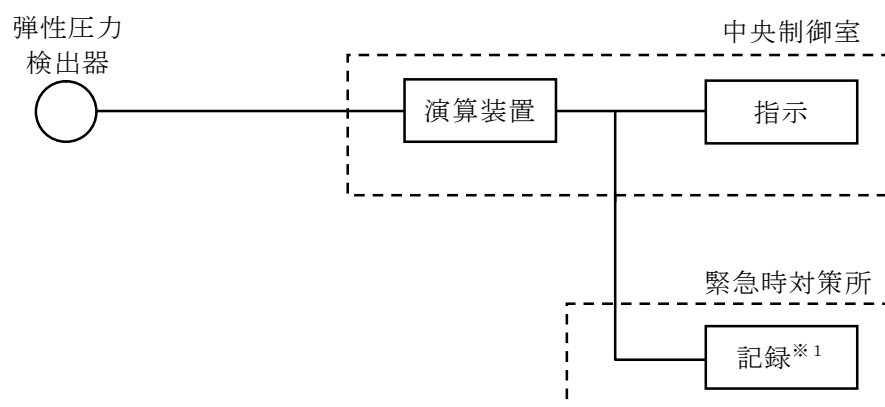


※1 緊急時対策支援システム伝送装置

第3図 フィルタ装置スクラビング水温度の概略構成図

(4) フィルタ装置排気ライン圧力

フィルタ装置排気ライン圧力（自主対策設備）の検出信号は，弾性圧力検出器にて圧力を検出し，演算装置にて電気信号へ変換する処理を行った後，フィルタ装置排気ライン圧力を中央制御室に指示し，記録する。（第4図「フィルタ装置排気ライン圧力の概略構成図」参照。）

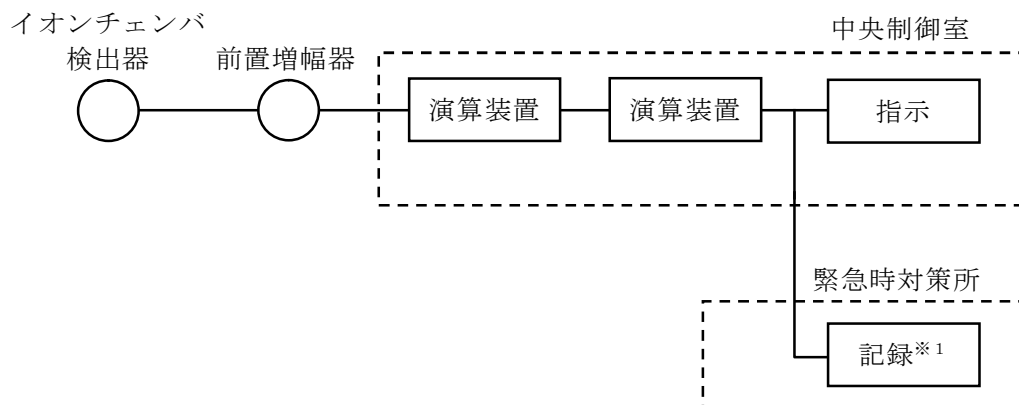


※1 緊急時対策支援システム伝送装置

第4図 フィルタ装置排気ライン圧力の概略構成図

(5) フィルタ装置出口放射線モニタ（高レンジ・低レンジ）

フィルタ装置出口放射線モニタ（高レンジ・低レンジ）は、重大事故等対処設備の機能を有しており、フィルタ装置出口放射線モニタ（高レンジ・低レンジ）の検出信号は、イオンチェンバ検出器にて線量当量率を電気信号に変換した後、前置増幅器で電気信号を増幅し、演算装置にて線量当量率信号に変更する処理を行った後、線量当量率を中央制御室に指示し、記録する。（第 5 図「フィルタ装置出口放射線モニタ（高レンジ・低レンジ）の概略構成図」参照。）

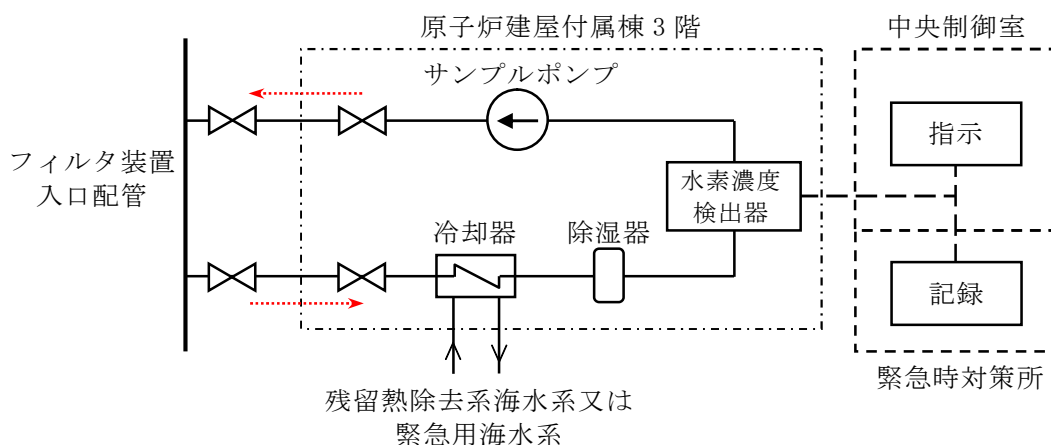


※1 緊急時対策支援システム伝送装置

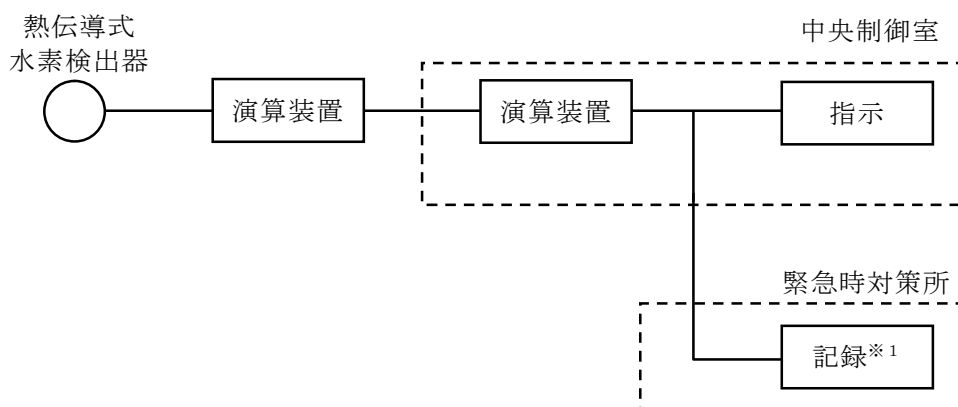
第 5 図 フィルタ装置出口放射線モニタ（高レンジ・低レンジ）
の概略構成図

(6) フィルタ装置入口水素濃度

フィルタ装置入口水素濃度は、重大事故等対処設備の機能を有しており、フィルタ装置入口水素濃度の検出信号は、熱伝導式水素検出器にて水素濃度を検出し、演算装置にて電気信号へ変換する処理を行った後、フィルタ装置入口水素濃度を中央制御室に指示し、記録する。(第6図「フィルタ装置入口水素濃度 システム概要図」及び第7図「フィルタ装置入口水素濃度の概略構成図」参照。)



第6図 フィルタ装置入口水素濃度 システム概要図

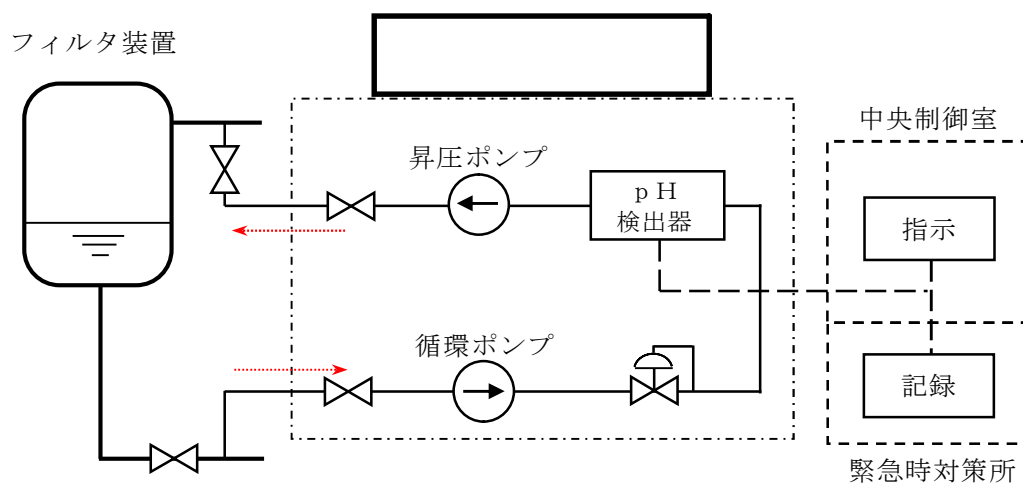


※1 緊急時対策支援システム伝送装置

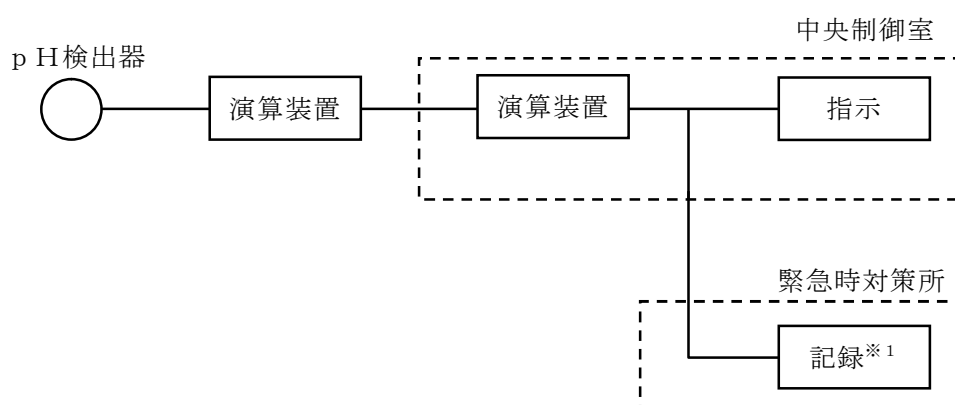
第7図 フィルタ装置入口水素濃度の概略構成図

(7) フィルタ装置スクラビング水 pH

フィルタ装置スクラビング水 pH（自主対策設備）の検出信号は、pH 検出器にて pH を検出し、演算装置にて電気信号へ変換する処理を行った後、フィルタ装置スクラビング水 pH を中央制御室に指示し、記録する。（第 8 図「フィルタ装置スクラビング水 pH システム概要図」及び第 9 図「フィルタ装置スクラビング水 pH の概略構成図」参照。）



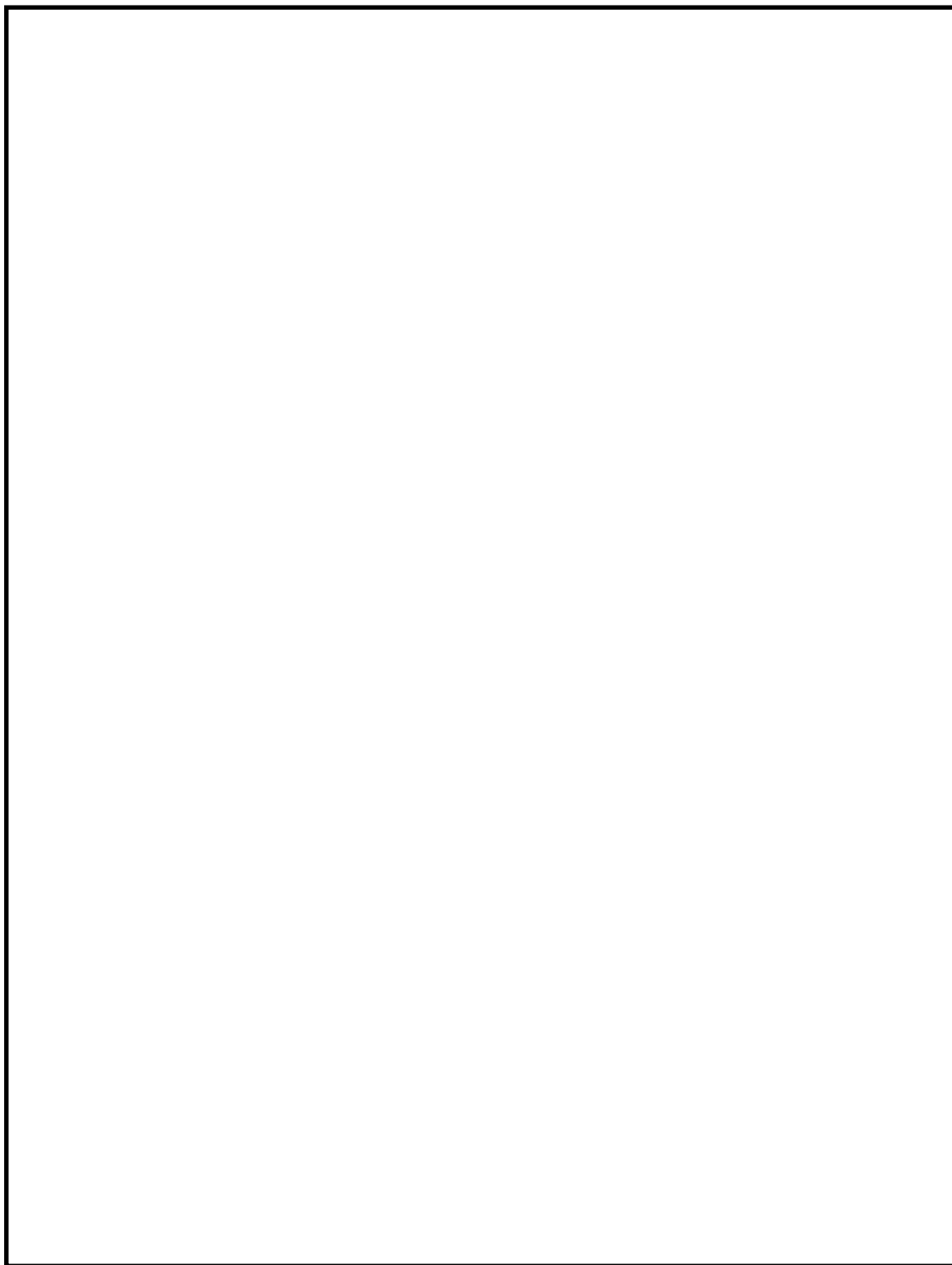
第 8 図 フィルタ装置スクラビング水 pH システム概要図



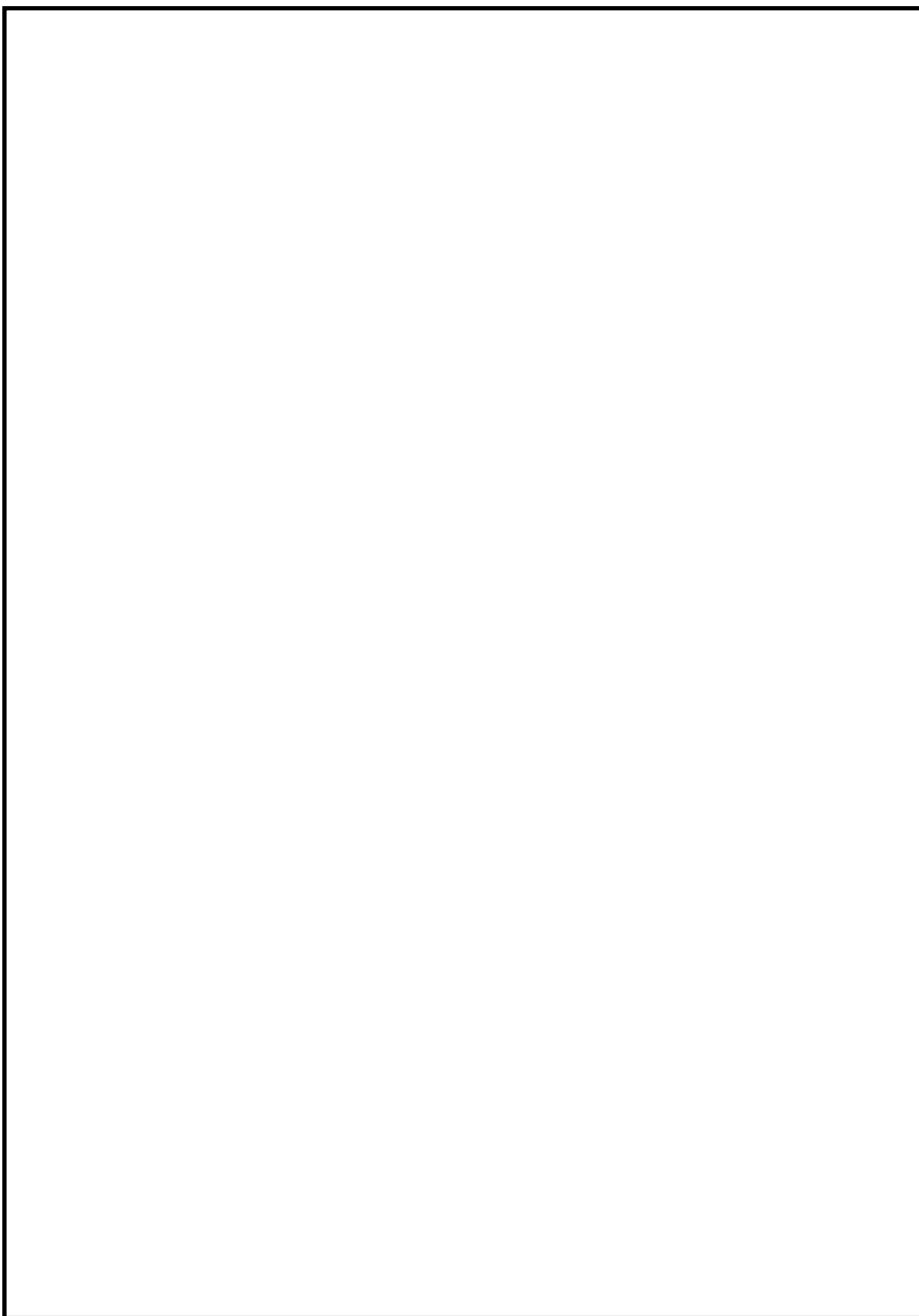
※1 緊急時対策支援システム伝送装置

第 9 図 フィルタ装置スクラビング水 pH の概略構成図

参考 格納容器圧力逃がし装置 計装設備の機器配置図



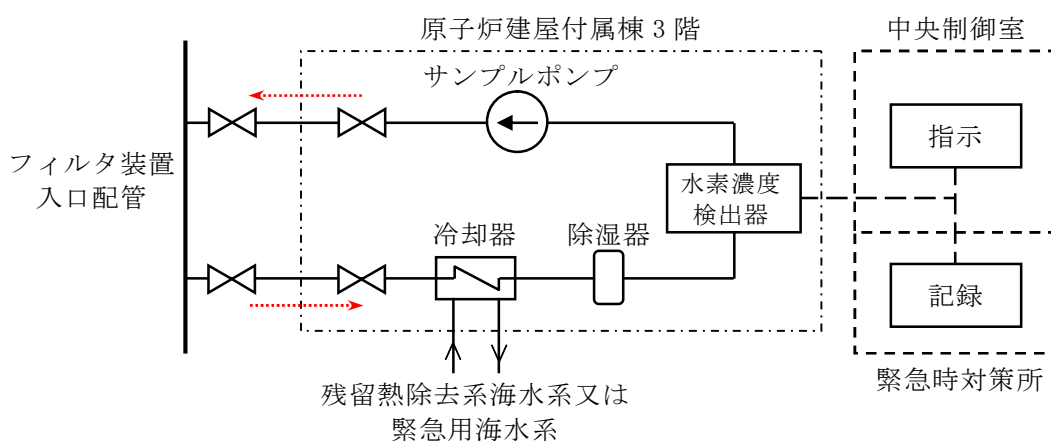
第 10 図 機器配置図（原子炉建屋付属棟 3 階）



第 11 図 機器配置図（その他の建屋，屋外）

フィルタ装置入口水素濃度計の計測時間遅れについて

フィルタ装置入口水素濃度は、格納容器圧力逃がし装置の使用後に配管内に水素が残留していないことにより不活性状態が維持されていることを把握するため、フィルタ装置入口配管内のガスをサンプルポンプで引き込み、除湿器で水分が除去されて、水素濃度検出器にて測定されるようにしている。水素計測後のサンプルガスは格納容器圧力逃がし装置の配管に戻す構成としている。水素濃度検出器により計測した電気信号は演算装置で水素濃度信号に変換し、中央制御室に指示し、記録する。



第1図 フィルタ装置入口水素濃度 システム概要図

なお、フィルタ装置入口配管内のガスのサンプリング点は、フィルタ装置入口配管の頂部であり、そこから水素濃度検出器までの時間遅れは以下のとおりである。

- ・サンプリング配管長（サンプリング点～水素濃度検出器）：約99m
- ・サンプリング配管の断面積：359.7mm² ($3.597 \times 10^{-4} \text{ m}^2$)
- ・サンプルポンプの定格流量：約1L/min (約 $1 \times 10^{-3} \text{ m}^3/\text{min}$)
- ・サンプルガス流速（流量÷配管断面積）：約2.8m/min

なお、ガスは標準状態（0°C，101.325kPa [abs]）として算出。

第1表 フィルタ装置入口水素濃度の時間遅れ

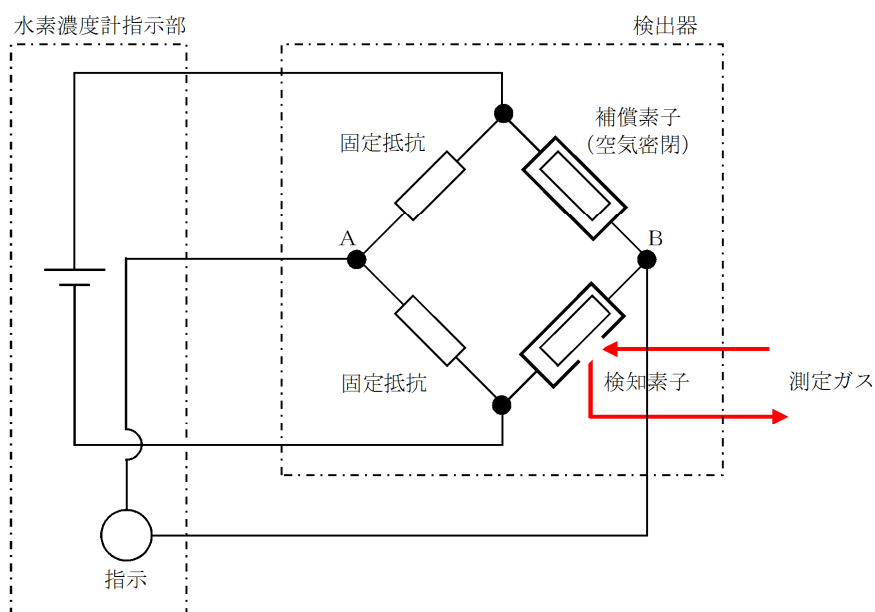
時間遅れ	約36分
------	------

<参考>

a. 水素濃度計の測定原理

水素濃度検出器は、熱伝導式を用いる計画であり、第2図に示すとおり、検知素子と補償素子（サーミスタ）及び2つの固定抵抗でブリッジ回路が構成されている。検知素子の部分に、サンプリングされたガスが流れるようになっており、補償素子には基準となる標準空気が密閉されており測定対象ガスとは接触しない構造になっている。

水素濃度指示計部より電圧を印加して検知素子と補償素子の両方のサーミスタを約120℃に加熱した状態で、検知素子側に水素を含む測定ガスを流すと、測定ガスが熱を奪い、検知素子の温度が低下することにより抵抗が低下する。この検知素子の抵抗が低下するとブリッジ回路の平衡が失われ、第2図のA B間に電位差が生じる。この電位差が水素濃度に比例する原理を用いて、水素濃度を測定する。



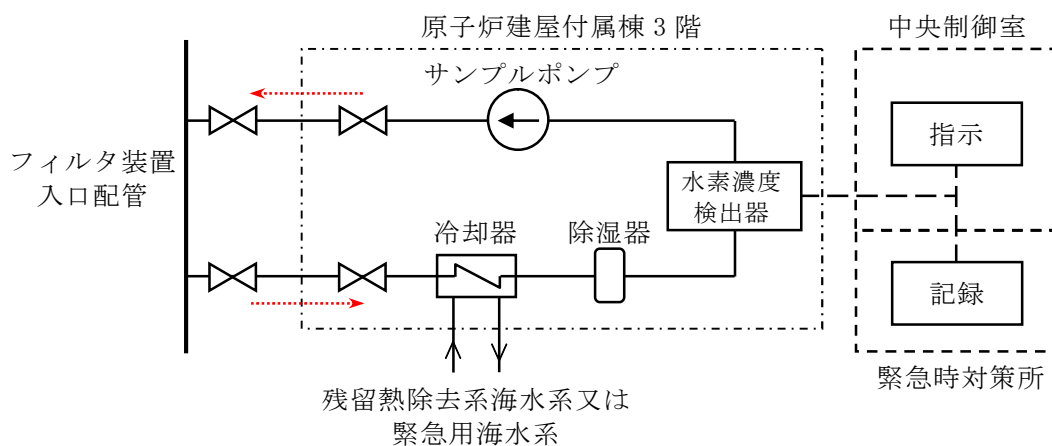
第2図 水素濃度計検出回路の概要図

b. 水素濃度の測定

水素濃度検出器は「a.」で示したとおり標準空気に対する測定ガスの熱伝導の差を検出する方式のものであり、酸素、窒素などの空気中のガスに対し、水素の熱伝導率の差が大きいことを利用しているものである。水素の熱伝導率は、約 $0.18\text{W}/(\text{m}\cdot\text{K})$ at 27°C である一方、酸素、窒素は、約 $0.02\text{W}/(\text{m}\cdot\text{K})$ at 27°C と水素より1桁小さく、これらのガス成分の変動があっても水素濃度計測に対する大きな誤差にはならない。

c. 水素濃度測定システムの構成

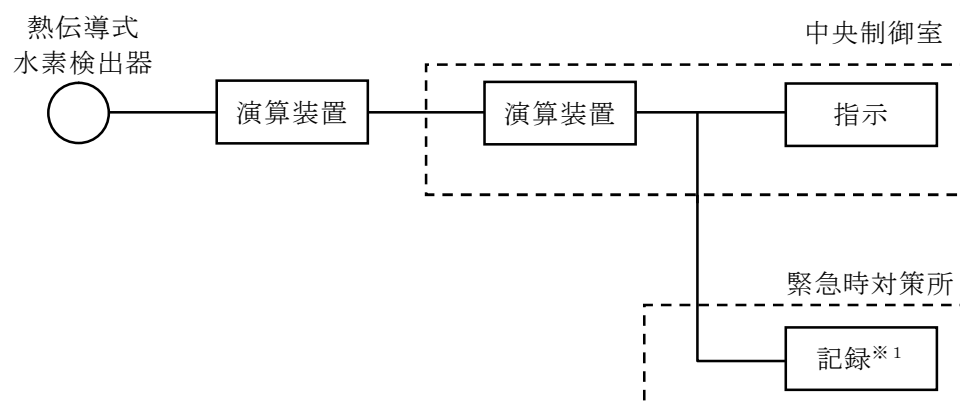
フィルタ装置入口配管内のガスをサンプルポンプで引き込み、除湿器で水分が除去されて、ほぼドライ状態で水素濃度検出器にて測定されるようにしている。



第3図 フィルタ装置入口水素濃度 システム概要図

d. 水素濃度計の仕様

種 類	熱伝導式水素濃度検出器
計測範囲	0～100vol%
個 数	2
設置場所	原子炉建屋付属棟 3 階（二次格納施設外）



※1 緊急時対策支援システム伝送装置

第 4 図 フィルタ装置入口水素濃度の概略構成図

水素濃度計の計測範囲0～100vol%において、計器仕様は最大±2.5%の誤差を、計測範囲0～20vol%に切り替えた場合は±0.5%の誤差を生じる可能性があるが、この誤差があることを理解した上で、フィルタ装置使用後の配管内の水素濃度の推移、傾向（トレンド）を監視していくことができる。

配管内面に付着した放射性物質による発熱の影響について

ベントフィルタ上流の配管内面には放射性物質（エアロゾル）が付着することが想定されることから、その放射性物質の崩壊熱による温度上昇が配管の構造健全性に与える影響について検討した。

検討対象とする状態は、ベントガスの流れによる配管の冷却が期待できるケースとベントガスの流れのないケースを想定した。

【ケース1】

ベント中を想定し、配管内に高温の蒸気が流れ、なおかつ配管内面に付着した放射性物質からの発熱が加わった状態。

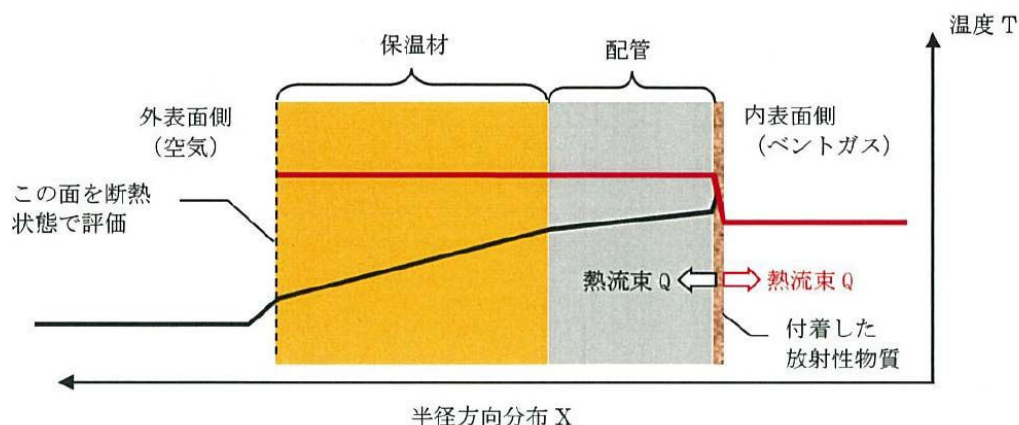
【ケース2】

ベント停止後を想定し、配管内面に放射性物質が付着した後で配管内ベントガス流れがないため、放射性物質からの発生熱がこもる状態。

まず、【ケース1】として、第1図に示すような配管の半径方向の温度分布を考慮して評価を行った。配管内には高温のベントガス流れが存在し、配管内面には放射性物質が付着して崩壊熱による発熱を行っている。この場合、放射性物質の崩壊熱による熱量は配管内面・外面双方に放熱され、配管板厚方向に熱勾配ができるが、本評価では保守的に配管外面は断熱されているものとした。

【ケース1】の温度評価条件を第1表に示す。

なお、ベントガス温度については、第2図に示すとおりベント開始後、格納容器圧力及び雰囲気温度が低下し、その後熔融炉心からの放熱によって格納容器雰囲気温度が170℃以下となる。

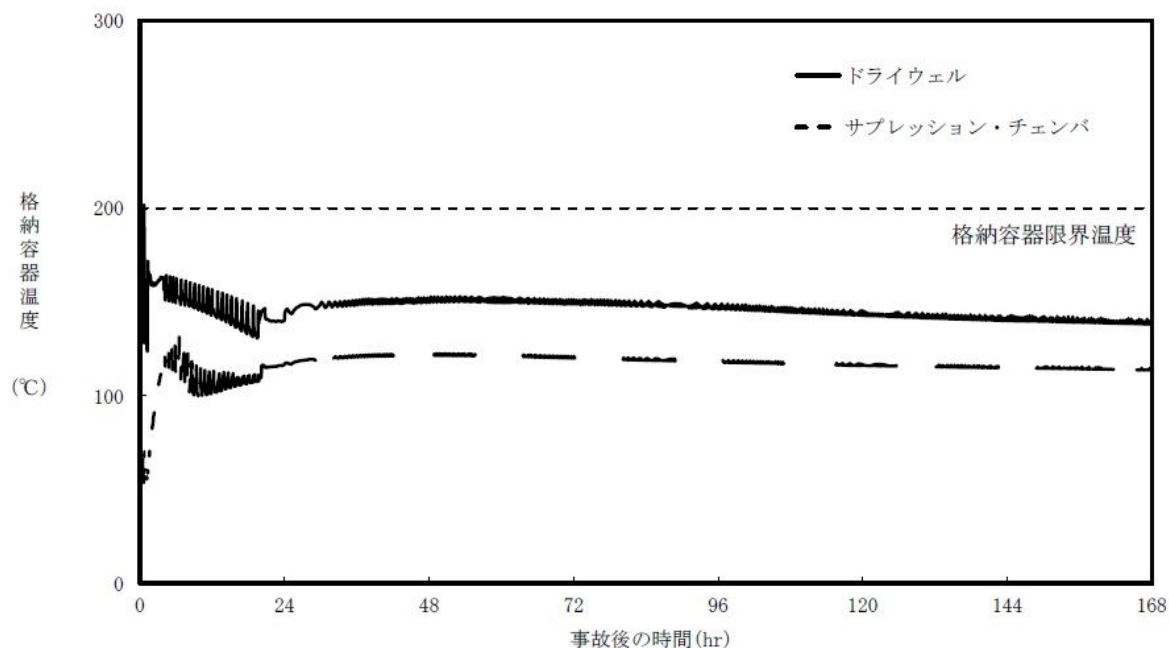


※：実際の伝熱状態は——で示すような分布になると想定されるが、保守的な評価となるよう配管外面を断熱し、全ての熱流束がベントガス側に移行すると評価した。

第1図 配管内表面の温度評価 (ケース1のイメージ)

第1表 配管内表面の温度上昇評価条件【ケース1】

項目	条件
評価シナリオ	有効性評価シナリオ「雰囲気圧力・温度による静的負荷（格納容器過圧・過温破損）（代替循環冷却系を使用できない場合）」
PCVより流入する崩壊熱量	11.6kW
配管内発熱割合 (FP付着割合)	10%/100m
配管外径, 板厚	300A, 10.3mm
配管熱流束	12.4W/m ²
質量流量	2.1kg/s (ベント後期 (ベント1ヶ月後の蒸気流量))
ベントガス温度	170°C



第2図 「雰囲気圧力・温度による静的負荷（格納容器過圧・過温破損）（代替循環冷却系を使用できない場合）」における格納容器温度の推移

格納容器より流入する崩壊熱量は、雰囲気圧力・温度による静的負荷（格納容器過圧・過温破損）（代替循環冷却系を使用できない場合）シナリオにおける11.6kWとし、配管内面に付着する放射性物質割合としては、10%/100mを用いる。評価に当たっては保守的な条件として、付着割合の全量の放射性物質が付着した条件で発熱しているものとする。また、ベントガス流量については流速が低くなることで熱伝達率が低くなり、保守的な評価となることから、ベント後の1ヶ月の蒸気流量である2.1kg/sを用いた。

配管内表面に付着する放射性物質の崩壊熱による配管内表面の上昇温度は、以下の式で算出した温度上昇量で評価する。

$$\Delta T = q / h \cdots \text{式(1)}$$

ΔT : 放射性物質の崩壊熱による配管内表面の温度上昇 (°C)

q : 配管熱流束 (W/m^2)

h : 配管内表面の熱伝達率 ($W / (m^2 \cdot K)$)

$$h = Nu \times k \times d \quad \dots \text{式(1)}$$

Nu : ヌッセルト数

k : 水蒸気の熱伝達率 (約 $0.034 (W / (m^2 \cdot K))$)

d : 水力等価直径 (m)

ここで、 Nu を算出するに当たり円管内乱流の熱伝達率を表現するものとしてKaysの式を引用した (式(3))。

$$Nu = 0.022 Re^{0.8} \times Pr^{0.5} \quad \dots \text{式(3)}$$

Re : レイノルズ数

Pr : プラントル数 (1.130 ; 保守的に170°Cの飽和蒸気の値を設定)

$$Re = v \times d / \nu$$

v : 流速 (約 $13.0 (m/s)$) : 質量流量から換算

ν : 水蒸気の動粘性係数 (約 $3.6 \times 10^{-6} (m^2/s)$)

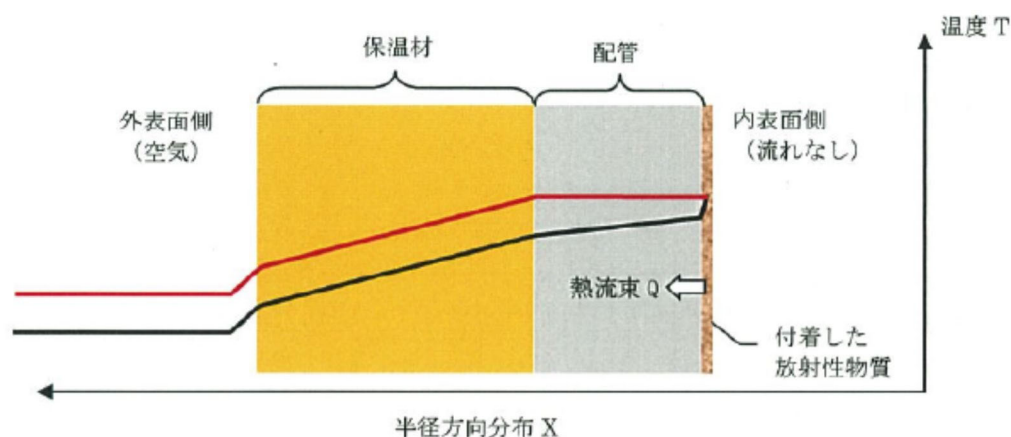
これにより、配管内面の温度上昇は0.07°C程度であると評価できる。ベントガスの温度は170°C程度であることから、上記の温度上昇分を考慮しても、配管内表面温度は配管設計における最高使用温度200°Cを下回っているため、配管の構造健全性に影響を与えることはない。

次に、【ケース2】として、第3図に示すような配管の半径方向の温度分布を考慮して評価を行った。配管内はベントガス流れがないものとし、配管内

面には放射性物質が付着して崩壊熱による発熱を行っている。ここで、評価対象の配管板厚は10.3mmであり、炭素鋼の熱伝導率が $50\text{W}/(\text{m}\cdot\text{K})$ 程度であることから、板厚方向の温度勾配は微小であると考えられる。そのため、配管内表面の温度はほぼ配管外表面温度と同等であると考え、また、保温材の熱通過率を考慮する。配管内部の熱量による温度を評価する方法としてJIS A 9501 “保温保冷工事施工標準”の表面温度及び表面熱伝達率の算出方法を用いて、配管外表面温度を評価する。

【ケース2】の温度評価条件を第2表に示す。

なお、評価条件については、【ケース1】と同様に「雰囲気圧力・温度による静的負荷（格納容器過圧・過温破損）（D/Wベント）」を想定する。



※：実際の伝熱状態は——で示すような分布になると想定されるが、保守的な評価となるよう配管内の温度勾配はないものし、全ての熱流束が配管（保温材）外表面側に移行すると評価した。

第3図 配管内表面の温度評価（ケース2のイメージ）

第2表 配管内表面の温度上昇評価条件【ケース2】

項目	条件
評価シナリオ	有効性評価シナリオ「雰囲気圧力・温度による静的負荷（格納容器過圧・過温破損）（代替循環冷却系を使用できない場合）」
PCVより流入する崩壊熱量	11.6kW
配管内発熱割合 (FP付着割合)	10%/100m
配管外径, 板厚	300A, 10.3mm
配管熱流束	12.4W/m ²
配管外表面放射率	0.22 (アルミニウム板の放射率 ^{※1})
環境温度	100℃

※1 JISハンドブック 6-1 配管 I

評価式の概要は以下のとおりとなる。

$$T_h = (qL / \lambda) + T_l \quad \dots \text{式(5)}$$

T_h : 配管外表面温度 (℃)

T_l : 保温材表面温度 (℃)

q : 配管熱流束 (W/m²)

L : 保温材厚さ (0.03m)

λ : 保温材熱伝導率 ($2.103 \times 10^{-2} \text{W} / (\text{m}^2 \cdot \text{K})$)

$$T_l = (q / h_{se}) + T_{atm} \quad \dots \text{式(6)}$$

この式(6)における、 q と h_{se} は以下の式で表される。

$$q = Q / S \quad \dots \text{式(7)}$$

$$h_{se} = h_r + h_{cv} \quad \dots \text{式(8)}$$

上記の式(6)における、 q と h_{se} は以下の式で表される。

Q : 単位長さ当たりの配管内面での発熱量 (W/m)

S : 単位長さ当たりの配管外面表面積 (m²)

h_r : 放射による配管外表面熱伝達率 (W / (m²·K))

h_{cv} : 対流による配管外表面熱伝達率 (W / (m²·K))

上記の h_r は以下の式で表される。

$$h_r = \varepsilon \times \sigma \times \left(\frac{(T+273.15)^4 - (T_{atm}+273.15)^4}{T - T_{atm}} \right) \quad \dots \text{式(9)}$$

ε : 配管外表面放射率 (0.22)

σ : ステファン・ボルツマン定数 (5.67×10⁻⁸ (W / (m²·K⁴)))

h_{cv} については、JIS A 9501 “保温保冷工事施工標準” 付属書E (参考) 表面温度及び表面熱伝達率の算出方法における、垂直平面及び管 (Nusseltの式) 及び水平管 (Wamsler, Hinleinの式) をもとに対流熱伝達率を算出した。垂直管 (式(10), (11)) と水平管 (式(12)) とで得られる h_{cv} を比較し、小さい方の値を用いることで保守的な評価を得るようにしている。

$$h_{cv} (\text{垂直管}) = 2.56 \times (T - T_{atm})^{0.25} \quad ((T - T_{atm}) \geq 10K) \quad \dots \text{式(10)}$$

$$h_{cv} (\text{垂直管}) = 3.61 + 0.094 \times (T - T_{atm}) \quad ((T - T_{atm}) < 10K) \quad \dots \text{式(11)}$$

$$h_{cv}(\text{水平管}) = 1.19 \times \left(\frac{T - T_{\text{atm}}}{D_0} \right)^{0.25} \quad \dots \text{式(12)}$$

D_0 : 配管外径 (m)

これらにより評価した結果、配管外表面温度は約119.7℃となる。

以上の結果から、配管内表面温度は配管設計における最高使用温度である200℃を下回っているため、配管内表面に付着した放射性物質の崩壊熱は、ベント後における配管の構造健全性に影響を与えることはない。

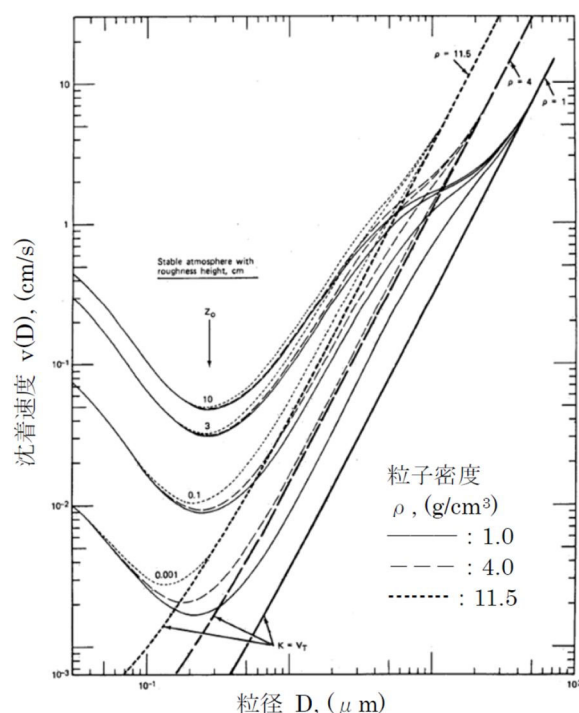
なお、これらの式を含めた評価については、JIS A 9501において、適用範囲が $-180^{\circ}\text{C} \sim 1,000^{\circ}\text{C}$ となっており、適用に対して問題にないことを確認している。また、管外径などの寸法にかかる制約条件は規定されていない。

(参考) 配管内面への放射性物質付着量の考え方について

配管内面への放射性物質（エアロゾル）の付着量を設定するに当たっては、NUREG/CR-4551 を参照し、付着量を設定する主要なパラメータとして沈着速度に着目して、配管内面への沈着割合を検討した。

NUREG/CR-4551 “Evaluation of Severe Accident Risks: Qualification of Major Input Parameters MACCS INPUT”^{*1}は、環境拡散評価（MELCOR Accident Consequence Code System: MACCS 計算）についての文献となっており、その評価には、エアロゾル粒子径、エアロゾル粒子密度、対象物の表面粗さで沈着速度を整理したSehmelのモデルが用いられている。

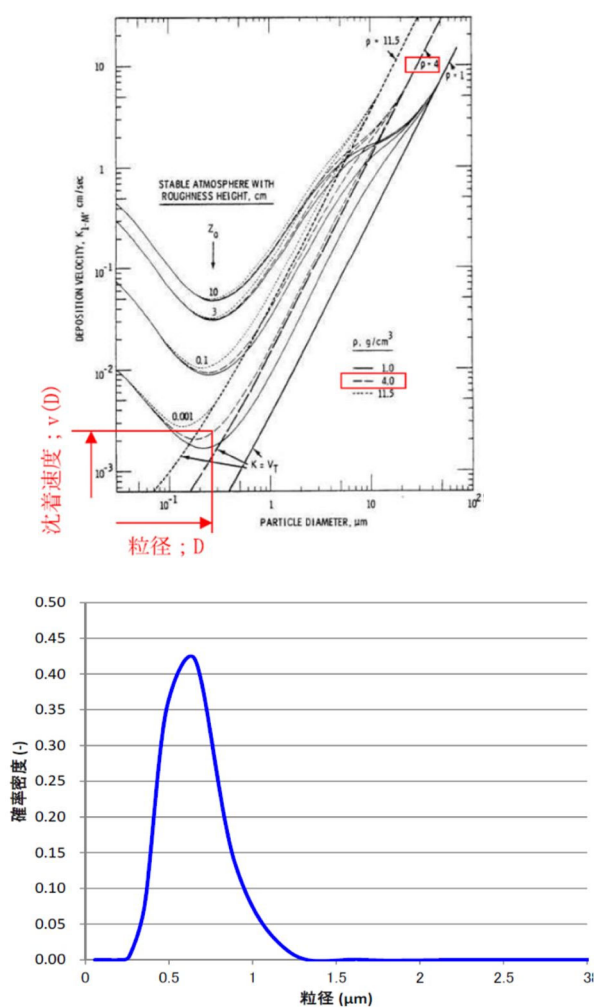
このSehmelの沈着速度モデルに基づき、配管内面の表面粗さ 0.001cm ($10\mu\text{m}$) と粒子密度 $4\text{g}/\text{cm}^3$ を想定した、格納容器より放出される粒子径ごとの沈着速度（第1図参照）を用いて配管内面への沈着割合（エアロゾルの沈着速度と配管内のベントガス通過時間から算出された、流れているベントガス中のエアロゾルが壁面に到達する割合）を以下のとおり評価した。



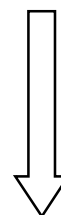
第1図 エアロゾル粒子径と沈着速度の関係

評価条件は、東海第二を対象として配管長さ100m, 配管内径600mm, 2Pd及び最小流量で排気される蒸気流量を適用する。また、考慮する粒子径分布は「雰囲気圧力・温度による静的負荷（格納容器過圧・過温破損）（D/Wベント）」に基づくものとした。

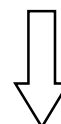
これらの条件から、100mの配管をベントガスが通過する時間を算出し、その時間に粒径ごとの沈着速度を乗じて、ベントガス通過時間中に配管内面方向にどれだけのエアロゾルが移動するかを評価する。この移動した粒子の総和について、ベントガス通過中のエアロゾル総量に対する割合を算出することで沈着割合を評価する。評価の考え方を第2図に、評価結果を第1表に示す。



第1図に基づき、各粒径ごとの沈着速度を設定する。

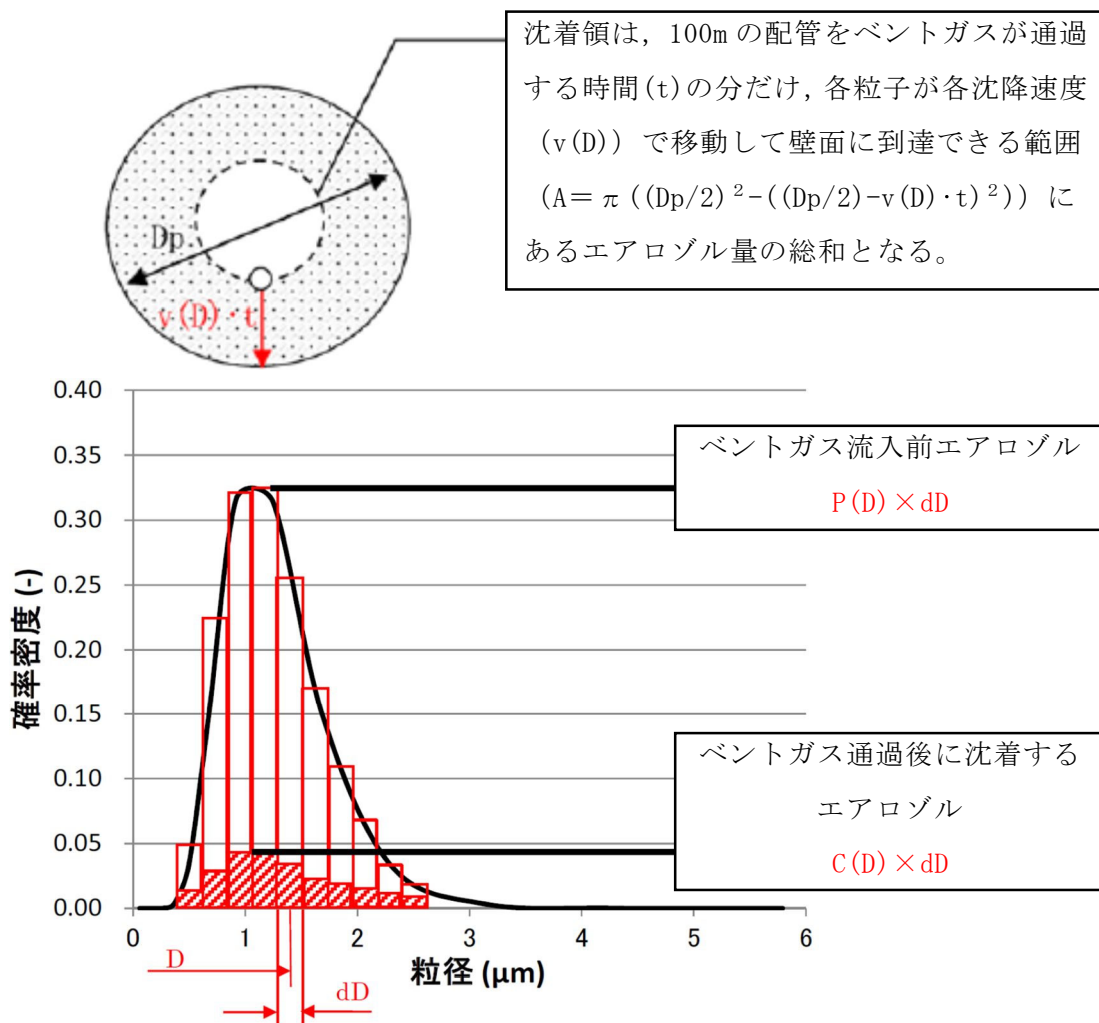


MAAP解析に基づくエアロゾル粒径分布から確率密度 ($P(D)$) を算出する。



(次ページに続く)

第2図 沈着割合評価の考え方 (1/2)



第 2 図 沈着割合評価の考え方 (2/2)

上記の関係から、沈着割合Rは以下の式で表される。

$$R = \left(\frac{\sum \text{■}}{\sum \text{□}} \right) \times 100 = \left(\frac{\sum (C(D) \times dD)}{\sum (P(D) \times dD)} \right) \times 100 = \left(\frac{\sum (C(D))}{\sum (P(D))} \right) \times 100$$

ここで、C (D) は以下の式で表される。

$$C(D) = P(D) \times \left(\frac{\pi \left(\frac{Dp}{2} \right)^2 - \pi \left(\frac{Dp}{2} - v(D) \cdot t \right)^2}{\pi \left(\frac{Dp}{2} \right)^2} \right)$$

$$= P(D) \times \left(\frac{\left(\frac{Dp}{2} \right)^2 - \left(\frac{Dp}{2} - v(D) \cdot t \right)^2}{\left(\frac{Dp}{2} \right)^2} \right)$$

第1表 排気される蒸気流量に対する沈着割合評価結果

項目	パラメータ	単位	格納容器圧力	
			620kPa [gage] ※1	69kPa [gage] ※2
配管条件	長さ	m	100	
	内径	m	0.6	
沈着条件	沈着速度の分布	cm/s	$2 \times 10^{-3} \sim 5 \times 10^{-1}$	
排気条件	蒸気流量	kg/s	23.7	3.8
	蒸気流速	m/s	23	14
沈着割合		%	1.0	1.6

※1：最高使用圧力（2Pd）

※2：事象発生7日後の最小流量となる圧力

第1表より、最小流量であっても約1.6%の沈着割合となることが評価された。以上を踏まえ、エルボ部などといった部位での沈着量がばらつくことを考慮し、100m当たり10%を配管への沈着割合として放射性物質の付着量を設定する。

※1 ” Evaluation of Severe Accident Risks: Qualification of Major Input Parameters MACCS INPUT” , NUREG / CR - 4551 Vol.2 Rev.1 Pt.7, 1990

地震による損傷の防止に関する耐震設計方針の説明

配管設計における荷重の組合せと応力評価について

格納容器圧力逃がし装置は、ベント使用中は機器が損傷を受けることなく健全であることが求められる。したがって、設計上の最高使用温度・圧力(200℃, 2Pd)における荷重条件を「供用状態A」及び「供用状態B」として、クラス2機器として各部にかかる応力が許容応力以内であることを確認する。

一方で、当該設備は設置許可基準の三十九条における常設耐震重要重大事故防止設備兼常設重大事故緩和設備に該当し、基準地震動 S_s による地震力に対して重大事故に至るおそれがある事故に対処するために必要な機能が損なわれるおそれがないものであることが求められる。したがって、地震荷重に対する荷重の組合せを「供用状態D」とし、各部にかかる応力が設計引張応力以内であり、なおかつ疲労破壊を起こさないことを確認する。

第1表 配管設計における荷重の組合せと許容応力

荷重の組合せ	許容応力			供用状態 許容応力状態	適用規格
	一次応力 (曲げ応力を 含む)	一次+二次応力	一次+二次 +ピーク応力		
D + P _d + M _b	1.5 · S _h	S _a (c)	—	(A, B)	設計・建設規格 PPC-3520(1) PPC-3530(1)
D + P _d + (M _a) + M _b	1.8 · S _h	S _a (d)	—		設計・建設規格 PPC-3520(1) PPC-3530(1)
D + P _d + (M _a) + S _s	0.9 · S _u	S _s 地震動のみによる疲労解析を行い、疲れ累積係数が1以下であること。 ただし、地震動のみによる一次+二次応力の変動値が2 · S _y 以下であれば疲労解析は不要。		IV _A S	JEAG4601 第3種管の許容 応力/第3種管 の許容応力の解 説

【各記号の注釈】

- D : 自重及びその他の長期的機械的荷重による応力
- P_d : 内圧応力
- M_a : その他の短期的機械的荷重による応力(当該設備においては対象外)
- M_b : 二次応力(熱応力)
- S_a (c) : 一次+二次応力に対する許容応力(短期的荷重を含まない場合)
- S_a (d) : 一次+二次応力に対する許容応力(短期的荷重を含む場合)
- S_h : 最高使用温度における材料規格 Part3 第1章 表3に定める値
- S_s : 基準地震動 S_s により定まる地震力
- S_u : 設計引張強さ 設計・建設規格 付録材料図表 Part5 表9に規定される値

なお、当該設計における荷重の組合せと許容限界としては、原子力発電所耐震設計技術指針（重要度分類・許容応力編 J E A G 4601・補-1984, J E A G 4601-1987及び J E A G 4601-1991追補版）（日本電気協会 電気技術基準調査委員会 昭和59年9月, 昭和62年8月及び平成3年6月）（以下「J E A G 4601」という。）及び発電用原子力設備規格（設計・建設規格 J S M E S N C 1-2005（2007追補版含む）（日本機械学会 2005年9月, 2007年9月）（以下「設計・建設規格」という。））に準拠したものである。

格納容器圧力逃がし装置の外部事象等に対する考慮について

格納容器圧力逃がし装置は、自然現象（地震及び津波を除く。）及び外部人為事象に対して、原子炉建屋外の地下の 内に配置する等、第1表（1/4～4/4）のとおり考慮した設計とする。

なお、想定する外部事象は、「設置許可基準規則」第六条（外部からの衝撃による損傷の防止）において考慮する事象、内部溢水及び意図的な航空機衝突とする。ただし、洪水、生物学的事象（海生生物）、高潮の自然現象並びに航空機落下、ダムの崩壊、有毒ガス、船舶の衝突の外部人為事象については、発電所の立地及び格納容器圧力逃がし装置の設置場所等により、影響を受けないことから考慮する必要はない。

第 1 表 格納容器圧力逃がし装置の外部事象等に対する考慮 (1/4)

外部事象		影響モード	設置場所	設計方針
風台	風	荷重 (風), 荷重 (飛来物)	屋内	原子炉建屋又は地下の [] 内に設置されている部位については, 外殻の原子炉建屋等により防護される。
			屋外	飛来物による影響は, 竜巻による影響に包含される。
自然現象	竜巻	荷重 (風), 荷重 (気圧差), 荷重 (飛来物)	屋内	原子炉建屋又は地下の [] 内に設置されている部位については, 外殻の原子炉建屋等により防護される。
			屋外	屋外に設置されるフィルタ装置出口配管等については, 竜巻飛来物により損傷する可能性があるため, 損傷が確認された場合は, 必要に応じてプラントを停止し補修を行う。また, 風荷重, 気圧差により, 機能が損なわれるおそれがない設計とする。
自然現象	凍結	温度 (低温)	屋内	原子炉建屋又は地下の [] 内に設置されている部位については, 換気空調設備により環境温度が維持されるため, 外気温の影響を受け難い。
			屋外	屋外に設置, かつ, 水を内包する可能性のある範囲のフィルタ装置出口配管のドレン配管には保温等の凍結防止対策を行い, 凍結し難い設計とする。また, 適宜ドレン水を排出することから, フィルタ装置出口配管を閉塞することはない。
自然現象	降水	浸水, 荷重	屋内	フィルタ装置は, [] 内に設置し, 止水処理を実施することにより, 降水による浸水, 荷重の影響は受けない。
			屋外	屋外に設置されるフィルタ装置出口配管等は, 滞留水の影響を受け難い位置に設置するとともに, 系統開口部から降水が浸入し難い構造とすることにより, 必要な機能が損なわれるおそれがない設計とする。

第 1 表 格納容器圧力逃がし装置の外部事象等に対する考慮 (2/4)

外部事象		影響モード	設置場所	設計方針
自然現象 （降下火砕物）影響	積雪	荷重（積雪）、 閉塞	屋内	原子炉建屋又は地下の [] 内に設置されている部位については、外殻の原子炉建屋等により防護する設計とする。
			屋外	屋外に設置されるフィルタ装置出口配管等については、積雪荷重に対して耐性が確保されるように設計する。また、系統開口部から降雪が浸入し難い構造とすることにより、必要な機能が損なわれるおそれがない設計とする。なお、多量の積雪が確認される場合には、除雪を行う等、適切な対応を実施する。
	落雷	雷サージによる電気・計装設備の損傷	屋内及び屋外	落雷の影響を考慮すべき設備については、原子炉建屋等への避雷針の設置、接地網の布設による接地抵抗の低減を行う等の雷害防止で必要な機能が損なわれるおそれがない設計とする。
	火山の影響	荷重、閉塞、腐食	屋内	原子炉建屋又は地下の [] 内に設置されている部位については、外殻の原子炉建屋等により防護する設計とする。
			屋外	屋外に設置されるフィルタ装置出口配管等については、降下火砕物の堆積荷重に対して耐性が確保されるように設計する。また、系統開口部から降下火砕物が侵入し難い構造とすることにより、必要な機能が損なわれるおそれがない設計とする。なお、降下火砕物の堆積が確認される場合には、降下火砕物を除去する等、適切な対応を実施する。 化学的影響（腐食）防止のため、屋外に敷設されるフィルタ装置出口配管（炭素鋼配管）外面には防食塗装を行う。

第 1 表 格納容器圧力逃がし装置の外部事象等に対する考慮 (3/4)

外部事象	影響モード	設置場所	設計方針
自然現象	生物学的事象 電气的影響 (齧歯類(ネズミ等)によるケーブル等の損傷)	屋内	原子炉建屋又は地下の [] 内に設置されている部位については、外殻の原子炉建屋等により防護する設計とする。
		屋外	屋外に設置されている系統開口部から小動物が浸入し難い構造とすることにより、必要な機能が損なわれるおそれがない設計とする。
	森林火災	屋内及び屋外	機器を内包する原子炉建屋、地下の [] 及び屋外に設置される機器は、防火帯の内側に配置し、森林との間に適切な離隔距離を確保することで、必要な機能が損なわれるおそれがない設計とする。 ばい煙等の二次的影響に対して、ばい煙等が建屋内に流入するおそれがある場合には、換気空調設備の外気取入ダンパを閉止し、影響を防止する。
	爆発	屋内及び屋外	近隣の産業施設、発電所周辺の道路を通行する燃料輸送車両、発電所周辺を航行する燃料輸送船の爆発による爆風圧及び飛来物に対して、離隔距離が確保されている。
	近隣の火災等	温度(熱)	屋内及び屋外
電磁的障害	サージ・ノイズによる計測制御回路への影響	屋内及び屋外	日本工業規格(JIS)等に基づき、ラインフィルタや絶縁回路の設置により、サージ・ノイズの侵入を防止するとともに、鋼製筐体や金属シールド付ケーブルの適用により電磁波の侵入を防止する設計とする。

第 1 表 格納容器圧力逃がし装置の外部事象等に対する考慮 (4/4)

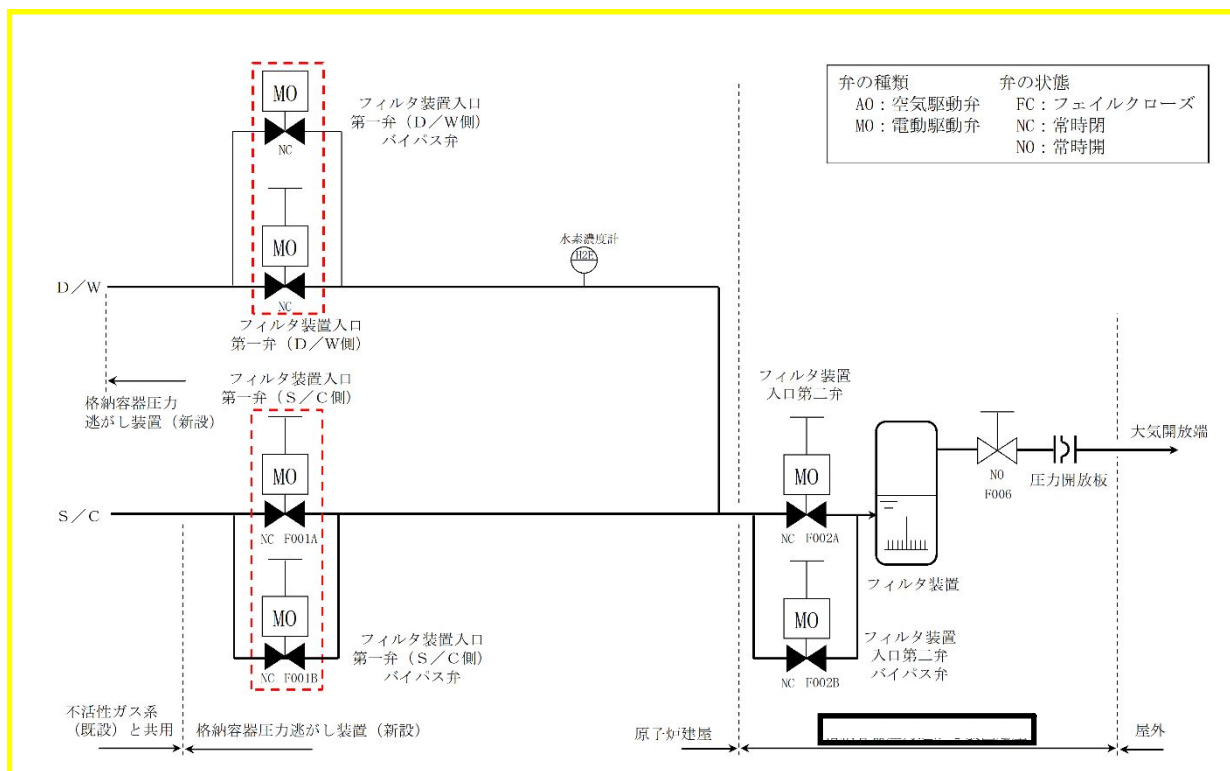
外部事象	影響モード	設置場所	設計方針
内部溢水	没水, 被水, 蒸気による環境条件の悪化	屋内	内部溢水発生時は, 自動隔離又は手動隔離により, 漏えい箇所の隔離操作を行う。また, 漏えい箇所の隔離が不可能な場合においても, 漏えい水は, 開放ハッチ部, 床ファンネルを介し建屋最地下階へと導く設計としていることから, ベント操作を阻害することはない。 隔離弁については, 没水, 被水等の影響により中央制御室からの操作機能を喪失する可能性があるものの, 人力での現場操作が可能であり機能は維持される。必要な監視機器については, 没水, 被水, 蒸気に対する防護対策を講じ, 機能を維持する設計とする。
		屋外	対象外
意図的な航空機衝突	衝突による衝撃力, 火災による熱影響	屋内	原子炉建屋又は地下の [] 内に設置されている部位については, 外殻の原子炉建屋等により防護されると考えられる。
		屋外	屋外に設置されるフィルタ装置出口配管については, 航空機の衝突による衝撃力及び航空機燃料火災による熱影響により損傷する可能性があるが, フィルタ装置の除去性能に大きな影響はないと考えられる。

主ライン・弁の構成について

1. 主ライン構成

1.1 系統概要図

格納容器圧力逃がし装置のベントガスを格納容器から大気開放端まで導く主ラインの概略図を第 1 図に示す。



第 1 図 格納容器圧力逃がし装置 主ライン概略図

1.2 設計の意図

東海第二発電所では、格納容器の圧力及び温度を低下させるためのベントを確実に行うため、以下に配慮し、主ラインの設計を行っている。

(1) 主ラインの取り出し及び構成

格納容器からの取り出しについては、サプレッション・プール水でのスクラビング効果が期待できるサプレッション・チェンバ（S/C）からの取り出しに加え、外部注水等による水没の影響を受け難いドライウエル（D/W）上部からの取り出しを行っている。

具体的な取り出し位置（貫通孔）については、漏えい経路の増加等による大気への放射性物質の放りリスク増加を最小限に抑えるため、既存の貫通孔の中から十分な排気容量が確保できる口径を有する貫通孔を選定し使用する構成としている。

主ラインは不活性ガス系配管（既設）を経て（D/Wベントラインは独立）、格納容器圧力逃がし装置配管（新設）によりフィルタ装置に導かれるが、不活性ガス系統とは弁で隔離することで、不活性ガス系統や機器への悪影響を防止する設計としている（3. 参照）。

(2) 格納容器隔離弁

格納容器隔離弁の設置要求（実用発電用原子炉及びその付属施設の位置、構造及び設備の基準に関する規則の解釈）に基づき、D/W側の主ラインに格納容器隔離弁（フィルタ装置入口第一弁（D/W側）及びフィルタ装置入口第一弁（D/W側）バイパス弁）として電動駆動弁（MO弁）を2弁設置し、その下流に格納容器隔離弁（フィルタ装置入口第二弁及びフィルタ装置入口第二弁バイパス弁）として電動駆動弁（MO弁）を2弁設置する構成としている。また、S/C側の主ラインに格納容器隔離弁（フィルタ装置入口第一弁（S/C側）及びフィルタ装置入口第一弁（S/C側）

バイパス弁)として電動駆動弁(MO弁)を並列に2弁設置する構成としている。

(3) フィルタ装置出口弁

フィルタ装置出口弁は、ベント実施後にフィルタ装置を大気から隔離するため設置している。

1.3 弁の設置位置の妥当性(物理的位置, 他からの悪影響)

ベント開始に必要な主ラインの隔離弁(フィルタ装置入口第一弁(S/C側), フィルタ装置入口第一弁(S/C側)バイパス弁, フィルタ装置入口第一弁(D/W側)及びフィルタ装置入口第一弁(D/W側)バイパス弁, フィルタ装置入口第二弁及びフィルタ装置入口第二弁バイパス弁)の設置位置は、弁の設置スペース, 人力による遠隔操作性等を考慮して決定している。

また、事故後の環境条件を考慮した設計としているため、ベント時においても弁の健全性は確保され、主ラインの隔離弁は、電源がある場合は中央制御室で操作できる。炉心損傷後は弁設置エリアが高線量となるため、現場において弁本体を直接操作することはできないが、遠隔人力操作機構を設けることで駆動源喪失時においても人力による開閉操作が可能である。

なお、遠隔人力操作機構の操作場所は、遮蔽効果が得られる二次格納施設外とし、さらに、必要な遮蔽及び空気ポンベを設置し、作業員の被ばく低減に配慮している。

遠隔人力操作機構は、フィルタ装置入口配管付近に敷設されることから高線量、高温雰囲気による機能への影響の可能性があるため、これらの耐性を確認した。

(1) 耐放射線性について

フィルタ装置入口配管近傍における積算線量は、有効性評価で確認している19時間ベントで約19kGy/7日と評価している。これに対し、配管と同エリアにある機器の積算線量は36kGy/7日と保守的に設定している。遠隔人力操作機構を構成する部品のうち、フレキシブルシャフトの被覆（シリコンゴム）及び摺動部に使用される潤滑油は、長期的には放射線による劣化が考えられる。

ただし、フレキシブルシャフトの被覆は、据付時等の製品保護用であり、劣化（硬化）しても機能への影響はない。

また、潤滑油については、隔離弁の操作時間のような短期間で劣化（粘度増加）することはなく機能への影響はない。

(2) 耐熱性について

ベント時のフィルタ装置入口配管は、表面温度を170℃程度（別紙30）と評価しているが、周囲の温度が60℃程度になるように保温を施工する設計としている。

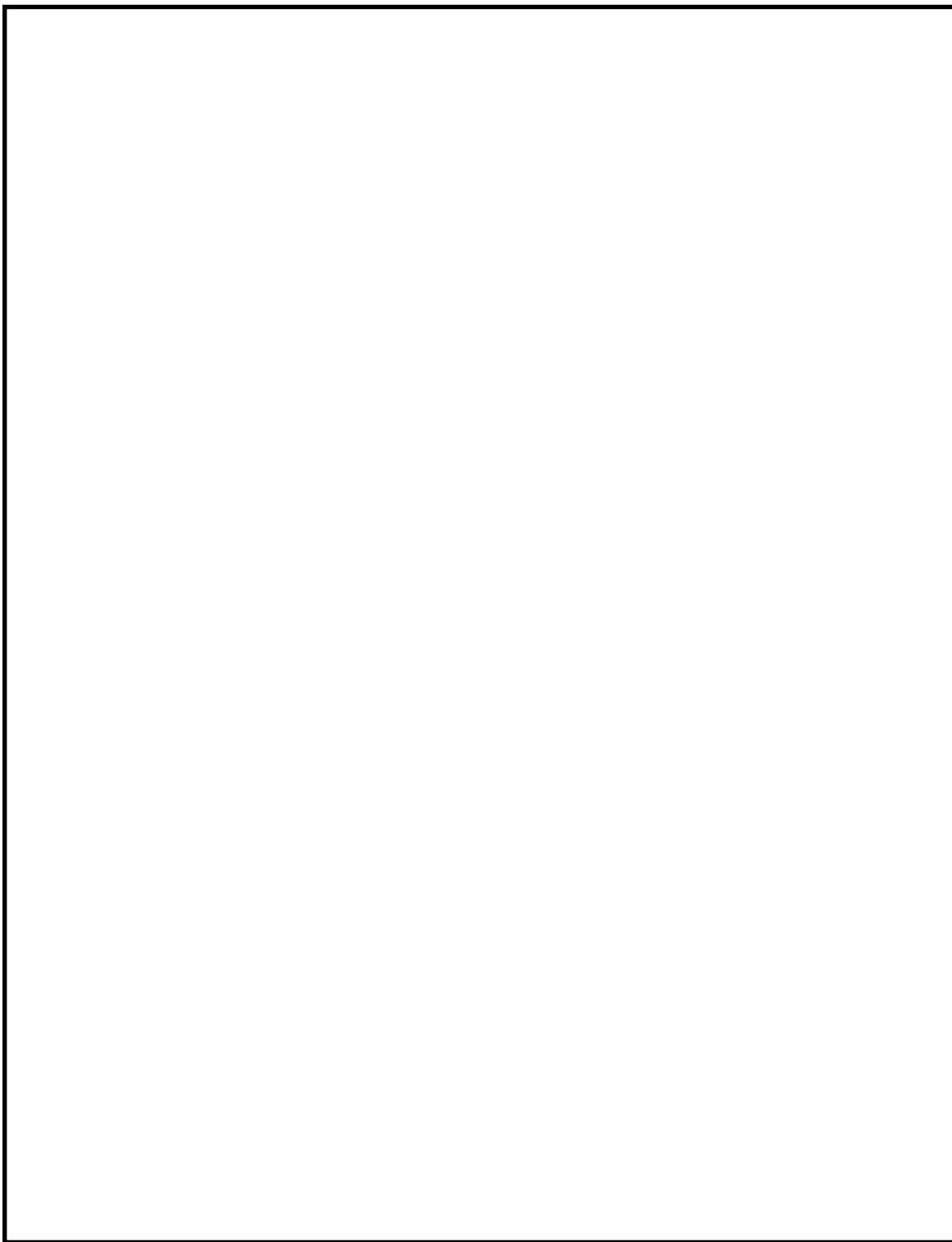
フレキシブルシャフト被覆（シリコンゴム）の耐熱温度は200℃以上であり、また、遠隔人力操作機構を構成するフレキシブルシャフトの被覆以外の部品については金属材料であり、温度上昇が機能に影響することはない。

よって、遠隔人力操作機構は、フィルタ装置入口配管付近に敷設される環境でも、機能への影響はない。

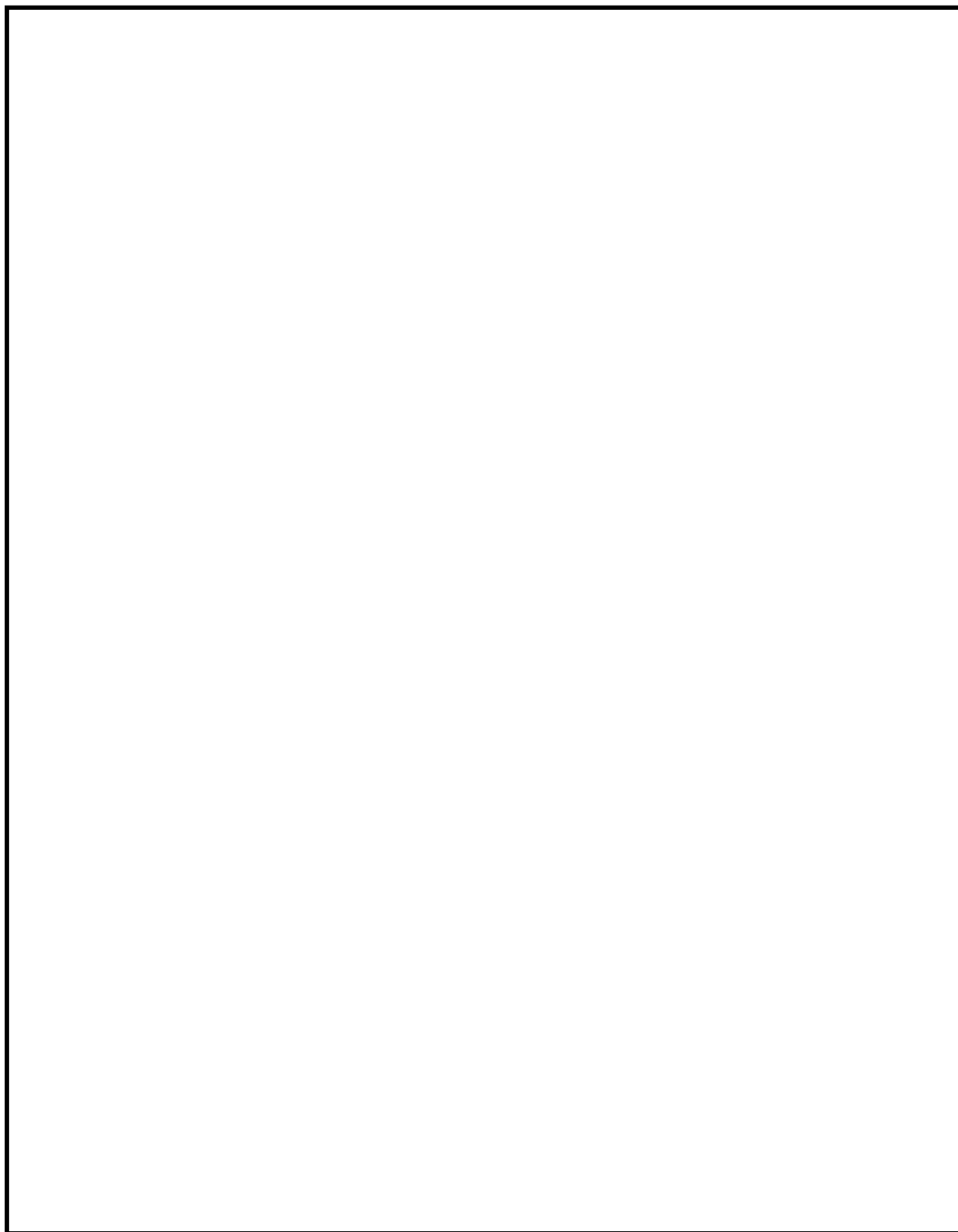
遠隔人力操作機構フレキシブルシャフトの構造を第 2 図に，主ラインの隔離弁の配置位置及び人力による遠隔操作位置を第 3 図及び第 4 図に示す。



第 2 図 遠隔人力操作機構フレキシブルシャフトの構造



第 3 図 フィルタ装置入口第一弁（S / C 側）等の操作場所



第 4 図 フィルタ装置入口第二弁等の操作場所

1.4 開の確実性，隔離の確実性

(1) 開の確実性

ベント実施時は，第一弁及び第二弁の順に開弁する。第一弁及び第二弁とも交流電源で駆動する弁であり，中央制御室の制御盤から遠隔操作できる設計としている。

駆動源となる電源は，通常時には非常用母線より給電しているが，重大事故等で非常用母線が喪失した場合には，重大事故等に対処するために必要な電源の供給が可能なよう常設代替交流電源設備及び可搬型代替交流電源設備から給電できる構成とし，高い信頼性を確保している。

また，これら代替電源設備からの受電が期待できない場合は，遠隔人力操作機構により，放射線量率の低い二次格納施設外にて人力で開閉操作が実施できること，補助ツールとして汎用の電動工具を用いることで操作時間を短縮できる設計としている。

以上のように，操作方法に多様性を持たせ開操作が確実に実施できる。

(2) 隔離の確実性

a. ベント実施前

ベント実施前は，格納容器バウンダリの維持が要求される。格納容器圧力逃がし装置の隔離弁（第一弁，第二弁）は常時「閉」であり，中央制御室の操作盤をキーロックすることで誤操作防止を図っていること，駆動源喪失時その状態が維持（フェイルアズイズ）されるため，確実に隔離状態は維持される。

b. ベント実施後

ベント実施後は，格納容器圧力逃がし装置の隔離弁を閉とし格納容器と隔離する。さらに，フィルタ装置出口弁を閉とし，フィルタ装置を大気と隔離する。

格納容器と格納容器圧力逃がし装置の隔離について、格納容器からの除熱機能が使用可能となり、格納容器及び格納容器圧力逃がし装置の窒素置換後に、ベント実施時に開弁した隔離弁（第一弁）を閉とし、格納容器バウンダリを復旧する。閉操作の確実性は、(1) 開の確実性と同様に実施できる。

フィルタ装置と大気の隔離について、放射性物質を含むスクラビング水の移送が完了し、捕集した放射性物質の崩壊熱が除去できた後に、フィルタ装置下流に設置したフィルタ装置出口弁を閉とし、フィルタ装置を大気と隔離することができる。この弁の操作は、ベント実施後に放射線量が高くなるフィルタ装置設置エリアに入域せずに実施できるよう、地下の 内に遮蔽壁（コンクリート遮蔽 1.6m）を設け、遠隔人力操作機構を設置することで、フィルタ装置設置エリア外から人力で操作できる設計としている。

2. 弁の種類

2.1 主ラインの弁構成の考え方

空気作動弁（A0 弁）は，駆動源喪失時の弁状態を選択（フェイルオープン，フェイルクローズ）する箇所に用いる。電動駆動弁（M0 弁）は駆動源喪失時に弁状態を維持（フェイルアズイズ）する箇所に用いる。また，M0 弁は遠隔人力操作機構が設置できる。

格納容器圧力逃がし装置の主ラインの弁は，中央制御室からの遠隔操作と人力による遠隔手動操作が両立できること，駆動源喪失時の弁状態維持（フェイルアズイズ）の観点から，M0 弁を採用している。

格納容器圧力逃がし装置主ラインの弁に採用する場合の駆動方式の違いによる特徴を第 1 表に示す。




第 1 表 主ラインの弁に採用する場合の駆動方式の特徴

駆動方式	メリット	デメリット
A0 (空気作動)	<ul style="list-style-type: none"> ・ M0 弁に対して必要な電源容量が小さい 	<ul style="list-style-type: none"> ・ 駆動源として事故時に使用可能な電源に加えて，空気（圧縮空気設備）が必要 ・ 人力による遠隔人力操作機構の設置が困難
M0 (電動駆動)	<ul style="list-style-type: none"> ・ 駆動源喪失時は，その状態を維持（フェイルアズイズ）する ・ 電源以外のサポート系が不要 ・ 人力による遠隔人力操作機構の設置が可能 ・ 開度調整が可能 	<ul style="list-style-type: none"> ・ A0 弁に対して必要な電源容量が大きい

2.2 主ライン上の主な弁の仕様

主ラインの弁について、主な仕様を第 2 表に示す。

第 2 表 主ラインの弁の仕様

弁名称	フィルタ装置入口第一弁 (S/C 側), フィルタ装置入口第一弁 (S/C 側) バイパス弁	フィルタ装置入口第一弁 (D/W 側), フィルタ装置入口第一弁 (D/W 側) バイパス弁	フィルタ装置入口第二弁, フィルタ装置入口第二弁 バイパス弁	フィルタ装置出口弁 (原子炉建屋側)
弁番号	F001A, F001B	F001C, F001D	F002A, F002B	F006
型式	バタフライ弁			
口径	550A	550A	550A	700A
駆動方式	電動駆動 (交流)			手動
遠隔人力操作機構	有			
弁の状態	常時閉 (NC)			常時開 (NO)
フェイルクローズ (FC)	無 (フェイルアズイズ)			—
設置場所	原子炉建屋 1 階 (二次格納施設内)	原子炉建屋 1 階 (二次格納施設内)	 室内 (フィルタ装置設置エリア)	 室内 (フィルタ装置設置エリア)
操作場所	通常時	中央制御室		
	電源喪失時	原子炉建屋 附属棟 1 階 (二次格納施設外)	原子炉建屋 附属棟 1 階 (二次格納施設外)	 内 (フィルタ装置設置エリア外)

2.3 設計の意図

格納容器圧力逃がし装置主ラインに設置する隔離弁の駆動方式の採用理由は、「2.1 主ラインの弁構成の考え方」に示すとおり、開弁時には駆動源喪失時にもその状態を維持（フェイルアズイズ）する必要があることから、MO 弁を採用している。これらの弁については、ベント時以外に開弁することがないことから、通常時の格納容器バウンダリの維持のため、常時閉（NC）とし、中央制御室の操作盤をキーロックすることで誤操作防止を図っている。

また、フィルタ装置出口弁（原子炉建屋側）は、排気の妨げとならないよう常時開（NO）とする。

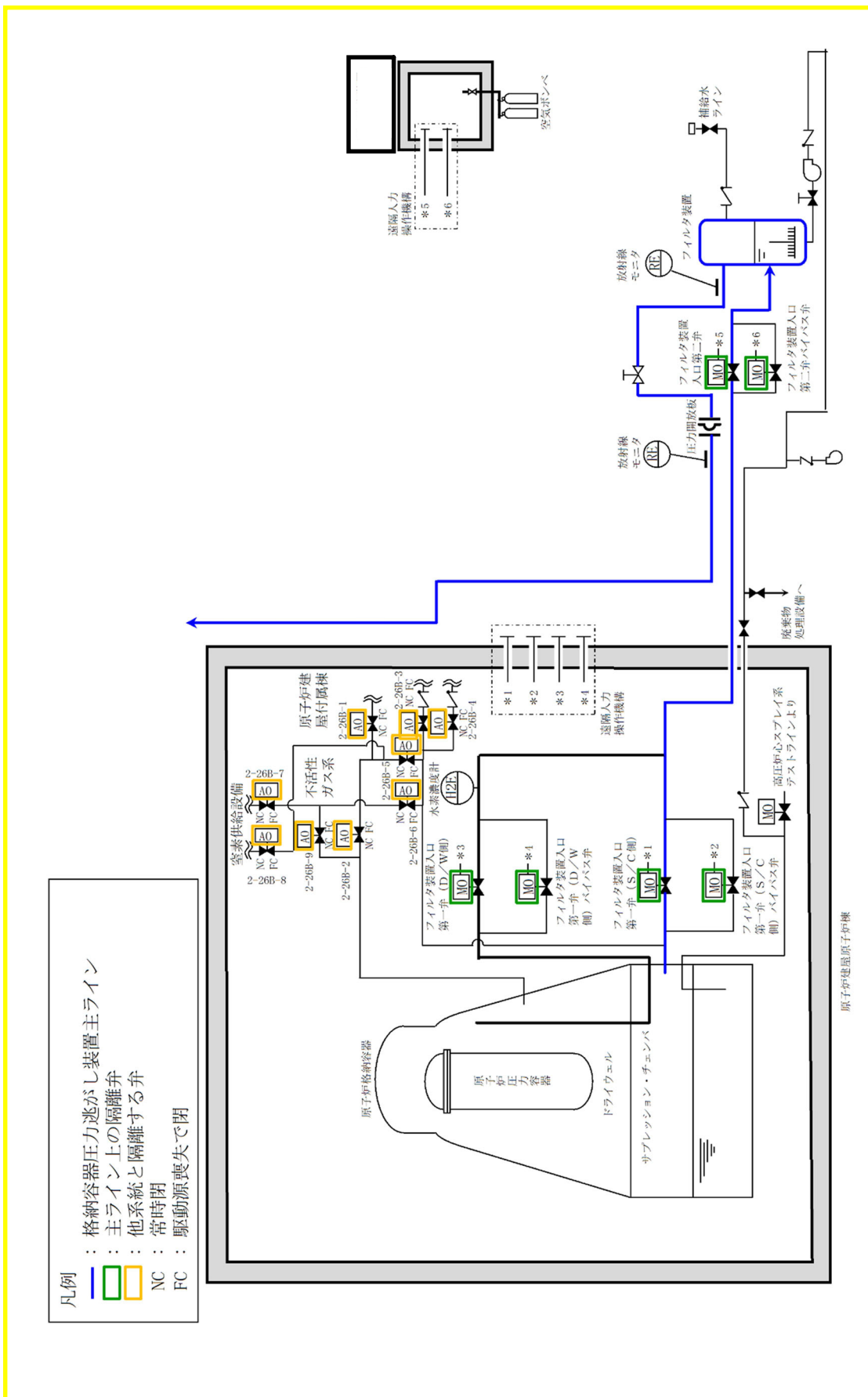
3. 格納容器圧力逃がし装置と接続する各系統の隔離弁の数と種類

3.1 各系統の隔離弁の数と種類

格納容器圧力逃がし装置には、不活性ガス系が接続する。本系統の隔離弁の数と種類等の仕様を第 3 表に、系統概略図を第 6 図に示す。

第 3 表 他系統隔離弁（格納容器隔離弁）の仕様

系統名	不活性ガス系
個数	9
弁番号	2-26B-1, 2, 3, 4, 5, 6, 7, 8, 9
型式	バタフライ弁
駆動方式	空気駆動
口径	80A, 450A, 600A
弁の状態	常時閉 (NC)
フェイルクローズ (FC) 機能	有



第 6 図 格納容器圧力逃がし装置に接続する系統概要図

3.2 設計の意図

格納容器からフィルタ装置へ至る配管は、ベントを実施する際、接続する不活性ガス系と隔離し、流路を構成する必要がある。

重大事故時以外に開操作する可能性のある隔離弁は、駆動源喪失時においても格納容器バウンダリを維持できるようフェイルクローズが可能な空気作動弁を選定する。また、重大事故時に開操作する可能性のある隔離弁については、駆動源喪失時においても人力による手動操作が容易な電動駆動弁を選定し、常時閉（NC）運用とする。

(1) 不活性ガス系との隔離

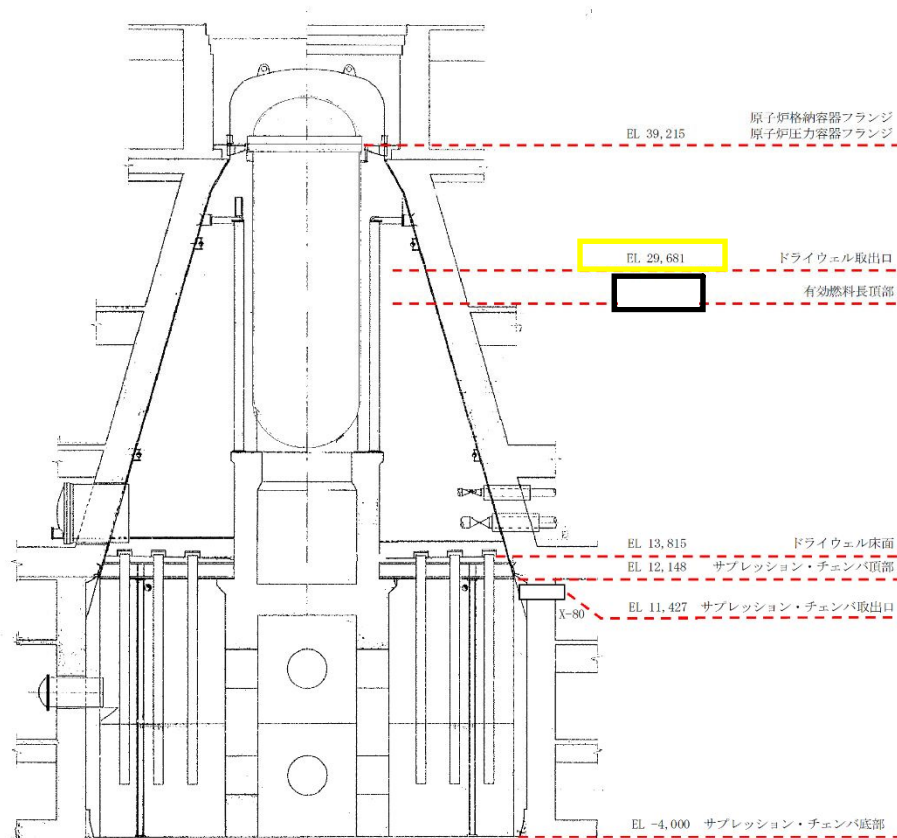
不活性ガス系との隔離は、第 6 図中 2-26B-1, 2, 3, 4, 5, 6, 7, 8, 9 の 9 弁より、格納容器圧力逃がし装置主ラインから隔離できる構成となっている。

これら隔離弁は、駆動源が喪失した際のフェイルクローズ（FC）機能を有し、格納容器隔離信号により閉止する機能を設けていることから、確実な隔離が実施できる。

格納容器からの取り出し高さ

3.3 格納容器からの取り出し高さ

各主要高さを示した図を第7図に示す。



第7図 格納容器からの取り出し高さ

3.4 設計の意図

D/W側の取り出しには、格納容器スプレイによる水没等の影響を受けにくい格納容器上部に位置し、格納容器の圧力を下げるために十分大口径である貫通孔 (X-62) を選定している。

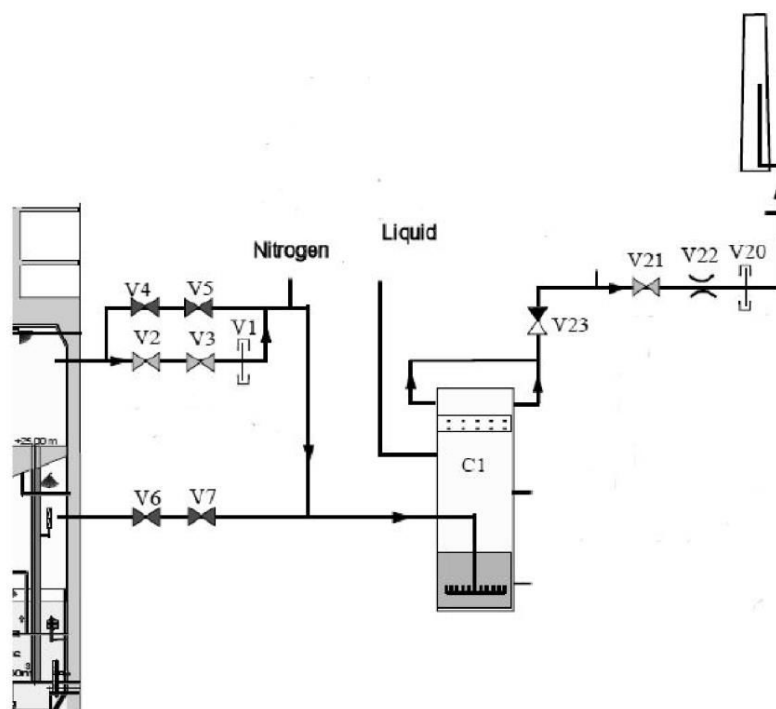
また、S/C側の取り出しには、原子炉及び格納容器冷却のため実施する外部注水による水位上昇を考慮して、S/C頂部付近に位置し、格納容器圧力を下げるために十分大口径である既設不活性ガス系の貫通孔(X-80) を選定している。

(参考) 諸外国の弁構成

格納容器圧力逃がし装置を設置している諸外国の弁構成を以下に示す。

(1) フィンランド

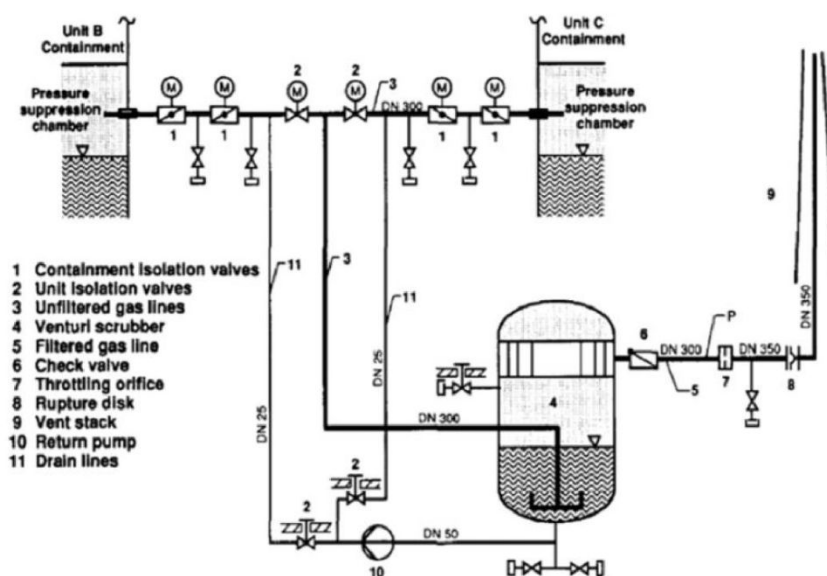
フィンランドのBWRプラントにて設置されている格納容器圧力逃がし装置の概略系統図を第1図に示す。V1とV20は圧力開放板である。ベントラインに設置している弁は全て手動駆動弁で構成されている。D/Wのラインにはバイパスラインが設置されており、V2、V3は通常時「開」となっている。また、V21、V23についても通常時「開」となっている。そのため、操作員がベントラインに設置された弁の「開」操作を実施しなくても、格納容器圧力が既定の値まで上昇し、V1とV20の圧力開放板が開放すれば、D/Wのバイパスラインよりベントは自動的に開始される。



第1図 格納容器圧力逃がし装置概略系統図 (フィンランド)

(2) ドイツ

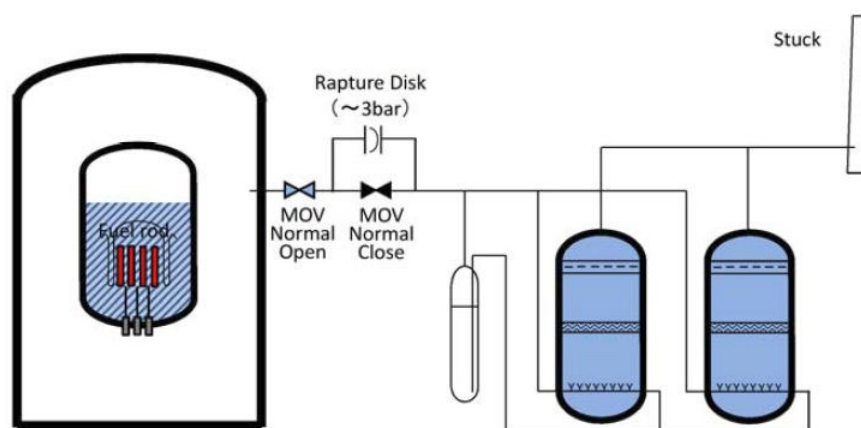
ドイツのBWRプラントに設置されている格納容器圧力逃がし装置の概略系統図を第2図に示す。格納容器圧力逃がし装置は、2ユニットで共有する設計となっている。ベントラインには、格納容器隔離のための電動駆動弁が2つ、ユニット間の切替えのための電動駆動弁が1つ設置されている。また、フィルタ装置の出口側には逆止弁が設置されている。



第2図 格納容器圧力逃がし装置概略系統図（ドイツ）

(3) スイス

スイスのBWRプラントに設置されている格納容器圧力逃がし装置の概略系統図を第3図に示す。ベントラインには電動駆動弁が2つ設置されており、格納容器から2つ目の弁は通常時「開」、2つ目の弁は通常時「閉」となっている。また、2つ目の弁をバイパスするラインが設置されており、バイパスラインには圧力開放板が設置されている。そのため、操作員が2つ目の弁の「開」操作を実施しなくても、格納容器圧力が規定の値まで上昇し、圧力開放板が開放すればベントは自動的に開始される。



第3図 格納容器圧力逃がし装置概略系統図（スイス）

<参考図書>

1. NEA/CSNI/R(2014)7, “OECD/NEA/CSNI Status Report on Filtered Containment Venting”, 02-Jul-2014.

(参考) フレキシブルシャフトにおける線量影響について

フィルタ装置入口配管内の放射性物質による直接ガンマ線におけるフレキシブルシャフトへの線量影響について以下のとおり確認した。

線量評価条件を第 9 表に示す。また、評価モデルを第 4 図に示す。

この結果、フィルタ装置入口配管からの直接ガンマ線の 7 日間の積算線量は約 19kGy であり、設計値の 36kGy を超えないことを確認した。

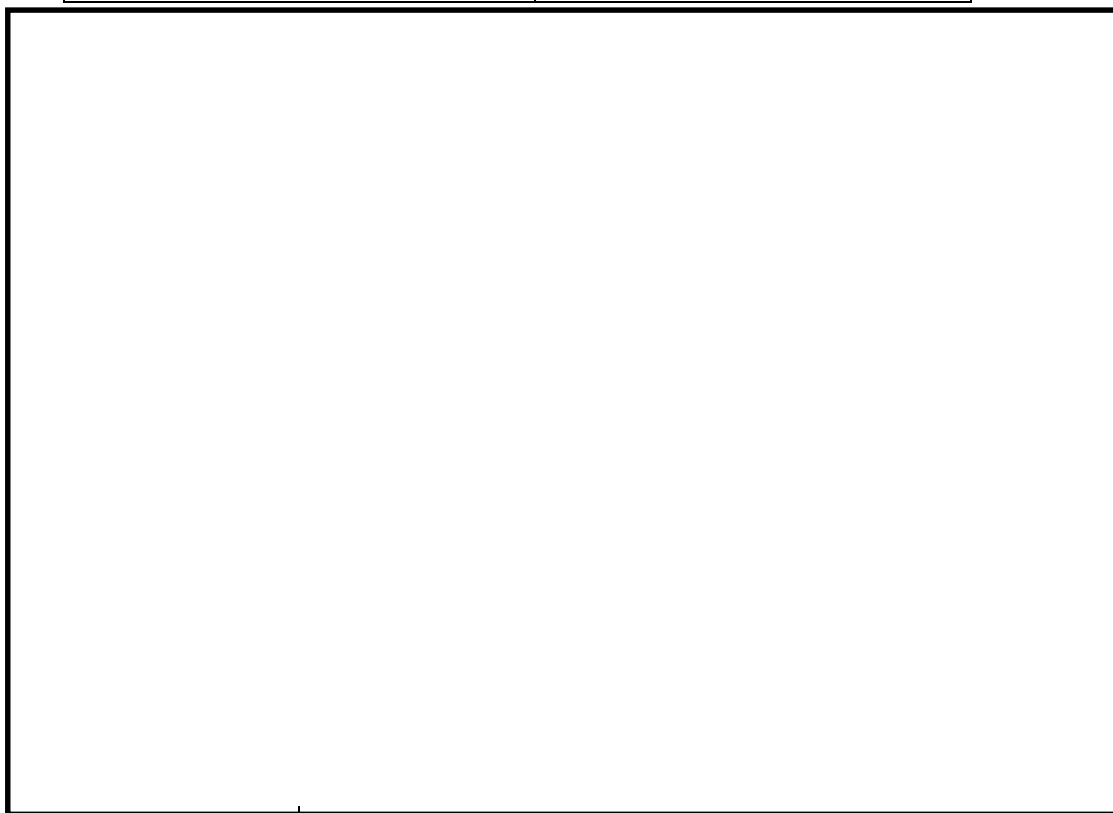
なお、配管内に浮遊した放射性物質(希ガスを含む)からの直接ガンマ線は、評価結果の約 19kGy と比較して 1 桁程度小さく影響は小さい。

第 9 表 線量評価条件

項目	評価条件	備考
想定事象	格納容器破損モード「雰囲気圧力・温度による静的負荷(格納容器過圧・過温破損)」	代替循環冷却系を使用できない場合
放出量条件	事象発生から 19 時間ベント(D/Wベント)	サプレッション・プール水でのスクラビングによる除去係数に期待しないD/Wベントを選定
線源条件	総放出量の 10%の放射性物質(希ガスを除く)が均一に付着	別紙 30 参照 付着した放射性物質のガンマ線線源強度を第 10 表に示す。
配管条件		配管板厚が薄い第一弁付近の配管を想定し設定 配管長は 100m と設定
評価位置	配管表面から 25cm 地点	配管表面からフレキシブルシャフトの最短距離から設定。(配管から 25cm 以上離して敷設する設計)
直接ガンマ線評価コード	QAD-CGGP2R	三次元形状を扱う遮蔽解析コード

第 10 表 フィルタ装置入口配管付着のガンマ線線源強度

ガンマ線エネルギー (MeV)	線源強度 (cm^{-3})
0.01	1.508×10^{15}
0.025	2.468×10^{15}
0.0375	5.970×10^{14}
0.0575	3.101×10^{14}
0.085	1.015×10^{15}
0.125	2.659×10^{14}
0.225	4.315×10^{15}
0.375	2.861×10^{16}
0.575	6.549×10^{16}
0.85	3.620×10^{16}
1.25	8.533×10^{15}
1.75	8.737×10^{14}
2.25	5.644×10^{14}
2.75	1.334×10^{13}
3.5	1.149×10^9
5.0	2.541×10^3
7.0	2.924×10^2
9.5	3.366×10^1



第 4 図 フィルタ装置入口配管線量評価モデル

各運転モードにおける系統構成と系統内の水素濃度について

格納容器からのベント中は、系統内に流れがあり水素が局所的に蓄積することはない。一方、ベント停止後はフィルタ装置内に捕集した粒子状放射性物質によるスクラビング水の放射線分解により、蒸気とともに水素、酸素が発生する。

発生する水素は蒸気に比べて十分少なく約 0.2%と評価され、蒸気発生量に対して一定となる。さらに、入口配管に接続された窒素供給ラインより窒素を供給することで、系統内の水素濃度は低くなる。

フィルタ装置入口配管の水素濃度は、窒素供給を実施することで、約 0.02%と評価される。一方、出口配管の水素濃度は、上述のとおり窒素供給を考慮せずに約 0.2%と評価され、窒素供給を考慮することでさらに低減される。

出口配管は大気放出端まで連続上り勾配となり、水素は蒸気とともに放出端に導かれることから、系統内に水素が蓄積することはない。

一方、入口配管については、系統内の蒸気が凝縮してフィルタ装置に戻ると非凝縮性ガスである水素及び酸素の濃度が上昇し、可燃限界に至るおそれがあることから、窒素供給による系統パージ停止後において、水素が長期的に系統内に滞留しないことを確認するために水素濃度計で入口配管の水素濃度を監視する。

以上より、東海第二発電所の格納容器圧力逃がし装置の水素濃度計は、フィルタ装置の入口側に設置を計画している。

(参考) 各運転モードにおける系統構成と系統内の水素濃度について

格納容器圧力逃がし装置の各運転モード（系統待機時，ベント開始時，ベント停止後）における系統状態及び系統内の水素濃度について以下に示す。

1. 系統待機時

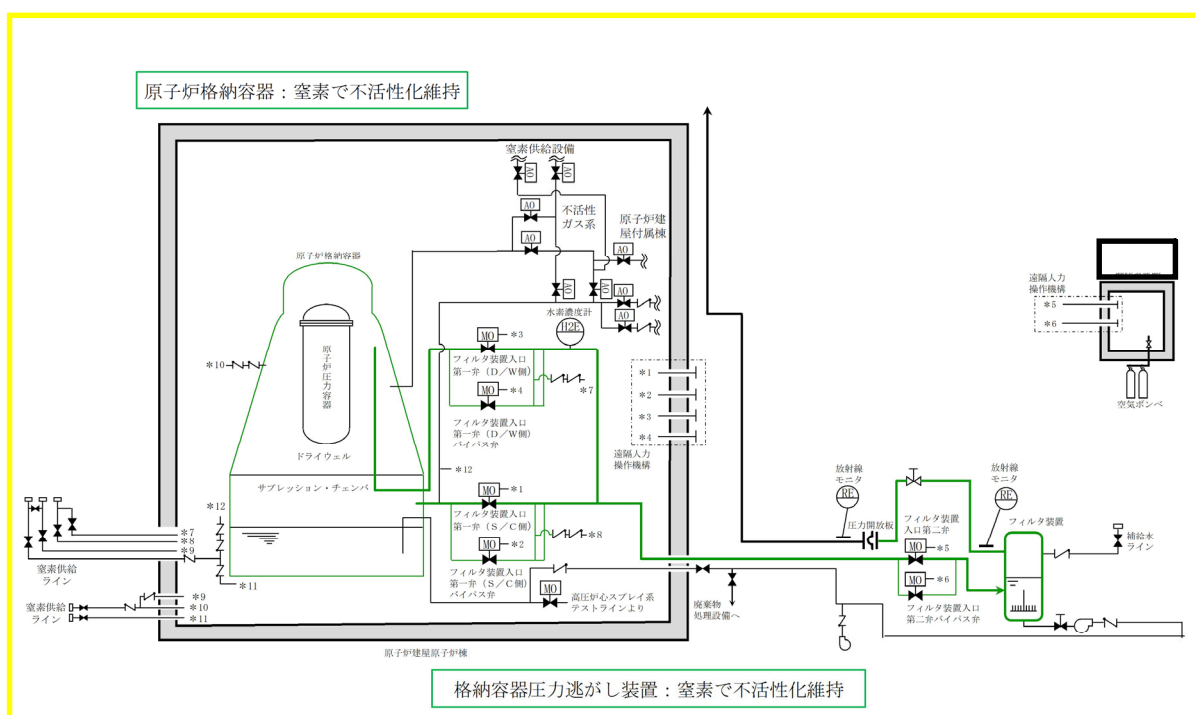
(1) 系統状態

系統待機時においては，格納容器隔離弁が閉止されており，隔離弁から圧力開放板の間は窒素により不活性化されている。

系統待機時の状態を第 1 図に示す。

(2) 水素濃度

系統待機状態においては，系統内への水素流入はなく，また，系統内における水素発生はない。



第1図 系統待機時の状態概要図

2. ベント実施時

(1) 系統状態

炉心の著しい損傷が発生した場合のベント開始後には、格納容器内における水-金属反応や水の放射線分解により発生する水素が格納容器圧力逃がし装置系統内に流入するとともに、フィルタ装置にて捕捉した放射性物質によるスクラビング水の放射線分解により、フィルタ装置内において水素が発生する。

この状態においても、系統の初期の不活性化及び格納容器及びフィルタ装置において崩壊熱により発生する多量の水蒸気による水素の希釈により、可燃限界には至らない。また、フィルタ装置出口配管が大気開放端に向かい連続上り勾配となるよう設計しており、系統全体にベントガスの流れがあることから、局所的な水素ガスの滞留及び蓄積は発生しない。

ベント実施時の状態を第2図に、ベント停止前の窒素供給時の状態を第3図に示す。

(2) 水素濃度（ベント実施時）

格納容器圧力逃がし装置へ流入するベントガスの水素濃度については、格納容器内での水の放射線分解による水素発生量と、同時に発生する水蒸気発生量の割合から求める。

その結果、格納容器より系統内へ流入するベントガスの水素濃度は約0.2%となる。

$$\text{水蒸気発生量} = Q \times 1,000 / (\text{飽和蒸気比エンタルピ}$$

$$- \text{飽和水比エンタルピ}) \times 1,000 / \text{分子量} \times 22.4 \times 10^{-3} \times 3,600$$

$$\text{水素発生量} = Q \times 10^6 \times G \text{値} \text{ (分子/100eV)} / 100 / (1.602 \times 10^{-19}) \text{ ※1}$$

$$/ (6.022 \times 10^{23}) \text{ ※2} \times 22.4 \times 10^{-3} \times 3,600 \times \text{放射線吸収割合}$$

$$\text{水素濃度} = \text{水素発生量} / (\text{水蒸気発生量} + \text{水素発生量}) \times 100$$

Q : 崩壊熱 (MW)

※1 $1\text{eV}=1.602\times 10^{-19}[\text{J}]$

※2 アボガドロ数 6.022×10^{23}

以上の式に事故発生 7 日後の状態を想定した条件を適用し、水素濃度を求める。

- ・ 格納容器圧力はベント実施時の圧力として 200kPa [abs] とする。
- ・ 格納容器内の冷却水は沸騰していると想定し水素発生量の G 値は 0.4 とする。
- ・ 放射線吸収割合は 1.0 とする。
- ・ 事故発生 7 日後を想定するため、崩壊熱は約 10MW とする。

$$\begin{aligned} \text{水蒸気発生量} &= 10 \times 1,000 / (2706.24 - 251.15^{*3}) \times 1,000 / 18 \\ &\quad \times 22.4 \times 10^{-3} \times 3,600 = 18247.8 \text{ m}^3 [\text{N}] / \text{h} \end{aligned}$$

※3 飽和水比エンタルピは 60°C 条件とする。

$$\begin{aligned} \text{水素発生量} &= 10 \times 10^6 \times 0.4 / 100 / (1.602 \times 10^{-19}) / (6.022 \times 10^{23}) \\ &\quad \times 22.4 \times 10^{-3} \times 3,600 \times 1.0 = 33.44 \text{ m}^3 [\text{N}] / \text{h} \end{aligned}$$

$$\text{水素濃度} = 33.44 / (18247.8 + 33.44) \times 100 = \text{約} 0.2\%$$

次に、フィルタ装置において発生する水素濃度については、フィルタ装置内のスクラビング水の放射線分解による水素発生量と、同時に発生する水蒸気発生量の割合から求める。

水素濃度は系統へ流入するベントガスの水素濃度を求める式と同様の式を用いて計算する。

その結果、フィルタ装置より発生する水素濃度は約 0.2% となる。

水素濃度の計算条件は以下のとおりとする。

- ・水の放射線分解に寄与する熱量は 500kW を想定する（設計条件）。
- ・スクラビング水は沸騰しているものと想定し水素発生量の G 値は 0.4 とする。
- ・放射線吸収割合は 1.0 とする。

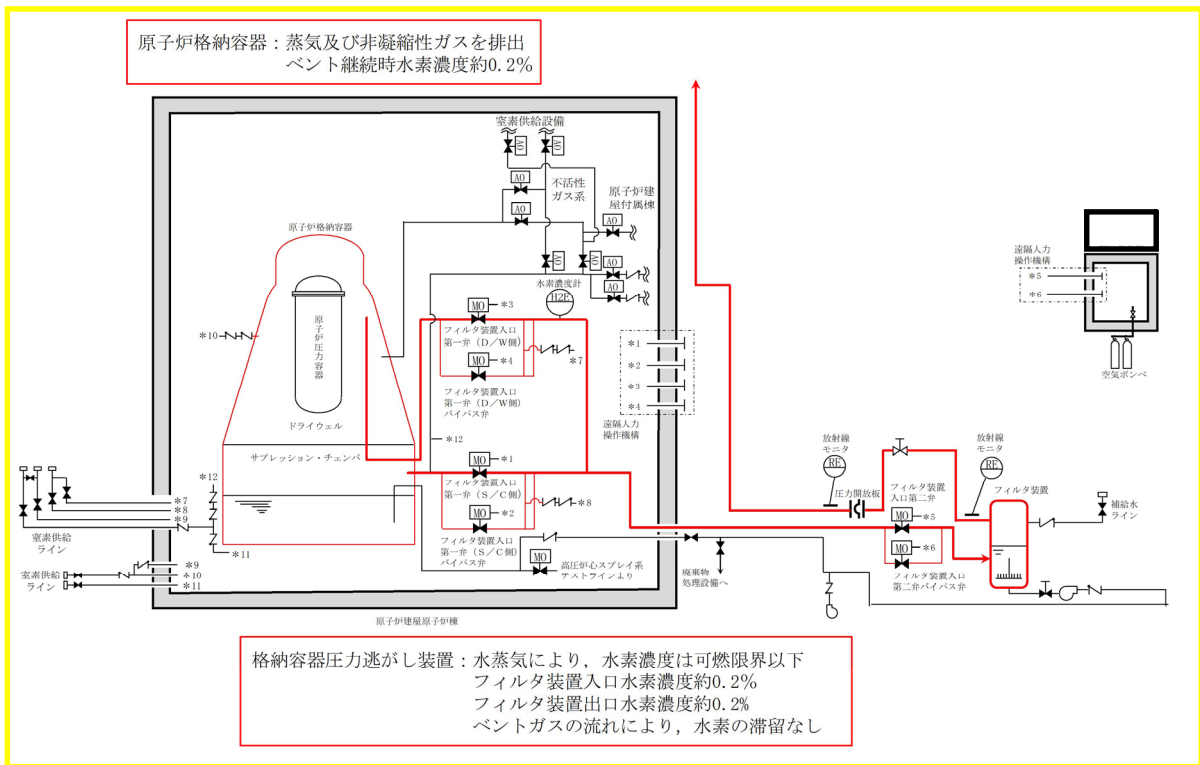
$$\begin{aligned} \text{水蒸気発生量} &= 0.5 \times 1,000 / (2675.53 - 418.99) \times 1,000 / 18 \\ &\quad \times 22.4 \times 10^{-3} \times 3,600 = 992.65 \text{ m}^3 [\text{N}] / \text{h} \end{aligned}$$

$$\begin{aligned} \text{水素発生量} &= 0.5 \times 10^6 \times 0.4 / 100 / (1.602 \times 10^{-19}) / (6.022 \times 10^{23}) \\ &\quad \times 22.4 \times 10^{-3} \times 3,600 = 1.67 \text{ m}^3 [\text{N}] / \text{h} \end{aligned}$$

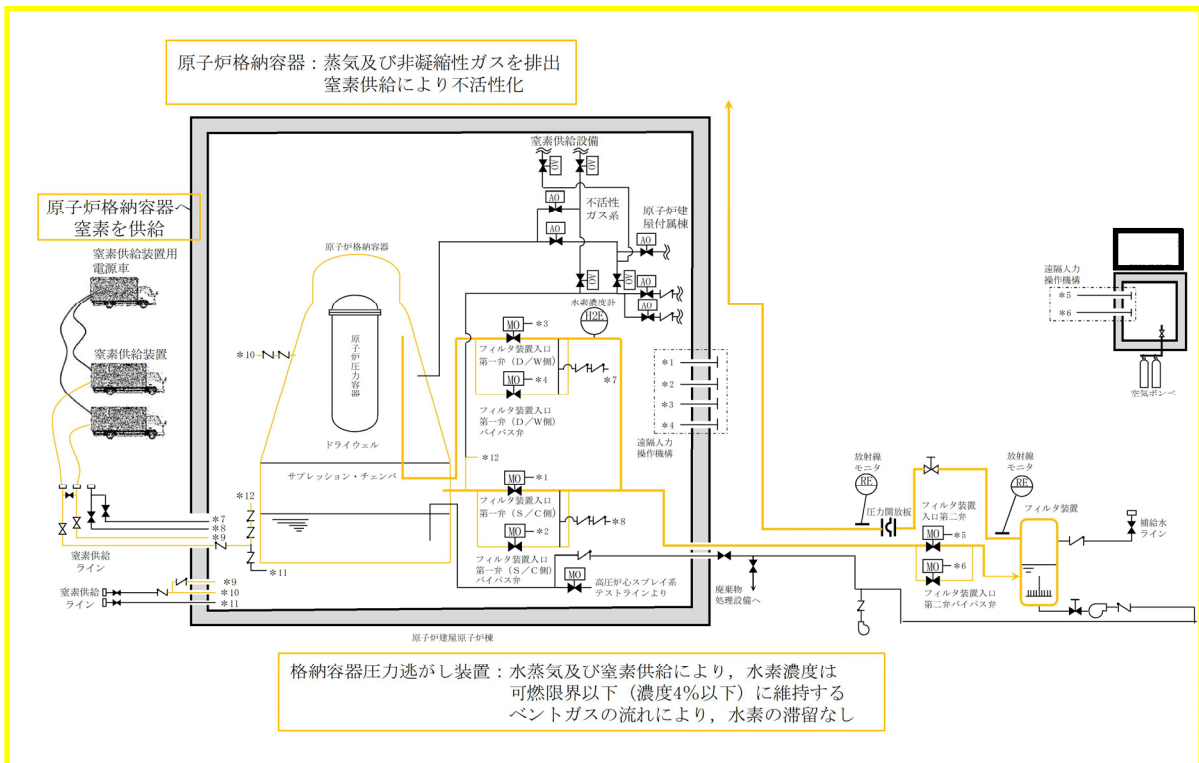
$$\begin{aligned} \text{水素濃度} &= 1.67 / (992.65 + 1.67) \times 100 \\ &= \text{約} 0.2\% \end{aligned}$$

(3) 水素濃度（ベント停止前，窒素供給時）

窒素供給を開始することで、(2)で評価した値よりさらに水素濃度が低くなることから、格納容器を含め系統の水素濃度は約 0.2%を上回ることはない。



第2図 ベント実施時状態概要図



第3図 格納容器への空素供給状態概要図

3. ベント停止後

(1) 系統状態

ベント停止後，可搬型窒素発生装置により系統内への窒素供給を開始する。系統内に連続的に窒素を供給することで，系統内の水素を希釈，掃気する（フィルタ装置出口側への流れが形成される）ため，フィルタ装置入口配管内に水素が滞留することはない。スクラビング水の放射線分解により発生した水素もこの流れにより，大気開放端から掃気される。また，フィルタ装置出口側については，スクラビング水が飽和状態にある場合は，水蒸気発生量が水素発生量を大きく上回るため，水素濃度が可燃限界に至ることはない。ベント停止後の状態を第4図に示す。

(2) 水素濃度（隔離弁～フィルタ装置）

フィルタ装置入口配管側へ逆流する水素濃度について，窒素供給量，水素発生量の割合から求める。その結果，水素濃度は約0.02%となる。

なお，フィルタ装置入口配管側に逆流する可能性のある水素発生量は以下に示した式を用いて計算する。

$$\begin{aligned} \text{フィルタ装置内水素発生量} &= Q \times 10^6 \times G \text{値} \left(\frac{\text{分子}}{100\text{eV}} \right) / 100 \\ & / (1.602 \times 10^{-19}) / (6.022 \times 10^{23}) \times 22.4 \times 10^{-3} \times \\ & 3600 \end{aligned}$$

入口配管内への水素流量 = フィルタ装置内水素発生量

× ガス入口配管断面積 / フィルタ装置断面積

水素濃度 = 入口配管への水素流入量

／ (入口配管への水素流入量 + 窒素供給量) × 100

水素濃度の計算条件は以下のとおりとする。

- ・スクラビング水は沸騰しているものと想定し水素発生量のG値は0.4とする。
- ・水の放射線分解に寄与する熱量は500kWを想定する。（格納容器圧力逃がし装置設計条件）
- ・放射線吸収割合は1.0とする。
- ・窒素供給量は $200\text{m}^3[\text{N}]/\text{h}$ 、不純物濃度は1%未満のため無視する。

$$\begin{aligned} \text{フィルタ装置内水素発生量} &= 0.5 \times 10^6 \times 0.4 / 100 / (1.602 \times 10^{-19}) \\ & / (6.022 \times 10^{23}) \times 22.4 \times 10^{-3} \times 3600 \\ & = 1.67 \text{ m}^3 [\text{N}] / \text{h} \end{aligned}$$

$$\begin{aligned} \text{入口配管内への水素流量} &= 1.67 \times 0.144 / 9.1 \\ & = 0.026 \text{ m}^3 [\text{N}] / \text{h} \end{aligned}$$

$$\begin{aligned} \text{水素濃度} &= 0.026 / (0.026 + 200) \times 100 \\ & = \text{約}0.02\% \end{aligned}$$

(3) 水素濃度（フィルタ装置～大気解放端）

格納容器への窒素供給時の水素濃度については、窒素供給量、水素発生量の割合から求める。その結果、水素濃度は約0.2%以下となる。

なお、ベント停止後のフィルタ装置出口側の水素濃度は2.(2)に示した式を用いて計算する。

水素濃度の計算条件は以下のとおりとする。

- ・フィルタ装置出口が解放しているため、フィルタ装置圧力は大気圧であると想定する。
- ・スクラビング水は沸騰しているものと想定し水素発生量のG値は0.4とする。

- ・崩壊熱は Q とする。
- ・窒素供給は考慮しない。

$$\text{水蒸気発生量} = Q \times 1,000 / (2675.53 - 418.99) \times 1,000 / 18 \times 22.4 \times 10^{-3} \times$$

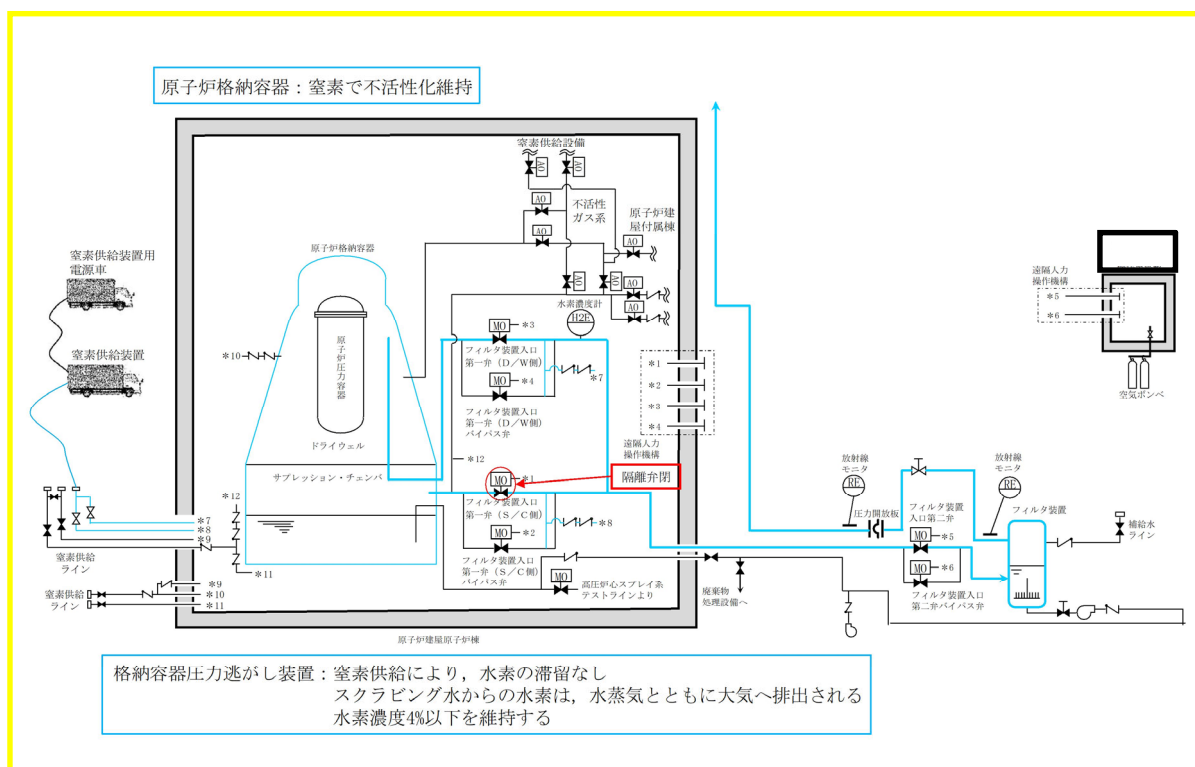
$$3600 = 1985.3 \times Q \text{ m}^3 [\text{N}] / \text{h}$$

$$\text{水素発生量} = Q \times 10^6 \times 0.4 / 100 / (1.602 \times 10^{-19}) / (6.022 \times 10^{23})$$

$$\times 22.4 \times 10^{-3} \times 3,600 = 3.344 \times Q \text{ m}^3 [\text{N}] / \text{h}$$

$$\text{水素濃度} = 3.344Q / (1985.3 + 3.344) Q \times 100$$

$$= \text{約} 0.2\%$$



第 4 図 ベント停止後状態概要図

4. 評価の保守性について

各運転モードにおける系統内の水素濃度評価は、水素発生量のG値を用いて算出している。

G値には、許認可の安全解析に用いられる値（沸騰域 0.40 分子/100eV）を使用することにより、評価結果に保守性を持たせている。

実際にシビアアクシデントが発生した状況を想定した場合の水素発生量のG値は、電力共同研究報告書「シビアアクシデントにおける可燃性ガスの挙動に関する研究」において評価されており、その値（沸騰域 0.27 分子/100eV）は許認可で用いられるG値に対して低い値となっている。

水素が発生する過程では酸素も発生するが、この量を評価に見込まないことで若干の保守性を有することとなる。

以上より、各運転モードにおける水素濃度評価は適切に行われているものと考ええる。

ベント実施によるプルーム通過時の要員退避について

(1) プルーム通過時における要員退避の考え方

炉心損傷後のベント実施時には、放出されるプルームの影響によって発電所周辺の放射線線量率が上昇する。そのため、プルーム通過時において、災害対策要員は、緊急時対策所及び中央制御室待避室等で待避又は発電所構外へ一時退避する。緊急時対策所及び中央制御室待避室等については、空気加圧することでプルームの流入を抑え、放射線影響を低減させる。発電所構外への一時退避については、発電所から離れることでプルームの拡散効果により放射線影響を低減させる。

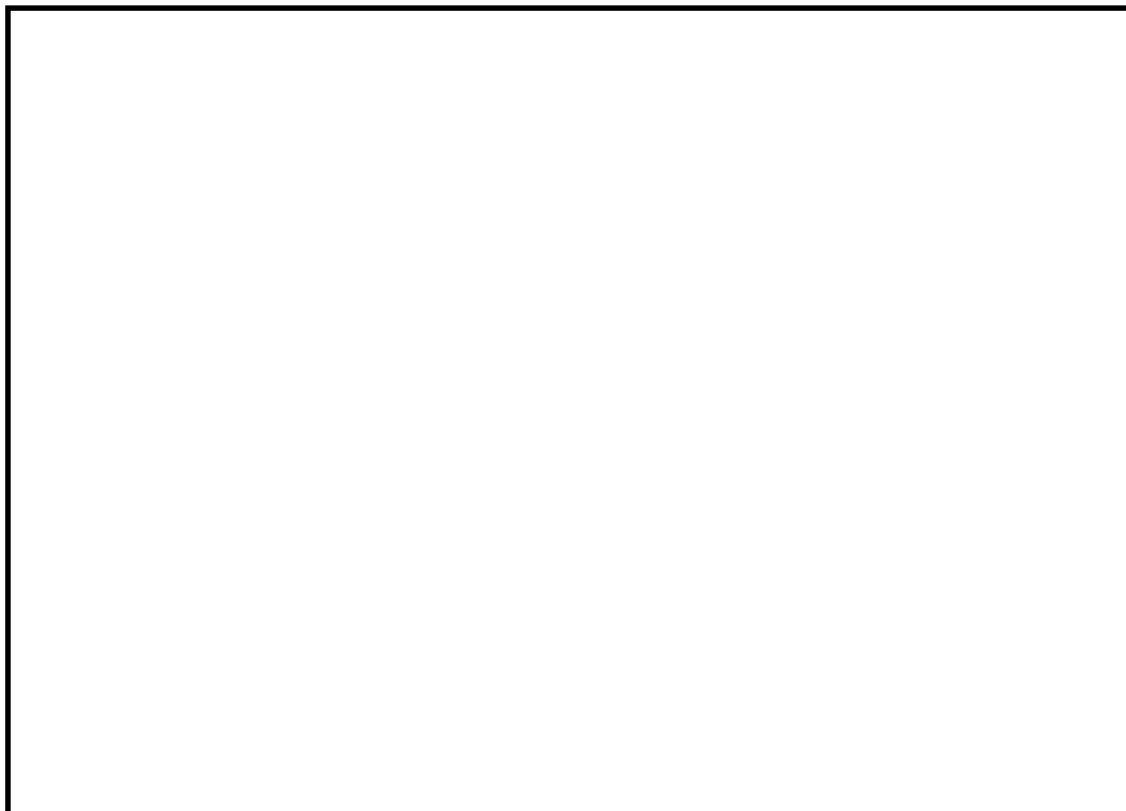
(2) 必要要員数

災害対策本部（全体体制）の要員は 111 名であるが、8 名についてはオフサイトセンターへ派遣されるため、発電所にて重大事故等対応を行う要員は 103 名である。プルーム通過時の必要要員である 72 名は緊急時対策所又は中央制御室待機室等で待機することとしており、それ以外の 31 名については発電所構外へ退避する。

(3) 移動時間

発電所構外へ一時退避する場合には、原子力事業所災害対策支援拠点へ退避することとしている。原子力事業所災害対策支援拠点の候補として 6 施設あり、事象発生後に風向等に基づいて選定する。これらの施設は、発電所から 10km～20km の地点に立地しており、最も遠い施設まで徒歩による一時退避を行う場合の所要時間は約 6 時間と評価している。

緊急時対策所へ待避する場合の移動時間については、アクセスルートのうち、緊急時対策所から最も距離のある地点（放水口）から緊急時対策所へ第 1 図に示すアクセスルートを徒歩移動によって退避した場合の移動時間は約 24 分である。



第 1 図 放水口から緊急時対策所への最も距離のあるアクセスルート

(4) 有効性評価シナリオでの退避タイミング

a. サプレッション・プール水位通常水位+6.5m 到達によるベント

有効性評価のうち、炉心損傷後のベントシナリオである「雰囲気圧力・温度による静的負荷（格納容器過圧・過温破損）（代替循環冷却系を使用できない場合）」における要員一時退避及び待避開始時間及びベント時間の関係を第 1 表に示す。

第 1 表 静的負荷におけるベント準備時間及びベント時間の退避

項目	基準	事象発生からの到達時間
発電所構外への一時退避	S/P 水位通常水位+4.0m	約 12 時間後
緊急時対策所への待避	S/P 水位通常水位+5.0m	約 15 時間後
ベント操作	S/P 水位通常水位+6.5m	約 19.5 時間後

第1表に示すとおり、発電所構外への一時退避については、移動開始からベント操作まで約7.5時間あることから最も遠い退避施設への退避が可能であり、緊急時対策所への待避については、移動開始からベント操作まで約4.5時間あることからベント実施判断基準到達までに緊急時対策所への待避可能である。そのため、ベント操作開始に影響を与えることはない。また、中央制御室の運転員については、ベント実施後速やかに中央制御室待避室へ退避する。

第2表及び第2図に示すとおり、プルーム通過時の屋内待避期間（評価上5時間）において、実施する必要がある現場操作及び作業がないため、要員が退避することに対する影響はない。

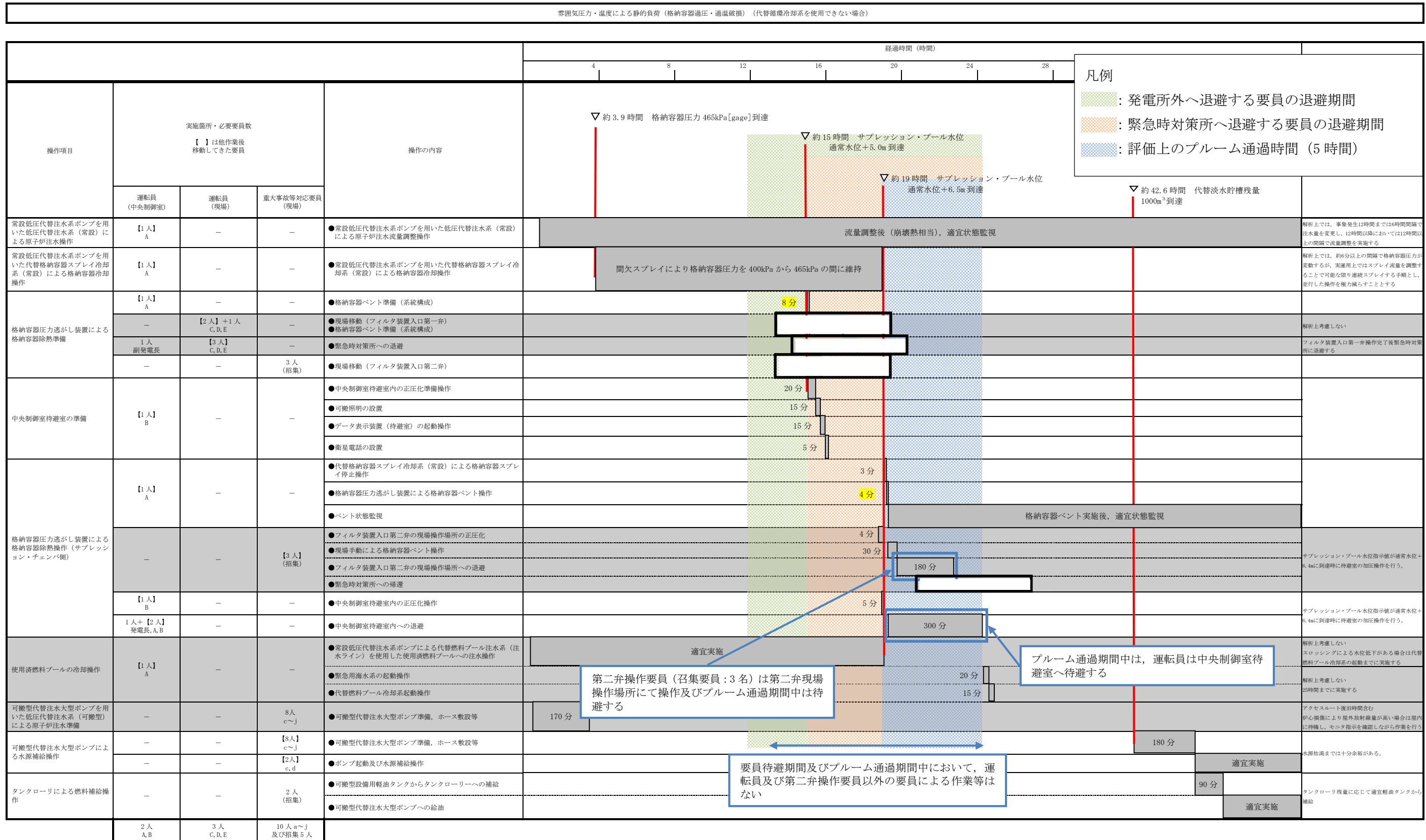
第2表 ベント実施の待避期間中における格納容器の状態及び操作

作業項目	待避期間中における状況	作業の要否
原子炉注水	低圧代替注水系（常設）による注水を継続	待避期間における流量調整は不要
格納容器スプレイ	ベント実施前に停止	—
電源	常設代替高圧電源装置により給電	自動燃料補給により作業不要
水源	代替淡水貯槽の水を使用	待避期間中における補給は不要
燃料	可搬型設備を使用していない	—

b. 格納容器酸素濃度 4.3vol%到達によるベント

炉心損傷後においては、格納容器内での水素燃焼を防止する観点から、格納容器酸素濃度がドライ条件において4.3vol%に到達した場合、ベント操作を実施することとしている。

雰囲気圧力・温度による静的負荷（格納容器過圧・過温破損）（代替循環冷却系を使用する場合）においては，水素及び酸素の発生割合（G 値）の不確かさが大きく，あらかじめ待避基準を設定できないため，酸素濃度の上昇速度から 4.3vol%到達時間を予測し，退避を実施する。また，退避開始からブルーム通過時の退避時において，実施する必要のある現場操作及び作業がないため，要員が退避することに対する影響はない。



第2図 待避時及びプルーム通過時における要員の整理
 （「雰囲気圧力・温度による静的負荷（格納容器過圧・過温破損）（代替循環冷却系を使用できない場合）の作業と所要時間」抜粋）

エアロゾルの保守性について

(1) 格納容器圧力逃がし装置の設計条件について

格納容器圧力逃がし装置の設計条件としては、エアロゾル移行量を 400kg に設定している。(別紙 2)

(2) 事故シナリオに応じたエアロゾル移行量について

a. エアロゾルが発生する事故シナリオの選定について

ベント実施時には、希ガスやガス状よう素（無機よう素及び有機よう素）を除く核分裂生成物及び構造材がエアロゾルとして格納容器圧力逃がし装置に流入する。エアロゾルが発生する事故シナリオは、格納容器破損防止対策の有効性評価の対象とする事故シーケンスのうち、以下に示す M A A P 解析上の特徴を踏まえ、原子炉圧力容器が健全な事故シーケンスである「雰囲気圧力・温度による静的負荷（格納容器過圧・過温破損）（代替循環冷却系を使用できない場合）」を選定している。

(a) 原子炉圧力容器内に熔融炉心が存在する場合は、炉心が再冠水し熔融炉心の外周部が固化した後でも、熔融炉心中心部は熔融プール状態を維持する。一方、原子炉圧力容器破損時は、原子炉圧力容器破損前に水張りしたペDESTAL 部で熔融炉心の一部が粒子化するとともに、最終的にはクエンチする。エアロゾル移行量は熔融炉心の温度が高い方がより多くなるため、原子炉圧力容器が健全な場合がより保守的な評価となる。

(b) 原子炉圧力容器内に熔融炉心が存在する場合は、熔融炉心冠水時において熔融炉心上部の水によるスクラビング効果を考慮していない。一方、熔融炉心がペDESTAL 部に存在する場合は、熔融炉心上部の水によるスクラビング効果を考慮している。以上より、スクラビング効果を考慮していない原子炉圧力容器が健全な場合がより保守的な評価

となる。

- (c) 東海第二発電所では、M C C I 対策としてコリウムシールドを設置するため、原子炉圧力容器が破損した場合でも熔融炉心による侵食は発生しない。したがって、原子炉圧力容器破損後に特有のエアロゾルの発生源はないと考えられる。(別紙38)

b. 対象シーケンスにおけるエアロゾル移行量について

「雰囲気圧力・温度による静的負荷（格納容器過圧・過温破損）（代替循環冷却系を使用できない場合）」シーケンスにおける格納容器圧力逃がし装置へ流入するエアロゾル移行量を第1表に示す。本シーケンスの有効性評価ではS/Cベントを優先して実施することとしているが、ここではD/Wベントを実施した場合のエアロゾル移行量もあわせて示している。第1表より、エアロゾル移行量はS/Cベント時よりD/Wベント時の方が多く約1.7kgであるが、格納容器圧力逃がし装置で設計上想定するエアロゾル移行量はこれを十分上回る400kgである。

第1表 静的負荷シーケンスにおけるF Pエアロゾル移行量

放出する系統	F Pエアロゾル移行量
S/Cベント	約0.001kg
D/Wベント	約1.7kg

希ガスの減衰効果に期待したドライウェルベント実施時の影響評価

- (1) 格納容器圧力逃がし装置にて除去できず、ベント時の外部被ばくの主因となる希ガスについては、可能な限り格納容器内に保持することで時間減衰させることが有効である。

そのため、ベント実施タイミングを可能な限り遅くするため、サプレッション・チェンバ側からのベント排気ライン水没を防止する観点から設定したサプレッション・プール水位通常水位+6.5mに到達するまでは、格納容器スプレイを実施する手順としている。

この手順に基づき、格納容器破損防止対策の有効性評価「雰囲気圧力・温度による静的負荷（格納容器過圧・過温破損）（代替循環冷却系を使用できない場合）」においては、事象発生後約 19 時間後に格納容器スプレイを停止し、サプレッション・チェンバ側からのベントを実施することとしている。

ここでは、より希ガスを格納容器内に保持する観点から 19 時間以降も格納容器スプレイを継続させ、ドライウェル側からのベントを実施した場合について、公衆被ばくへの影響を評価する観点から、外部被ばくの主因となる希ガス及び長期土壌汚染の要因となる Cs-137 放出量を対象に、事象発生後約 19 時間後にサプレッション・チェンバ側からベントを実施した場合と比較する。

(2) 評価ケース

a. サプレッション・チェンバ側からのベント（19 時間ベント）

格納容器破損防止対策の有効性評価における「雰囲気圧力・温度による静的負荷（格納容器過圧・過温破損）」と同様のベント方法であり、事象開始から約 19 時間後にサプレッション・プール水位が通常水位+

6.5m に到達した時点で格納容器スプレイを停止し、サブプレッション・チェンバ側からベントを実施する。圧力推移を第 1 図に示す。

b. ドライウェル側からのベントケース (34 時間ベント)

a. の事故シナリオにおいて、スプレイ停止基準であるサブプレッション・プール水位が通常水位+6.5m に到達した後も格納容器スプレイを継続させた評価を実施した。圧力推移を第 2 図に示す。

MAAP 解析の結果、ドライウェル空間体積の減少に伴い格納容器スプレイ効果が低減し、約 34 時間時点で格納容器圧力が限界圧力を下回る 620kPa [gage] に到達する結果となったことから、約 34 時間後にドライウェルベントを実施した。

(3) 評価結果

サブプレッション・チェンバ側からのベントケースの放出量を 1 として規格化した場合のドライウェル側からのベントケースの放出量の相対値を第 1 表に示す。

第 1 表 ドライウェルベントケースにおける希ガス及び Cs-137 放出量

評価ケース	ベント時間	放出量	
		希ガス	Cs-137
サブプレッション・チェンバ側からのベント	約 19 時間	1	1
ドライウェル側からのベント	約 34 時間	約 0.80	約 1.76×10^4

希ガスの放出量はサブプレッション・チェンバ側からのベントに対してドライウェル側からのベントケースは約 0.8 倍であり、希ガスの減衰効果は限定

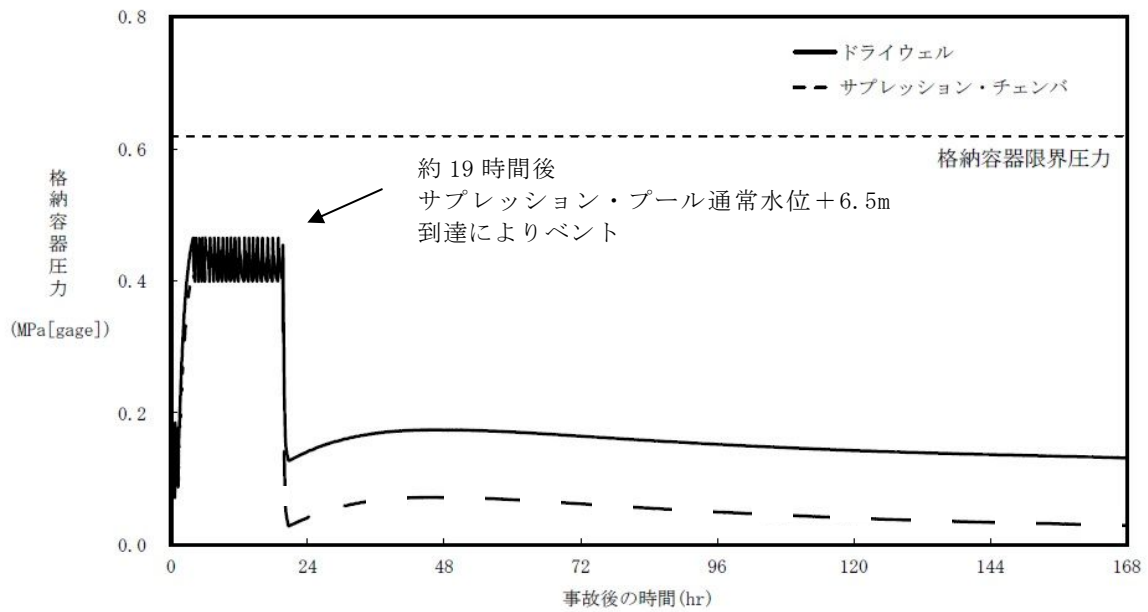
的となっている。これは、第3図の希ガスの減衰曲線に示すように、事象発生後から12時間程度の間は大きく減衰するものの、これに比べて事象発生19時間後から34時間後までの間の減衰効果は小さいためである。

Cs-137の放出量に関しては、サプレッション・チェンバ側からのベントに対してドライウエル側からのベントは約 1.76×10^4 倍と大きく増加する結果となった。これは、ドライウエル側からのベントの場合、サプレッション・チェンバ側からのベントに対してサプレッション・プール水でのスクラビング効果が得られなくなるためである。

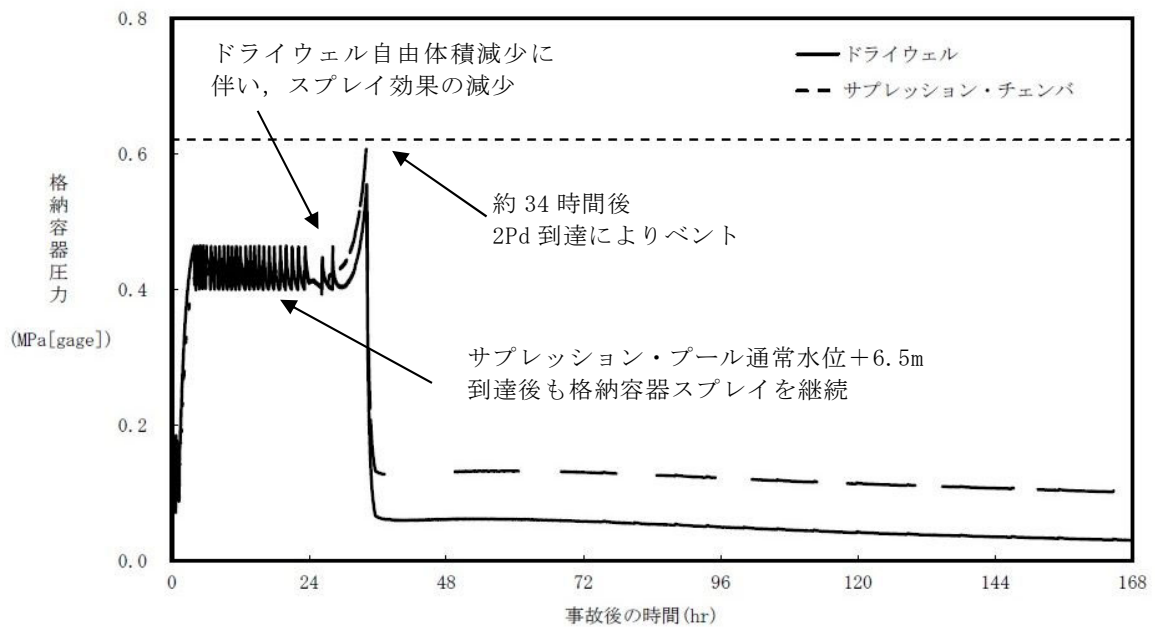
なお、本評価では、ドライウエル側からのベント時のベントガス流量をサプレッション・チェンバ側と同じ13.4kg/s（格納容器圧力310kPa [gage]において）として評価を行っているが、8.1kg/s（格納容器圧力310kPa [gage]において）とした場合でも上記の傾向は同様である。

(4) まとめ

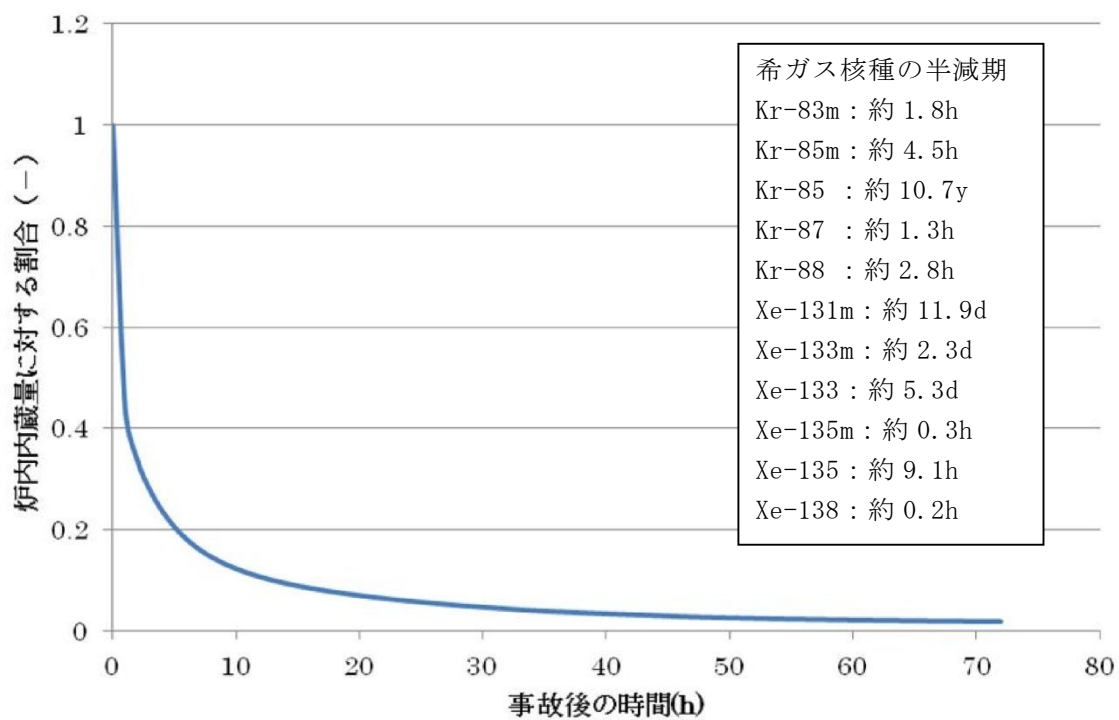
上記のとおり、有効性評価の事故シナリオにおいて、ドライウエル側からのベント時の希ガスの減衰効果は限定的となる。そのため、長期にわたる土壌汚染を抑制する観点から、サプレッション・チェンバ側からのベントを選択することが好ましいと考えられることから、東海第二ではサプレッション・チェンバ側からのベントを優先することとしている。



第 1 図 サブプレッション・チェンバ側からのベント (19 時間ベント)
の格納容器圧力推移



第 2 図 ドライウエル側からのベント (34 時間ベント)
の格納容器圧力推移



第3図 事故発生後の希ガス発生量の時間変化（核種合計）

コリウムシールド侵食時のガス及びエアロゾル発生について

MCCI発生時には、コンクリートが加熱・分解されることに伴い、水蒸気やCO₂が発生する。また、この水蒸気やCO₂が、溶融炉心中のZrと反応し、H₂及びCOが発生する。これらの気体が気泡となり溶融炉心内を上昇する間に、溶融炉心中の低沸点物質が蒸発し気泡内に取り込まれ、溶融炉心の外へ放出された際に凝縮することで、エアロゾルが発生する^{※1}。

これに対して、コリウムシールドの成分としてZrO₂の他に微量の[]
[]が含まれているが、水分やC（炭素）等、気体の発生源となる成分を含まない。したがって、仮に溶融炉心によって侵食された場合にも、ガスは発生せず、侵食に伴うエアロゾルの発生も発生しない。

※1 D. A. Powers, J. E. Brockmann, A. W. Shiver, “VANESA: A Mechanistic Model of Radionuclide Release and Aerosol Generation During Core Debris Interactions With Concrete”, NUREG/CR-4308, 1986.

格納容器圧力逃がし装置使用後の保管管理

格納容器圧力逃がし装置使用後には、フィルタ装置には多量の放射性物質が捕集される。そのため、フィルタ装置に捕集された放射性物質が環境に放出することがないように、格納容器圧力逃がし装置使用後は、フィルタ装置内のスクラビング水を格納容器へ移送し、気中保管する。

なお、「別紙 10」に記載のとおり、フィルタ装置に放射性物質を含んだスクラビング水が保管されていたとしても、ベンチュリスクラバから環境への放射性物質の再揮発は防止可能であるが、放射性物質の放出リスクをさらに低減するため、スクラビング水を格納容器へ移送する。

また、「別紙 9」に記載のとおり、金属フィルタに捕集した放射性物質は、フィルタ装置使用後にベントガス流れがない状態においても、崩壊熱に伴う金属フィルタの過熱による放射性物質の再浮遊は生じないことを確認している。

よう素除去部で捕集した放射性よう素は、「別紙 11」に記載のとおり、高温状態で数時間程度水素を通気した場合によう素の再揮発が起こるが、スクラビング水を格納容器へ移送することで、よう素除去部に水素が流入しないようにし、よう素除去部からの放射性よう素の再浮遊を防止する。

なお、格納容器圧力逃がし装置使用後には、フィルタ装置出口配管に設置している放射線モニタにて、フィルタ装置からの放射性物質の放出がないことを確認する。

ベント放出高さの違いによる被ばくへの影響について

格納容器圧力逃がし装置の放出高さ（原子炉建屋屋上放出、排気筒放出）の違い（補足 1 参照）による被ばくへの影響を評価した結果、以下に述べるとおり有意な影響はないことを確認した。

(1) 炉心損傷前のベント実施時における被ばく評価への影響

炉心損傷前のベント実施時における、非居住区域境界外の実効線量は、原子炉建屋屋上放出（地上放出）では約 0.16mSv、排気筒放出では約 0.019mSv であり、判断基準（5mSv）に対して十分余裕がある値となっている（補足 2 参照）。

(2) 炉心損傷後のベント実施時における被ばく評価への影響

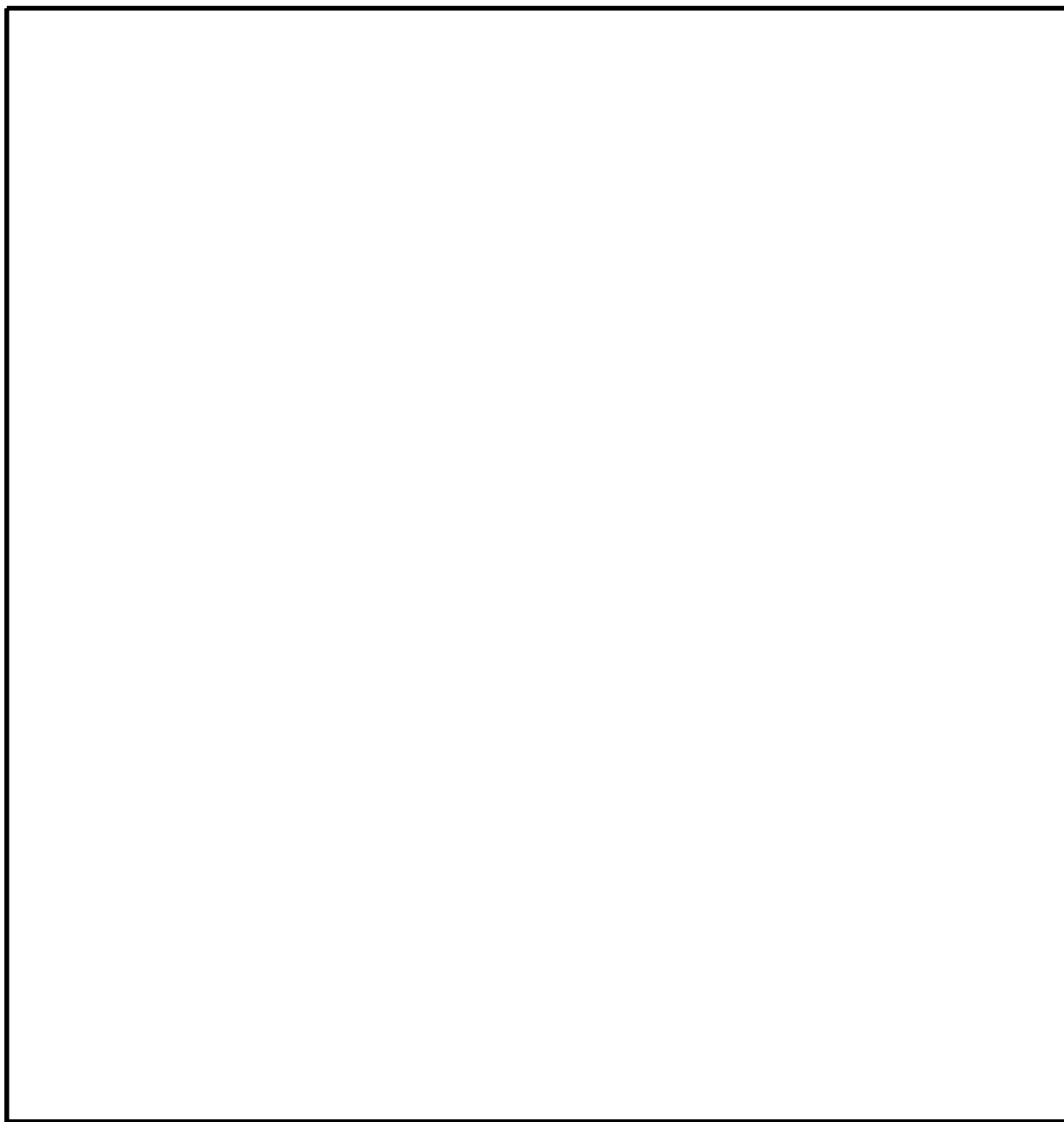
炉心損傷後のベント実施時における $Cs-137$ の放出量は、判断基準である 100TBq を十分下回る値となっているが、セシウムによる長期土壌汚染の観点から、遠距離地点の地上濃度について放出高さの違いによる影響を評価した。その結果、排気筒放出に比べ、風下距離 5km～30km で約 1.1 倍～約 1.7 倍であり影響は小さいことを確認した（補足 3 参照）。

さらに、発電所周辺地形及び実際の放出位置を模擬できる 3次元移流拡散コードによる評価においても、同等の結果が得られた（補足 4 参照）。

また、ベント実施に伴う敷地内作業の作業員被ばくについても原子炉建屋屋上放出、排気筒放出の場合についてそれぞれ評価を行い、放出高さの違いによる影響は小さいことを確認した（補足 5 参照）。

補足 1 格納容器圧力逃がし装置放出位置と排気筒放出位置の位置関係
について

格納容器圧力逃がし装置の屋外配管及び非常用ガス処理系排気筒の屋外配管の位置関係を第 1 図に示す。格納容器圧力逃がし装置排気口は原子炉建屋南側屋上（地上約 55m）付近に設置しており，非常用ガス処理系排気筒の放出口は原子炉建屋東側地上約 140m の位置にある。



第 1 図 格納容器圧力逃がし装置放出位置と排気筒放出位置の位置関係図

補足 2 短期被ばくの主因となる放射性希ガス及びよう素による影響

(非居住区域境界周辺への影響)

格納容器圧力逃がし装置によって粒子状の放射性物質は大幅に低減されることから、短期的には放射性希ガス及びよう素による被ばくが支配的となる。格納容器圧力逃がし装置の放出位置は原子炉建屋屋上としているが、非居住区域境界外の被ばく評価では、放出高さを保守的に地上放出としている。ここでは、排気筒放出と仮定した場合の放射性希ガスによる外部被ばく及び放射性よう素の吸入による内部被ばくの実効線量の合計を比較して第 1 表に示す。また、排気筒放出の場合の放出源の有効高さは、東海第二発電所での風洞実験結果を用いる。

放出高さの違いによる実効線量の差異については、地上放出とした場合約 0.16mSv、排気筒放出とした場合約 0.019mSv と評価され、5mSv に対していずれも十分余裕がある。

また、3次元移流拡散評価コードである緊急時環境影響評価システム（以下「AREDES」という。）を用い、格納容器圧力逃がし装置からの放出（原子炉建屋屋上放出）を想定した大気拡散評価から実効線量を計算した結果を第 1 表に示す。また、AREDESの入力条件、評価位置等は、第 2 表及び第 2 図に示す。なお、AREDESの詳細については補足 4 に示す。

AREDESによるシミュレーションの結果においても、実効線量は約 0.08mSv であり、5mSv に対して十分余裕がある。

第 1 表 放出高さの違いによる非居住区域境界外での実効線量等の比較

項目	建屋屋上放出 ^{※1}	排気筒放出	AREDESによる評価 ^{※3}
放出高さ (m)	0 (地上)	95~115 (排気筒)	57 (原子炉建屋屋上)
風向風速 データ	地上風 (地上高 10m)	排気筒風 (地上高 140m)	2005 年度の平均風速 から気流計算
評価方位	NW	W	W
相対線量 (Gy/Bq)	約 4.1×10^{-19}	約 8.1×10^{-20}	約 3.1×10^{-19}
相対濃度 (s/m ³)	約 3.1×10^{-5}	約 2.0×10^{-6}	約 8.4×10^{-6}
実効線量 ^{※4} (mSv)	約 0.16 ^{※2}	約 0.019	約 0.08

※1 申請書ではベント放出について保守的に地上放出と想定し被ばく評価している。

※2 炉心損傷防止対策の有効性評価における非居住区域境界外での周辺公衆の実効線量

※3 AREDESを用いて、原子炉建屋屋上のベント放出位置（地上 57m）からの放出を評価

※4 実効線量の評価に用いる希ガスの放出量は約 1.5×10^{14} Bq（ガンマ線 0.5MeV 換算値）、よう素の放出量は約 2.3×10^{11} Bq（I-131 等価量）

第 2 表 AREDES への主な入力条件(周辺監視区域境界)

項目	評価条件	備考
風速	地上 10m : 3.1m/s 地上 81m : 5.1m/s 地上 140m : 5.4m/s	東海第二発電所構内で観測された各高度の年間 (2005 年度) の平均風速から設定
風向	E 方向	排気筒放出時の主風向を参考に設定
大気安定度	D 型 (中立)	東海第二発電所構内で観測された大気安定度のうち, 年間 (2005 年度) で最も出現頻度の高い大気安定度
放出高さ	屋上放出 : 地上 57m	格納容器圧力逃がし装置の放出位置から設定
評価地点	W 方向 : 530m	周辺監視区域境界を評価点として設定



第 2 図 AREDES 評価画面を基にした評価位置図(周辺監視区域境界)

補足 3 長期土壌汚染の主原因となる放射性セシウム等による影響

(遠距離地点への影響)

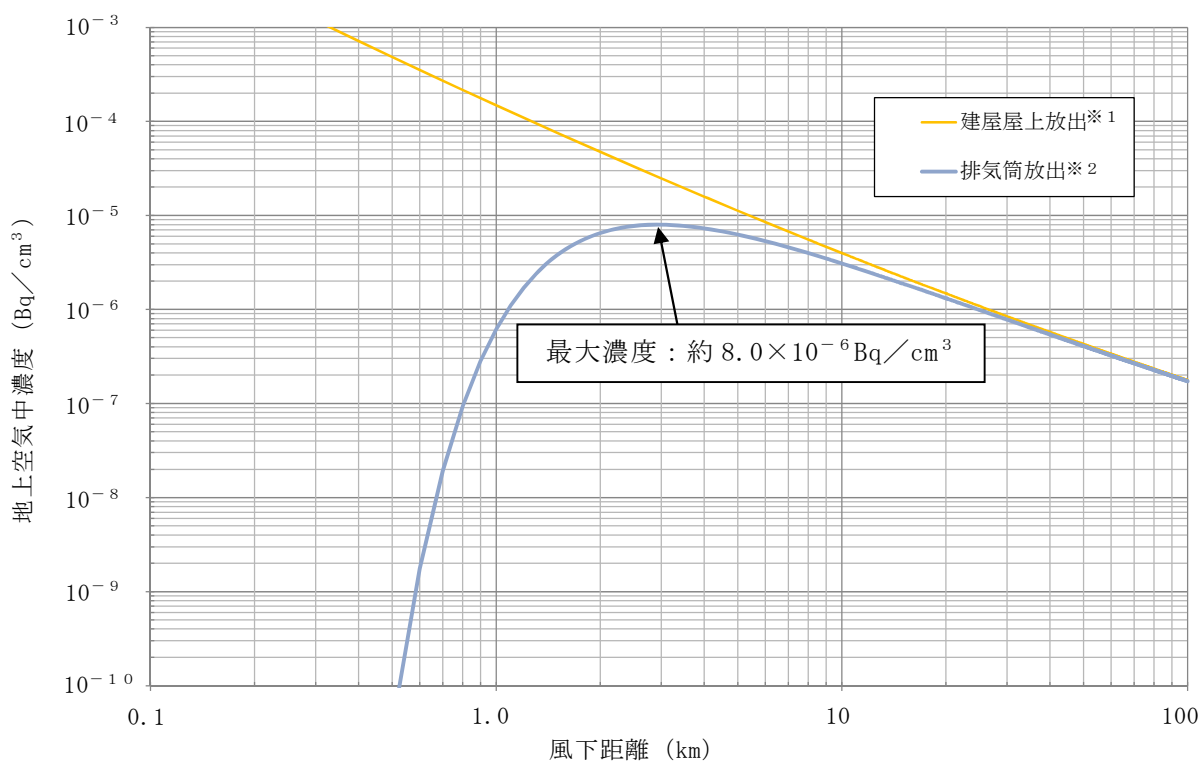
格納容器圧力逃がし装置は広域の地表汚染を防止するために設置するものであり、風下距離で 5km, 10km, 20km, 30km 地点での放出高さの影響を検討する。また、参考として非居住区域境界外での影響を確認した。

土壌汚染は大気中に拡散した放射性セシウム等が地表に沈着することによって生じることから、地上空気中濃度に依存する。このため、放出高さを排気筒と仮定した場合と原子炉建屋屋上の場合の上記の地点における地上空気中濃度を比較して第 3 表に示す。また、風下距離による地上空気中濃度の変化を第 3 図に示す。ここで、放出高さは排気筒放出の場合は東海第二発電所の風洞実験で風向ごとに求めた値の平均値 (105m)、原子炉建屋屋上放出の場合は地上 (0m) とし、大気安定度は中立、風速は 1m/s、放出率は 1Bq/s とした。地上空気中濃度は、原子炉建屋屋上放出の場合には排気筒放出の場合に比べ、風下距離 5km では約 1.7 倍、10km では約 1.3 倍、20km では約 1.2 倍、30km では約 1.1 倍であり、風下距離とともにその差は小さくなる。

なお、格納容器圧力逃がし装置での放射性物質の低減効果（粒子状物質で 1/1000）を考慮すれば、土壌汚染抑制の観点からは原子炉建屋屋上放出と排気筒放出では大差はないと考える。

第 3 表 遠距離地点の地上空气中濃度の比較

風下距離	建屋屋上 (Bq/cm ³)	排気筒 (Bq/cm ³)	備 考 (屋上：排気筒)
5km	約 1.1×10^{-5}	約 6.3×10^{-6}	1.7 : 1
10km	約 4.0×10^{-6}	約 3.1×10^{-6}	1.3 : 1
20km	約 1.5×10^{-6}	約 1.3×10^{-6}	1.2 : 1
30km	約 8.4×10^{-7}	約 7.8×10^{-7}	1.1 : 1



第 3 図 風下距離による地上空气中濃度の変化

※1 放出点からNW方向の非居住区域境界は 600m

※2 放出点からW方向の非居住区域境界は 530m

補足 4 AREDESを用いた放出高さの違いによる影響評価

a. AREDESについて

放出高さの違いによる拡散効果への影響について、3次元移流拡散評価コードであるAREDESを用いて評価を行った。AREDESには、東海第二発電所周辺の地形データが入力されており、地形の形状を考慮した大気拡散評価が可能である。AREDESにより、単位放出量当たりの拡散係数（相対濃度（ x/Q ）及び相対線量（ D/Q ））を評価し、放出高さの違いによる拡散効果への影響を評価した。

b. AREDESへの入力条件について

東海第二発電所における放出高さの違いによる拡散効果の影響を確認するために、原子炉建屋屋上（格納容器圧力逃がし装置排気口）及び排気筒の2つの放出高さを設定した。

拡散効果を確認するために、各高度における一定の気象条件（風向、風速、大気安定度）を入力条件として評価を行った。なお、AREDESは地形影響を考慮できるため、放出高さは実際の放出位置を設定した。

主な入力条件を第4表に示す。また、AREDESの評価画面を用いた評価位置を第4図に示す。

第 4 表 AREDES への主な入力条件（放出点から 5km 地点）

項目	評価条件	備考
風速	地上 10m : 3.1m/s 地上 81m : 5.1m/s 地上 140m : 5.4m/s	東海第二発電所構内で観測された各高度の年間（2005 年度）の平均風速から設定
風向	E 方向, SE 方向	地上放出時, 排気筒放出時の主風向を参考に設定
大気安定度	D 型（中立）	東海第二発電所構内で観測された大気安定度のうち, 年間（2005 年度）で最も出現頻度の高い大気安定度
放出高さ	屋上放出 : 地上 57m	格納容器圧力逃がし装置の放出位置から設定
	排気筒放出 : 地上 140m	非常用ガス処理系の放出位置から設定
評価地点	W 方向 : 5km	放出点から W 方向の遠距離地点（5km）に設定
	NW 方向 : 5km	放出点から NW 方向の遠距離地点（5km）に設定



第 4 図 AREDES 評価画面を基にした評価位置図（放出点から 5km 地点）

c. A R E D E Sによる評価結果

A R E D E Sによるシミュレーション結果を第5表に示す。

気象指針に基づいた評価と同様、遠距離地点においては原子炉建屋屋上放出と排気筒放出の拡散効果の差異が小さく、その差は約2倍～3倍となった。

第5表 遠距離地点の χ/Q 及び D/Q の比較

評価地点	拡散係数	屋上放出 (地上 57m)	排気筒放出 (地上 140m)	屋上：排気筒
W方位 5km	χ/Q (s/m ³)	2.1×10^{-6}	9.0×10^{-7}	2.3 : 1
	D/Q (Gy/Bq)	9.1×10^{-20}	5.6×10^{-20}	1.6 : 1
NW方位 5km	χ/Q (s/m ³)	1.7×10^{-6}	6.4×10^{-7}	2.7 : 1
	D/Q (Gy/Bq)	1.0×10^{-19}	5.2×10^{-20}	1.9 : 1

d. A R E D E Sの評価結果の妥当性について

A R E D E Sによる大気拡散評価結果の妥当性について、気象指針の基本拡散式に基づく大気拡散評価結果との比較を行い確認した。評価条件は、第6表に示すとおりとし、排気筒放出におけるW方向の周辺監視区域境界を評価点における相対濃度の評価を行った。その結果、第7表に示すとおりA R E D E Sによる評価結果が気象指針に基づく評価結果と同等であり、A R E D E Sの評価結果が妥当であることを確認した。

また、A R E D E Sについては、以下の参考図書にトレーサ拡散実験や他のシミュレーションとの比較検証結果が示されている。参考図書1には、米国にて実施された屋外におけるトレーサ拡散実験との比較が行われており、風下距離10km以内において非常に良い相関となっていることが記載されている。また、参考図書2には、緊急時迅速放射能影響予測ネットワークシス

テム (S P E E D I) との比較検証を実施した結果, A R E D E S は S P E E D I の評価結果に対して外部線量は 0.8 倍~3.1 倍, 甲状腺線量は 0.4 倍~1.3 倍と記載されている。

参考図書 1: N. Suzuki, K. Sugai, K. Hayashi, M. Suzuki, H. Suwa, Y. Kato, F. H. Liu, and S. Kodama : Construction of System for Environmental Emergency Dose

(注) 本参考図書 1 は D I A N A コードに関するものであるが, D I A N A, A R E D E S とともに電力共通研究の成果を用いており同一のコードである。よって, 本参考図書 1 は A R E D E S にも適用可能である。

参考図書 2: Masatoki Suzuki and Yoshitaka Yoshida : Development of a Rapid Prediction Technology for Emergency Protection Area at Nuclear Accidents

第 6 表 評価条件

項目	A R E D E S	気象指針	備考
風速	地上 10m : 3.1m/s 地上 81m : 5.1m/s 地上 140m : 5.4m/s	地上 140m : 5.4m/s	東海第二発電所構内で観測された各高度の年間 (2005 年度) の平均風速から設定
風向	E 方向	E 方向	地上放出時, 排気筒放出時の主風向を参考に設定
大気安定度	D 型 (中立)	D 型 (中立)	東海第二発電所構内で観測された大気安定度のうち, 年間 (2005 年度) で最も出現頻度の高い大気安定度
放出高さ	地上 140m (排気筒高さ)	115m ^{※1} (放出源有効高さ)	非常用ガス処理系の放出位置から設定
評価地点	W 方向 : 530m	W 方向 : 530m	放出点から W 方向の周辺監視区域境界までの距離

※1 風洞実験結果に基づく放出源有効高さ

第 7 表 排気筒放出における大気拡散評価結果

相対濃度	A R E D E S	気象指針
χ / Q (s/m ³)	約 1.8×10^{-6}	約 1.2×10^{-6}

補足 5 ベント実施に伴う敷地内作業の作業員被ばくの放出高さの違いによる影響

ベント実施に伴う敷地内作業（S/Cからのベント実施時の第一弁開操作、第二弁開操作、スクラビング水補給及び窒素供給作業）の作業員被ばくについて、格納容器圧力逃がし装置の放出位置を原子炉建屋屋上放出、排気筒放出と仮定した場合についてそれぞれ評価を行い、放出高さの違いによる影響を確認した。評価結果を第8表に示す。

ベント実施に伴う敷地内作業の作業員の被ばく評価においては、非常用ガス処理系が起動する前（事象発生～2時間後）までに、炉心損傷に伴い原子炉建屋から地上放出される放射性物質の地表沈着による被ばくが大半を占めている。このことから、格納容器圧力逃がし装置の放出位置の違いによる、ベント（事象発生19時間後）に伴う敷地内作業の作業員被ばくへの影響は小さい。

なお、被ばく評価に当たっては、気象指針に基づき保守的な気象条件で評価を行っているが、現実的な条件で評価を行った場合は線量が低くなると考えられる（参考参照）。

第8表 放出高さの違いによる作業員被ばくの評価結果

（S/Cからのベント実施時）

作業内容		建屋屋上放出	排気筒放出	備考
弁開 操作時	第一弁操作	約 36mSv	約 36mSv	ベント実施前作業
	第二弁操作	約 18mSv	約 15mSv	ベント実施時作業
スクラビング水補給 及び窒素供給作業		約 3.3mSv/h	約 3.3mSv/h	事象発生から7日後の作業

参 考

現実的な気象条件における評価について

事故時の大気拡散評価に係る気象条件は、気象指針に基づき整理しており、これを参考に次式（相対濃度の場合）により風下方位が陸側の全ての方位を対象に現実的な気象条件として中央値を求めた。

$$\chi/Q = \frac{1}{T} \sum_{i=1}^T (\chi/Q)_i \cdot \delta_i$$

ここで、

χ/Q : 実効放出継続時間中の相対濃度 (s/m^3)

T : 実効放出継続時間 (h)

$(\chi/Q)_i$: 時刻 i における相対濃度 (s/m^3)

δ_i : 時刻 i において風向が陸に向う方位にあるとき $\delta_i = 1$
時刻 i において風向が海に向う方位にあるとき $\delta_i = 0$

気象指針に基づいた保守的な気象条件（97%相当値）と現実的な気象条件（中央値）で評価した相対濃度、相対線量を第9表に示す。保守的な評価結果に比べ現実的な評価結果は1/2程度となった。

第9表 保守的及び現実的な評価結果

	気象指針に基づく 保守的な評価	現実的な評価
相対線量 (Gy/Bq)	約 4.0×10^{-19}	約 2.3×10^{-19}
相対濃度 (s/m^3)	約 2.9×10^{-5}	約 1.6×10^{-5}

スクラビング水の pH について

スクラビング水は、無機よう素をスクラビング水中に捕集・保持するためにアルカリ性の状態（pH7 以上）に維持する必要があるが、重大事故等時には、格納容器内のケーブルから放射線分解、熱分解等により塩化水素（HCl）等の酸として放出され、ベント実施により格納容器からフィルタ装置（スクラビング水）に移行するため、pHが低下する可能性がある。

これに対して、スクラビング水は、待機時における重大事故等時に発生する可能性がある酸の量に対して十分な塩基量を確保することにより、ベント実施中の pH 監視を実施することなく、確実にアルカリ性の状態を維持することとしている。

なお、スクラビング水の pH については、pH 計を設置し、pH がアルカリ性の状態となっていることを原子炉停止中に適宜確認する。

(1) 格納容器内の酸性物質及び塩基性物質

重大事故等時に格納容器内において発生する酸性物質と塩基性物質については、NUREG/CR-5950において検討が実施されており、その発生源として燃料（核分裂生成物）、原子炉水、サプレッション・プール水溶存窒素、格納容器内塩素含有被覆材ケーブル、格納容器下部コンクリートが掲げられている。これに加え、格納容器内の塗料についても成分元素に窒素が含まれており、酸として硝酸、塩基としてアンモニア等の発生源となる可能性がある。主な酸性物質、塩基性物質を発生源ごとに第1表に示す。

第1表 主な酸性物質と塩基性物質

発生源	酸性物質	塩基性物質	備考
燃料（核分裂生成物）	よう化水素 (HI)	水酸化セシウム (CsOH) 等	
原子炉水	—	五ほう酸ナトリウム (Na ₂ B ₁₀ O ₁₆)	ほう酸水注入系によりほう酸水を原子炉へ注入した場合
サプレッション・プール水溶存窒素	硝酸 (HNO ₃)	—	
格納容器内塩素含有被覆材ケーブル	塩化水素 (HCl)	—	
格納容器下部コンクリート（溶融炉心落下時）	二酸化炭素 (CO ₂)	—	
格納容器内塗料	硝酸 (HNO ₃)	アンモニア (NH ₃)	

これらのうち、酸性物質が発生することが知られているサプレッション・プール水溶存窒素の放射線の照射により発生する硝酸、原子炉圧力容器が破損した場合にMCCIにより発生する二酸化炭素に加え、pHへの寄与が大きいと考えられる塩素含有被覆材ケーブルの放射線分解及び熱分解により発生する塩化水素、スクラビング水中で分解する際に塩基を消費する[]が、スクラビング水の塩基量を評価する上で重要であることから、以下では、これらの発生量を評価することとする。

a. 格納容器内ケーブルの被覆材の放射線分解による酸の発生量

格納容器内の塩素含有被覆材ケーブルについて、放射線分解により発生する塩化水素量をNUREG/CR-5950の放射線分解モデルに基づき評価した。なお、ケーブル量については、実機調査を行った（参考）。

有効性評価シナリオ「雰囲気圧力・温度による静的負荷（格納容器過圧・過温破損）（代替循環冷却系を使用できない場合）」において、ベン

ト時（事象発生から約19時間後）には [] mol, 7日後には [] mol, 60日後には [] molの酸性物質が格納容器内で生成されると評価した。

b. 格納容器内電気ケーブルの被覆材の熱分解による酸の発生量

熱分解については、原子炉圧力容器損傷前の格納容器内環境（200℃以下）ではケーブルからの塩酸の発生はほとんどないことから、炉心損傷などによるデブリ接近によりケーブル温度が著しく上昇した場合を想定した酸性物質の放出量を評価した。

ここでは、格納容器ペDESTAL内に配置された塩素を含有するケーブルの被覆材から塩化水素が放出されると仮定し、ペDESTAL内ケーブルの塩酸含有量 [] kgの全量が放出されるものとして、 [] の酸が発生すると評価した。

c. サプレッション・プール水での放射線分解による硝酸の発生量

重大事故等時において、サプレッション・プール水中ではサプレッション・プール水溶存窒素の放射線の照射によって硝酸が生成される。

なお、格納容器内に放出されたエアロゾルの一部はフィルタ装置のスクラビング水に移行し、フィルタ装置内での硝酸の発生に寄与すると考えられるが、ここでは、格納容器内に放出された放射性よう素を全てエアロゾル（CsI）とし、サプレッション・プール水に全てのエアロゾルが移行するものとして、硝酸の発生量を評価した上で、発生した硝酸は全てフィルタ装置に移行し、スクラビング水の塩基と反応するものとして評価している。このため、ラジオリシスによるスクラビング水のpHの影響は保守的に評価されている。

NUR EG-1465, Reg. Guide. 1. 183及びNUR EG/CR-5950に基づき、サプレッション・プール水の積算吸収線量から硝酸の生成量を評価した結果、ベント時（事象発生から約19時間後）には mol、7日後には mol、60日後には molとなる。

$$[\text{HNO}_3] = \frac{G \times 10}{1.602 \times 10^{-19} \times 6.022 \times 10^{23}} \times (E(t)^\gamma + E(t)^\beta)$$

ここで、

[HNO₃] : 硝酸濃度 (mol/L)

G : HCO₃ の水中におけるG値 (個/100eV)

E(t)^γ, E(t)^β : γ線とβ線の積算吸収線量 (kGy)

d. MCC Iにより発生する二酸化炭素の発生量

MCC I対策としてコリウムシールドを設置するため、原子炉压力容器が破損した場合でも熔融炉心によるコンクリート侵食は発生しないものの、保守的に約30cmのコンクリート侵食を見込み評価する。

MCC Iにより発生する二酸化炭素のほとんどは、高温環境下において熔融炉心に含まれる金属元素によって酸性物質ではない一酸化炭素に還元されるが、全て二酸化炭素として評価した結果、二酸化炭素の発生量は molとなる。

二酸化炭素は塩化水素ほど溶解度が大きくないため、フィルタ装置内では全量がスクラビング水に溶解することはない、また弱酸のため、酸性物

質としてスクラビング水に与える影響は小さいと考えるが、本評価では保守的にスクラビング水の pH に影響を与える酸性物質として評価する。

e. 無機よう素の捕集により消費される塩基の量

ベンチュリスクラバに流入する無機よう素の量を以下のとおり設定した。

- ・ 事故時に炉内に内蔵されるよう素元素量

BWR プラントにおける代表炉心 (ABWR) の平衡炉心末期を対象とした ORIGEN 2 コードの計算結果に対して、東海第二発電所の熱出力 (3,293MW) を考慮して算出した結果、約 24.4kg とする。

- ・ 格納容器への放出割合

NUREG-1465 に基づき、格納容器内へのよう素の放出割合を 61% とする。

- ・ 格納容器に放出されるよう素の元素割合

Regulatory Guide 1.195 に基づき、よう化セシウム 5%、無機よう素 91%、有機よう素 4% とする。

以上より、ベンチュリスクラバに流入する無機よう素 (分子量 253.8g/mol) の量は約 13.6kg (約 53.6mol) となる。

(ベンチュリスクラバに流入する無機よう素の量)

$$24.4[\text{kg}] \times 61\% \times 91\% = 13.6[\text{kg}]$$

$$13.6 \times 10^3 [\text{g}] / 253.8 [\text{g/mol}] = 53.6 [\text{mol}]$$

(1) 式に示すとおり、無機よう素はベンチュリスクラバにて薬剤 () との反応により捕集される。

$$\text{} \cdot \cdot \cdot (1)$$

この反応によって消費される塩基の量は mol となる。なお、この

反応において [] mol 消費される。

f. [] の分解により消費される塩基の量

スクラビング水に含まれる [] は、酸素が存在する場合、水酸化物イオンと下記の反応により分解することが知られており、分解される [] の量は、スクラビング水の積算吸収線量の増加に伴って増加する。

ここでは、スクラビング水の積算吸収線量によらず、また、上述のe項で算出した消費される [] の量を見込まず、スクラビング水に含まれる [] 全量が分解したとして、塩基の消費量を評価した結果、 [] の分解により消費される塩基の量は [] mol となる。

(2) フィルタ装置での塩基の消費量

(1) 項で生成した酸性物質は、ほとんどが液相に溶解してサプレッション・プールに移行し、ベント時にはサプレッション・プール水に残留してフィルタ装置には移行しない可能性もあるが、保守的に全量が移行するとして評価する。スクラビング水の消費される塩基の量は、以下のとおりとなる。

【事象発生7日後での塩基の消費量 (mol) 】

- ・ ケーブルの放射線分解の塩化水素で消費される塩基の量 mol
- ・ ケーブルの熱分解の塩化水素で消費される塩基の量 mol
- ・ S / P*水から発生する硝酸で消費される塩基の量 mol
- ・ MCC I で発生する二酸化炭素で消費される塩基の量 mol
- ・ 無機よう素の捕集により消費される塩基の量 mol
- ・ の分解により消費される塩基 mol

【事象発生60日後での塩基の消費量 (mol) 】

- ・ ケーブルの放射線分解の塩化水素で消費される塩基の量 mol
- ・ ケーブルの熱分解の塩化水素で消費される塩基の量 mol
- ・ S / P*水から発生する硝酸で消費される塩基の量 mol
- ・ MCC I で発生する二酸化炭素で消費される塩基の量 mol
- ・ 無機よう素の捕集により消費される塩基の量 mol
- ・ の分解により消費される塩基 mol

※ S / P : サプレッション・プール

(3) スクラビング水の pH 評価結果

フィルタ装置は無機よう素 (I_2) を捕集及び保持するものであるため、2ヶ月でよう素が十分減衰することを考慮し、スクラビング水には保守的に設定した60日後の塩基の消費量 (mol) を考慮する。

消費される mol の塩基に相当する の濃度は、待機時最低水位 時に) となることから、これに余裕を考慮して、スクラビング水の 濃度

は、待機時最低水位 [] 時は [] wt%とする。

[]

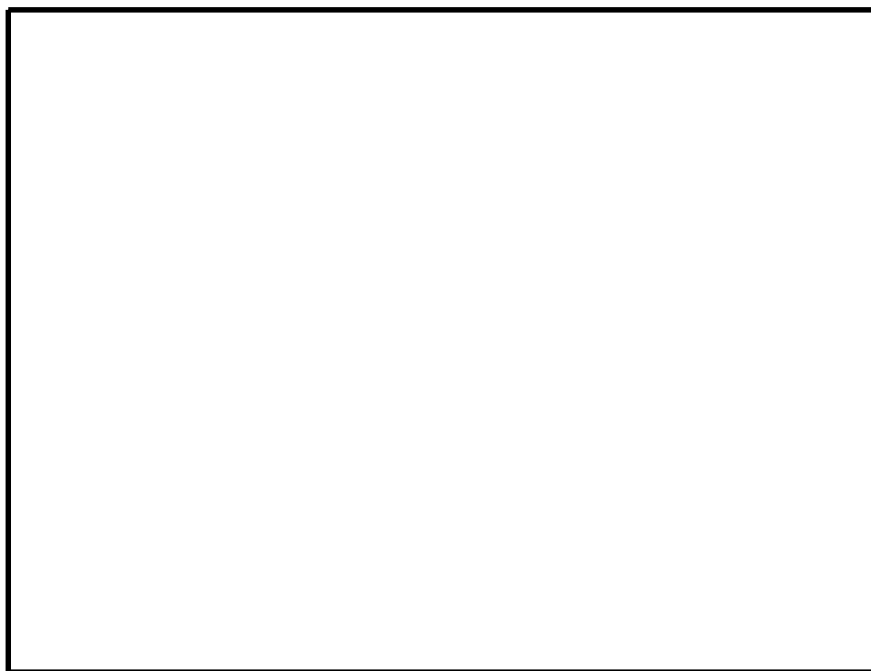
この場合、初期の pHは []，60日後のスクラビング水の pHは [] であり、スクラビング水はアルカリ性の状態を維持できる。なお、電気ケーブルに含まれる酸性物質の総量 [] mol) が全て分解し、フィルタ装置に移行した場合であっても60日後の塩基の消費量は [] [] であり、待機時にスクラビング水に含まれる [] の量は十分である。この場合、スクラビング水の pHは [] となる。

(4) 薬液の劣化・濃度均一性

フィルタ装置スクラビング水に添加する [] の水系の相平衡については、「Cmelins Handbuch der anorganischer Chemie, Natrium, 8 Auflage, Verlag Chemlie, Berlin 1928」より、第1図のとおり示されている。第1図より、フィルタ装置スクラビング水の添加濃度である [] では、水温が0℃以上であれば相変化は起こらない（つまり析出することはない）ことがわかる。フィルタ装置は [] の地下埋設部に設置することとしており、スクラビング水は0℃以上となる。よって、フィルタ装置待機中に [] が析出することはない。

また、 [] は非常に安定な化学種であり、フィルタ装置待機中、フィルタ装置は圧力開放板により外界と隔離され、窒素雰囲気になされることから、フィルタ装置待機中において、薬液が変質することはない。

また、フィルタ装置を使用すると、ベンチュリノズルから噴射されるベントガスによりバブリングされ、 [] は均一に拡散されると考えられる。



第1図 [] の水系相平衡図

(5) スクラビング水の管理について

(3)に記載したとおり，スクラビング水は待機時に十分な薬剤の量を確保しておくことで，ベントを実施した際に格納容器から酸が移行した場合においても，スクラビング水はp H7以上を維持できる。以上を踏まえ，スクラビング水の管理について以下に示す。なお，系統待機時の管理については，原子炉施設保安規定に規定する。

a. 系統待機時の管理

- ・施設定期検査時に [] の濃度が [] であること及びp Hが13以上であることを確認する。
- ・スクラビング水が通常水位の範囲内であることを確認する。

b. ベント中の管理

- ・スクラビング水の水位を監視し，水位低に至る場合においては，水を補給する。

c. ベント停止後（隔離弁閉止後）

- ・ ベント停止後において、フィルタ装置に異常がないことを確認するため、フィルタ装置水位計にて、スクラビング水の水位が確保されていること（フィルタ装置のスクラビング水の移送後を除く）を確認する。

〈参考図書〉

1. NUREG/CR-5950 “Iodine Evolution and pH Control”, Dec. 1992
2. NUREG/CR-5564 “Core-Concrete Interactions Using Molten UO₂ With Zirconium on A Basaltic Basement”, Apr. 1992

(参考) 東海第二発電所 格納容器内ケーブル量調査

pH低下に寄与する支配的な物質とされるケーブルに含有される塩化水素量を評価するため、格納容器内のケーブル量を建設記録及び工事記録により調査を行った。

格納容器内のケーブル量調査フロー

①建設記録よりケーブル量を調査・集計

(線種, サイズごとに本数と長さを集計)



②工事記録におけるケーブル取替, 敷設実績を調査・反映



③格納容器ペデスタル内に限定したケーブル量の調査・集計

(ペデスタル内に接続されるケーブルの全長を保守的に集計)



④ケーブル被覆材ごとに表面積, 塩化水素含有量を算出

(今後の設備更新等を想定し, 保守的に算出)

以上により集計した格納容器内のケーブル量調査結果を第1表に示す。

第1表 格納容器内のケーブル量調査結果

用途	ケーブル仕様	シース表面積 (m^2)	酸の量 (mol)

用途	ケーブル仕様	シース表面積 (m^2)	酸の量 (mol)

計装設備が計測不能になった場合の推定方法，監視場所について

(1) 計装設備の個数の考え方について

格納容器圧力逃がし装置の計装設備は，系統運転時において計装設備の機能喪失が格納容器圧力逃がし装置の機能維持のための監視及び放射性物質の除去性能の監視に直接係るパラメータについては，計器を多重化する設計としている。

多重化対象の監視パラメータは以下のとおりである。

- ・フィルタ装置水位

(2) 計測不能となった場合の推定方法について

格納容器圧力逃がし装置の計装設備は，計器の故障等により計測ができない場合においても代替パラメータによる推定が可能である。各主要パラメータに対する代替パラメータ及び代替パラメータによる推定方法を第1表に，計装設備概略構成図を第1図に示す。

なお，格納容器圧力逃がし装置の動作確認（圧力開放板の開放確認）に用いるフィルタ装置出口放射線モニタ（高レンジ）については，屋内設置に伴い設置台数を2台から1台へ変更しており，代替パラメータとして，フィルタ装置圧力を設定している。また，フィルタ装置出口放射線モニタが測定できない場合でも，格納容器雰囲気放射線モニタにてベント時に放出される放射性物質濃度を推定することが可能である。

(3) 計装設備の監視場所の考え方について

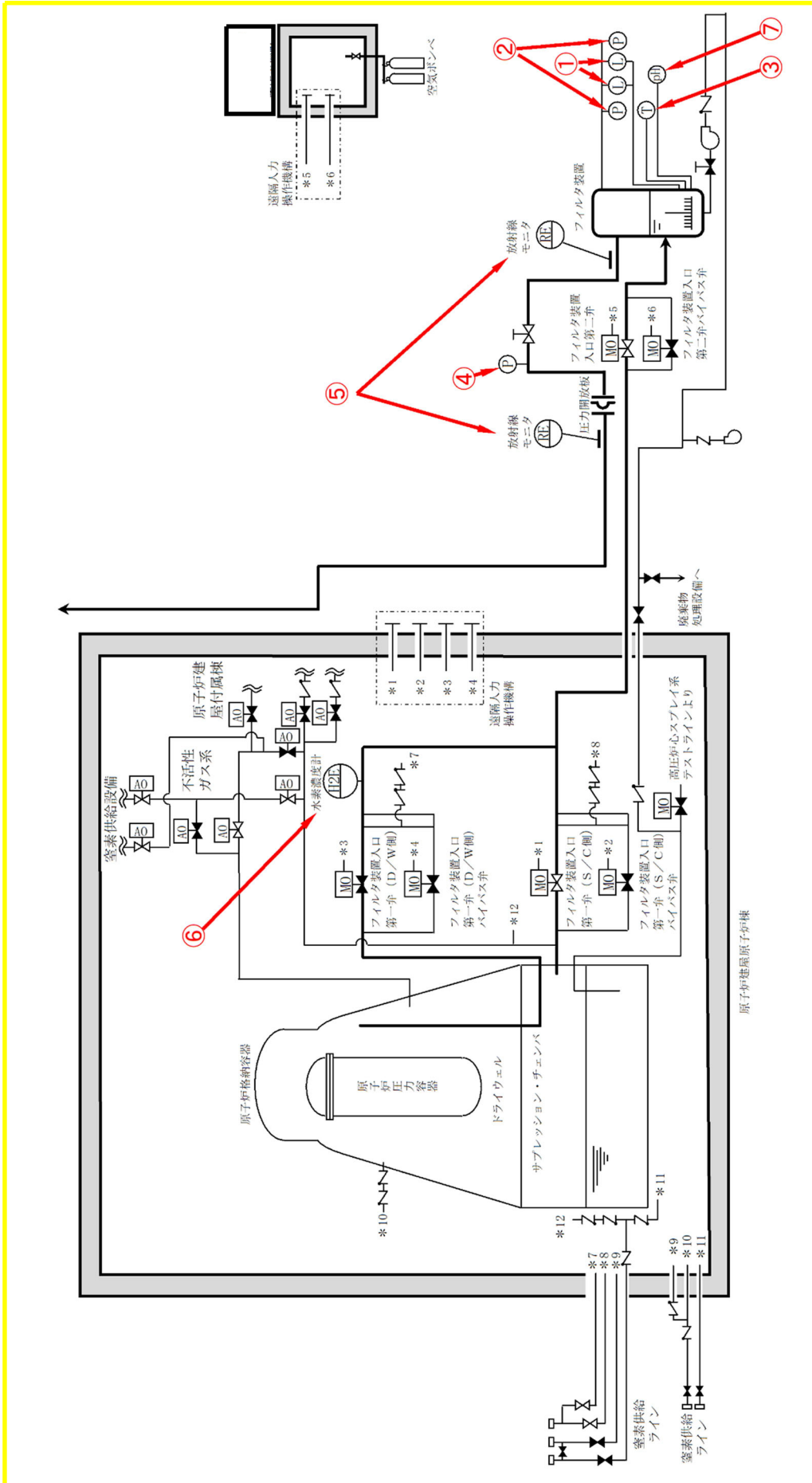
格納容器圧力逃がし装置の計装設備は，中央制御室において集中監視を行う設計としている。また，中央制御室の運転員を介さず，事故状態を把握できるよう緊急時対策所においても監視可能とする。なお，フィルタ装

置水位とフィルタ装置圧力は、スクラビング水の補給・移送操作及び窒素置換操作時に現場でも確認できるように、現場計器も設置する計画である。

第 1 表 格納容器圧力逃がし装置計装設備の代替パラメータによる推定方法

主要パラメータ	個数	監視場所	計測範囲	監視目的	代替パラメータ	代替パラメータによる推定方法
① フィルタ装置水位	2	中央制御室, 緊急時対策所	180~5,500mm	フィルタ装置性能維持のための水位監視	① フィルタ装置水位	① フィルタ装置水位の1チャンネルのフィルタ装置水位により計測する。
	1 ^{※2}	現場			— ^{※3}	— ^{※3}
② フィルタ装置圧力	1	中央制御室, 緊急時対策所	0~1.0MPa[gage]	系統運転中に格納容器雰囲気ガスがフィルタ装置に導かれていくことの確認	① フィルタ装置スクラビング水温度	① 容器内は飽和状態であるため、スクラビング水温度からフィルタ装置圧力を推定する。
	1 ^{※2}	現場			— ^{※3}	— ^{※3}
③ フィルタ装置スクラビング水温度	1 ^{※1}	中央制御室, 緊急時対策所	0~300℃	フィルタ装置の温度監視	① フィルタ装置スクラビング水温度 (予備側検出素子使用) ② フィルタ装置圧力	① 常用側検出素子が故障した場合は、予備側検出素子により計測する。 ② 容器内は飽和状態であるため、フィルタ装置圧力からスクラビング水温度を推定する。
④ フィルタ装置排気ライン圧力 ^{※2}	1	中央制御室, 緊急時対策所	0~100kPa[gage]	系統待機時の窒素封入による不活性状態の確認	— ^{※3}	— ^{※3}
⑤ フィルタ装置出口放射線モニタ (高レンジ・低レンジ)	1	中央制御室, 緊急時対策所	10 ⁻² ~10 ⁵ Sv/h	格納容器圧力逃がし装置のベントガスの放出確認	① フィルタ装置圧力 ② モニタリング・ポスト又は可搬型モニタリング・ポスト	① フィルタ装置出口放射線モニタが故障した場合は、フィルタ装置圧力からベントガスの放出を推定する。 ② フィルタ装置出口の放射能は系統外に放出されるため、モニタリング・ポスト又は可搬型モニタリング・ポストの指示値からベントガスの放出を推定する。
	1	中央制御室, 緊急時対策所	10 ⁻³ ~10 ⁴ mSv/h		— ^{※3}	— ^{※3}
⑥ フィルタ装置入口水素濃度	2	中央制御室, 緊急時対策所	0~100vol%	事故収束時の系統内の水素濃度の確認	① フィルタ装置入口水素濃度	① フィルタ装置入口水素濃度の1チャンネルが故障した場合は、他チャンネルのフィルタ装置入口水素濃度により計測する。
	1	中央制御室, 緊急時対策所	pH0~14		— ^{※3}	— ^{※3}

※1：温度検出器の検出素子は2重化（ダブルエレメント）している。 ※2：自主対策設備 ※3：自主対策設備のため代替パラメータによる推定は除く。



第1図 格納容器圧力逃がし装置 計装設備概略構成図

ステンレス構造材，膨張黒鉛パッキンの妥当性について

フィルタ装置や入口配管等のスクラビング水の接液部については，内部に保有しているスクラビング水の通常状態での性状（高アルカリ性）と重大事故等に放出される放射性物質を捕集・保持すること（汚染水の貯蔵）を考慮して，耐食性に優れたステンレス鋼を材料として選定している。

第 1 表にスクラビング水接液部の材質について記載する。

第 1 表 スクラビング水接液部の材質

	部位	材質
バウンダリ	容器	
	入口配管接液部	SUS316LTP
	接続配管	SUS316LTP (計装配管，ドレン配管，給水配管)
内部構造物	多孔板，支持部材等	SUS316L
	ベンチュリノズル	
	金属フィルタ	ドレン配管：SUS316LTP
その他	よう素除去部	枠材：SUS316L
	ガスケット類	膨張黒鉛系シール材

スクラビング水は p H13以上の強アルカリ性であることから，各材料については，全面腐食，局部腐食（孔食，すきま腐食）及び応力腐食割れが想定されるため，これらについて検討する。

(1) ステンレス鋼の腐食評価

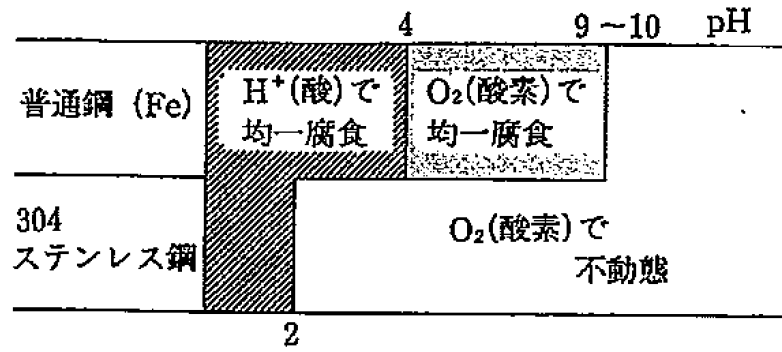
a. 全面腐食

全面腐食は，金属表面の全面にわたってほぼ同一の速度で侵食が進む腐食形態である。SUS304 は第 1 図に示すとおり，p H2 以上で不動態化するため，強アルカリ環境では，全面腐食に対する耐性がある（参考図書 1）。

系統待機時は p H13 以上で水質が維持されることから，不動態化が保て

ることとなる。

同じオーステナイト系ステンレス鋼である SUS316L 等の適用材料についても同様の傾向を示すことから、全面腐食の発生は考え難い。



第1図 大気中酸素に接する水中環境におけるSUS304の腐食形態と pH の関係

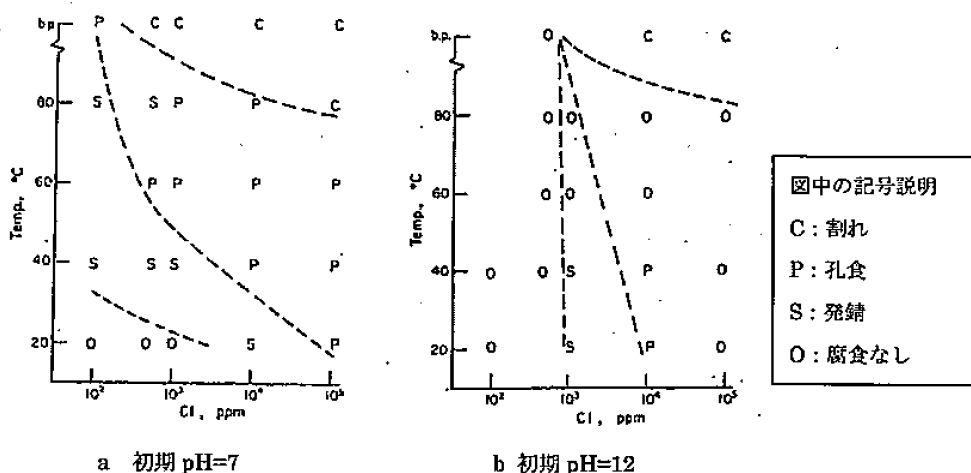
b. 孔食

孔食は、ステンレス鋼のように表面に生成する不動態化膜によって耐食性が保たれている金属において、塩化物イオン等の影響で不動態化膜の一部が破壊され、その部分において局部的に腐食が進行する腐食形態である。

第 2 図に SUS304 の塩化物イオン濃度と温度が腐食形態に及ぼす影響を示す(参考図書 2)。孔食発生の領域は pH7 と比べ pH12 のほうが狭く、アルカリ環境になるほど孔食発生のリスクは低減する。

同じオーステナイト系ステンレス鋼である SUS316L 等の適用材料についても同様の傾向を示すものと評価する。

なお、系統待機時は pH13 以上であり、塩化物イオンの濃度も十分低いと考えられるので、孔食は発生しないものと考えられる。



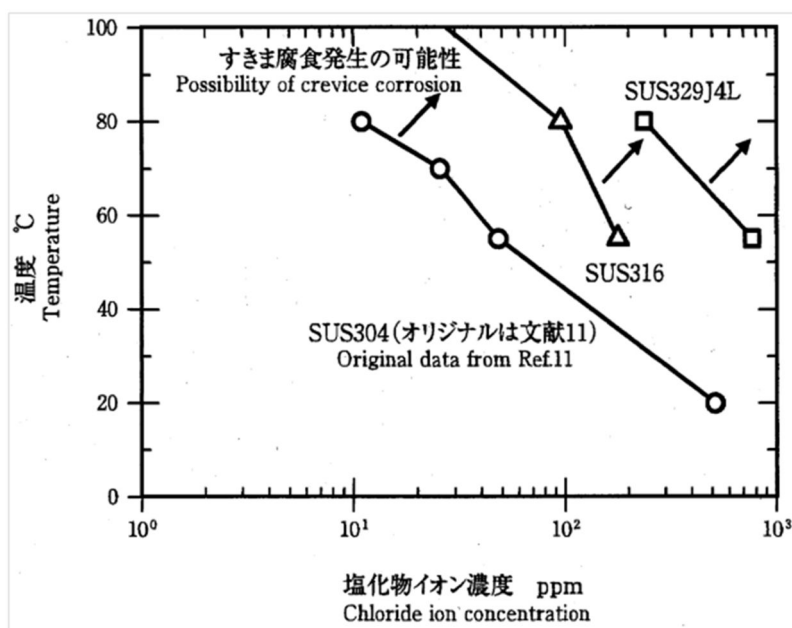
第 2 図 304 ステンレス鋼の pH7 及び pH12 の塩化物イオン濃度と温度が腐食形態に及ぼす影響

c. すきま腐食

すきま腐食は、ステンレス鋼表面の異物付着、構造上のすきま部分において進行する腐食形態であり、その成長過程は孔食と類似している。第 3 図に SUS304 と SUS316 の中性環境におけるすきま腐食発生に対する塩化物イオン濃度と温度の影響を示す（参考図書 3）。

SUS304 及び SUS316 のいずれも塩化物イオン濃度が低い中性環境では、すきま腐食の発生の可能性は低い。前述のとおりアルカリ環境では中性環境より孔食の発生リスクが低いことから、同様な成長過程のすきま腐食についても発生の可能性が低減されるものと考えられる。

同じオーステナイト系ステンレス鋼である SUS316L 等の適用材料についても同様の傾向を示すものと評価する。



第 3 図 SUS304 と SUS316 の中性環境におけるすきま腐食に対する塩化物イオン濃度と温度の影響

d. 応力腐食割れ

応力腐食割れ（以下，SCC という）は，腐食性の環境におかれた金属材料に引張応力が作用して生ずる割れであり，材料，応力，環境の三要因が重畳した場合に発生する。以下にアルカリ環境及び [] 環境における SCC 発生に関する評価結果を示す。

・アルカリ環境におけるSCC

第 4 図に SUS304, SUS316 の [] 濃度に対する SCC 発生限界を示す（参考図書 4）。フィルタ装置の使用環境は， [] [] となる。また，ベント時でスクラビング水が最低水位となった場合の [] [] となる。いずれの場合においても SCC の発生領域から外れており問題のないことがわかる。

使用する材料である SUS316L や [] 等については，耐 SCC 性に優れた材料であることから，さらに信頼性が高いものと評価する。



第 4 図 SUS304, SUS316 の [] 溶液中の耐食性

・ [] 環境下における SCC

第 5 図は [] 水溶液中の SUS304 の低ひずみ速度試験 (SSRT) の結果を示す (参考図書 5)。この試験は室温 (23℃) において、 [] の水溶液中で行った試験であり、鋭敏化していない試験片については、SCC の発生が認められなかったことを示している。実機の [] 濃度も同等であり、SUS316L や [] 等については鋭敏化し難く、耐 SCC 性に優れた材料であることから、より信頼性が高いものと評価する。



第 5 図 [] 水溶液中における 304 ステンレス鋼の SSRT 結果

(2) ベンチュリノズルの耐エロージョン性

a. JAVA PLUS 試験時に使用したベンチュリノズルの確認



第 6 図に示すとおり,

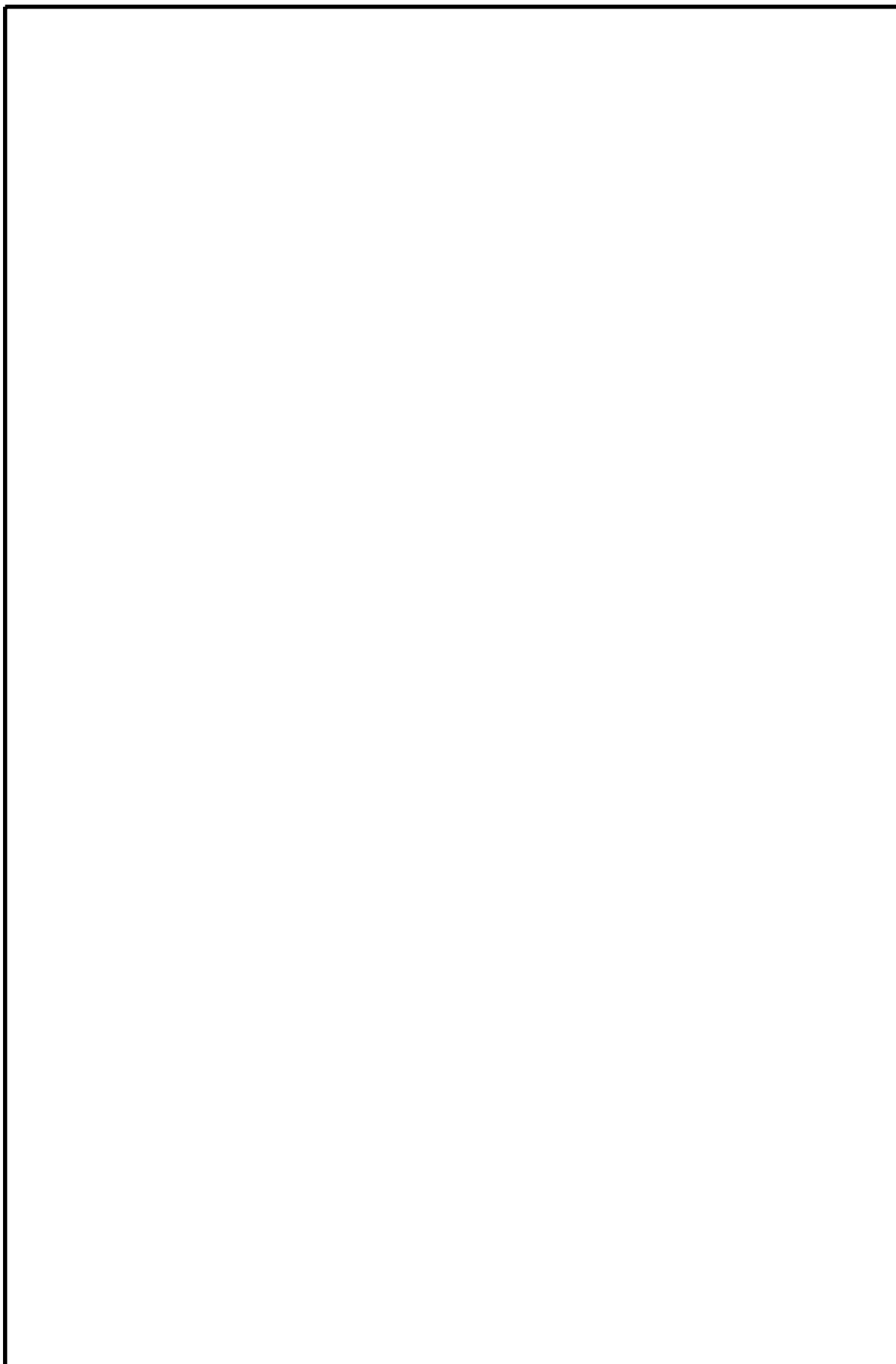


第 6 図 ベンチュリノズル内面観察部位

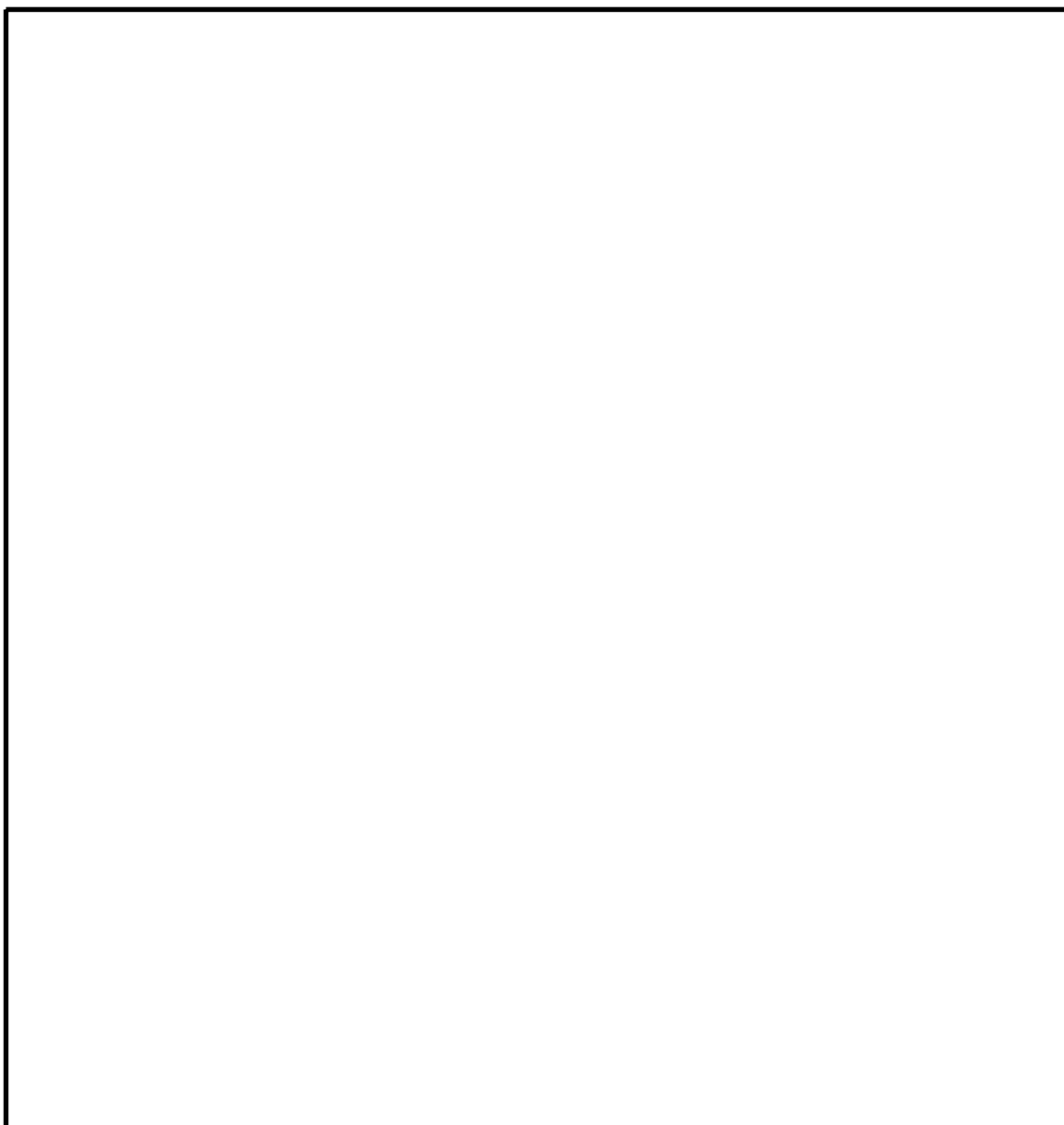
第 7 図及び第 8 図に

液滴衝撃エロージョンは蒸気とともに加速されるなどして高速となった液滴が、配管等の壁面に衝突したときに、局部的に大きな衝撃力を発生させ、それにより配管等の表面の酸化膜や母材が侵食される現象である。液滴衝撃エロージョンは非常に進展の速い減肉の一種であることから、発生ポテンシャルがあれば、第 7 図及び第 8 図に示す

ものと考えられる。したがって、ベンチュリノズルは液滴衝撃エロージョンを含むベント時の環境に対して十分な耐性があると考ええる。



第 7 図 ベンチュリノズル内面 SEM 観察結果 (1/2)



第 8 図 ベンチュリノズル内面 SEM 観察結果 (2/2)

b. ベントガス流速におけるエロージョン発生の評価

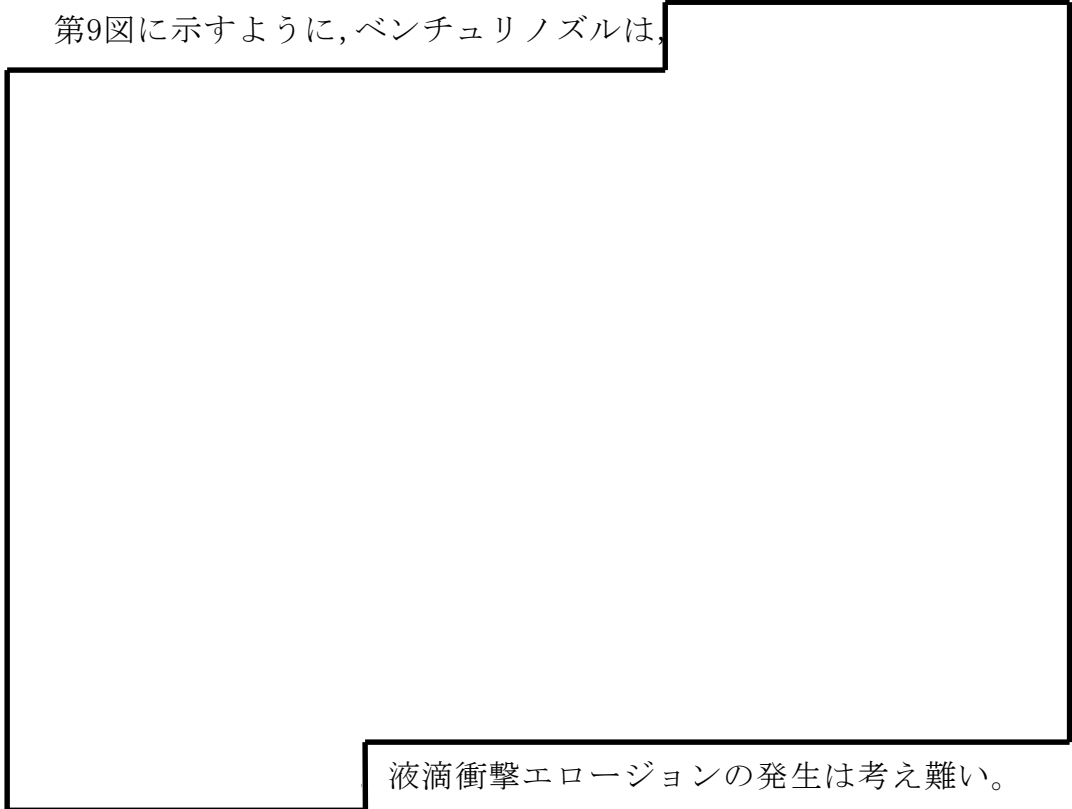
(a) 評価部位

ベンチュリノズルのように高速で流体が流れる部位の減肉モードとしては、流れ加速型腐食及び液滴衝撃エロージョンが対象となるが、



液滴衝撃エロージョンは、高速の液滴が壁面に衝突し、発生する衝撃力によって壁面が局所的に減肉する現象であり、ある一定の衝突速度以上の場合において、液滴の衝撃速度が速いほど、また、衝突角度が90度に近いほど減肉が発生しやすい。

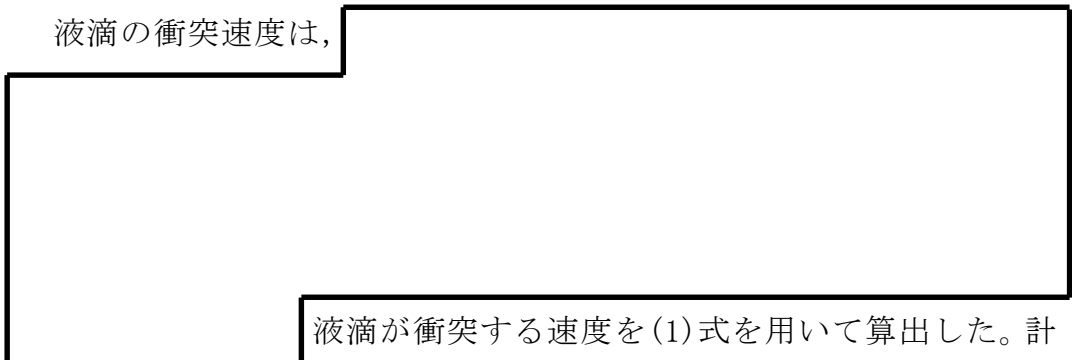
第9図に示すように、ベンチュリノズルは、



液滴衝撃エロージョンの発生は考え難い。

(b) 液滴の衝突速度

液滴の衝突速度は、



液滴が衝突する速度を(1)式を用いて算出した。計

算に用いるベンチュリノズル部におけるガス流速は、流速が速いほど液滴衝撃エロージョンが発生しやすいことから、東海第二発電所の運転範囲における最大値である

とした。

[] (1)

ここで、

[]

計算の結果、 [] に

衝突する液滴の速度は [] となる。

(c) 評価結果

[] に衝突する液滴の速度 [] は、
「発電用設備規格 配管減肉管理に関する規格(2005年度版)(増訂版)
J S M E S C A 1 - 2 0 0 5」によるステンレス鋼のエロージョン限界
流速である70m/sを下回っていることから、東海第二発電所のベント
時の運転範囲において、液滴衝撃エロージョンは発生しないものと考えられる。



第9図 ベンチュリノズル内のガスの流路について

(3) 膨張黒鉛パッキンの評価

格納容器圧力逃がし装置に使用する弁等には、耐漏えい性確保のため、使用環境（温度、圧力、放射線量、高アルカリ環境）を考慮して膨張黒鉛系のパッキン、ガスケットを使用する。

膨張黒鉛は、天然黒鉛の優れた耐熱性や耐薬品性を維持しつつ、シート状に形成することで柔軟性、弾性を有した材料で、パッキン、ガスケットの材料として幅広く使用されている。パッキン類は系統の設計条件である、最高使用圧力2Pd、最高使用温度200℃について満足する仕様のもを使用する。

また、メーカーの試験実績より の照射に対しても機械的性質に変化はみられないことが確認されており、無機物であることから十分な耐放射線性も有し、アルカリ溶液にも耐性があり、100%の に対しても適用可能である。

劣化については、黒鉛の特性として、400℃以上の高温で酸素雰囲気下では酸化劣化が進むため、パッキンが痩せる（黒鉛が減少する）ことでシール機能が低下することが知られているが、格納容器圧力逃がし装置を使用する環境は200℃以下であることから、酸化劣化の懸念はない。

したがって、膨張黒鉛パッキンは系統待機時、ベント時のいずれの環境においても信頼性があるものと評価する。

<参考図書>

1. 腐食・防食ハンドブック，腐食防食協会編，平成12年2月
2. J.E.Truman, “The Influence of chloride content, pH and temperature of test solution on the occurrence of cracking with austenitic stainless steel”, Corrosion Science, 1977
3. 宮坂松甫：荏原時報，腐食防食講座－海水ポンプの腐食と対策技術（第5報），No. 224，2009年
4. ステンレス鋼便覧 第3版 ステンレス協会編
5. 電力中央研究所報告，研究報告：280057，“チオ硫酸ナトリウム水溶液中におけるSUS304ステンレス鋼のSCC挙動” 財団法人電力中央研究所 エネルギー・環境技術研究所，昭和56年10月
6. 発電用設備規格 配管減肉管理に関する規格（2005年度版）（増訂版）JSME S CA1-2005

エアロゾルの粒径分布が除去性能に与える影響について

JAVA 試験における試験用エアロゾルの粒径は、JAVA 試験装置からエアロゾルをサンプリングし、で観察することにより、粒径分布を測定している。過酷事故解析コード（MAAPコード）より得られる粒径について、JAVA 試験において得られたエアロゾルの粒径との比較検証を行い、想定される粒径分布の全域を包絡できていることを確認することで、重大事故等時に想定されるエアロゾルの粒径分布においても、JAVA 試験と同様の除去性能（DF1,000 以上）が適用可能であることを確認した。

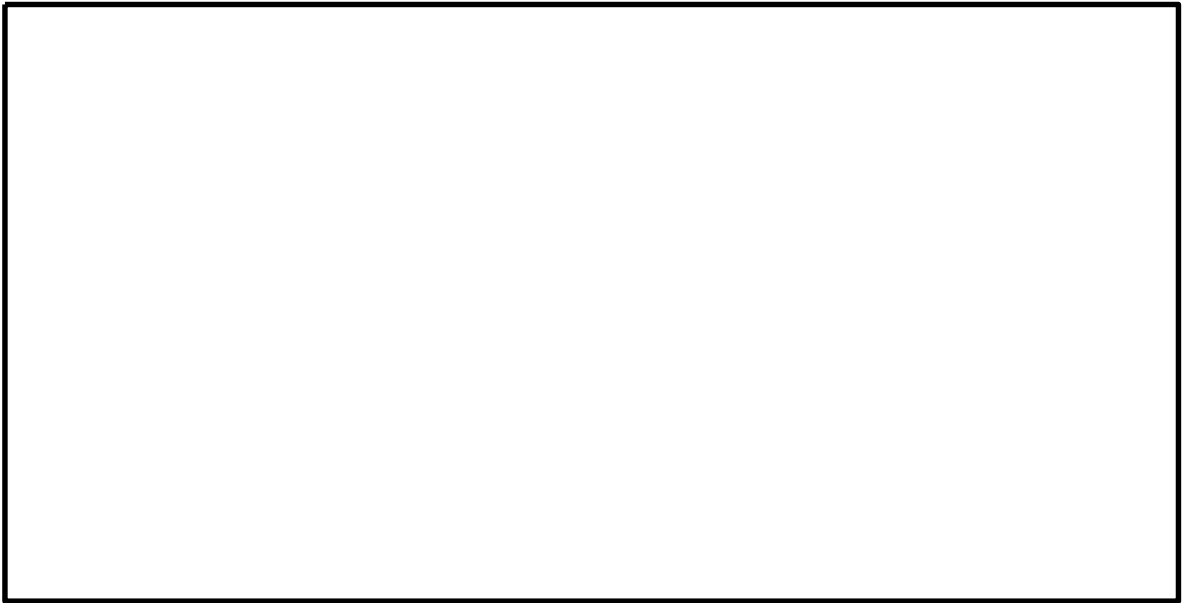
(1) JAVA 試験におけるエアロゾルの粒径分布

JAVA 試験においては、エアロゾルの除去性能を評価するため、
を試験用エアロゾルとして用いている。それぞれの試験用エアロゾルの質量中央径（以下、「MMD」という。）を以下に示す。



これらの試験用エアロゾルの粒径分布はを使用した測定を行っており、ベンチュリスクラバ上流側より採取したガスを粒径測定用フィルタに通過させ、粒径測定用フィルタ表面の粒子をエアロゾルの量及び粒径を確認している。

JAVA 試験装置のサンプリングラインを第 1 図に、サンプルガスの取出し部分の概要を第 2 図に示す。



第 1 図 JAVA 試験装置サンプリングライン



第 2 図 サンプルガスの取出し部分概要図

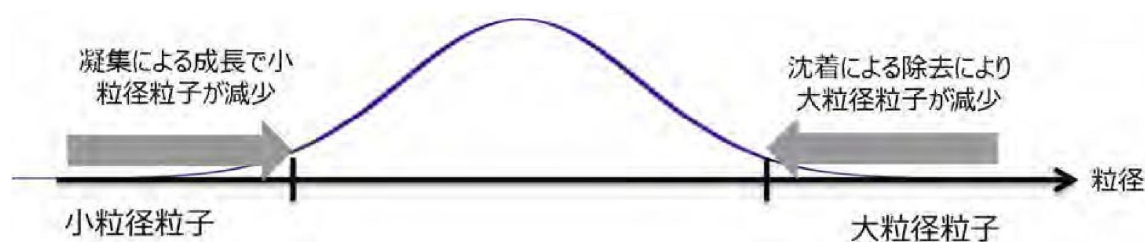
(2) 重大事故等時に想定される粒径分布

重大事故等時におけるエアロゾルの粒径分布はMAAPコードによる解析にて得ることができる。エアロゾルの粒径分布は凝集効果及び沈着効果の自然現象に加えて、格納容器スプレイ効果やサプレッション・プール水でのスクラビング効果によって、粒径分布の幅が限定される。MAAPコードではこれらの効果を考慮してエアロゾルの粒径分布を評価している。

a. 粒径分布の収束効果

1) 凝集効果と沈着効果

エアロゾルの粒径分布は、凝集効果及び沈着効果によりある粒径を中心を持つような分布が形成される（参考図書 1）。第 3 図に、エアロゾル分布形成のイメージを示す。また、以下に凝集効果及び沈着効果の内容を示す。

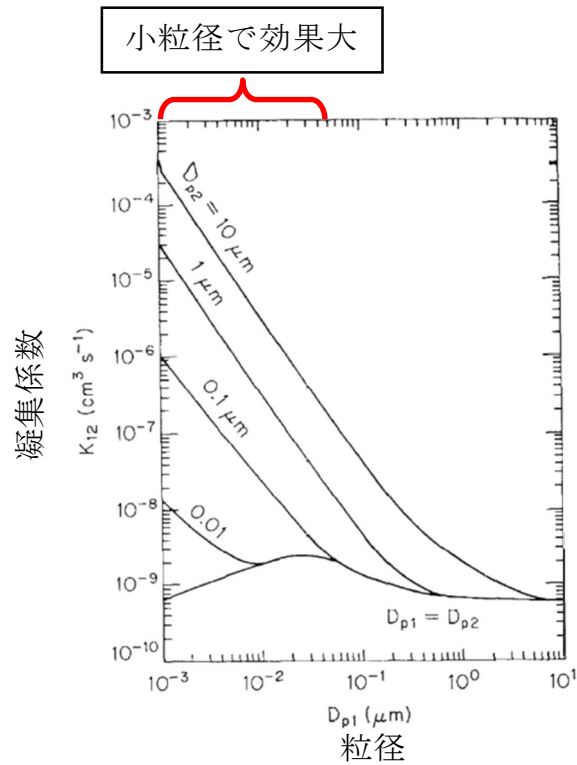


第 3 図 エアロゾル分布形成のイメージ

(a) 凝集による成長

小粒径のランダムな運動（ブラウン運動：Brownian Diffusion）により、他の粒子と衝突し凝集することでより大きな粒子へと成長する。小粒径の粒子は、特に大粒径の粒子と衝突し凝集する傾向が見られる。凝集効果の例を第 4 図に示す。

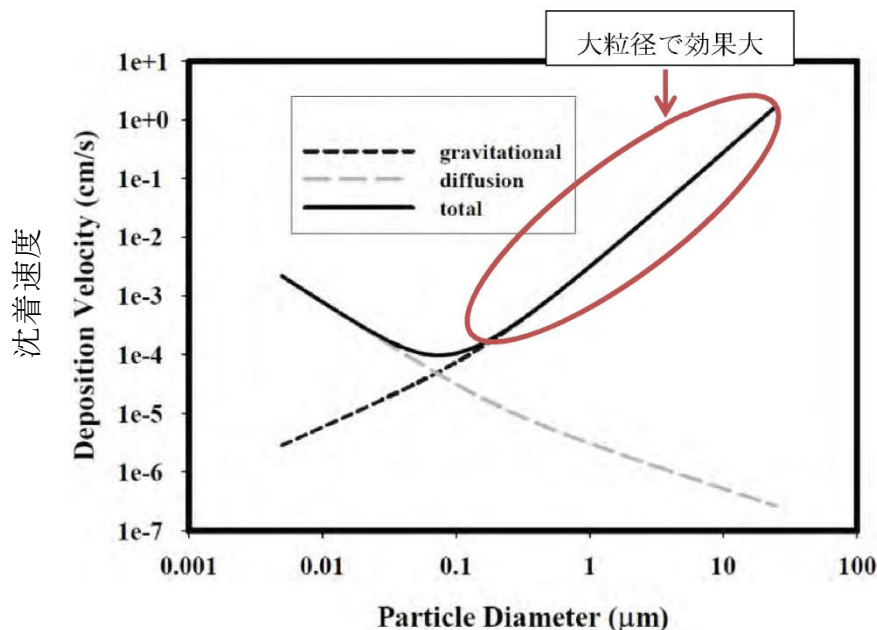
第 4 図の横軸は粒径 (D_{p1}) で、縦軸ブラウン運動による凝集係数を示しており、この値が大きい場合に凝集効果が大きくなる。凝集係数は凝集する相手の粒子径 (D_{p2}) により変化するため、 D_{p2} を変化させた場合の凝集係数として複数の曲線が示されている。相手の粒径による差はあるものの、小粒径の場合に効果が大きいことがわかる。



第 4 図 凝集効果の例 (参考図書 2)

(b) 沈着による除去

沈着による除去効果は重量が大きいほど沈着しやすく、床・壁に付着することで減少する傾向が見られる。粒子の密度が一定と仮定した場合には、粒子径が大きいほど沈着効果を期待することができる。沈着効果の例を第 5 図に示す。



第 5 図 沈着効果の例 (参考図書 1)

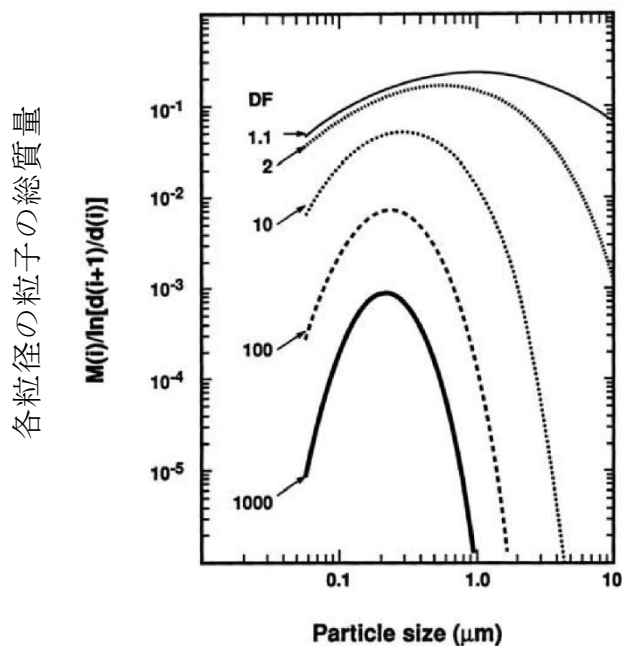
2) 格納容器内のエアロゾル除去機構の影響

格納容器内では、重大事故等対処設備による格納容器スプレイ効果やサプレッション・プール水でのスクラビング効果によって、エアロゾルが除去される。以下に格納容器スプレイ効果及びサプレッション・プール水でのスクラビング効果を示す。

(a) 格納容器スプレイ効果

格納容器スプレイでは、水滴が落下する際に、慣性効果、さえぎり効果、拡散効果等の除去メカニズムが働く。

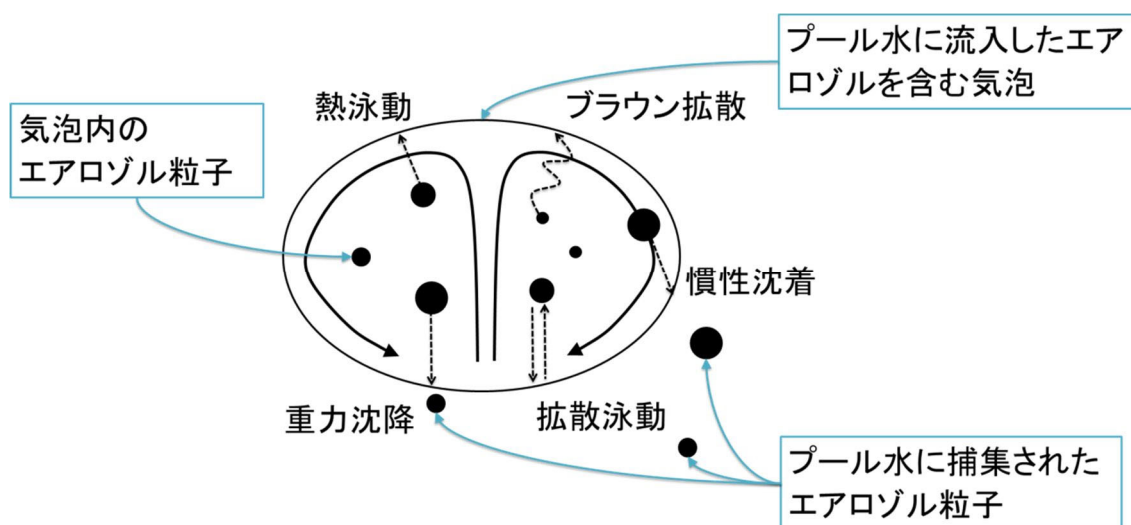
第 6 図に格納容器スプレイを継続することによる格納容器内のエアロゾル粒子の粒子径分布の変化の例を示す。初期の段階 (DF : 1.1) では、エアロゾル粒子は最大値が約 $1\mu\text{m}$ で幅の広い分布を持っているが、格納容器スプレイを継続し積算の除去効果が大きくなると、大粒径の粒子と小粒径の粒子が効果的に除去され、粒径分布の最大値は小さくなり、また分布の幅も小さくなる傾向が見られる。



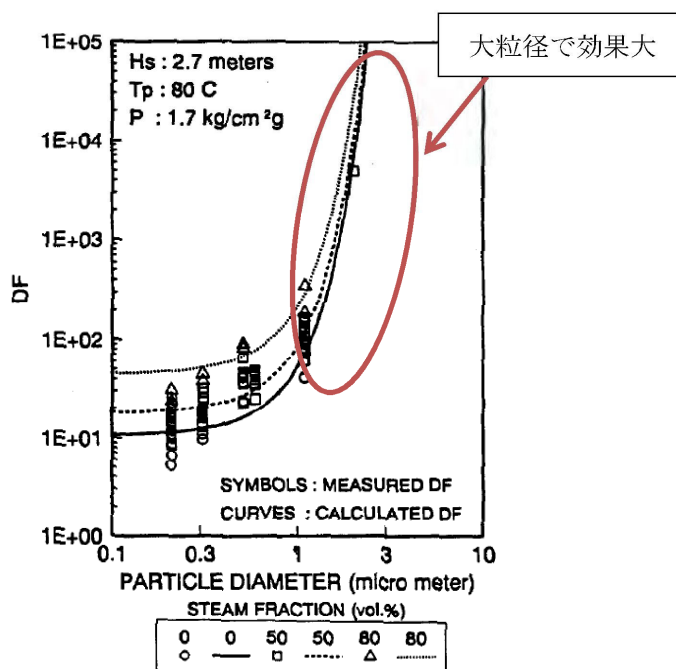
第 6 図 格納容器スプレイを継続することによる格納容器内のエアロゾル粒径分布の変化 (参考図書 1)

(b) サプレッション・プール水でのスクラビング効果

サプレッション・プール水でのスクラビングでは、気泡が上昇する間に第 7 図に示すような種々の除去メカニズムが働き、第 8 図の実験結果に示すように、粒径の大きいエアロゾルが効果的に除去される。



第 7 図 スクラビング気泡内でのガスの働きとエアロゾル除去メカニズム



第 8 図 プールスクラビングによる除去性能の例（参考図書 3）

3) 重大事故等時に想定される粒径分布

重大事故等時に想定される粒径は、上記 1)、2) に示したエアロゾルの除去効果により主にサブミクロン（0.1 から 1 μm 程度）になると考えられる。その代表径として、粒径分布の MMD を 0.5 μm にもつ粒径分布を重大事故等時に想定される粒径分布とした。

b. MAAP コードにより得られる粒径分布

有効性評価で用いる MAAP コードより得られるベントの際のエアロゾルは、 μm （MAAP コードで得られた μm を丸めた値）程度に質量中央径を持つ分布（ウェットウェルベント）となることを確認している。また、同じタイミングでドライウェルよりベントした場合、エアロゾルは μm 程度に質量中央径を持つ分布となる。第 1 表にベント位置の違いによる粒径分布を示す。

第 1 表 想定事故シナリオのエアロゾル粒径分布

想定事故シナリオ	ベント 時間[h]	ベント 位置	質量中央径 (MMD) [μm]	幾何標準 偏差 σ_g [-]	エアロゾル 量[g]
雰囲気圧力・温度に よる静的負荷（格納 容器過圧・過温破損）	19	W/W		0.32	1
		D/W		0.36	1,700

ドライウェルベントと比較してウェットウェルベントではエアロゾル量が少なくなる。これはウェットウェルベントでは、サプレッション・プール水でのクラビング効果により、エアロゾルが除去されるためと考えられる。また、ドライウェルベントではウェットウェルベントと比較してMMDが大きくなっているが、エアロゾル量が多いことから、エアロゾル同士の衝突頻度が高くなり、より大きい粒径のエアロゾル粒子が生成されやすくなるためと考えられる。

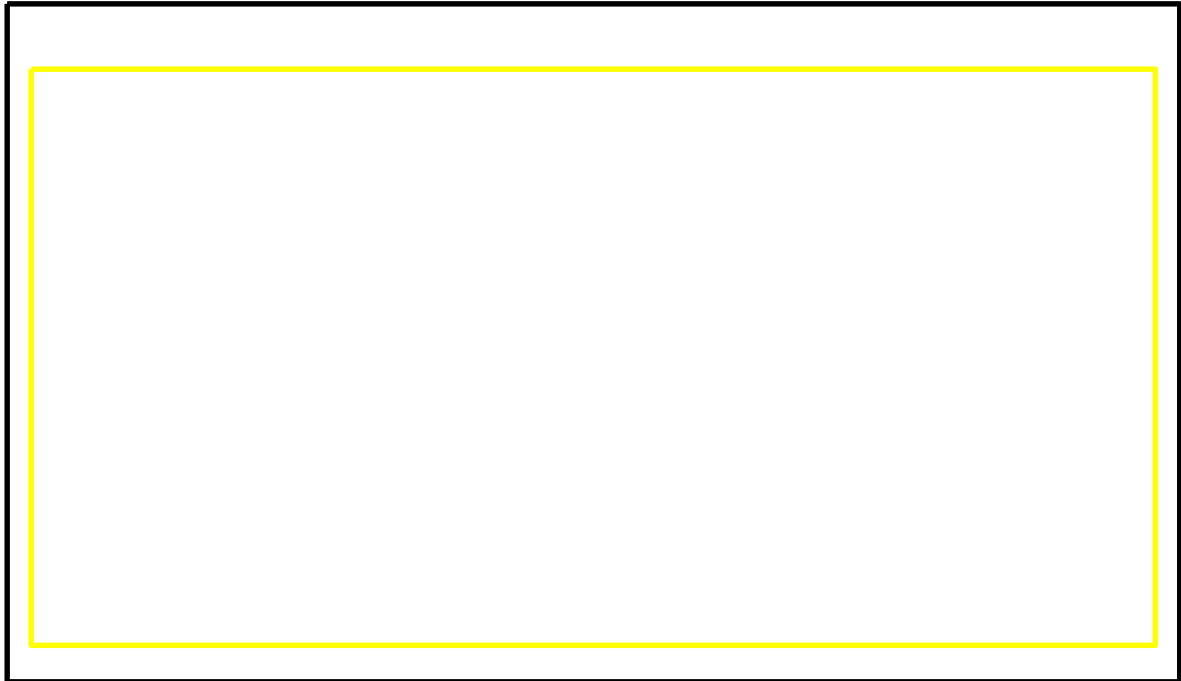
(3) 試験用エアロゾルの粒径分布の妥当性と除去性能

ドライウェルベントでは全体的に粒径が大きくなるが、粒径が大きいほど、慣性衝突効果やさえぎり効果によるエアロゾルの除去効果が見込めるため、より高いDFを期待することができる。

一方、ウェットウェルベントでは、サプレッション・プール水でのスクラビング効果により粒径の大きいエアロゾルが除去されるため、ドライウェルベントに比べフィルタ装置のDFが低くなることが考えられる。

このため、JAVA 試験では、様々な粒径分布を持つ を試験用エアロゾルとしてDFを確認している。これらの試験用エアロゾルとMAAPコードより想定されるドライウェルベント時及びウェットウェルベント時の粒径分布の比較を第9図に示す。

第9図に示すとおり，JAVA試験に使用した試験用エアロゾルの粒径分布はMAAPコードより想定される粒径分布の全域を包絡できていることが確認できることから，これらの試験エアロゾルで試験を行うことで，想定粒径全体の性能を確認することができる。



第9図 試験用エアロゾルとMAAPコードより想定される粒径分布

〈参考図書〉

1. NEA/CSNI/R(2009)5 STATE-OF-THE-ART REPORT ON NUCLEAR AEROSOLS
2. California Institute of Technology FUNDAMENTALS OF AIR POLLUTION ENGINEERING
3. 22nd DOSE/NRC Nuclear Air Cleaning and Treatment Conference
Experimental study on Aerosol removal effect by pool scrubbing,
Kaneko et al. (TOSHIBA)
4. A Simplified Model of Aerosol Removal by Containment Sprays (NUR
EG/CR-5966)
5. A Simplified Model of Decontamination by BWR Steam Supprssion Pools
(NUR EG/CR-6153 SAND93-2588)
6. Overview of Main Results Concerning the Behaviour of Fission Products
and Structural Materials in the Containment (NUCLEAR ENERGY FOR NEW
EUROPE 2011)

エアロゾルの密度の変化が慣性衝突効果に与える影響について

Framatome 社製のフィルタ装置は、ベンチュリスクラバと金属フィルタを組み合わせてエアロゾルを捕集するが、このうちベンチュリスクラバは、慣性衝突効果を利用してエアロゾルを捕集することから、エアロゾルの密度によって、除去効率への影響が表れることが考えられる。しかし、重大事故等時に格納容器に発生するエアロゾルの密度の変化に対して、ベンチュリスクラバの除去効率の関係式（参考図書 1）を用いて除去効率に与える影響を評価した結果、エアロゾルの密度の変化に対する除去効率の変化は小さいと評価できること、また、JAVA 試験で複数の種類のエアロゾルを用いた試験において除去効率に違いが見られていないことから、Framatome 社製のフィルタ装置は重大事故等時に発生するエアロゾルの密度の変化に対して除去効率への影響は小さいと評価できる。

(1) ベンチュリスクラバの除去効率

a. エアロゾル密度と除去効率の関係

ベンチュリスクラバでは、ベンチュリノズルを通過するベントガスとベンチュリノズル内に吸い込んだスクラビング水の液滴の速度差を利用し、慣性衝突効果によってベントガスに含まれるエアロゾルを捕集する。参考図書 1 において、ベンチュリスクラバにおける除去効率は、以下の式によって表される。

$$P_t = \exp\left(-\frac{V^*}{v_g}\right) = \exp\left(-\frac{V^* Q_L}{v_L Q_g}\right) \quad \dots \quad (1)$$

$$V^* = \int_0^T \eta_d |u_d - u_g| A_d dt \quad \dots \quad (2)$$

$$\eta_d = \frac{K^2}{(K+0.7)^2} = \frac{1}{(1+0.7/K)^2} \quad \dots \quad (3)$$

$$K = \frac{2\tau_p |u_d - u_g|}{d_d} = \frac{2C\rho_p d_p^2 |u_d - u_g|}{18\mu d_d} \quad \dots \quad (4)$$

ここで、

P_t	: 透過率		
V^*	: 液滴通過ガス体積	τ_p	: 緩和時間
V_g	: ガス体積	A_d	: 液滴断面積
V_L	: 液滴体積	K	: 慣性パラメータ
Q_g	: ガス体積流量	C	: すべり補正係数
Q_L	: 液滴体積流量	μ	: ガス粘性係数
η_d	: 捕集効率係数	ρ_p	: エアロゾル密度
u_g	: ガス速度	d_p	: エアロゾル粒径
u_d	: 液滴速度	d_d	: 液滴径

これらから、透過率 P_t (除去係数 DF の逆数) は、慣性パラメータ K によって決まる捕集効率係数 η_d によって影響を受けることが分かる。

(4)式で表される慣性パラメータ K は、曲線運動の特徴を表すストークス数と同義の無次元数であり、その大きさは、エアロゾル密度 ρ_p 、エアロゾル粒径 d_p 、液滴径 d_d 、ガス粘性係数 μ 、液滴・エアロゾル速度差によって決まる。

エアロゾル粒径 d_p が同じ場合でもエアロゾル密度 ρ_p が増加すると、慣性パラメータ K が増加し、除去効率は増加する。

b. 重大事故等時に発生するエアロゾルの密度

格納容器に放出されるエアロゾルの密度は、エアロゾルを構成する化合物の割合によって変化する。別紙 2 の第 5 表に示す化合物について、N U R E G - 1465 に記載されている割合を用いてエアロゾル密度を計算すると第 1 表のとおり となる。

第 1 表 格納容器の状態とエアロゾルの密度

代表 化学形態	炉内内蔵量 (kg)	Gap Release	Early-In -vessel	Ex-vessel	Late-In -vessel	合計
CsI		0.05	0.25	0.30	0.01	0.61
CsOH		0.05	0.20	0.35	0.01	0.61
TeO ₂ , Sb ^{※1}		0	0.05	0.25	0.005	0.305
BaO, SrO ^{※1}		0	0.02	0.1	0	0.12
MoO ₂		0	0.0025	0.0025	0	0.005
CeO ₂		0	0.0005	0.005	0	0.0055
La ₂ O ₃		0	0.0002	0.005	0	0.0052
密度 (g/cm ³)						

※1 複数の代表化合物を持つグループでは、各化合物の平均値を使用した

ここで、各化合物の密度は、以下のとおり

CsI	: 4.5 g/cm ³ (参考図書 2)	SrO	: 5.1 g/cm ³ (参考図書 2)
CsOH	: 3.7 g/cm ³ (参考図書 4)	MoO ₂	: 6.4 g/cm ³ (参考図書 2)
TeO ₂	: 5.7 g/cm ³ (参考図書 3)	CeO ₂	: 7.3 g/cm ³ (参考図書 2)
Sb	: 6.7 g/cm ³ (参考図書 2)	La ₂ O ₃	: 6.2 g/cm ³ (参考図書 2)
BaO	: 6.0 g/cm ³ (参考図書 5)		

c. エアロゾル密度の変化による影響

エアロゾル密度の変化による捕集効率係数 η_d の変化の計算例を以下に示す。エアロゾル密度は、前記 b. のとおり \square g/cm³ 付近であるが、ここでは、エアロゾル密度算出に用いた各化合物の密度から、エアロゾル密度 ρ_{p1} が \square g/cm³ のときの捕集効率係数 η_{d1} と、エアロゾル密度 ρ_{p2} が \square g/cm³ のときの捕集効率係数 η_{d2} との比を求める。

$$\frac{\eta_{d1}}{\eta_{d2}} = \frac{K_1^2 (K_2 + 0.7)^2}{K_2^2 (K_1 + 0.7)^2} = \square$$

$$K_1 = \square, \quad K_2 = \square$$

ここでは、



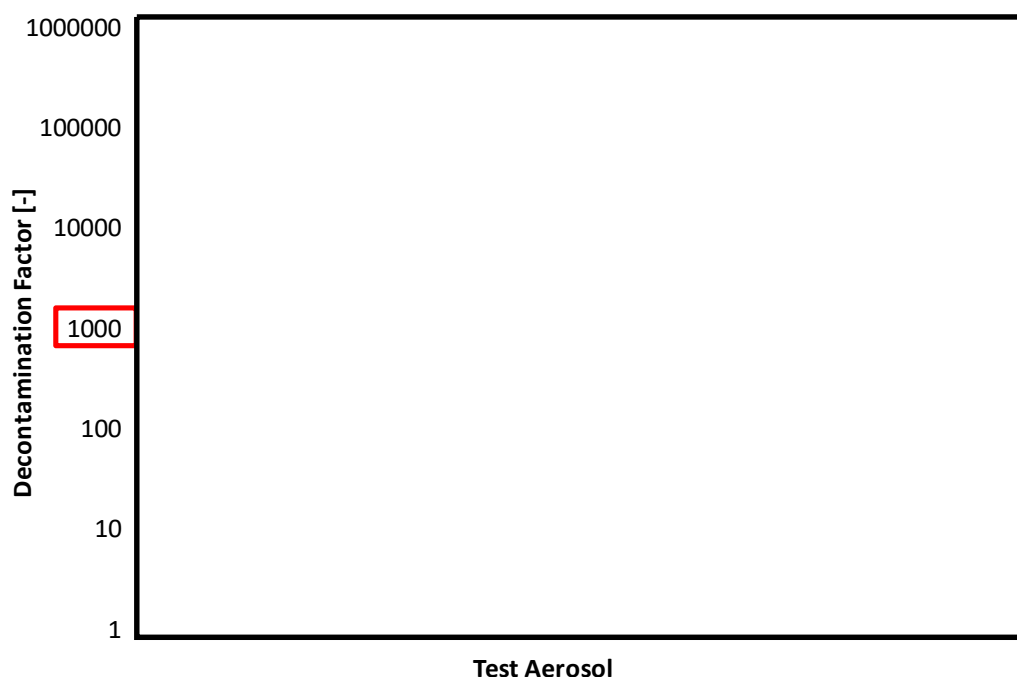
とした。この結果から、密度の変化 \square に対して捕集効率係数変化 \square は非常に小さく、除去効率に及ぼす影響が非常に小さいと評価できる。

(2) JAVA 試験での除去効率

a. JAVA 試験の結果

JAVA 試験にて使用した \square の質量中央径 (MMD) の範囲 \square m となっているが、これら複数の種類のエア

ロゾルを用いた試験において除去効率に違いが見られていない。エアロゾルの粒径に対する除去係数を第 1 図に示す。



第 1 図 エアロゾルの粒径に対する除去係数

b. 空気力学的質量中央径による比較

エアロゾルの粒径の指標の一つに「空気力学径」を用いる場合があり、これは様々な密度の粒子に対して、密度 $1\text{g}/\text{cm}^3$ の粒子に規格化したときの粒径を表すものである。

空気力学径が同じであれば、その粒子は密度や幾何学的な大きさとは関係なく、同じ空気力学的挙動を示し、空気力学的質量中央径 (AMMD) と質量中央径 (MMD) は以下の関係がある。

$$\text{AMMD} = \sqrt{\rho}\text{MMD}$$

重大事故等時に想定される主要なエアロゾルの密度及び空気力学的質量中央径を第 2 表に、JAVA 試験にて使用したエアロゾルの密度及び空気力学的質量中央径を第 3 表に示す。重大事故等発生時に想定される主要なエア

ロゾルの空気力学的質量中央径の範囲 [] であり, JAVA 試験にて使用したエアロゾルの空気力学的質量中央径の範囲は [] となっている。

JAVA 試験にて使用した質量中央径 (MMD) [] の空気力学的質量中央径 (AMMD) はそれぞれ [] であるが, JAVA 試験における除去効率に大きな違いは見られていない。

以上より, Framatome 社製のベントフィルタでは, 重大事故等時のベンチュリクラバの液滴・ガス速度差が大きいため, 重大事故等時に想定されるエアロゾルの密度 [] の範囲では, フィルタ装置の除去効率に与える影響は小さく, その除去性能の評価は質量中央径 (MMD), 空気力学的質量中央径 (AMMD) どちらを用いても変わらない。

第 2 表 重大事故等時に想定されるエアロゾルの密度及び空気力学的中央径

代表 エアロゾル	質量中央径 (MMD)	密度	空気力学的 質量中央径 (AMMD)
CsI	[]	約4.5 g/cm ³	[]
CsOH		約3.7 g/cm ³	
TeO ₂		約5.7 g/cm ³	
Te ₂		約6.2 g/cm ³ (参考図書2)	

第 3 表 JAVA 試験にて使用したエアロゾルの密度及び空気力学的中央径

エアロゾル	質量中央径 (MMD)	密度	空気力学的 質量中央径 (AMMD)

〈参考図書〉

1. OECD/NEA, “STATE-OF-THE-ART REPORT ON NUCLEAR AEROSOLS”, (2009)
2. 理化学辞典第 4 版
3. 理化学辞典第 4 版増補版
4. Hazardous Chemicals Desk Reference
5. 理化学辞典第 3 版増補版
6. Aerosol Measurement : Principles, Techniques, and Applications,
Third Edition. Edited by P. Kulkarni, P.A. Baron, and K. Willeke
(2011)

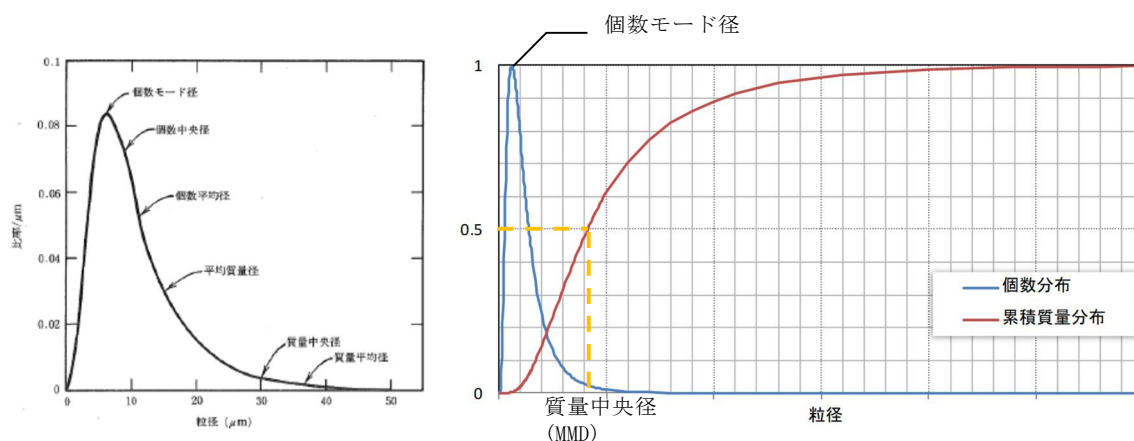
エアロゾルの粒径と除去係数の関係について

(1) 除去係数と重量及び放射能の関係

除去係数（以下、「DF」という。）は、フィルタに流入した粒子の重量とフィルタを通過した粒子の重量の比で表される。エアロゾルに放射性物質が均一に含まれている場合、DFはフィルタへ流入した粒子の放射能とフィルタを通過した粒子の放射能の比で置き換えることができる。

(2) 粒径分布（個数分布と累積質量分布）

エアロゾルは一般的に、単一粒径ではなく、粒径に対して分布を持つ。粒径に対する個数分布及び累積質量分布の関係を別添図 1 に示す。



別添図 1 個数分布と累積質量分布

(左図出典：W. C. ハイネズ，エアロゾルテクノロジー，(株)井上書院（1985）)

ここで、

個数モード径

最も存在個数の比率の多い粒径

質量中央径 (MMD) 全質量の半分がその粒径よりも小さい粒子によって占められ、残りの半分がその粒径よりも大きい粒子によって占められる関係にある粒径

を表す。別添図 1 のような粒径分布の場合、小さい粒径のエアロゾルの個数は多いが、総重量に占める割合は小さいことが分かる。よって、大きい粒径のエアロゾルに比べて小さい粒径のエアロゾルが DF に与える影響は小さい。

(3) JAVA 試験における除去係数と重量及び放射性物質の関係

ベンチュリスクラバでは、慣性衝突効果を利用しエアロゾルを捕集しており、重大事故等時におけるエアロゾルの密度変化を考慮しても、慣性衝突効果による DF への影響は小さいと評価している。また、Framatome 社製のフィルタ装置では、慣性衝突効果、さえぎり効果、拡散効果による除去機構によってエアロゾルを捕集するものであり、JAVA 試験において、小さい粒径のエアロゾルを含む を使用した場合においても、高い除去効率を発揮することを確認している。

(参考) 質量中央径 (MMD) と空気力学的質量中央径 (AMMD)

分布を持つエアロゾルの粒径を表す方法として、質量中央径 (MMD) を使用する場合と、空気力学的質量中央径 (AMMD) を使用する場合があるが、カスケードインパクターのような慣性衝突効果を利用した粒径の測定を行う場合には AMMD で測定され、 のような画像分析を利用した粒径の測定を行う場合には MMD で測定される。Framatome 社製のフィルタは、慣性衝突効果の他に、さえぎり効果、拡散効果を利用したエアロゾルの捕集を行っており、フィルタ装置の除去性能の評価には MMD を使用している。

JAVA 試験及び JAVA PLUS 試験の適用性について

Framatome 社製のフィルタ装置は、JAVA 試験及び JAVA PLUS 試験により、実機使用条件を考慮した性能検証試験を行っており、その結果に基づき装置設計を行っている。JAVA 試験及び JAVA PLUS 試験で使用したフィルタ装置は、ベンチュリノズル、金属フィルタ、よう素除去部及び装置内のガスの経路が実機を模擬した装置となっており、また、試験条件は様々なプラントの運転範囲に対応できる広範囲の試験を行っていることから、各試験で得られた結果は、実機の性能検証に適用できるものとする。

一方、米国 EPRI（電力研究所）が中心となって行った ACE 試験については、Framatome 社製のフィルタ装置についても性能試験を実施しているが、試験条件等の詳細が開示されていないことから、東海第二発電所のフィルタ装置の性能検証には用いていない。

(1) JAVA 試験の概要

JAVA 試験で使用したフィルタ装置は、高さ [] m、直径 [] m の容器の中に、実機と同形状のベンチュリノズル [] と、実機と同一仕様の金属フィルタ [] を内蔵している。

また、これら試験のフィルタ装置に流入したベントガスは、ベンチュリスクラバ、気相部、金属フィルタ、流量制限オリフィスの順に通過し、装置外部へ放出される経路となっており、実機と同じ順に各部を通過する。

(2) JAVA PLUS 試験の概要

JAVA PLUS 試験設備は、実規模を想定した有機よう素の除去性能を確認するため、JAVA 試験で使用したフィルタ装置に、実機と同一仕様（同一材質、同一充填率）の銀ゼオライト（ベッド厚さ [] mm）を追加設置している。

フィルタ装置に流入したベントガスは、ベンチュリスクラバ、気層部、金属フィルタ、流量制限オリフィス、よう素除去部（銀ゼオライト）の順に通過し、装置外部へ放出される経路となっており、実機と同じ順に各部を通過する。

(3) ACE試験の概要

Framatome社製のフィルタ装置は、各国のフィルタメーカ等が参加したACE試験においても試験が行われ、エアロゾル及び無機よう素の除去性能について確認されている。第1図に試験設備の概要を、第1表に試験条件及び結果を示す。

ACE試験で使用したフィルタ装置は、高さ m、直径 mの容器の中に、実機と同じベンチュリノズル () 及び実機と同構造（同一金属メッシュ構造、同一充填率）の金属フィルタを設置しており、ベントガスは実機と同じ経路を流れるが、試験装置、試験条件の詳細が開示されないため、東海第二発電所のフィルタ装置の性能検証には用いていない。

(4) スケール性の確認

JAVA 試験、JAVA PLUS 試験のスケール性を確認することで、実機への適用性を確認する。第2図に実機とJAVA試験装置（JAVA PLUS試験でも同一の容器を使用）及び参考にACE試験装置の主要寸法の比較を示す。

東海第二発電所のフィルタ装置は高さ約10m、直径約5mであり、JAVA試験及びJAVA PLUS試験のフィルタ装置よりも大きいですが、フィルタ装置の構成要素及びベントガス経路の同一性からJAVA試験及びJAVA PLUS試験にて使用したフィルタ装置は実機を模擬したものとなっていると言える。

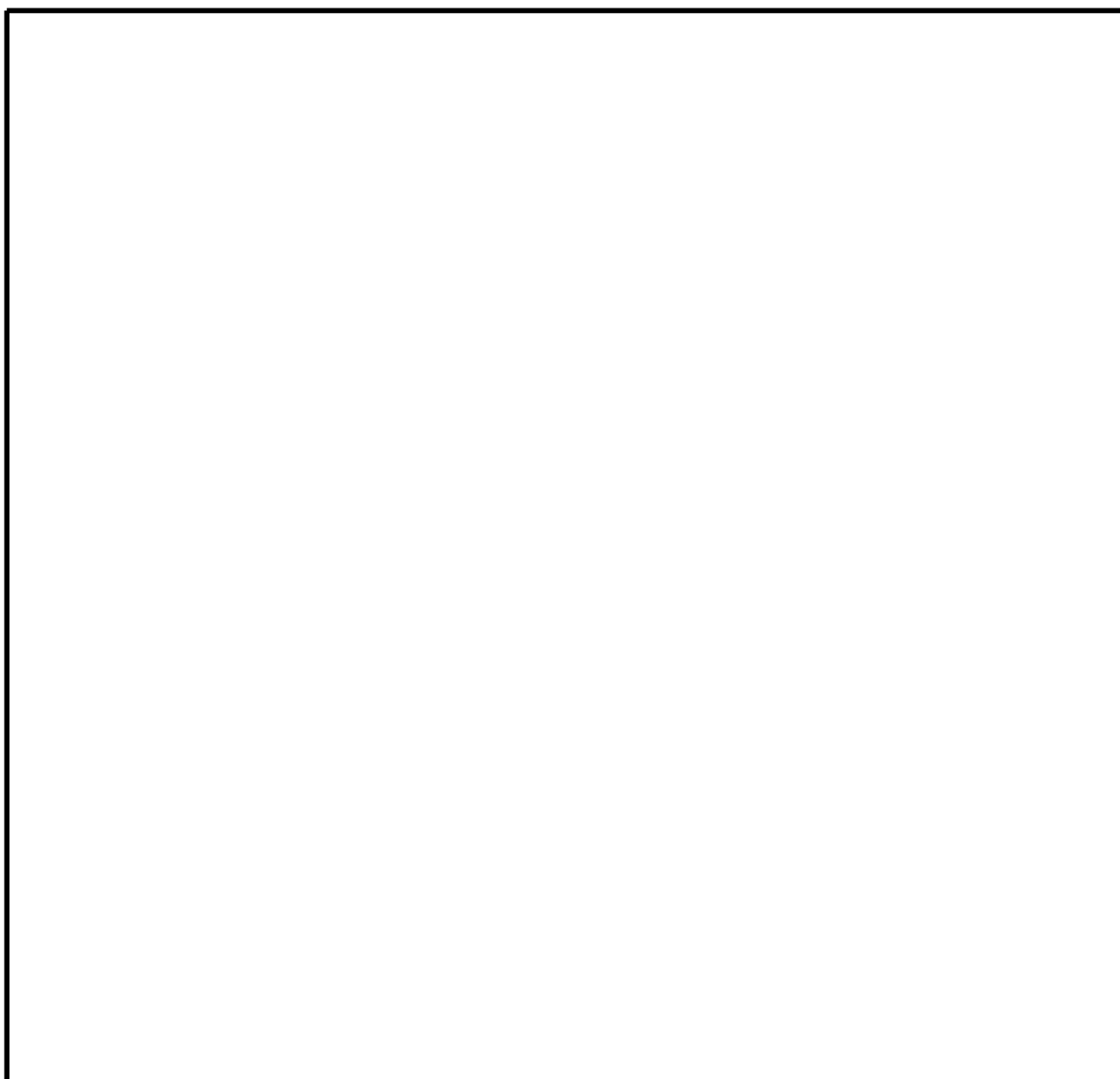
JAVA 試験及び JAVA PLUS 試験の条件と実機運転範囲の比較を第 2 表に示す。実機はベンチュリノズル（個数：□個）と金属フィルタ（表面積：□□m²）を内蔵しており，重大事故等時にベントを実施した際のベンチュリノズルスロート部流速及び金属フィルタ部流速が JAVA 試験で除去性能を確認している範囲に包絡されるよう設計している。JAVA 試験において得られたベンチュリノズルスロート部における速度に対する除去係数を第 3 図，金属フィルタ部における速度に対する除去係数を第 4 図に示す。ベンチュリスクラバと金属フィルタを組み合わせた試験において，ベンチュリノズルスロート部流速及び金属フィルタ部流速が変化した場合においても除去係数は低下していない。

また，JAVA PLUS 試験で用いた銀ゼオライトのベッド厚さは□mm であり，実機（□mm）に対して薄いですが，これは JAVA PLUS 試験結果に基づき滞留時間を確保するために実機のベッド厚さを厚くしていることから，JAVA PLUS 試験結果を適切に実機に適用していると言える。

JAVA 試験及び JAVA PLUS 試験の実機への適用性についてまとめたものを第 3 表に示す。

(5) 評価

以上より，JAVA 試験及び JAVA PLUS 試験のスケール性については性能に影響する範囲について実機を模擬できていると評価できる。これらの試験は実機の使用条件についても模擬できており，試験結果を用いて実機の性能を評価することが可能であると考えられる。



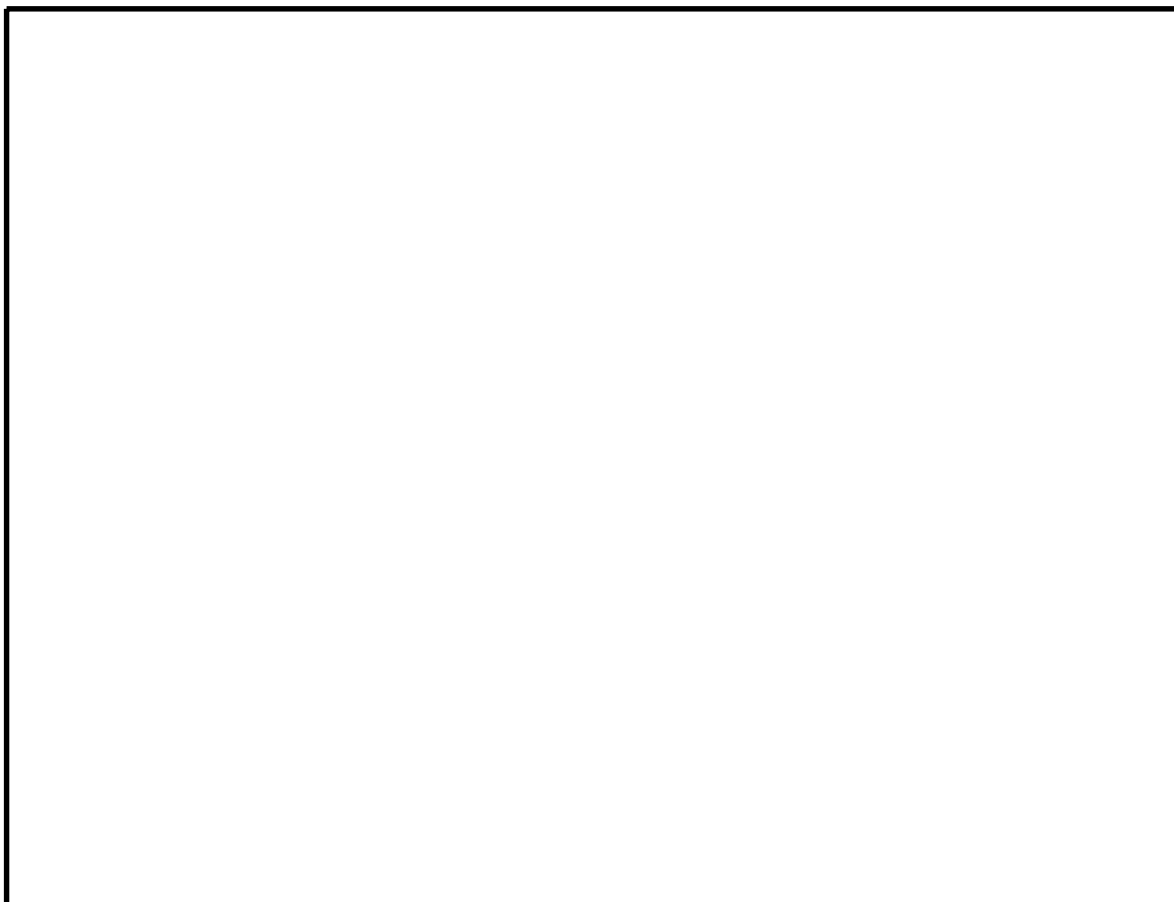
第1図 ACE試験の設備概要

第1表 ACE試験の試験条件及び結果

PROJECT	YEARS	Materials tested	Conditions Tested			Measured retention Efficiency %
			Pressure [bar abs]	Temperature [°C]	Gas composition % steam	
ACE	1989-1990	Cs	1.4	145	42	99.9999
		Mn	1.4	145	42	99.9997
		Total iodine (particles and gaseous)	1.4	145	42	99.9997
		DOP	1.2-1.7	ambient	0	99.978 - 99.992

出典：OECD/NEA, “Status Report on Filtered Containment Venting”,

(2014)



第 2 図 実機フィルタ装置と試験装置の主要寸法の比較

第2表 JAVA試験及びJAVA PLUS試験の条件と実機運転範囲の比較

パラメータ	JAVA 試験	JAVA PLUS 試験	実機運転範囲
圧力(kPa [gage])			
温度(℃)			
ベンチュリノズルスロート部 流速(m/s)			
金属フィルタ部流速(%)			
蒸気割合(%)			
過熱度(K)			

※1 概算評価値を示す。



第 3 図 ベンチュリノズルスロート部における流速に対する除去係数



第 4 図 金属フィルタ部における流速に対する除去係数

第3表 JAVA試験, JAVA PLUS試験の実機への適用性

構成要素		相違点			適用性
		有 無	JAVA (PLUS)	実機	
容器	高さ	有		約 10m	試験装置と実機で高さや直径が異なることで、空間部の容積が異なるが、空間部はベンチュリスクラバや金属フィルタに比べ、 から、高さや直径の違いによる影響は小さい。
	直径	有		約 5m	
ベンチュリノズル	構造	無	—	—	試験装置は実機と同一形状（寸法）のベンチュリノズルを使用している。
	個数	有			実機のベンチュリノズルスロート部の流速が、JAVA 試験で確認されている流速の範囲内となるよう、ベンチュリノズルの個数（詳細設計により変更の可能性あり）を設定している。
金属フィルタ	構造	無	—	—	試験装置は実機と同一使用、 の金属フィルタを使用している。
	表面積（個数）	有			実機の金属フィルタ部の流速が、JAVA 試験で確認されている流速の範囲内となるよう、金属フィルタの表面積を設定している。
スクラビング水	薬剤	無	—	—	試験装置と実機は同じ薬剤を使用している。
	水位	有	※	※	実機の水位は試験装置の水位よりも高い。JAVA 試験の水位を変化させた試験において、除去効率に変化が無いことが確認されていることから、水位の違いによる影響はない。
よう素除去部	吸着材	無	—	—	試験装置は実機と同じ吸着材（銀ゼオライト）を使用している。
	厚さ	有			JAVA PLUS 試験ではベッド厚さが実機に比べて薄い、実機は試験結果を基に滞留時間を確保するために厚くなっていることから、試験結果を適切に実機に適用していると言える。
	配置	有	容器外側	容器内側	JAVA PLUS 試験ではフィルタ装置の外によう素除去部が配置されたが、実機では容器の中に配置される。よう素除去部の放熱は、外部に配置される試験の方が厳しくなるため、JAVA PLUS 試験は保守的な条件で実施されていると言える。

※適用性の欄に相違内容を記載

(6) ベンチュリスクラバ及び金属フィルタにおける除去係数

Framatome社製のフィルタ装置は、ベンチュリスクラバ及び金属フィルタを組み合わせるにより、所定の除去性能（DF）を満足するよう設計されている。エアロゾルに対する除去効率は、ベンチュリスクラバと金属フィルタを組み合わせた体系で評価を行っており、JAVA試験結果では、試験を実施した全域にわたってDF1,000以上を満足していることを確認している。JAVA試験ではベンチュリスクラバ単独でのエアロゾル除去性能を確認している試験ケースもあり、実機運転範囲のガス流速において、ベンチュリスクラバ単独でもDF \square 以上と評価される。ベンチュリスクラバ単独でのエアロゾル除去性能を第4表に示す。

ベンチュリスクラバによるエアロゾル除去の主な原理は慣性衝突効果であり、一般的にガス流速が大きい方が除去効率は高く、ガス流速が小さい方が除去効率は低くなることから、実機運転範囲以下のガス流速におけるベンチュリスクラバ単独での除去性能は、実機運転範囲と比較して低下することが見込まれるが、後段の金属フィルタによる除去により、スクラバ容器全体としては試験を実施した全域にわたって要求されるDF1,000以上の除去性能を満足していると考えられる。

第4表 ベンチュリスクラバ単独でのエアロゾル除去性能

--

(参考) 性能検証試験に係る品質保証について

フィルタ装置の放射性物質除去性能は、JAVA試験及びJAVA PLUS試験で用いたベンチュリノズル、金属フィルタ及び銀ゼオライトと同じ仕様・構造のものを、IS09001等に適合した品質保証体制を有するFramatome社において設計・製作することにより、JAVA試験及びJAVA PLUS試験と同じ性能を保証する。

(1) 性能保証

フィルタ装置に設置するベンチュリノズル、金属フィルタ及び銀ゼオライトは、Framatome社試験（JAVA試験、JAVA PLUS試験）で用いた金属フィルタ、ベンチュリノズル及び銀ゼオライトと同じ仕様・構造とする。また、ベンチュリノズル及び金属フィルタは、単体性能試験により性能を確認している。

これに加えて、ベンチュリノズル、金属フィルタ及び銀ゼオライト（よう素除去部）の運転範囲は、Framatome社試験で確認している範囲内で運転されるよう格納容器圧力逃がし装置を設計する。

(2) Framatome社品質保証体制

ベンチュリノズル、金属フィルタ及び銀ゼオライトフィルタを製作するFramatome社は、フィルタベントシステム納入実績を多数有しており、原子力プラントメーカーとして下記の品質保証体制を有している。

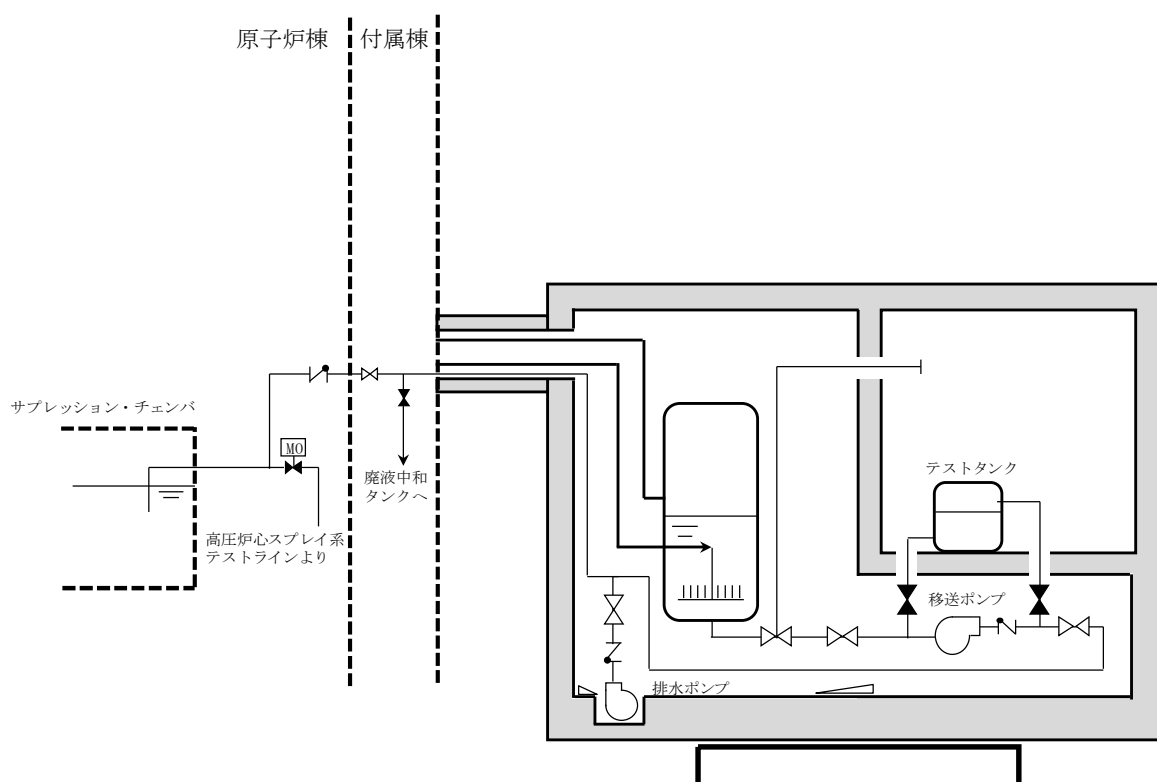
- ・フィルタベントシステムの性能保証するFramatome社は、品質管理システムとしてIS09001を2008年にSGS社から取得している。また、世界中の顧客要求品質要求に対応できるよう、ASME NPT, N. S Stamp, KTA1401, 1408, RCCM, RCC-E, EN IS09001などの認証も取得している。
- ・Framatome社は、システム設計・製作に際し、品質保証含めてプロジェクトを横断的に管理する部門を設置しており、技術要求仕様、品質要求仕様を指示し製作仕様に盛り込む体制が整えられている。
- ・Framatome社は、原子力製品のエンジニアリング及びプロジェクト管理を

世界レベルで展開している。また、各種品質管理手順に従い外注先の品質管理を実施している。

□内における漏えい対策について

格納容器圧力逃がし装置の各設備については、スクラビング水の性状（高アルカリ性）と重大事故等時に放出される放射性物質の捕集・保持（汚染水の貯蔵）を達成するよう、構造材には耐食性に優れた材料を選定し、重大事故等時の使用環境条件及び基準地震動 S_s に対して機能維持するような、構造設計としている。また、フィルタ装置内のスクラビング水は移送ポンプによりサプレッション・チェンバ等に移送することとなるが、これらの設備についても漏えいし難い構造としている。

第 1 図に排水設備の構成を、第 1 表に各部位の設計上の考慮事項を示す。

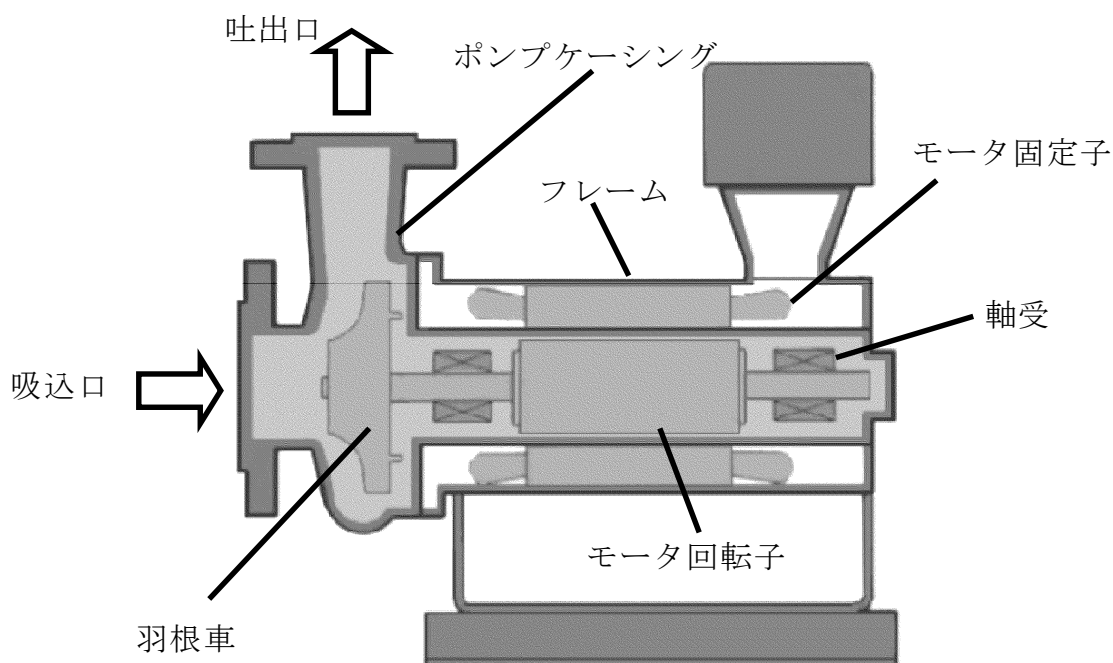


注) 系統構成は現在の計画

第 1 図 排水設備の構成

第 1 表 各部位の設計上の考慮事項

部位	設計考慮内容
移送ポンプ (キャンドポンプ)	<ul style="list-style-type: none"> ・高温, 高アルカリ性(pH13 以上), 放射線を考慮し, 耐食性に優れたステンレス鋼を採用することで, 健全性を確保する。 ・シール部に使用するパッキンについては, 温度・圧力・放射線の影響を考慮して, 黒鉛を採用する。 ・軸封部は密閉され, 漏えいしない構造とする(第 2 図参照)。
配管・弁	<ul style="list-style-type: none"> ・高温, 高アルカリ性(pH13 以上), 放射線を考慮し, 耐食性に優れたステンレス鋼を採用することで, 健全性を確保する。 ・配管, 弁の接続部は原則溶接構造とし, 漏えいのリスクを低減した設計とする。また, 「発電用原子力設備規格 設計・建設規格」の規定を適用して設計するとともに, 基準地震動 S_s に対して機能を維持するよう設計する。 ・フランジ接続部や弁のグランド部には, 温度・圧力・放射線の影響を考慮して, 黒鉛を採用する。



第 2 図 一般的なキャンドポンプの構造

(1) [] の設計上の考慮

フィルタ装置を設置する地下構造の [] は、鉄筋コンクリート造の地中構造物で岩盤上に設置し、基準地震動 S_s に対し機能維持するよう構造設計をしている。

万一、フィルタ装置外にスクラビング水が漏えいした場合を想定し、早期に検出できるように [] 内に検知器を設置する。また、樹脂系塗装等により [] 内部の想定水没部を防水処理することにより、構造的に漏えいの拡大が防止できる設計とする。なお、[] の貫通部は、想定水没部以上の位置にあり、貫通部からの外部への漏えいのおそれのない設計となっている。

(2) 漏えい時等の対応

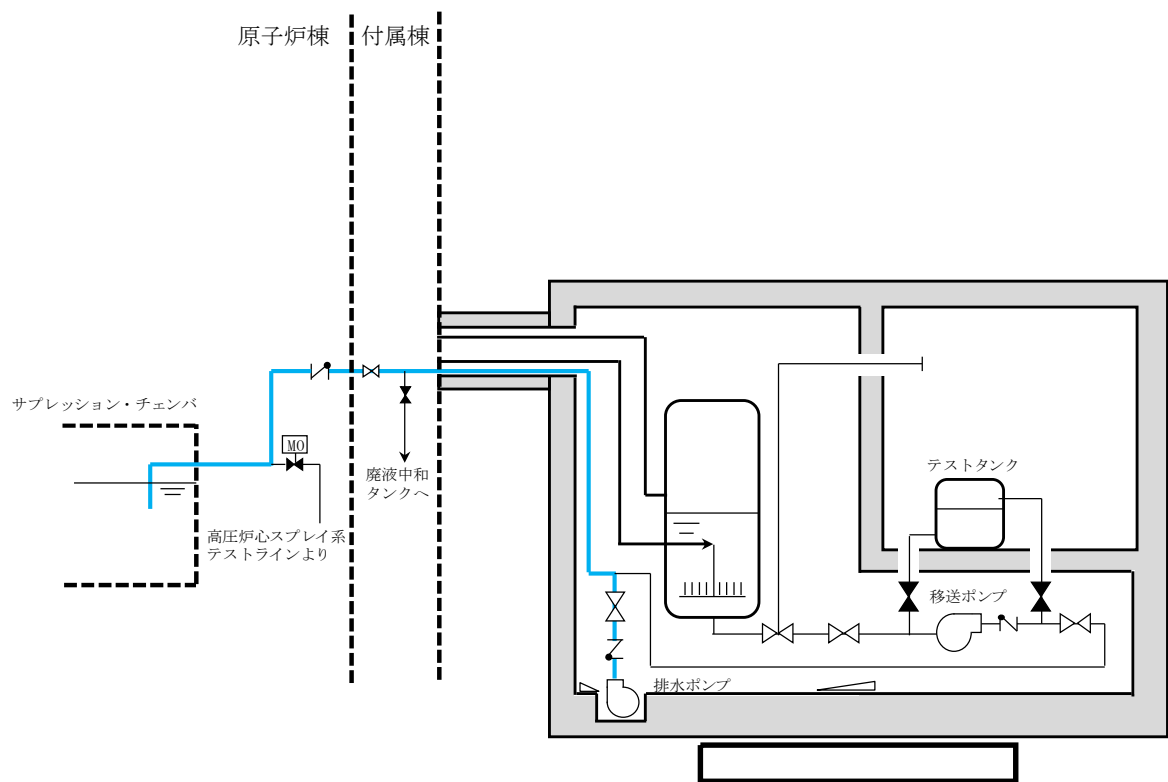
格納容器圧力逃がし装置の各設備については、スクラビング水の漏えいを防止する設計とするが、万一、フィルタ装置外にスクラビング水が漏えいした場合を想定し、早期に検出できるように [] 内に検知器を設置する。

[] 内における漏えい水は、[] [] 内の排水枡へ収集され、排水ポンプにより [] から移送できる設計とする。移送先は廃棄物処理設備である廃液中和タンク及びサプレッション・チェンバのいずれにも送れる設計とし、排水の種類に応じ送水先を選択する。具体的には、放射性物質を含まない場合は廃液中和タンク、放射性物質を含む場合はサプレッション・チェンバにそれぞれ移送する。

第 2 表に排水ポンプの仕様を、第 3 図に排水設備系統概略図を、第 4 図に [] 断面図を示す。

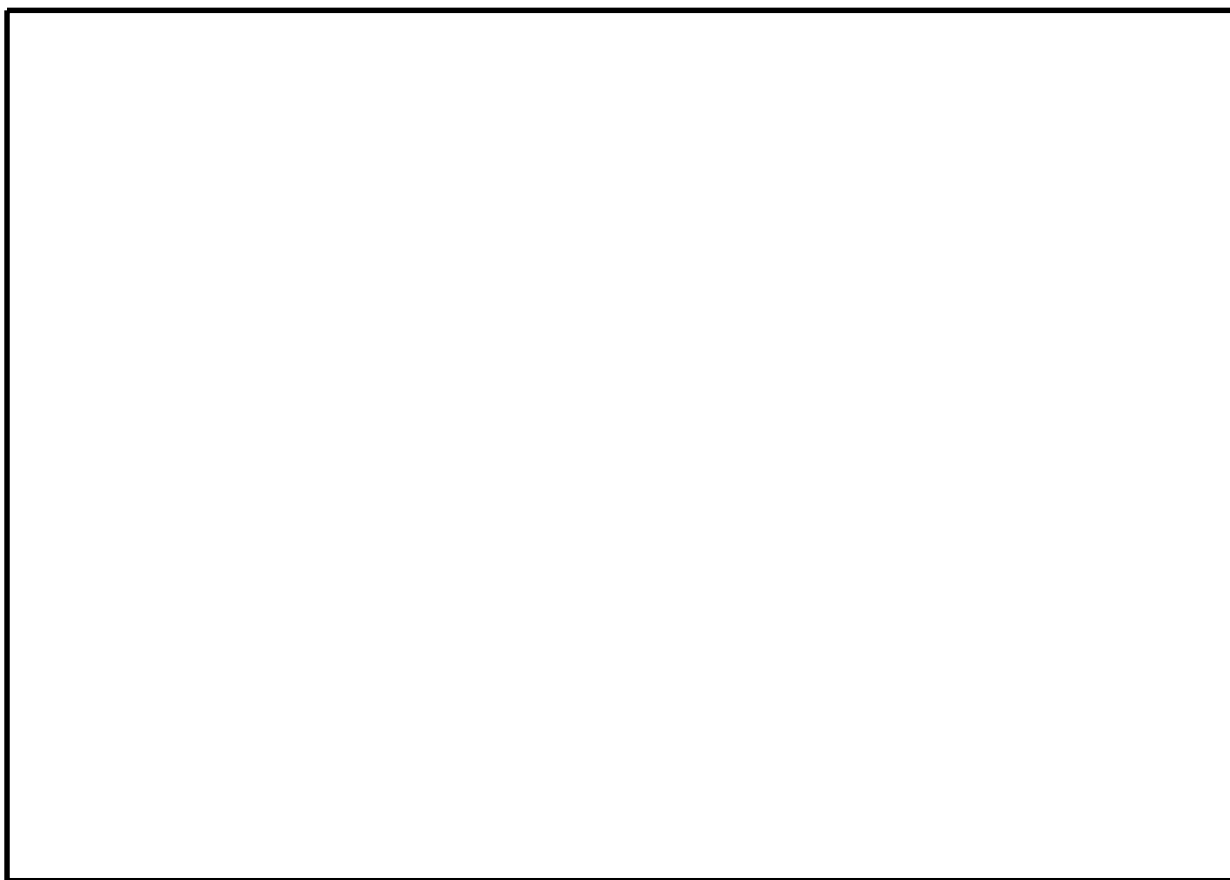
第 2 表 排水ポンプ仕様

型式：水中ポンプ
 容量：約 10m³/h
 揚程：約 40m
 台数：1
 駆動源：電動駆動（交流）



注) 系統構成は現在の計画

第 3 図 排水設備系統概略図

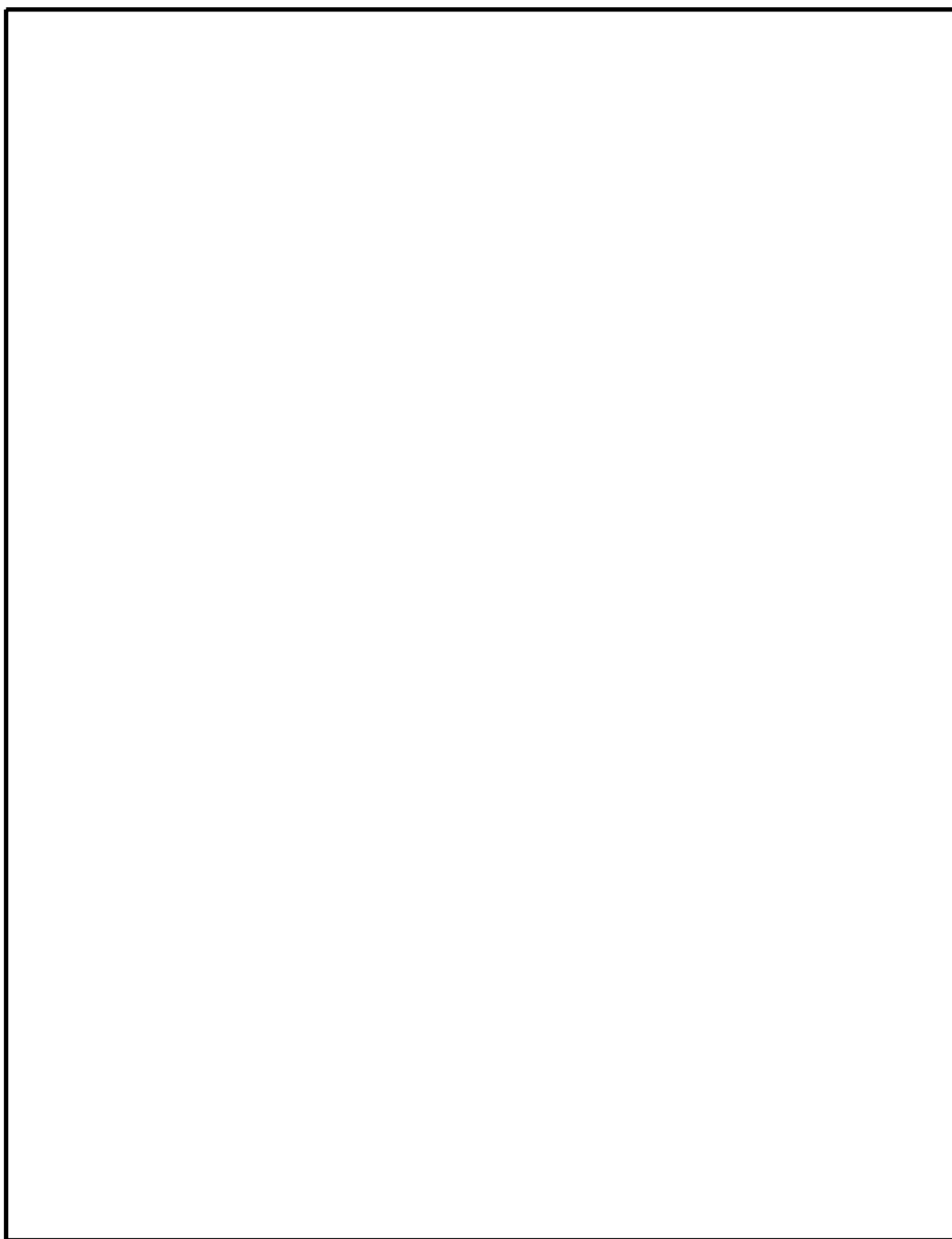


第 4 図 断面図

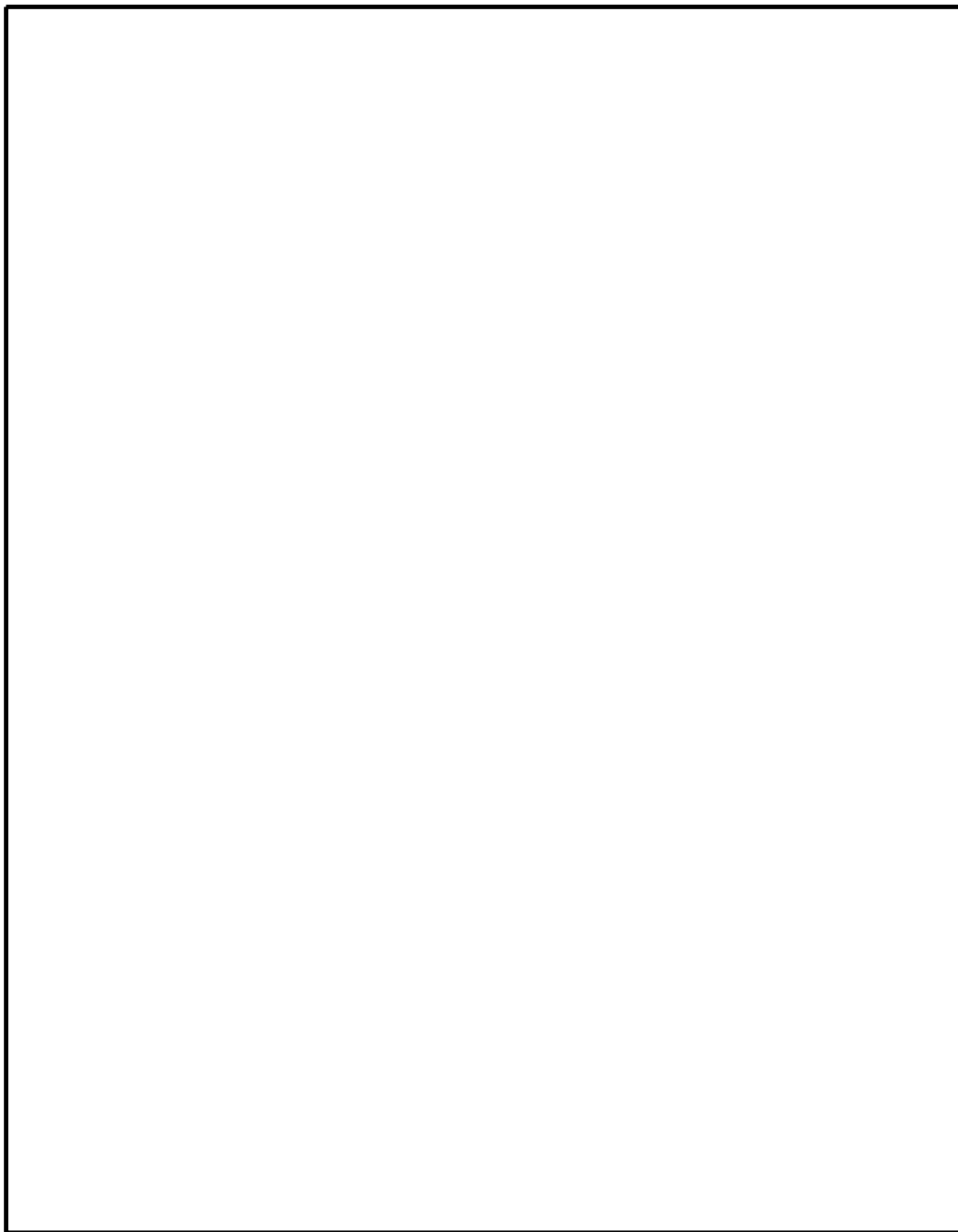
格納容器圧力逃がし装置の隔離弁の人力操作について

格納容器圧力逃がし装置の隔離弁は、中央制御室からの操作ができない場合には、現場の隔離弁操作場所から遠隔人力操作機構を介して弁操作を実施する。ベントに必要な弁の位置と操作場所について、第1図に示す。

ベントは、第一弁より開操作を実施し、第一弁が全開となったのちに第二弁の操作を実施し、ベントガスの大気への放出が開始されるため、
を設ける。は、弁の人力操作に必要な要員を収容可能な遮蔽に囲まれた空間とし、空気ボンベユニットにより正圧化し、外気の流入を一定時間完全に遮断することで、ベントの際のプルームの影響による操作員の被ばくを低減する設計とする。



第 1 図 隔離弁の操作場所 (1/2)



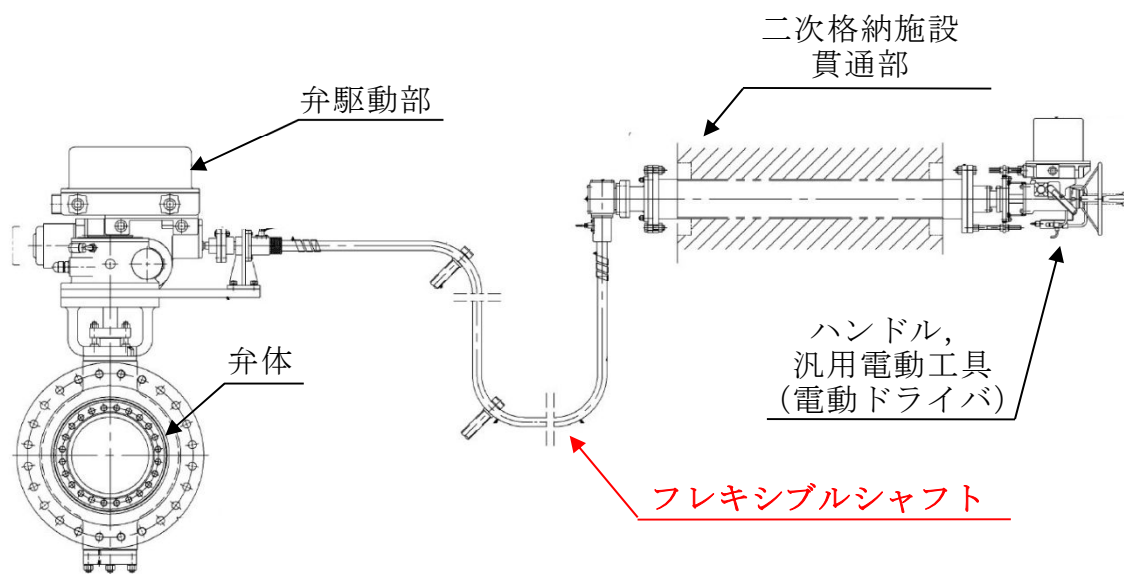
第 1 図 隔離弁の操作場所 (2/2)

(1) 電動駆動弁の遠隔人力操作機構の概要

隔離弁の操作軸にフレキシブルシャフトを接続し、二次格納施設外まで延長し、端部にハンドル又は遠隔操作器を取り付けて人力で操作できる構成とする。フレキシブルシャフトは直線に限らずトルクが伝達可能な構造とし、容易に操作できるように設計する。フレキシブルシャフトの一部は、隔離弁の付近に設置されることから、設備の使用時には高温、高放射線環境が想定されるが、機械装置であり機能が損なわれるおそれはない。

なお、フレキシブルシャフトを取り外し、ハンドルを取り付けることにより、弁設置場所での操作も可能である。

遠隔人力操作機構の模式図を第 2 図に、ベントに必要な隔離弁の遠隔人力操作機構の仕様について第 1 表に示す。



第 2 図 遠隔人力操作機構の模式図

第 1 表 ベントに必要な隔離弁の遠隔人力操作機構の仕様

弁名称 (口径)	フィルタ装置入口第一弁 (S/C側) 及びフィル タ装置入口第一弁 (S/ C側) バイパス弁 (550A)	フィルタ装置入口第一弁 (D/W側) 及びフィル タ装置入口第一弁 (D/ W側) バイパス弁 (550A)	フィルタ装置入口第二弁 及びフィルタ装置入口第 二弁バイパス弁 (550A)
フレキシブルシャフト 長さ*	約 12m	約 12m	約 15m
ハンドル 回転数*	約 2,940 回	約 2,940 回	約 1,989 回

※計画値

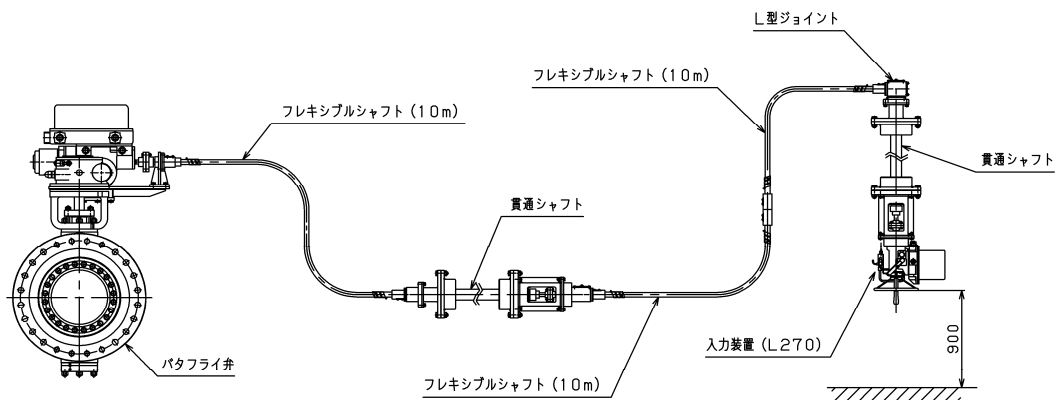
(2) 遠隔人力操作機構のモックアップ試験

フレキシブルシャフトを介した遠隔人力操作機構の成立性及び操作時間を 500A のバタフライ弁を用いたモックアップ試験により確認した。モックアップ試験の概要を第 3 図に示す。

モックアップ試験の結果、弁上流側に格納容器圧力 $2P_d$ に相当する圧力 (620kPa [gage]) が加わった状態であっても、フレキシブルシャフトを介した遠隔手動操作が可能なことを確認した。また、弁の操作要員は 3 名で約 82 回/分の速度にてハンドル操作が可能なことを確認した。モックアップ試験の結果を第 2 表に示す。

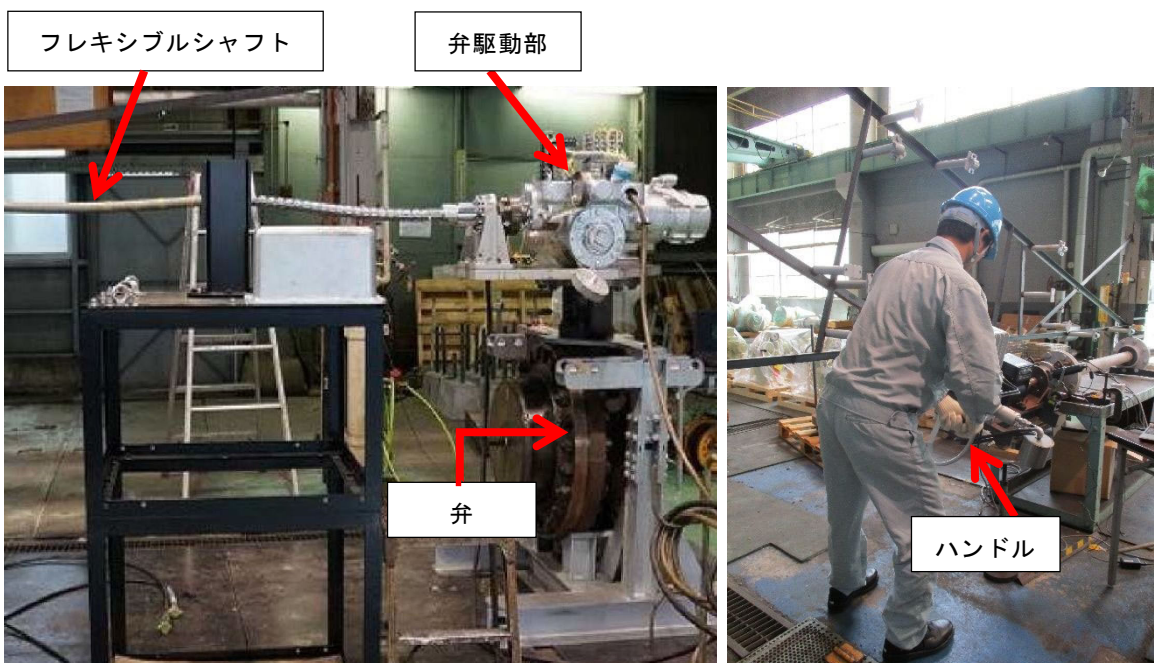
試験の結果を反映したベントに必要な隔離弁のハンドル操作時間を第 3 表に示す。

なお、東海第二では格納容器圧力逃がし装置を使用する際の系統構成 (他系統との隔離及びベント操作) において、A0 弁の遠隔手動操作をすることはない。



弁型式：500A バタフライ弁（電動駆動）
 シャフト長さ：約 30m
 上流側圧力：620kPa [gage] 以上

第 3 図 モックアップ試験の概要 (1/2)



第 3 図 モックアップ試験の概要 (2/2)

第 2 表 モックアップ試験結果

弁開度指示	ハンドル操作時間	ハンドル回転数	弁上流側圧力 (kPa [gage])	備考
5%	2分03秒	144	650	弁開度指示9%で 弁上流側圧力0kPa
10%	3分09秒	238	0	
50%	11分55秒	985	0	
100%	22分59秒	1,893	0	

第 3 表 ベントに必要な隔離弁のハンドル操作時間

弁名称	フィルタ装置入口 第一弁 (S/C側)	フィルタ装置入口 第一弁 (D/W側)	フィルタ装置 入口第二弁
ハンドル 操作時間	約 36 分	約 36 分	約 25 分

モックアップ試験結果のハンドル操作速度約 82 回転/分より算出。

(3) 汎用電動工具による操作性向上

遠隔人力操作機構のハンドル操作時間には数十分を要することから、操作性を向上するために、汎用電動工具（電動ドライバ）を [] [] 付近に準備する。汎用電動工具を用いたハンドル操作時間は、10 分程度に短縮可能である。

なお、過回転による遠隔人力操作機構の損傷防止のため、ハンドル付近には回転数カウンタを設け、弁開度が全閉及び全開付近では必要により人力で操作することとする。

(4) [] の正圧化バウンダリの設計差圧

[] の正圧化バウンダリは、配置上、動圧の影響を直接受けない屋内に設置されているため、室内へのインリークは隣接区画との温度差によるものと考えられる。

[] の正圧化に必要な差圧を保守的に評価するため、重大事故等時の室内の温度を高め、50℃、隣接区画を外気的设计最低温度-12.7℃と仮定すると、[] の天井高さは最大約 4m であり、以下のとおり約 10.4Pa の圧力差があれば、温度の影響を無視できると考えられる。

$$\begin{aligned} \Delta P &= \{ (-12.7^\circ\text{C} \text{ の乾き空気の密度 } [\text{kg}/\text{m}^3]) - (+50^\circ\text{C} \text{ の乾き空気の密度 } \\ &\quad [\text{kg}/\text{m}^3]) \} \times \text{天井高さ } [\text{m}] \\ &= (1.3555 [\text{kg}/\text{m}^3] - 1.0925 [\text{kg}/\text{m}^3]) \times 4 [\text{m}] \\ &= 1.052 [\text{kg}/\text{m}^2] \\ &\doteq 10.4 [\text{Pa}] \end{aligned}$$

したがって、正圧化の必要差圧は裕度を考慮して隣接区画+20Pa とする。

(5) []

[] は、弁の人力操作に必要な要員を収容可能な遮蔽に囲まれた空間とし、空気ポンプユニットにより正圧化し、外気の流れを一定時間完全に遮断することで、ベントの際のブルームの影響による操作員の被ばくを低減する設計とする。室温については、ベント開始後は、格納容器圧力逃がし装置の配管の一部が遮蔽を挟んで隣接したエリアに設置されるため、長期的には徐々に上昇することが想定されるが、遮蔽

が十分厚く操作員が [] に滞在する数時間での室温の上昇はほとんどなく、居住性に与える影響は小さいと考えられる。

また、現場の [] には、酸素濃度計、二酸化炭素濃度計及び電離箱サーベイメータを設けることで居住性が確保できることを確認できる。

中央制御室との通信については、携行型有線通話装置を [] に整備する。

① 収容人数

第二弁の操作に必要な要員は、既述のモックアップ試験結果より3名であることから、 [] には3名を収容できる設計とする。

② 設置場所

[] は、アクセス性と被ばく低減を考慮して原子炉建屋原子炉棟外でかつ遮蔽のある部屋とする必要があることから、 [] 内に設置する。

また、第二弁は遠隔人力操作機構を用いて操作することから、弁の操作性のため、可能な限り第二弁に近い場所に [] を設置する。 [] の設置位置を第1図に示す。

③ 遮蔽設備

[] の壁及び床は、弁操作要員がベント中に滞在可能なように鉄筋コンクリート50cm以上の厚さを有し、さらに、 [] に隣接するエリアに格納容器圧力逃がし装置入口配管が設置される方向の壁及び床の厚さは、鉄筋コンクリート

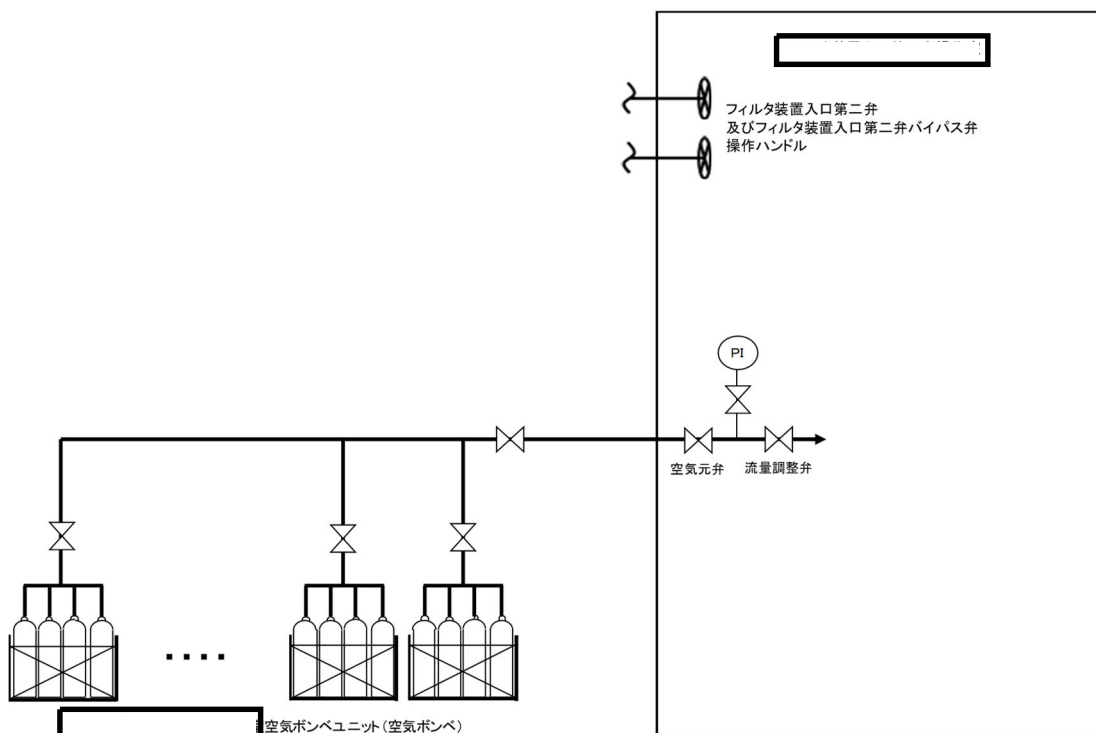
160cm とし、放射性物質のガンマ線による外部被ばくを低減する設計とする。(別紙 17)

なお、の入口は、遮蔽扉及び気密扉を設置し、放射性物質のガンマ線による外部被ばくを低減し、また、放射性物質のへの流入を防止する設計とする。

④ 空気ポンベユニット

a. 系統構成

空気ポンベユニットの概要図を第 4 図に示す。空気ポンベユニットから減圧ユニットを介し、流量計ユニットにより一定流量の空気をへ供給する。内は微差圧調整ダンパにより正圧を維持する。



第 4 図 空気ポンベユニット概要図

b. 必要空気量

(a) 二酸化炭素濃度基準に基づく必要空気量

- ・収容人数：n=3（名）
- ・許容二酸化炭素濃度：C=0.5%（J E A C 4622-2009）
- ・空気ボンベ中の二酸化炭素濃度：C₀=0.0336%
- ・呼吸により排出する二酸化炭素量：M

滞在時間	呼吸により排出する 二酸化炭素量：M (m ³ /h/人)	空気調和・衛生工学便 覧の作業程度区分
5 時間	0.074	重作業 ^{※1}

※1 弁操作時間は第3表のとおり1時間未満であり、重作業（弁操作）と極軽作業（待機）があるが、保守的に滞在時間の全てを重作業区分として扱う。

- ・必要換気量：Q=M×n / (C-C₀)

$$\text{弁操作時 } Q=0.074 \times 3 / (0.005 - 0.000336)$$

$$=47.6 \text{ m}^3 / \text{h}$$

- ・必要空気量：V=Q×5

$$=47.6 \times 5$$

$$=238.0 \text{ m}^3$$

(b) 酸素濃度基準に基づく必要空気量

- ・収容人数：n=3（名）
- ・吸気酸素濃度：a=20.95%（標準大気の酸素濃度）
- ・許容酸素濃度：b=19.0%（鉱山保安法施工規則）
- ・乾燥空気換算酸素濃度：d=16.4%（空気調和・衛生工学便覧）
- ・成人の酸素消費量：c=（呼吸量）×（a-d） / 100

滞在時間	酸素消費量：c (m ³ /h/人)	呼吸量 (L/min)	空気調和・衛生工 学便覧の作業区分
5 時間	0.273	100	歩行 ^{※2} (300m/min)

※2 弁操作時間は第3表のとおり1時間未満であり、歩行（弁操作）と静座（待機）があるが、保守的に滞在時間の全てを歩行区分として扱う。

$$\cdot \text{必要換気量} : Q = c \times n / (a - b)$$

$$\begin{aligned} \text{弁操作時 } Q &= 0.273 \times 3 / (0.2095 - 0.190) \\ &= 42.0 \text{ m}^3 / \text{h} \end{aligned}$$

$$\cdot \text{必要空気量} : V = Q \times 5$$

$$\begin{aligned} &= 42.0 \times 5 \\ &= 210.0 \text{ m}^3 \end{aligned}$$

(c) 必要ポンペ本数

(a), (b)の結果より, 内に滞在する
 操作員 (3名) が弁操作時間を含めて 5 時間滞在するために必要な空
 気ポンペによる必要空気量は二酸化炭素濃度基準の 238.0 m^3 とする。

以下に必要な空気ポンペ本数を示す。

$$\begin{aligned} \text{必要ポンペ本数} &= (\text{必要空気量}) / (\text{ポンペ空気供給量}) \\ &= 238.0 / 5.5 \\ &= 43.3 \\ &\approx 44 \text{ (本)} \end{aligned}$$

・ 必要空気量 : 二酸化炭素濃度基準に基づく必要空気量

・ ポンペ空気供給量 : 1 気圧でのポンペの空気量は約 $6.8 \text{ m}^3 / \text{本}$ あ
 るが, 残圧及び使用温度補正を考慮し, 空気
 供給量は $5.5 \text{ m}^3 / \text{本}$ とする。

なお, 重大事故等対処設備としての空気ポンペ設置本数は, 故障時
 のバックアップとして予備 4 本を含めた 48 本とする。

⑤ 通信設備

には, 中央制御室と通信するための携行
 型有線通話装置 (図 5) を設ける。



第 5 図 携行型有線通話装置

(参考) フィルタ装置入口第二隔離弁の遠隔人力操作作業室の環境について

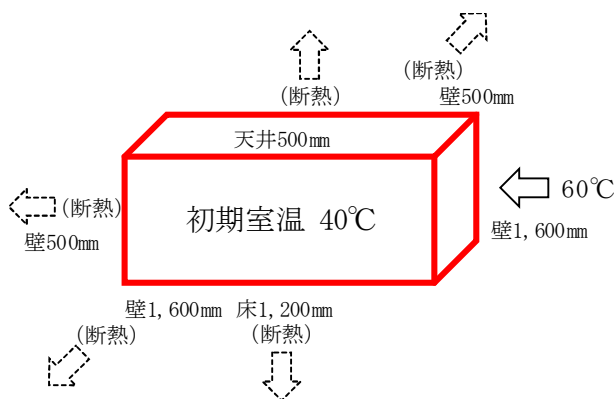
重大事故等時に想定される放射線量及び室温が、第二弁の操作に影響はないことを以下のとおり確認した。

〔 〕内は、空気ボンベにより正圧化して、放射性物質の流入を防ぐ設計としており、〔 〕の壁及び床は、弁操作要員の滞在中の被ばく防護のため、50cm以上の鉄筋コンクリート壁厚を確保している。

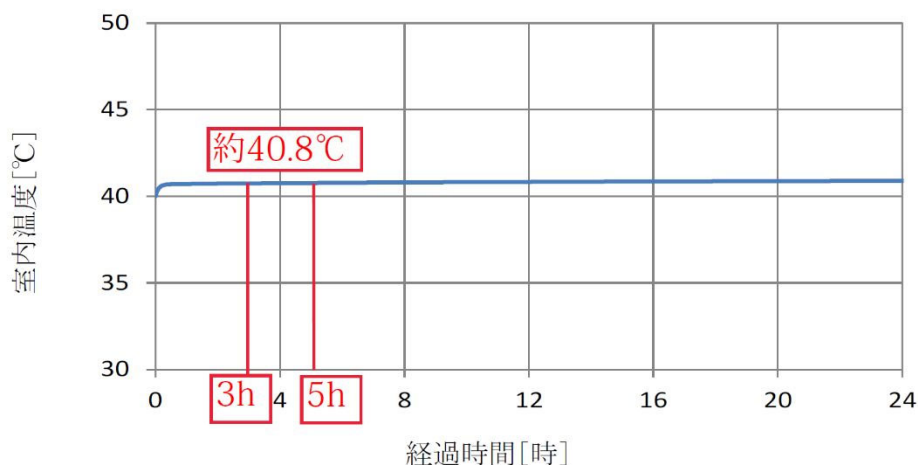
さらに、〔 〕に隣接するエリアに格納容器圧力逃がし装置入口配管が設置されるため、配管が設置される方向に対し、160cm以上の鉄筋コンクリート壁厚を確保し、ベント時の放射性物質からのガンマ線による外部被ばくを低減する設計としている。

この対策により、〔 〕にベント開始から3時間滞在する要員の被ばく量(移動時を含む)、ウェットウェルベントの場合で約18mSv、ドライウェルベントの場合で27mSvと評価している。(別紙17)

また、ベント開始後の格納容器圧力逃がし装置配管の影響による室温の上昇は、ベント開始3時間～5時間後で約41℃と評価した。(第6図)



- 初期室温は外気温 35°C（夏季）を踏まえ、保守的に 40°Cとする。
- 評価開始時点で格納容器圧力逃がし装置の入口配管が敷設される部屋の壁の表面温度を 60°Cとする。
(保温材の効果により 60°Cとなる)
- 隣接する部屋に格納容器圧力逃がし装置の入口配管が敷設されていない部屋の壁は、保守的に断熱とする。



室温は、格納容器圧力逃がし装置の入口配管が敷設される部屋の壁の表面温度を評価開始時点で 60°Cと保守的に設定しても 3 時間～5 時間後で約 41°Cと評価。

第 6 図 の室温上昇評価モデルと評価結果

格納容器圧力制御のための代替格納容器スプレイの運用について

(1) 代替格納容器スプレイの運用について

東海第二発電所の非常時運転手順書では、格納容器圧力制御のための外部水源を用いた代替格納容器スプレイを実施する場合、炉心損傷前は 279kPa [gage] (0.9Pd) - 217kPa [gage] (0.7Pd), 炉心損傷後は 465kPa [gage] (1.5Pd) - 400kPa [gage] (1.3Pd) の範囲において、可能な限り高い圧力で維持するよう格納容器スプレイ流量を $130\text{m}^3/\text{h}$ - $102\text{m}^3/\text{h}$ (補足 1) の範囲で調整することとしている。これは、間欠スプレイを実施する場合に対して、運転員の負担の軽減及びスプレイ弁故障のリスク軽減し、さらに、格納容器圧力を高い領域で維持することでスプレイ効果を高め、サプレッション・プール水位の上昇抑制による格納容器ベントの遅延を図り、可能な限り外部への影響を軽減する観点から設定している。

一方で、有効性評価においては、上記圧力制御範囲において、スプレイ流量 $130\text{m}^3/\text{h}$ を一定として、スプレイ弁の開閉による間欠スプレイを実施することとしている。これは、被ばく評価に与える影響を厳しく評価する観点から、実手順のスプレイ流量範囲のうち最大流量である $130\text{m}^3/\text{h}$ を設定している。

(2) 影響評価

可能な限り連続スプレイを実施することとしている非常時運転手順書と有効性評価解析には、第 1 表に整理する相違点があり、非常時運転手順書に基づいて連続スプレイとした場合に、有効性評価解析に与える影響を確認する。

第 1 表 有効性評価との相違点と影響評価について

相違点	項目	評価
スプレイ流量の低下	格納容器圧力低下効果の不足	影響評価①
	格納容器温度低下効果の不足	
	エアロゾル除去効果の低下	影響評価②
スプレイ停止期間の減少	ベント開始時間が早くなることによる被ばく影響の増大	影響評価①
格納容器圧力が高い領域で推移	格納容器からの放射性物質の漏えい量の増加	影響評価③

a. 影響評価①

格納容器圧力制御のための代替格納容器スプレイを連続スプレイとした場合、有効性評価において実施している $130\text{m}^3/\text{h}$ から流量を低下させることとなるため、格納容器圧力及び温度に与える影響を確認する。また、有効性評価ではサプレッション・プール水位上昇を抑制するために間欠での代替格納容器スプレイを実施しているが、連続スプレイとした場合には、サプレッション・プール水位上昇が早くなるおそれがあるため、ベント開始時間に与える影響を確認する。

(a) 評価条件

代替格納容器スプレイ流量範囲の下限である $102\text{m}^3/\text{h}$ で一定とした条件での感度解析「 $102\text{m}^3/\text{h}$ 一定ケース」を実施した。また、その他の条件は有効性評価シナリオ「雰囲気圧力・温度による静的負荷（格納容器過圧・過温破損）（代替循環冷却系を使用できない場合）」（以下「ベースケース」という。）と同じとした。

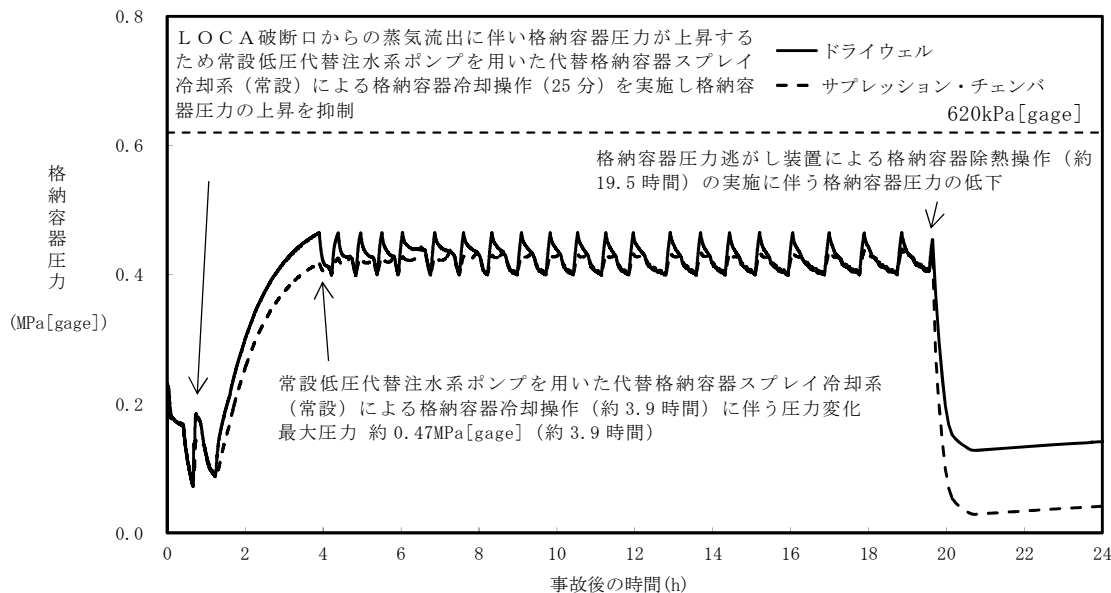
ベースケースと $102\text{m}^3/\text{h}$ 一定ケースを対比し、連続スプレイとした場合の影響について確認する。

(b) 評価結果

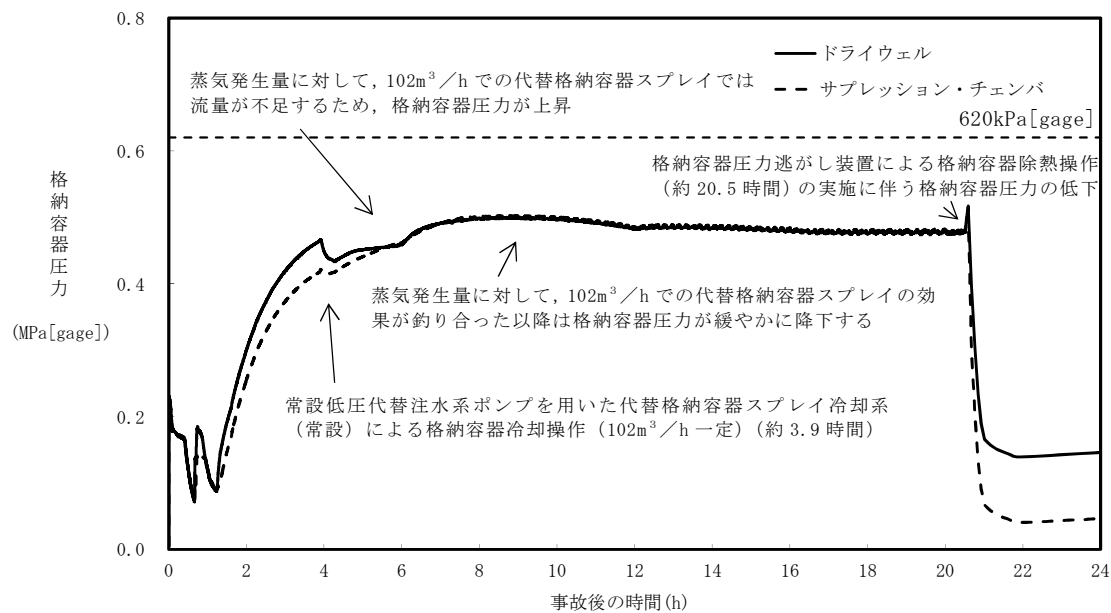
ベースケースにおける格納容器圧力の推移を第 1 図に、格納容器温度の推移を第 3 図に示す。また、 $102\text{m}^3/\text{h}$ 一定ケースにおける格納容器圧力の推移を第 2 図に、格納容器温度の推移を第 4 図に示す。

$102\text{m}^3/\text{h}$ 一定ケースでは、約 4 時間後から約 9 時間後まで、蒸気発生量に対してスプレイ流量が不足し、格納容器圧力が上昇する結果となった。ただし、実運用では、スプレイ流量を調整することで圧力を 465kPa [gage] (1.5Pd) 以下に抑制することが可能である。また、 $102\text{m}^3/\text{h}$ 一定ケースにおけるベント開始時間は約 20.5 時間であり、ベースケースの約 19.5 時間よりも遅くなる結果となった。

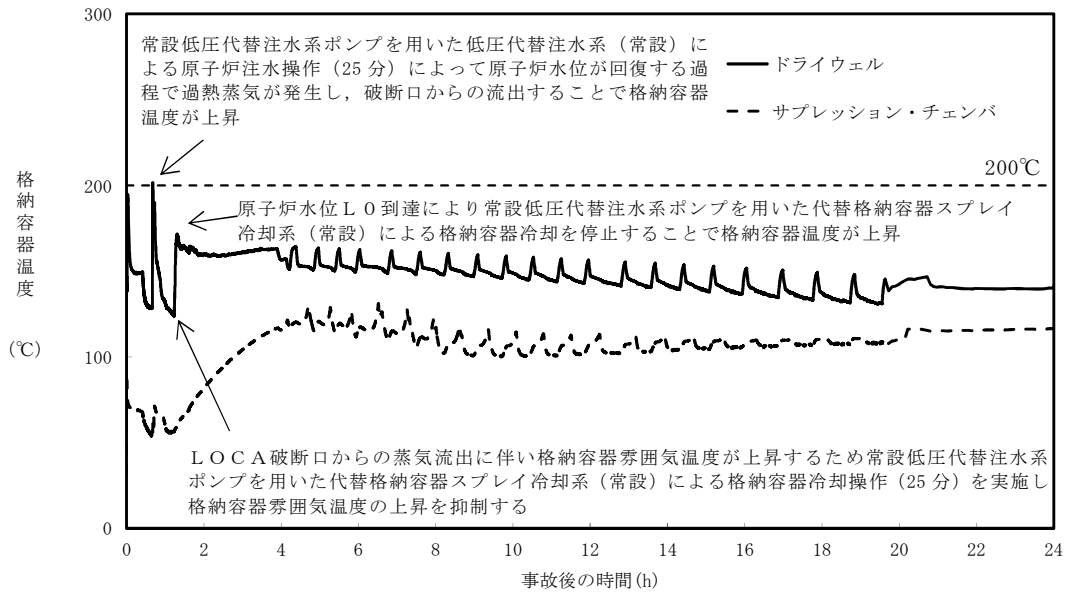
以上のことから、連続スプレイを実施することによる格納容器圧力及び格納容器温度に与える影響はなく、ベント開始時間が早まることによる被ばく評価への影響もない。



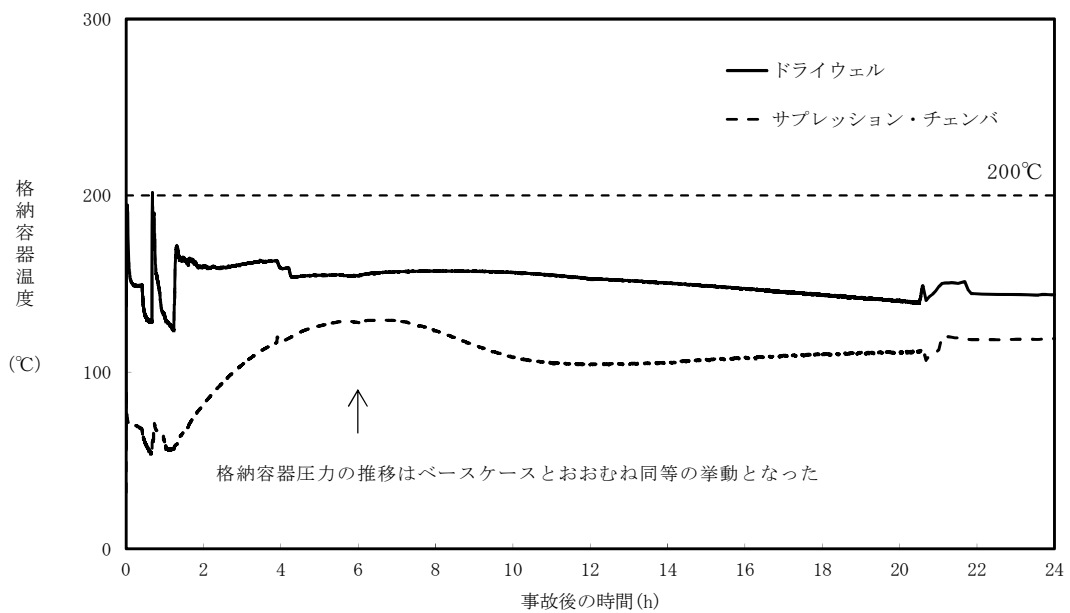
第1図 ベースケースにおける格納容器圧力の推移(24時間)



第2図 102m³/h一定ケースにおける格納容器圧力の推移(24時間)



第 3 図 ベースケースにおける格納容器温度の推移（24 時間）



第 4 図 102m³/h 一定ケースにおける格納容器温度の推移（24 時間）

b. 影響評価②

格納容器スプレイに期待しているエアロゾル除去効果について、スプレイ流量が低下した場合には、液滴数が減少することで除去効率が下がり、ベースケースよりも格納容器内に浮遊するエアロゾル濃度が上昇することで、格納容器から原子炉建屋へ漏えいするエアロゾル量及びフィルタ装置へ移行するエアロゾル量が多くなるおそれがある。

(a) 評価条件

ベースケースにおいて、ベント直前の 19.5 時間後時点でのベースケース及び 102m³/h 一定ケースの格納容器気相部のエアロゾルの濃度を対比する。

(b) 評価結果

19.5 時間後におけるベースケースと 102m³/h 一定ケースにおける格納容器気相部のエアロゾルを第 2 表に示す。

第 2 表 格納容器気相部のエアロゾル濃度の比較

核種グループ	エアロゾルの濃度 (kg/m ³)		ベースケースとの比較
	ベースケース	102m ³ /h 一定ケース	
1 CsI 類	1.62E-07	1.26E-07	7.78E-01
2 CsOH 類	4.39E-07	3.16E-07	7.20E-01
3 Sb 類	1.13E-07	7.22E-08	6.39E-01
4 TeO ₂ 類	8.38E-08	4.43E-08	5.29E-01
5 SrO 類	6.63E-05	4.35E-05	6.56E-01
6 BaO 類	8.53E-05	5.55E-05	6.51E-01
7 MoO ₂ 類	1.09E-04	7.00E-05	6.42E-01
8 CeO ₂ 類	5.74E-05	3.77E-05	6.57E-01
9 La ₂ O ₃ 類	6.64E-05	4.36E-05	6.57E-01
合計	3.85E-04	2.51E-04	6.51E-01

(c) 評価結果

評価の結果、 $102\text{m}^3/\text{h}$ 一定ケースではベースケースと比較して、格納容器気相部のエアロゾル濃度が減少する結果となった。これは、間欠スプレイを実施する場合には、スプレイ停止期間中に格納容器内の温度が上昇し、沈着したエアロゾルが再浮遊することで濃度が上昇することに対して、連続スプレイを実施する場合は格納容器温度が相対的に低く抑えられたためと考えられる。

以上のことから、エアロゾル除去効果については、ベースケースの方がより保守的な結果であり、被ばく評価に与える影響はない。

c. 影響評価③

被ばく評価において、MAAP解析結果に基づき、格納容器から原子炉建屋への漏えいを評価する希ガス、エアロゾル及び有機よう素については、格納容器の圧力が高く維持される連続スプレイの方が多くなるおそれがある。

(a) 評価条件

代替格納容器スプレイによる圧力制御範囲において、可能な限り格納容器圧力を高い領域で維持した場合を模擬させるため、格納容器圧力を 465kPa [gage] (1.5Pd) でほぼ一定とした感度解析「1.5Pd 制御ケース」を実施した。 465kPa [gage] (1.5Pd) でほぼ一定の格納容器圧力となるよう、 465kPa [gage] (1.5Pd) から 462kPa [gage] (1.49Pd) の圧力範囲で間欠スプレイを実施する条件とした。また、その他の条件はベースケースと同じとした。

ベースケースと 1.5Pd 制御ケースを対比し、連続スプレイとした場

合の希ガス、エアロゾル及び有機よう素の漏えいによる放出割合の影響について確認する。

(b) 評価結果

放出割合の評価結果を第 3 表に示す。

第 3 表 原子炉建屋への放出割合の比較

核種グループ		放射能量 (0.5MeV 換算値)		ベースケースとの比較
		ベースケース	1.5Pd 制御ケース	
1	希ガス類	2.423E+15	2.249E+15	9.285E-01
2'	有機よう素	2.890E+15	2.680E+15	9.274E-01
2	C s I 類	1.121E+15	1.139E+15	1.016E+00
3	C s O H 類	9.065E+13	9.190E+13	1.014E+00
4	S b 類	1.693E+12	1.717E+12	1.014E+00
5	T e O ₂ 類	1.445E+13	1.465E+13	1.014E+00
6	S r O 類	5.607E+11	5.700E+11	1.017E+00
7	B a O 類	5.468E+12	5.544E+12	1.014E+00
8	M o O ₂ 類	2.267E+12	2.298E+12	1.014E+00
9	C e O ₂ 類	9.046E+11	9.175E+11	1.014E+00
10	L a ₂ O ₃ 類	7.939E+11	8.051E+11	1.014E+00
合計		6.550E+15	6.187E+15	9.446E-01

第 3 表に示すとおり、エアロゾルは 2%程度増加する結果となったが、希ガス及び有機よう素は減少する結果となった。これは、ベースケースにおいて、間欠スプレイを実施することで急激にドライウエル圧力が低下し、サプレッション・チェンバから希ガス及び有機よう素を含む非凝縮性ガスがドライウエルに移行し、漏えい面積のより大きいドライウエル内の非凝縮性ガスの割合が増加するのに対し、1.5Pd

制御ケースの場合、ドライウェルとサプレッション・チェンバ間の急激な差圧が生じず、ドライウェルに移行する非凝縮性ガスの割合が相対的に低くなったためである。

また、ベースケースにおける格納容器から原子炉建屋への漏えいする希ガス、有機よう素及びその他の核種の被ばくへの寄与率は、第 4 表に示すとおり、希ガス及び有機よう素による寄与が大半を占めている。1.5Pd 制御ケースにて増加するエアロゾルの影響は軽微であることに加え、寄与率の高い希ガス及び有機よう素が減少していることから、間欠スプレイを実施するベースケースの方がより保守的な評価となる。

第 4 表 核種グループごとの被ばく寄与率（ベースケース）

	外部被ばく寄与率	内部被ばく寄与率	グラウンドシャイン
希ガス	約 56%	—	—
有機よう素	約 26%	約 55%	約 96%
無機よう素	約 17%	約 35%	
粒子状よう素	約 1%	約 2%	
エアロゾル	約 1%	約 9%	約 4%

さらに、a. にて示したように、 $102\text{m}^3/\text{h}$ 一定ケースでは、ベースケースと比較し、ベント開始時間が遅くなることで被ばく評価において大半の寄与を占める希ガスの減衰時間が増えるため、より被ばく線量は低くなる。

なお、無機よう素については、有効性評価における格納容器圧力の制御範囲を包含するよう漏えい率を与えているため、影響はない。

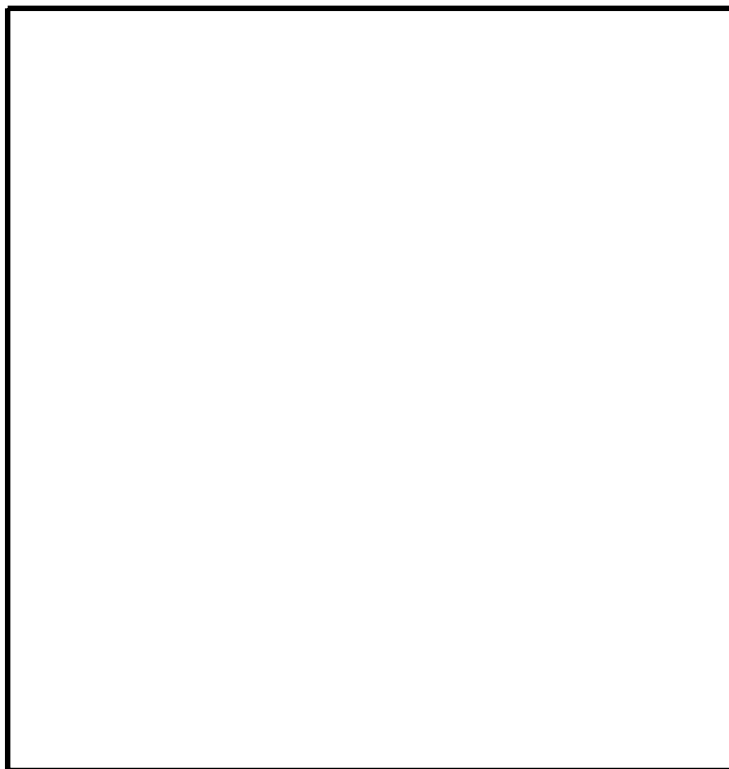
以上のことから、被ばく評価において、ベースケースの方がより保守的な結果となるため、被ばく評価に対する影響はない。

補足 1 スプレー流量制御の下限値の設定について

格納容器スプレーによるエアロゾル除去効果については、MAAPコードにおいて取扱っており、スプレー液滴径と相関があるため、スプレー流量を低下させた場合、液滴径が大きくなることで十分なエアロゾル除去効果が確保されないおそれがある。そのため、連続スプレー流量制御の下限値は、MAAP解析にて有効性を確認している粒径である 2mm が確保される流量を設定する。流量制御の下限値の設定に当たっては、実験^{*1}による知見に基づき、代替格納容器スプレー流量の下限値を設定する。

1. 実験の知見及び考察

実験の結果を第 1 図に示す。実験における記録ではスプレー液滴径にばらつきがあるが、第 1 図に示すノズル当たりの流量が L/min 以上の場合、最大の液滴径は 2 mm 以下となる。そのため、ノズル当たりの流量が L/min 以上確保される流量を代替格納容器スプレー流量制御の下限値として設定する。



第 1 図 スpray液滴径の実験結果

(ノズル当たりの流量 L/min)

2. 流量制御の下限値の設定

東海第二発電所における Sprayヘッダのノズル数は 個であることから、下式に示すとおり、 Spray流量 $102\text{m}^3/\text{h}$ 以上を確保することで、 Sprayノズル当たりの流量は L/min 以上確保される。

$$\begin{aligned}
 \text{○系統流量} &= \text{ (L/min/ノズル)} \times \text{ (ノズル)} \\
 &= \text{ (L/min)} \\
 &= 102 \text{ (m}^3/\text{h)}
 \end{aligned}$$

※1 共同研究報告書、放射能放出低減装置に関する開発研究 (PHASE2) (平成 5 年 3 月)

フィルタ装置における化学反応熱について

重大事故等時に格納容器で発生したエアロゾル及び無機よう素がフィルタ装置に到達し、ベンチュリスクラバにおいて無機よう素が化学反応した際の生成物は中性物質（よう化ナトリウム (NaI)、硫酸ナトリウム (Na₂SO₄)）であり、スクラビング水の pH に与える影響はほとんどない。また、ベンチュリスクラバにて無機よう素がスクラビング水と化学反応することによって発熱するが、この発熱量と、設計条件であるベントフィルタ内の放射性物質の崩壊による発熱量（500kW（別紙 2））とを比較した結果、ベンチュリスクラバにおける化学反応の発熱量は約 1/30 であり、化学反応の発熱量の影響が十分小さいことを確認した。

重大事故等時に格納容器で発生した有機よう素及びベンチュリスクラバを通過した無機よう素について、よう素除去部において有機よう素及び無機よう素が化学反応した際の生成物のうち、硝酸メチルは爆発性のおそれがある物質とされているが、生成量は約 0.003vol% と微量であることから、爆発することはないと考えられる。なお、生成物のうち、よう化銀については、光によって分解する性質があるが、よう素除去部は容器内の遮光された環境にあるため、光分解によるよう素の放出は発生しない。また、よう素除去部にて有機よう素及び無機よう素が吸着剤と化学反応することによって発熱・吸熱するが、化学反応の発熱・吸熱による温度変化量を評価した結果、よう素除去部の温度変化が十分小さいことを確認した。

1. ベンチュリスクラバにおける化学反応による発熱量

(1) ベンチュリスクラバにおけるエアロゾルの化学反応による発熱量

ベンチュリスクラバで捕集されるエアロゾルは核分裂生成物エアロゾルと構造材エアロゾルがある。核分裂生成物エアロゾルは別紙 2 に記載のとおりであり、構造材エアロゾルは炉内構造物等の金属及びコンクリート含有元素 (Si, Ca, Mg, Al, K 等) で構成されている。それらがスクラビング水と反応したときの反応熱の中で 1mol 当たりの発熱量が最も大きいのは であることから、ここでは で代表し、設計条件である 400kg 全量が としてスクラビング水で反応したときの発熱量にて影響を評価する。

ベンチュリスクラバにおける の化学反応は以下の熱化学方程式のとおりである。

それぞれの化学種の標準生成エンタルピは以下の値となる (参考図書 1)。

熱化学方程式と標準生成エンタルピより、 となる。

以上より、1mol の の反応には の発熱量を伴うこととなる。

) 400kg は に当たることから、発熱量 kJ となる。

(2) ベンチュリスクラバにおける無機よう素の化学反応による発熱量

ベンチュリスクラバにおける無機よう素の捕集は、スクラビング水に添加する薬剤により行われ、その化学反応は以下の熱化学方程式のとおりである。

アルカリ性条件下（発熱反応）

[Redacted]

それぞれの化学種の標準生成エンタルピは以下の値となる（参考図書 1）。

[Redacted]

熱化学方程式と標準生成エンタルピより、[Redacted] となる。

以上より、1mol の無機よう素の反応には [Redacted] の発熱量を伴うこととなる。

フィルタ装置に貯留するスクラビング水 [Redacted] には [Redacted] wt% 含有していることから、 $S_2O_3^{2-}$ の量は [Redacted] となる。

一方、ベンチュリスクラバに流入する無機よう素の量について、以下のとおり設定する。

a. よう素炉内内蔵量（約 24.4kg）

BWR プラントにおける代表炉心（A BWR）の平衡炉心末期を対象とした OR I G E N 2 コードの計算結果に対して、東海第二発

電所の熱出力 (3,293MW) を考慮して算出した結果, 約 24.4kg とする。

b. 格納容器へのよう素放出割合 (61%)

NUREG-1465 に基づき, 格納容器内へのよう素の放出割合を 61% とする。

c. 格納容器に放出されるよう素のうち無機よう素生成割合 (91%)

Regulatory Guide 1.195 に基づき, よう化セシウム 5%, 無機よう素 91%, 有機よう素 4% とする。

以上より, ベンチュリスクラバに流入する無機よう素 (分子量 253.8) 約 13.6kg ($=24.4\text{kg} \times 61\% \times 91\%$) の量は約 53.6mol ($=13,600\text{g} / 253.8\text{g/mol}$) となる。無機よう素と の反応による発熱量はモル数の少ない無機よう素の量により決定される。この場合無機よう素と の反応により生じる全発熱量は, となる。

(3) ベンチュリスクラバにおける化学反応の発熱量の評価



以上より，ベンチュリスクラバにおける化学反応による発熱量が与える影響はないと言える。

2. よう素除去部における化学反応による発熱

(1) よう素除去部における有機よう素の化学反応による発熱量

よう素除去部における有機よう素の捕集は，銀ゼオライトへの吸着反応として行われ，その化学反応は以下の熱化学方程式のとおりである。

アルカリ性条件下（発熱反応）



それぞれの化学種の標準生成エンタルピは以下の値となる（参考図書 1）。



熱化学方程式と標準生成エンタルピより，となる。

以上より，1mol の有機よう素 CH_3I の反応には の発熱量を伴うこととなる。

ここで，よう素除去部に流入する有機よう素の量は，別紙 11 に記載のとおり となる。したがって，よう素除去部における有機よう素の反応による発熱量は となる。

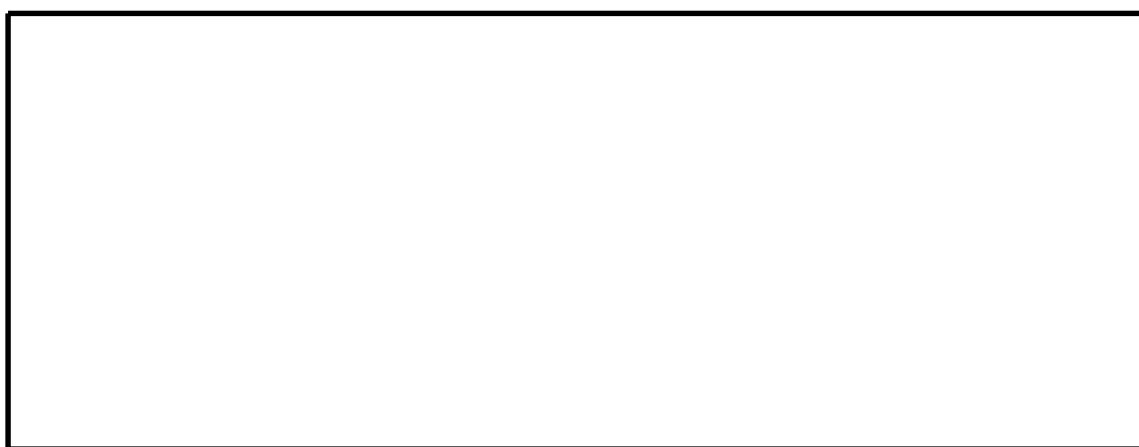
有機よう素の全量が 10 分間（600 秒）でよう素除去部へ捕集されたと考えると，発熱量は となる。

(2) よう素除去部における無機よう素の化学反応による吸熱量

よう素除去部における無機よう素 I_2 の銀ゼオライトへの吸着反応は、以下の熱化学方程式で示される。



それぞれの化学種の標準生成エンタルピは以下の値となる（参考図書 1）。



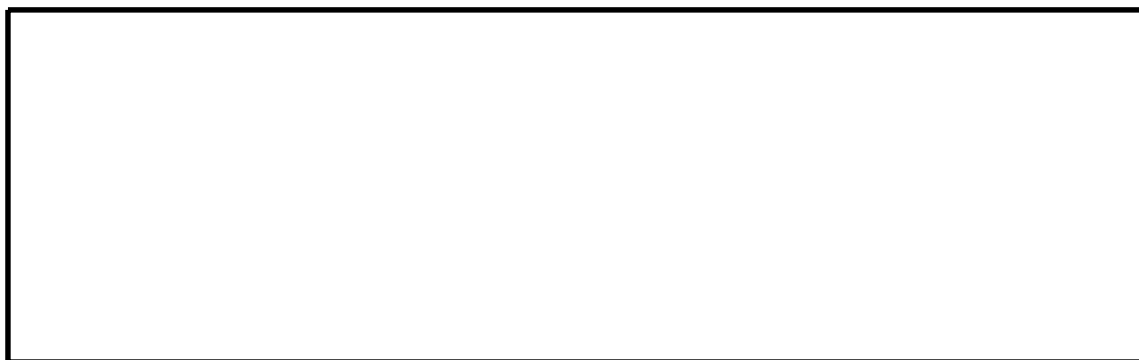
熱化学方程式と標準生成エンタルピより、となる。

以上より、1mol の無機よう素 (I_2) の反応にはの吸熱量を伴うこととなる。

ここで、無機よう素の反応は吸熱反応であることから、保守的に評価に含めないこととする。

(3) よう素除去部における化学反応の発熱量の評価





以上より，よう素除去部における化学反応による発熱量が与える温度変化は十分小さいため，影響はないと言える。

<参考図書>

1. 化学便覧基礎編改訂 5 版

スクラビング水の粘性の変化が除去性能に与える影響について

ベントにより格納容器からフィルタ装置にエアロゾルが移行する。スクラビング水の粘性は、エアロゾルが可溶性の場合はそのエアロゾルの水和性と溶解する量によって、不溶性の場合はスクラビング水に分散する固体粒子の量によって変化する。可溶性エアロゾル又は不溶性エアロゾルの影響によるスクラビング水の粘性率の変化を保守的に評価した結果、その変化は十分小さく、DFへの影響がないことを確認した。

(1) フィルタ装置内に移行するエアロゾル等の影響

重大事故等時に格納容器内へ放出されるエアロゾルがベントによりフィルタ装置に移行することから、NUREG-1465に記載されている格納容器への放出割合を参照し、フィルタ装置内へ移行するエアロゾル量を基にスクラビング水への影響を評価する。なお、NUREG-1465では格納容器への放出過程（Early In-Vessel, Late In-Vessel等）ごとに格納容器への移行割合を与えており、本評価では事故後長期にわたってスクラビング水への影響を評価するため、放出過程ごとの放出割合の合計値をエアロゾル移行量の算出に使用している。（別紙2）

ベント後のスクラビング水には、可溶性エアロゾルと不溶性エアロゾルがそれぞれ存在することとなる。エアロゾルの種類と溶解の可否を第1表に示す。

第 1 表 エアロゾル（設計条件）の種類と溶解の可否

核種グループ	代表化学形態	FP エアロゾル移行量 (kg)	溶解の可否	
Halogens	CsI		可溶性	
Alkali metal	CsOH		可溶性	
Te	TeO ₂ , Sb		不溶性	
Ba, Sr	BaO, SrO		可溶性	
Noble metals	MoO ₂		不溶性	
Ce	CeO ₂		不溶性	
La	La ₂ O ₃		不溶性	
構造材	SiO ₂ 等		大半は不溶性	
	合計		400	—

可溶性エアロゾルと不溶性エアロゾルでは、スクラビング水の粘性に与える影響はそれぞれ異なることから、可溶性エアロゾル、不溶性エアロゾルに分けて粘性に与える影響を確認する。

なお、流体が流動する際の抵抗を示す粘性の大きさは、粘性率 η [mPa・s] で表され、水の粘性率は水温 10℃ の場合は約 1.3 [mPa・s]、80℃ の場合は約 0.3 [mPa・s] である（参考図書 1）。

a. 可溶性エアロゾルの影響

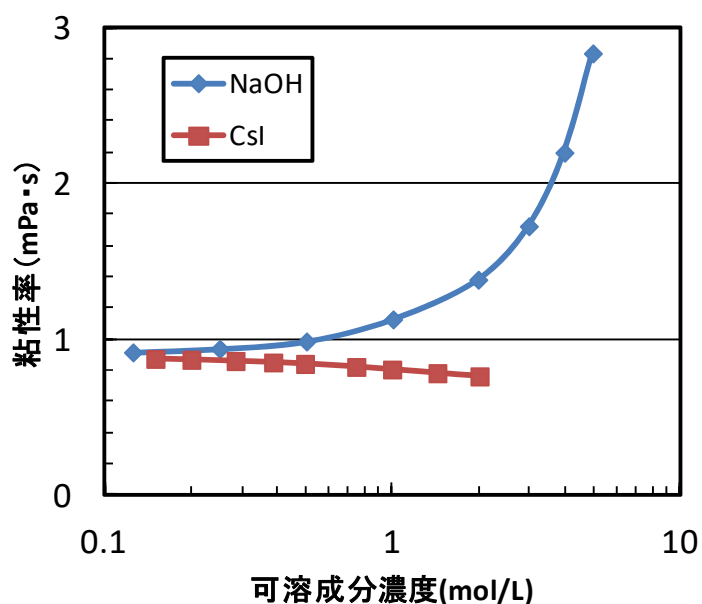
エアロゾルがスクラビング水に溶解すると、分解してイオンとして存在し、溶解したイオンの周囲に水分子が水和しやすい場合には、イオンと水分子が集団として振る舞うため移動しにくくなり、粘性率が大きくなる。一方、溶解したイオンの周囲に水分子が水和しにくい場合には、イオンや水分子が移動しやすくなり、粘性率が小さくなる（参考図書 2）。

ベント実施後にフィルタ装置に含まれる主な陽イオンには、Na⁺、K⁺、CS⁺ があり、陰イオンには OH⁻、Cl⁻、Br⁻、I⁻、CO₃²⁻、HCO₃⁻、SO₄²⁻ がある。これらイオンのうち、水和しやすく粘性率の増加に最も寄与する陽イオンは Na⁺、

陰イオンは OH^- であり，水和しにくく粘性率の減少に寄与する陽イオンは Cs^+ ，陰イオンは I^- であると考えられる（参考図書 1, 3）。

このため，フィルタ装置にエアロゾルが移行した場合の粘性率は，エアロゾルの全量を [] として評価したとき最も大きく，よう化セシウム (CsI) として評価したときには小さくなる。

スクラビング水として低温（粘性率が高い）の 25°C における [] [] としてよう化セシウムが水に溶解した場合の粘性率の変化を第 1 図に示す。



第 1 図 [] と CsI が水に溶解した場合の粘性率の変化 (25°C)

[] : 参考図書 4, CsI : 参考図書 5)

スクラビング水に添加している化学薬剤の []
 [] であり、このスクラビング水の粘性率は、化学薬剤を全て [] として評価すると、第1図より [] mPa・s となる。

また、スクラビング水の粘性率の変化を保守的に評価するため、仮にフィルタ装置に移行するエアロゾルが全て []
 [] と想定とすると、その溶液のモル濃度は [] mol/l 上昇し、
 [] となり、可溶性エアロゾルが溶解したスクラビング水の粘性率は、第1図より [] mPa・s となる。

以上より、可溶性エアロゾルが溶解した場合のスクラビング水の粘性率の変化は、フィルタ装置待機時のスクラビング水の粘性率に比べて、わずかに ([] mPa・s 大きくなる) と評価できる。

なお、JAVA 試験における初期のスクラビング水に含まれる化学薬剤の質量パーセント濃度は、 []
 [] であり、これらのモル濃度はそれぞれ []
 [] となることから、このスクラビング水の粘性率は、化学薬剤が全て [] として評価すると、第1図より [] mPa・s となる。

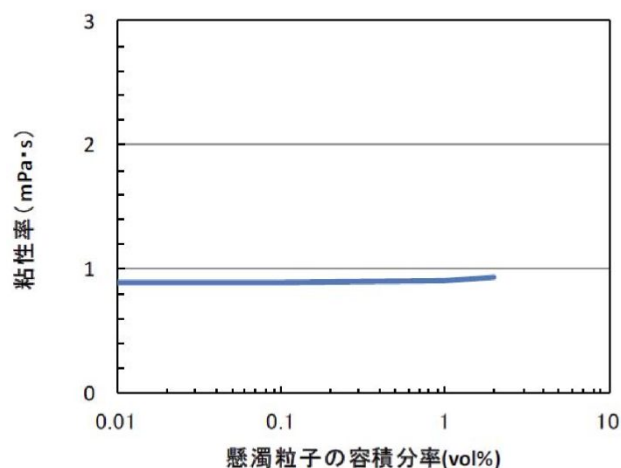
b. 不溶性エアロゾルの影響

エアロゾルが不溶性の場合、スクラビング水中ではコロイド等の懸濁粒子濃度が上昇すると考えられる。このような懸濁粒子が分散した溶液の粘性率はアインシュタインの粘度式等によって評価することができる (参考図書 1)。

$$\eta / \eta_0 - 1 = 2.5 \phi$$

ここで、 η : 懸濁粒子溶液の粘性、 η_0 : 分散溶媒の粘性、 ϕ : 懸濁粒子

の容積分率を示す。上式を用いて、懸濁粒子濃度が粘性率に及ぼす影響を評価した結果を第2図に示す（アインシュタインの粘度式の成立限界である容積分率2%までを記載）。



第2図 不溶性分が共存した場合の粘性率の変化（25°C）

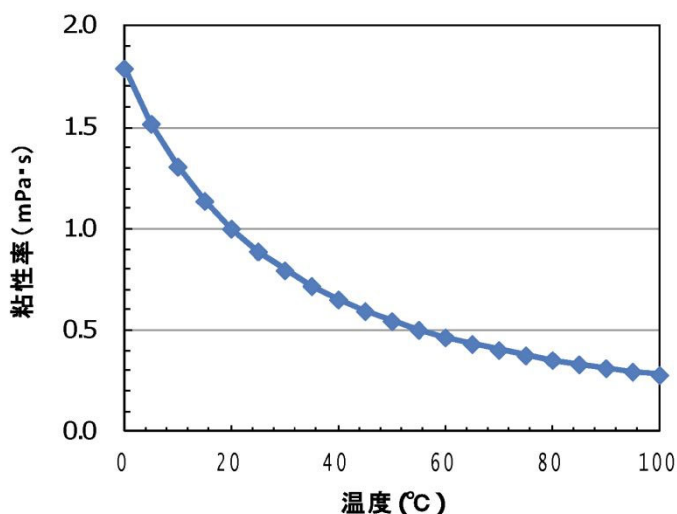
スクラビング水の粘性率の変化を保守的に評価するため、仮にフィルタ装置に移行するエアロゾルを全て不溶性のエアロゾル（密度 \square /cm³）とし、最低水量の \square t に加わったとして懸濁粒子の容積分率を算出すると、 \square vol%（ $=400 \times 10^3 / 2.4 / (15.5 \times 10^6)$ ）となる。第2図によると懸濁粒子の容積分率 2vol%程度まで粘性率がほとんど上昇していないため、不溶性エアロゾルによるスクラビング水の粘性率の変化はほとんどないと評価できる。

なお、上記の密度 \square g/cm³ は、コア・コンクリート反応で発生するコンクリート由来のエアロゾルを想定したものであり、TeO₂（密度約 5.7g/cm³）等の密度の大きいエアロゾルを想定するよりも懸濁粒子の容積分率を大きく算定するため、保守的な評価となっている。

(2) 評価結果

粘性率の増加量は、粘性率の変化が大きい可溶性エアロゾルの場合においても下記のとおりであり、第3図に示す純水の温度変化に伴う粘性率の変化量と同等であるため、この粘性率の変化は十分小さい。よって、フィルタ装置を長期に使用する場合においても、スクラビング水の粘性のDFへの影響はないと考えられる。

- ・可溶性エアロゾル が溶解した場合のスクラビング水の粘性率の変化は、待機時のスクラビング水と比べた場合は mPa・s 大きくなる。



第3図 水の粘性率に及ぼす温度の影響

なお、エアロゾルには有機物が含まれていないため、温度が上昇した場合にも粘性率を著しく大きくさせることはない。

〈参考図書〉

1. 化学便覧改訂 3 版基礎編 II
2. 上平恒, 「水の分子工学」
3. 横山晴彦, 田端正明 「錯体の溶液化学」
4. Pal M. Sipos, Glenn Hefter, and Peter M. May, Viscosities and Densities of Highly Concentrated Aqueous MOH Solutions (M⁺) Na⁺, K⁺, Li⁺, Cs⁺, (CH₃)₄N⁺) at 25.0 ° C, J. Chem. Eng. Data, 45, 613-617 (2000)
5. Grinnell Jones and Holmes J. Fornwalt, The Viscosity of Aqueous Solutions of Electrolytes as a Function of the Concentration. III. Cesium Iodide and Potassium Permanganate, J. Am. Chem. Soc., 58 (4), 619-625 (1936)
6. Joseph Kestin, H. Ezzat Khalifa and Robert J. Correia, Tables of the Dynamic and Kinematic Viscosity of Aqueous NaCl Solution in the Temperature Range 20-150°C and the Pressure Range 0.1-35MPa, J. Phys. Chem. Ref. Data, Vol.10, No.1 (1981)
7. 日本機械学会 蒸気表 <1999>

窒素供給装置の容量について

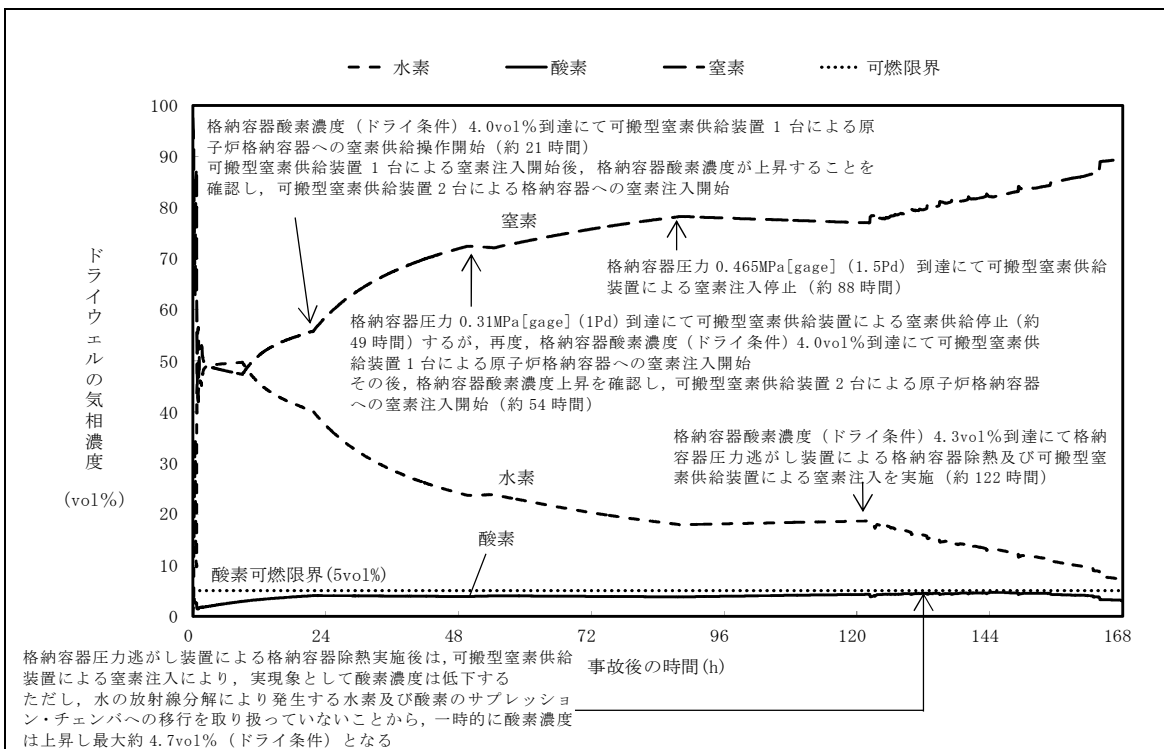
可搬型窒素供給装置の窒素容量は、下記①②を考慮して設定している。

① S A 事象進展中における窒素注入容量

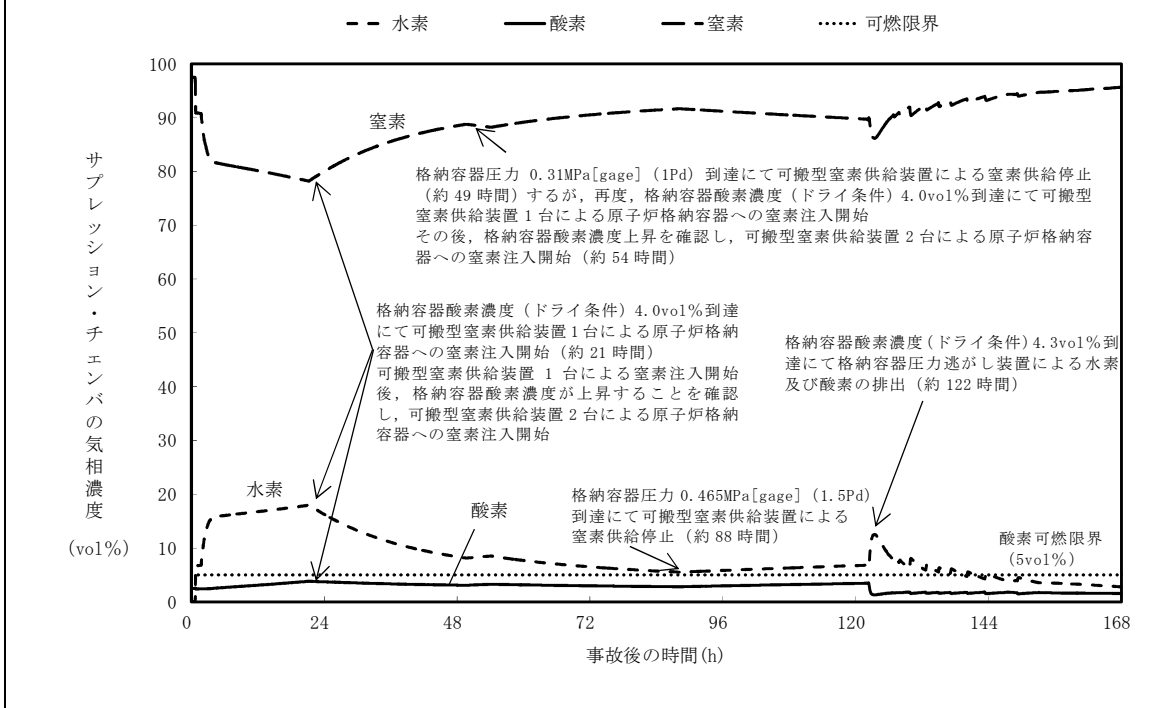
窒素供給装置は、炉心の著しい損傷が発生した場合において、水の放射線分解によって発生する酸素の濃度上昇を抑制可能な設計とする。

有効性評価シナリオ「雰囲気圧力・温度による静的負荷（格納容器過圧・過温破損）（代替循環冷却を使用する場合）」において、設計基準事故対処設備である可燃性ガス濃度制御系の性能評価で使用している G 値を採用した場合、事象発生約 21 時間後にドライウエルの酸素濃度（ドライ条件）が 4.0vol% に到達後、原子炉格納容器への窒素注入を最大 $400\text{Nm}^3/\text{h}$ で実施できる容量としている。次ページ以降の容量設定根拠参照。

名称		窒素供給装置
容量	Nm ³ /h (1台あたり)	約 200
窒素純度	vol%	約 99.0
窒素供給圧力	MPa [gage]	約 0.5
<p>(1) 容量及び窒素純度</p> <p>窒素供給装置は、炉心の著しい損傷が発生した場合において、水の放射線分解によって発生する酸素の濃度上昇を抑制可能な設計とし、格納容器内酸素濃度がドライ条件において 4.0vol%に到達した時点で原子炉格納容器への窒素注入を実施することとしている。</p> <p>有効性評価シナリオ「雰囲気圧力・温度による静的負荷（格納容器過圧・過温破損）（代替循環冷却を使用する場合）」において、設計基準事故対処設備である可燃性ガス濃度制御系の性能評価で使用している G 値を採用した場合のドライウェル及びサプレッション・チェンバの気相の推移（ドライ条件）を第 1 図、第 2 図に示す。事象発生約 21 時間後にドライウェルの酸素濃度（ドライ条件）が 4.0vol%に到達後、原子炉格納容器への窒素注入を最大 400Nm³/h にて実施する。また、事象発生約 122 時間後にドライウェルの酸素濃度（ドライ条件）が 4.3vol%に到達すれば、格納容器圧力逃がし装置により原子炉格納容器内の水素及び酸素を排出することによって、原子炉格納容器内の酸素濃度は低下し、事象発生から 168 時間後の間、原子炉格納容器の酸素濃度が可燃限界である 5.0vol%に到達することはない。</p> <p>窒素供給装置の保有数は、窒素供給量を満足するように 1 セット 2 台と故障時及び保守点検による待機除外時の予備として 1 セット 2 台の合計 4 台を保管する。</p>		



第 1 図 「雰囲気圧力・温度による静的負荷 (格納容器過圧・過温破損) (代替循環冷却を使用する場合)」において可燃性ガス濃度制御系の性能評価で使用している G 値を採用した場合のドライウエルの気相濃度の推移 (ドライ条件)

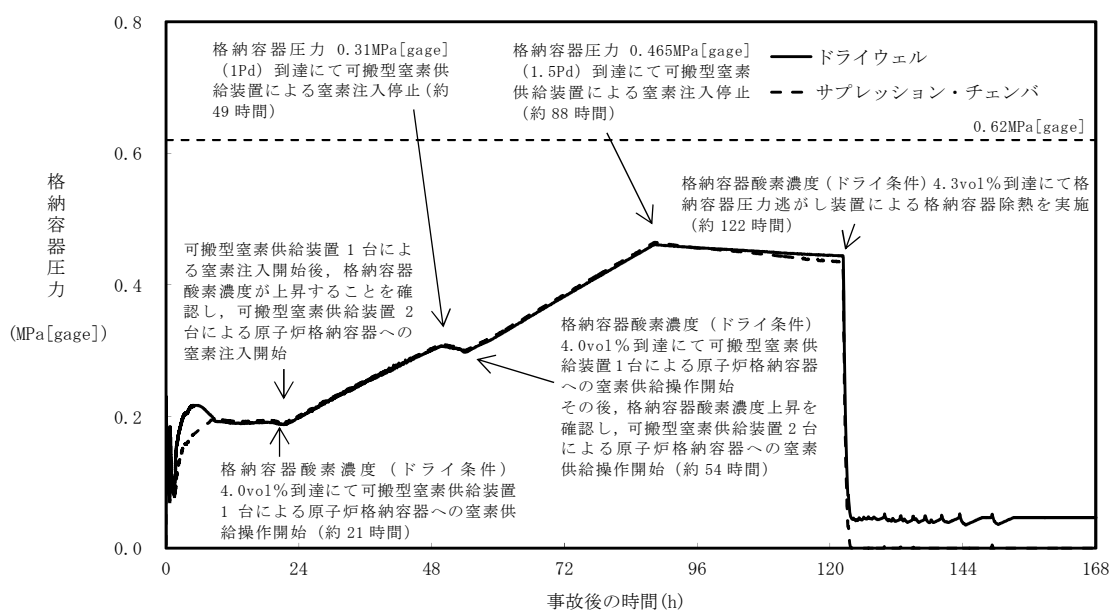


第 2 図 「雰囲気圧力・温度による静的負荷 (格納容器過圧・過温破損) (代替循環冷却を使用する場合)」において可燃性ガス濃度制御系の性能評価で使用している G 値を採用した場合のサブプレッション・チェンバの気相濃度の推移 (ドライ条件)

(2) 窒素供給圧力

窒素供給装置は、0.5MPa[gage]の窒素供給圧力を有しており、重大事故等時においても原子炉格納容器への窒素注入が可能な設計としている。

有効性評価シナリオ「雰囲気圧力・温度による静的負荷（格納容器過圧・過温破損）（代替循環冷却を使用する場合）」において、設計基準事故対処設備である可燃性ガス濃度制御系の性能評価で使用しているG値を採用した場合の格納容器圧力の推移を第3図に示す。事象発生約21時間後から原子炉格納容器への窒素注入を実施するが、原子炉格納容器への窒素注入は格納容器圧力が0.465MPa[gage]到達により停止する手順としており、その時点での格納容器圧力は供給圧力を下回っていることから十分な供給圧力を有している。



第3図 「雰囲気圧力・温度による静的負荷（格納容器過圧・過温破損）（代替循環冷却を使用する場合）」において可燃性ガス濃度制御系の性能評価で使用しているG値を採用した場合の格納容器圧力の推移

- ② ベント停止後の格納容器圧力逃がし装置における水素滞留防止のため、窒素の供給を行い、格納容器圧力逃がし装置の系統内の水素濃度を4%（水素の可燃限界濃度）未満あるいは酸素濃度を5%（水素を燃焼させる下限濃度）未満に維持

可搬型窒素供給装置の主要な仕様を第1表に示す。

第1表 可搬型窒素供給装置の主要仕様

窒素容量	約200Nm ³ /h
窒素純度	99.0vol%以上
窒素供給圧力	0.5MPa（可搬型窒素供給装置出口にて）

以下に、可搬型窒素供給装置の窒素供給量の設定について示す。

(1) 格納容器における可搬型窒素供給装置の容量

ベント開始後に格納容器内で発生する水素及び酸素は、サプレッション・プール水に移行した放射性物質による水の放射線分解によるものが支配的となる。ベントシーケンスである「雰囲気圧力・温度による静的負荷（格納容器過圧・過温破損）（代替循環冷却系を使用できない場合）」におけるM A A P解析に基づき評価した水素及び酸素の発生量を第2表に示す。なお、水素及び酸素の発生量算出については、以下の式により算出した。ベント後の格納容器除熱によって格納容器内は非沸騰状態にあることを想定し、水素発生量のG値は0.25、酸素発生量のG値は0.125とする。

第2表 想定事象における格納容器内の水素及び酸素の発生量

対象	放射線 吸収割合	放射性物質移行量		発生量 [m ³ /h] ^{※1}	
		割合 [%]	崩壊熱 [MW]	水素	酸素
炉心部 (コリウム)	0.1	62.0	6.100	1.27	0.64
炉心部 (コリウム以外)	1.0	9.0	0.889	1.85	0.93
D/W 及びペDESTAL部	1.0	0.3	0.030	0.06	0.04
S/P	1.0	26.0	2.550	5.33	2.67
合計	—	97.3	9.569	8.51	4.28

※1 ベント停止は事象発生7日後とし、7日後の崩壊熱として10MWを想定する。
 酸素濃度を厳しく評価するため、水素発生量は小数点第3位を切り下げ、酸素発生量は小数点第3位を切り上げる。
 炉心部ではβ線が燃料被覆管で吸収されることを考慮し、放射線吸収割合を0.1としている。

この結果より、酸素濃度を5%（水素を燃焼させる下限濃度）未満に抑えるために必要な窒素供給量xを求める。

$$\frac{\text{酸素発生量} + \text{窒素供給装置からの酸素供給量}}{\text{水素発生量} + \text{酸素発生量} + \text{窒素供給装置の供給量} (x)} < 0.05$$

$$\frac{4.28 + x \times 0.01}{8.51 + 4.28 + x} < 0.05$$

$$x > 91.1 \text{ (小数点第2位切上げ)}$$

上記結果より、必要窒素供給量は91.1Nm³/hである。窒素供給装置の1台当たりの容量は200Nm³/hであることから、格納容器用の窒素供給装置の必要台数は1台となる。

なお、この時の水素は可燃限界濃度の4%を超えるが、上述のとおり酸素の濃度が5%（水素を燃焼させる下限濃度）を超えないことから水素が燃焼する

ことはない。

(2) 格納容器圧力逃がし装置における可搬型窒素供給装置の容量

ベント開始後に格納容器圧力逃がし装置のフィルタ装置で発生する水素及び酸素は、フィルタ装置に移行した放射性物質による水の放射線分解によるものが支配的となる。このため、フィルタ装置で発生する水素及び酸素の量は、以下に示した①～③の式により算出できる。

① 発生水素（酸素）分子数 [分子数/J]

$$= G \text{ 値 [分子/100eV]} / 100 / (1.602 \times 10^{-19} \text{ [J]})$$

② 水素（酸素）発生量 [分子数/s]

$$= \text{崩壊熱 [MW]} \times 10^6 \times \text{発生水素（酸素）分子数 [分子数/J]} \times \text{放射線}$$

吸収割合

③ 水素（酸素）発生量 [m^3/h]

$$= \text{水素（酸素）発生量 [分子数/s]} / (6.022 \times 10^{23}) \times 22.4 \times 10^{-3} \times 3600$$

スクラビング水は沸騰しているものと想定し、水素発生量のG値は0.4、酸素発生量のG値は0.2とする。その他の情報については、以下のとおりとする。

崩壊熱量：0.5MW（フィルタ装置の設計条件）

放射線吸収割合：1.0

以上より、水素の発生量は $1.67 \text{ m}^3/\text{h}$ 、酸素の発生量は $0.836 \text{ m}^3/\text{h}$ となる。

水素及び酸素の発生量より、酸素濃度を5%（水素を燃焼させる下限濃度）未満に抑えるために必要な窒素供給量 y を求める。

$$\frac{\text{酸素発生量} + \text{窒素供給装置からの酸素供給量}}{\text{水素発生量} + \text{酸素発生量} + \text{窒素供給装置の供給量} (y)} < 0.05$$

$$\frac{0.836 + y \times 0.01}{1.67 + 0.836 + y} < 0.05$$

$$y > 17.8 \text{ (小数点第2位切上げ)}$$

上記より，必要窒素供給量は $17.8\text{Nm}^3/\text{h}$ となる。窒素供給装置の1台当たりの容量は $200\text{Nm}^3/\text{h}$ であることから，格納容器圧力逃がし装置用の窒素供給装置の必要台数は1台となる。

フィルタ装置入口配管の位置について

東海第二発電所のフィルタ装置入口配管は、フィルタ装置の通常水位より低い位置でフィルタ装置に接続される。以下に機器設計上の考え方と、この設計による悪影響の有無について検討する。

(1) 機器設計上の考え方

東海第二発電所のフィルタ装置には、容器内部に有機よう素を除去するための銀ゼオライトフィルタを設置している。この銀ゼオライト充填や容器内部の入槽点検には、上部マンホールから容器内部に作業が入り作業を行う必要がある。以下に示すように入口配管の接続位置はフィルタ性能に影響を及ぼすことはないことから、作業性を考慮して容器内部の作業エリアに大きな配管が極力配置されないように、銀ゼオライトフィルタ室より低い位置で入口配管を接続した設計としている。

(2) 悪影響の有無について

入口配管がフィルタ装置の通常水位より低い位置でフィルタ装置に接続することから、第1図のとおりスクラビング水を内包した入口配管が容器の外に配置されることとなる。これによるフィルタ性能への影響、バウンダリへの影響及び放射性防護の観点から悪影響の有無を検討する。

なお、強度や耐震性への影響は構造（入口配管の位置）を適切に反映して評価することから、問題はない。

a. フィルタ性能への影響

フィルタ装置使用時には入口配管のスクラビング水を押し出す必要がある。入口配管の位置が通常水位の上下に関わらず、格納容器からのガスは待機時水位とベンチュリノズル分配管との差分の水位を押し込む必要がある。この押し込み水位は入口配管の位置による差はほとんどない。

したがって、入口配管が通常水位より下でフィルタ装置に接続されても、格納容器からのガスはベンチュリノズルに導かれ、エアロゾルや無機よう素を捕集することから、入口配管の位置が放射性物質の捕集性能に影響を及ぼすことはない。

なお、JAVA 試験設備においては、
エアロゾルや無機よう素に対して、十分な除去性能を有することが確認されている。

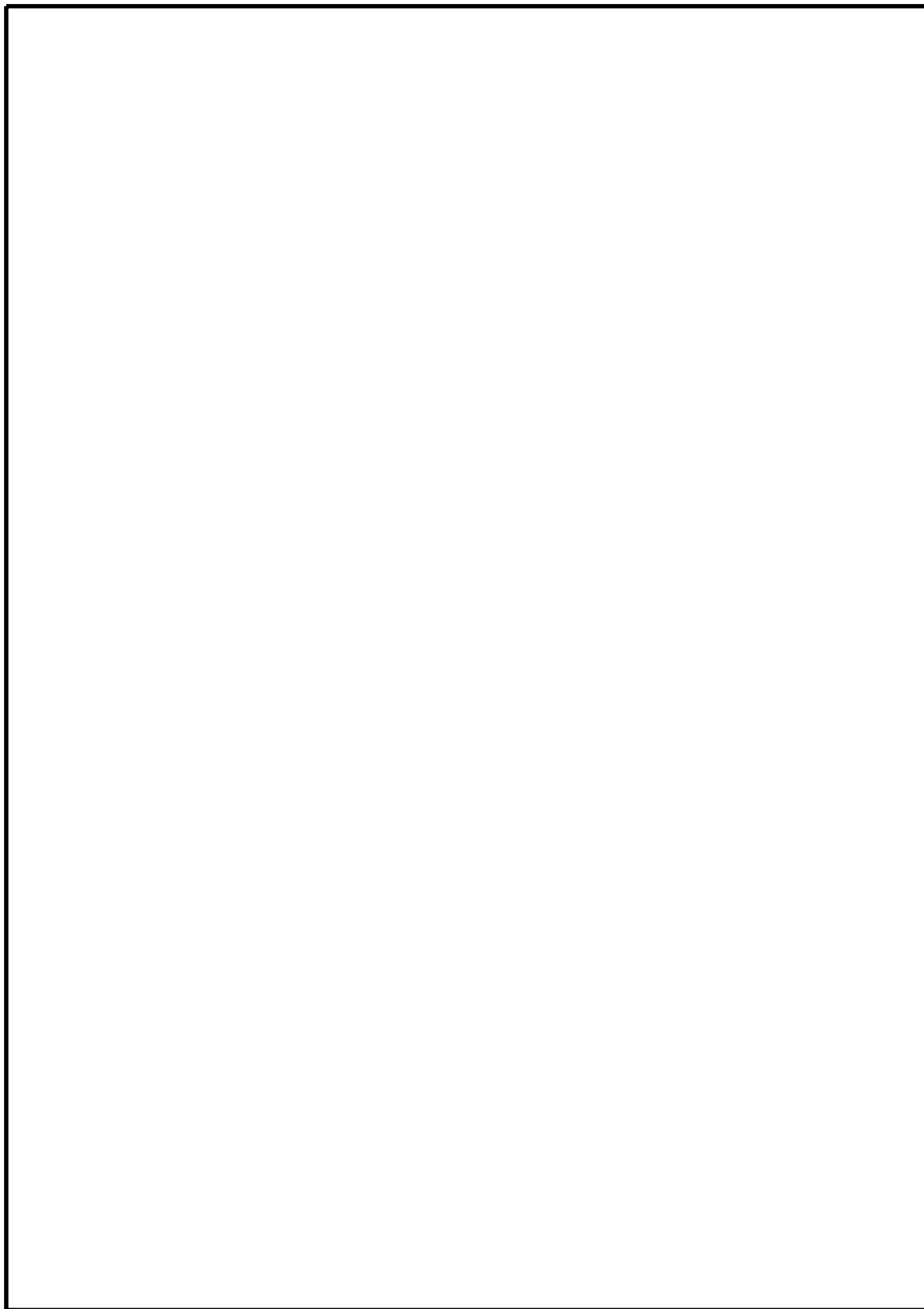
b. バウンダリへの影響

系統待機時にスクラビング水はフィルタ装置外部の入口配管内にも貯留されるが、配管の材質は耐アルカリ性を考慮して、
を採用することで、バウンダリへの影響はない。

c. 放射線防護への影響

フィルタ装置使用後は、入口配管にも放射性物質を含んだスクラビング水が貯留される。フィルタ装置内部に入口配管が位置する場合と比べると、入口配管表面の放射線量率は高くなるが、
の遮蔽壁内に位置することから、作業員への影響はない。

以上より、入口配管のフィルタ装置への接続位置が、フィルタ性能等へ悪影響を及ぼすことはない。



第1図 フィルタ装置入口配管の接続位置による比較